

# Algorithmen II

**Peter Sanders, Thomas Worsch, Simon Gog**

**Übungen:**

**Demian Hespe, Yaroslav Akhremtsev**

Institut für Theoretische Informatik, Algorithmik II

Web:

[http://algo2.iti.kit.edu/AlgorithmenII\\_WS17.php](http://algo2.iti.kit.edu/AlgorithmenII_WS17.php)

# Organisatorisches

## Vorlesungen:

Mo 09:45–11:15 HS Neue Chemie

Di 15:45–16:30 HS Neue Chemie

## Saalübung:

Di 16:30–17:15 HS Neue Chemie

## Übungsblätter:

14-tägig, jeweils Dienstags, Musterlösung 9 Tage später

1. Blatt: 24.10.2017

## Ilias Forum:

Fragen zum Vorlesungsinhalt (auch anonym möglich)

Link auf Vorlesungswebseite

# Organisatorisches

Sprechstunden:

- Peter Sanders, Dienstag 13:45–14:45 Uhr, Raum 217
- Thomas Worsch, Freitag 8:00–9:00 Uhr, Raum 230
- Simon Gog, Nach Vereinbarung, Raum 220 (erst ab November)
- Demian Hespe, Nach Vereinbarung, Raum 210
- Yarsolav Akhremtsev, Donnerstag 14:00–15:00 Uhr, Raum 221

Letzte Vorlesung: 06. Februar 2018

Klausur: Mittwoch, 21. Februar 2018, 11:30 Uhr

# Materialien

- Folien
- Übungsblätter
- Buch:  
K. Mehlhorn, P. Sanders  
Algorithms and Data Structures — The Basic Toolbox  
Springer 2008. Ca. 40 % der Vorlesung.
- Skript: Minimalistischer Aufschrieb der Sachen, die nicht im Buch stehen, mit Verweisen auf Originalliteratur  
Sprache: **Deutsch**.  
Aber Literatur und ein Teil der Folien auf **Englisch**

## Zum Weiterlesen

- [Mehlhorn, Näher] Algorithm Engineering, Flows, Geometrie  
The LEDA Platform of Combinatorial and Geometric Computing.
- [Ahuja, Magnanti, Orlin] Network Flows
- [de Berg, Cheong, van Kreveld, Overmars] Geometrie  
Computational Geometry: Algorithms and Applications
- [Gonzalo Navarro] Succinct Data Structures  
Compact Data Structures: A Practical Approach
- [R. Niedermeier] Invitation to Fixed-Parameter Algorithms

# Inhaltsübersicht I

- Algorithm Engineering
- Fortgeschrittene Datenstrukturen am Beispiel von Prioritätslisten
  - addressierbar
  - ganzzahlige Schlüssel
  - (Externspeicher)
- Fortgeschrittene Graphenalgorithmen
  - Kürzeste Wege II: negative Kreise, Potentialmethode
  - Starke Zusammenhangskomponenten
  - Maximale Flüsse und Matchings

## Inhaltsübersicht II

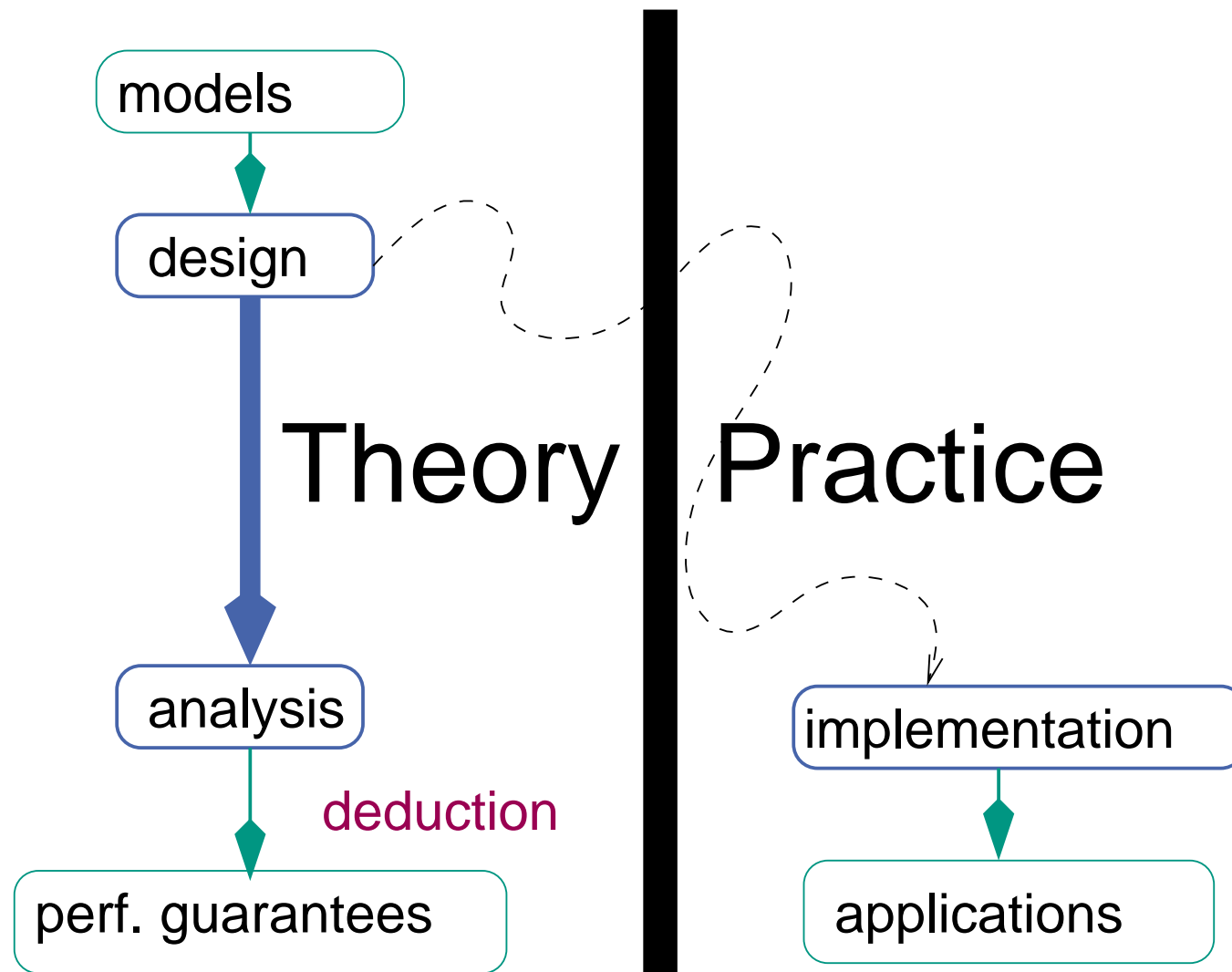
- “Bindestrichalgorithmen”
  - Randomisierte Algorithmen
  - Externe Algorithmen
  - Parallel Algorithmen
  - Stringalgorithmen: sorting, indexing, . . .
  - Geometrische Algorithmen
  - Approximationsalgorithmen
  - Fixed-Parameter-Algorithmen
  - Onlinealgorithmen

# 1 Algorithm Engineering

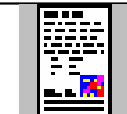
## A detailed definition

- in general
  - [with Kurt Mehlhorn, Rolf Möhring, Petra Mutzel, Dorothea Wagner]
- A few examples, usually sorting
- A little bit on experimental methodology

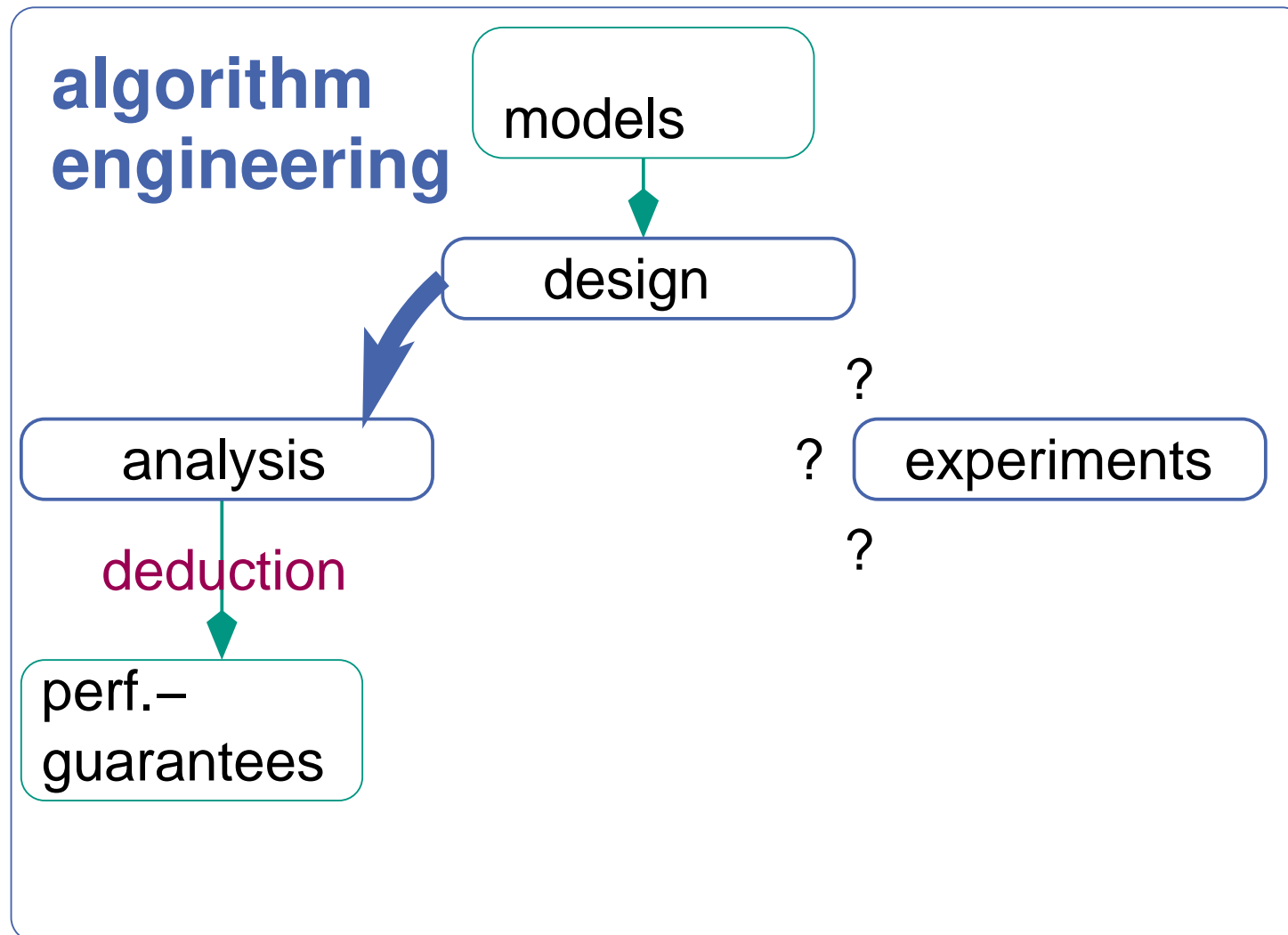
# (Caricatured) Traditional View: Algorithm Theory



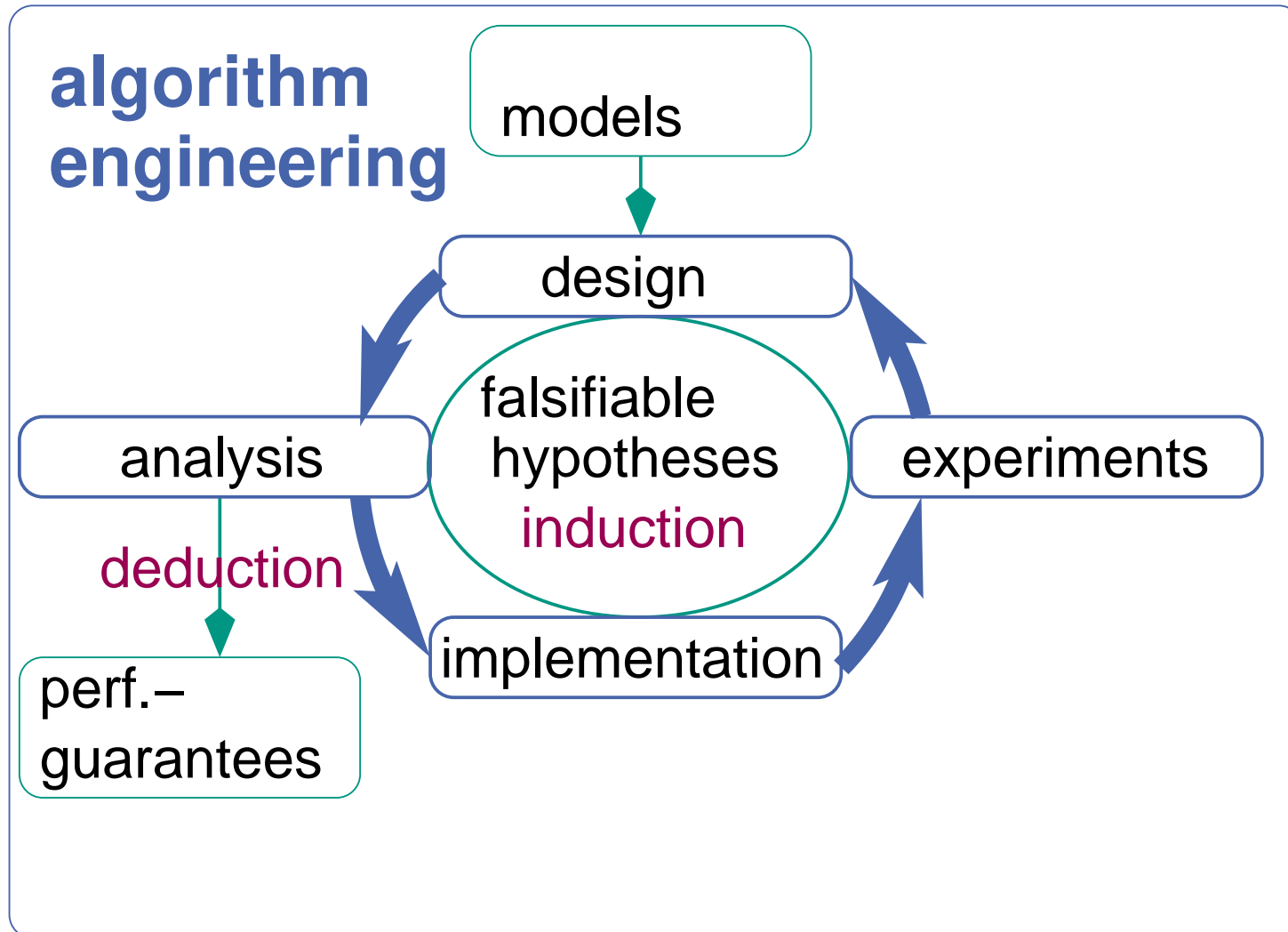
# Gaps Between Theory & Practice

Theory	↔	Practice
simple 	appl. model	 complex
simple 	machine model	 real
complex 	algorithms	FOR simple
advanced 	data structures	 arrays,...
worst case 	complexity measure	 inputs
asympt. 	efficiency	42% constant factors

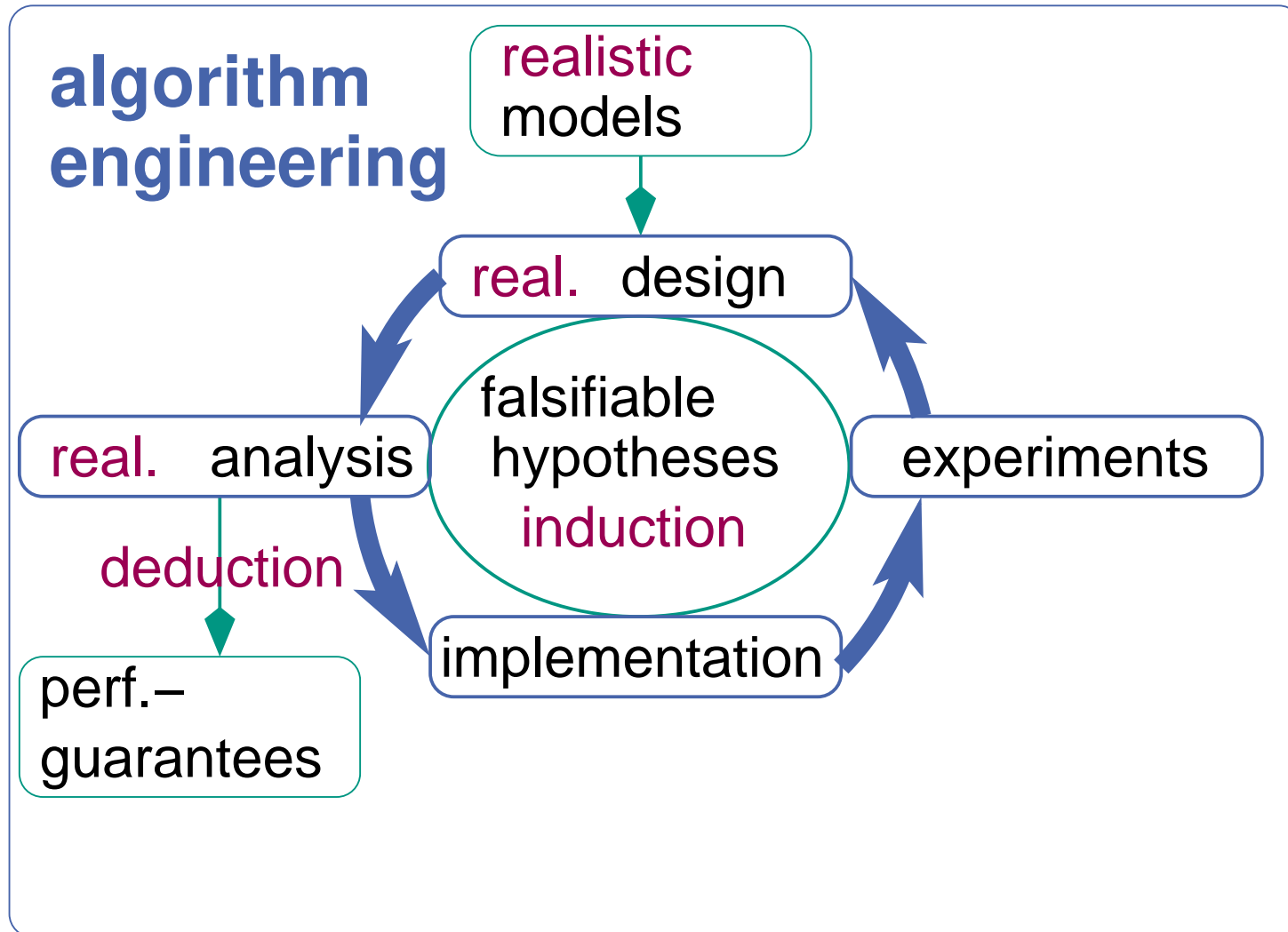
# Algorithmics as Algorithm Engineering



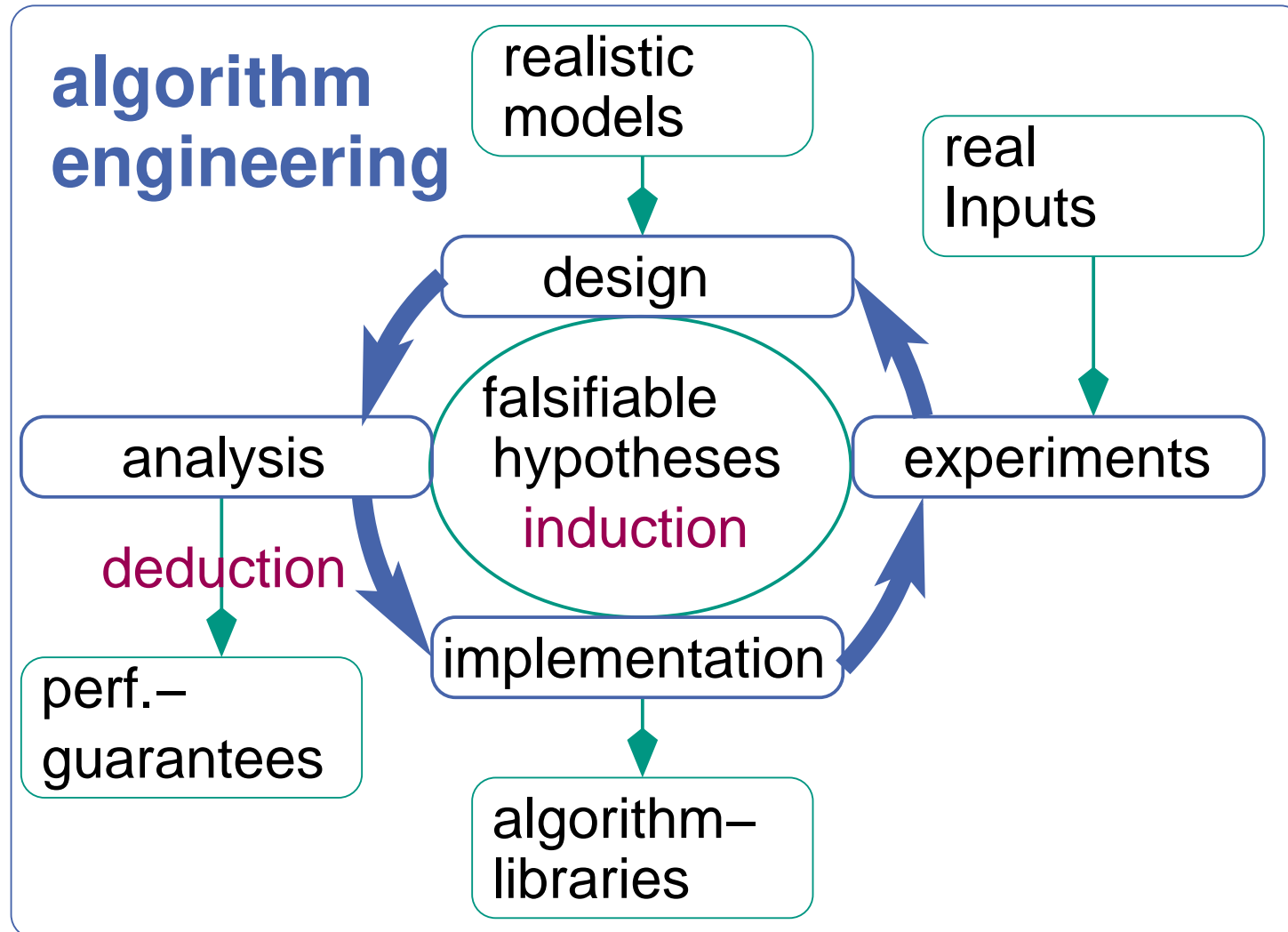
# Algorithmics as Algorithm Engineering



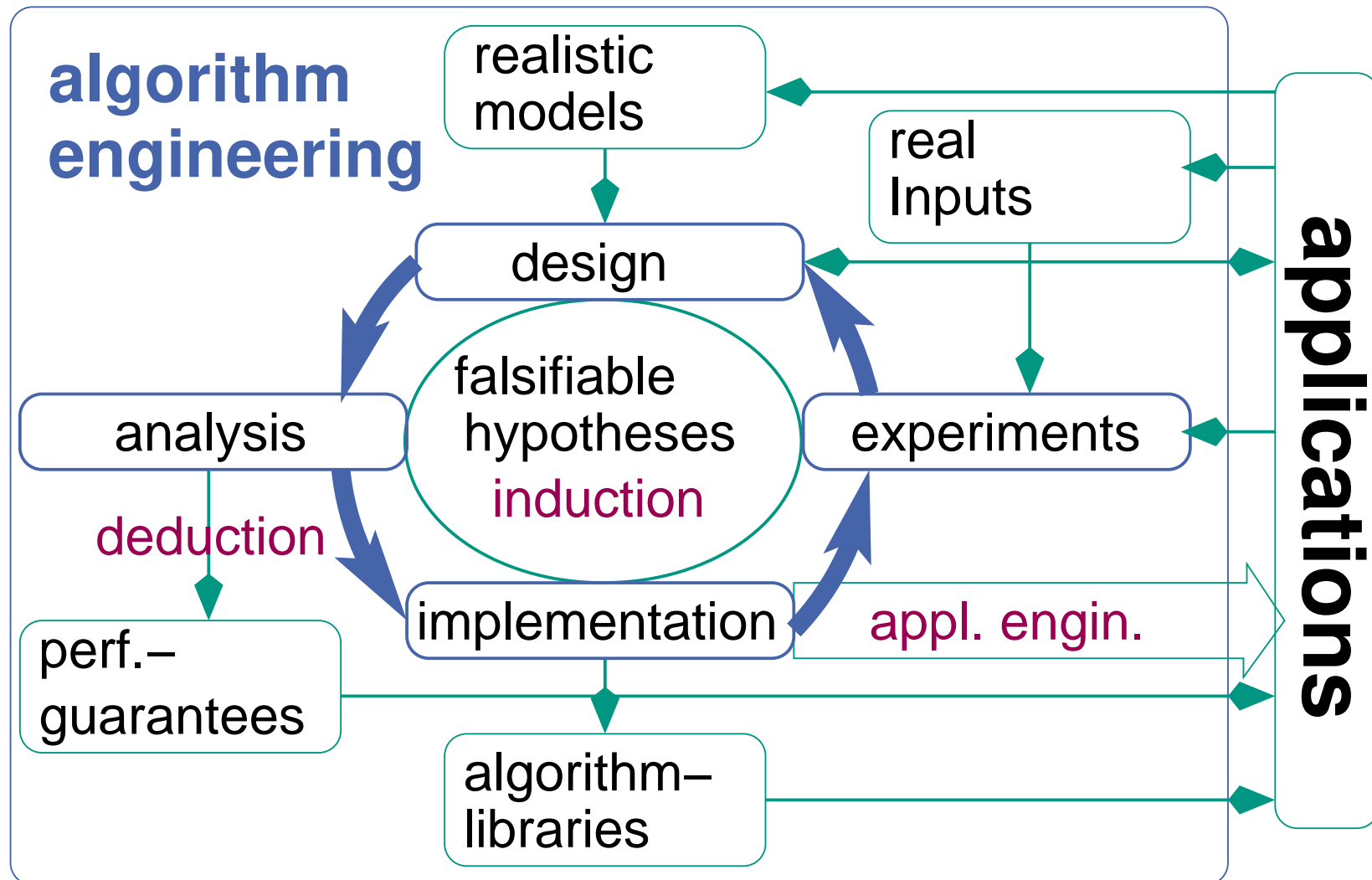
# Algorithmics as Algorithm Engineering



# Algorithmics as Algorithm Engineering



# Algorithmics as Algorithm Engineering



# Bits of History

1843– Algorithms in theory and practice

1950s, 1960s Still infancy

1970s, 1980s Paper and pencil algorithm theory.

Exceptions exist, e.g., [D. Johnson], [J. Bentley]

1986 Term used by [T. Beth],

lecture “Algorithmentechnik” in Karlsruhe.

1988– Library of Efficient Data Types and Algorithms

(LEDA) [K. Mehlhorn]

1997– Workshop on Algorithm Engineering

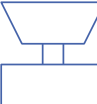
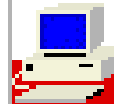
~~> ESA applied track [G. Italiano]

1997 Term used in US policy paper [Aho, Johnson, Karp, et. al]

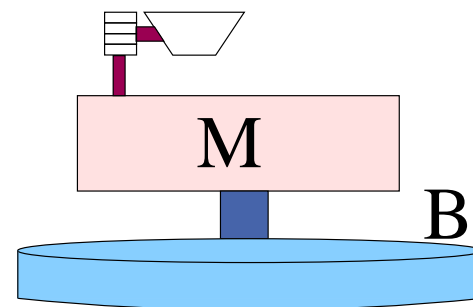
1998 **Alex** workshop in Italy ~~> ALENEX



# Realistic Models

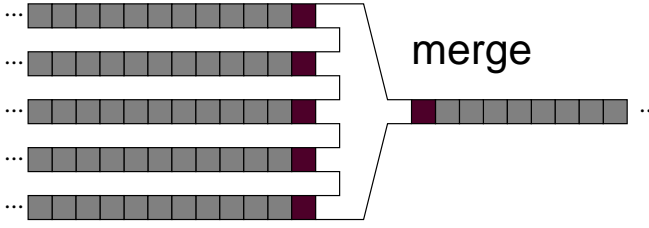
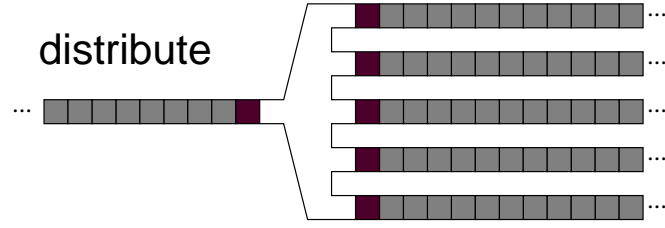
Theory	↔	Practice
simple 	appl. model	 complex
simple 	machine model	 real

- Careful refinements
- Try to preserve (partial) analyzability / simple results



# Design

of algorithms that work well in **practice**

- simplicity** 
- reuse** 
- constant factors**
- exploit easy instances**

# Analysis

- Constant factors matter  
Beispiel: quicksort
- Beyond worst case analysis
- Practical algorithms might be difficult to analyze  
(randomization, meta heuristics, ...)

# Implementation

sanity check for algorithms !

## Challenges

Semantic gaps:

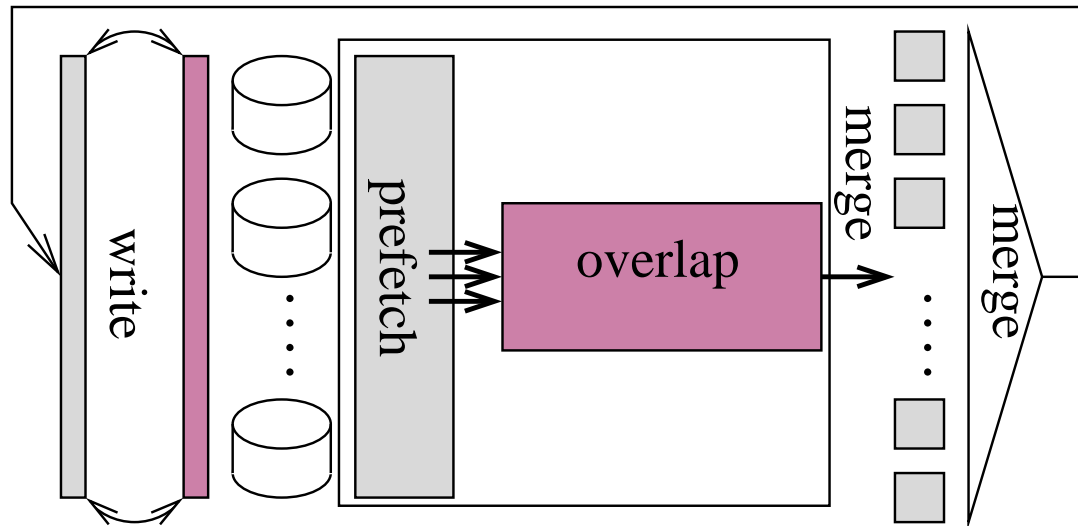
Abstract algorithm

↔

C++...

↔

hardware



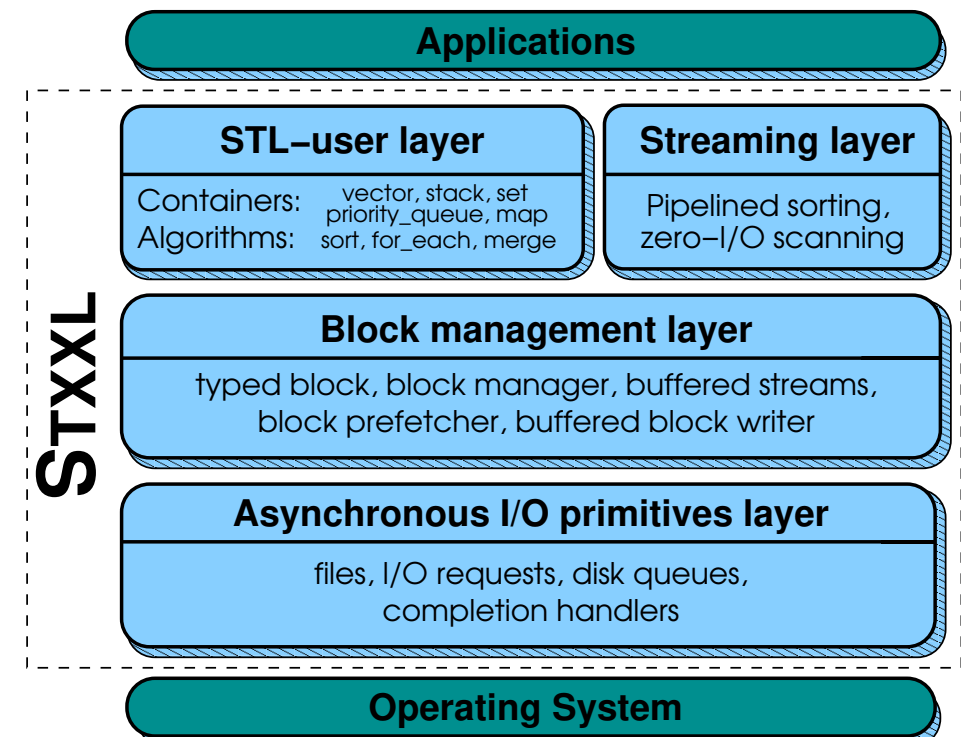
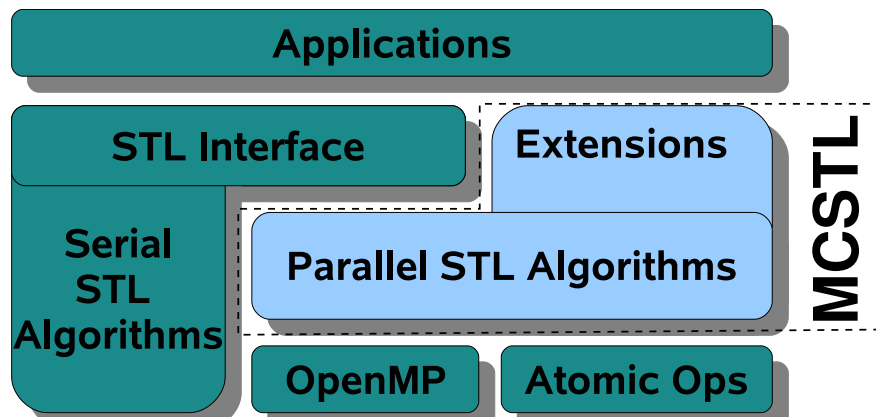
# Experiments

- sometimes a good **surrogate for analysis**
- too much** rather than too little **output data**
- reproducibility** (10 years!)
- software engineering**

**Stay tuned.**

# Algorithm Libraries — Challenges

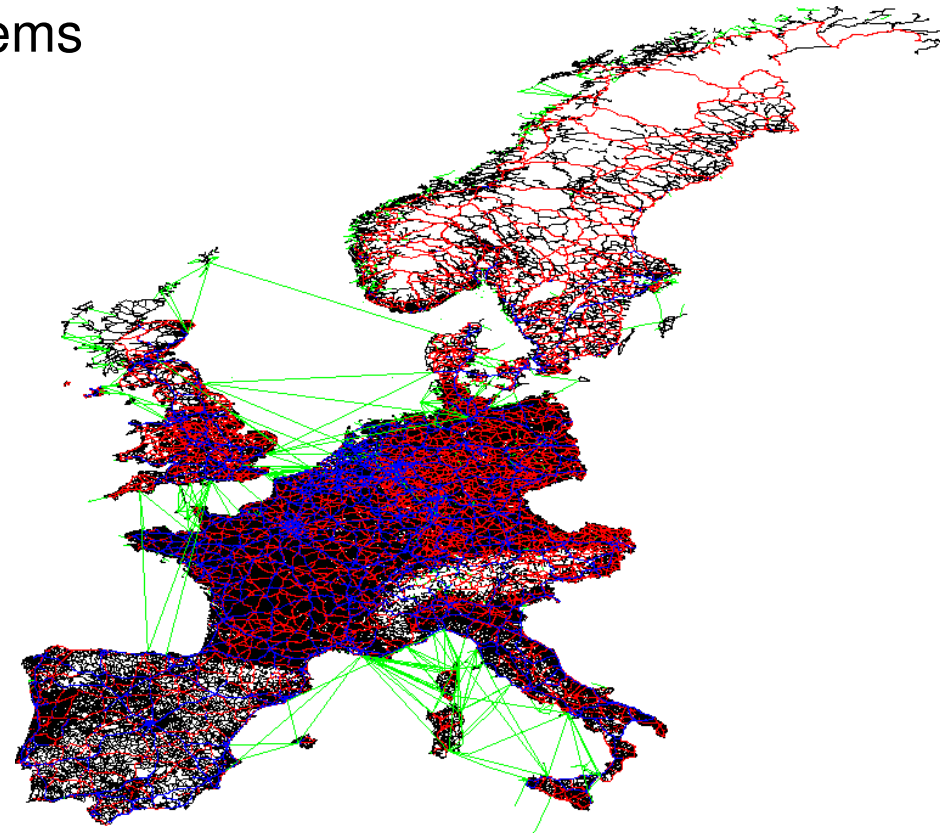
- software engineering , e.g. CGAL
- standardization, e.g. java.util, C++ STL and BOOST
- performance      ↔      generality      ↔      simplicity
- applications are a priori unknown
- result checking, verification



# Problem Instances

Benchmark instances for **NP-hard** problems

- TSP
- Steiner-Tree
- SAT
- set covering
- graph partitioning
- ...



have proved essential for development of practical algorithms

**Strange:** much less real world instances for **polynomial problems**  
(MST, shortest path, max flow, matching...)

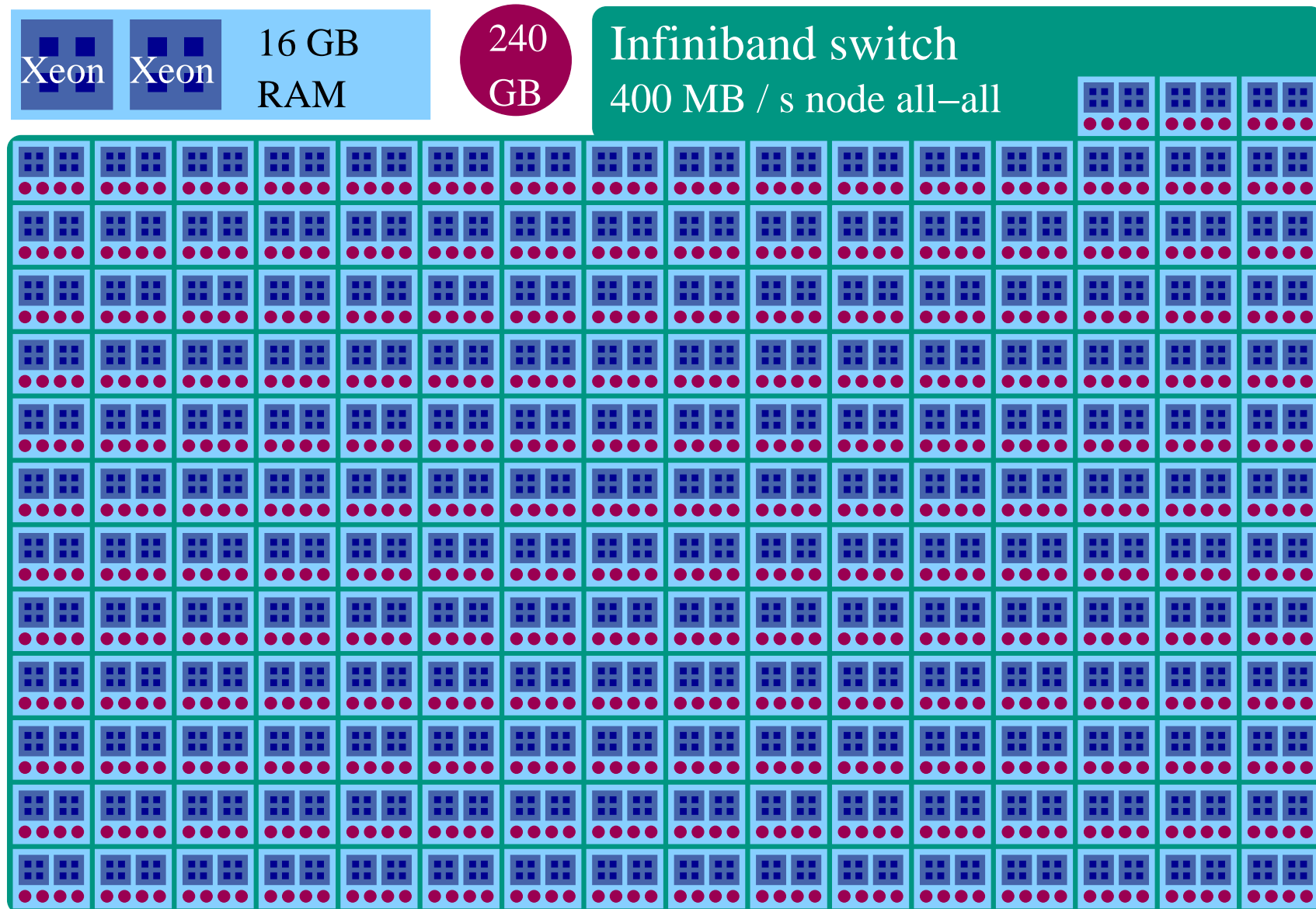
## Example: Sorting Benchmark (Indy)

100 byte records, 10 byte random keys, with file I/O

Category	data volume	performance	improvement
GraySort	100 000 GB	564 GB / min	17 ×
MinuteSort	955 GB	955 GB / min	> 10 ×
JouleSort	100 000 GB	3 400 Recs/Joule	??? ×
JouleSort	1 000 GB	17 500 Recs/Joule	5.1 ×
JouleSort	100 GB	39 800 Recs/Joule	3.4 ×
JouleSort	10 GB	43 500 Recs/Joule	5.7 ×

Also: PennySort

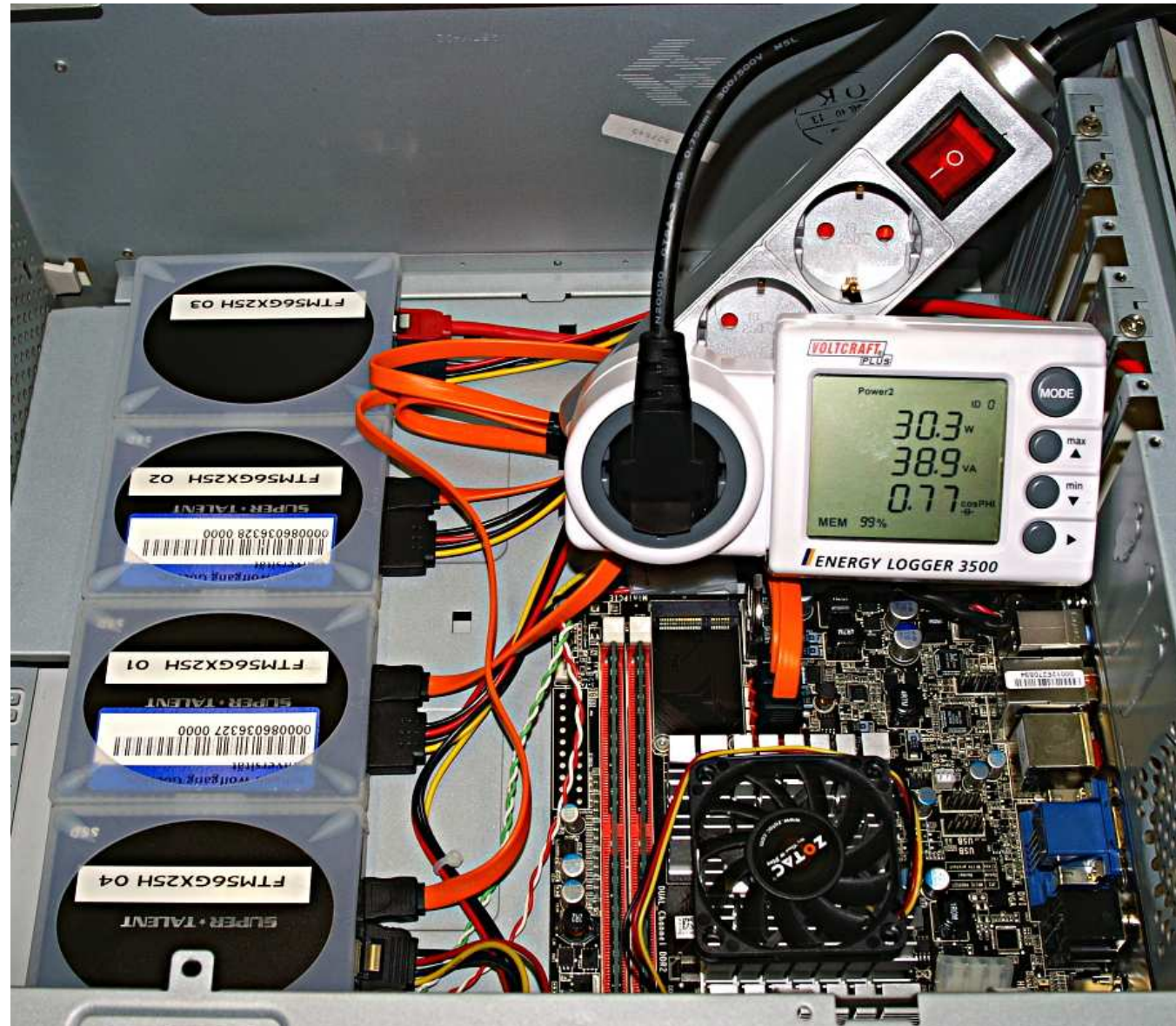
## GraySort: inplace multiway mergesort, exact splitting



# JouleSort

- Intel Atom N330
- 4 GB RAM
- 4 × 256 GB  
SSD (SuperTalent)

Algorithm similar to  
GraySort



## Applications that “Change the World”

Algorithmics has the potential to SHAPE applications  
(not just the other way round)

[G. Myers]

Bioinformatics: sequencing, proteomics, phylogenetic trees,...



Information Retrieval: Searching, ranking,...

Traffic Planning: navigation, flow optimization,  
adaptive toll, disruption management

Geographic Information Systems: agriculture, environmental protection,  
disaster management, tourism,...

Communication Networks: mobile, P2P, cloud, selfish users,...

## Conclusion:

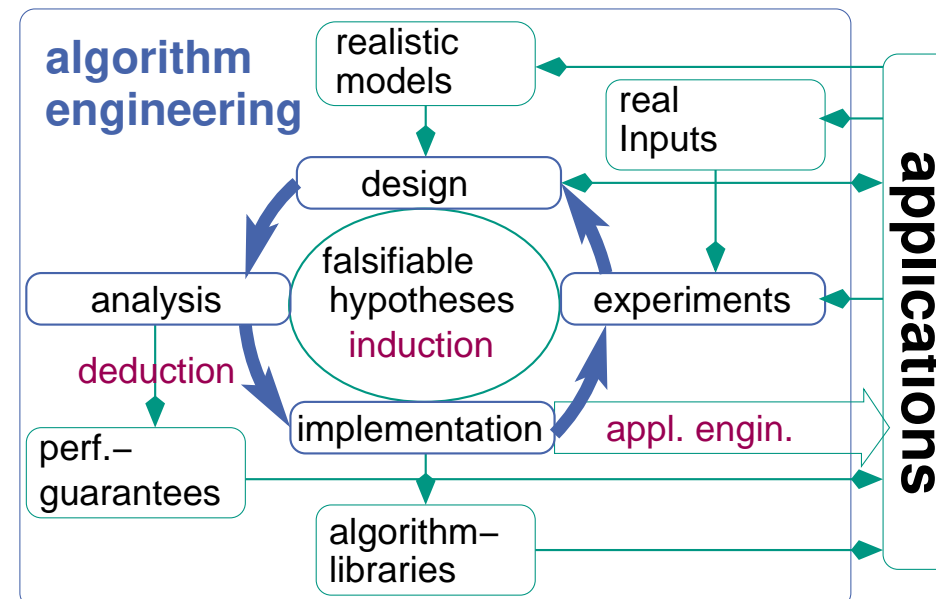
# Algorithm Engineering $\leftrightarrow$ Algorithm Theory

- algorithm engineering is a wider view on algorithmics  
(but no revolution. None of the ingredients is really new)
- rich methodology
- better coupling to applications
- experimental algorithmics  $\ll$  algorithm engineering
- algorithm theory  $\subset$  algorithm engineering
- sometimes different theoretical questions
- algorithm theory may still yield the strongest, deepest and most persistent results within algorithm engineering

# More On Experimental Methodology

## Scientific Method:

- Experiment need a possible outcome that **falsifies** a hypothesis
- Reproducible
  - keep data/code for at least 10 years
    - + documentation (aka laboratory journal (Laborbuch))
  - clear and detailed description in papers / TRs
  - share instances and code



# Quality Criteria

- Beat the state of the art, globally – (not your own toy codes or the toy codes used in your community!)
- Clearly demonstrate this !
  - both codes use same data ideally from accepted benchmarks (not just your favorite data!)
  - comparable machines or fair (conservative) scaling
  - Avoid uncomparabilities like:  
“Yeah we have worse quality but are twice as fast”
  - real world data wherever possible
  - as much different inputs as possible
  - its fine if you are better just on some (important) inputs

# Not Here but Important

- describing the setup
- finding sources of measurement errors
- reducing measurement errors (averaging, median, unloaded machine...)
- measurements in the **creative** phase of experimental algorithmics.

# The Starting Point

- (Several) Algorithm(s)
- A few quantities to be measured: time, space, solution quality, comparisons, cache faults,... There may also be **measurement errors**.
- An unlimited number of potential inputs.  $\rightsquigarrow$  condense to a few characteristic ones (size,  $|V|$ ,  $|E|$ , ... or problem instances from applications)

Usually there is not a lack but an **abundance** of data  $\neq$  many other sciences

# The Process

Waterfall model?

1. Design
2. Measurement
3. Interpretation

Perhaps the paper should at least look like that.

# The Process

- Eventually stop asking questions (Advisors/Referees listen !)
- build measurement tools
- automate (re)measurements
- Choice of Experiments driven by risk and opportunity
- Distinguish mode

explorative: many different parameter settings, interactive, short turnaround times

consolidating: many large instances, standardized measurement conditions, batch mode, many machines

# Of Risks and Opportunities

Example: Hypothesis = my algorithm is the best

big risk: untried main competitor

small risk: tuning of a subroutine that takes 20 % of the time.

big opportunity: use algorithm for a new application

~~~ new input instances

# Überblick

## Einleitung

Randomisierter Vergleich von Objekten

Randomisierter Quicksort revisited

Chernoff-Schranken

Auswertung von Und-Oder-Bäumen

Erzeugung zufälliger Graphen

# Sichtweisen für randomisierte Algorithmen

Erweiterung des Begriffs eines deterministischen Algorithmus:

- ▶ neuer *algorithmischer Elementarschritt*  
Beschaffung eines zufälligen Wertes  
 $\text{RANDINT}(c : \mathbb{N})$  liefere  
zufällig gleichverteilt eine ganze Zahl  $x \in \{0, 1, \dots, c - 1\}$

alternative Sichtweisen (nicht in dieser Vorlesung)

- ▶ „quantifizierter Nichtdeterminismus“  
mit (schönen!) Wahrscheinlichkeiten
- ▶ zufällige Auswahl eines deterministischen Algorithmus

# Fundamentale Änderung

Mehrere Ausführungen

des *gleichen* randomisierten Algorithmus  
für die *gleiche* Eingabe

können verschieden sein!

# Beispiel: Randomisierter Quicksort

RANDQS( $s$ )      mit  $s = \langle e_0, \dots, e_{n-1} \rangle$

- 1    **if**  $n \leq 1$
- 2        **then return**  $s$
- 3         $i \leftarrow \text{RANDINT}(n); pvt \leftarrow e_i$
- 4         $a \leftarrow \langle e \in s : e < pvt \rangle$
- 5         $b \leftarrow \langle e \in s : e = pvt \rangle$
- 6         $c \leftarrow \langle e \in s : e > pvt \rangle$
- 7        **return** CONCAT(RANDQS( $a$ ),  $b$ , RANDQS( $c$ ))

# Zufallsvariablen überall

Selbst für eine einzelne festgehaltene Eingabe sind

- ▶ die benötigte Laufzeit
- ▶ der benötigte Speicherplatz
- ▶ das berechnete Ergebnis

*Zufallsvariablen.*

# Erinnerung an W-Theorie

- ▶  $\Omega$  Menge der *Elementarereignisse*
- ▶  $E \subseteq 2^\Omega$  Menge von *Ereignissen* ( $\sigma$ -Algebra)
  - ▶ *diskrete*  $\sigma$ -Algebra:  $E = 2^\Omega$  und  $|\Omega| \leq |\mathbb{N}|$
- ▶ *W-Maß*  $\Pr : E \rightarrow$  ( $\sigma$ -additiv,  $\Pr[\Omega] = 1$ )
- ▶ *Zufallsvariable*  $X : \Omega \rightarrow \mathbb{R}$  mit Eigenschaften ...  
(erfüllt, falls  $\sigma$ -Algebra diskret)
- ▶ Schreibweisen  $\Pr[X \leq x]$  statt  $\Pr[\{\omega \mid X(\omega) \leq x\}]$   
 $\Pr[X = x]$  statt  $\Pr[\{\omega \mid X(\omega) = x\}]$

# Standardbeispiel: Würfeln

- ▶  $\Omega = \{\boxed{1}, \boxed{2}, \boxed{3}, \boxed{4}, \boxed{5}, \boxed{6}\}$
- ▶  $E = 2^\Omega$  diskret
  - ▶ z. B.  $g = \{\boxed{2}, \boxed{4}, \boxed{6}\}$  «gerade Zahl gewürfelt»
- ▶ «fairer» Würfel:  
 $\forall \omega \in \Omega : \mathbf{Pr} [\omega] = 1/6$ 
  - ▶  $\mathbf{Pr} [g] = 1/2$
  - ▶ allgemein:  $\mathbf{Pr} [e] = |e|/6$
- ▶  $X(\omega) = \begin{cases} 0, & \text{falls } \omega \text{ Produkt zweier Primfaktoren} \\ 1, & \text{sonst} \end{cases}$ 
  - ▶ z. B.  $\mathbf{Pr} [X = 1] = 2/3$

## Erinnerung an W-Theorie (2)

- ▶ Zufallsvariable  $X : \Omega \rightarrow \mathbb{R}$ , nur abzählbar viele  $X(\omega) \neq 0$
- ▶ *Erwartungswert* von  $X$ :  $\mathbf{E}[X] = \sum_{x \in \mathbb{R}} x \cdot \mathbf{Pr}[X = x]$   
(falls das absolut konvergiert)
- ▶ immer:  $\mathbf{E}[X + Y] = \mathbf{E}[X] + \mathbf{E}[Y]$
- ▶ *unabhängige* ZV: für alle  $x, y \in \mathbb{R}$ :  
$$\mathbf{Pr}[X = x \wedge Y = y] = \mathbf{Pr}[X = x] \cdot \mathbf{Pr}[Y = y]$$
- ▶ falls  $X, Y$  unabhängig:  $\mathbf{E}[X \cdot Y] = \mathbf{E}[X] \cdot \mathbf{E}[Y]$
- ▶ *Indikator-ZV*: 0 und 1 einzige mögliche Funktionswerte

# Standardbeispiel: Würfeln

- ▶  $\Omega = \{\boxed{1}, \boxed{2}, \boxed{3}, \boxed{4}, \boxed{5}, \boxed{6}\}$
- ▶  $E = 2^\Omega$
- ▶ Indikator-ZV  $X(\omega) = 1$ , falls  $\omega$  prim
- ▶ Indikator-ZV  $Y(\omega) = 1$ , falls  $\omega$  gerade
- ▶  $X$  und  $Y$  *nicht* unabhängig:

$$\Pr [X = 1] = 1/2$$

$$\Pr [Y = 1] = 1/2$$

$$\Pr [X = 1] \cdot \Pr [Y = 1] = 1/4$$

$$\Pr [X = 1 \wedge Y = 1] = 1/6$$

# Beispiel: Ausführung randomisierter Algorithmen

zu randomisiertem Algorithmus  $R$  und Eingabe  $x$

- ▶  $\Omega = \{\text{«Programmlauf}» \text{ von } R \text{ für Eingabe } x\}$ 
  - ▶ Programmlauf: Folge der durchlaufenen globalen Speicherzustände
- ▶  $E = 2^\Omega$
- ▶ Beispiele möglicher Zufallsvariablen:
  - ▶  $X(\text{Prog.lauf}) = \text{Anzahl Schritte}$
  - ▶  $X(\text{Prog.lauf}) = \text{Ausgabe}$

# Algorithmen mit unbekannter Laufzeit

- ▶ Will man das?
- ▶ «Wie unbekannt?»
  - ▶ *Quantifizierung?*

# Algorithmen, die «variierende Ausgaben» liefern

- ▶ vielleicht erträglich bei Optimierungsproblemen
  - ▶ *Quantifizierung?*
- ▶ Erzeugung «zufälliger Objekte»
  - ▶ *Eigenschaften?*

# Algorithmen, die «falsche Ausgaben» liefern

- ▶ Will man das?
- ▶ Schlägt in diesem Hörsaal gleich ein Meteorit ein?
- ▶ Ist  $2^{400} - 593$  die größte Primzahl kleiner als  $2^{400}$ ?
- ▶ Soll die Ampel jetzt auf grün schalten?
  
- ▶ *Fehlerwahrscheinlichkeit?*

# Vorteile randomisierter Algorithmen

Sie sind manchmal

- ▶ leichter zu formulieren und zu implementieren
- ▶ «schneller»
- ▶ «besser»
- ▶ die einzige Möglichkeit

# Vorteile randomisierter Algorithmen

Sie sind manchmal

- ▶ leichter zu formulieren und zu implementieren
- ▶ «schneller»
- ▶ «besser»
- ▶ die einzige Möglichkeit

Aber: Man zahlt einen Preis!

# Überblick

Einleitung

Randomisierter Vergleich von Objekten

Randomisierter Quicksort revisited

Chernoff-Schranken

Auswertung von Und-Oder-Bäumen

Erzeugung zufälliger Graphen

# Motivation

auch wenn sie unrealistisch ist ...

- ▶ gegeben: Listen  $\langle e_1, \dots, e_n \rangle$  und  $\langle a_1, \dots, a_n \rangle$ 
  - ▶ die Werte seien Elemente eines Körpers  $\mathbb{F}$
  - ▶ z. B. Ein- und Ausgabe eines (Sortier?)Algorithmus
- ▶ Frage: Beinhaltet die Listen die gleichen Elemente?
- ▶ naiver Algorithmus: quadratische Laufzeit

# Polynome

- ▶ definiere  $e(z) = \prod_{i=1}^n (z - e_i)$  und  $a(z) = \prod_{i=1}^n (z - a_i)$ 
  - ▶ Ist  $e(z) - a(z)$  das Nullpolynom?

# Polynome

- ▶ definiere  $e(z) = \prod_{i=1}^n (z - e_i)$  und  $a(z) = \prod_{i=1}^n (z - a_i)$ 
  - ▶ Ist  $e(z) - a(z)$  das Nullpolynom?
- ▶ Algorithmus

$c \leftarrow$  zufällig gleichverteilt  $\in \mathbb{F}$

$y \leftarrow e(c) - a(c)$

**if**  $y = 0$

**then return** « $e = a$ »

**else return** « $e \neq a$ »

# Polynome

- ▶ definiere  $e(z) = \prod_{i=1}^n (z - e_i)$  und  $a(z) = \prod_{i=1}^n (z - a_i)$ 
  - ▶ Ist  $e(z) - a(z)$  das Nullpolynom?
- ▶ Algorithmus

$c \leftarrow$  zufällig gleichverteilt  $\in \mathbb{F}$

$y \leftarrow e(c) - a(c)$

**if**  $y = 0$

**then return** « $e = a$ »

**else return** « $e \neq a$ »

- ▶ Fehlerwahrscheinlichkeit

$$\Pr [e(c) - a(c) = 0 \wedge e(z) - a(z) \text{ nicht Nullpolynom}] \leq \frac{n}{|\mathbb{F}|}$$

# Ausblick: polynomial identity testing

Verallgemeinerung auf Polynome mit mehreren Veränderlichen

- ▶ gegeben:  $P(z_1, \dots, z_n)$  und  $Q(z_1, \dots, z_n)$   
Frage: Ist  $P = Q$ ?
- ▶ dafür gibt es Anwendungen
- ▶ Idee von eben anpassbar
- ▶ kein deterministischer Polynomialzeit-Algorithmus bekannt!
  - ▶ man multipliziere  $\prod_{i=1}^{n-1} (z_i + z_{i+1})$  aus ... oder nicht ...

# Überblick

Einleitung

Randomisierter Vergleich von Objekten

Randomisierter Quicksort revisited

Chernoff-Schranken

Auswertung von Und-Oder-Bäumen

Erzeugung zufälliger Graphen

# Randomisierter Quicksort

RANDQS( $s$ )      mit  $s = \langle e_0, \dots, e_{n-1} \rangle$ ,  $e_i$  paarweise verschieden

```
1  if  $n \leq 1$ 
2  then return  $s$ 
3   $i \leftarrow \text{RANDINT}(n)$ ;  $pvt \leftarrow e_i$ 
4   $a \leftarrow \langle e \in s : e < pvt \rangle$ 
5   $b \leftarrow \langle e \in s : e = pvt \rangle$ 
6   $c \leftarrow \langle e \in s : e > pvt \rangle$ 
7  return CONCAT(RANDQS( $a$ ),  $b$ , RANDQS( $c$ ))
```

# randQS: Anzahl Vergleiche

Erwartungswert (aus Algorithmen 1)

- ▶ es sei  $\text{RANDQS}(e_1, \dots, e_n) = (a_1, \dots, a_n)$
- ▶ Laufzeit-Analyse nutzt

$$X_{ij} = \begin{cases} 1, & \text{falls } a_i \text{ und } a_j \text{ miteinander verglichen} \\ 0, & \text{sonst} \end{cases}$$

- ▶ Anzahl Vergleiche =  $\mathbf{E} [\sum_{i < j} X_{ij}]$ :

$$\begin{aligned} \mathbf{E} \left[ \sum_{i < j} X_{ij} \right] &= \sum_{i < j} \mathbf{E} [X_{ij}] \\ &= \sum_{i < j} \mathbf{Pr} [X_{ij} = 1] = \sum_{i < j} \frac{2}{j - i + 1} \leq 2n \ln n \end{aligned}$$

# randQS: Anzahl Vergleiche (2)

mit hoher Wahrscheinlichkeit wie klein?

- ▶ Anzahl Vergleiche immer zwischen  $n \ln n$  und  $n^2$
- ▶ erwartete Laufzeit in  $\Theta(n \ln n)$ .
- ▶ zufrieden?

# randQS: Anzahl Vergleiche (2)

mit hoher Wahrscheinlichkeit wie klein?

- ▶ Anzahl Vergleiche immer zwischen  $n \ln n$  und  $n^2$
- ▶ erwartete Laufzeit in  $\Theta(n \ln n)$ .
- ▶ zufrieden?
- ▶ Wahrscheinlichkeit für Laufzeit «nahe am Erwartungswert»  
z. B.  $\leq 28n \ln n$ ?

# randQS: Anzahl Vergleiche mit hoher Wkt.

- ▶  $e_i$  beliebiges Element
- ▶  $L_j$  Liste auf Rekursionsstufe  $j$ , die  $e_i$  enthält
- ▶ Zufallsvariable  $Y_j$

$$Y_j = \begin{cases} 1, & \text{falls } \frac{1}{4}|L_j| \leq |L_{j+1}| \leq \frac{3}{4}|L_j| \\ 0, & \text{sonst} \end{cases}$$

- ▶  $\mathbf{E}[Y_j] = \mathbf{Pr}[Y_j = 1] = \frac{1}{2}$
- ▶ die  $Y_j$  sind unabhängig voneinander

## randQS: Anzahl Vergleiche mit hoher Wkt.

- ▶  $Y_j = 1$  falls  $\frac{1}{4}|L_j| \leq |L_{j+1}| \leq \frac{3}{4}|L_j|$
- ▶ nenne Rekursionsstufe *erfolgreich*, falls  $Y_j = 1$
- ▶ wenn  $r$  von  $k$  Stufen erfolgreich, dann  $|L_k| \leq \left(\frac{3}{4}\right)^r n$
- ▶ setze  $r = 3.5 \ln n$ , denn

$$r = 3.5 \ln n \implies \ln n \leq r \ln \frac{4}{3} \implies n \leq \left(\frac{4}{3}\right)^r$$

$$\implies \left(\frac{3}{4}\right)^r n \leq 1 \implies |L_k| \leq 1$$

- ▶ nach  $r$  erfolgreichen Stufen ist  $e_i$  in einelementiger Liste

# randQS: Anzahl Vergleiche mit hoher Wkt.

- ▶ sei nun  $k = 8r = 28 \ln n$
- ▶  $Y = \sum_{j=1}^k Y_j, \mathbb{E}[Y] = k/2$
- ▶  $e_i$  höchstens dann *nicht* in einelementiger Liste, falls  $Y < r$
- ▶ Wie groß ist  
 $\Pr[Y < r] = \Pr\left[Y < \frac{k}{8}\right] = \Pr\left[Y < (1 - \frac{3}{4})\mathbb{E}[Y]\right]?$
- ▶ gleich *Chernoff-Schranken*  
liefern z. B.  $\Pr[Y < r] \leq e^{-\frac{k}{4} \cdot (\frac{3}{4})^2} = n^{-63/16}$
- ▶ nach  $k$  Rekursionsstufen
  - ▶ Wkt. ein bestimmtes  $e_i$  nicht in Einerliste:  $\leq n^{-63/16}$
  - ▶ Wkt. mindestens ein  $e_i$  nicht in Einerliste:  
 $\leq n \cdot n^{-63/16} = n^{-47/16}$

# randQS: Anzahl Vergleiche mit hoher Wkt.

- ▶  $k = 8r = 28 \ln n$
- ▶ nach  $k$  Rekursionsstufen
  - ▶ Wkt. ein bestimmtes  $e_i$  nicht in Einerliste:  $\leq n^{-63/16}$
  - ▶ Wkt. mindestens ein  $e_i$  nicht in Einerliste:  
 $\leq n \cdot n^{-63/16} = n^{-47/16}$
- ▶ mit Wkt.  $1 - n^{-47/16}$  nach  $k = 28 \ln n$  Rekursionsstufen  
*alle* Elemente in Einerlisten
- ▶ mit Wkt.  $1 - n^{-47/16}$  reichen  $28n \ln n$  Vergleiche

# Überblick

Einleitung

Randomisierter Vergleich von Objekten

Randomisierter Quicksort revisited

Chernoff-Schranken

Auswertung von Und-Oder-Bäumen

Erzeugung zufälliger Graphen

# Einfache Schranken

## Markov- und Chebyshev-Ungleichung

- ▶ **Markov-Ungleichung:** ZV  $Y \geq 0$ , Erwartungswert  $\mu_Y$ .  
Dann gilt für alle  $t, k \in \mathbb{R}_+$ :

$$\Pr [Y \geq t] \leq \frac{\mu_Y}{t} \quad \text{bzw.} \quad \Pr [Y \geq k\mu_Y] \leq \frac{1}{k}$$

- ▶ **Chebyshev-Ungleichung:** ZV  $X$  mit  
Erwartungswert  $\mu_X$ , Standardabweichung  $\sigma_X$ .  
Dann gilt für alle  $t \in \mathbb{R}_+$ :

$$\Pr [|X - \mu_X| \geq t\sigma_X] \leq \frac{1}{t^2} \quad \text{bzw.} \quad \Pr [|X - \mu_X| \geq t] \leq \frac{\sigma_X^2}{t^2}$$

# Chernoff-Schranken

Es seien

- ▶  $X_1, \dots, X_n$  *unabhängige 0-1-ZV* mit  $\Pr [X_i = 1] = p_i$
- ▶  $X = \sum_{i=1}^n X_i$  und  $\mu = \mathbb{E}[X] = \sum p_i$

Dann gilt

- ▶ für alle  $0 \leq \delta$ :

$$\Pr [X \geq (1 + \delta)\mu] \leq \left( \frac{e^\delta}{(1 + \delta)^{(1+\delta)}} \right)^\mu$$

- ▶ für alle  $1 > \delta \geq 0$  also  $0 < 1 - \delta \leq 1$ :

$$\Pr [X \leq (1 - \delta)\mu] \leq \left( \frac{e^{-\delta}}{(1 - \delta)^{(1-\delta)}} \right)^\mu$$

# Chernoff-Schranken: Beweis von Teil 1

- sei  $t$  positiv; Markov-Ungleichung liefert:

$$\Pr [X \geq (1 + \delta)\mu] = \Pr \left[ e^{tX} \geq e^{t(1+\delta)\mu} \right] \leq \frac{\mathbb{E} [e^{tX}]}{e^{t(1+\delta)\mu}}$$

- mit den  $X_i$  sind auch die  $e^{tX_i}$  unabhängig:

$$\mathbb{E} [e^{tX}] = \mathbb{E} [e^{t \sum X_i}] = \mathbb{E} [\prod e^{tX_i}] = \prod \mathbb{E} [e^{tX_i}]$$

- $\mathbb{E} [e^{tX_i}] = p_i \cdot e^t + (1 - p_i) \cdot 1 = 1 + p_i(e^t - 1) \leq e^{p_i(e^t - 1)}$

- $\Pr [X \geq (1 + \delta)\mu] \leq \frac{\prod e^{p_i(e^t - 1)}}{e^{t(1+\delta)\mu}} = \frac{e^{\sum p_i(e^t - 1)}}{e^{t(1+\delta)\mu}}$

$$= \frac{e^{\mu(e^t - 1)}}{e^{t(1+\delta)\mu}} = \left( \frac{e^{(e^t - 1)}}{e^{t(1+\delta)}} \right)^\mu$$

- wähle  $t = \ln(1 + \delta)$  (positiv!)

# Chernoff-Schranken: Vereinfachungen

- ▶ statt  $\left(\frac{e^\delta}{(1\pm\delta)^{(1\pm\delta)}}\right)^\mu$  betrachte  $f(\delta) = \delta - (1 \pm \delta) \ln(1 \pm \delta)$
- ▶ je nach Bereich, aus dem  $\delta$  stammt,  
kann man  $f(\delta)$  nach oben abschätzen in der Form  $-\delta^2/c$

# Chernoff-Schranken: Korollare

obige Abschätzungen manchmal etwas unhandlich  
diverse Vereinfachungen, unter anderem:

- ▶ Für  $1 > \delta \geq 0$  gilt:

$$\Pr [X \leq (1 - \delta)\mu] \leq \left( \frac{e^{-\delta}}{(1 - \delta)^{(1-\delta)}} \right)^\mu \leq e^{-\delta^2\mu/2}$$

# Überblick

Einleitung

Randomisierter Vergleich von Objekten

Randomisierter Quicksort revisited

Chernoff-Schranken

Auswertung von Und-Oder-Bäumen

Erzeugung zufälliger Graphen

# Und-Oder-Bäume

$T_k$  vollständiger binärer Baum der Höhe  $2k$

- ▶ innere Knoten abwechselnd mit “ $\wedge$ ” und “ $\vee$ ” markiert
- ▶ Wurzel von  $T_1$  ist  $\wedge$ -Knoten mit zwei  $\vee$ -Knoten als Nachfolger
- ▶ Jeder dieser Knoten hat zwei Blätter als Nachfolger.
- ▶  $T_k$  entsteht aus  $T_1$ , indem die Blätter durch Kopien von  $T_{k-1}$  ersetzt werden
  
- ▶  $T_k$  hat  $n = 4^k$  Blätter
- ▶ im folgenden  $x_1, \dots, x_{4^k}$  genannt

# Auswertung von Und-Oder-Bäumen

- ▶ boolesche Werte an allen Blättern
  - ~› boolscher Wert für Wurzel (und andere innere Knoten)
    - ▶ (für die naheliegende Definition von Auswertung ...)
- ▶ Problem:
  - ▶ gegeben: Werte  $x_1, \dots, x_n$  an den Blättern
  - ▶ gesucht: Wert  $T_k(x_1, \dots, x_n)$  der Wurzel
- ▶ Berechnung des Wurzelwertes „bottom up“ durch
  - ▶ Besuch aller  $n = 4^k$  Blätter und
  - ▶ Berechnung der Werte aller inneren Knoten möglich
- ▶ **Frage:** Geht es besser?

# Satz

Für jeden *deterministischen* Alg.  $A$  und jedes  $k \geq 1$  gilt:

- ▶ Es gibt eine Folge  $x_1, \dots, x_n$  von Bits so,  
dass  $A$  bei Berechnung von  $T_k(x_1, \dots, x_n)$   
*alle*  $n = 4^k$  Blätter besucht.

# Satz

Für jeden *deterministischen* Alg.  $A$  und jedes  $k \geq 1$  gilt:

- ▶ Es gibt eine Folge  $x_1, \dots, x_n$  von Bits so,  
dass  $A$  bei Berechnung von  $T_k(x_1, \dots, x_n)$   
*alle*  $n = 4^k$  Blätter besucht.
- ▶ Wert der Wurzel = Wert des zuletzt besuchten Blattes
- ▶ sowohl Wurzelwert = 0 als auch Wurzelwert = 1  
kann erzwungen werden

# Beweis

## Induktion über $k$

- ▶ Induktionsanfang  $k = 1$ :
  - ▶  $A$  muss mindestens ein Blatt besuchen, o. B. d. A.  $x_1$ .
  - ▶ setze  $x_1 = 0 \rightsquigarrow$  kein innerer Wert festgelegt
  - ▶  $A$  muss ein weiteres Blatt besuchen.
  - ▶ O. B. d. A. zwei Möglichkeiten:
    1. Zweites besuchtes Blatt ist  $x_2$ . Setze  $x_2 = 1$ .  
Damit nur Wert des  $\vee$ -Knotens klar, Wurzelwert nicht.  
 $A$  muss weiteres Blatt besuchen, o. B. d. A.  $x_3$ .  
Setze  $x_3 = 0$ .  $A$  muss  $x_4$  besuchen  $\rightsquigarrow$  Wurzelwert.
    2. Zweites besuchtes Blatt ist  $x_3$ . Setze  $x_3 = 0$ .  
Kein innerer Wert festgelegt  
 $A$  muss weiteres Blatt besuchen, o. B. d. A.  $x_2$ .  
Setze  $x_2 = 1$ .  $A$  muss  $x_4$  besuchen  $\rightsquigarrow$  Wurzelwert

## Beweis (2)

- ▶ Induktionsschritt  $k - 1 \rightsquigarrow k$ :
  - ▶ Fasse  $T_k$  als  $T_1$ -Baum auf, dessen Blätter durch  $T_{k-1}$ -Bäume ersetzt sind.
  - ▶ Bezeichne die „Blätter“ von  $T_1$  mit  $y_1, \dots, y_4$ .
  - ▶ Analog Induktionsanfang kann durch geeignete Wahl der  $y_i$  erzwungen werden, dass  $A$  alle 4 Werte ermitteln muss.
  - ▶ Induktionsvoraussetzung: für jeden  $T_{k-1}$ -Baum gibt es Blattwerte, die gewünschtes  $y_i$  liefern und erzwingen, dass  $A$  alle darunter liegenden Blätter besuchen muss.
  - ▶ Also muss  $A$  in diesem Fall alle Blätter überhaupt besuchen.

## Zwischenüberlegung

- ▶ Jede Liste  $x_1, \dots, x_{4^k}$  der Länge  $4^k = n$  enthält eine Teilfolge  $y_1, \dots, y_{2^k}$  der Länge  $2^k = \sqrt{n}$ , die schon den Wurzelwert festlegt!
  - ▶ Beweis: Induktion ...
- ▶ aber deterministisch manchmal *alle* Knoten benötigt
- ▶ «Die  $y_i$  sind schwer zu finden.»
- ▶ Ausweg Randomisierung ... ? ...

# Algorithmus: randomisierte UOB-Auswertung

## Algorithmus: randomisierte UOB-Auswertung

```
proc AndNodeEval( $T$ )
if IsLeaf( $T$ ) then
    return value( $T$ )
<andernfalls:>
 $T' \leftarrow \langle$  zufälliger  $T$ -U.baum  $\rangle$ 
 $r \leftarrow$  OrNodeEval( $T'$ )
if  $r = 0$  then
    return 0
else
     $T'' \leftarrow \langle$  and.  $T$ -U.baum  $\rangle$ 
    return OrNodeEval( $T''$ )
fi
```

```
proc OrNodeEval( $T$ )
 $T' \leftarrow \langle$  zufälliger  $T$ -U.baum  $\rangle$ 
 $r \leftarrow$  AndNodeEval( $T'$ )
if  $r = 1$  then
    return 1
else
     $T'' \leftarrow \langle$  and.  $T$ -U.baum  $\rangle$ 
    return AndNodeEval( $T''$ )
fi
```

*AndNodeEval(root)*

# Satz

Für die randomisierte Auswertung von UOB gilt:

Für jede Folge  $x_1, \dots, x_{4^k}$

ist Erwartungswert für die Anzahl besuchter Blätter  
 $\leq 3^k = n^{\log_4 3} \approx n^{0.792\dots}$ .

(Das ist übrigens beweisbar optimal.)

# Beweis

## Induktion

- ▶  $E$ : ein Erwartungswert für die Anzahl besuchter Blätter
- ▶ Induktionsanfang  $k = 1$ : Überprüfen aller 16 möglichen Kombinationen  $x_1, \dots, x_4$ . Z. B. 0100 (Rest analog):
  1. Falls erst linker Teilbaum: gleich wahrscheinlich wird erst und nur die 1 oder erst die 0 und dann die 1 besucht, anschließend im rechten Teilbaum beide Blätter.  
$$E = 1/2 \cdot 1 + 1/2 \cdot 2 + 2 = 7/2.$$
  2. Falls erst rechter Teilbaum; nach Besuch beider Blätter klar: der  $T_1$ -Baum den liefert Wert 0.  
$$E = 2.$$

Beide Fälle gleich wahrscheinlich, also insgesamt  
$$E = 1/2 \cdot 7/2 + 1/2 \cdot 2 = 11/4 < 3 (= 3^1 = 3^k).$$

## Beweis (2)

Induktionsschritt  $k - 1 \rightsquigarrow k$ :

- ▶ Betrachte zunächst  $\vee$ -Knoten mit zwei  $T_{k-1}$ -Bäumen darunter. Zwei Fälle:
  - O1.  $\vee$ -Knoten wird 1 liefern:
    - ▶ Dann muss mindestens ein  $T_{k-1}$ -Baum dies auch tun.
    - ▶ Mit Wahrscheinlichkeit  $p \geq 1/2$  wird ein Unterbaum untersucht, der 1 liefert.
    - ▶ Mit Wahrscheinlichkeit  $1 - p \leq 1/2$  werden beide Unterbäume untersucht.
    - ▶  $E \leq p \cdot 3^{k-1} + (1 - p) \cdot 2 \cdot 3^{k-1} = (2 - p) \cdot 3^{k-1} \leq 3/2 \cdot 3^{k-1}$ .
  - O2. Der  $\vee$ -Knoten wird 0 liefern:
    - ▶ Dann müssen beide  $T_{k-1}$ -Bäume dies auch tun.
    - ▶ Nach Induktionsvoraussetzung  $E \leq 2 \cdot 3^{k-1}$  ist.

## Beweis (3)

Induktionsschritt  $k - 1 \rightsquigarrow k$ : Teil 2a

- ▶ Betrachte Wurzel des  $T_k$ -Baumes mit zwei eben untersuchten Bäumen darunter. Zwei Fälle:

**U1.** Der  $\wedge$ -Knoten wird 0 liefern:

- ▶ Dann muss mindestens ein U.baum dies auch tun.
- ▶ Mit Wahrscheinlichkeit  $p \geq 1/2$  wird ein Unterbaum untersucht, der 0 liefert.
- ▶ Mit Wahrscheinlichkeit  $1 - p \leq 1/2$  werden beide Unteräume untersucht.
- ▶ Gemäß O1 und O2 ist folglich

$$\begin{aligned} E &\leq p \cdot 2 \cdot 3^{k-1} + (1 - p) \cdot (3/2 \cdot 3^{k-1} + 2 \cdot 3^{k-1}) \\ &= 7/2 \cdot 3^{k-1} - p \cdot 3/2 \cdot 3^{k-1} \\ &\leq 11/4 \cdot 3^{k-1} \\ &\leq 3^k \end{aligned}$$

## Beweis (4)

Induktionsschritt  $k - 1 \rightsquigarrow k$ : Teil 2b

- ▶ Betrachte Wurzel des  $T_k$ -Baumes mit zwei eben untersuchten Bäumen darunter. Fall:
  - U2. Der  $\wedge$ -Knoten wird 1 liefern:
    - ▶ Dann müssen beide Unteräume dies auch tun.
    - ▶ Gemäß O1 ist daher  $E \leq 2 \cdot 3/2 \cdot 3^{k-1} \leq 3^k$ .

# Überblick

Einleitung

Randomisierter Vergleich von Objekten

Randomisierter Quicksort revisited

Chernoff-Schranken

Auswertung von Und-Oder-Bäumen

Erzeugung zufälliger Graphen

# Erdős-Rényi-Zufallsgraphen

$G(n, p)$

```
1    $V \leftarrow \{1, \dots, n\}$ 
2    $E \leftarrow \{\}$ 
3   for  $i \leftarrow 1$  to  $n - 1$  do
4       for  $j \leftarrow i + 1$  to  $n$  do
5           with probability  $p$ : add edge  $\{i, j\}$  to  $E$ 
6   return  $(V, E)$ 
```

mitunter:  $p$  von  $n$  abhängig, z. B.  $p = p(n) = \frac{\ln n}{n}$

# ER-Graphen: einfache Beobachtungen

- ▶ Wkt. für bestimmten Graphen mit  $n$  Knoten und  $m$  Kanten:  
 $p^m(1 - p)^{\binom{n}{2} - m}$ 
  - ▶  $p = 1/2$ ,  $n$  fest: alle Graphen gleichwahrscheinlich
- ▶ erwartete Anzahl Kanten:  $p\binom{n}{2}$
- ▶ erwarteter Knotengrad:  $p(n - 1)$
- ▶ Wkt.  $g_d$  für Knotengrad  $d$ 
  - ▶  $\binom{n-1}{d}$  mögliche «Nachbarmengen»
  - ▶ jede passiert mit Wkt.  $p^d(1 - p)^{n-1-d}$
  - ▶ insgesamt  $g_d = \binom{n-1}{d}p^d(1 - p)^{n-1-d}$   
Binomialverteilung

# Manchmal interessieren sehr große $n$ – und asymptotische Eigenschaften

- ▶ mitunter interessant:  $n \rightarrow \infty$
- ▶ *monotone increasing property  $\mathcal{P}$* 
  - ▶ Hinzufügen von Kanten erhält die Eigenschaft
  - ▶ nichttrivial (leerer Graph: nein, vollständiger Graph: ja)
- ▶  $p^*(n)$  ist *Grenzfunktion*, falls
$$\lim_{n \rightarrow \infty} \Pr [G(n, p) \text{ hat } \mathcal{P}] = \begin{cases} 0, & \text{falls } \lim_{n \rightarrow \infty} p(n)/p^*(n) = 0 \\ 1, & \text{falls } \lim_{n \rightarrow \infty} p(n)/p^*(n) = \infty \end{cases}$$
- ▶ «*Phasenübergang*»
  - ▶ passiert für jede monotone increasing property

# Manchmal interessieren sehr große $n$ – und asymptotische Eigenschaften

- $p^*(n)$  ist *scharfe* Grenzfunktion, falls für jedes  $\varepsilon > 0$  gilt:

$$\lim_{n \rightarrow \infty} \Pr [G(n, p) \text{ hat } \mathcal{P}] = \begin{cases} 0, & \text{falls } p(n)/p^*(n) \leq 1 - \varepsilon \\ 1, & \text{falls } p(n)/p^*(n) \geq 1 + \varepsilon \end{cases}$$

- existiert *nicht* für jede monotone increasing property

# ER-Graphen: Durchmesser $\leq 2$

- ▶  $\mathcal{D} = \text{«hat Durchmesser } \leq 2\text{»}$  ist monotone increasing property
- ▶ **Satz**  $p(n) = \sqrt{2} \sqrt{\frac{\ln n}{n}}$  ist scharfe Grenzfunktion für  $\mathcal{D}$ .
- ▶  $X_{ij} = \begin{cases} 1, & \text{falls Abstand zwischen } i \text{ und } j \text{ größer 2} \\ 0, & \text{sonst} \end{cases}$
- ▶ betrachte  $X = \sum X_{ij}$ 
  - ▶ Durchmesser  $\leq 2$  genau dann, wenn  $X = 0$
- ▶  $\lim_{n \rightarrow \infty} \mathbf{E}[X] = ?$
- ▶  $\mathbf{E}[X] = \binom{n}{2}(1-p)(1-p^2)^{n-2}$

# ER-Graphen: Durchmesser $\leq 2$

- ▶  $\mathbb{E}[X] = \binom{n}{2}(1-p)(1-p^2)^{n-2}$
- ▶ setze  $p = c\sqrt{\frac{\ln n}{n}}$
- ▶ dann
 
$$\begin{aligned} \mathbb{E}[X] &= \frac{n(n-1)}{2} \left(1 - c\sqrt{\frac{\ln n}{n}}\right) \left(1 - c^2 \frac{\ln n}{n}\right)^{n-2} \\ &\leq \frac{n^2}{2} \left(1 - \frac{c^2 \ln n}{n}\right)^n \end{aligned}$$

$$\lim_{n \rightarrow \infty} \mathbb{E}[X] = \frac{n^2}{2} e^{-c^2 \ln n} = \frac{1}{2} n^{2-c^2}$$
- ▶  $c > \sqrt{2} \implies \lim_{n \rightarrow \infty} \mathbb{E}[X] = 0 \quad (c < \sqrt{2} \text{ nicht hier ...})$

# Zusammenhangskomponenten

Satz von Erdős- und Rényi

$t(n) = \frac{\ln n}{n}$  ist Grenzfunktion für Abwesenheit isolierter Knoten:

- ▶ Wenn  $\lim_{n \rightarrow \infty} p(n)/t(n) = 0$ ,  
dann geht Wkt. für Existenz isolierter Knoten gegen 1
- ▶  $\lim_{n \rightarrow \infty} p(n)/t(n) \rightarrow \infty$ ,  
dann hat ER-Graph mit hoher Wkt. keine isolierten Knoten  
und sogar nur eine Zusammenhangskomponente.

# Zusammenhangskomponenten

## weitere Ergebnisse

- ▶ wenn  $np < 1$ ,  
dann fast nie Zhk. größer als  $O(\log n)$
- ▶ wenn  $np = 1$ ,  
dann fast immer Zhk. größer als  $O(\log n)$
- ▶ wenn  $np \rightarrow c > 1$ ,  
dann fast immer eindeutige riesige Zhk., alle anderen nur  
 $O(\log n)$  groß
- ▶ wenn  $np > (1 + \varepsilon) \ln n$  ( $\varepsilon > 0$ ),  
dann fast immer eine Zhk. der Größe  $n$

## Erwartet konstanter Knotengrad

- ▶  $p(n-1) = c$  konstant  $\rightsquigarrow p(n) = \frac{c}{n-1}$
- ▶ dann für  $n \rightarrow \infty$

$$\begin{aligned} g_d &= \binom{n-1}{d} p^d (1-p)^{n-1-d} \\ &= \frac{(n-1)!}{(n-1-d)! d!} \left(\frac{c}{n-1}\right)^d \left(1 - \frac{c}{n-1}\right)^{n-1-d} \\ &\approx \frac{(n-1-d)! \prod_{i=1}^d (n-i)}{(n-1-d)! (n-1)^d} \cdot \frac{c^d}{d!} \cdot e^{-c} \\ &\approx \frac{c^d}{d!} e^{-c} \quad \text{Poisson-Verteilung} \end{aligned}$$

- ▶ große Graphen aus der Realität haben andere Verteilung ...

# Andere Anforderungen?

- ▶ z. B. so genannte skalenfreie Netzwerke «scale-free graphs»
- ▶ **Skalenfreiheit:** Anteil der Knoten mit Grad  $d$   
«etwa proportional» zu  $d^{-\alpha}$  für ein  $\alpha > 0$ 
  - ▶ in Graphen aus der Realität beobachtbar
  - ▶ ER-Graphen im allgemeinen *nicht* skalenfrei
- ▶ Barabási-Albert Modell:  $\alpha = 3$

## Barabási-Albert Modell

- ▶ beginne mit einem «kleinen» zusammenhängenden Graphen  $G_{m_0}$  mit  $m_0$  Knoten
- ▶ wähle  $m < m_0$
- ▶ aus  $G_i$  erzeuge Graphen  $G_{i+1}$  so
  - ▶  $V_{i+1} = V_i \cup \{v_{i+1}\}$       neuer Knoten
  - ▶ wähle zufällig  $m$  Kanten  $\{v_{i+1}, v_j\}$  mit  $j \leq i$   
wobei  $v_j$  gewählt mit Wkt. proportional zu seinem Grad in  $G_i$
  - ▶ «preferential attachment»

# Überblick

Einleitung

**NP-harte Probleme**

Job Scheduling

Allgemeines TSP nur schwer  $\alpha$ -approximierbar

Metrisches TSP ist leicht approximierbar

KNAPSACK

# Suchprobleme

- ▶ für jede Probleminstanz  $I \in M_I$  gibt es Menge  $M_S(I)$  möglicher Lösungen  $S \in M_S(I)$
- ▶ **Zielfunktion**  $f : \bigcup_{I \in M_I} M_S(I) \rightarrow \mathbb{R}_+$
- ▶ **Minimierungsproblem:** für jedes  $I \in M_I$  existiere
  - ▶  $f^*(I) = \min\{f(S) \mid S \in M_S(I)\}$
  - ▶ gegeben:  $I$
  - ▶ gesucht:  $S$  mit  $f(S) = f^*(I)$
- ▶ **Maximierungsproblem:** analog

# Approximation bei Suchproblemen

- ▶ Lösungen  $S$  mit  $f(S) = f^*(I)$  sind oft schwer zu finden
  - ▶ z. B. **NP**-schwer

Auswege:

- ▶ naiv: alle möglichen Lösungen betrachten
  - ▶ oft zu aufwändig
- ▶ ad-hoc Heuristiken
  - ▶ Qualität der Antwort eventuell unklar
- ▶ *Approximationsalgorithmus A*
  - ▶  $f(A(I))$  «möglichst nahe an»  $f^*(I)$
  - ▶ *Optimierungsaufgabe*
  - ▶ gerne polynomielle Laufzeit
  - ▶ mit Garantie für Lösungsgüte

# Approximation bei «Zählproblemen»

- ▶ für jede Probleminstanz  $I \in M_I$  gibt es Menge  $M_S(I)$  möglicher Lösungen  $S \in M_S(I)$
- ▶ *gesucht:* Algorithmus  $A$ 
  - ▶ mit  $A(I)$  «möglichst nahe an»  $|M_S(I)|$ ,
  - ▶ der die Anzahl der Lösungen annähert
  - ▶ Beispiel: bestimme die Anzahl perfekter Matchings eines bipartiten Graphen
- ▶ nicht in dieser Vorlesung

# Turing-Reduzierbarkeit

Das kam in «Theoretische Grundlagen der Informatik» vor:

- ▶ Suchproblem  $\Pi$  **NP-schwer** oder **NP-hart**, falls ein **NP**-vollständiges Entscheidungsproblem  $L$  existiert mit  $L \leq_T^p \Pi$ .
- ▶ das heißt:
  - ▶ es gibt **Orakel-Turingmaschine** für  $L$
  - ▶ mit Orakel für  $\Pi$ ,
    - ▶ jede Befragung des Orakels braucht 1 Schritt
    - ▶ die polynomielle Laufzeit hat,
  - ▶ Turing-Reduktion in Polynomialzeit
- ▶ das heißt:  
wenn  $\Pi$  in Polynomialzeit lösbar, dann auch  $L$

# Überblick

Einleitung

Job Scheduling

Allgemeines TSP nur schwer  $\alpha$ -approximierbar

Metrisches TSP ist leicht approximierbar

KNAPSACK

# Job Scheduling: Aufgabenstellung

Problem: *Job Shop Scheduling* oder *Makespan Scheduling*

- ▶ *Maschinen*  $M_1, \dots, M_m$
- ▶ *Jobs*  $J_1, \dots, J_n$ 
  - ▶ Job  $J_j$  benötigt Zeit  $t_j \geq 0$
- ▶ *Lösung*  $S : \{1, \dots, n\} \rightarrow \{1, \dots, m\}$
- ▶ Last von Maschine  $i$ :  $L_i = \sum_{S(j)=i} t_j$
- ▶ Zielfunktion: minimiere *Makespan*  $L_{\max} = \max_i L_i$ 
  - ▶ Wann ist die letzte Maschine fertig?
- ▶ einfacher Fall
  - ▶ identische Maschinen
  - ▶ unabhängige Jobs
- ▶ Problem ist **NP-hart**

# naheliegender Algorithmus: LIST SCHEDULING

# naheliegender Algorithmus: LISTSCHEDULING

```
1  LISTSCHEDULING( $n, m, t_1 \dots n$ )
2  each  $L_i \leftarrow 0$                                 ▷ load of machine  $i$ ,  $1 \leq i \leq m$ 
3  each  $S_j \leftarrow 0$                                 ▷ machine for job  $j$ ,  $1 \leq j \leq n$ 
4  for each  $j$  in range( $1, n$ )
5      do pick  $k$  from  $\{i \mid L_i \text{ is currently minimal}\}$ 
6           $S_j \leftarrow k$ 
7           $L_k \leftarrow L_k + t_j$ 
8  return  $S$ 
```

im folgenden kurz  $LS$  statt LISTSCHEDULING

# Eigenschaften des Algorithmus (1)

## Lemma

Es sei  $T = \sum_j t_j$ . Für jede Lösung  $S$  des Algorithmus gilt:  
Wenn  $J_\ell$  ein Job ist, der zuletzt fertig wird, dann ist

$$L_{\max} \leq \frac{T}{m} + \frac{m-1}{m} t_\ell$$

## Beweis

$$t = L_{\max} - t_\ell \quad \text{Startzeitpunkt von } J_\ell$$

# Eigenschaften des Algorithmus (1)

## Lemma

Es sei  $T = \sum_j t_j$ . Für jede Lösung  $S$  des Algorithmus gilt:  
Wenn  $J_\ell$  ein Job ist, der zuletzt fertig wird, dann ist

$$L_{\max} \leq \frac{T}{m} + \frac{m-1}{m} t_\ell$$

## Beweis

$$t = L_{\max} - t_\ell \quad \text{Startzeitpunkt von } J_\ell$$

- ▶ bis hierhin *alle* beschäftigt, mit Jobs  $\neq J_\ell$ ,  
also  $mt \leq T - t_\ell$ , also

$$L_{\max} = t + t_\ell \leq \frac{T}{m} - \frac{t_\ell}{m} + t_\ell$$

# Approximationssfaktor

Approximationssalgorithmus  $A$   
für Minimierungsproblem mit Zielfunktion  $f$  erzielt  
*Approximationssfaktor  $\rho$ ,*  
falls für alle Probleminstanzen  $I \in M_i$  gilt:

$$\frac{f(A(I))}{f^*(I)} \leq \rho$$

$\rho = 1$ :  $A$  liefert stets eine optimale Lösung

# Eigenschaften des Algorithmus (2)

## Satz

LS erzielt Approximationsfaktor  $\rho \leq 2 - \frac{1}{m}$ .

## Beweis

- stets:  $f^*(I) \geq T/m$  und für jedes  $j$ :  $f^*(I) \geq t_j$
- sei  $I$  beliebig:

$$\begin{aligned}\frac{f(LS(I))}{f^*(I)} &\leq \frac{T/m}{f^*(I)} + \frac{m-1}{m} \frac{t_\ell}{f^*(I)} \\ &\leq \frac{T/m}{T/m} + \frac{m-1}{m} \frac{t_\ell}{t_\ell} = 2 - \frac{1}{m}\end{aligned}$$



# Eigenschaften des Algorithmus (3)

## Lemma

LS erzielt Approximationsfaktor  $\rho \geq 2 - \frac{1}{m}$ .

## Beweis

# Eigenschaften des Algorithmus (3)

## Lemma

LS erzielt Approximationsfaktor  $\rho \geq 2 - \frac{1}{m}$ .

## Beweis

Probleminstanzen bei denen

- ▶  $f(LS(I)) = 2m - 1$  und  $f^*(I) = m$ :
  - ▶  $m(m - 1)$  Jobs mit  $t_1 = \dots = t_{n-1} = 1$
  - ▶ letzter Job mit  $t_n = m$
- ▶ LS: alle  $m$  Maschinen bis  $t = m - 1$  nur Minijobs, dann der große  $\rightsquigarrow L_{\max} = m - 1 + m = 2m - 1$
- ▶ optimal: eine Maschine nur den großen Job,  $m - 1$  machen je  $m$  Minijobs  $\rightsquigarrow L_{\max} = m$

□

# Überblick

Einleitung

Job Scheduling

Allgemeines TSP nur schwer  $\alpha$ -approximierbar

Metrisches TSP ist leicht approximierbar

KNAPSACK

# Erinnerung: TSP-Suchproblem

- ▶ Probleminstanz
  - ▶ vollständiger Graph  $G = (V, E = V \times V)$  und
  - ▶ Längenfunktion  $c : E \rightarrow \mathbb{Z}_+$
- ▶ für Permutation  $\pi$  von  $V$ :

$$f(\pi) = \sum_{i=1}^{n-1} c(\pi(i), \pi(i+1)) + c(\pi(n), \pi(1))$$

- ▶  $f^*(G, c) = \min_{\pi} f(\pi)$
- ▶ gesucht: Permutation  $\pi$  mit minimalem  $f(\pi) = f^*(G, c)$

# TSP- $\alpha$ -Approximations-Suchproblem

gegeben:  $\alpha \geq 1$

- ▶ Probleminstanz
  - ▶ vollständiger Graph  $G = (V, E = V \times V)$  und
  - ▶ Längenfunktion  $c : E \rightarrow \mathbb{Z}_+$
- ▶ für Permutation  $\pi$  von  $V$ :

$$f(\pi) = \sum_{i=1}^{n-1} c(\pi(i), \pi(i+1)) + c(\pi(n), \pi(1))$$

- ▶ gesucht: Permutation  $\pi$  mit  $f(\pi) \leq \alpha \cdot f^*(G, c)$
- ▶ kurz  $\alpha$ -APPROX-TSP

# Erinnerung: Hamiltonkreis (Entscheidungsproblem)

- ▶ Probleminstanz:
  - ▶ Graph  $G = (V, E)$
- ▶ Frage: Gibt es einen Hamiltonkreis in  $G$ ?
  - ▶ i. e. Permutation  $\pi$  so, dass  $(\pi(1), \pi(2), \pi(n), \pi(1))$  Kreis
- ▶ **HAMILTONIANCIRCUIT** ist **NP**-vollständig

# Schwere Approximierbarkeit des TSP

## Satz

Für jede Konstante  $\alpha \geq 1$  ist das  
TSP- $\alpha$ -Approximations-Suchproblem **NP**-hart.

## Beweisidee

# Schwere Approximierbarkeit des TSP

## Satz

Für jede Konstante  $\alpha \geq 1$  ist das  
TSP- $\alpha$ -Approximations-Suchproblem **NP**-hart.

## Beweisidee

zeige:

- ▶ wenn  $\alpha$ -APPROXTSP in Polynomialzeit lösbar,
- ▶ dann auch HAMILTONIANCIRCUIT

## Schwere Approximierbarkeit des TSP: Konstruktion

- ▶ gegeben:  $G = (V, E)$  mit  $n = |V|$
- ▶ definiere:  $G' = (V, V \times V)$  und Längenfunktion  $c$

## Schwere Approximierbarkeit des TSP: Konstruktion

- ▶ gegeben:  $G = (V, E)$  mit  $n = |V|$
- ▶ definiere:  $G' = (V, V \times V)$  und Längenfunktion  $c$  mit

$$c(u, v) = \begin{cases} 1, & \text{falls } (u, v) \in E \\ an + 1, & \text{sonst} \end{cases}$$

- ▶ sei AATSP Algorithmus für  $\alpha$ -APPROX-TSP Suchproblem

## Schwere Approximierbarkeit des TSP: Konstruktion

- ▶ gegeben:  $G = (V, E)$  mit  $n = |V|$
- ▶ definiere:  $G' = (V, V \times V)$  und Längenfunktion  $c$  mit

$$c(u, v) = \begin{cases} 1, & \text{falls } (u, v) \in E \\ an + 1, & \text{sonst} \end{cases}$$

- ▶ sei AATSP Algorithmus für  $\alpha$ -APPROX-TSP Suchproblem
- ▶ wenn  $G$  Hamiltonkreis hat,  
dann hat  $G'$  Kreis der Länge  $n$

□

## Schwere Approximierbarkeit des TSP: Konstruktion

- ▶ gegeben:  $G = (V, E)$  mit  $n = |V|$
- ▶ definiere:  $G' = (V, V \times V)$  und Längenfunktion  $c$  mit

$$c(u, v) = \begin{cases} 1, & \text{falls } (u, v) \in E \\ an + 1, & \text{sonst} \end{cases}$$

- ▶ sei AATSP Algorithmus für  $\alpha$ -APPROX-TSP Suchproblem
- ▶ wenn  $G$  Hamiltonkreis hat,  
dann hat  $G'$  Kreis der Länge  $n$   
 $\text{AATSP}(G', c)$  liefert Lösung  $\leq an$



## Schwere Approximierbarkeit des TSP: Konstruktion

- ▶ gegeben:  $G = (V, E)$  mit  $n = |V|$
- ▶ definiere:  $G' = (V, V \times V)$  und Längenfunktion  $c$  mit

$$c(u, v) = \begin{cases} 1, & \text{falls } (u, v) \in E \\ an + 1, & \text{sonst} \end{cases}$$

- ▶ sei AATSP Algorithmus für  $\alpha$ -APPROX-TSP Suchproblem
- ▶ wenn  $G$  Hamiltonkreis hat,  
dann hat  $G'$  Kreis der Länge  $n$   
 $\text{AATSP}(G', c)$  liefert Lösung  $\leq an$
- ▶ wenn  $G$  keinen Hamiltonkreis hat,  
dann hat jeder Kreis von  $G'$  Länge  $\geq an + 1 + n - 1 > an$

□

## Schwere Approximierbarkeit des TSP: Konstruktion

- ▶ gegeben:  $G = (V, E)$  mit  $n = |V|$
- ▶ definiere:  $G' = (V, V \times V)$  und Längenfunktion  $c$  mit

$$c(u, v) = \begin{cases} 1, & \text{falls } (u, v) \in E \\ an + 1, & \text{sonst} \end{cases}$$

- ▶ sei AATSP Algorithmus für  $\alpha$ -APPROX-TSP Suchproblem
- ▶ wenn  $G$  Hamiltonkreis hat,  
dann hat  $G'$  Kreis der Länge  $n$   
 $\text{AATSP}(G', c)$  liefert Lösung  $\leq an$
- ▶ wenn  $G$  keinen Hamiltonkreis hat,  
dann hat jeder Kreis von  $G'$  Länge  $\geq an + 1 + n - 1 > an$   
 $\text{AATSP}(G', c)$  liefert Lösung  $> an$

□

# Überblick

Einleitung

Job Scheduling

Allgemeines TSP nur schwer  $\alpha$ -approximierbar

Metrisches TSP ist leicht approximierbar

KNAPSACK

## METRIC TSP

- ▶ wie bei TSP, aber zusätzlich wird verlangt, dass  $c$  der *Dreiecksungleichung* genügt:
  - ▶ für alle  $x, y, z \in V$ :  $c(x, y) + c(y, z) \geq c(x, z)$
- ▶ *metrische «Vervollständigung»*  $mv(G, c)$  von  $(G, c)$ :  
 $mv(G, c) = (G, c')$  mit  
 $c'(x, y) = \text{Länge kürzester Wege von } x \text{ nach } y$ 
  - ▶ «Vervollständigung» hier irreführendes Wort
  - ▶ woher kommt das wohl?
- ▶ Konstruktion eben:  
Dreiecksungleichung im allgemeinen *verletzt*

## Satz

Für Instanzen des METRIC TSP Suchproblems kann man in Polynomialzeit eine 2-Approximation berechnen.

## Beweisidee

- 1 metricTSPApprox( $G, c$ )
- 2  $T \leftarrow MST(G, c)$   $\triangleright w(T) \leq f^*(G, c)$
- 3  $T' \leftarrow T$  with every edge doubled  $\triangleright w(T') \leq 2f^*(G, c)$
- 4  $T'' \leftarrow EULER\text{TOUR}(T')$   $\triangleright w(T'') \leq 2f^*(G, c)$
- 5  $S \leftarrow$  remove duplicate nodes from  $T''$   $\triangleright w(S) \leq 2f^*(G, c)$
- 6 **return**  $S$

# Überblick

Einleitung

Job Scheduling

Allgemeines TSP nur schwer  $\alpha$ -approximierbar

Metrisches TSP ist leicht approximierbar

**KNAPSACK**

Algorithmen mit pseudopolynomieller Laufzeit

KNAPSACK Suchproblem

Ein FPTAS für Knapsack

# Pseudopolynomielle Laufzeit

Wovon hängt die Laufzeit eines Algorithmus ab?

- ▶ Laufzeit  $t(I)$  eines Algorithmus für eine Eingabe  $I$  abhängig von  $\text{Größe } n(I)$  der Repräsentation von  $I$

üblich:

- ▶  $n(I)$  ist Anzahl  $n_2(I)$  der Bits um  $I$  binär zu codieren
  - ▶ Codierung von  $k \in \mathbb{N}_+$  braucht  $\Theta(\log_2 k)$  Bits
- ▶ *polynomielle Laufzeit*  $t(n)$ :  
existiert Polynom  $p(n)$  für alle  $I$  gilt:  $t(I) \leq p(n_2(I))$

alternativ:

- ▶  $n(I)$  ist Anzahl  $n_1(I)$  der Bits um  $I$  *unär* zu codieren
  - ▶ Codierung von  $k \in \mathbb{N}_+$  braucht  $k$  Bits
- ▶ *pseudopolynomielle Laufzeit*  $t(n)$ :  
existiert Polynom  $p(n)$  für alle  $I$  gilt:  $t(I) \leq p(n_1(I))$

# Zwei kleine Warnungen

- ▶ Algorithmus mit pseudopolynomieller Laufzeit:  
tatsächliche Form der Eingabe?
- ▶ pseudopolynomielle Laufzeit nicht verwechseln mit  
*quasipolynomieller Laufzeit*:

$$t(n) = 2^{O((\log n)^c)}$$

für eine Konstante  $c > 0$

- ▶ Beispiel:  $c = 2 \rightsquigarrow n^{\log n}$

# KNAPSACK Suchproblem

## Probleminstanzen

- ▶ endliche Menge  $M = \{1, \dots, n\}$  von *Gegenständen*
- ▶ *Maximalgröße*  $W \in \mathbb{N}_+$  «Rucksackgröße»
- ▶ *Größen*  $w_i \in \mathbb{N}_+$  o. B. d. A. jedes  $w_i \leq W$
- ▶ *Profite*  $p_i \in \mathbb{N}_+$

## Lösungen

- ▶ Teilmenge  $M' \subseteq M$  mit
- ▶  $w(M') = \sum_{i \in M'} w_i \leq W$

## gesucht

- ▶ Teilmengen mit möglichst großem Profit
- ▶ Zielfunktion  $f(M') = p(M') = \sum_{i \in M'} p_i$
- ▶ Maximierungsproblem o. B. d. A.  $f^*(I) \geq \max p_i$

# KNAPSACK: Codierungen der Eingabe

| Teil $T$ von $I$                  | $u_2(T)$                            | $u_1(T)$                |
|-----------------------------------|-------------------------------------|-------------------------|
| $\{1, \dots, n\}$                 | $\log n$                            | $n$                     |
| $W$                               | $\log W$                            | $W$                     |
| $\langle w_1, \dots, w_n \rangle$ | $n \log W$                          | $nW$                    |
| $\langle p_1, \dots, p_n \rangle$ | $n \log \hat{P}$                    | $n\hat{P}$              |
| insgesamt                         | $\Theta(n \log W + n \log \hat{P})$ | $\Theta(nW + n\hat{P})$ |

wobei  $\hat{P} = \sum_i p_i$

# Schwere des KNAPSACK Suchproblems

- ▶ **NP-schwer**
  - ▶ bei «normaler» Messung der Eingabegröße
  - ▶ also Polynomialzeit-Algorithmen unbekannt
- ▶ aber: pseudopolynomielle Laufzeit erreichbar
- ▶ solche Probleme heißen *schwach NP-schwer*

# KNAPSACK: pseudopolynomielle Laufzeit

mit dynamischer Programmierung

- ▶ es sei

$$C(i, P) = \min\{w(M') \mid M' \subseteq \{1, \dots, i\} \wedge p(M') \geq P\}$$

falls eine solche Teilmenge  $M'$  existiert, und  $\infty$  sonst.

- ▶ Beobachtung:

$$C(1, P) = \begin{cases} w_1, & \text{falls } p_1 \geq P \\ \infty, & \text{sonst} \end{cases}$$

$$C(i + 1, P) = \min(C(i, P), w_{i+1} + C(i, P - p_{i+1}))$$

# KNAPSACK: pseudopolynomielle Laufzeit

```
1 DYNPROGKNAPSACK( $n, W, \langle w_1, \dots, w_n \rangle, \langle p_1, \dots, p_n \rangle$ )
2 for  $P \leftarrow 1$  to  $\hat{P}$  do
3    $C(1, P) \leftarrow \dots$ 
4   for  $i \leftarrow 1$  to  $n - 1$  do
5     for  $P \leftarrow 1$  to  $\hat{P}$  do
6        $C(i + 1, P) \leftarrow \min(C(i, P), w_{i+1} + C(i, P - p_{i+1}))$ 
7   return  $\max\{P \mid C(n, P) \leq W\}$ 
```

## Erweiterung

- ▶ speichere in  $C(i, P)$  auch, welche der Objekte  $1, \dots, i$  benutzt
- ▶ Lösung: sogar konkrete Teilmenge/Bitvektor  $\mathbf{x}$
- ▶ Skalarprodukt  $\mathbf{p} \cdot \mathbf{x}$  ist maximaler Profit

# Polynomielle Approximationsschemata

Polynomial Time Approximation Scheme (PTAS)

- ▶ es sei  $\Pi$  ein  $\left\{ \begin{array}{l} \text{Minimierungs-} \\ \text{Maximierungs-} \end{array} \right\}$  Problem
- ▶ es sei  $\mathcal{A}$  Algorithmus mit Paaren  $(I, \varepsilon)$  als Eingaben, wobei  $\varepsilon > 0$  reell und  $I \in \Pi_I$  ist
- ▶  $\mathcal{A}$  *polynomielles Approximationsschema (engl. PTAS)*, wenn für jedes  $\varepsilon > 0$  ein Polynom  $p(n)$  so existiert, dass für jede Instanz  $I$  gilt

$$f(\mathcal{A}(I, \varepsilon)) \leq \left(1 + \frac{\varepsilon}{1 - \varepsilon}\right) \cdot f^*(I)$$

und Laufzeit  $t(I, \varepsilon) \leq p(n_2(I))$

# Voll polynomielle Approximationsschemata

Fully Polynomial Time Approximation Scheme (FPTAS)

- ▶ es sei  $\Pi$  ein  $\left\{ \begin{array}{l} \text{Minimierungs-} \\ \text{Maximierungs-} \end{array} \right\}$  Problem
- ▶ es sei  $\mathcal{A}$  mit Paaren  $(I, \varepsilon)$  als Eingaben, wobei  $\varepsilon > 0$  reell und  $I \in M_I$  ist
- ▶  $\mathcal{A}$  *voll polynomielles Approximationsschema (engl. PTAS)*, wenn ein Polynom  $p(n, x)$  so existiert, dass für jede Instanz  $I$  und jedes  $\varepsilon > 0$  gilt

$$f(\mathcal{A}(I, \varepsilon)) \leq \left(1 + \frac{\varepsilon}{1 - \varepsilon}\right) \cdot f^*(I)$$

und Laufzeit  $t(I, \varepsilon) \leq p(n_2(I), 1/\varepsilon)$

# PTAS versus FPTAS

- ▶ jedes FPTAS ist ein PTAS
  - ▶  $(\frac{n}{\varepsilon})^5 + n^2 + \varepsilon^{-42}$
- ▶ aber nicht umgekehrt:  
PTAS- aber nicht FPTAS-Laufzeiten z. B.
  - ▶  $n + 2^{1/\varepsilon}$
  - ▶  $n^{1/\varepsilon}$
  - ▶  $2^{-\log n \log \varepsilon}$

# Von pseudopolynomieller zu polynomieller Laufzeit

- ▶  $n_2(I) \in \Theta(n \log W + n \log \hat{P})$
- ▶ pseudopolynomielle Laufzeit  $\in \Theta(n \hat{P})$

# Von pseudopolynomieller zu polynomieller Laufzeit

- ▶  $n_2(I) \in \Theta(n \log W + n \log \hat{P})$
- ▶ pseudopolynomielle Laufzeit  $\in \Theta(n \hat{P})$
- ▶ polynomielle Laufzeit,
  - ▶ wenn die Profite kleine Werte sind,  
z. B. für konstantes  $k$ ,

$$\hat{P} \in O(n) \cdot 2^k$$

- ▶ z. B. jedes  $0 < p_i < 2^k$

# FPTAS für KNAPSACK

Schreibweise  $\mathbf{p} = \langle p_1, \dots, p_n \rangle$ , etc.

- 1    **EPSAPPROXKNAPSACK**( $\varepsilon, n, W, \mathbf{w}, \mathbf{p}$ )
- 2     $P \leftarrow \max_i p_i$
- 3     $K \leftarrow \varepsilon P / n$
- 4    **each**  $p'_i \leftarrow \lfloor p_i / K \rfloor$
- 5     $\mathbf{x}' \leftarrow \text{DYNPROGKNAPSACK}(n, W, \mathbf{w}, \mathbf{p}')$
- 6    **return**  $\mathbf{x}'$

# FPTAS für KNAPSACK

## Schreibweisen

- ▶  $\mathbf{x}^*$  optimale Lösung für ursprüngliches  $\mathbf{p}$
- ▶  $\mathbf{x}'$  optimale Lösung für  $\mathbf{p}'$
- ▶ dann

$$\mathbf{p} \cdot \mathbf{x}^* = \sum_{i, x_i^* = 1} p_i = \text{maximaler Profit des Originalproblems}$$

- ▶ *Frage:* Wie gut ist  $\mathbf{p} \cdot \mathbf{x}'$  im Vergleich zu  $\mathbf{p} \cdot \mathbf{x}^*$  ?

# EPSAPPROXKNAPSACK ist FPTAS

## Satz

EPSAPPROXKNAPSACK ist ein voll polynomielles Approximationsschema für KNAPSACK.

## Lemma

Mit den Bezeichnungen wie bisher

$$\mathbf{p} \cdot \mathbf{x}' \geq (1 - \varepsilon) \mathbf{p} \cdot \mathbf{x}^*$$

## EPSAPPROXKNAPSACK ist FPTAS: Approximation

- $K = \varepsilon P/n$  und  $p'_i = \lfloor p_i/K \rfloor$ , also  $Kp'_i \leq p_i$

$$\begin{aligned}
 \mathbf{p} \cdot \mathbf{x}' &\geq K\mathbf{p}' \cdot \mathbf{x}' \geq K\mathbf{p}' \cdot \mathbf{x}^* && \text{weil } \mathbf{x}' \text{ optimal f\"ur } \mathbf{p}' \\
 &= \sum_{i \in \mathbf{x}^*} K \left\lfloor \frac{p_i}{K} \right\rfloor \\
 &\geq \sum_{i \in \mathbf{x}^*} K \left( \frac{p_i}{K} - 1 \right) && = \sum_{i \in \mathbf{x}^*} p_i - \sum_{i \in \mathbf{x}^*} K \\
 &\geq \mathbf{p} \cdot \mathbf{x}^* - nK \\
 &= \mathbf{p} \cdot \mathbf{x}^* - \varepsilon P \\
 &\geq \mathbf{p} \cdot \mathbf{x}^* - \varepsilon \mathbf{p} \cdot \mathbf{x}^* && \text{weil Optimum } \geq \max p_i = P \\
 &= (1 - \varepsilon)\mathbf{p} \cdot \mathbf{x}^*
 \end{aligned}$$

# EPSAPPROXKNAPSACK ist FPTAS: Polynomialzeit

## Lemma

Die Laufzeit von EPSAPPROXKNAPSACK ist in  $O(n^3 \cdot \frac{1}{\varepsilon})$ .

- ▶ dynamischen Programmierung für  $p'$ -Problem dominiert:  
Laufzeit  $n\hat{P}'$
- ▶ es ist (mit  $P = \max_i p_i$ )

$$n\hat{P}' = n \sum_i p'_i \leq n^2 \max_i p'_i = n^2 \left\lfloor \frac{P}{K} \right\rfloor = n^2 \left\lfloor \frac{Pn}{\varepsilon P} \right\rfloor \leq n^3 \cdot \frac{1}{\varepsilon}$$

# Varianten von Approximation: zwei Beispiele

- ▶ bestes bekanntes FPTAS linear in  $n$
- ▶ in der Praxis erreicht man «fast Linearzeit»

# 4 Stringology

## (Zeichenkettenalgorithmen)

- Strings sortieren
- Patterns suchen
  - Pattern vorverarbeiten
  - Text vorverarbeiten
    - \* Invertierte Indizes
    - \* Suffix Trees / Suffix Arrays
- Datenkompression
- Pattern suchen in komprimierten Indizes

# Strings Sortieren

multikey quicksort / ternary quicksort

**Function** mkqSort( $S$  : Sequence **of** String,  $\ell$  :  $\mathbb{N}$ ) : Sequence **of** String

**assert**  $\forall e, e' \in S : e[1..\ell - 1] = e'[1..\ell - 1]$

**if**  $|S| \leq 1$  **then return**  $S$  // base case

pick  $p \in S$  uniformly at random // pivot string

**return** concatenation of  
mkqSort( $\langle e \in S : e[\ell] < p[\ell] \rangle, \ell$ ),  
mkqSort( $\langle e \in S : e[\ell] = p[\ell] \rangle, \ell + 1$ ), and  
mkqSort( $\langle e \in S : e[\ell] > p[\ell] \rangle, \ell$ )

- Laufzeit:  $O(|S| \log |S| + \sum_{t \in S} |t|)$
- genauer:  $O(|S| \log |S| + d)$  ( $d$ : Summe der eindeutigen Präfixe)
- Übung: **in-place**

# Strings Sortieren

S A A L  
B I E N E  
E H R E  
H A U S  
A R M  
M I E T E  
T A S S E  
M O R D  
H A N D  
S E E  
H U N D  
H A L L E  
N A C H T

# Strings Sortieren

S A A L  
B I E N E  
E H R E  
H A U S  
A R M  
M I E T E  
T A S S E  
M O R D  
*p*    H A N D  
S E E  
H U N D  
H A L L E  
N A C H T

# Strings Sortieren

B I E N E

E H R E

A R M

H A U S

H A N D

H U N D

H A L L E

S A A L

T A S S E

M I E T E

M O R D

S E E

N A C H T

# Strings Sortieren

|          |           |                  |
|----------|-----------|------------------|
|          | B I E N E | A R M            |
| <i>p</i> | E H R E   | B I E N E        |
|          | A R M     | E H R E          |
|          | H A U S   | H A U S          |
|          | H A N D   | <i>p</i> H A N D |
|          | H U N D   | H U N D          |
|          | H A L L E | H A L L E        |
|          | S A A L   | S A A L          |
|          | T A S S E | T A S S E        |
|          | M I E T E | M I E T E        |
|          | M O R D   | M O R D          |
|          | S E E     | S E E            |
|          | N A C H T | N A C H T        |

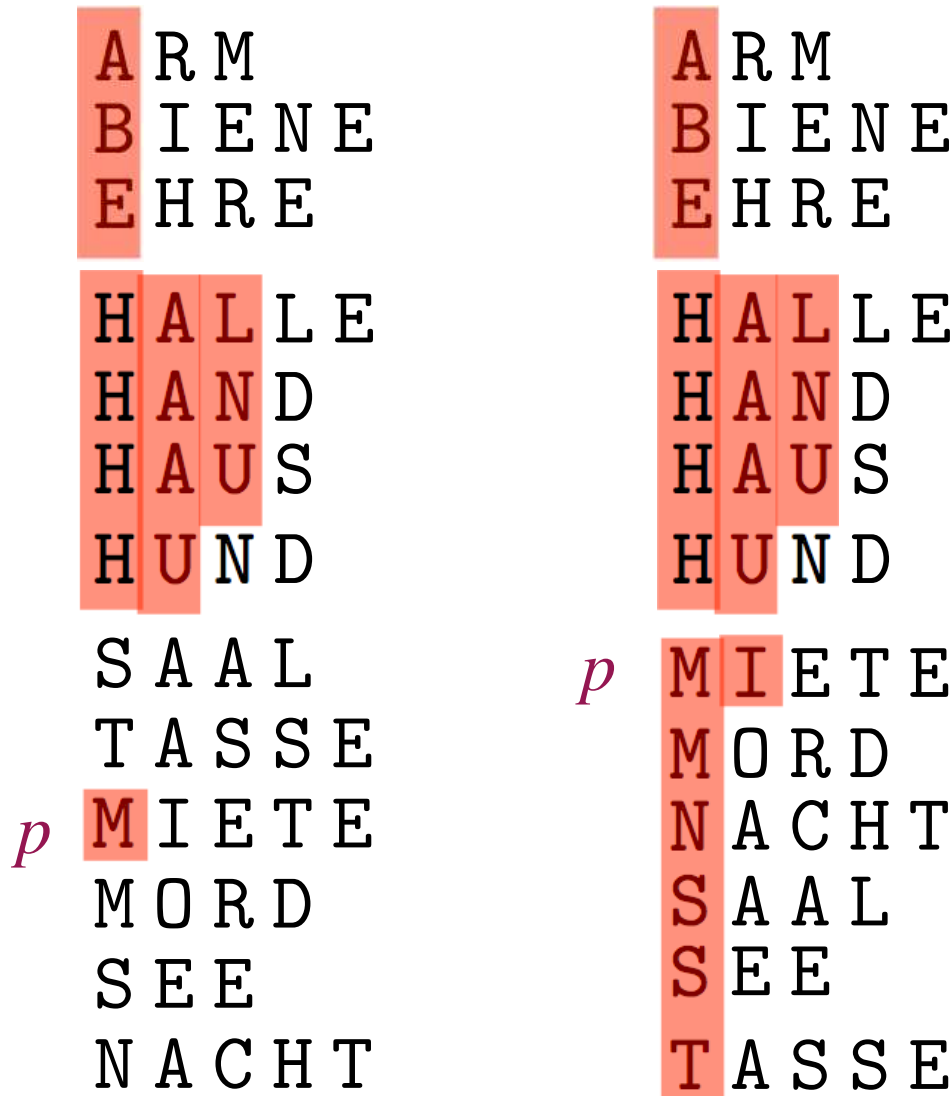
# Strings Sortieren

|          |           |           |
|----------|-----------|-----------|
|          | A R M     | A R M     |
|          | B I E N E | B I E N E |
|          | E H R E   | E H R E   |
|          | H A U S   | H A U S   |
| <i>p</i> | H A N D   | H A N D   |
|          | H U N D   | H A L L E |
|          | H A L L E | H U N D   |
|          | S A A L   | S A A L   |
|          | T A S S E | T A S S E |
|          | M I E T E | M I E T E |
|          | M O R D   | M O R D   |
|          | S E E     | S E E     |
|          | N A C H T | N A C H T |

# Strings Sortieren

|          |           |  |
|----------|-----------|--|
|          | A R M     |  |
|          | B I E N E |  |
|          | E H R E   |  |
|          | H A U S   |  |
| <i>p</i> | H A N D   |  |
|          | H A L L E |  |
|          | H U N D   |  |
|          | S A A L   |  |
|          | T A S S E |  |
|          | M I E T E |  |
|          | M O R D   |  |
|          | S E E     |  |
|          | N A C H T |  |
|          | A R M     |  |
|          | B I E N E |  |
|          | E H R E   |  |
|          | H A L L E |  |
| <i>p</i> | H A N D   |  |
|          | H A U S   |  |
|          | H U N D   |  |
|          | S A A L   |  |
|          | T A S S E |  |
|          | M I E T E |  |
|          | M O R D   |  |
|          | S E E     |  |
|          | N A C H T |  |

# Strings Sortieren



# Strings Sortieren

*p*

|   |         |
|---|---------|
| A | R M     |
| B | I E N E |
| E | H R E   |
|   |         |
| H | A L L E |
| H | A N D   |
| H | A U S   |
| H | U N D   |
|   |         |
| M | I E T E |
| M | O R D   |
| N | A C H T |
| S | A A L   |
| S | E E     |
| T | A S S E |

*p*

|   |         |
|---|---------|
| A | R M     |
| B | I E N E |
| E | H R E   |
|   |         |
| H | A L L E |
| H | A N D   |
| H | A U S   |
| H | U N D   |
|   |         |
| M | I E T E |
| M | O R D   |
| N | A C H T |
| S | A A L   |
| S | E E     |
| T | A S S E |

# Strings Sortieren

**Function** mkqSort( $S$  : Sequence **of** String,  $\ell$  :  $\mathbb{N}$ ) : Sequence **of** String

**if**  $|S| \leq 1$  **then return**  $S$

$S_{\perp} \leftarrow \langle e \in S : |e| = \ell \rangle$ ;  $S \leftarrow S \setminus S_{\perp}$

select pivot  $p \in S$

$S_{<} \leftarrow \langle e \in S : e[\ell] < p[\ell] \rangle$

$S_{=} \leftarrow \langle e \in S : e[\ell] = p[\ell] \rangle$

$S_{>} \leftarrow \langle e \in S : e[\ell] > p[\ell] \rangle$

**return** concatenation of  $S_{\perp}$ ,

$\text{mkqSort}(S_{<}, \ell)$ ,

$\text{mkqSort}(S_{=}, \ell + 1)$ , and

$\text{mkqSort}(S_{>}, \ell)$

# Strings Sortieren – Laufzeitanalyse

Hauptarbeit in den Buchstabenvergleichen. Zwei Fälle:

- $e[\ell] = p[\ell]$ : Ordne den Vergleich dem Zeichen  $e[\ell]$  zu.
  - $e[\ell]$  wird danach nicht mehr betrachtet (Rekursion mit  $\ell + 1$ )
  - Maximale Vergleichsanzahl pro String  $e$ ? Maximale Länge des längstes gemeinsamen Präfix von  $e$  mit  $e' \in S$ .
- $e[\ell] \neq p[\ell]$ : Ordne den Vergleich dem String  $e$  zu.
  - $e$  wird zu  $S_<$  oder  $S_>$  zugeordnet. Mit optimaler Pivotwahl sind beide Mengen höchstens  $|S|/2$ .
  - Nach höchstens  $\log |S|$  Schritten ist  $e$  richtig sortiert.

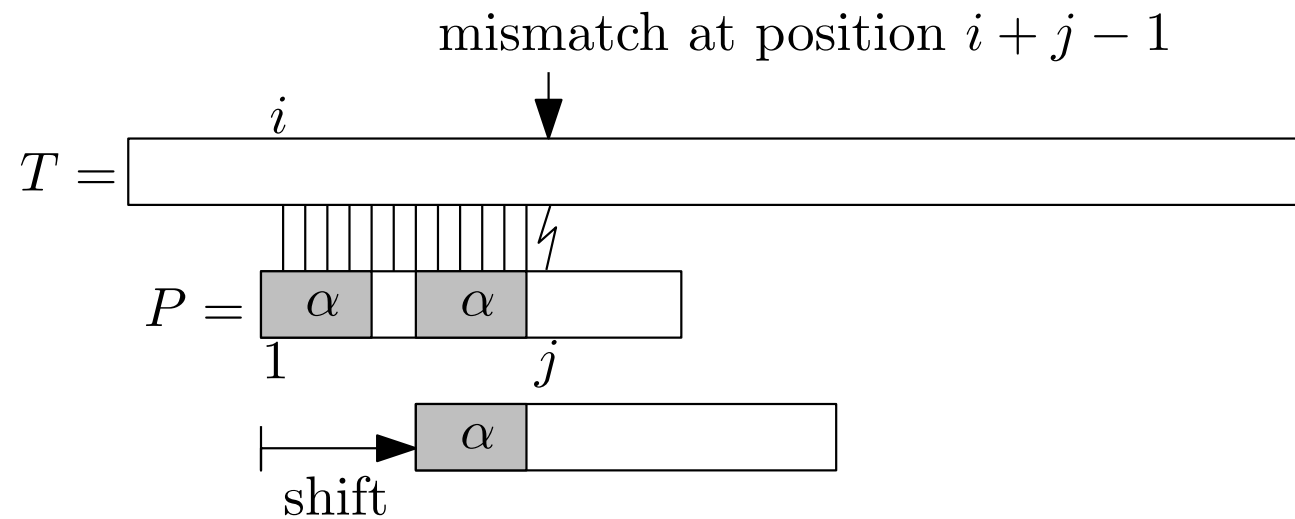
# Naives Pattern Matching

- Aufgabe: Finde alle Vorkommen von  $P$  in  $T$ 
  - $n$ : Länge von  $T$
  - $m$ : Länge von  $P$
- naiv in  $O(nm)$  Zeit

```
i, j := 1                                // indexes in T and P
while i ≤ n - m + 1
    while j ≤ m and ti+j-1 = pj do j++  // compare characters
    if j > m then return "P occurs at position i in T"
    i++                                     // advance in T
    j := 1                                    // restart
```

## Knuth-Morris-Pratt (1977)

- besserer Algorithmus in  $O(n + m)$  Zeit
- Idee: beachte bereits gematchten Teil



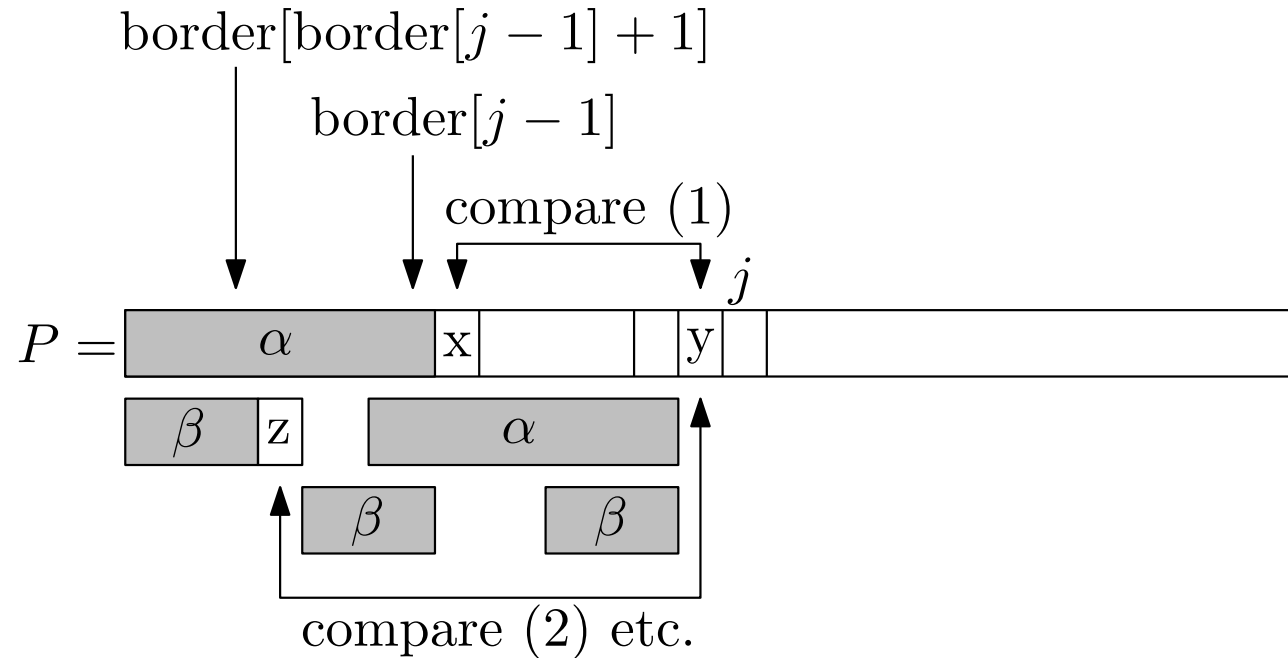
- $\text{border}[j] = \text{längstes echtes Präfix von } P_1 \dots j-1, \text{ das auch}$   
(echtes) Suffix von  $P_1 \dots j-1$  ist

## Knuth-Morris-Pratt (1977)

```
i := 1                                // index in T
j := 1                                // index in P
while i ≤ n - m + 1
    while j ≤ m and ti+j-1 = pj do j++  // compare characters
    if j > m then
        return "P occurs at position i in T"
    i := i + j - border[j] - 1           // advance in T
    j := max{1, border[j] + 1} // skip first border[j] characters of P
```

# Berechnung des Border-Arrays

- seien die Werte bis zur Position  $j - 1$  bereits berechnet



## Berechnung des Border-Arrays

□ in  $O(m)$  Zeit:

```
border[1] := -1
i := border[1]                                // position in P
for j = 2, . . . , m
    while i ≥ 0 and pi+1 ≠ pj-1 do i = border[i + 1]
        i++
    border[j] := i
```

# Volltextsuche von Langsam bis Superschnell

**Gegeben:** Text  $S$  ( $n := |S|$ ), Muster (Pattern)  $P$  ( $m := |P|$ ),  $n \gg m$

**Gesucht:** Alle/erstes/nächstes Vorkommen von  $P$  in  $S$

naiv:  $O(nm)$

$P$  vorverarbeiten:  $O(n + m)$

Mit Fehlern: ???

$S$  vorverarbeiten: Textindizes. Erstes Vorkommen:

Invertierter Index: gute heuristik

Suffix Array:  $O(m \log n) \dots O(m)$

## Suffixtabellen

aus

# Linear Work Suffix Array Construction

Juha Kärkkäinen, Peter Sanders, Stefan Burkhardt

Journal of the ACM

Seiten 1–19, Nummer 6, Band 53.

## Etwas “Stringology”-Notation

**String  $S$ :** Array  $S[0..n) := S[0..n - 1] := [S[0], \dots, S[n - 1]]$

von Buchstaben

**Suffix:**  $S_i := S[i..n)$

**Endmarkierungen:**  $S[n] := S[n + 1] := \dots := 0$

0 ist kleiner als alle anderen Zeichen

# Suffixe Sortieren

Sortiere die Menge  $\{S_0, S_1, \dots, S_{n-1}\}$

von Suffixen des Strings  $S$  der Länge  $n$

(Alphabet  $[1, n] = \{1, \dots, n\}$ )

in lexikographische Reihenfolge.

- suffix  $S_i = S[i, n]$  für  $i \in [0..n-1]$

$S = \text{banana}:$

|   |        |   |        |
|---|--------|---|--------|
| 0 | banana | 5 | a      |
| 1 | anana  | 3 | ana    |
| 2 | nana   | 1 | anana  |
| 3 | ana    | 0 | banana |
| 4 | na     | 4 | na     |
| 5 | a      | 2 | nana   |

⇒

# Anwendungen

- Volltextsuche
- Burrows-Wheeler Transformation (`bzip2` Kompressor)
- Ersatz für kompliziertere Suffixbäume
- Bioinformatik: Wiederholungen suchen,...

## Volltextsuche

Suche Muster (pattern)  $P[0..m)$  im Text  $S[0..n)$   
mittels Suffix-Tabelle  $SA$  of  $S$ .

Binäre Suche:  $O(m \log n)$  gut für kurze Muster

Binäre Suche mit lcp:  $O(m + \log n)$  falls wir die  
längsten gemeinsamen (common) Präfixe  
zwischen verglichenen Zeichenketten vorberechnen

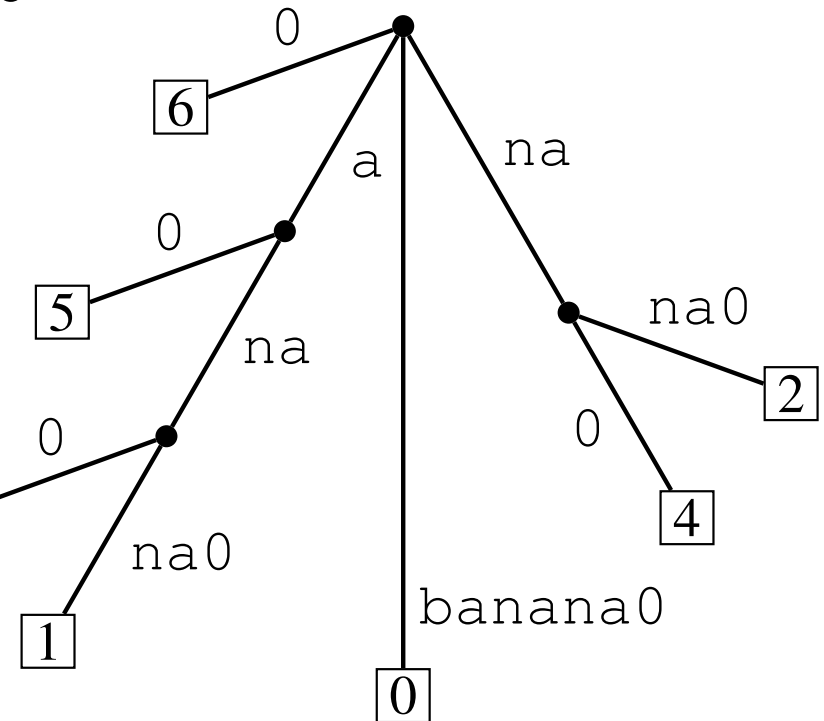
Suffix-Baum:  $O(n)$  kann aus  $SA$  berechnet werden

# Suffix-Baum

[Weiner '73][McCreight '76]

- kompakterter Trie der Suffixe
- + Zeit  $O(n)$  [Farach 97] für ganzzahlige Alphabete
- + Mächtigstes Werkzeug der Stringology?
- Hoher Platzverbrauch
- Effiziente direkte Konstruktion ist kompliziert
- kann aus SA in Zeit  $O(n)$  abgelesen werden

$S = \text{banana}0$



## Alphabet-Modell

**Geordnetes Alphabet:** Zeichen können nur **verglichen** werden

**Konstante Alphabetgröße:** endliche Menge  
deren Größe nicht von  $n$  abhängt.

**Ganzzahliges Alphabet:** Alphabet ist  $\{1, \dots, \sigma\}$   
für eine ganze Zahl  $\sigma \geq 2$

# Geordnetes → ganzzahliges Alphabet

Sortiere die Zeichen von  $S$

Ersetze  $S[i]$  durch seinen Rang

012345      135024

banana     $\rightarrow$  aaabnn

213131     $\leftarrow$  111233

## Verallgemeinerung: Lexikographische Namen

Sortiere die  $k$ -Tupel  $S[i..i+k)$  für  $i \in 1..n$

Ersetze  $S[i]$  durch den Rang von  $S[i..i+k)$  unter den Tupeln

# Ein erster Teile-und-Herrsche-Ansatz

1.  $SA^1 = \text{sort } \{S_i : i \text{ ist ungerade}\}$  (Rekursion)
2.  $SA^0 = \text{sort } \{S_i : i \text{ ist gerade}\}$  (einfach mittels  $SA^1$ )
3. Mische  $SA^0$  und  $SA^1$  (schwierig)

Problem: wie vergleicht man gerade und ungerade Suffixe?

[Farach 97] hat einen Linearzeitalgorithmus für  
Suffix-**Baum**-Konstruktion entwickelt, der auf dieser Idee beruht.  
Sehr **kompliziert**.

Das war auch der einzige bekannte Algorithmus für Suffix-**Tabellen**  
(lässt sich leicht aus S-Baum ablesen.)

# SA<sup>1</sup> berechnen

- Erstes Zeichen weglassen.

banana → anana

- Ersetze Buchstabenpaare durch Ihre **lexikographischen Namen**

|    |    |                |
|----|----|----------------|
| an | an | a <sub>0</sub> |
|----|----|----------------|

 → 221

- Rekursion

⟨1, 21, 221⟩

- Rückübersetzen

⟨a, ana, anana⟩

# Berechne $SA^0$ aus $SA^1$

|   |       |               |   |       |
|---|-------|---------------|---|-------|
| 1 | anana | $\Rightarrow$ | 5 | a     |
| 3 | ana   |               | 3 | ana   |
| 5 | a     |               | 1 | anana |

Ersetze  $S_i$ ,  $i \bmod 2 = 0$  durch  $(S[i], r(S_{i+1}))$

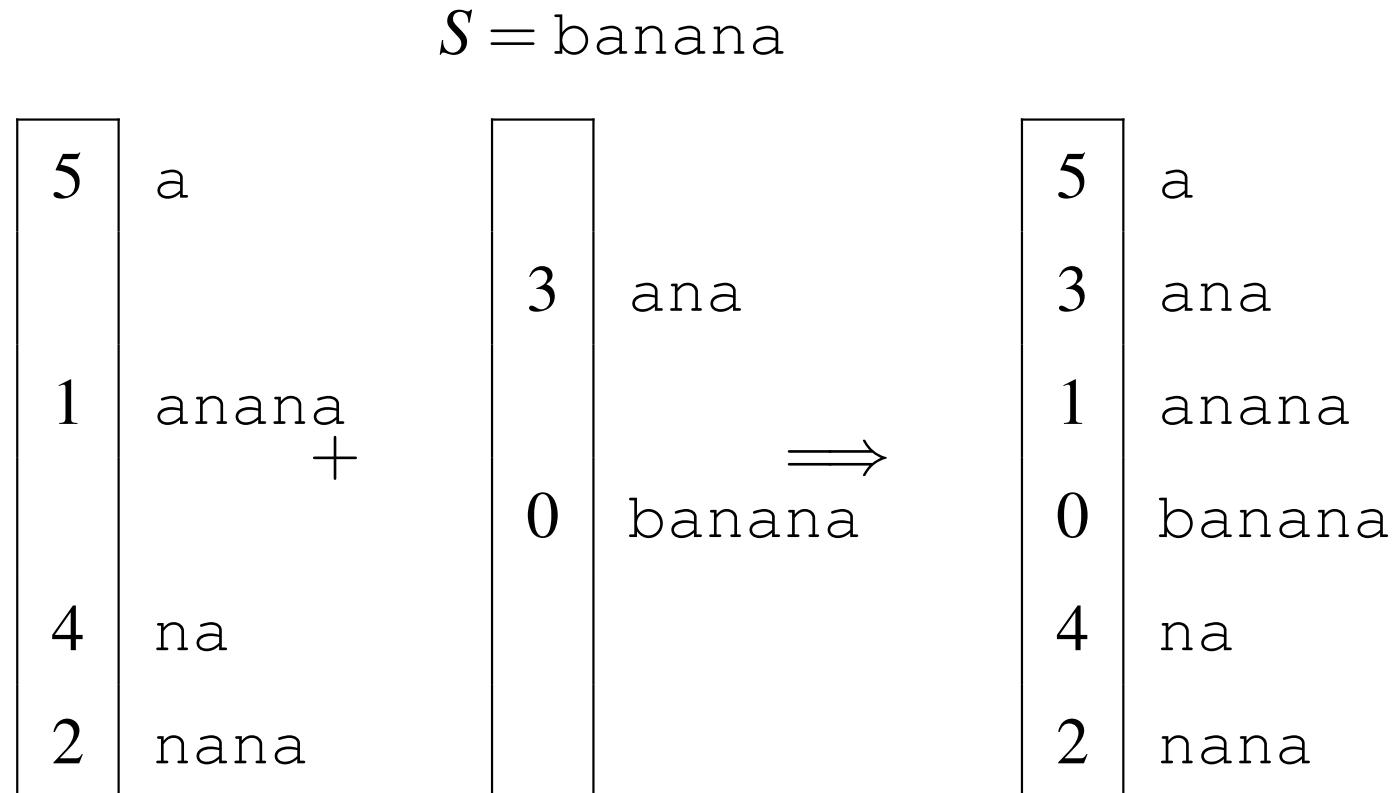
mit  $r(S_{i+1}) :=$  Rang von  $S_{i+1}$  in  $SA^1$

|   |   |           |               |   |        |
|---|---|-----------|---------------|---|--------|
| 0 | b | 3 (anana) | $\Rightarrow$ | 0 | banana |
| 2 | n | 2 (ana)   |               | 4 | na     |
| 4 | n | 1 (a)     |               | 2 | nana   |

Radix-Sort

# Asymmetrisches Divide-and-Conquer

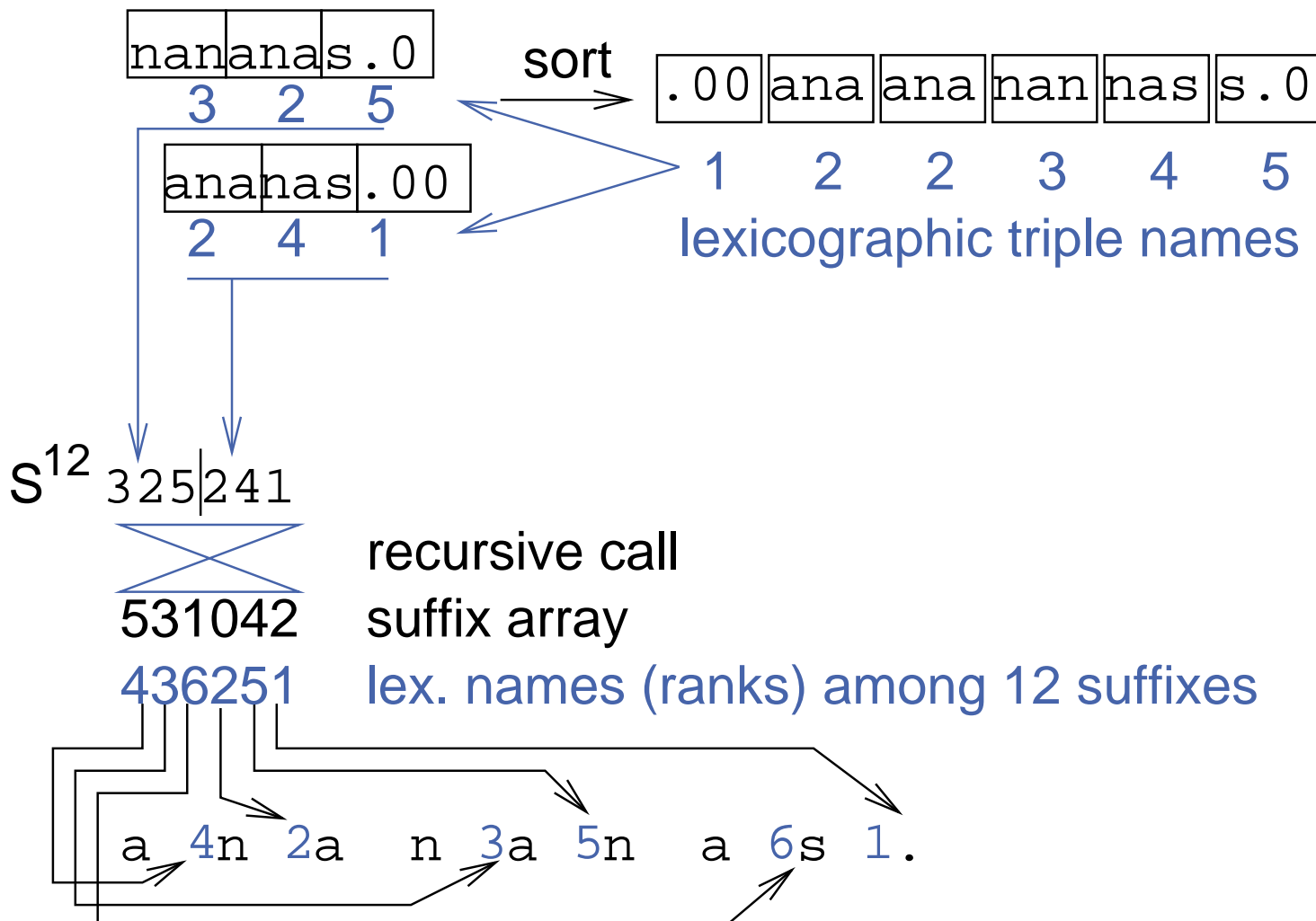
1.  $SA^{12} = \text{sort } \{S_i : i \bmod 3 \neq 0\}$  (Rekursion)
2.  $SA^0 = \text{sort } \{S_i : i \bmod 3 = 0\}$  (einfach mittels  $SA^{12}$ )
3. Mische  $SA^{12}$  und  $SA^0$  (**einfach!**)



# Rekursion, Beispiel

012345678

S anananas .



# Rekursion

- sortiere Tripel  $S[i..i+2]$  für  $i \bmod 3 \neq 0$   
(LSD Radix-Sortieren)
- Finde lexikographische Namen  $S'[1..2n/3]$  der Tripel,  
(d.h.,  $S'[i] < S'[j]$  gdw  $S[i..i+2] < S[j..j+2]$ )
- $S^{12} = [S'[i] : i \bmod 3 = 1] \circ [S'[i] : i \bmod 3 = 2]$ ,  
Suffix  $S_i^{12}$  von  $S^{12}$  repräsentiert  $S_{3i+1}$   
Suffix  $S_{n/3+i}^{12}$  von  $S^{12}$  repräsentiert  $S_{3i+2}$
- Rekursion auf  $(S^{12})$  (Alphabetgröße  $\leq 2n/3$ )
- Annotiere die 12-Suffixe mit ihrer Position in rek. Lösung

# Least Significant Digit First Radix Sort

Hier: Sortiere  $n$  3-Tupel von ganzen Zahlen  $\in [0..n]$  in  
**lexikographische** Reihenfolge

Sortiere nach 3. Position

Elemente sind nach Pos. 3 sortiert

Sortiere **stabil** nach 2. Position

Elemente sind nach Pos. 2,3 sortiert

Sortiere **stabil** nach 1. Position

Elemente sind nach Pos. 1,2,3 sortiert

# Stabiles Ganzzahliges Sortieren

Sortiere  $a[0..n)$  nach  $b[0..n)$  mit  $\text{key}(a[i]) \in [0..n]$

$c[0..n] := [0, \dots, 0]$

Zähler

for  $i \in [0..n)$  do  $c[a[i]]++$

zähle

$s := 0$

for  $i \in [0..n)$  do  $(s, c[i]) := (s + c[i], s)$

Präfixsummen

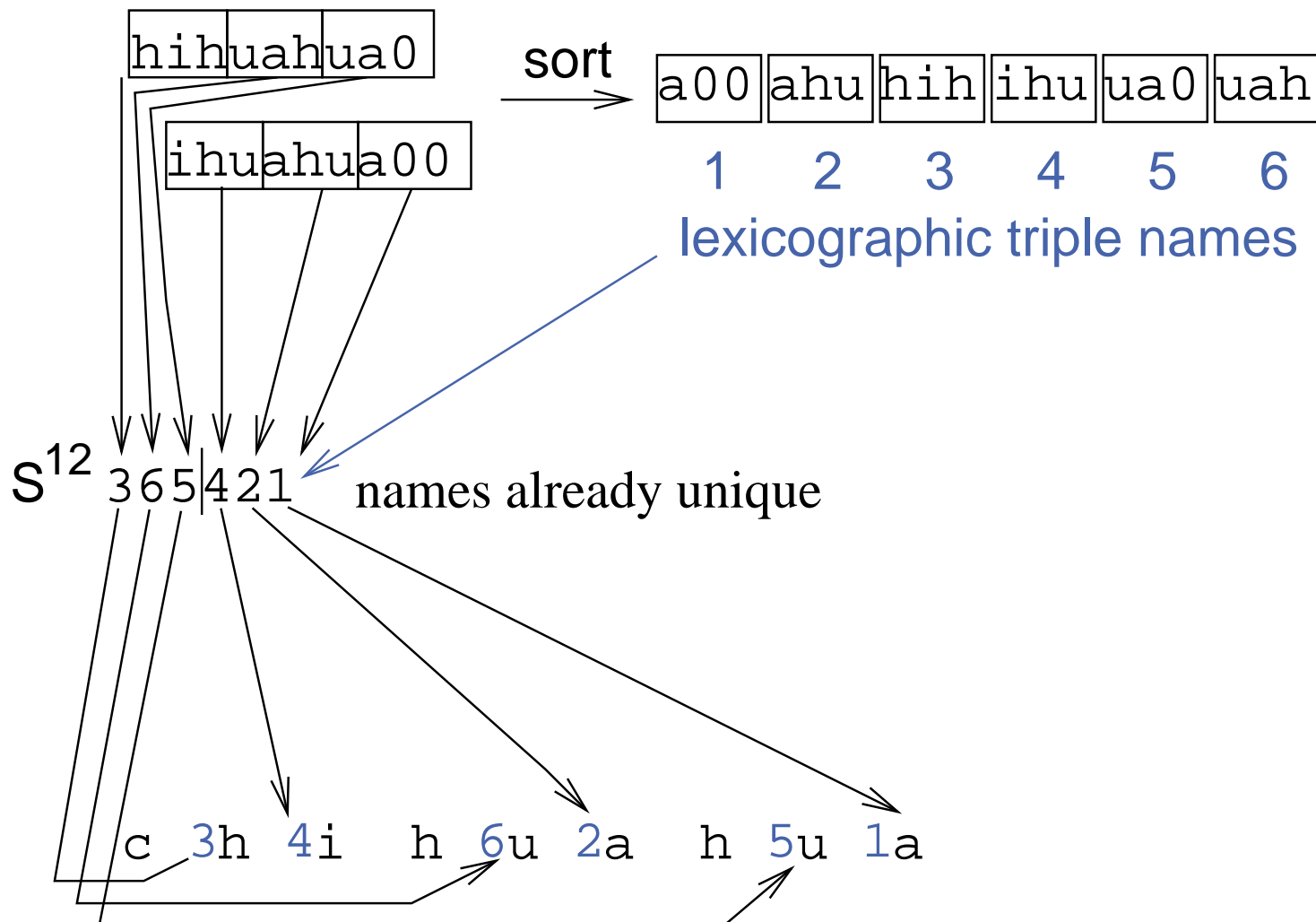
for  $i \in [0..n)$  do  $b[c[a[i]]++] := a[i]$

bucket sort

Zeit  $O(n)$  !

# Rekursions-Beispiel: Einfacher Fall

012345678  
**S** chihuahua



## Sortieren der mod 0 Suffixe

|   |                                     |
|---|-------------------------------------|
| 0 | c 3 (h 4 i 5 h 6 u 2 a 5 h 5 u 1 a) |
| 1 |                                     |
| 2 |                                     |
| 3 | h 6 (u 2 a 5 h 5 u 1 a)             |
| 4 |                                     |
| 5 |                                     |
| 6 | h 5 (u 1 a)                         |
| 7 |                                     |
| 8 |                                     |

Benutze Radix-Sort (LSD-Reihenfolge bereits bekannt)

# Mische $SA^{12}$ und $SA^0$

$$0 < 1 \Leftrightarrow c_n < c_n$$

$$0 < 2 \Leftrightarrow cc_n < cc_n$$

3: h 6 u 2 (ahua)

6: h 5 u 1 (a)

0: c 3 h 4 (ihuahua)

|    |       |   |     |           |
|----|-------|---|-----|-----------|
| 4: | ( 6 ) | u | 2   | (ahua)    |
| 7: | ( 5 ) | u | 1   | (a)       |
| 2: | ( 4 ) | i | h   | 6 (uhua)  |
| 1: | ( 3 ) | h | 4   | (ihuahua) |
| 5: | ( 2 ) | a | h   | 5 (ua)    |
| 8: | ( 1 ) | a | 0 0 | 0 (0)     |

↓

8: a  
 5: ahua  
 0: chihuahua  
 1: hihuahua  
 6: hua  
 3: huahua  
 2: ihuahua  
 7: ua  
 4: uahua

# Analyse

1. Rekursion:  $T(2n/3)$  plus

  Tripel extrahieren:  $O(n)$  (forall  $i, i \bmod 3 \neq 0$  do ...)

  Tripel sortieren:  $O(n)$

    (e.g., LSD-first radix sort — 3 Durchgänge)

  Lexikographisches benenennen:  $O(n)$  (scan)

  Rekursive Instanz konstruieren:  $O(n)$  (forall names do ...)

2.  $SA^0 =$ sortiere  $\{S_i : i \bmod 3 = 0\}$ :  $O(n)$

  (1 Radix-Sort Durchgang)

3. mische  $SA^{12}$  and  $SA^0$ :  $O(n)$

  (gewöhnliches Mischen mit merkwürdiger Vergleichsfunktion)

Insgesamt:  $T(n) \leq cn + T(2n/3)$

$\Rightarrow T(n) \leq 3cn = O(n)$

## Implementierung: Vergleichs-Operatoren

```
inline bool leq(int a1, int a2,    int b1, int b2) {  
    return(a1 < b1 || a1 == b1 && a2 <= b2);  
}  
inline bool leq(int a1, int a2, int a3,    int b1, int b2, int b3) {  
    return(a1 < b1 || a1 == b1 && leq(a2,a3, b2,b3));  
}
```

# Implementierung: Radix-Sortieren

```
// stably sort a[0..n-1] to b[0..n-1] with keys in 0..K from r
static void radixPass(int* a, int* b, int* r, int n, int K)
{ // count occurrences
    int* c = new int[K + 1];                                // counter array
    for (int i = 0; i <= K; i++) c[i] = 0;                  // reset counters
    for (int i = 0; i < n; i++) c[r[a[i]]]++;             // count occurrences
    for (int i = 0, sum = 0; i <= K; i++) { // exclusive prefix sums
        int t = c[i]; c[i] = sum; sum += t;
    }
    for (int i = 0; i < n; i++) b[c[r[a[i]]]++] = a[i]; // sort
    delete [] c;
}
```

# Implementierung: Tripel Sortieren

```
void suffixArray(int* s, int* SA, int n, int K) {  
    int n0=(n+2)/3, n1=(n+1)/3, n2=n/3, n02=n0+n2;  
    int* s12 = new int[n02 + 3]; s12[n02]= s12[n02+1]= s12[n02+2]=0;  
    int* SA12 = new int[n02 + 3]; SA12[n02]=SA12[n02+1]=SA12[n02+2]=0;  
    int* s0 = new int[n0];  
    int* SA0 = new int[n0];  
  
    // generate positions of mod 1 and mod 2 suffixes  
    // the "+(n0-n1)" adds a dummy mod 1 suffix if n%3 == 1  
    for (int i=0, j=0; i < n+(n0-n1); i++) if (i%3 != 0) s12[j++] = i;  
  
    // lsb radix sort the mod 1 and mod 2 triples  
    radixPass(s12 , SA12, s+2, n02, K);  
    radixPass(SA12, s12 , s+1, n02, K);  
    radixPass(s12 , SA12, s , n02, K);
```

# Implementierung: Lexikographisches Benennen

```
// find lexicographic names of triples
int name = 0, c0 = -1, c1 = -1, c2 = -1;
for (int i = 0; i < n02; i++) {
    if (s[SA12[i]] != c0 || s[SA12[i]+1] != c1 || s[SA12[i]+2] != c2) {
        name++;
        c0 = s[SA12[i]];
        c1 = s[SA12[i]+1];
        c2 = s[SA12[i]+2];
    }
    if (SA12[i] % 3 == 1) { s12[SA12[i]/3] = name; } // left half
    else                  { s12[SA12[i]/3 + n0] = name; } // right half
```

# Implementierung: Rekursion

```
// recurse if names are not yet unique
if (name < n02) {
    suffixArray(s12, SA12, n02, name);
    // store unique names in s12 using the suffix array
    for (int i = 0; i < n02; i++) s12[SA12[i]] = i + 1;
} else // generate the suffix array of s12 directly
    for (int i = 0; i < n02; i++) SA12[s12[i] - 1] = i;
```

## Implementierung: Sortieren der mod 0 Suffixe

```
for (int i=0, j=0; i < n02; i++) if (SA12[i] < n0) s0[j++] = 3*SA12[i]
radixPass(s0, SA0, s, n0, K);
```

## Implementierung: Mischen

```

        for (int p=0, t=n0-n1, k=0; k < n; k++) {
#define GetI() (SA12[t] < n0 ? SA12[t] * 3 + 1 : (SA12[t] - n0) * 3 + 2)
        int i = GetI(); // pos of current offset 12 suffix
        int j = SA0[p]; // pos of current offset 0 suffix
        if (SA12[t] < n0 ?
            leq(s[i], s12[SA12[t] + n0], s[j], s12[j/3]) :
            leq(s[i], s[i+1], s12[SA12[t]-n0+1], s[j], s[j+1], s12[j/3+n0]))
        { // suffix from SA12 is smaller
            SA[k] = i; t++;
            if (t == n02) { // done --- only SA0 suffixes left
                for (k++; p < n0; p++, k++) SA[k] = SA0[p];
            }
        } else {
            SA[k] = j; p++;
            if (p == n0) { // done --- only SA12 suffixes left
                for (k++; t < n02; t++, k++) SA[k] = GetI();
            }
        }
    }
    delete [] s12; delete [] SA12; delete [] SA0; delete [] s0; }

```

## Verallgemeinerung: Differenzenüberdeckungen

Ein Differenzenüberdeckung  $D$  modulo  $v$  ist eine Teilmenge von  $[0, v)$ , so dass  $\forall i \in [0, v) : \exists j, k \in D : i \equiv k - j \pmod{v}$ .

Beispiel:

$\{1, 2\}$  ist eine Differenzenüberdeckung modulo 3.

$\{1, 2, 4\}$  ist eine Differenzenüberdeckung modulo 7.

- Führt zu platzeffizienterer Variante
- Schneller für kleine Alphabete

## Verbesserungen / Verallgemeinerungen

- tuning
- größere Differenzenüberdeckungen
- Kombiniere mit den besten Alg. für einfache Eingaben

[Manzini Ferragina 02, Schürmann Stoye 05, Yuta Mori 08]

## Suffixtabellenkonstruktion: Zusammenfassung

- einfache, direkte, Linearzeit für Suffixtabellenkonstruktion
- einfach anpassbar auf fortgeschrittene Berechnungsmodelle
- Verallgemeinerung auf Diff-Überdeckungen ergibt platzeffiziente Implementierung

# Suche in Suffix Arrays

$l := 1; r := n + 1$

**while**  $l < r$  **do** //search left index

$q := \lfloor \frac{l+r}{2} \rfloor$

**if**  $P >_{\text{lex}} T_{\text{SA}}[q] \dots \min\{\text{SA}[q]+m-1, n\}$

**then**  $l := q + 1$  **else**  $r := q$

$s := l; l--; r := n$

**while**  $l < r$  **do** //search right index

$q := \lceil \frac{l+r}{2} \rceil$

**if**  $P =_{\text{lex}} T_{\text{SA}}[q] \dots \min\{\text{SA}[q]+m-1, n\}$

**then**  $l := q$  **else**  $r := q - 1$

**return**  $[s, l]$

- Zeit  $O(m \log n)$  (geht auch:  $O(m + \log n)$ )

# LCP-Array

speichert Längen der längsten gemeinsamen Präfixe lexikographisch benachbarter Suffixe!

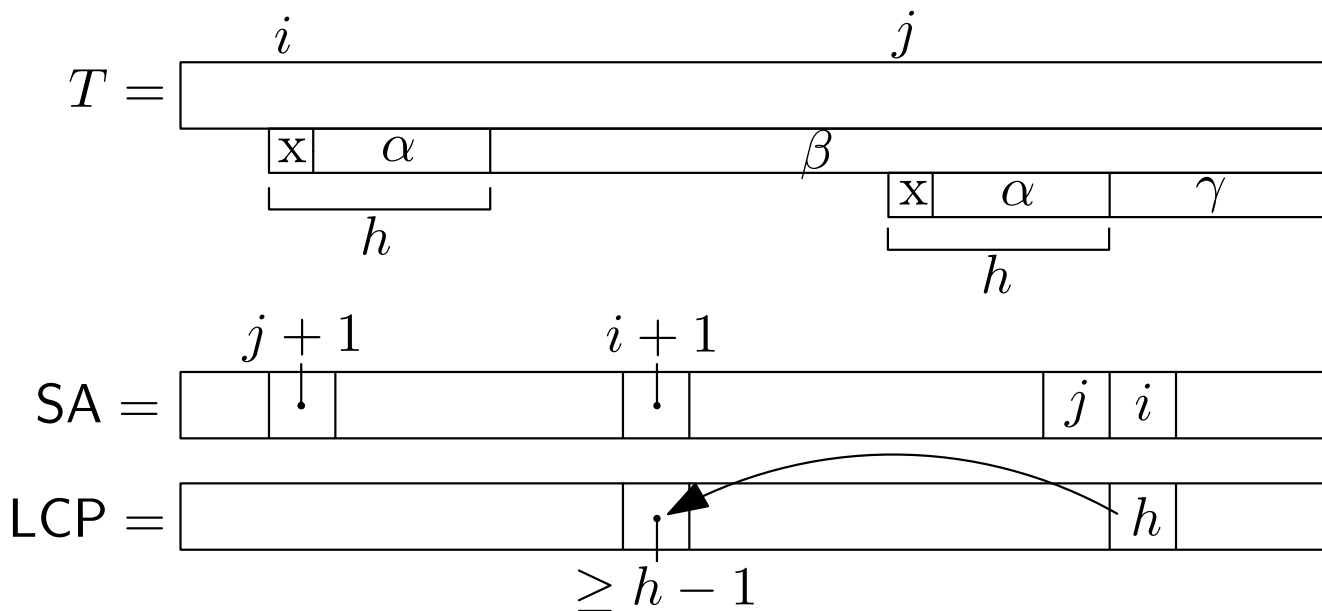
$S = \text{banana}:$

|   |        |   |        |   |               |
|---|--------|---|--------|---|---------------|
| 0 | banana | 5 | a      | 0 | a             |
| 1 | anana  | 3 | ana    | 1 | <b>a</b> na   |
| 2 | nana   | 1 | anana  | 3 | <b>an</b> ana |
| 3 | ana    | 0 | banana | 0 | banana        |
| 4 | na     | 4 | na     | 0 | na            |
| 5 | a      | 2 | nana   | 2 | <b>na</b> na  |

SA =      LCP =

# LCP-Array: Berechnung

- naiv  $O(n^2)$
- inverses Suffix-Array:  $\text{SA}^{-1}[\text{SA}[i]] = i$  (wo steht  $i$  in SA?)
- For all  $1 \leq i < n$ :  $\text{LCP}[\text{SA}^{-1}[i+1]] \geq \text{LCP}[\text{SA}^{-1}[i]] - 1$ .



## LCP-Array: Berechnung

- For all  $1 \leq i < n$ :  $\text{LCP}[\text{SA}^{-1}[i+1]] \geq \text{LCP}[\text{SA}^{-1}[i]] - 1$ .

$h := 0, \text{LCP}[1] := 0$

**for**  $i = 1, \dots, n$  **do**  
**if**  $\text{SA}^{-1}[i] \neq 1$  **then**

**while**  $t_{i+h} = t_{\text{SA}[\text{SA}^{-1}[i]-1]+h}$  **do**  $h++$

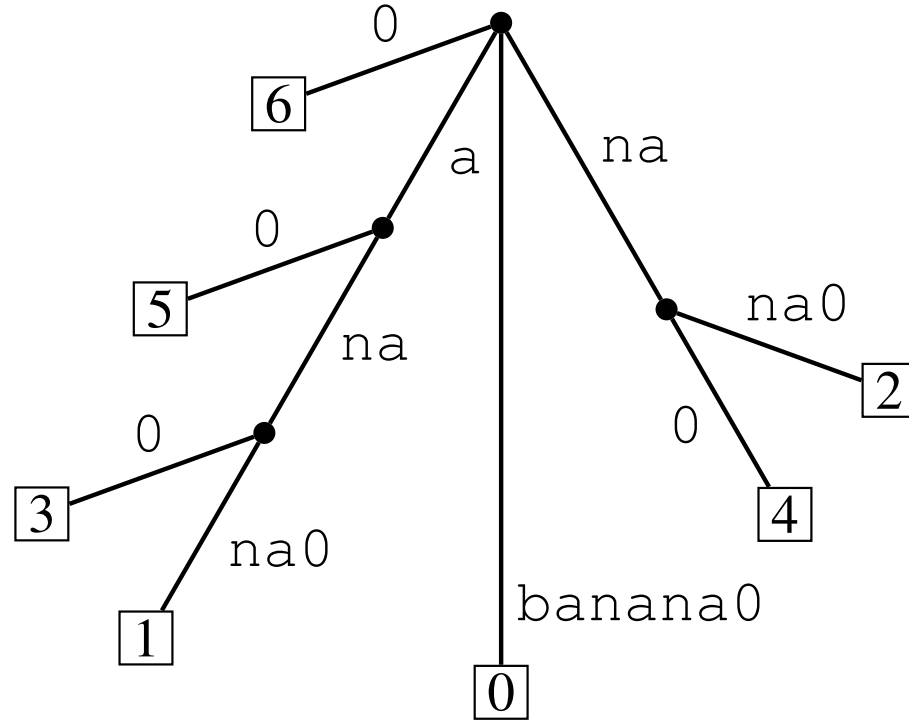
$\text{LCP}[\text{SA}^{-1}[i]] := h$

$h := \max(0, h - 1)$

- Zeit:  $O(n)$

# Suffix-Baum aus SA und LCP

$S = \text{banana}0$



- naiv:  $O(n^2)$
- mit Suffix-Array: in lexikographischer Reihenfolge

## Suffix-Baum aus SA und LCP

- LCP-Werte helfen!
- Betrachte nur **rechtesten Pfad**!
- Finde tiefsten Knoten mit String-Tiefe  $\leq \text{LCP}[i]$   $\rightsquigarrow$  **Einfügepunkt**!

|       |   |   |   |   |   |   |   |
|-------|---|---|---|---|---|---|---|
|       | 0 | 1 | 2 | 3 | 4 | 5 | 6 |
| SA =  | 6 | 5 | 3 | 1 | 0 | 4 | 2 |
| LCP = | 0 | 0 | 1 | 3 | 0 | 0 | 2 |

- Zeit  $O(n)$

## Suche in Suffix-Bäumen

- Suche (alle/ein) Vorkommen von  $P_{1..m}$  in  $T$ :
- Wenn ausgehende Kanten Arrays der Größe  $|\Sigma|$ :
  - $O(m)$  Suchzeit
  - $O(n|\Sigma|)$  Gesamtplatz
- Wenn ausgehende Kanten Arrays der Größe prop. zur #Kinder:
  - $O(m \log |\Sigma|)$  Suchzeit
  - $O(n)$  Platz

# Datenkompression

Problem: bei naiver Speicherung verbrauchen Daten sehr viel Speicherplatz / Kommunikationsbandbreite. Das lässt sich oft reduzieren.

## Varianten:

- Verlustbehaftet (mp3, jpg, ...) / **Verlustfrei** (Text, Dateien, Suchmaschinen, Datenbanken, medizin. Bildverarbeitung, Profifotografie, ...)
- 1D** (text, Zahlenfolgen,...) / 2D (Bilder) / 3D (Filme)
- nur Speicherung** / mit Operationen ( $\rightsquigarrow$  succinct data structures)

# Verlustfreie Textkompression

**Gegeben:** Alphabet  $\Sigma$

String  $S = \langle s_1, \dots, s_n \rangle \in \Sigma^*$

Textkompressionsalgorithms  $f : S \rightarrow f(S)$  mit  $|f(S)|$  (z.B. gemessen in bits) möglichst klein.

# Theorie Verlustfreier Textkompression

Informationstheorie. Zum Beispiel

**Entropie:**  $H(S) = \sum_{c \in \Sigma} p(c) \log(1/p(c))$  wobei

$p(c) = |\{s_i : s_i = c\}|/n$  die relative Häufigkeit von  $c$  ist.

untere Schranke für **# bits** pro Zeichen falls Text einer Zufallsquelle entspränge.

~~~ Huffman-Coding ist annähernd optimal! (Entropiecodierung) ????

Schon eher:

**Entropie höherer Ordnung** betrachte Teilstrings fester Länge

“Ultimativ”: Kolmogorov Komplexität. Leider nicht berechenbar.

# Theorie Verlustfreier Textkompression

**Entropie höherer Ordnung:** Gegeben ein Text  $S$  der Länge  $n$  über dem Alphabet  $\Sigma$ . Wir definieren  $N(\omega, S)$  als Konkatenation aller Zeichen, die in  $S$  auf Vorkommen von  $\omega \in \Sigma^k$  folgen. Wir definieren die **empirische Entropie der Ordung  $k$**  wie folgt:

$$H_k(S) = \sum_{\omega \in \Sigma^k} \frac{|N(\omega, S)|}{n} H(N(\omega, S))$$

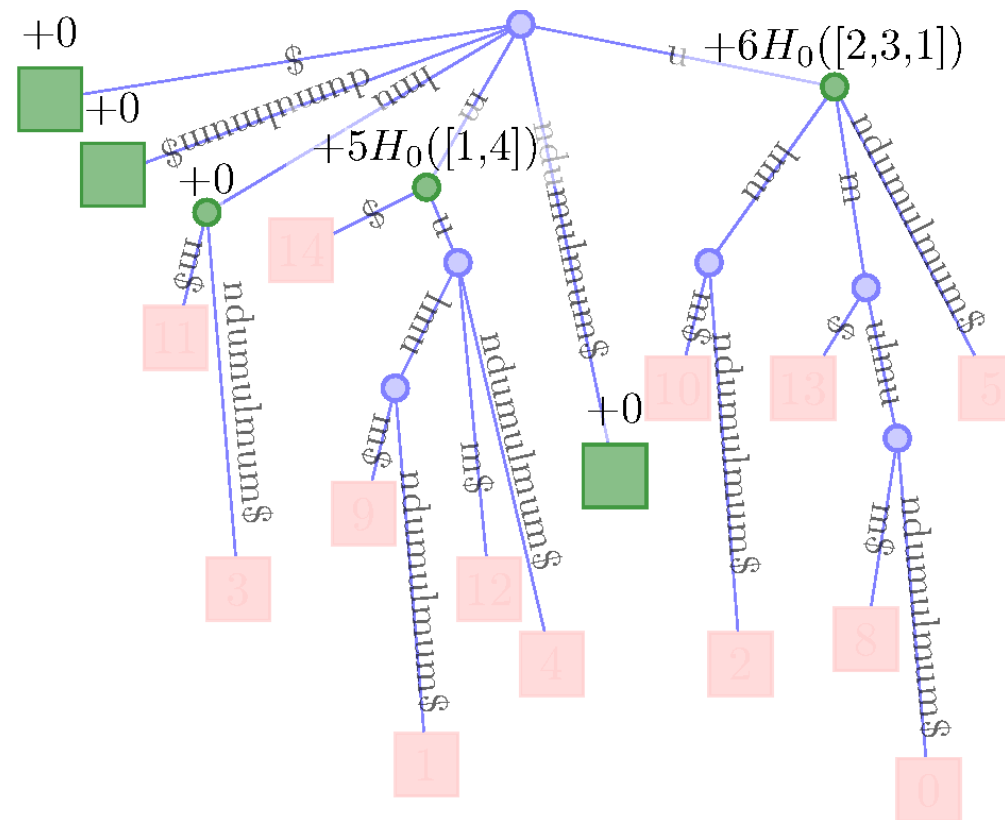
Beispiel:  $S = \text{ananas}$ ,  $k = 2$

$$N(\text{an}, S) = \text{aa}, N(\text{na}, S) = \text{ns}, N(\text{as}, S) = \varepsilon.$$

$$H_2(\text{ananas}) = \frac{2}{6} H(\text{ns}) = \frac{1}{3} \text{ bits}$$

# Theorie Verlustfreier Textkompression

$H_k$ : Berechnung mittels Suffixbaumes (Beispiel:  $H_1$ )



# Theorie Verlustfreier Textkompression

Werte der empirischen Entropie in der Praxis

$H_k(S)$  in bits und (# eindeutiger Kontexte/ $|S|$  in Prozent)

| $k$ | dblp.xm |     | DNA  |     | english |     | proteins |      |
|-----|---------|-----|------|-----|---------|-----|----------|------|
| 0   | 5.26    | 0.0 | 1.97 | 0.0 | 4.53    | 0.0 | 4.20     | 0.0  |
| 1   | 3.48    | 0.0 | 1.93 | 0.0 | 3.62    | 0.0 | 4.18     | 0.0  |
| 2   | 2.17    | 0.0 | 1.92 | 0.0 | 2.95    | 0.0 | 4.16     | 0.0  |
| 3   | 1.43    | 0.1 | 1.92 | 0.0 | 2.42    | 0.0 | 4.07     | 0.0  |
| 4   | 1.05    | 0.4 | 1.91 | 0.0 | 2.06    | 0.3 | 3.83     | 0.1  |
| 5   | 0.82    | 1.3 | 1.90 | 0.0 | 1.84    | 1.0 | 3.16     | 1.7  |
| 6   | 0.70    | 2.7 | 1.88 | 0.0 | 1.67    | 2.7 | 1.50     | 17.4 |

# Wörterbuchbasierte Textkompression

Grundidee: wähle  $\Sigma' \subseteq \Sigma^*$  und ersetze  $S \in \Sigma^*$  durch  
 $S' = \langle s'_1, \dots, s'_k \rangle \in \Sigma'^*$ , so dass  $S = s'_1 \cdot s'_2 \cdots s'_k$ . (mit ‘ $\cdot$ ’= Zeichenkettenkonkatenation.)

Platz  $n \lceil \log \Sigma \rceil \rightarrow k \lceil \log \Sigma' \rceil$  mit Entropiecodierung der Zeichen aus  $\Sigma'$  sogar  $k \text{Entropie}(S')$

**Problem:** zusätzlicher Platz für Wörterbuch.

OK für sehr große Datenbestände.

## Wörterbuchbasierte Textkompression – Beispiel

Volltextsuchmaschinen verwenden oft  $\Sigma' :=$  durch Leerzeichen (etc.)  
separierte Wörter der zugrundeliegenden natürlichen Sprache.  
Spezialbehandlung von Trennzeichen etc.

Gallia est omnis divisa in partes tres, ...  
→ gallia est omnis divisa in partes tres ...

## Lempel-Ziv Kompression (LZ)

Idee: baue Wörterbuch “on the fly” bei Codierung und Decodierung.  
Ohne explizite Speicherung!

# Naive Lempel-Ziv Kompression (LZ)

**Procedure** naiveLZCompress( $\langle s_1, \dots, s_n \rangle, \Sigma$ )

$D := \Sigma$  // Init Dictionary

$p := s_1$  // current string

**for**  $i := 2$  **to**  $n$  **do**

**if**  $p \cdot s_i \in D$  **then**  $p := p \cdot s_i$

**else**

        output code for  $p$

$D := D \cup p \cdot s_i$

$p := s_i$

    output code for  $p$

# Naive LZ Dekompression

**Procedure** naiveLZDecode( $\langle c_1, \dots, c_k \rangle$ )

$D := \Sigma$

output decode( $c_1$ )

**for**  $i := 2$  **to**  $k$  **do**

**if**  $c_i \in D$  **then**

$D := D \cup \text{decode}(c_{i-1}) \cdot \text{decode}(c_i)[1]$

**else**

$D := D \cup \text{decode}(c_{i-1}) \cdot \text{decode}(c_{i-1})[1]$

    output decode( $c_i$ )

# LZ Beispiel: abracadabra

| #  | $p$     | output | input | $D \cup =$ |
|----|---------|--------|-------|------------|
| 1  | $\perp$ | -      | a     | a,b,c,d,r  |
| 2  | a       | a      | b     | ab         |
| 3  | b       | b      | r     | br         |
| 4  | r       | r      | a     | ra         |
| 5  | a       | a      | c     | ac         |
| 6  | c       | c      | a     | ca         |
| 7  | a       | a      | d     | ad         |
| 8  | d       | d      | a     | da         |
| 9  | a       | -      | b     | -          |
| 10 | ab      | ab     | r     | abr        |
| 11 | r       | -      | a     | -          |
| -  | ra      | ra     | -     | -          |

## LZ-Verfeinerungen

- Wörterbuchgröße begrenzen, z.B.  $|D| \leq 4096 \rightsquigarrow 12\text{bit codes.}$
- Von vorn wenn Wörterbuch voll  $\rightsquigarrow$  Blockweise arbeiten
- Kodierung mit **variabler Zahl Bits** (z.B. Huffman, arithmetic coding)
- Selten benutzte Wörterbucheinträge löschen ???
- Wörterbuch effizient implementieren:  
(universelles) hashing

## LCP zwischen beliebigen Suffixen

- Wie berechnet man die Länge des längste gemeinsame Präfix zweier Suffixe  $S_x$  und  $S_y$  mit ( $x \neq y$ )?
- Falls LCP Array schon vorliegt:
  - Sei  $\ell = \min(SA^{-1}[x], SA^{-1}[y])$  und  $r = \max(SA^{-1}[x], SA^{-1}[y])$
  - $LCP(S_x, S_y) = \min_{\ell < i \leq r} \{LCP[i]\}$
  - Frage: Wie bestimmt man die Position des Minimums in einem Array  $A$  effizient?

Motivation für Range-Minimum-Query (RMQ) Datenstrukturen.

# Range minimum queries (RMQs)

## Definition

Given an array  $A$  of length  $n$  containing elements from a totally ordered set. A range minimum query  $rmq_A(\ell, r)$  returns the *position* of the minimal element in the sub-array  $A[\ell, r]$ :

$$rmq_A(\ell, r) = \arg \min_{\ell \leq k \leq r} A[k]$$

## Example

|       |   |   |   |   |   |   |   |   |   |   |    |    |    |    |    |    |
|-------|---|---|---|---|---|---|---|---|---|---|----|----|----|----|----|----|
|       | 0 | 1 | 2 | 3 | 4 | 5 | 6 | 7 | 8 | 9 | 10 | 11 | 12 | 13 | 14 | 15 |
| $A =$ | 8 | 2 | 4 | 7 | 1 | 9 | 3 | 5 | 7 | 4 | 6  | 4  | 3  | 1  | 4  | 8  |

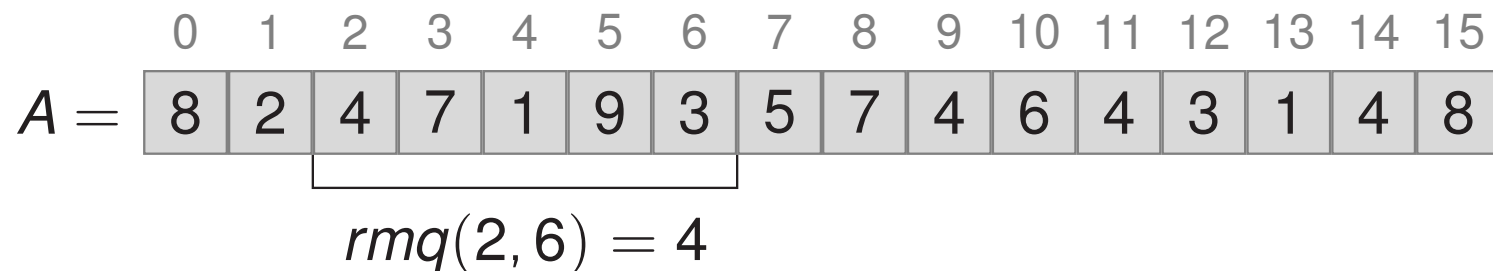
# Range minimum queries (RMQs)

## Definition

Given an array  $A$  of length  $n$  containing elements from a totally ordered set. A range minimum query  $rmq_A(\ell, r)$  returns the *position* of the minimal element in the sub-array  $A[\ell, r]$ :

$$rmq_A(\ell, r) = \arg \min_{\ell \leq k \leq r} A[k]$$

## Example



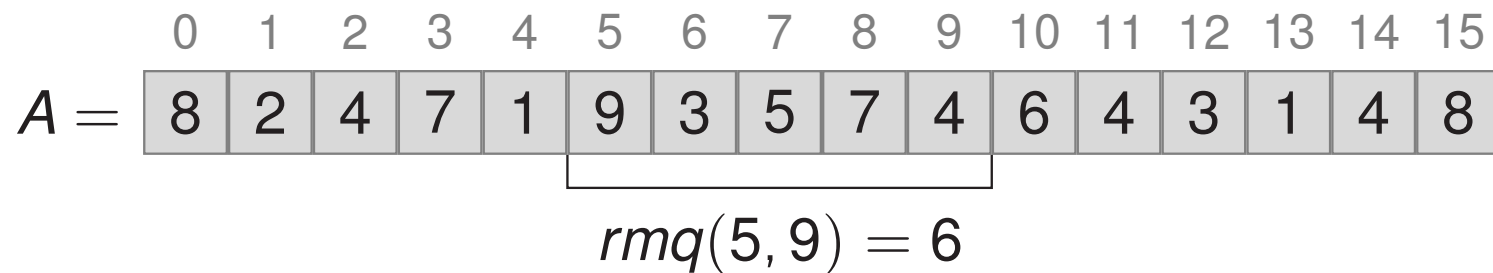
# Range minimum queries (RMQs)

## Definition

Given an array  $A$  of length  $n$  containing elements from a totally ordered set. A range minimum query  $rmq_A(\ell, r)$  returns the *position* of the minimal element in the sub-array  $A[\ell, r]$ :

$$rmq_A(\ell, r) = \arg \min_{\ell \leq k \leq r} A[k]$$

## Example



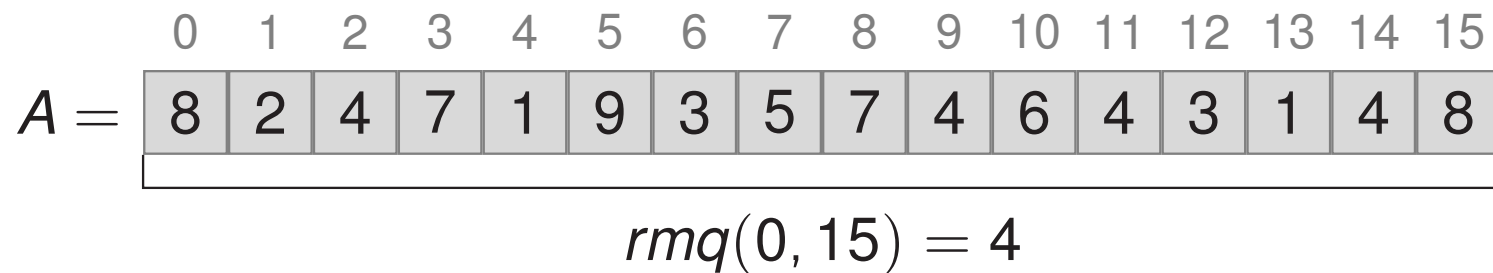
# Range minimum queries (RMQs)

## Definition

Given an array  $A$  of length  $n$  containing elements from a totally ordered set. A range minimum query  $rmq_A(\ell, r)$  returns the *position* of the minimal element in the sub-array  $A[\ell, r]$ :

$$rmq_A(\ell, r) = \arg \min_{\ell \leq k \leq r} A[k]$$

## Example



# Overview

- Notation: Complexity of an algorithm is denoted with  $\langle f(n), g(n) \rangle$ , where  $f(n)$  is preprocessing time and  $g(n)$  query time.
- Different solutions:
  - naïve approach 1:  $\langle O(n^2), O(1) \rangle$  using  $O(n^2)$  words of space
  - naïve approach 2:  $\langle O(1), O(n) \rangle$
  - $\langle O(n), O(\log n) \rangle$  using  $O(n)$  words of space
  - $\langle O(n \log n), O(1) \rangle$  using  $O(n \log n)$  words of space
  - $\langle O(n \log \log n), O(1) \rangle$  using  $O(n \log \log n)$  words of space
  - $\langle O(n), O(1) \rangle$  using  $O(n)$  words of space
  - $\langle O(n), O(1) \rangle$  using  $4n + o(n)$  bits of space
  - $\langle O(n), O(1) \rangle$  using  $2n + o(n)$  bits of space

## Note

The last two solutions do not require access to the original array  $A$ .

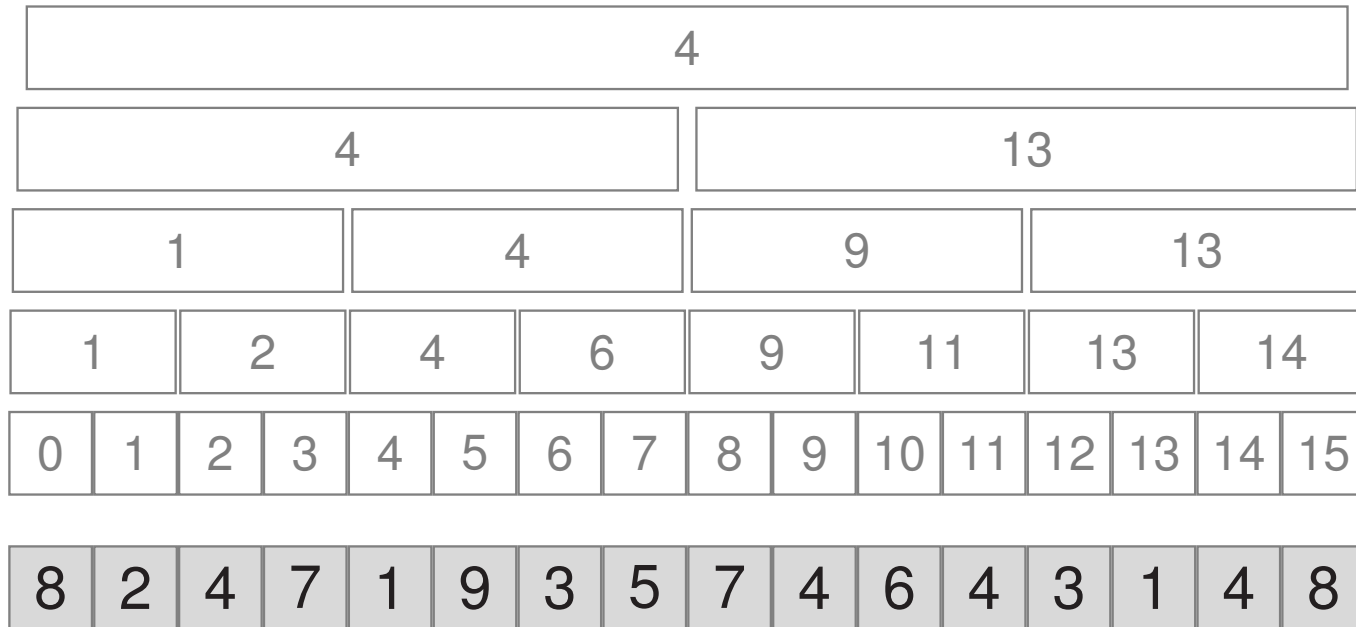
# $\langle O(n), O(\log n) \rangle$ – solution #1

|   |   |   |   |   |   |   |   |   |   |    |    |    |    |    |    |
|---|---|---|---|---|---|---|---|---|---|----|----|----|----|----|----|
| 0 | 1 | 2 | 3 | 4 | 5 | 6 | 7 | 8 | 9 | 10 | 11 | 12 | 13 | 14 | 15 |
|---|---|---|---|---|---|---|---|---|---|----|----|----|----|----|----|

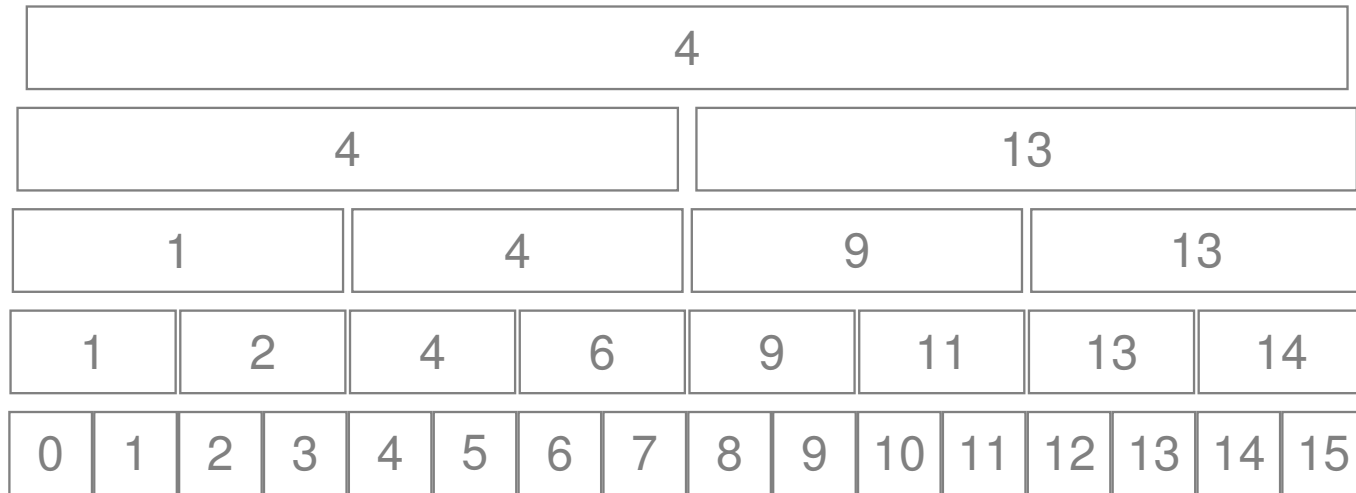
$A =$

|   |   |   |   |   |   |   |   |   |   |   |   |   |   |   |   |
|---|---|---|---|---|---|---|---|---|---|---|---|---|---|---|---|
| 8 | 2 | 4 | 7 | 1 | 9 | 3 | 5 | 7 | 4 | 6 | 4 | 3 | 1 | 4 | 8 |
|---|---|---|---|---|---|---|---|---|---|---|---|---|---|---|---|

# $\langle O(n), O(\log n) \rangle$ – solution #1



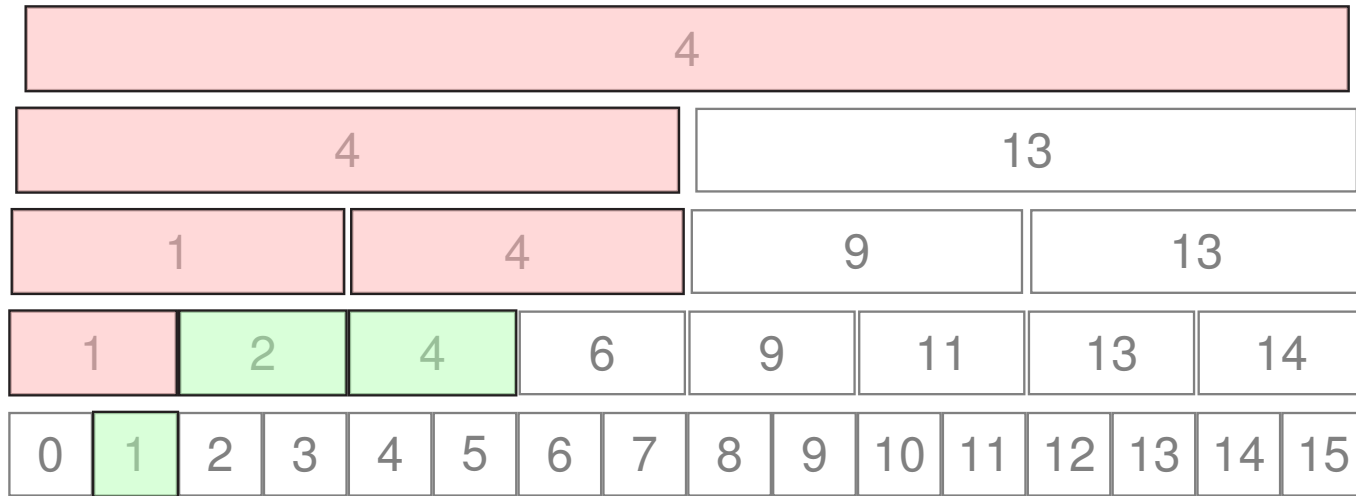
# $\langle O(n), O(\log n) \rangle$ – solution #1



$$A = [8 | 2 | 4 | 7 | 1 | 9 | 3 | 5 | 7 | 4 | 6 | 4 | 3 | 1 | 4 | 8]$$

$$rmq(1, 5) = 4$$

# $\langle O(n), O(\log n) \rangle$ – solution #1



$$A = [8 | 2 | 4 | 7 | 1 | 9 | 3 | 5 | 7 | 4 | 6 | 4 | 3 | 1 | 4 | 8]$$

$$rmq(1, 5) = 4$$

# $\langle O(n), O(\log n) \rangle$ – solution #1

- Store index of minimum in binary interval tree.
- Tree has  $O(n)$  nodes.
- Follow all nodes which overlap with the query interval but are not fully contained in it (at most 2 per level).
- So not more than  $2 \log n$  such nodes in total.
- Select all children of these nodes which are fully contained in the query interval.
- From these nodes select the index with minimal value.

# $\langle O(n \log n), O(1) \rangle$ – solution #2

- For each item  $A[i]$  store an array  $M_i[0, \log n]$ .
- $M_i[j] = rmq_A(i, i + 2^j - 1)$
- Space is  $O(n \log n)$  words
- How long does pre-computation take?

## Querying

Find the largest  $k$  with  $2^k \leq r - l + 1$ . Then

$$rmq_A(l, r) = \begin{cases} M_i[k] & \text{if } A[M_i[k]] < A[M_{j-2^k+1}[k]] \\ M_{j-2^k+1}[k] & \text{otherwise} \end{cases}$$

Question: How can  $k$  be determined in constant time?

# $\langle O(n \log \log n), O(1) \rangle$ solution

- Split  $A$  into  $t = \frac{n}{\log n}$  blocks  $B_0, \dots, B_{t-1}$ .  $B$  spans  $O(\log n)$  items of  $A$ .
- Create an array  $S[0, t - 1]$  with  $S[i] = \min\{x \in B_i\}$
- Build rmq structure #2 for  $S$
- For each block  $B_i$  of  $O(\log n)$  elements build rmq structure #2
- Total space:  $O(n) + O(n \log \log n)$

## Querying

- Determine blocks  $B_{\ell'}, B_{r'}$  which contain  $\ell$  and  $r$
- Calculate  $m = \text{rmq}_S(\ell' + 1, r' - 1)$
- Let  $k_0, k_1, k_2$  be the results of the RMQs in blocks  $\ell'$ ,  $r'$ , and  $m$  relative to  $A$
- Return  $\arg \min_{k_i} A[k_i]$  for  $0 \leq k \leq 3$

# $\langle O(n), O(1) \rangle$ solution

## Definition

The Cartesian Tree  $C$  of an array is defined as follows:

- The root of  $C$  is the (leftmost) minimum element of the array and is labeled with its position
- Removing the root splits the array into two pieces
- The left and right children of the root are recursively constructed Cartesian trees of the left and right subarray
- $C$  can be constructed in linear time

# $\langle O(n), O(1) \rangle$ solution

Solution overview:

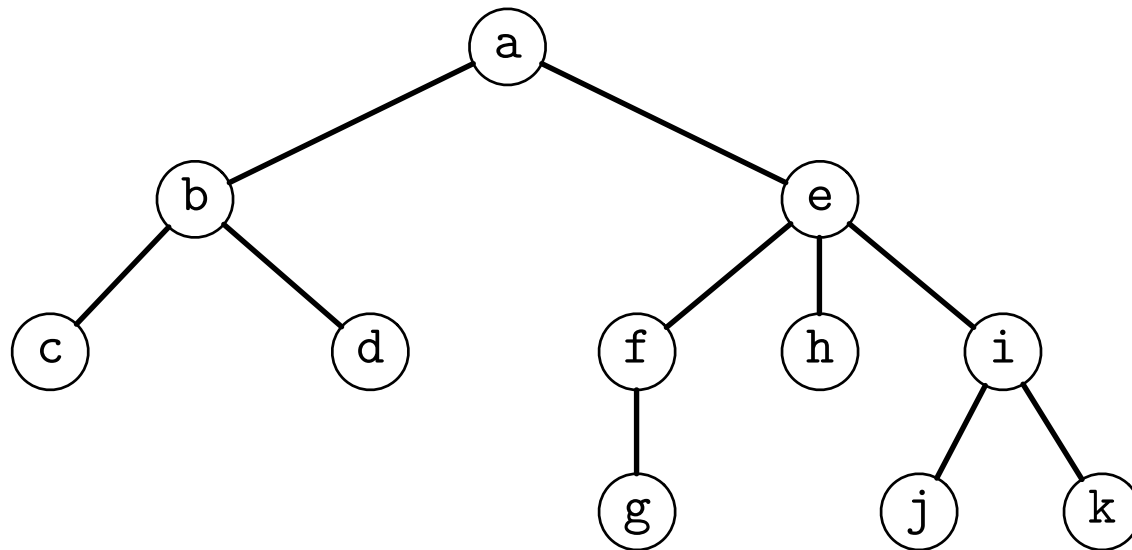
- Partition the array into blocks of size  $s$
- Each block corresponds to a Cartesian Tree of size  $s$
- Precompute the  $s^2$  answers for all  $\frac{1}{s+1} \binom{2s}{s}$  possible Cartesian Trees of size  $s$  in a table  $P$ .
- $P$  requires  $O(2^{2s}s^2)$  words of space
- For  $s = \frac{\log n}{4}$   $P$  requires  $o(n)$  words of space
- Build structure #2 for array A' consisting of the block minima of A. This takes  $O(n)$  construction time and uses  $O(n)$  words of space.

## LCA (Lowest Common Ancestor)

Given a rooted tree  $T$  of  $n$  nodes. For nodes  $v$  and  $w$  of  $T$  the query  $LCA_T(v, w)$  returns the *lowest common ancestor* of  $u$  and  $v$  in  $T$ . I.e. the node which is (1) ancestor of  $v$  and  $w$  and (2) maximizes the distance to the root.

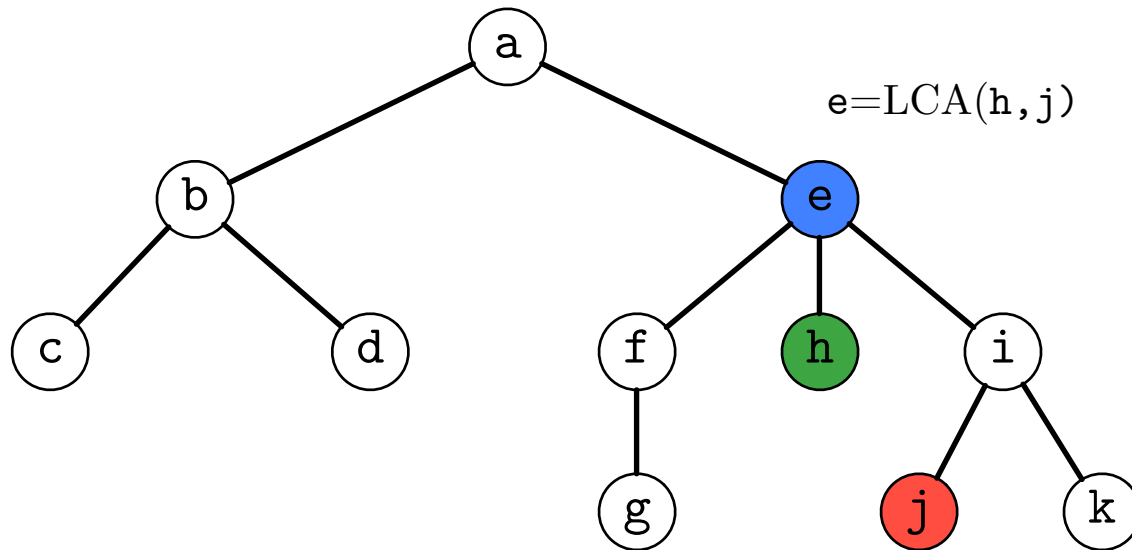
## LCA (Lowest Common Ancestor)

Given a rooted tree  $T$  of  $n$  nodes. For nodes  $v$  and  $w$  of  $T$  the query  $LCA_T(v, w)$  returns the *lowest common ancestor* of  $u$  and  $v$  in  $T$ . I.e. the node which is (1) ancestor of  $v$  and  $w$  and (2) maximizes the distance to the root.



## LCA (Lowest Common Ancestor)

Given a rooted tree  $T$  of  $n$  nodes. For nodes  $v$  and  $w$  of  $T$  the query  $LCA_T(v, w)$  returns the *lowest common ancestor* of  $u$  and  $v$  in  $T$ . I.e. the node which is (1) ancestor of  $v$  and  $w$  and (2) maximizes the distance to the root.



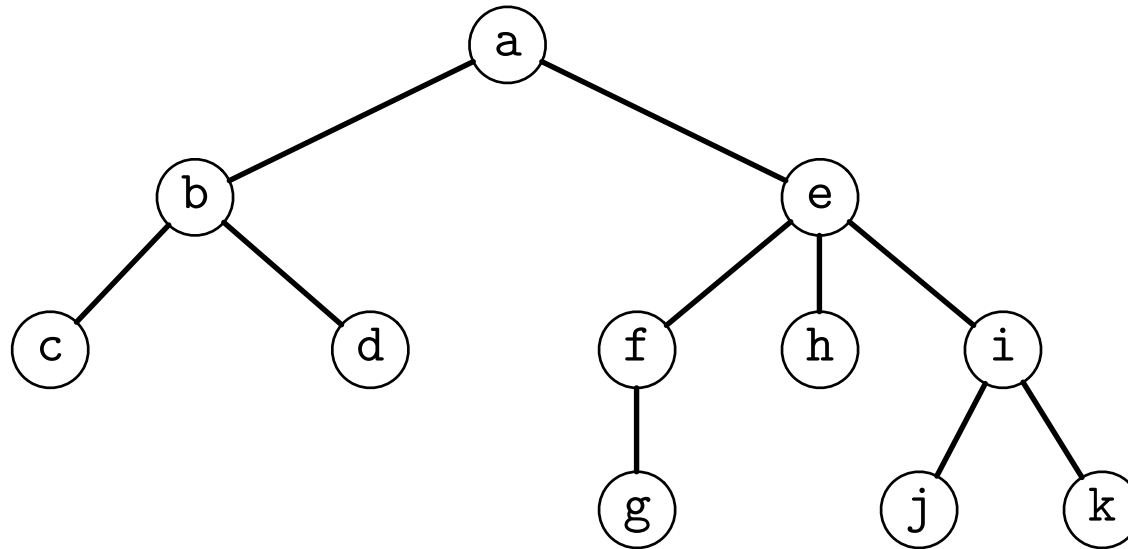
## Lemma

If there is a  $\langle f(n), g(n) \rangle$ -time solution for RMQ, then there is a  $\langle f(2n - 1) + O(n), g(2n - 1) + O(1) \rangle$ -time solution for LCA.

- Let  $T$  be the Cartesian Tree of array  $A$
- Let array  $E[0, \dots, 2n - 2]$  store the nodes visited in an DFS Euler Tour of  $T$
- Let array  $L[0, \dots, 2n - 2]$  store the corresp. levels of the nodes in  $E$
- Let  $R[0, \dots, n - 1]$  be an array which stores a representative  $R[i] = \min\{j \mid E[j] = i\}$  for each node  $i$  of  $T$

# LCA & $\pm 1$ RMQ

## Example



$i = 0 \ 1 \ 2 \ 3 \ 4 \ 5 \ 6 \ 7 \ 8 \ 9 \ 0 \ 1 \ 2 \ 3 \ 4 \ 5 \ 6 \ 7 \ 8 \ 9 \ 0$

$E = a \ b \ c \ b \ d \ b \ a \ e \ f \ g \ f \ e \ h \ e \ i \ j \ i \ k \ i \ e \ a$

$L = 0 \ 1 \ 2 \ 1 \ 2 \ 1 \ 0 \ 1 \ 2 \ 3 \ 2 \ 1 \ 2 \ 1 \ 2 \ 3 \ 2 \ 3 \ 2 \ 1 \ 0$

$a \ b \ c \ d \ e \ f \ g \ h \ i \ j \ k$

$R = 0 \ 1 \ 2 \ 4 \ 7 \ 8 \ 9 \ 12 \ 14 \ 15 \ 17$

# LCA & $\pm 1$ RMQ

## Example

i = 0 1 2 3 4 5 6 7 8 9 0 1 2 3 4 5 6 7 8 9 0

E = a b c b d b a e f g f e h e i j i k i e a

L = 0 1 2 1 2 1 0 1 2 3 2 1 2 1 2 3 2 3 2 1 0

a b c d e f g h i j k

R = 0 1 2 4 7 8 9 12 14 15 17

$$LCA_T(v, w) = E[RMQ_L(\min(R[v], R[w]), \max(R[v], R[w]))]$$

# LCA & $\pm 1$ RMQ

## Example

$i = 0 \ 1 \ 2 \ 3 \ 4 \ 5 \ 6 \ 7 \ 8 \ 9 \ 0 \ 1 \ 2 \ 3 \ 4 \ 5 \ 6 \ 7 \ 8 \ 9 \ 0$

$E = a \ b \ c \ b \ d \ b \ a \ e \ f \ g \ f \ e \ h \ e \ i \ j \ i \ k \ i \ e \ a$

$L = 0 \ 1 \ 2 \ 1 \ 2 \ 1 \ 0 \ 1 \ 2 \ 3 \ 2 \ 1 \ 2 \ 1 \ 2 \ 3 \ 2 \ 3 \ 2 \ 1 \ 0$

a b c d e f g h i j k

$R = 0 \ 1 \ 2 \ 4 \ 7 \ 8 \ 9 \ 12 \ 14 \ 15 \ 17$

$$LCA_T(v, w) = E[RMQ_L(\min(R[v], R[w]), \max(R[v], R[w]))]$$

Note:  $(L[i] - L[i + 1]) \in \{-1, +1\}$ . So we only need to solve RMQs over arrays with this  $\pm 1$  restriction. This is called  $\pm 1$  RMQ.

# $\langle O(n), O(1) \rangle$ solution ( $4n + o(n)$ bits)

1

|     |   |   |   |   |   |   |   |   |   |   |   |   |
|-----|---|---|---|---|---|---|---|---|---|---|---|---|
| i = | 0 | 1 | 2 | 3 | 4 | 5 | 6 | 7 | 8 | 9 | 0 | 1 |
| A = | 4 | 6 | 3 | 5 | 1 | 4 | 6 | 4 | 5 | 2 | 6 | 3 |

# $\langle O(n), O(1) \rangle$ solution ( $4n + o(n)$ bits)

1  
i = 0 1 2 3 4 5 6 7 8 9 0 1  
A = 4 6 3 5 1 4 6 4 5 2 6 3

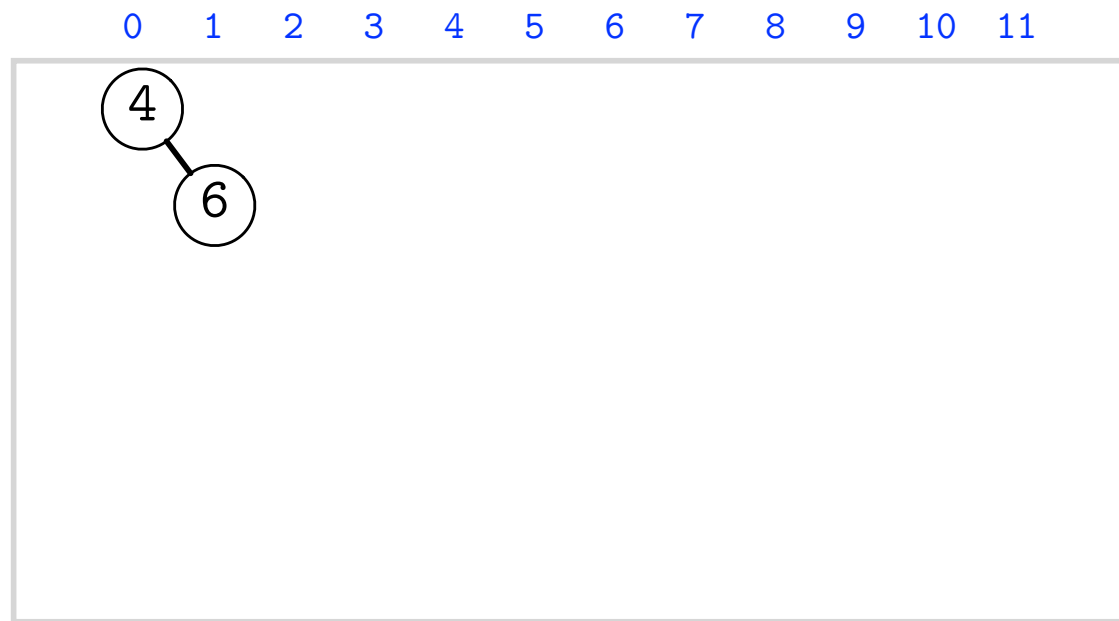
## (1) Build Cartesian Tree



# $\langle O(n), O(1) \rangle$ solution ( $4n + o(n)$ bits)

1  
i = 0 1 2 3 4 5 6 7 8 9 0 1  
A = 4 6 3 5 1 4 6 4 5 2 6 3

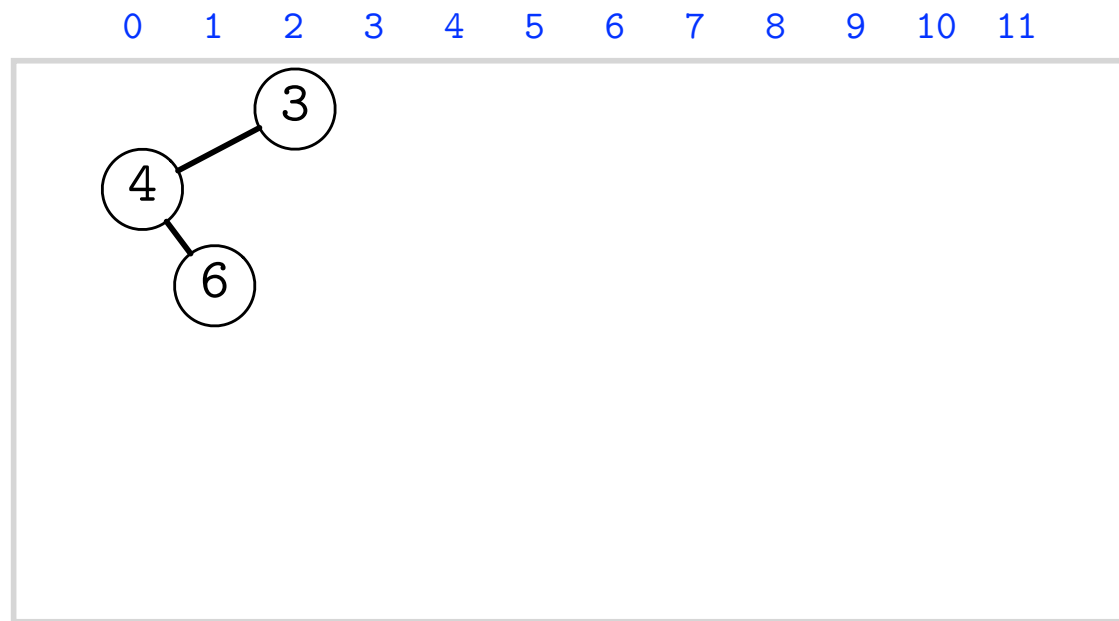
## (1) Build Cartesian Tree



# $\langle O(n), O(1) \rangle$ solution ( $4n + o(n)$ bits)

1  
i = 0 1 2 3 4 5 6 7 8 9 0 1  
A = 4 6 3 5 1 4 6 4 5 2 6 3

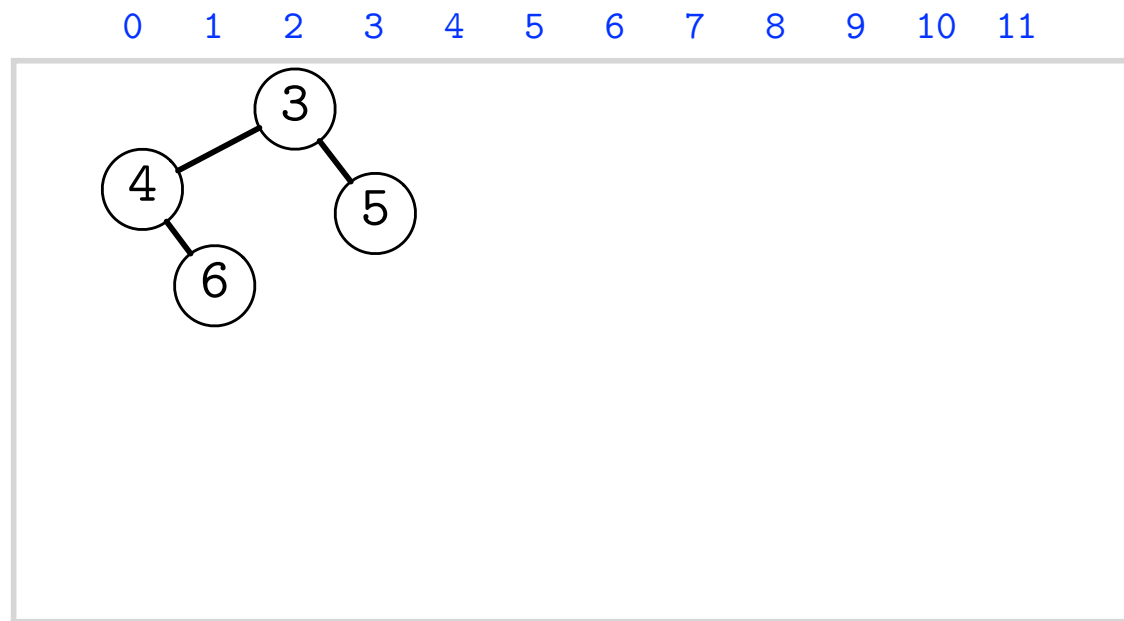
## (1) Build Cartesian Tree



# $\langle O(n), O(1) \rangle$ solution ( $4n + o(n)$ bits)

1  
i = 0 1 2 3 4 5 6 7 8 9 0 1  
A = 4 6 3 5 1 4 6 4 5 2 6 3

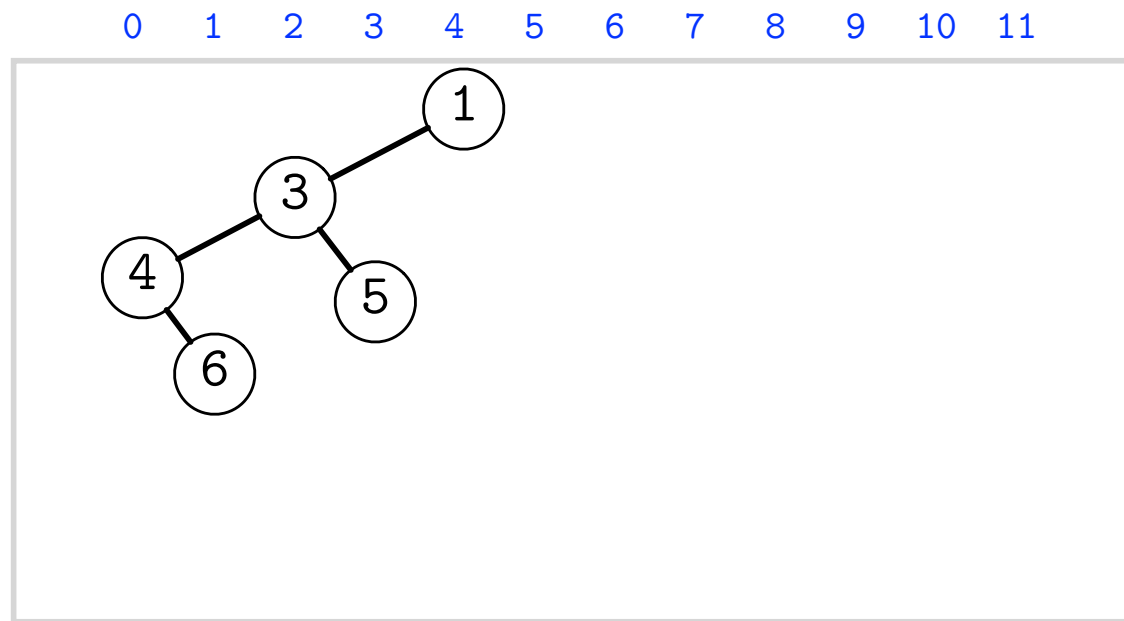
## (1) Build Cartesian Tree



# $\langle O(n), O(1) \rangle$ solution ( $4n + o(n)$ bits)

1  
i = 0 1 2 3 4 5 6 7 8 9 0 1  
A = 4 6 3 5 1 4 6 4 5 2 6 3

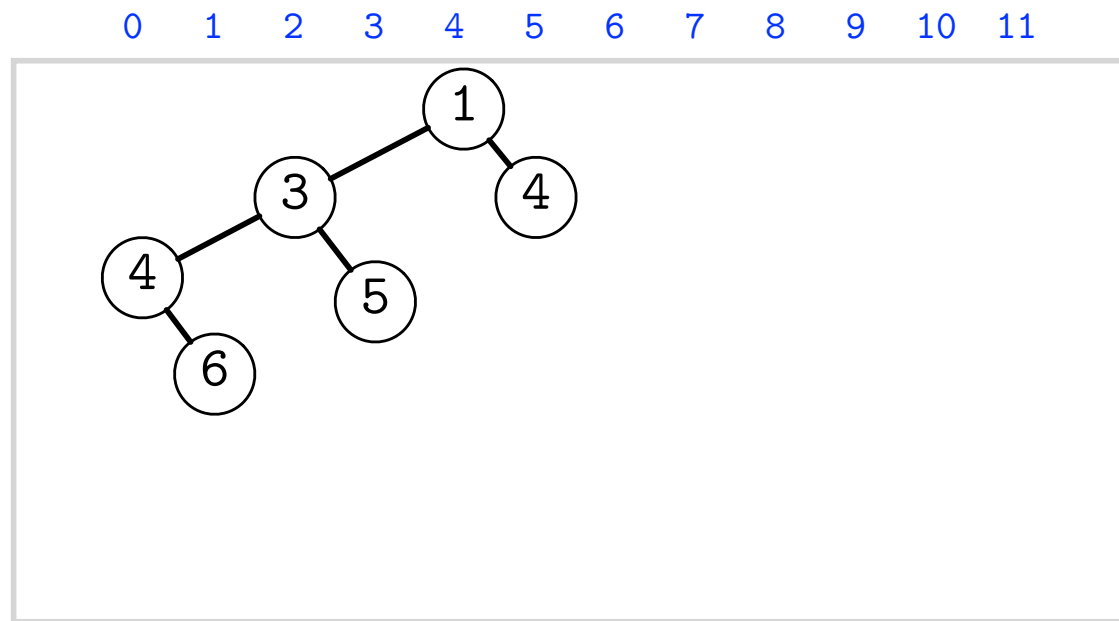
## (1) Build Cartesian Tree



# $\langle O(n), O(1) \rangle$ solution ( $4n + o(n)$ bits)

1  
i = 0 1 2 3 4 5 6 7 8 9 0 1  
A = 4 6 3 5 1 4 6 4 5 2 6 3

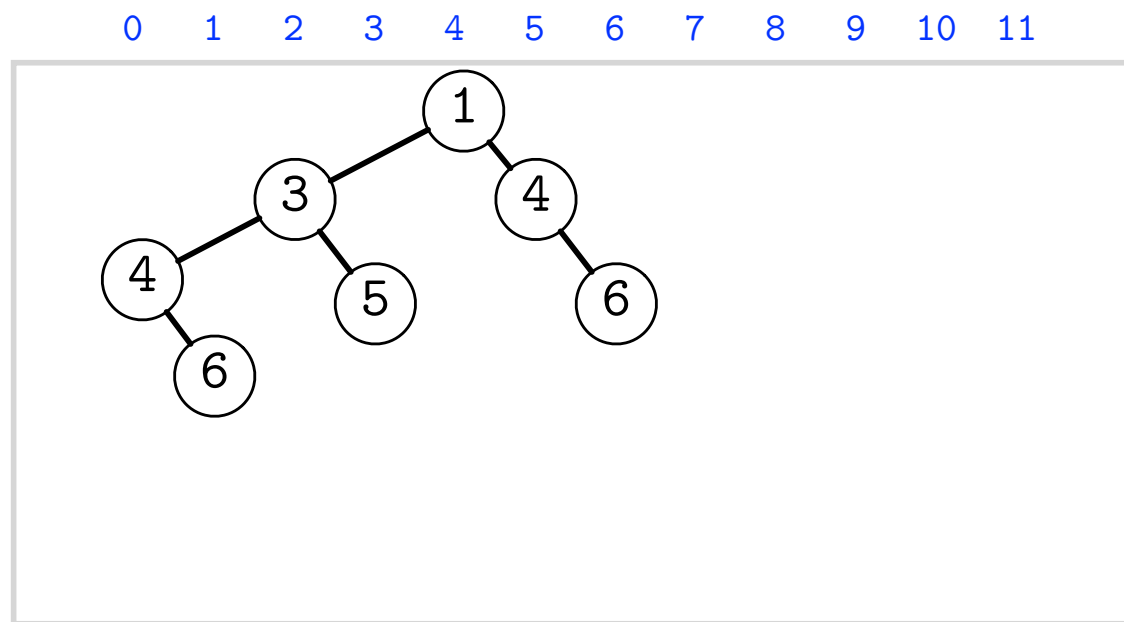
## (1) Build Cartesian Tree



# $\langle O(n), O(1) \rangle$ solution ( $4n + o(n)$ bits)

1  
i = 0 1 2 3 4 5 6 7 8 9 0 1  
A = 4 6 3 5 1 4 6 4 5 2 6 3

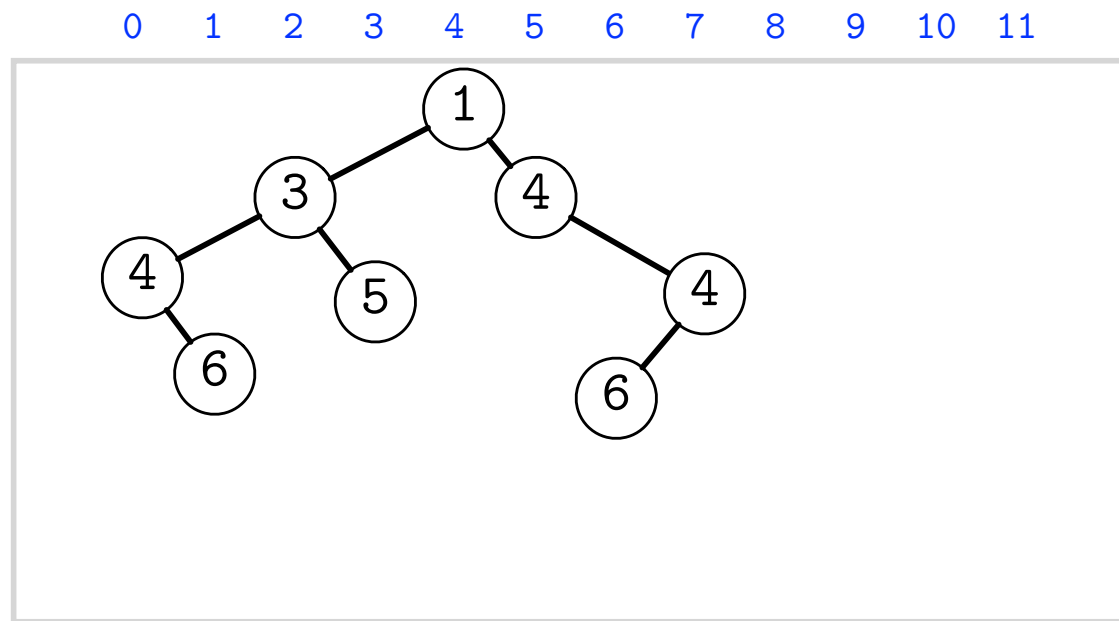
## (1) Build Cartesian Tree



# $\langle O(n), O(1) \rangle$ solution ( $4n + o(n)$ bits)

1  
i = 0 1 2 3 4 5 6 7 8 9 0 1  
A = 4 6 3 5 1 4 6 4 5 2 6 3

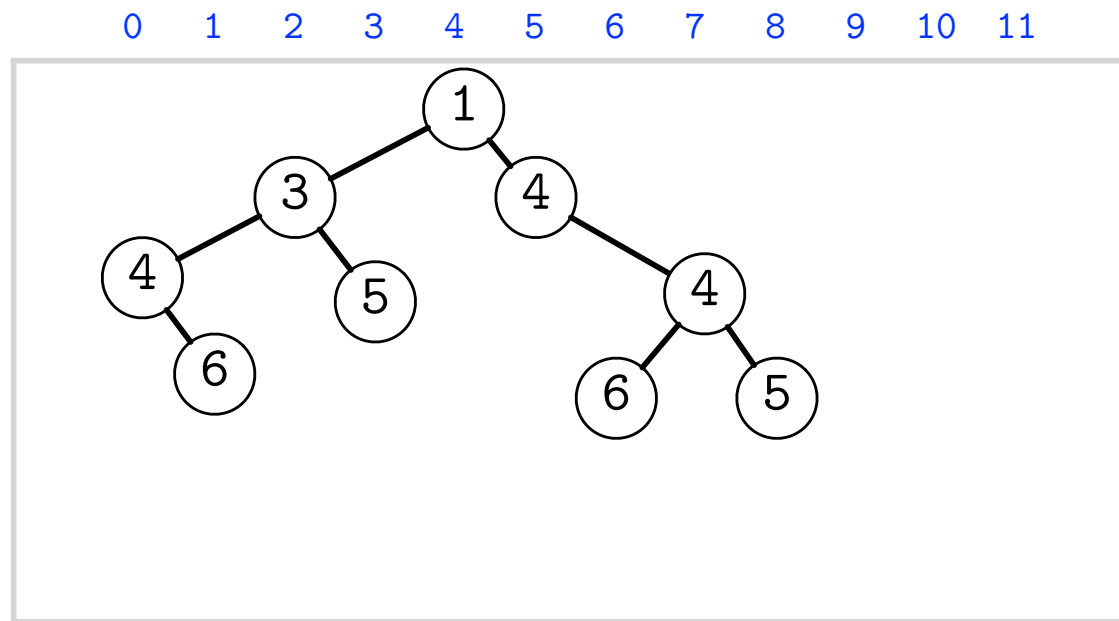
## (1) Build Cartesian Tree



# $\langle O(n), O(1) \rangle$ solution ( $4n + o(n)$ bits)

1  
i = 0 1 2 3 4 5 6 7 8 9 0 1  
A = 4 6 3 5 1 4 6 4 5 2 6 3

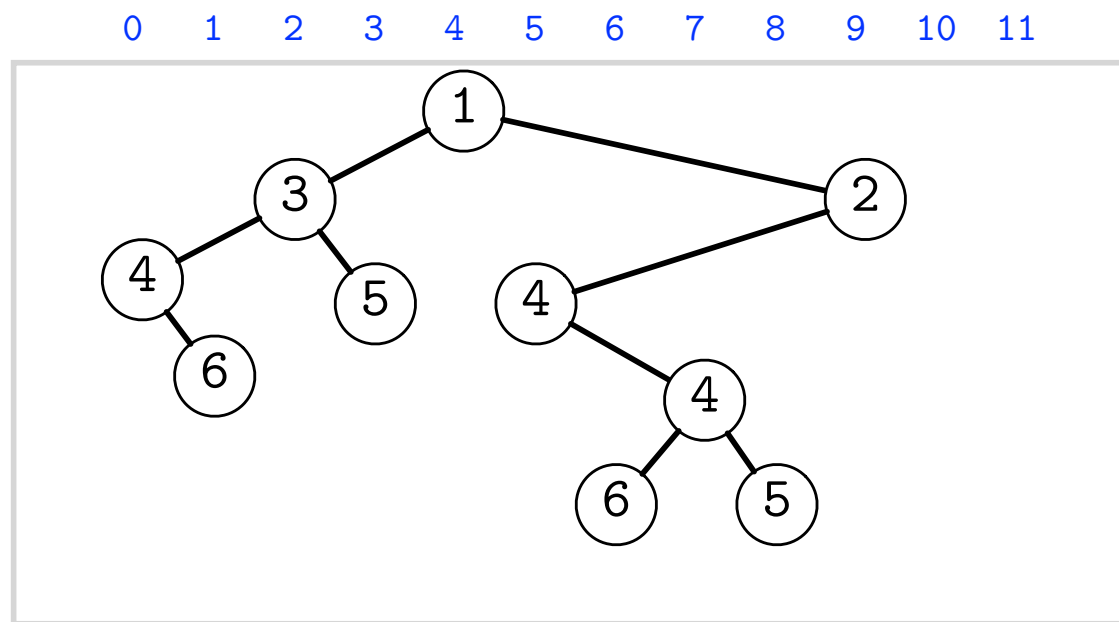
## (1) Build Cartesian Tree



# $\langle O(n), O(1) \rangle$ solution ( $4n + o(n)$ bits)

1  
i = 0 1 2 3 4 5 6 7 8 9 0 1  
A = 4 6 3 5 1 4 6 4 5 2 6 3

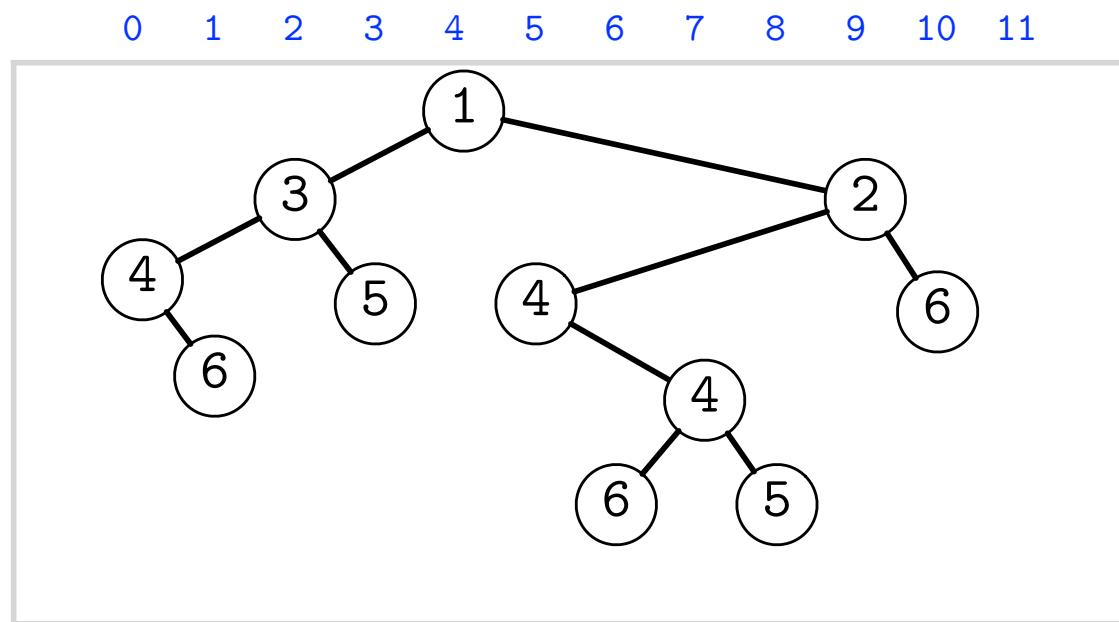
## (1) Build Cartesian Tree



# $\langle O(n), O(1) \rangle$ solution ( $4n + o(n)$ bits)

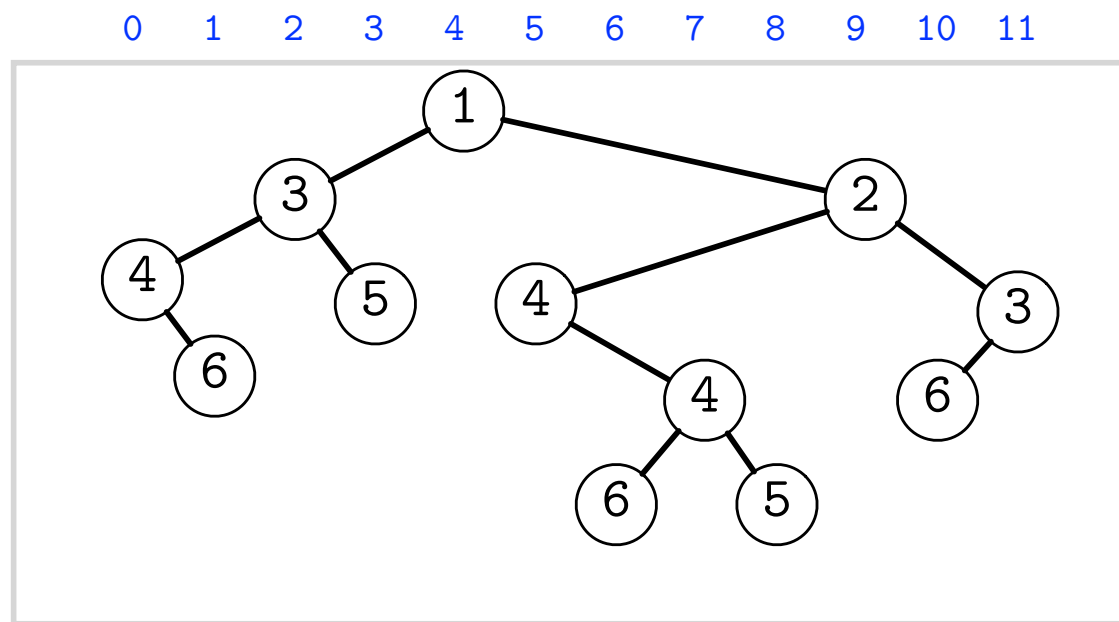
1  
i = 0 1 2 3 4 5 6 7 8 9 0 1  
A = 4 6 3 5 1 4 6 4 5 2 6 3

## (1) Build Cartesian Tree



1  
i = 0 1 2 3 4 5 6 7 8 9 0 1  
A = 4 6 3 5 1 4 6 4 5 2 6 3

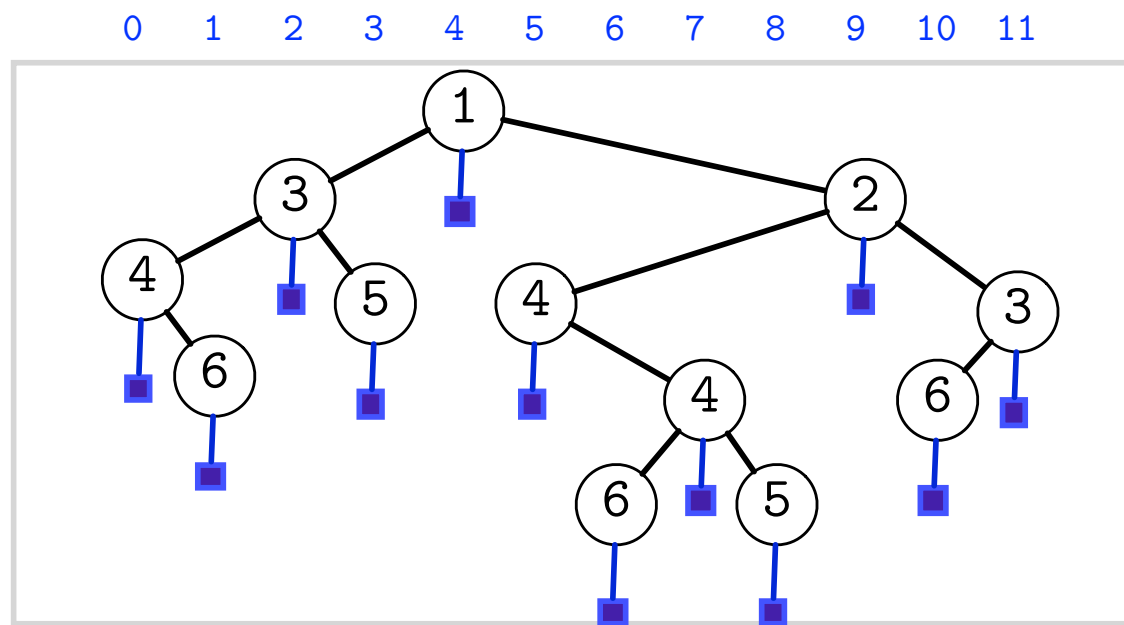
## (1) Build Cartesian Tree



# $\langle O(n), O(1) \rangle$ solution ( $4n + o(n)$ bits)

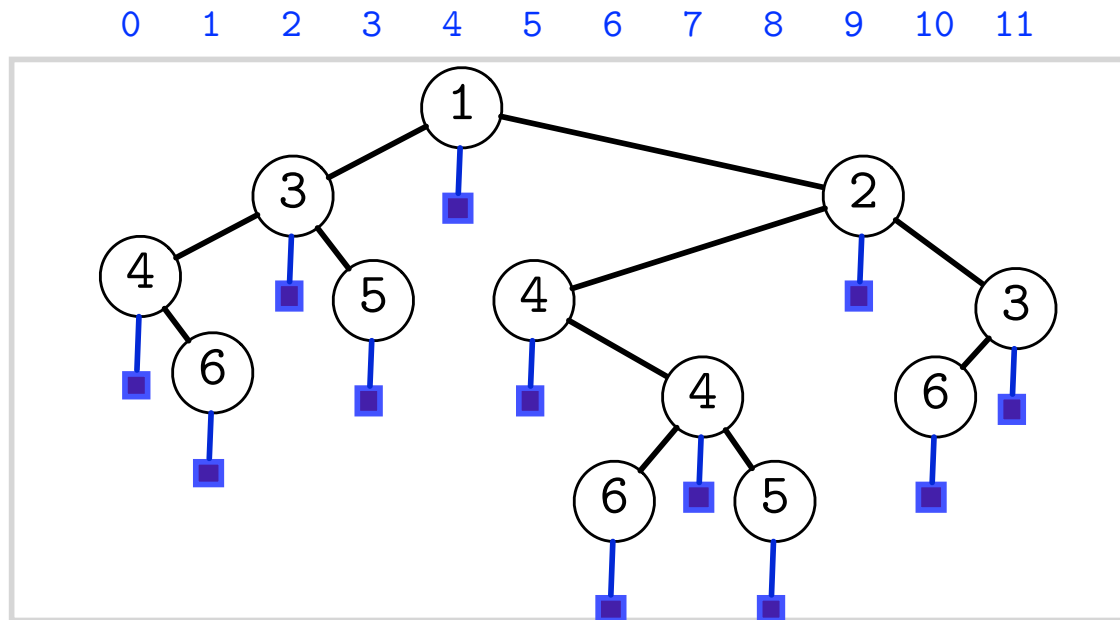
1  
i = 0 1 2 3 4 5 6 7 8 9 0 1  
A = 4 6 3 5 1 4 6 4 5 2 6 3

(2) Add a leaf to each node



# $\langle O(n), O(1) \rangle$ solution ( $4n + o(n)$ bits)

(2) Add a leaf to each node

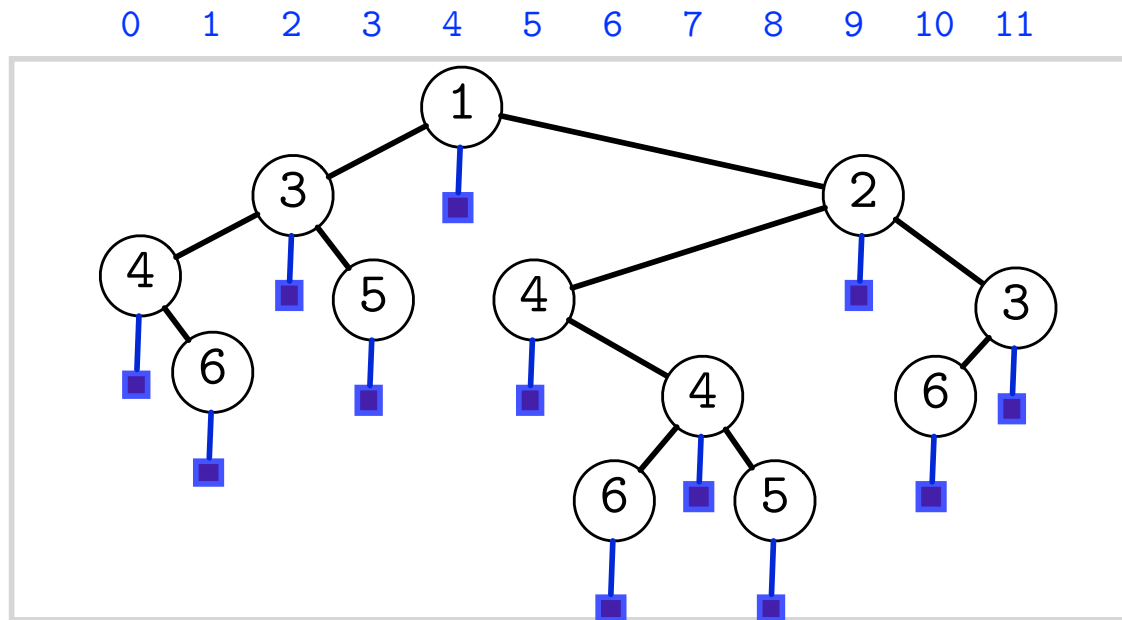


(3) DFS traversal to construct balanced parentheses sequence

$$BP_{ext} =$$

# $\langle O(n), O(1) \rangle$ solution ( $4n + o(n)$ bits)

(2) Add a leaf to each node

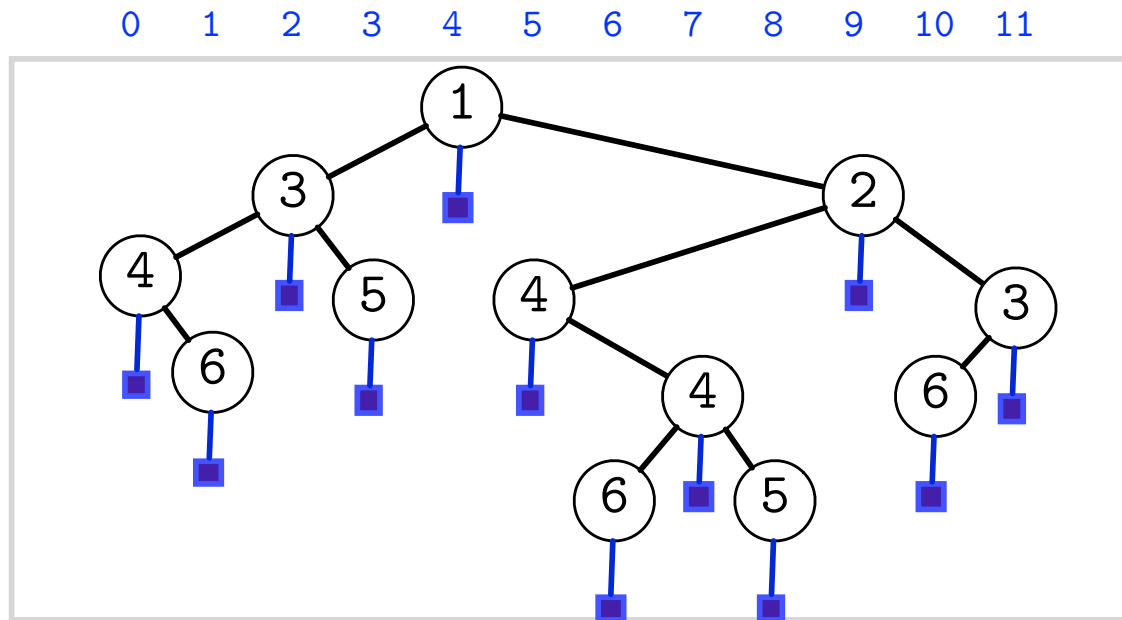


(3) DFS traversal to construct balanced parentheses sequence

$$BP_{ext} = \overset{1}{(}$$

# $\langle O(n), O(1) \rangle$ solution ( $4n + o(n)$ bits)

(2) Add a leaf to each node

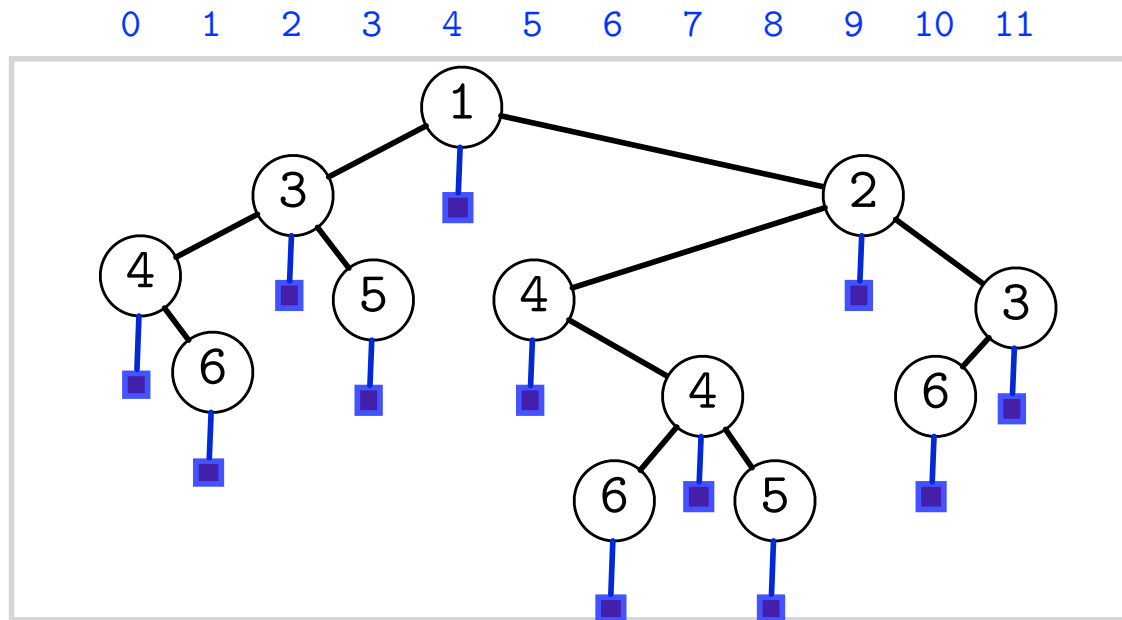


(3) DFS traversal to construct balanced parentheses sequence

$$BP_{ext} = ((^{1\ 3})$$

# $\langle O(n), O(1) \rangle$ solution ( $4n + o(n)$ bits)

(2) Add a leaf to each node

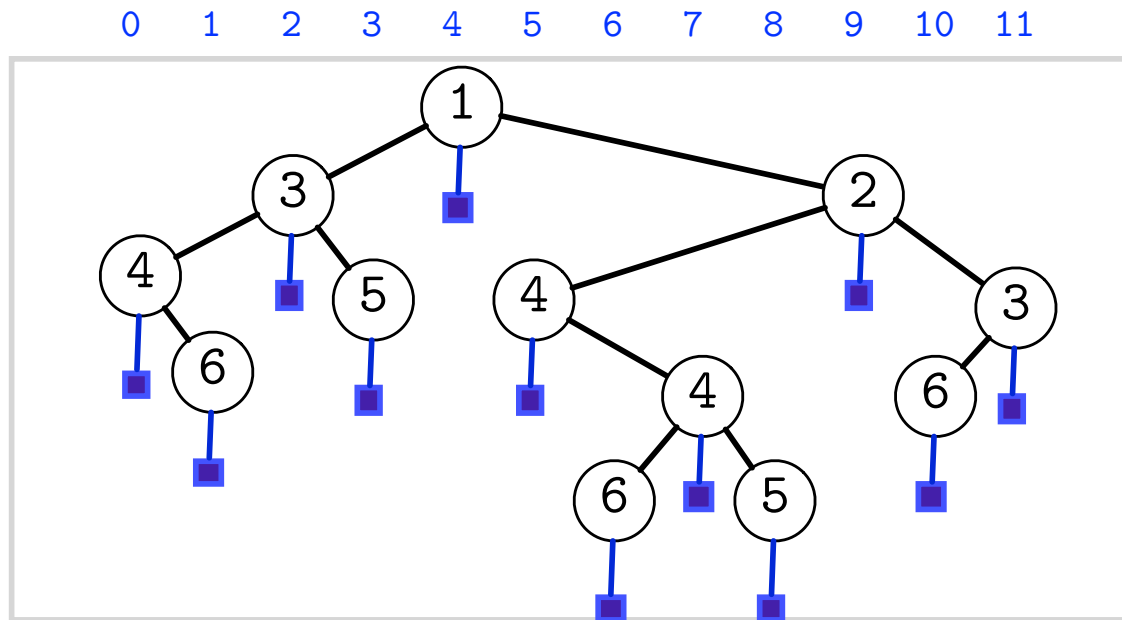


(3) DFS traversal to construct balanced parentheses sequence

$$\begin{matrix} & 1 & 3 & 4 \\ BP_{ext} = & (( & ( & ( \end{matrix}$$

# $\langle O(n), O(1) \rangle$ solution ( $4n + o(n)$ bits)

(2) Add a leaf to each node

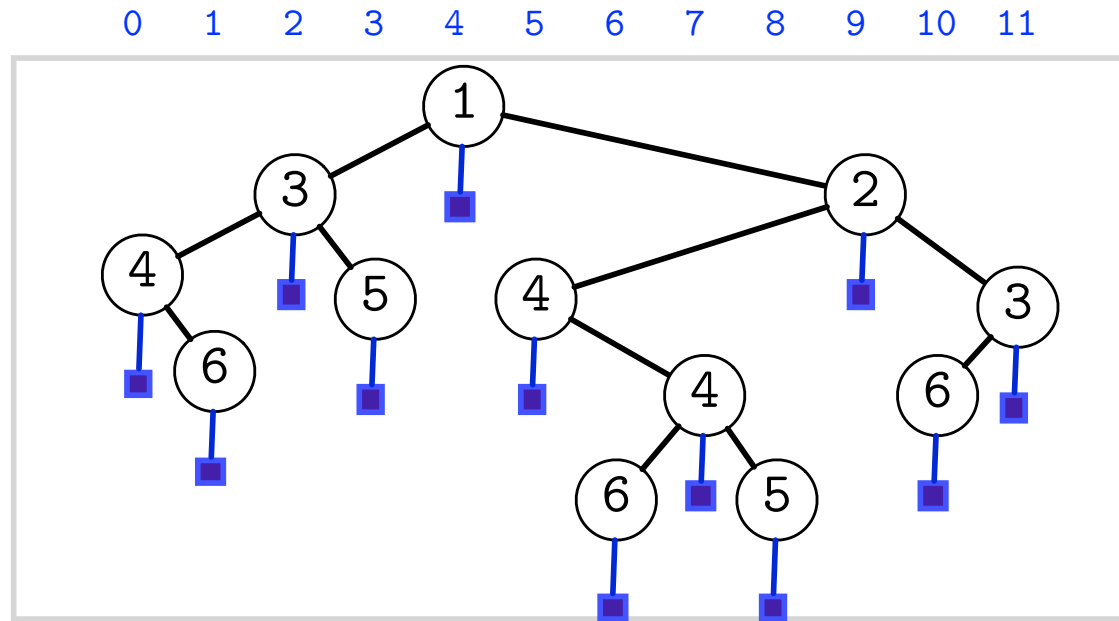


(3) DFS traversal to construct balanced parentheses sequence

$BP_{ext} = (((()$

# $\langle O(n), O(1) \rangle$ solution ( $4n + o(n)$ bits)

(2) Add a leaf to each node



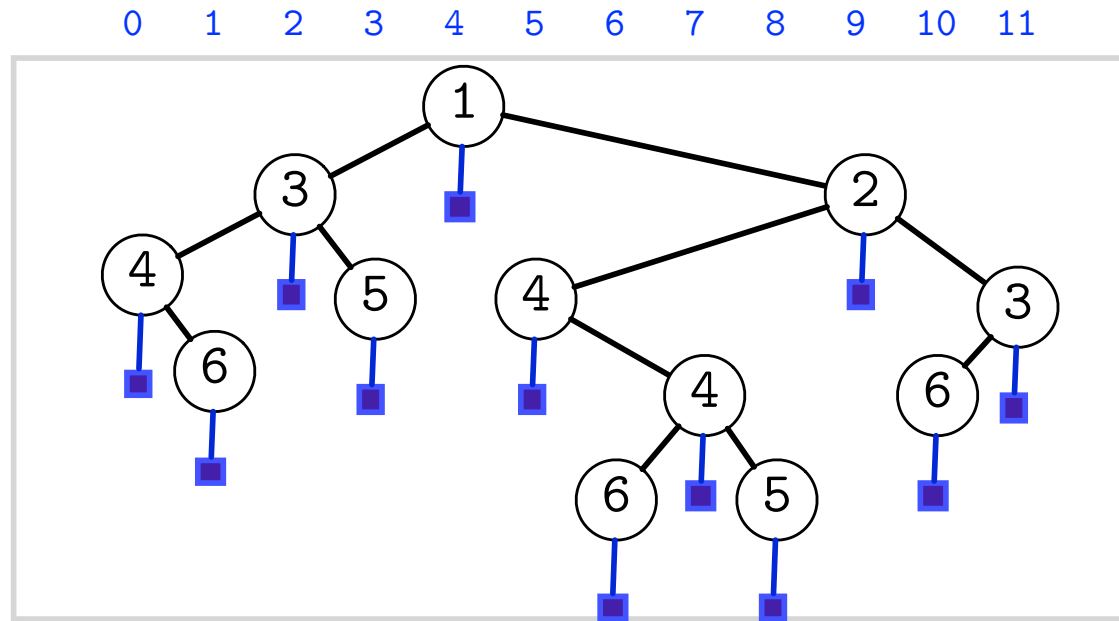
(3) DFS traversal to construct balanced parentheses sequence

$$BP_{ext} = ((((( ))))$$

0

# $\langle O(n), O(1) \rangle$ solution ( $4n + o(n)$ bits)

(2) Add a leaf to each node



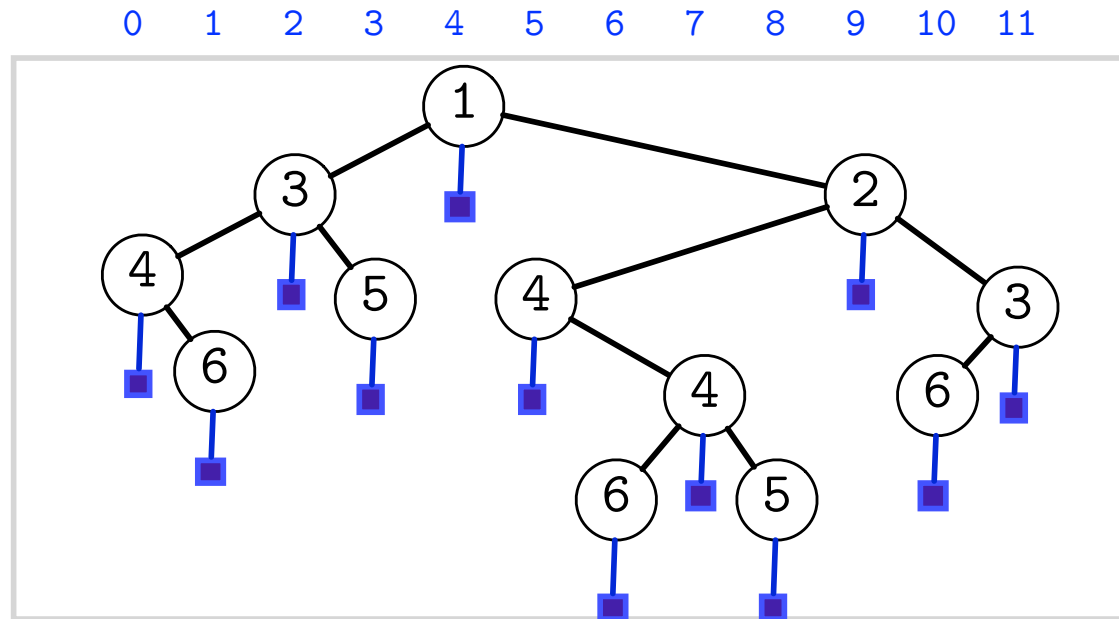
(3) DFS traversal to construct balanced parentheses sequence

$$BP_{ext} = ((((( ))($$

0

# $\langle O(n), O(1) \rangle$ solution ( $4n + o(n)$ bits)

(2) Add a leaf to each node

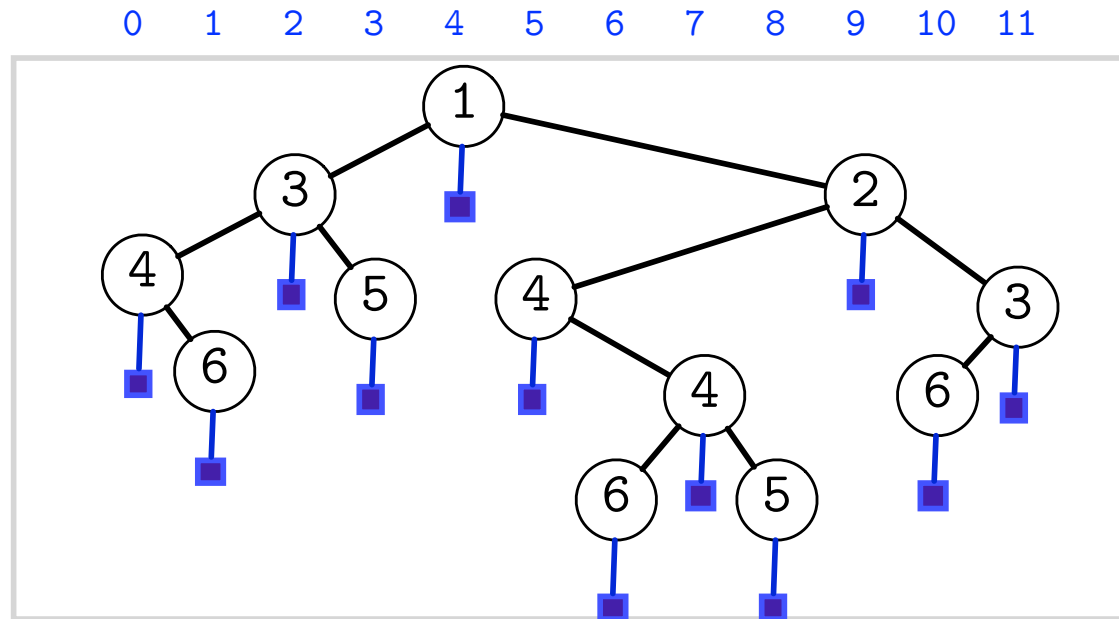


(3) DFS traversal to construct balanced parentheses sequence

$$BP_{ext} = ((((( ))( ))))$$

# $\langle O(n), O(1) \rangle$ solution ( $4n + o(n)$ bits)

(2) Add a leaf to each node



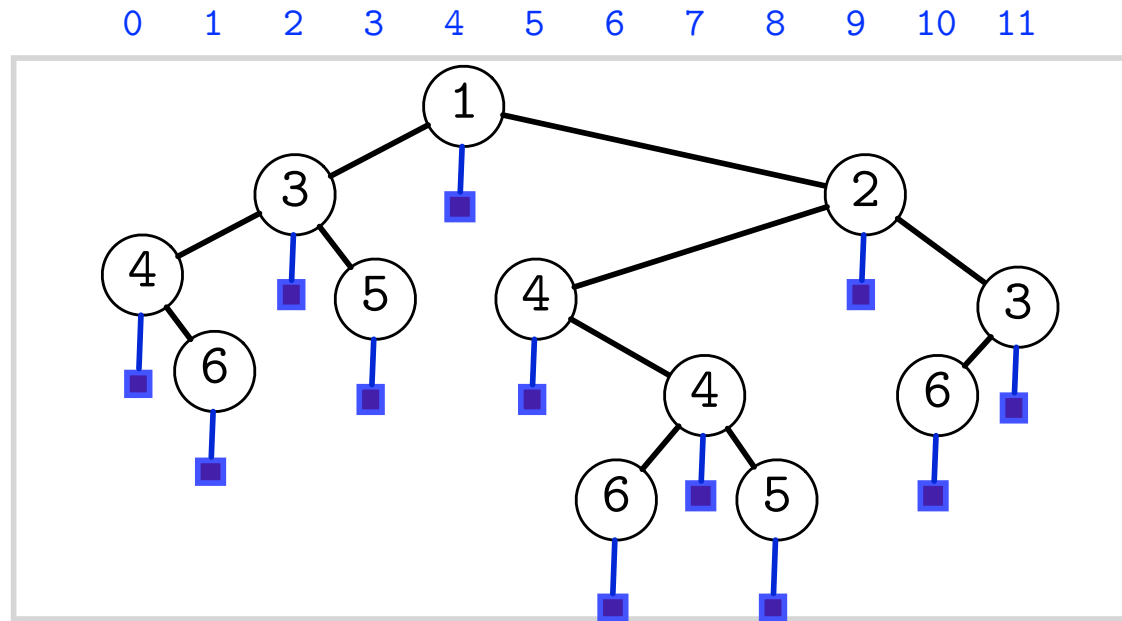
(3) DFS traversal to construct balanced parentheses sequence

$$BP_{ext} = ((((( ))))$$

1 3 4 6  
0 1

# $\langle O(n), O(1) \rangle$ solution ( $4n + o(n)$ bits)

(2) Add a leaf to each node



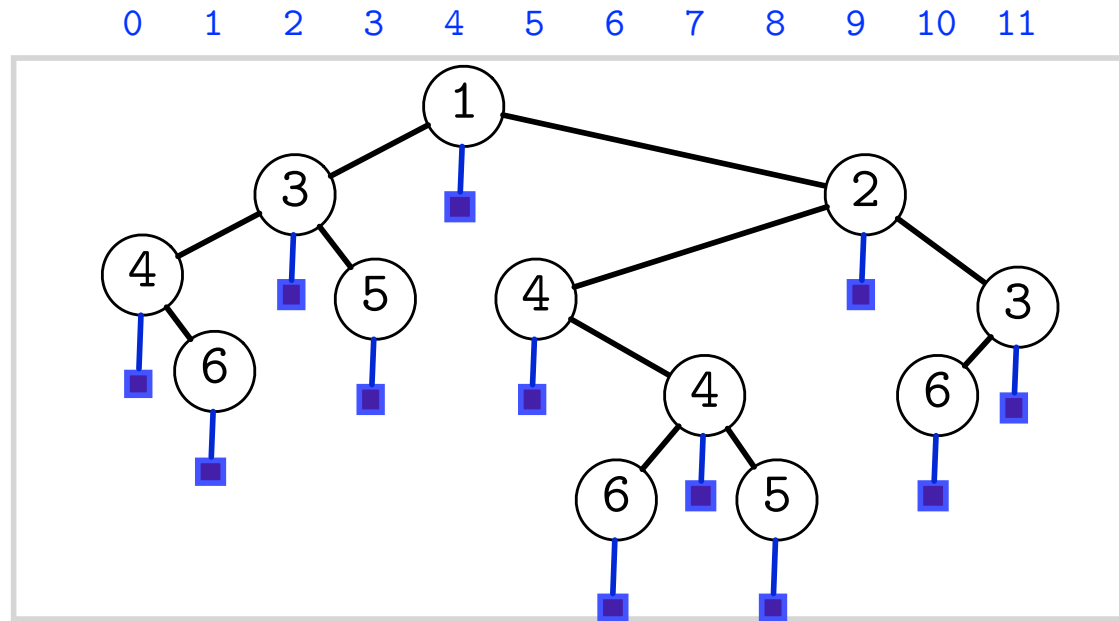
(3) DFS traversal to construct balanced parentheses sequence

$$BP_{ext} = ((((( )))))$$

1 3 4      6      6  
0      1

# $\langle O(n), O(1) \rangle$ solution ( $4n + o(n)$ bits)

(2) Add a leaf to each node



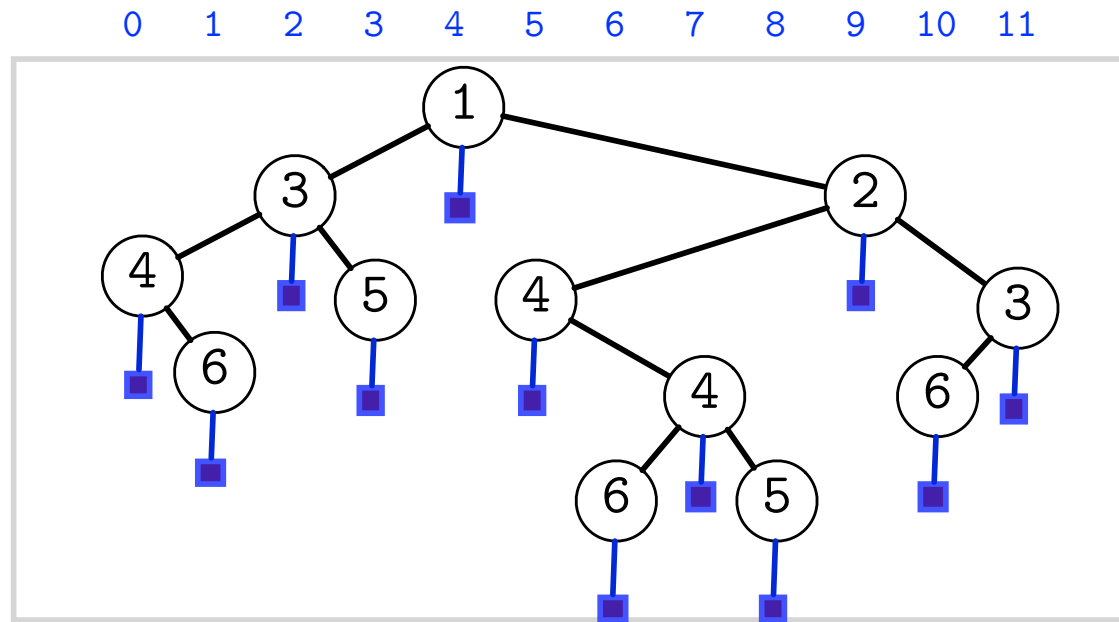
(3) DFS traversal to construct balanced parentheses sequence

$$BP_{ext} = ((((( ))(( ))))$$

1 3 4      6      6 4  
0      1

# $\langle O(n), O(1) \rangle$ solution ( $4n + o(n)$ bits)

(2) Add a leaf to each node



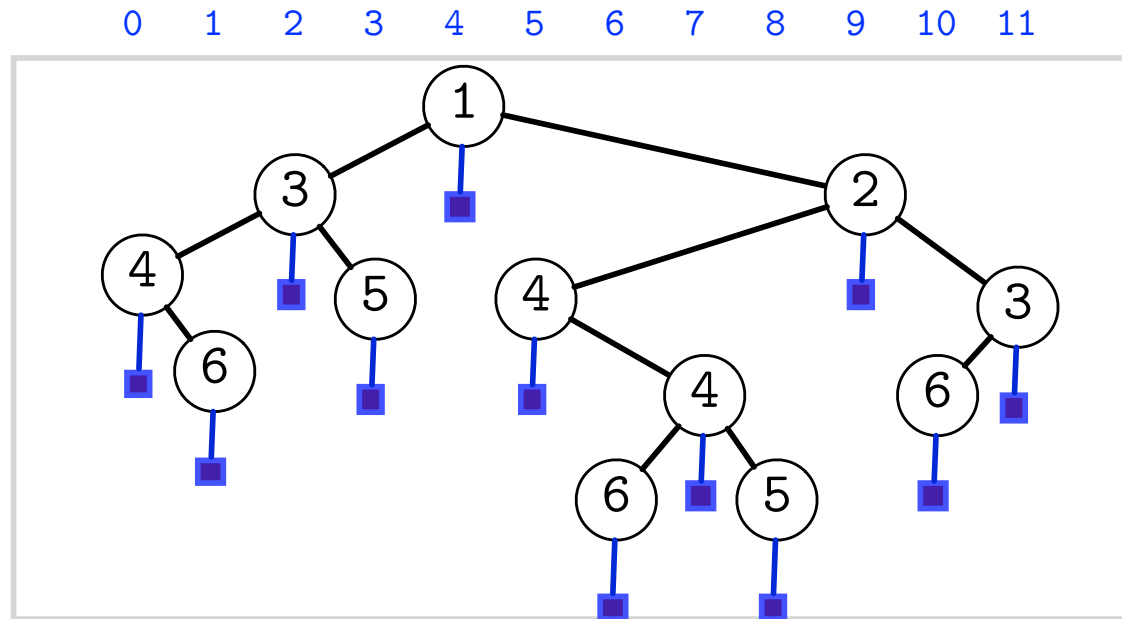
(3) DFS traversal to construct balanced parentheses sequence

$$BP_{ext} = ((((( ))(( ))))()$$

0      1

# $\langle O(n), O(1) \rangle$ solution ( $4n + o(n)$ bits)

(2) Add a leaf to each node



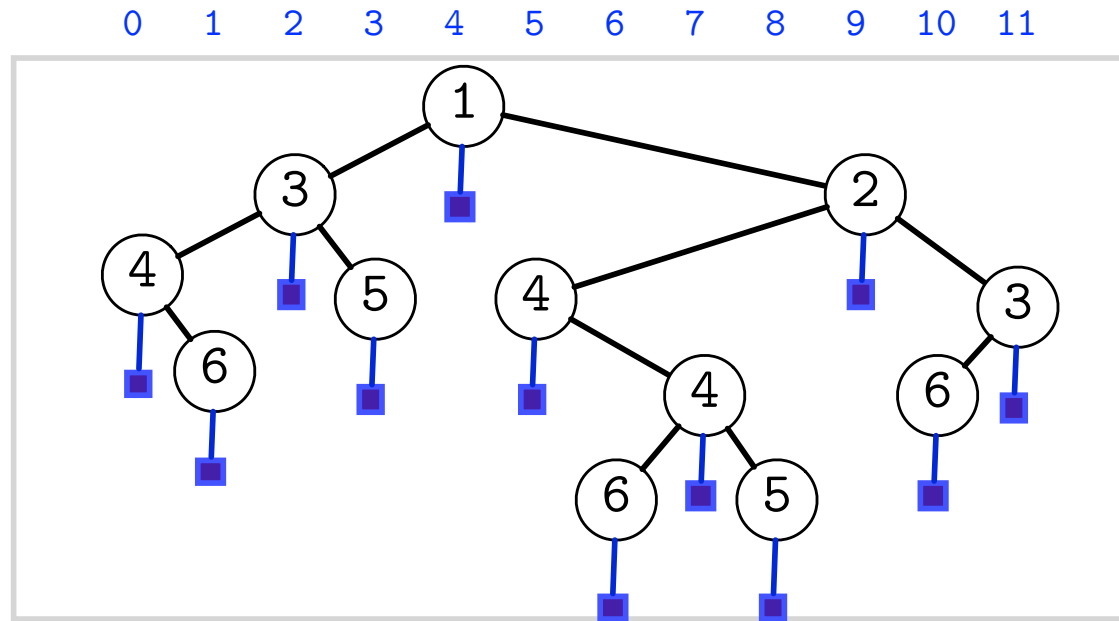
(3) DFS traversal to construct balanced parentheses sequence

$$BP_{ext} = ((((( ))(( ))))()$$

1 3 4      6      6 4  
0      1      2

# $\langle O(n), O(1) \rangle$ solution ( $4n + o(n)$ bits)

(2) Add a leaf to each node



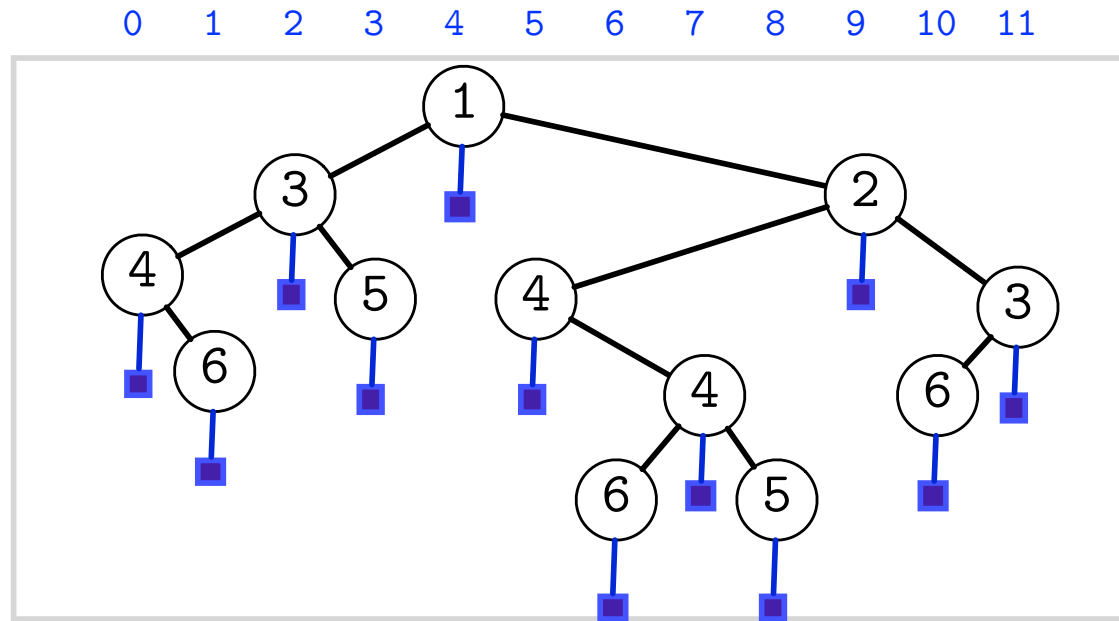
(3) DFS traversal to construct balanced parentheses sequence

$$BP_{ext} = ((((( ))(( ))))())()$$

1 3 4      6      6 4      5  
0      1      2

# $\langle O(n), O(1) \rangle$ solution ( $4n + o(n)$ bits)

(2) Add a leaf to each node



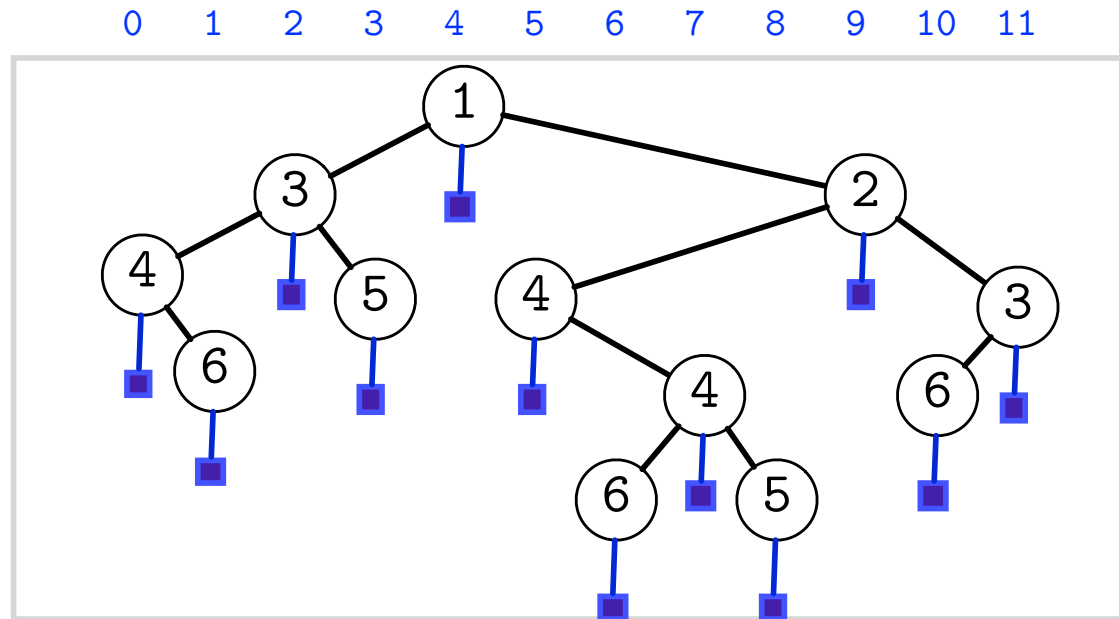
(3) DFS traversal to construct balanced parentheses sequence

$$BP_{ext} = ((((( ))(( ))))())()$$

1 3 4      6 4 5  
0      1      2

# $\langle O(n), O(1) \rangle$ solution ( $4n + o(n)$ bits)

(2) Add a leaf to each node



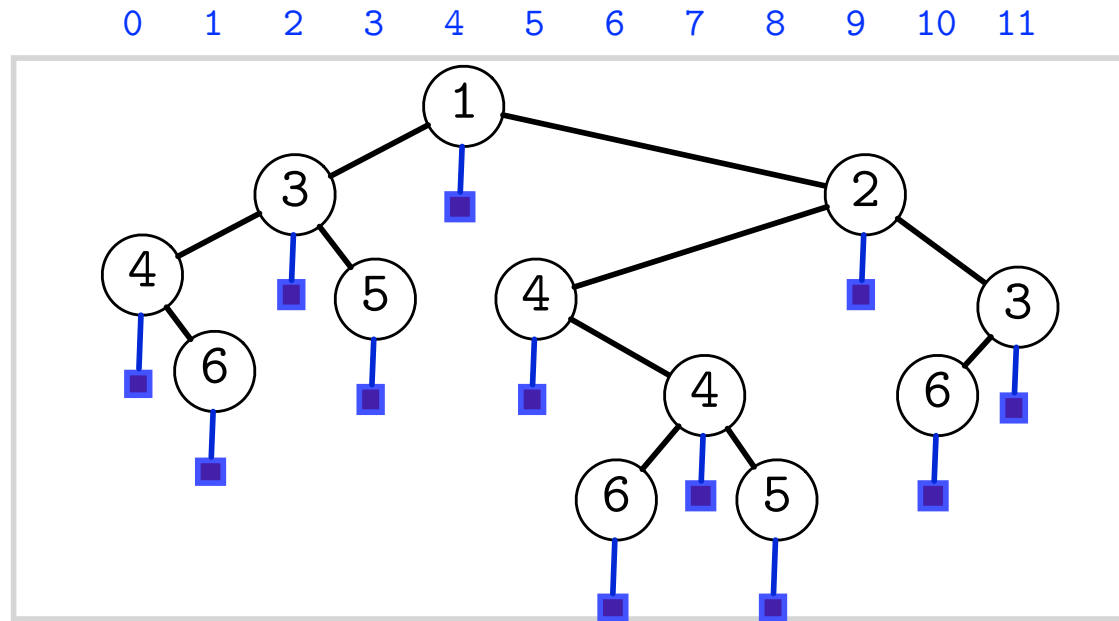
(3) DFS traversal to construct balanced parentheses sequence

$$BP_{ext} = ((((( ))(( ))))())(( ))$$

1 3 4      6      6 4      5  
0      1      2      3

# $\langle O(n), O(1) \rangle$ solution ( $4n + o(n)$ bits)

(2) Add a leaf to each node



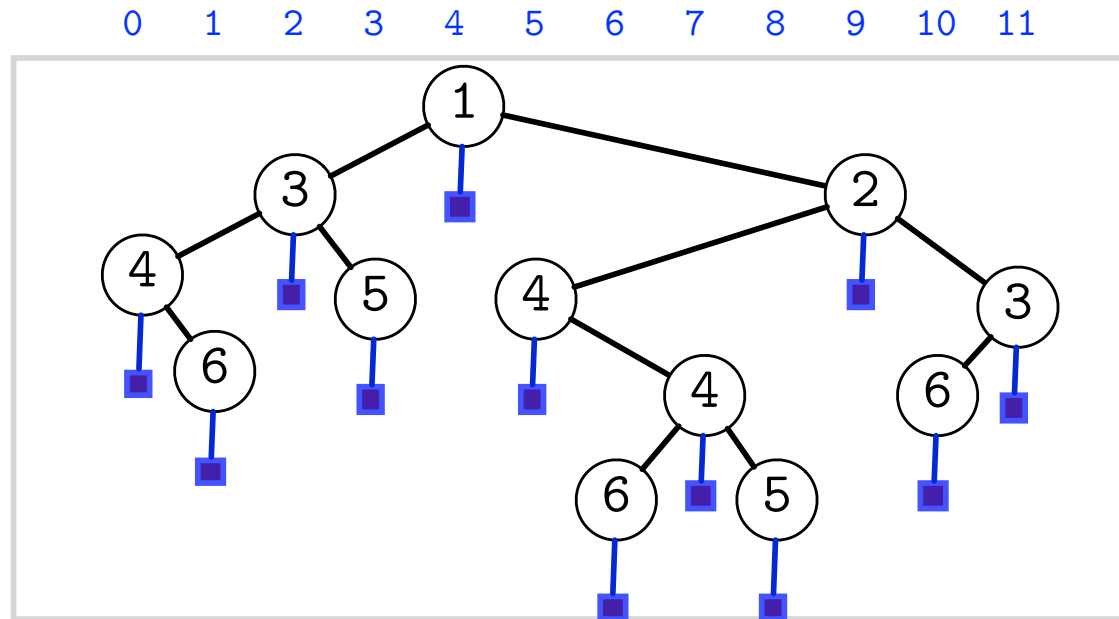
(3) DFS traversal to construct balanced parentheses sequence

$$BP_{ext} = ((((( ))(( ))))())(( ))$$

1 3 4      6      6 4      5      5  
0      1      2      3

# $\langle O(n), O(1) \rangle$ solution ( $4n + o(n)$ bits)

(2) Add a leaf to each node



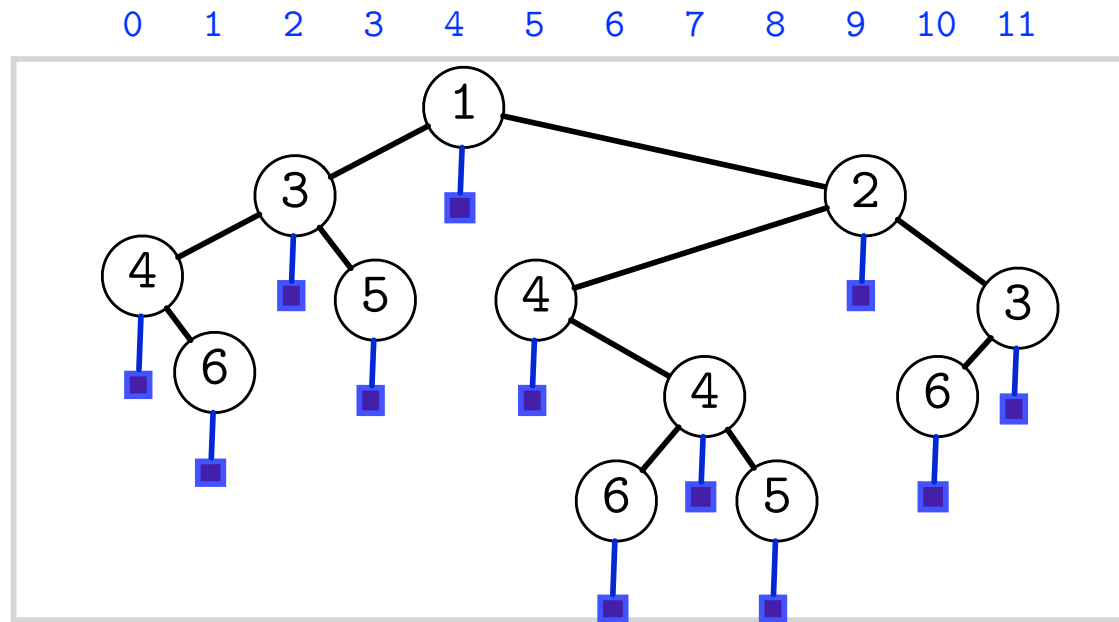
(3) DFS traversal to construct balanced parentheses sequence

$$BP_{ext} = ((((( ))(( ))))(( ))(( ))))$$

1 3 4      6      6 4      5      5 3  
0      1      2      3

# $\langle O(n), O(1) \rangle$ solution ( $4n + o(n)$ bits)

(2) Add a leaf to each node



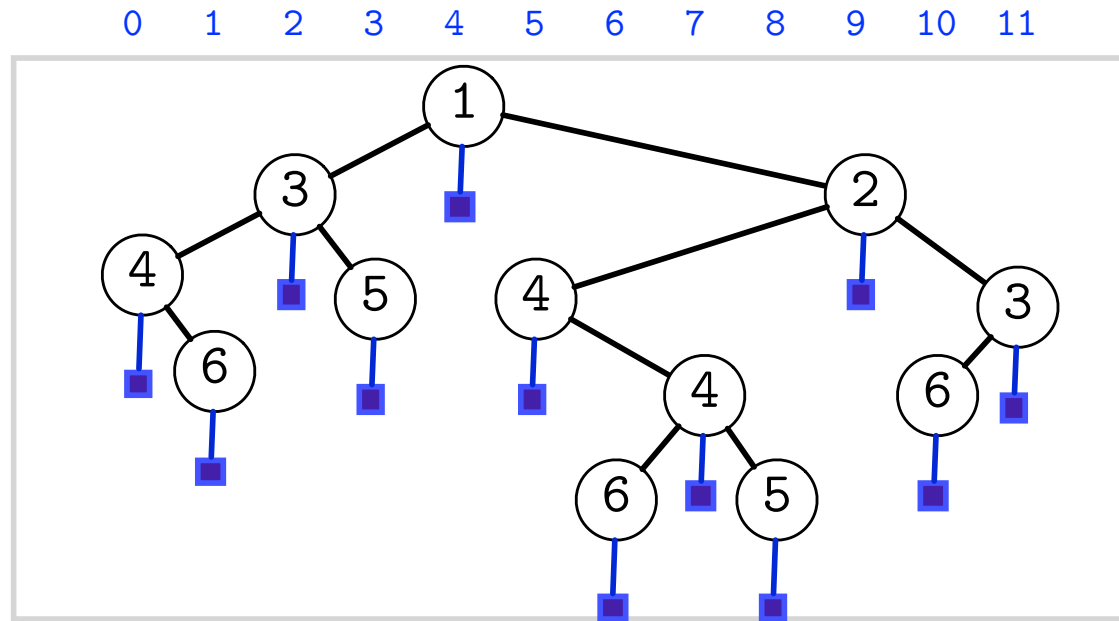
(3) DFS traversal to construct balanced parentheses sequence

$$BP_{ext} = ((((( ))(( ))))(( ))(( ))))()$$

1 3 4      6      6 4      5      5 3  
0      1      2      3

# $\langle O(n), O(1) \rangle$ solution ( $4n + o(n)$ bits)

(2) Add a leaf to each node



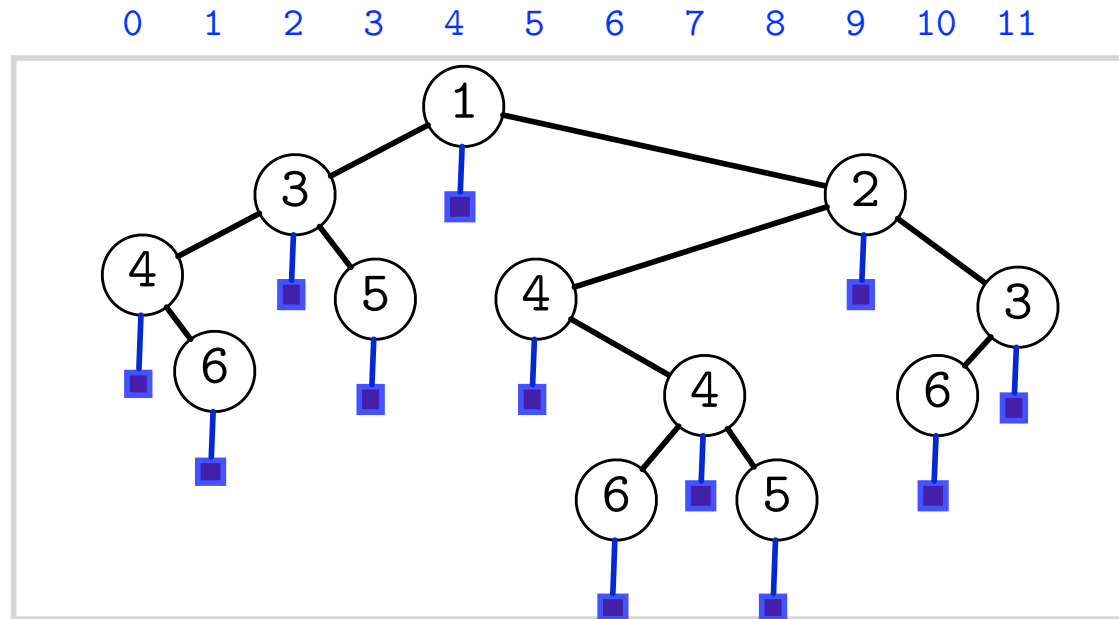
(3) DFS traversal to construct balanced parentheses sequence

$$BP_{ext} = ((((( ))(( ))))(( ))(( ))))()$$

1 3 4      6      6 4      5      5 3  
0      1      2      3      4

# $\langle O(n), O(1) \rangle$ solution ( $4n + o(n)$ bits)

(2) Add a leaf to each node



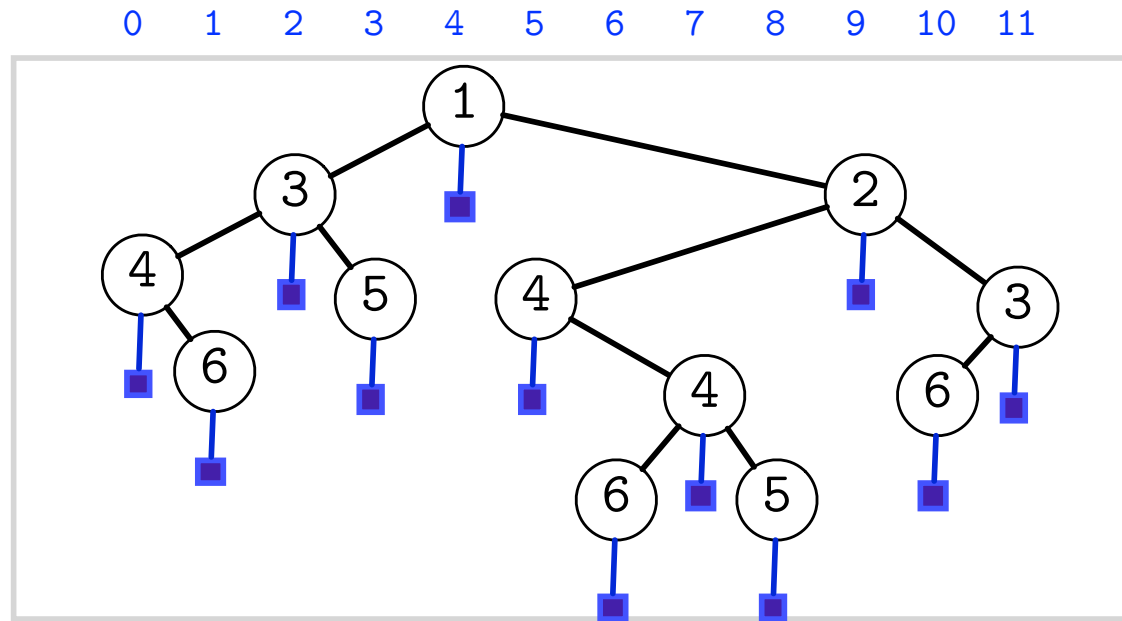
(3) DFS traversal to construct balanced parentheses sequence

$$BP_{ext} = ((((( ))(( ))))()(( ))))()()$$

1 3 4      6      6 4      5      5 3      2  
0      1      2      3      4

# $\langle O(n), O(1) \rangle$ solution ( $4n + o(n)$ bits)

(2) Add a leaf to each node



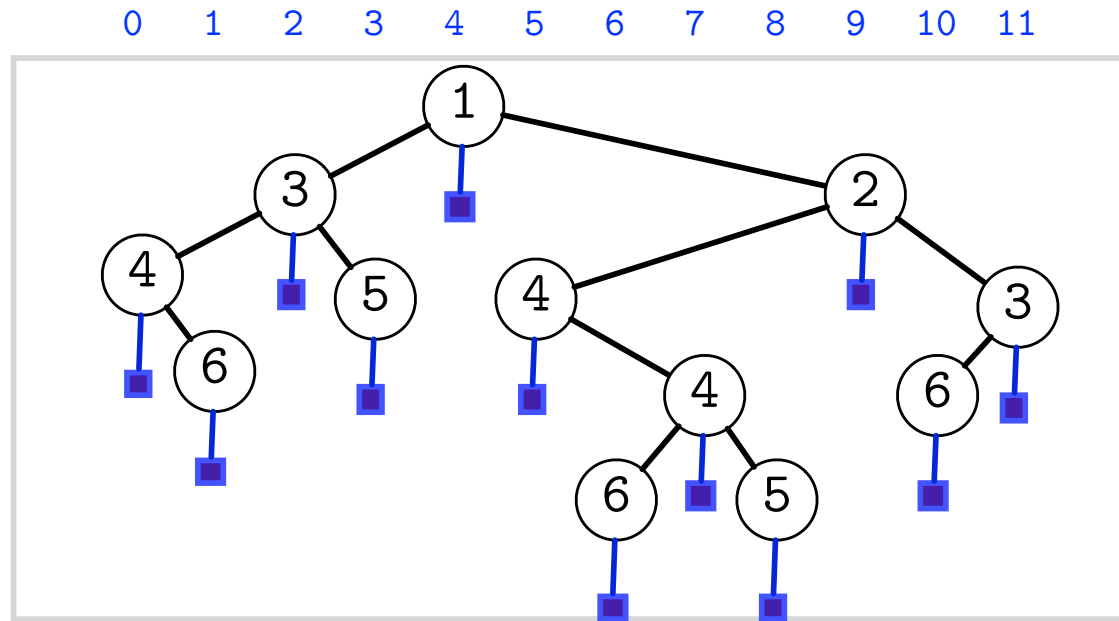
(3) DFS traversal to construct balanced parentheses sequence

$$BP_{ext} = ((((( ))(( ))))(( ))(( ))(( ))(( ))$$

0 1 2 3 4

# $\langle O(n), O(1) \rangle$ solution ( $4n + o(n)$ bits)

(2) Add a leaf to each node



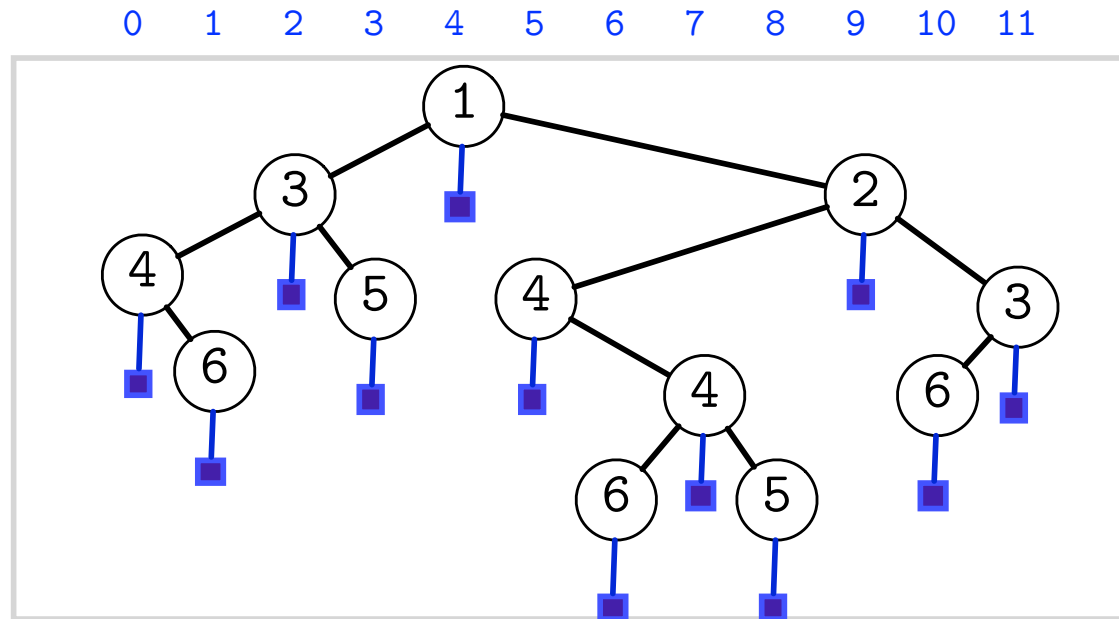
(3) DFS traversal to construct balanced parentheses sequence

$$BP_{ext} = ((((( ))(( ))))()(( ))))()((($$

1 3 4      6      6 4      5      5 3      2 4  
0      1      2      3      4

# $\langle O(n), O(1) \rangle$ solution ( $4n + o(n)$ bits)

(2) Add a leaf to each node



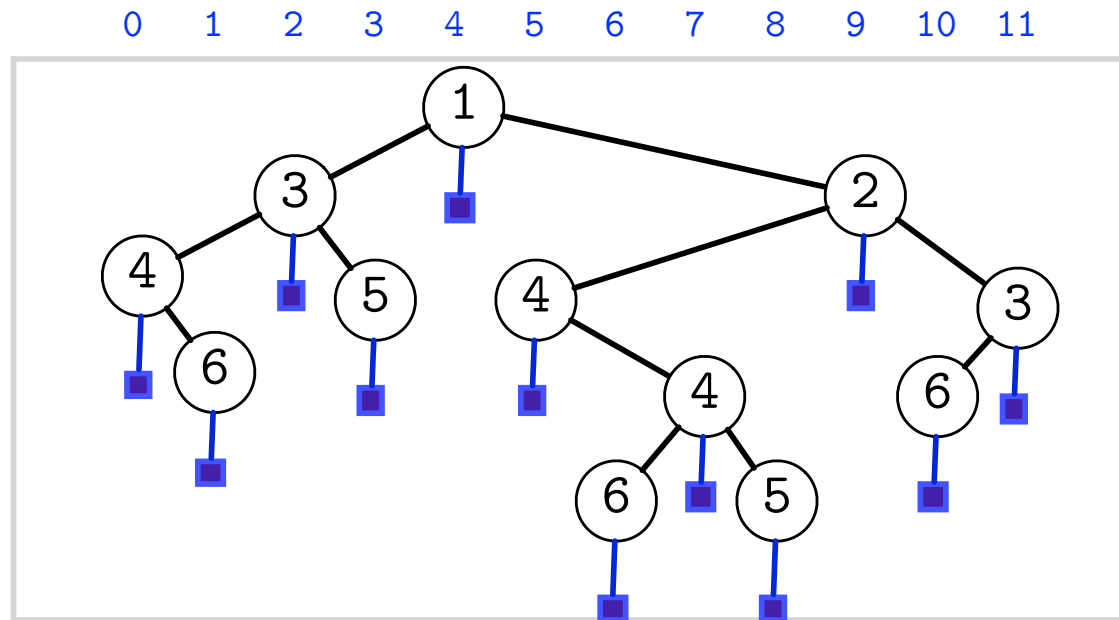
(3) DFS traversal to construct balanced parentheses sequence

$BP_{ext} = ((((( ))(( ))))(( ))(( ))(( ))$

1 3 4      6      6 4      5      5 3      2 4  
0      1      2      3      4      5

# $\langle O(n), O(1) \rangle$ solution ( $4n + o(n)$ bits)

(2) Add a leaf to each node



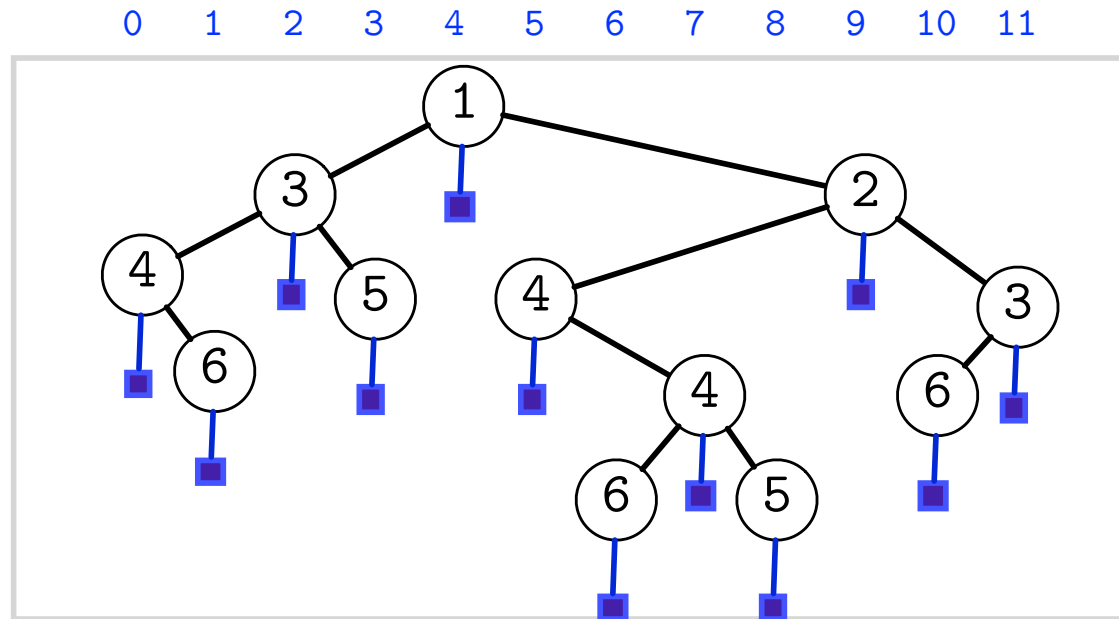
(3) DFS traversal to construct balanced parentheses sequence

$$BP_{ext} = ((((( ))(( ))))(( ))(( ))(( ))(( ))(( ))(( ))$$

1 3 4      6      6 4      5      5 3      2 4      4  
 0      1      2      3      4      5

# $\langle O(n), O(1) \rangle$ solution ( $4n + o(n)$ bits)

(2) Add a leaf to each node



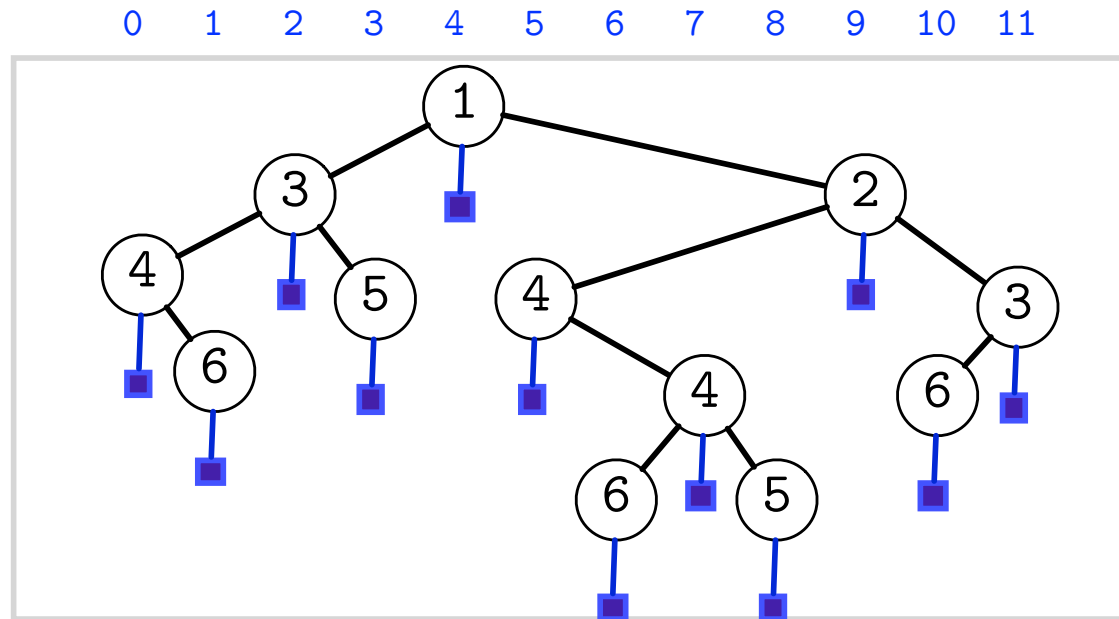
(3) DFS traversal to construct balanced parentheses sequence

$$BP_{ext} = ((((( ))(( ))))()(( ))))()((( ))(($$

1 3 4      6      6 4      5      5 3      2 4      4 6  
0      1      2      3      4      5

# $\langle O(n), O(1) \rangle$ solution ( $4n + o(n)$ bits)

(2) Add a leaf to each node

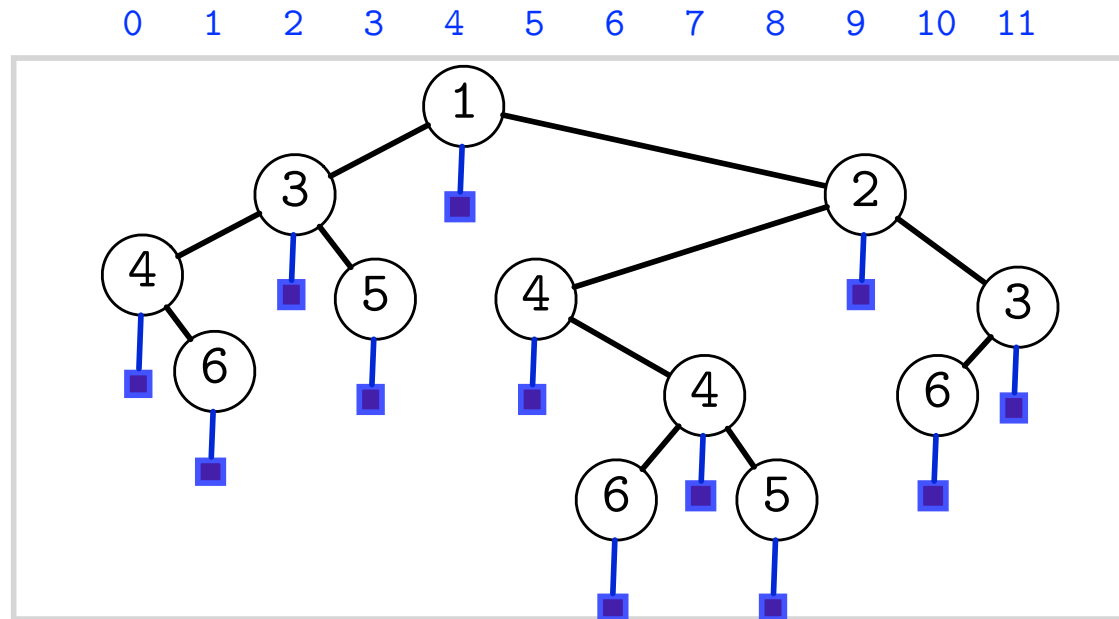


(3) DFS traversal to construct balanced parentheses sequence

$BP_{ext} = ((((( ))(( ))))(( ))(( ))(( ))(( ))$   
0 1 2 3 4 5

# $\langle O(n), O(1) \rangle$ solution ( $4n + o(n)$ bits)

(2) Add a leaf to each node



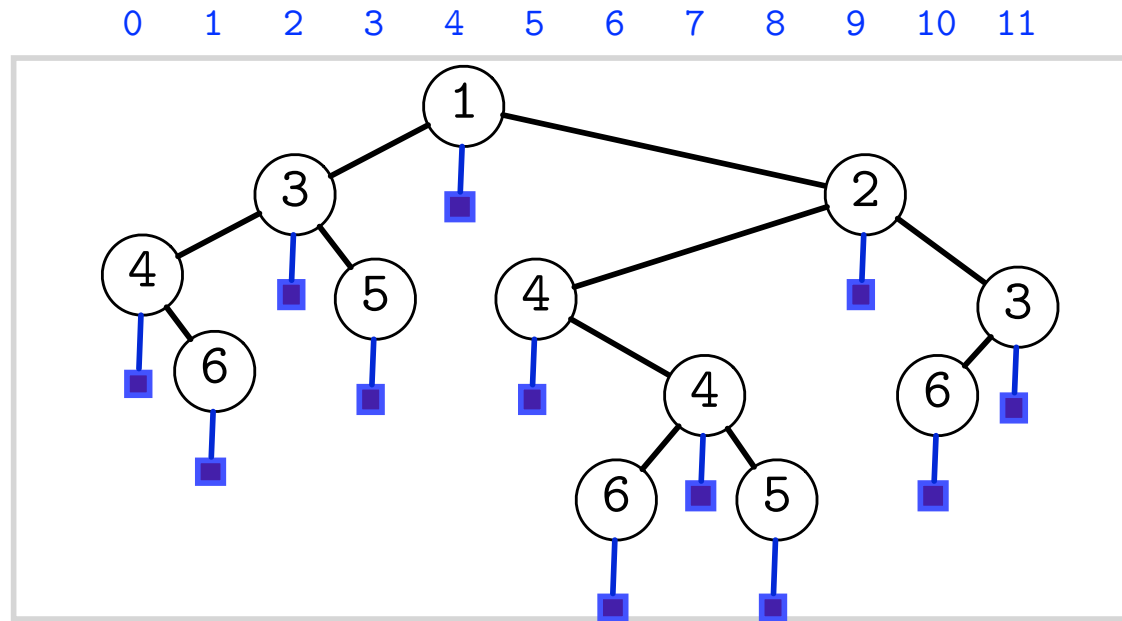
(3) DFS traversal to construct balanced parentheses sequence

$BP_{ext} = ((((( ))(( ))))(( ))(( (( ))(( (( ))$

1 3 4 6 6 4 5 5 3 2 4 4 6  
0 1 2 3 4 5 6

# $\langle O(n), O(1) \rangle$ solution ( $4n + o(n)$ bits)

(2) Add a leaf to each node



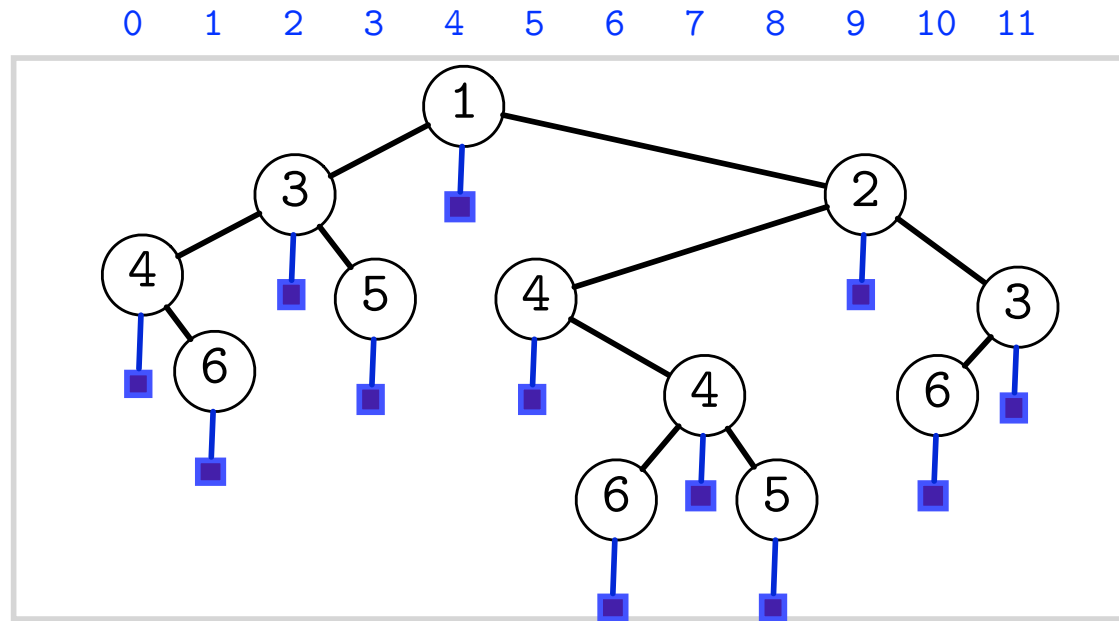
(3) DFS traversal to construct balanced parentheses sequence

$$BP_{ext} = ((((( ))(( ))))(( ))(( ))(( ))(( (( ))(( ))))$$

0 1 2 3 4 5 6

# $\langle O(n), O(1) \rangle$ solution ( $4n + o(n)$ bits)

(2) Add a leaf to each node

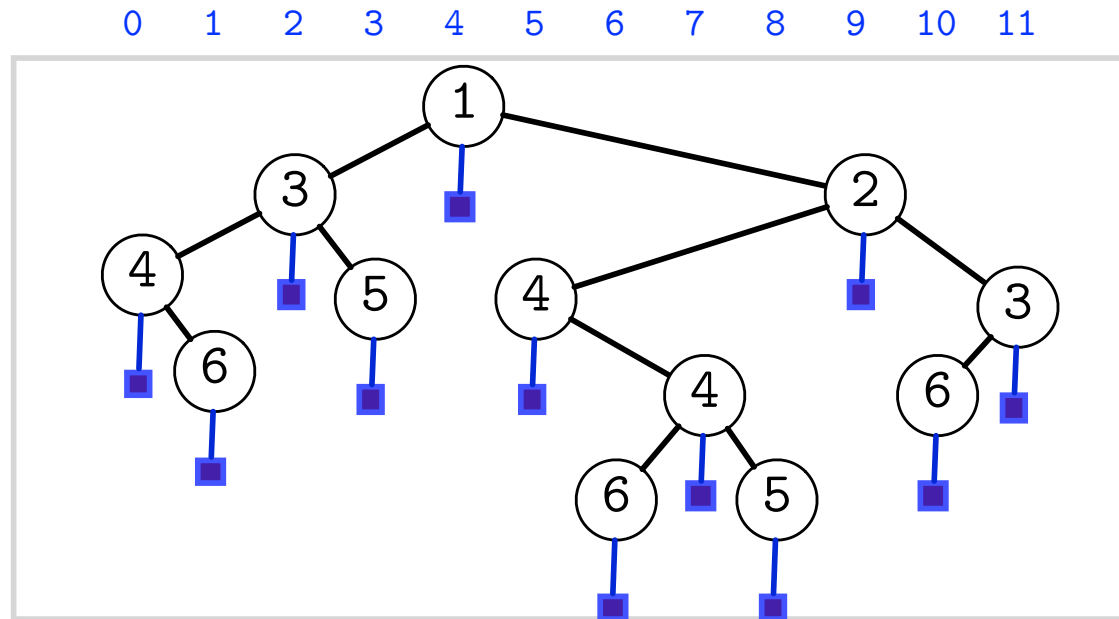


(3) DFS traversal to construct balanced parentheses sequence

$$BP_{ext} = \left( \left( \left( \left( \right) \left( \left( \right) \right) \right) \right) \left( \right) \left( \left( \right) \right) \right) \left( \right) \left( \left( \left( \right) \left( \left( \right) \right) \right) \right) \left( \right)$$

# $\langle O(n), O(1) \rangle$ solution ( $4n + o(n)$ bits)

(2) Add a leaf to each node



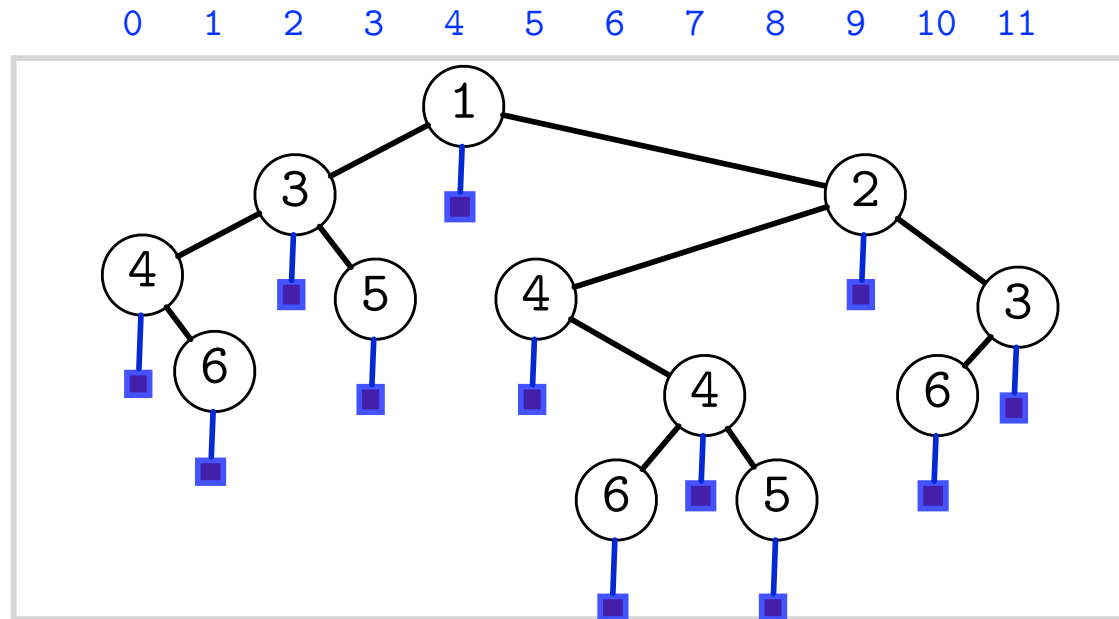
(3) DFS traversal to construct balanced parentheses sequence

$$BP_{ext} = ((((( ))(( ))))(( ))(( (( ))(( (( )))))$$

1 3 4 6 6 4 5 5 3 2 4 4 6 6 6 7  
0 1 2 3 4 5 6 7

# $\langle O(n), O(1) \rangle$ solution ( $4n + o(n)$ bits)

(2) Add a leaf to each node

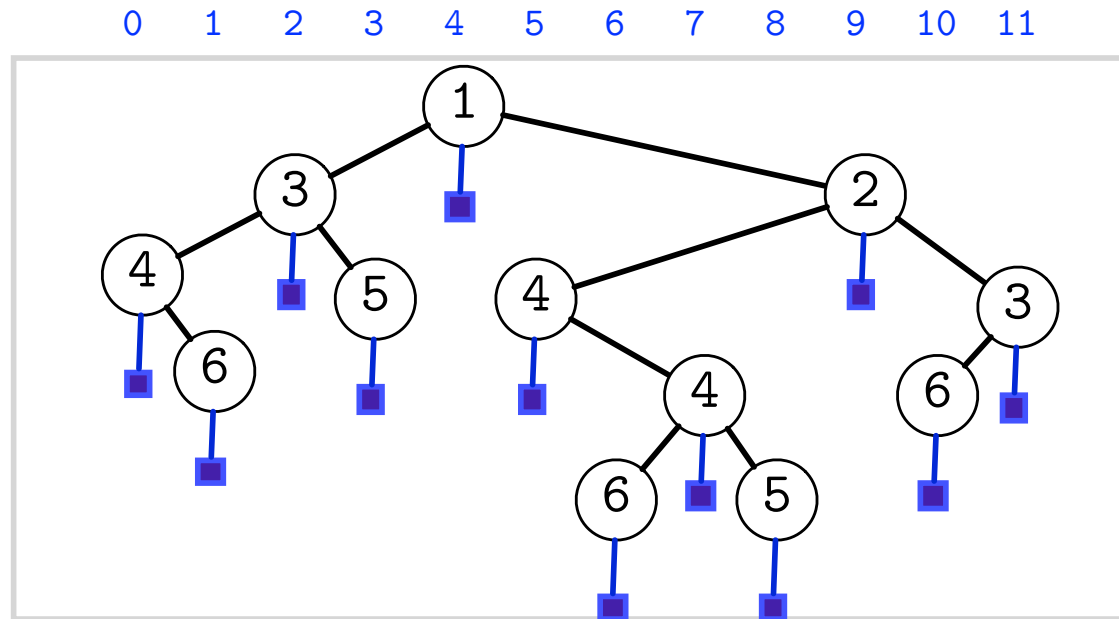


(3) DFS traversal to construct balanced parentheses sequence

$BP_{ext} = ((((( ))(( ))))(( ))(( (( ))(( (( )))))$   
                   $\begin{matrix} 1 & 3 & 4 & 6 & 6 & 4 & 5 & 5 & 3 & 2 & 4 & 4 & 6 & 6 & 6 & 5 \\ 0 & 1 & 2 & 3 & 4 & 5 & 6 & 7 \end{matrix}$

# $\langle O(n), O(1) \rangle$ solution ( $4n + o(n)$ bits)

(2) Add a leaf to each node

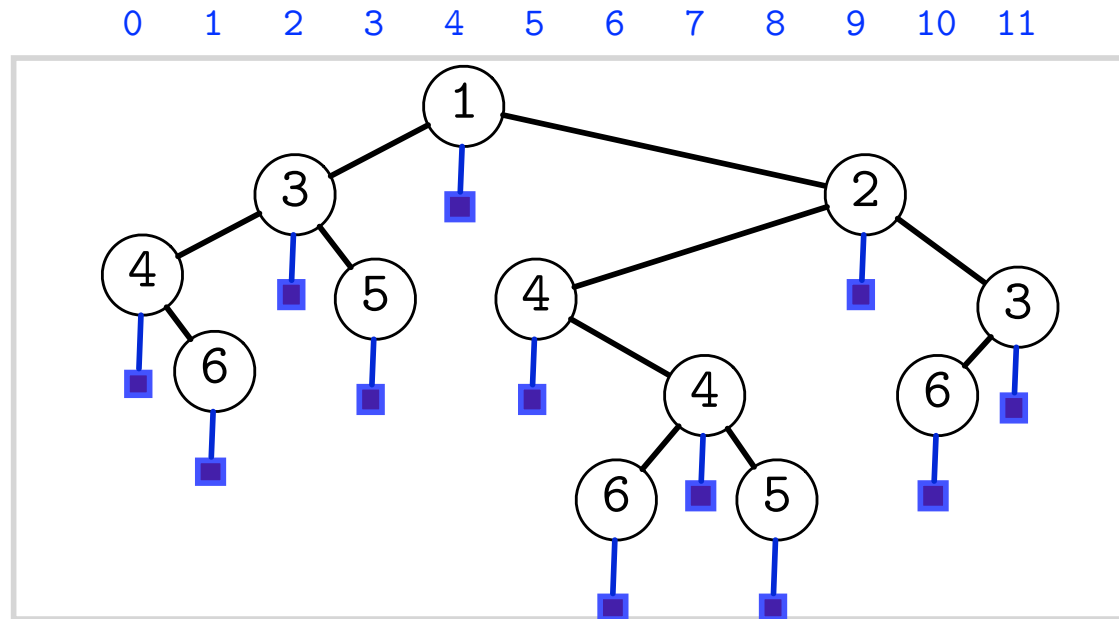


(3) DFS traversal to construct balanced parentheses sequence

$BP_{ext} = ((((( ))(( ))))(( ))(( (( ))(( (( ))(( )))))$   
0 1 2 3 4 5 6 7

# $\langle O(n), O(1) \rangle$ solution ( $4n + o(n)$ bits)

(2) Add a leaf to each node



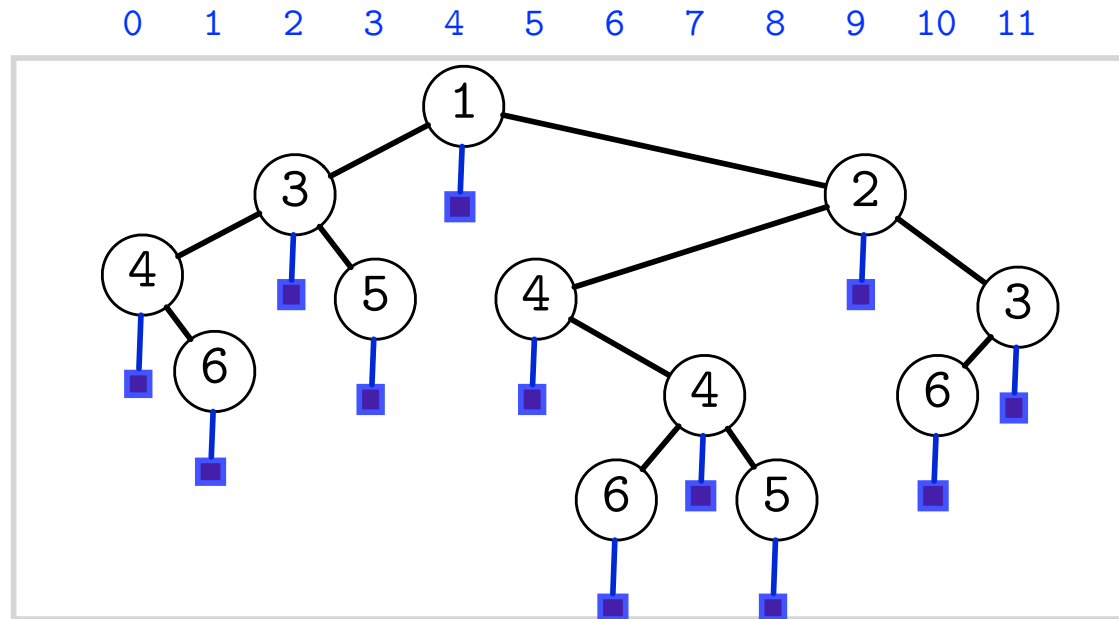
(3) DFS traversal to construct balanced parentheses sequence

$$BP_{ext} = ((((( ))(( ))))(( ))(( (( ))(( (( ))(( ))))))$$

1 3 4 6 6 4 5 5 3 2 4 4 6 6 6 5  
0 1 2 3 4 5 6 7 8

# $\langle O(n), O(1) \rangle$ solution ( $4n + o(n)$ bits)

(2) Add a leaf to each node



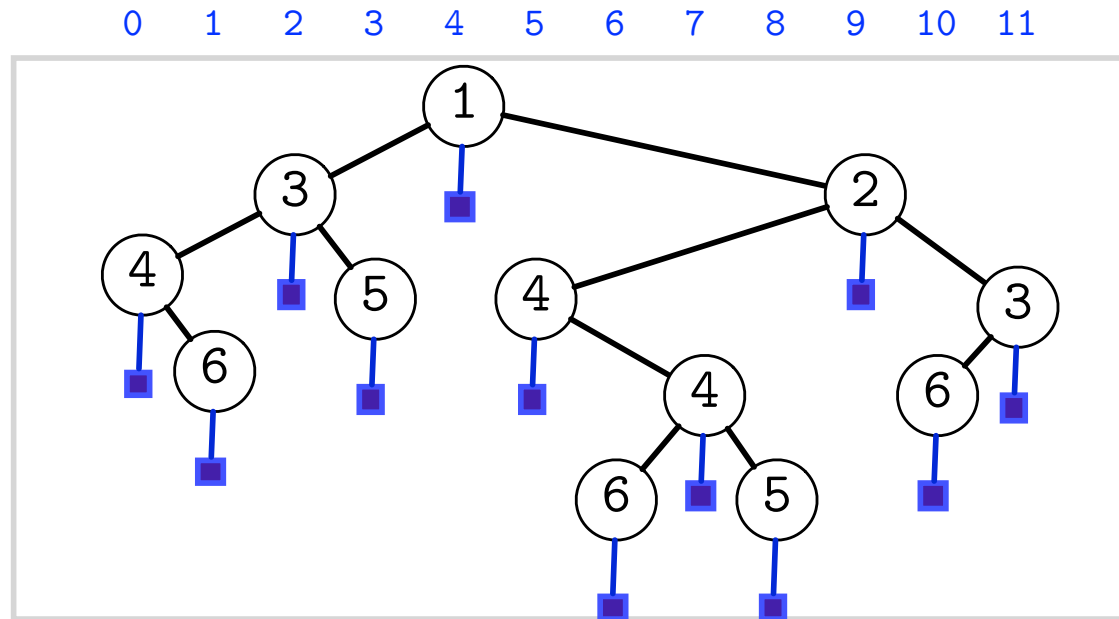
(3) DFS traversal to construct balanced parentheses sequence

$BP_{ext} = ((((( ))(( ))))(( ))(( (( ))(( (( ))(( )))))$

1 3 4 6 6 4 5 5 3 2 4 4 6 6 6 5 5  
0 1 2 3 4 5 6 7 8

# $\langle O(n), O(1) \rangle$ solution ( $4n + o(n)$ bits)

(2) Add a leaf to each node



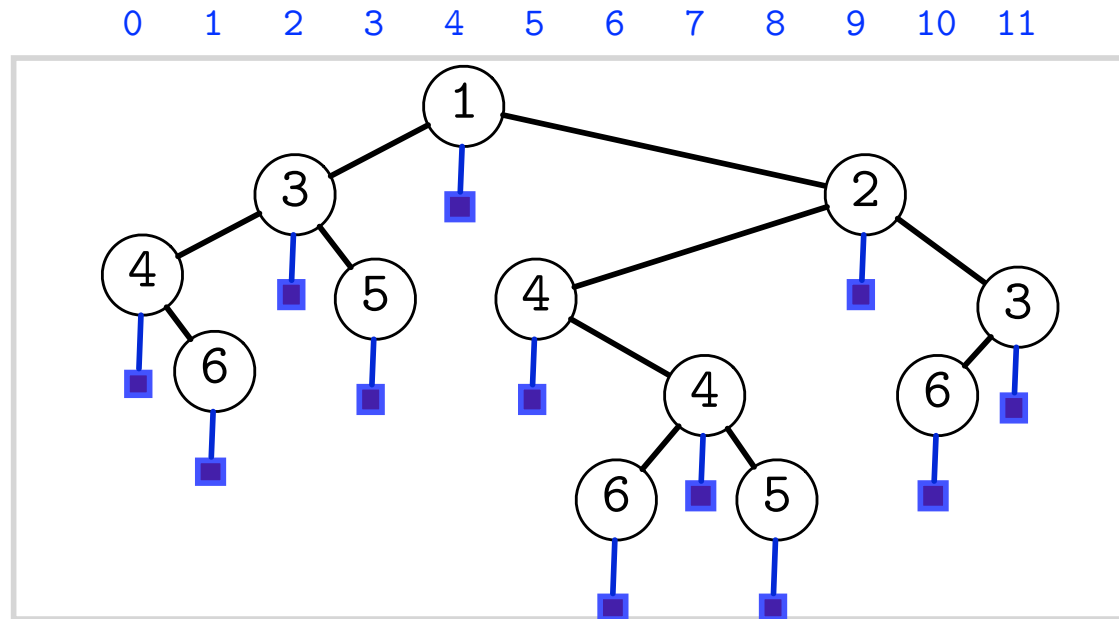
(3) DFS traversal to construct balanced parentheses sequence

$BP_{ext} = ((((( ))(( ))))(( ))(( (( ))(( (( ))(( ))))))$

1 3 4 6 6 4 5 5 3 2 4 4 6 6 6 5 5 4  
0 1 2 3 4 5 6 7 8

# $\langle O(n), O(1) \rangle$ solution ( $4n + o(n)$ bits)

(2) Add a leaf to each node



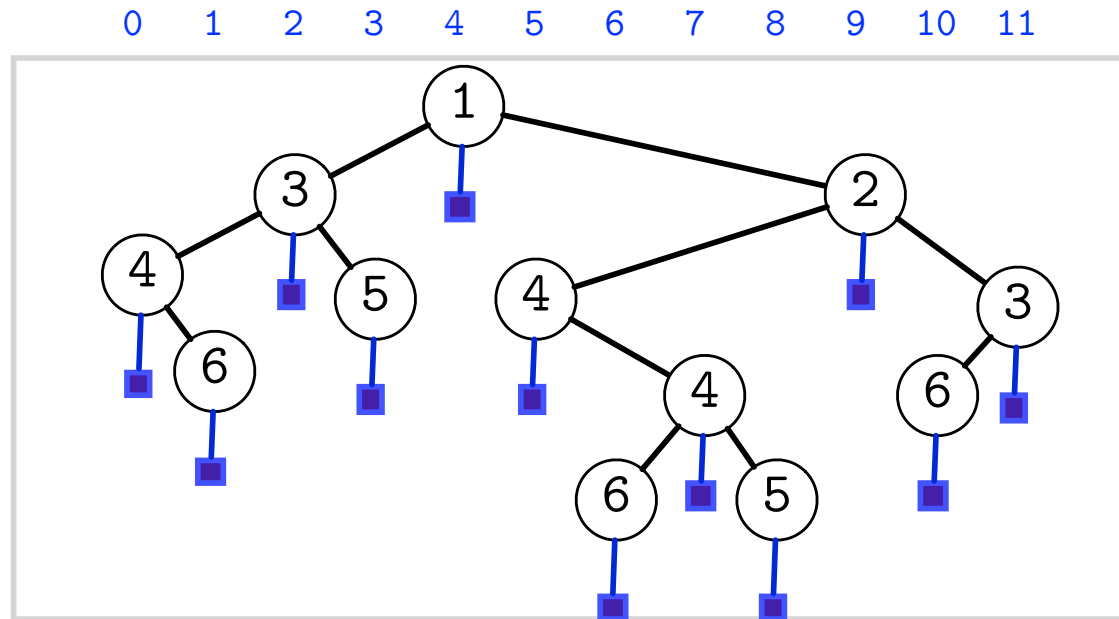
(3) DFS traversal to construct balanced parentheses sequence

$BP_{ext} = ((((( ))(( ))))(( ))(( (( ))(( (( ))(( ))))))$

1 3 4 6 6 4 5 5 3 2 4 4 6 6 6 5 5 4 4  
0 1 2 3 4 5 6 7 8

# $\langle O(n), O(1) \rangle$ solution ( $4n + o(n)$ bits)

(2) Add a leaf to each node

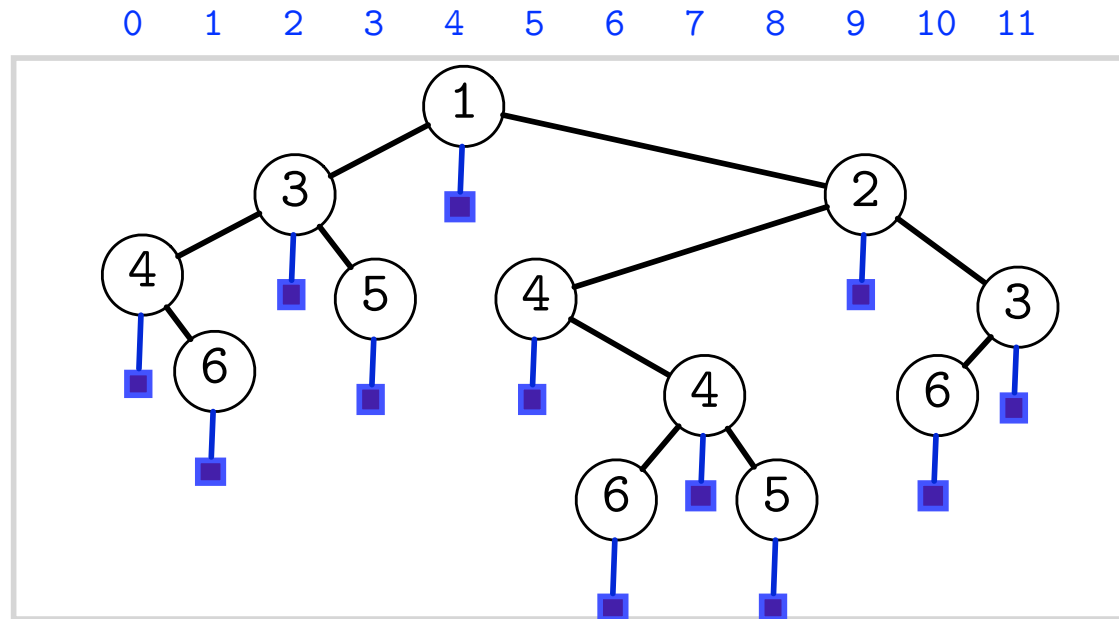


(3) DFS traversal to construct balanced parentheses sequence

$BP_{ext} = ((((( ))(( ))))(( ))(( (( ))(( (( ))(( ))))))($   
0 1 2 3 4 5 6 7 8

# $\langle O(n), O(1) \rangle$ solution ( $4n + o(n)$ bits)

(2) Add a leaf to each node



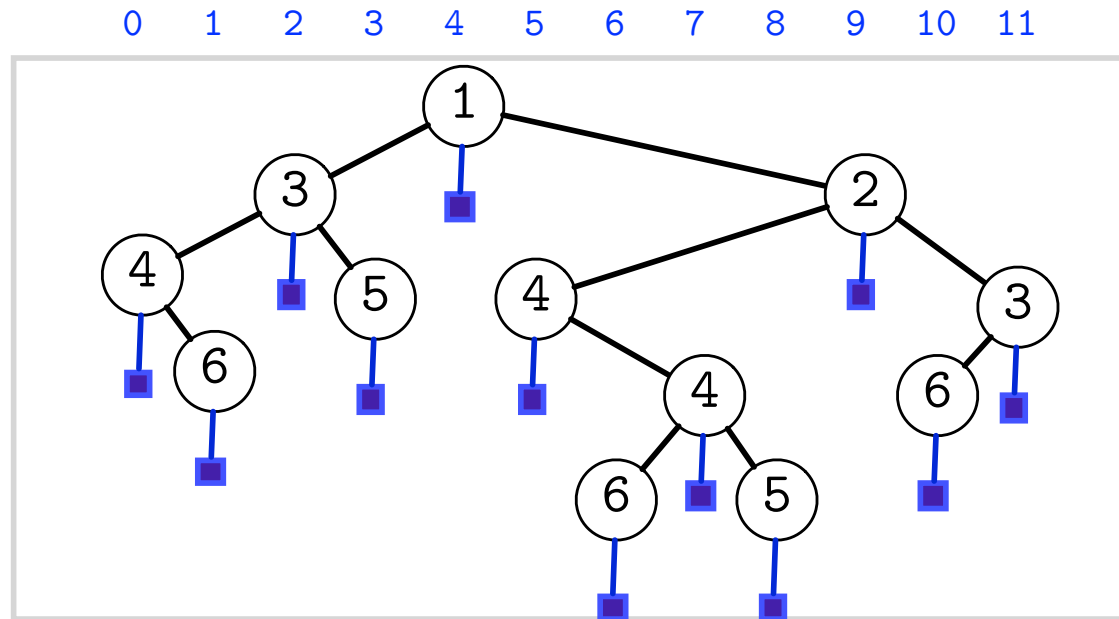
(3) DFS traversal to construct balanced parentheses sequence

$BP_{ext} = ((((( ))(( ))))(( ))(( (( ))(( (( ))(( ))))))()$

1 3 4 6 6 4 5 5 3 2 4 4 6 6 6 5 5 4 4  
0 1 2 3 4 5 6 7 8 9

# $\langle O(n), O(1) \rangle$ solution ( $4n + o(n)$ bits)

(2) Add a leaf to each node

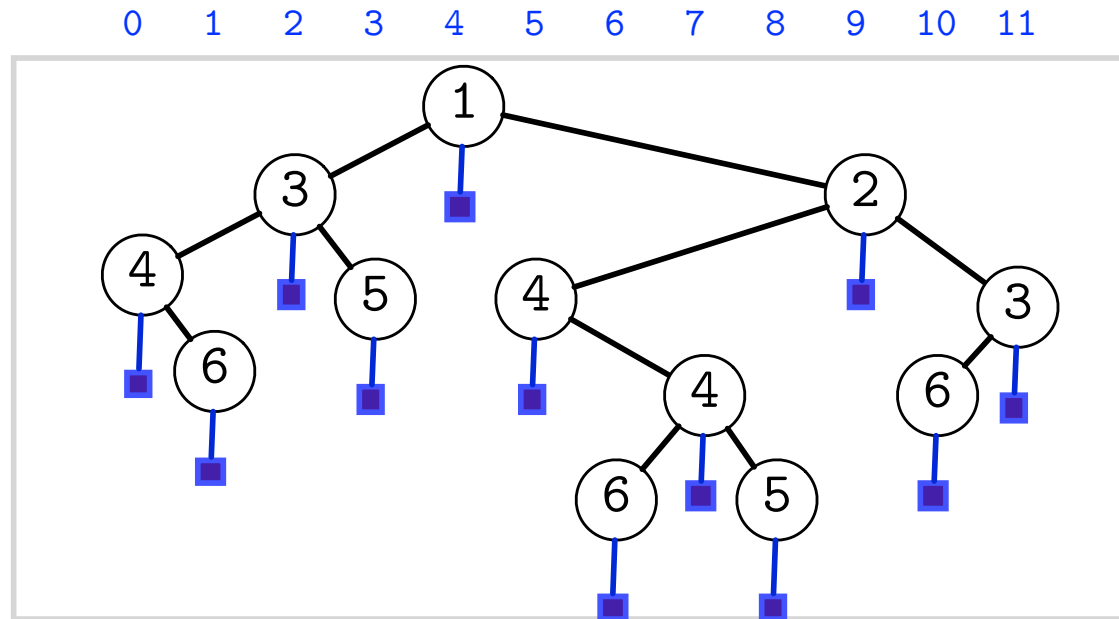


(3) DFS traversal to construct balanced parentheses sequence

$BP_{ext} = ((((( ))(( ))))(( ))(( (( ))(( (( ))(( )))))(( ))($   
                   $0 \quad 1 \quad 2 \quad 3 \quad 4 \quad 5 \quad 6 \quad 7 \quad 8 \quad 9$

# $\langle O(n), O(1) \rangle$ solution ( $4n + o(n)$ bits)

(2) Add a leaf to each node

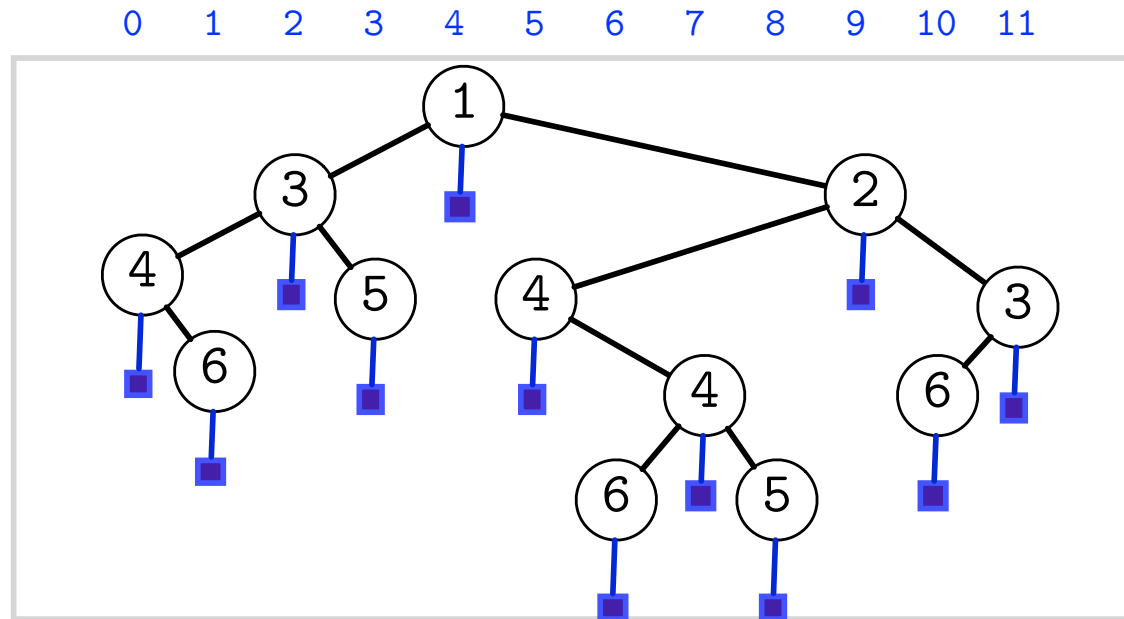


(3) DFS traversal to construct balanced parentheses sequence

$BP_{ext} = ((((( ))(( ))))(( ))(( (( ))(( (( ))(( )))))(( ))(($   
1 3 4 6 6 4 5 5 3 2 4 4 6 6 6 5 5 4 4 3 6  
0 1 2 3 4 5 6 7 8 9

# $\langle O(n), O(1) \rangle$ solution ( $4n + o(n)$ bits)

(2) Add a leaf to each node

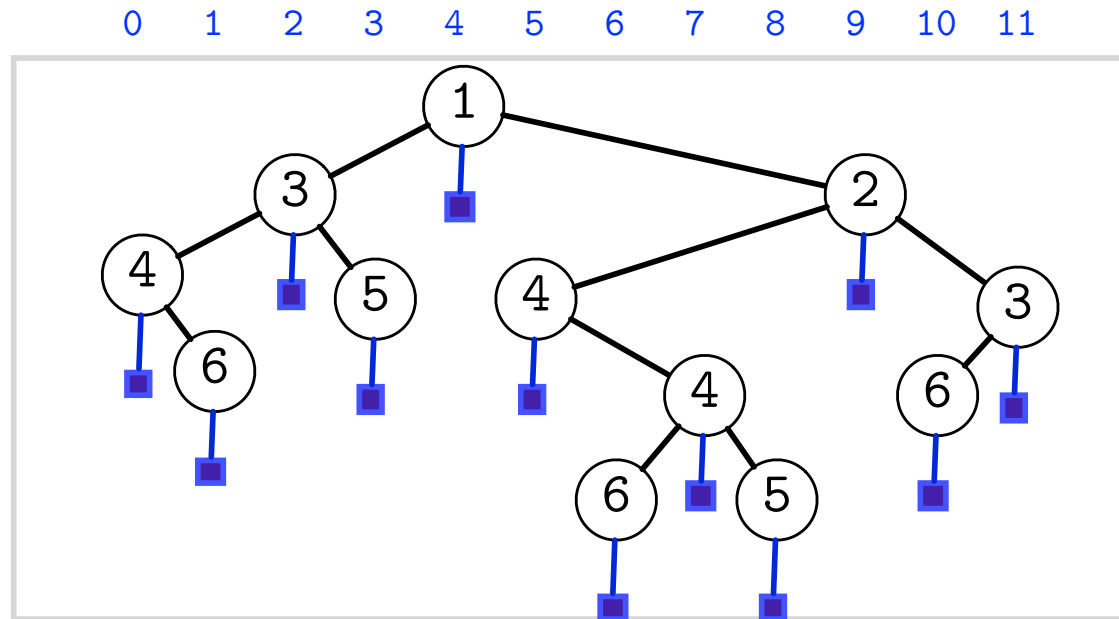


(3) DFS traversal to construct balanced parentheses sequence

$BP_{ext} = ((((( ))(( ))))(( ))(( (( ))(( (( ))(( )))))(( ))((($ )  
1 3 4 6 6 4 5 5 3 2 4 4 6 6 6 5 5 4 4 3 6  
0 1 2 3 4 5 6 7 8 9

# $\langle O(n), O(1) \rangle$ solution ( $4n + o(n)$ bits)

(2) Add a leaf to each node



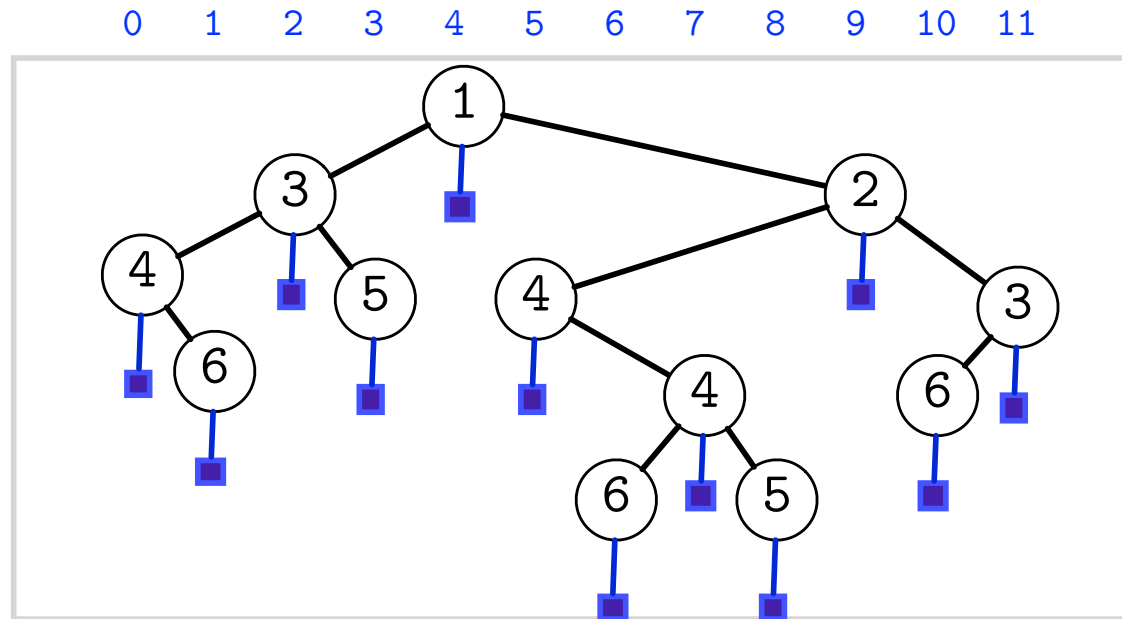
(3) DFS traversal to construct balanced parentheses sequence

$BP_{ext} = ((((( ))(( ))))(( ))(( (( ))(( (( ))(( )))))(( ))(( ))$

1 3 4      6      6 4      5      5 3      2 4      4 6      6      6      5      5 4      4      3 6  
0      1      2      3      4      5      6      7      8      9      10

# $\langle O(n), O(1) \rangle$ solution ( $4n + o(n)$ bits)

(2) Add a leaf to each node



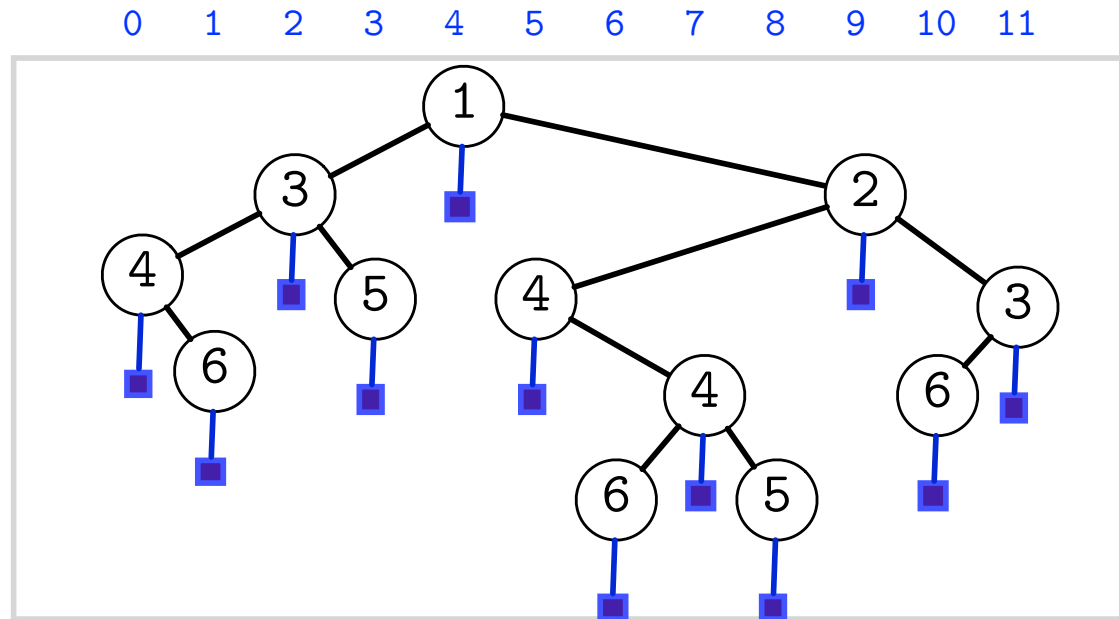
(3) DFS traversal to construct balanced parentheses sequence

$BP_{ext} = ((((( ))(( ))))(( ))(( ))(( ))(( (( ))(( (( ))(( )))))(( ))(( ))$

|   |   |   |   |   |   |   |   |   |   |    |    |    |    |    |    |    |    |    |    |    |    |    |
|---|---|---|---|---|---|---|---|---|---|----|----|----|----|----|----|----|----|----|----|----|----|----|
| 1 | 3 | 4 | 6 | 6 | 4 | 5 | 5 | 3 | 2 | 4  | 4  | 4  | 6  | 6  | 6  | 5  | 5  | 4  | 4  | 3  | 6  | 6  |
| 0 | 1 | 2 | 3 | 4 | 5 | 6 | 7 | 8 | 9 | 10 | 11 | 12 | 13 | 14 | 15 | 16 | 17 | 18 | 19 | 20 | 21 | 22 |

# $\langle O(n), O(1) \rangle$ solution ( $4n + o(n)$ bits)

(2) Add a leaf to each node



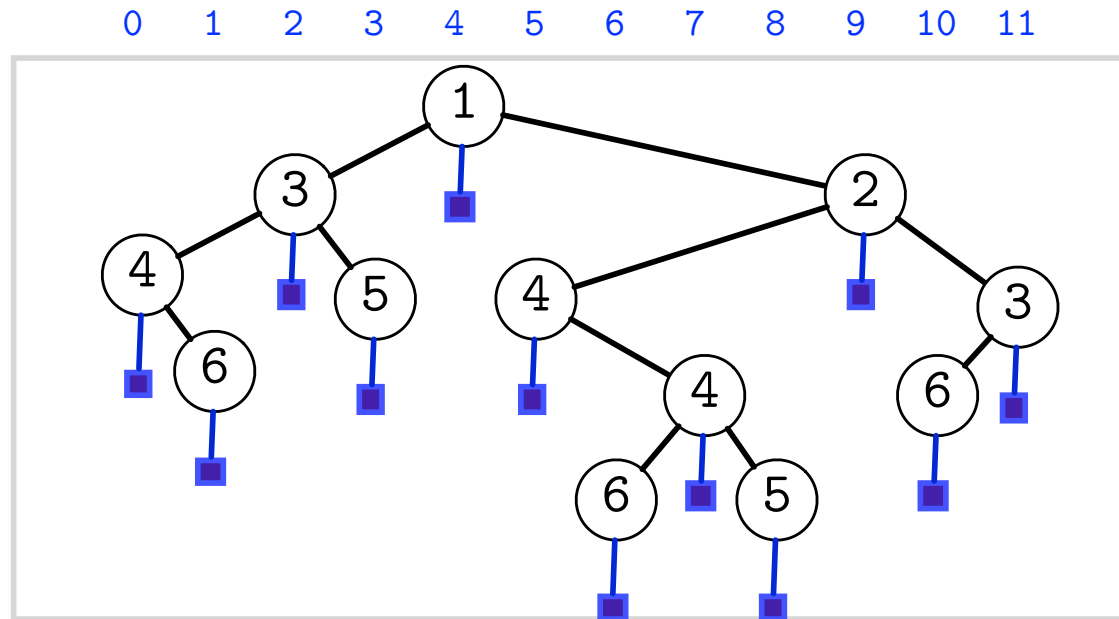
(3) DFS traversal to construct balanced parentheses sequence

$$BP_{ext} = ((((( ))(( ))))(( ))(( (( ))(( (( ))(( ))))))(( ))(( (( ))(( )))(( ))(( (( ))(( )))))$$

1 3 4    6    6 4    5    5 3    2 4    4 6    6    5    5 4 4    3 6    6  
 0    1    2    3    4    5    6    7    8    9    10

# $\langle O(n), O(1) \rangle$ solution ( $4n + o(n)$ bits)

(2) Add a leaf to each node

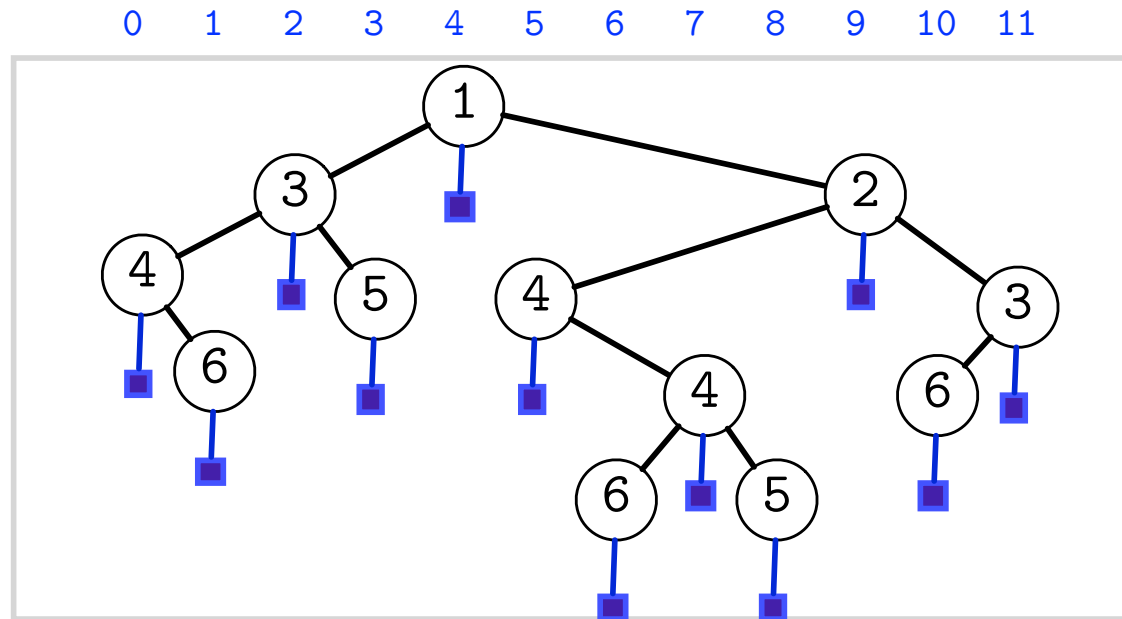


(3) DFS traversal to construct balanced parentheses sequence

$BP_{ext} = ((((( ))(( ))))(( ))(( (( ))(( (( ))(( (( ))))))(( ))(( (( ))))()$   
0 1 2 3 4 5 6 7 8 9 10 11

# $\langle O(n), O(1) \rangle$ solution ( $4n + o(n)$ bits)

(2) Add a leaf to each node



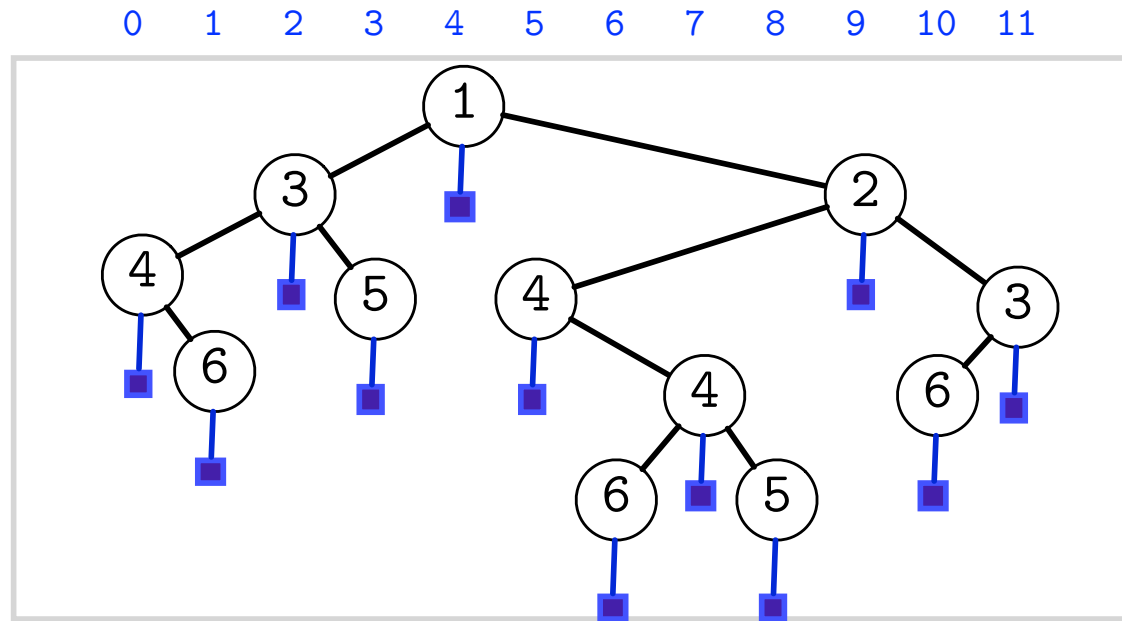
(3) DFS traversal to construct balanced parentheses sequence

$BP_{ext} = ((((( ))(( ))))(( ))(( (( ))(( (( ))(( (( ))))))(( ))(( (( ))(( )))$

0 1 2 3 4 5 6 7 8 9 10 11

# $\langle O(n), O(1) \rangle$ solution ( $4n + o(n)$ bits)

(2) Add a leaf to each node



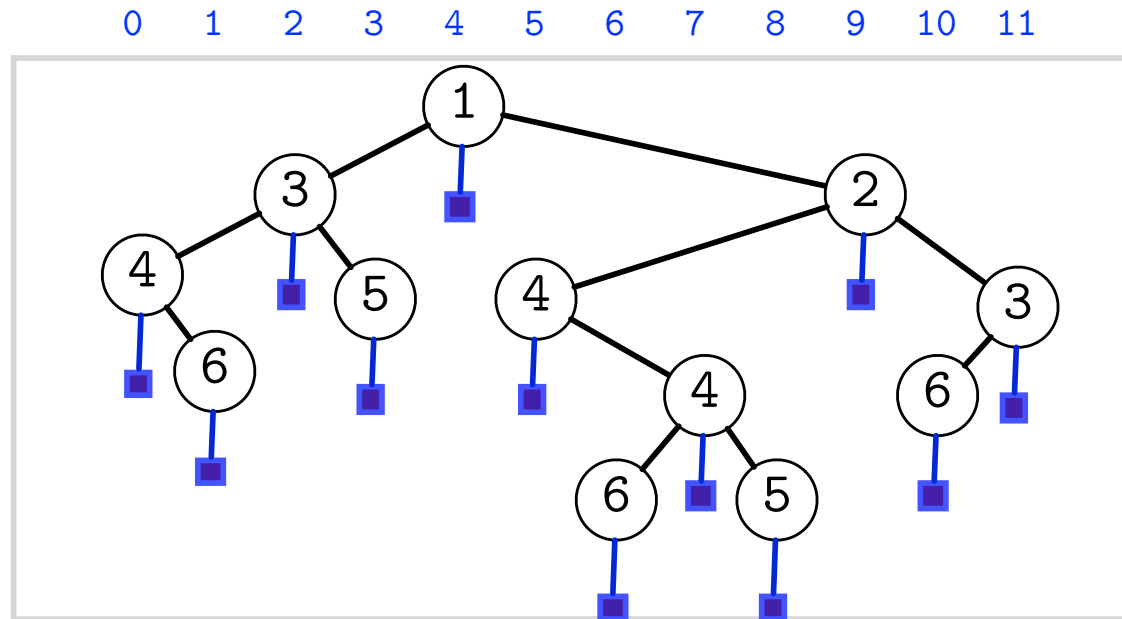
(3) DFS traversal to construct balanced parentheses sequence

$BP_{ext} = ((((( ))(( ))))(( ))(( (( ))(( (( ))(( )))))(( ))(( (( ))(( )))$

0 1 2 3 4 5 6 7 8 9 10 11

# $\langle O(n), O(1) \rangle$ solution ( $4n + o(n)$ bits)

(2) Add a leaf to each node



(3) DFS traversal to construct balanced parentheses sequence

$BP_{ext} = ((((( ))(( ))))(( ))(( (( ))(( (( ))(( (( ))))))(( ))(( (( ))(( )))))$

1 3 4      6      6 4      5      5 3      2 4      4 6      6      6      5      5 4 4      3 6      3 2 1  
0      1      2      3      4      5      6      7      8      9      10      11

# $\langle O(n), O(1) \rangle$ solution ( $4n + o(n)$ bits)

- The extended Cartesian Tree contains  $2n$  nodes
- The balanced parentheses sequence consists of  $4n$  bits
- The position of each leaf corresponds to the inorder number of its parent in the Cartesian tree
- The inorder number corresponds to the array index of the element
- Let  $\text{excess}(i) = \text{rank}(i + 1, 1, BP_{\text{ext}}) - \text{rank}(i + 1, 0, BP_{\text{ext}})$

For  $0 \leq i \leq j < n$  we get:

```
00  rmqA(i,j)
01  ipos ← select(i + 1, (), BPext)
02  jpos ← select(j + 1, (), BPext)
03  return rank(rmqexcess±1(ipos, jpos + 1), (), BPext)
```

# $\langle O(n), O(1) \rangle$ solution ( $4n + o(n)$ bits)

- Added leaves are used to navigate to inorder index nodes
- Select on a pattern „()” of fixed size can be done in constant time after precomputing a  $o(n)$ -space structure
- Let  $v$  be the  $(i + 1)$ th leaf node
- Let  $w$  be the  $(j + 1)$ th leaf node
- $rmq_{excess}^{\pm 1}(ipos, jpos + 1)$  is the position of closing parenthesis of the leaf node  $z$  added to  $LCA(v, w)$
- In-order number of  $LCA(v, w)$  corresponds to index of minimum in  $A[i, j]$  and can be determined by a rank operation on pattern „()”

Next:  $o(n)$  data structure to support  $rmq_{excess}^{\pm 1}$  queries on  $BP_{ext}$

# $\langle O(n), O(1) \rangle$ solution ( $4n + o(n)$ bits)

- Divide the (conceptional) array excess in blocks of size  $\log^3 n$
- $S[0, n/\log^3 n]$  stores the minima of the blocks
- Solution #2 for  $S$  requires  $O(\frac{n}{\log^3 n} \cdot \log^2 n) = o(n)$  bits
- Divide each block in subblocks of size  $\frac{1}{2} \log n$
- Apply again solution #2 on subblocks ( $n' = \log^2 n$ ). I.e. total space  $O(\frac{n}{\log n} \log n' \cdot \log n') = O(\frac{n}{\log n} \log^2 \log n) = o(n)$
- Lookup table for blocks of size  $\frac{1}{2} \log n$  is also in  $o(n)$

## Observation

Adding the leaf nodes enables inorder indexing of the nodes but doubles the space.

Next: Approach which does not require additional nodes.

- Cartesian Tree (CT) is a binary tree of  $n$  nodes
- Transform CT into general tree of  $n + 1$  nodes

## Observation

Adding the leaf nodes enables inorder indexing of the nodes but doubles the space.

Next: Approach which does not require additional nodes.

- Cartesian Tree (CT) is a binary tree of  $n$  nodes
- Transform CT into general tree of  $n + 1$  nodes

## Observation

Adding the leaf nodes enables inorder indexing of the nodes but doubles the space.

Next: Approach which does not require additional nodes.

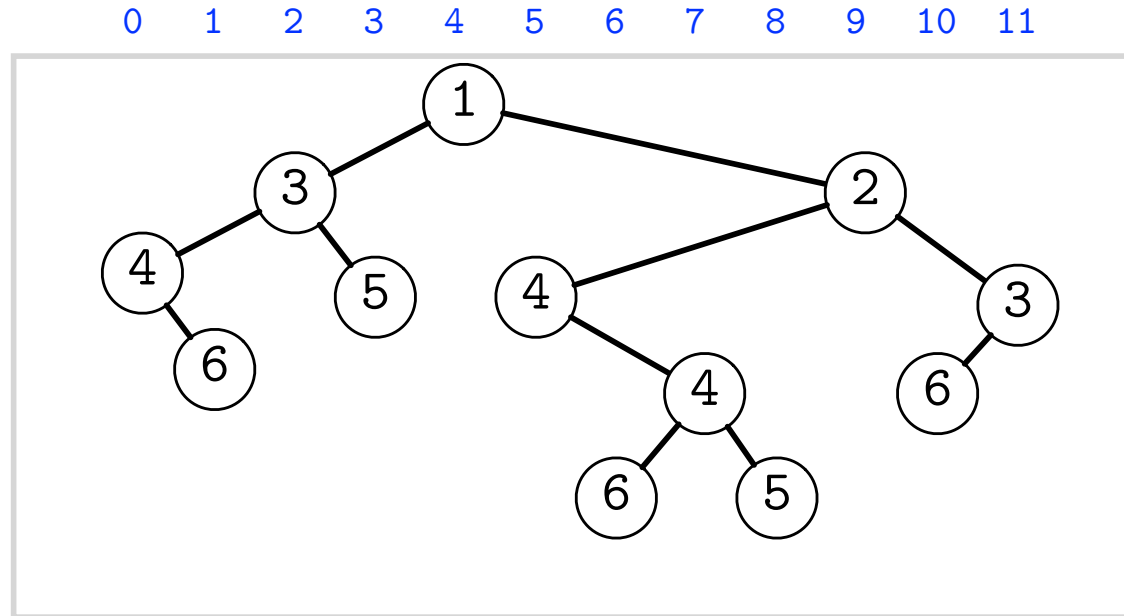
- Cartesian Tree (CT) is a binary tree of  $n$  nodes
- Transform CT into general tree of  $n + 1$  nodes

## Observation

Adding the leaf nodes enables inorder indexing of the nodes but doubles the space.

Next: Approach which does not require additional nodes.

- Cartesian Tree (CT) is a binary tree of  $n$  nodes
- Transform CT into general tree of  $n + 1$  nodes

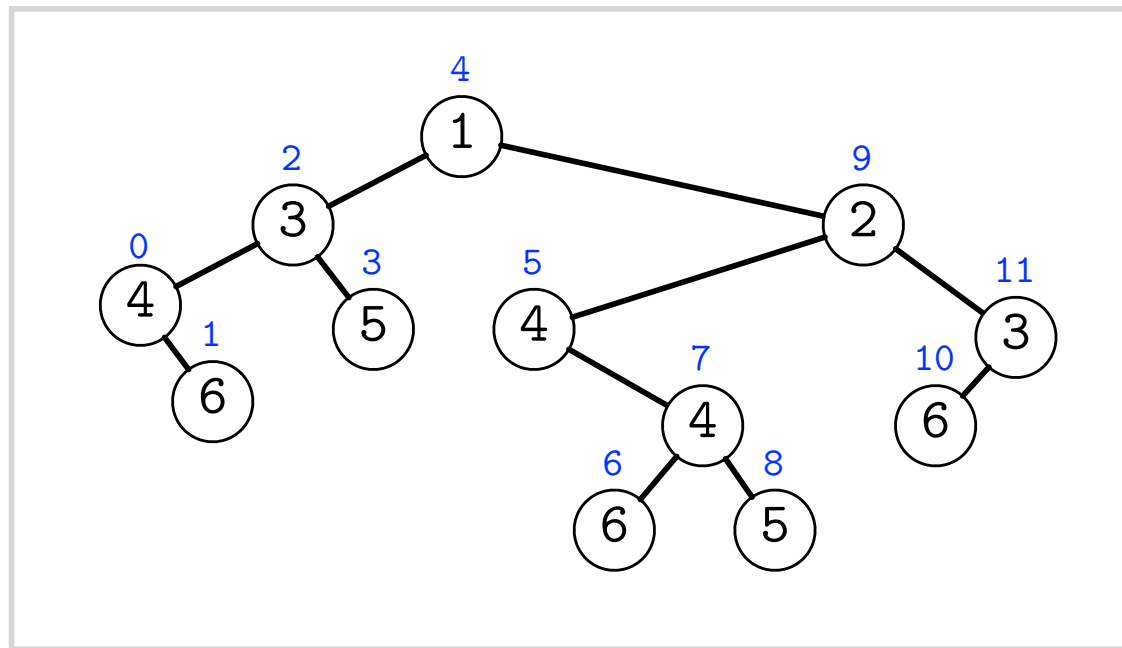


## Observation

Adding the leaf nodes enables inorder indexing of the nodes but doubles the space.

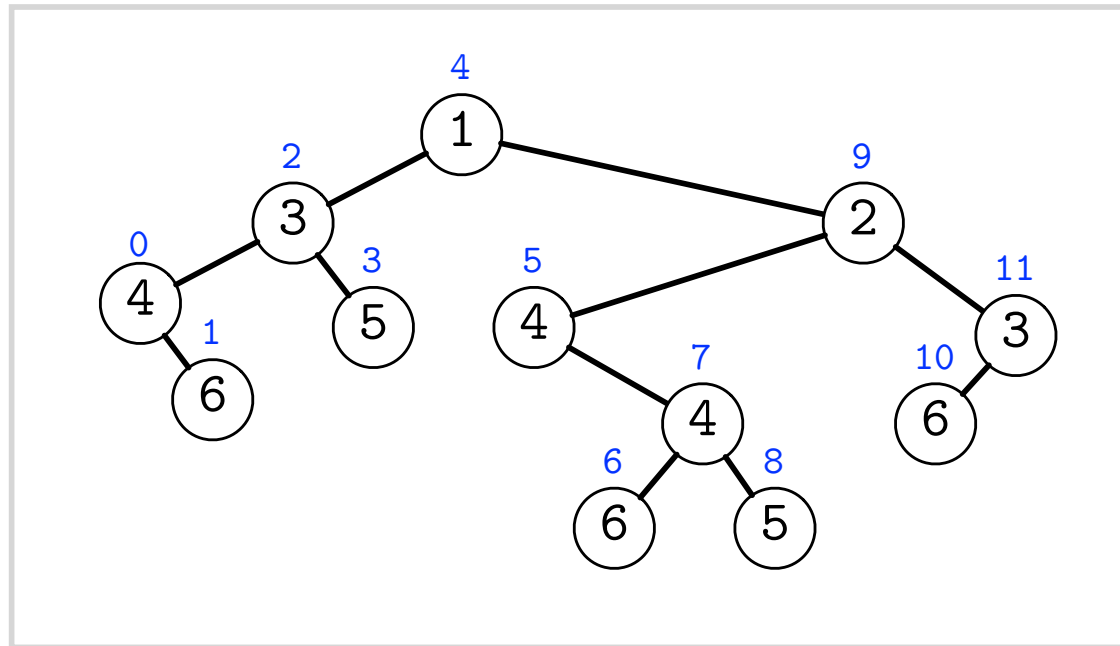
Next: Approach which does not require additional nodes.

- Cartesian Tree (CT) is a binary tree of  $n$  nodes
- Transform CT into general tree of  $n + 1$  nodes



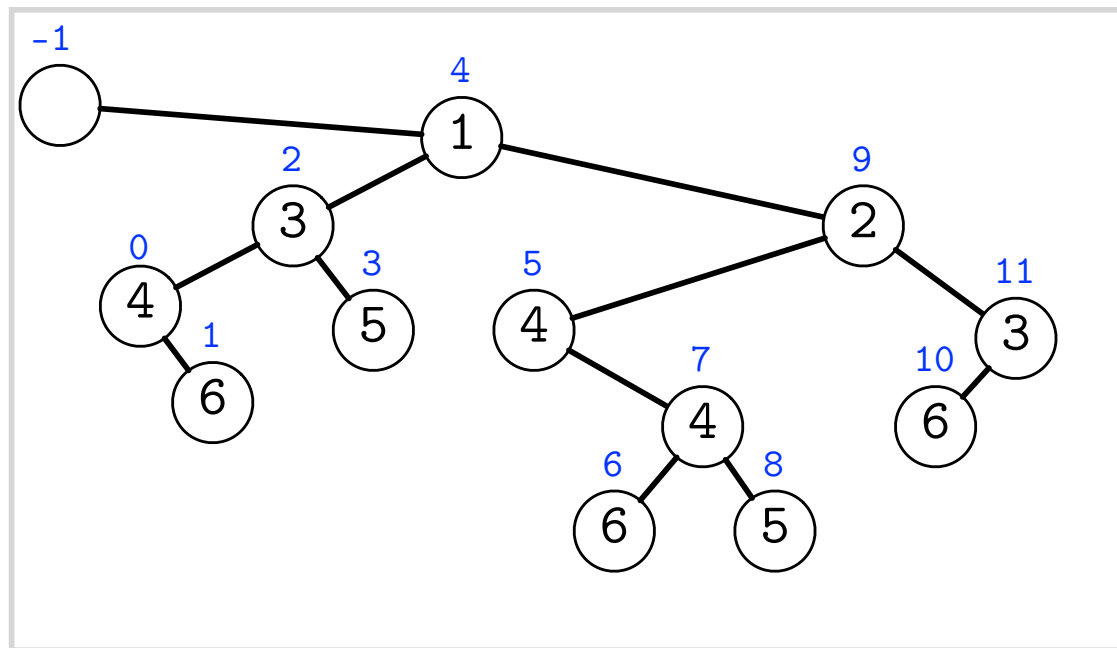
## Transformation

- Add a new root node to the leaf of the original root
- For each node  $v$  (starting at the root) take the right child  $w$ , and add the nodes on the leftmost path from  $w$  as children of  $v$



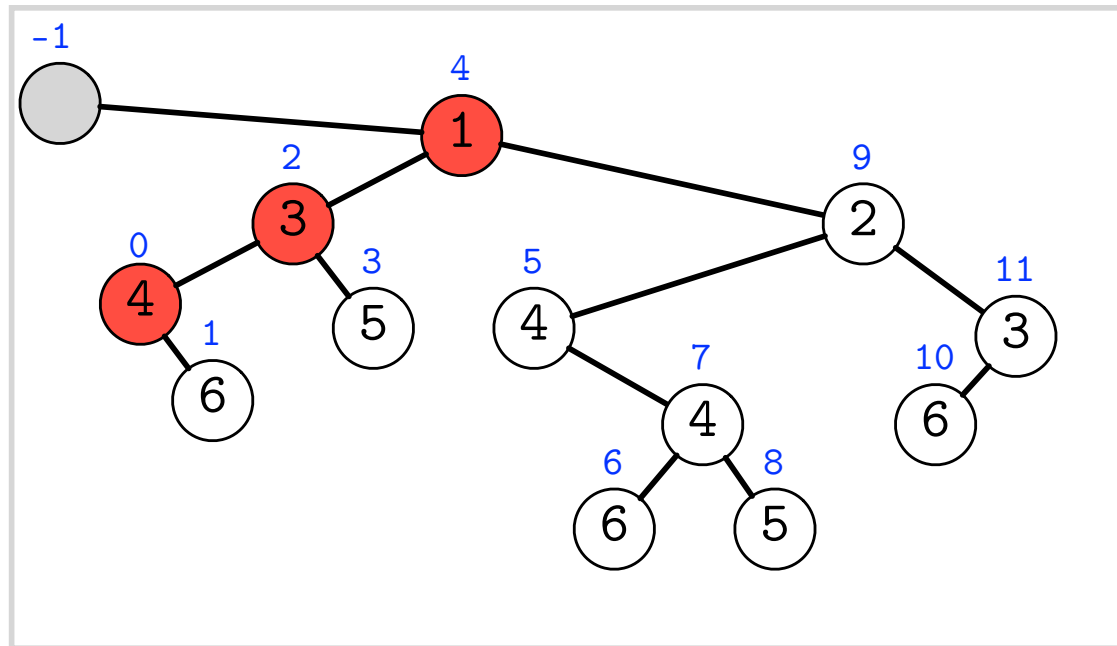
## Transformation

- Add a new root node to the leaf of the original root
- For each node  $v$  (starting at the root) take the right child  $w$ , and add the nodes on the leftmost path from  $w$  as children of  $v$



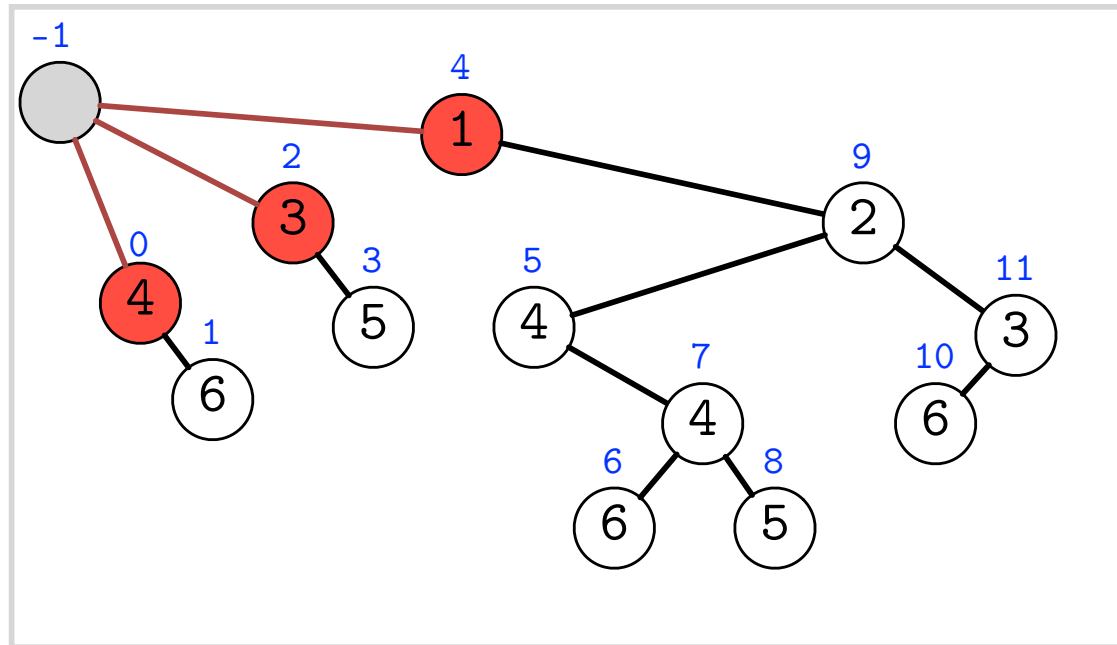
## Transformation

- Add a new root node to the leaf of the original root
- For each node  $v$  (starting at the root) take the right child  $w$ , and add the nodes on the leftmost path from  $w$  as children of  $v$



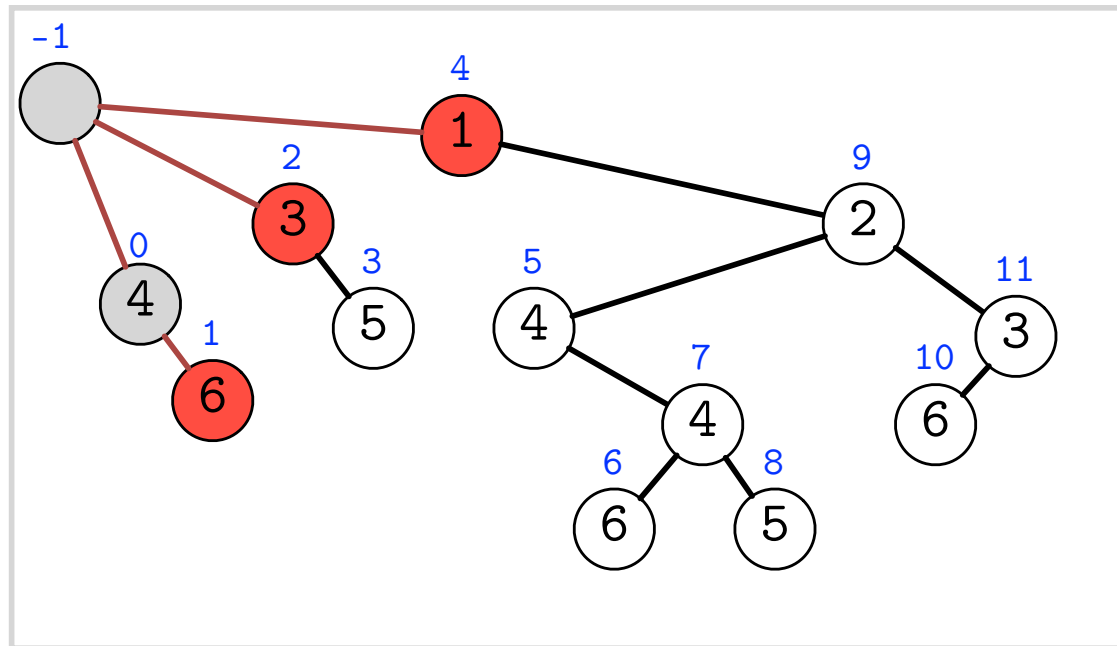
## Transformation

- Add a new root node to the leaf of the original root
- For each node  $v$  (starting at the root) take the right child  $w$ , and add the nodes on the leftmost path from  $w$  as children of  $v$



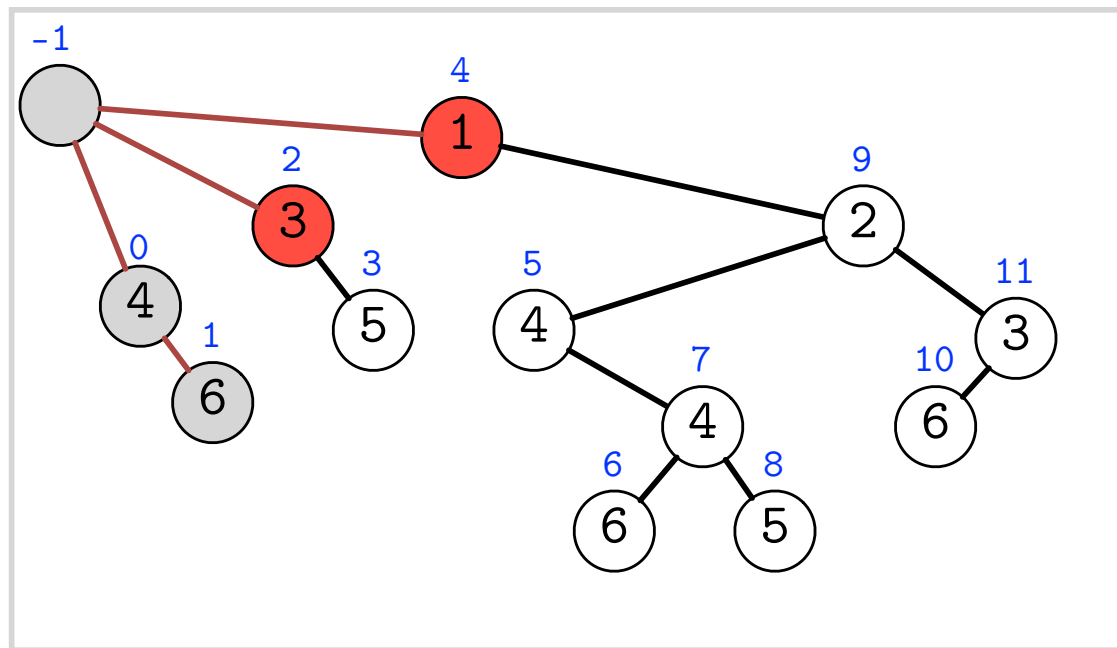
## Transformation

- Add a new root node to the leaf of the original root
- For each node  $v$  (starting at the root) take the right child  $w$ , and add the nodes on the leftmost path from  $w$  as children of  $v$



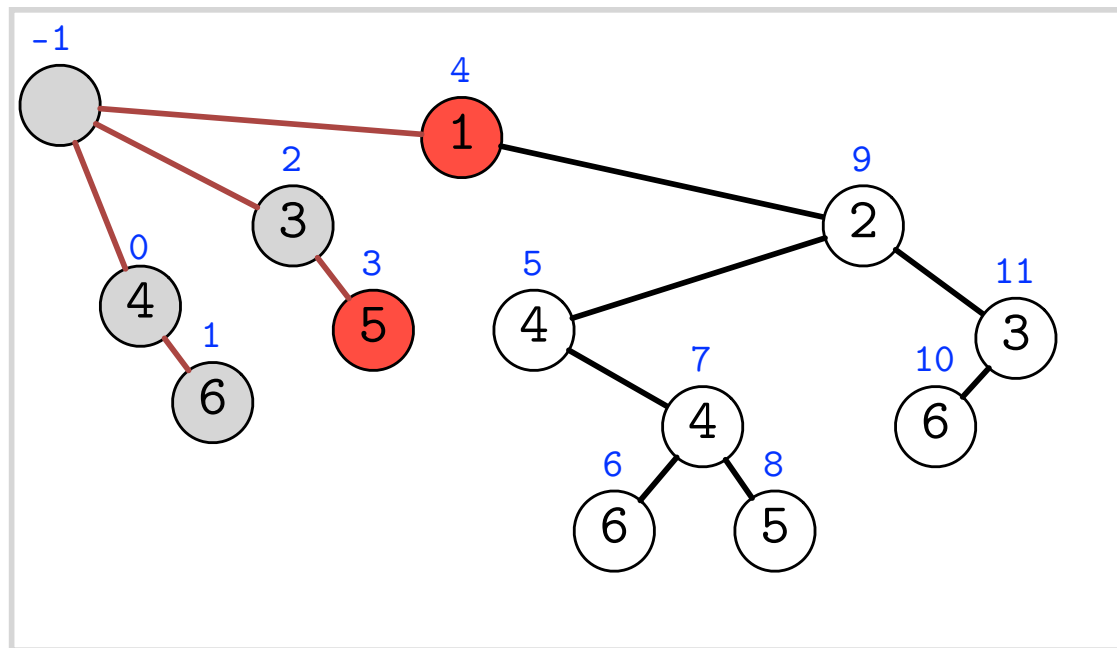
## Transformation

- Add a new root node to the leaf of the original root
- For each node  $v$  (starting at the root) take the right child  $w$ , and add the nodes on the leftmost path from  $w$  as children of  $v$



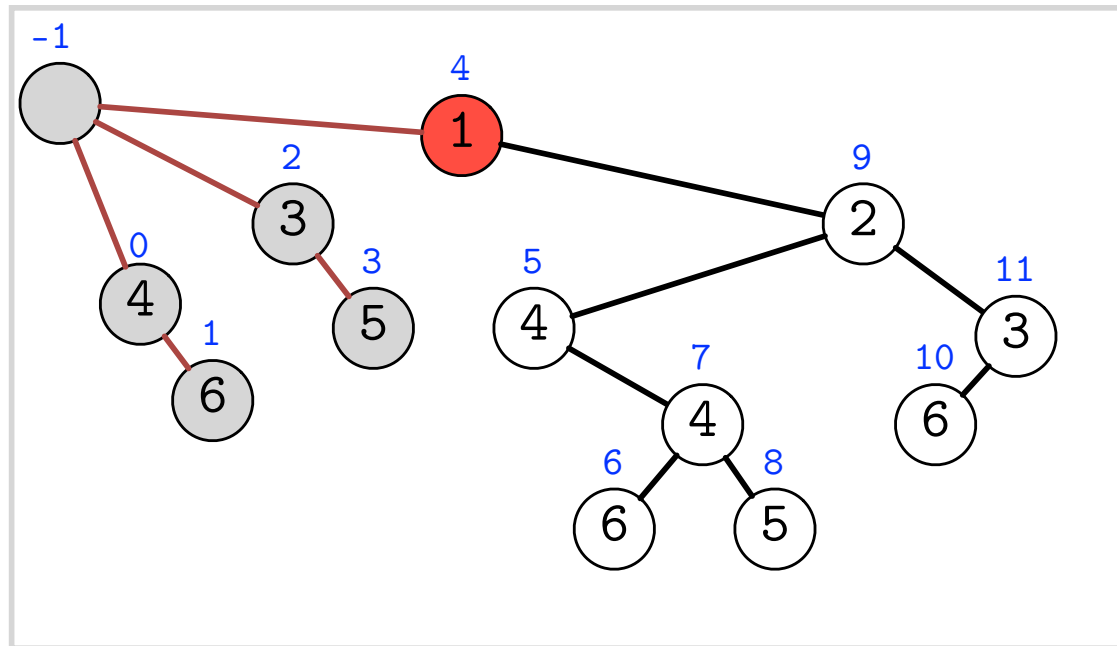
## Transformation

- Add a new root node to the leaf of the original root
- For each node  $v$  (starting at the root) take the right child  $w$ , and add the nodes on the leftmost path from  $w$  as children of  $v$



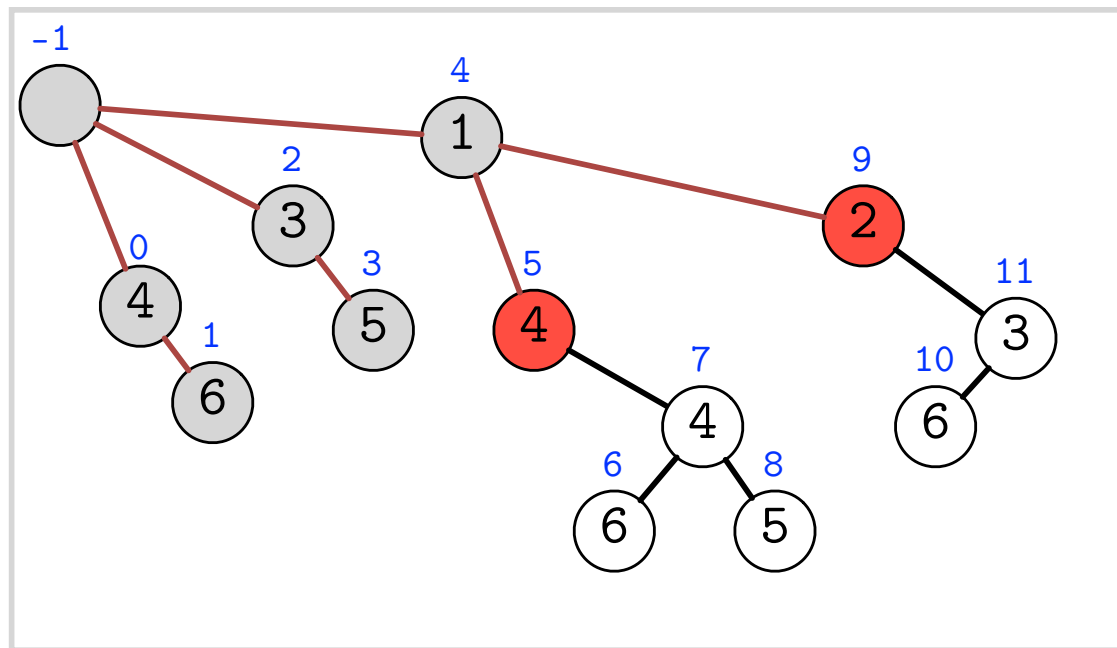
## Transformation

- Add a new root node to the leaf of the original root
- For each node  $v$  (starting at the root) take the right child  $w$ , and add the nodes on the leftmost path from  $w$  as children of  $v$



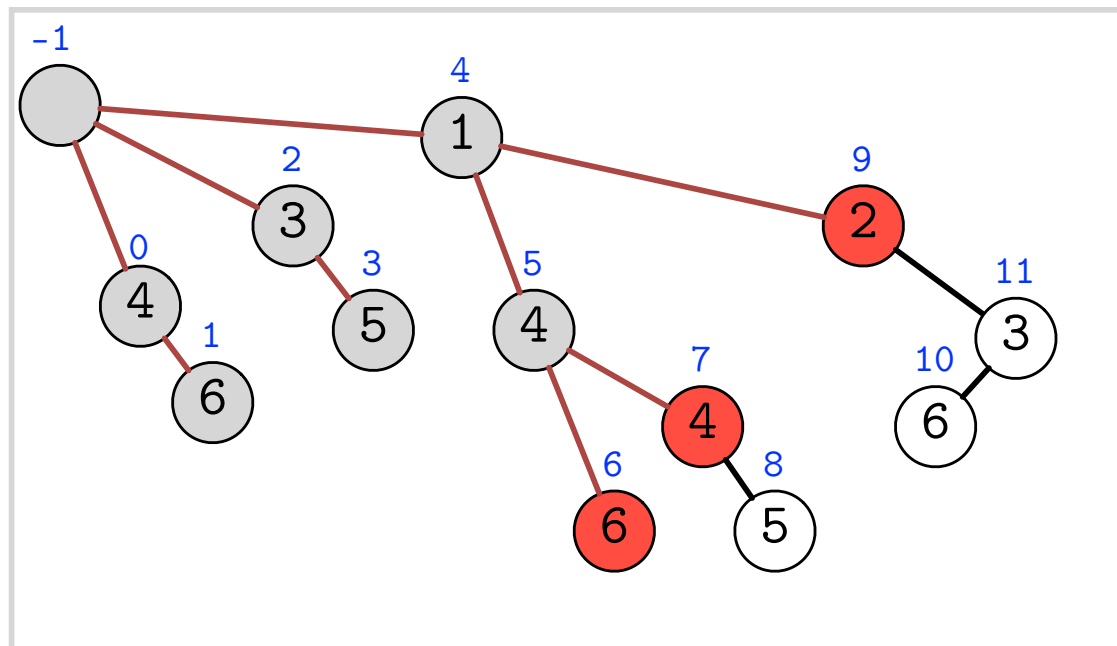
## Transformation

- Add a new root node to the leaf of the original root
- For each node  $v$  (starting at the root) take the right child  $w$ , and add the nodes on the leftmost path from  $w$  as children of  $v$



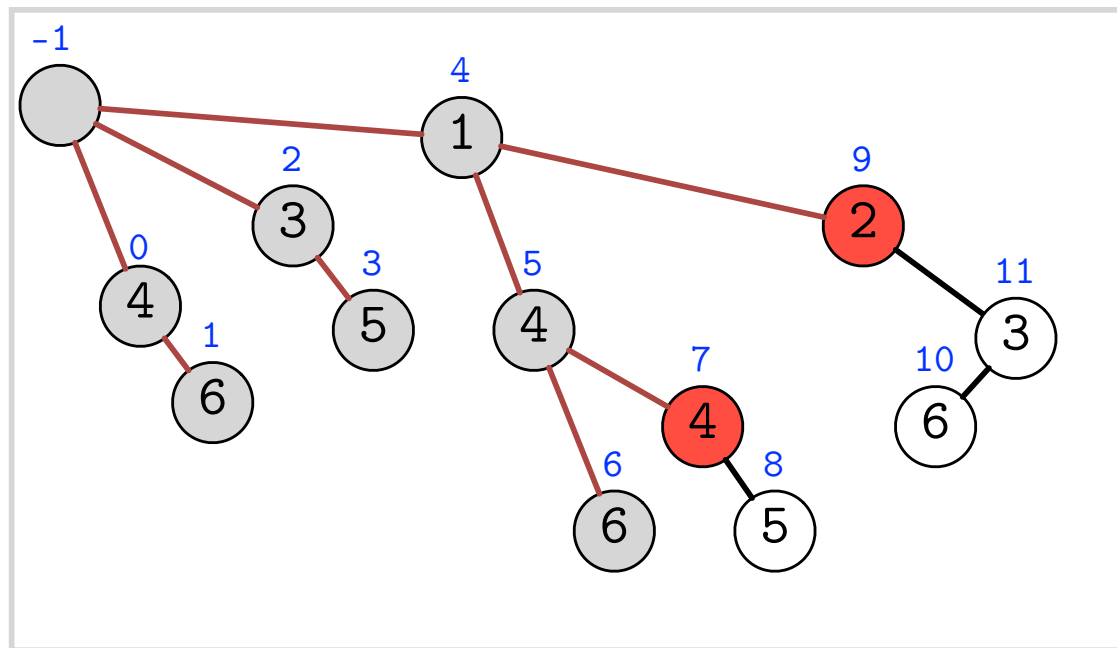
## Transformation

- Add a new root node to the leaf of the original root
- For each node  $v$  (starting at the root) take the right child  $w$ , and add the nodes on the leftmost path from  $w$  as children of  $v$



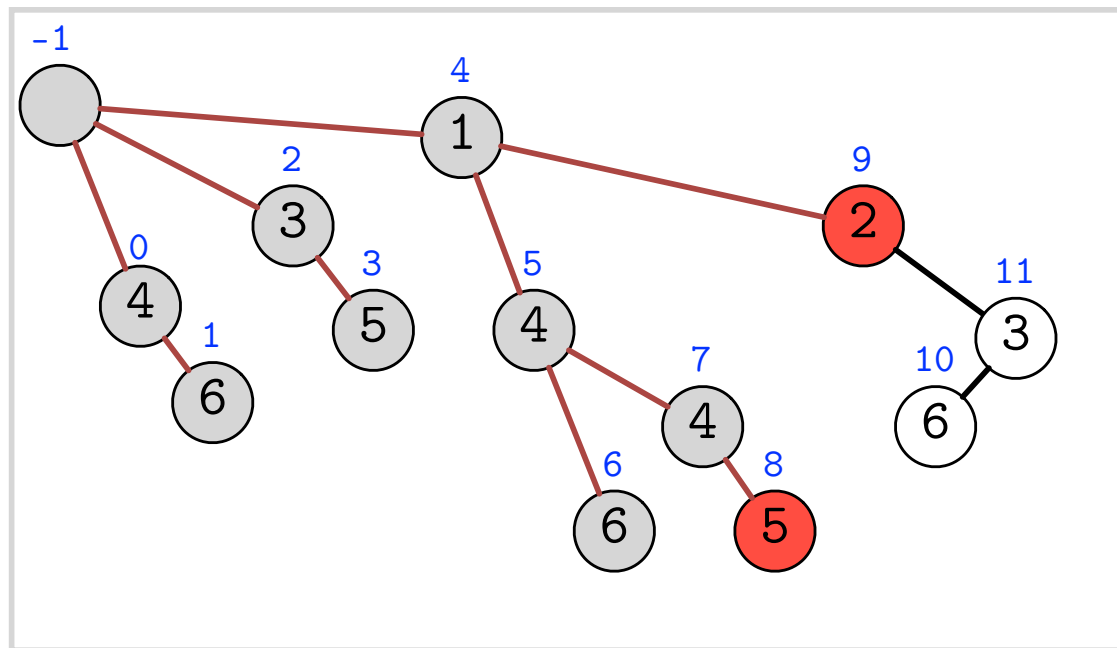
## Transformation

- Add a new root node to the leaf of the original root
- For each node  $v$  (starting at the root) take the right child  $w$ , and add the nodes on the leftmost path from  $w$  as children of  $v$



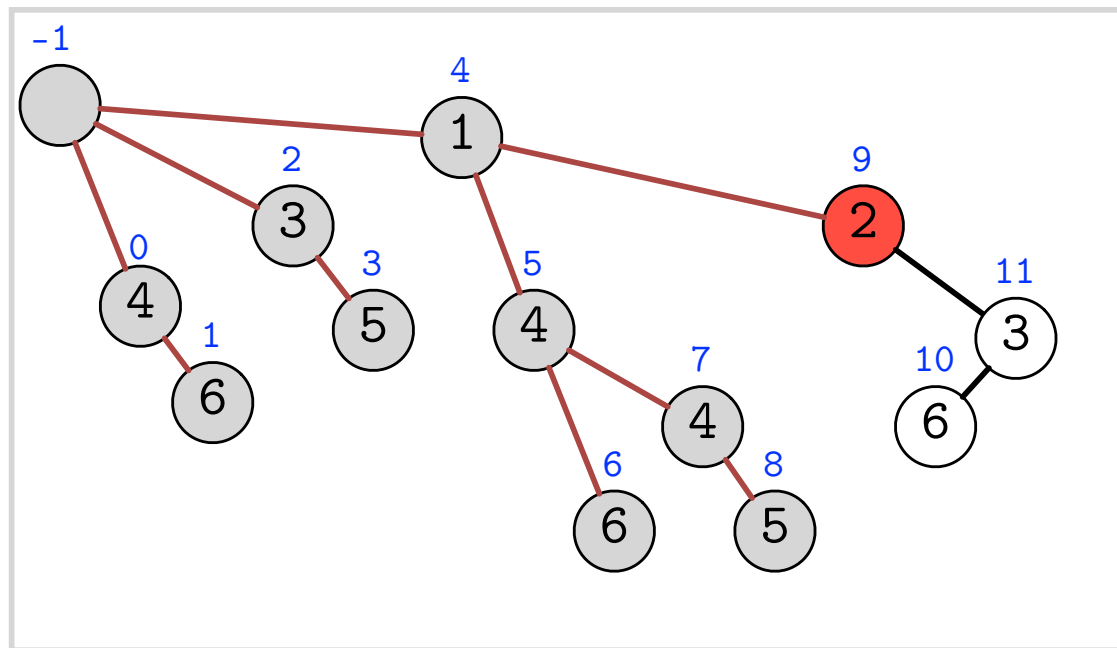
## Transformation

- Add a new root node to the leaf of the original root
- For each node  $v$  (starting at the root) take the right child  $w$ , and add the nodes on the leftmost path from  $w$  as children of  $v$



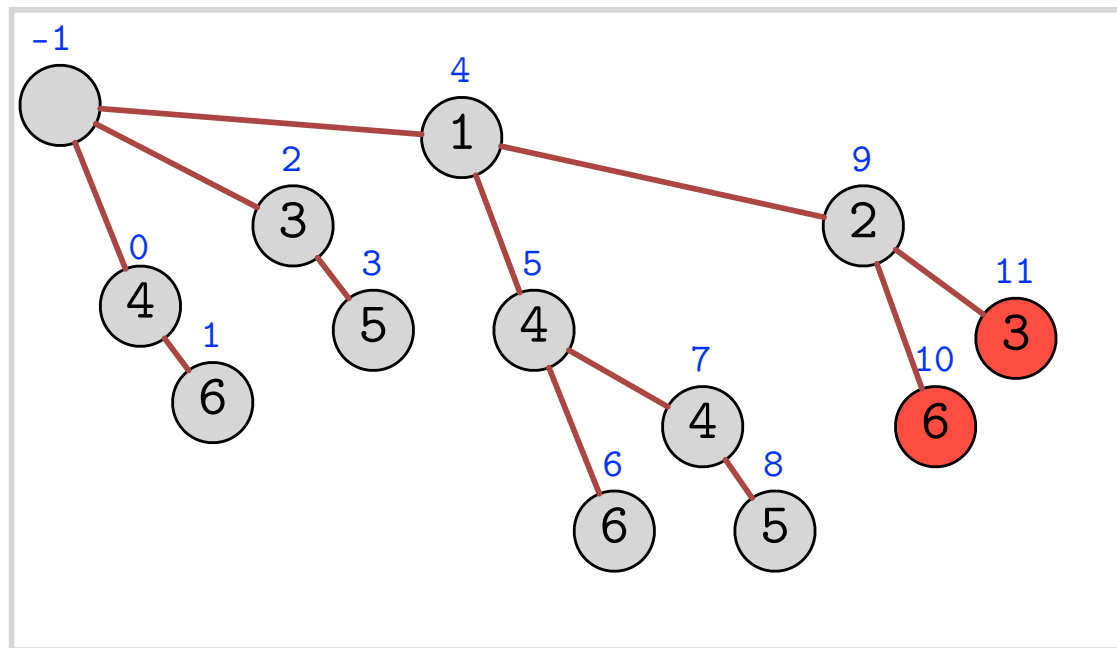
## Transformation

- Add a new root node to the leaf of the original root
- For each node  $v$  (starting at the root) take the right child  $w$ , and add the nodes on the leftmost path from  $w$  as children of  $v$



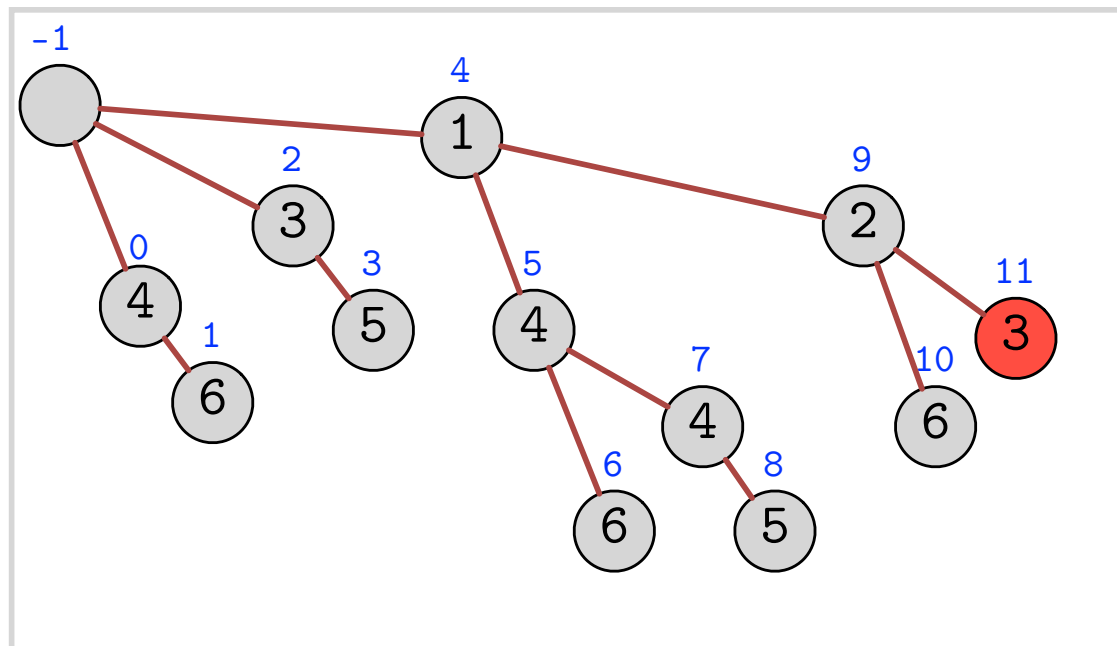
## Transformation

- Add a new root node to the leaf of the original root
- For each node  $v$  (starting at the root) take the right child  $w$ , and add the nodes on the leftmost path from  $w$  as children of  $v$



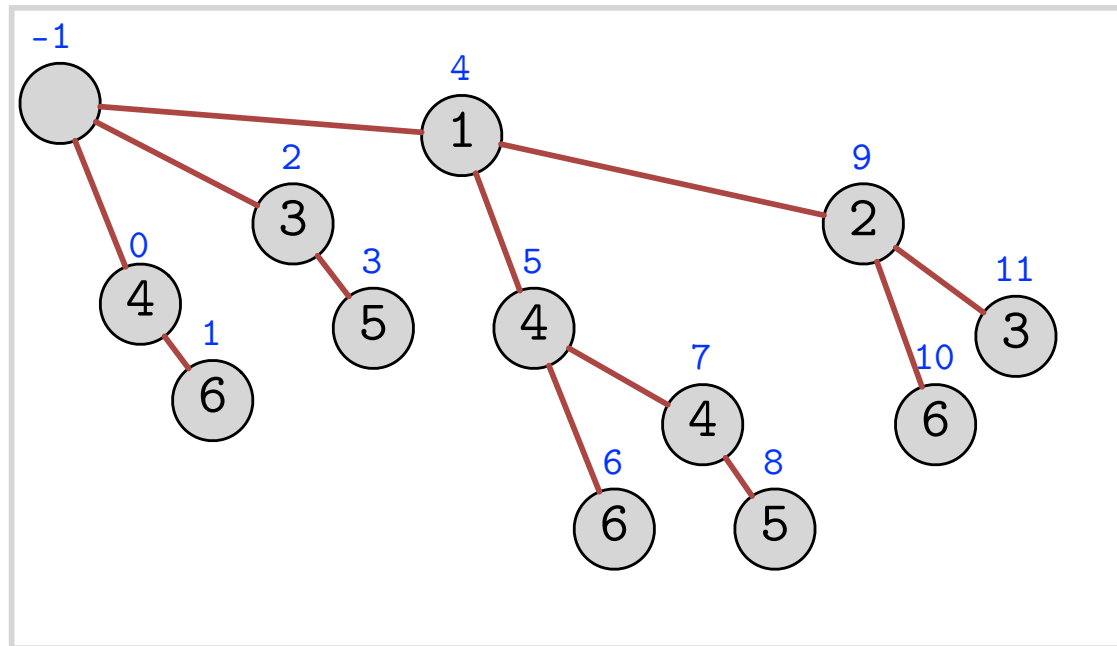
## Transformation

- Add a new root node to the leaf of the original root
- For each node  $v$  (starting at the root) take the right child  $w$ , and add the nodes on the leftmost path from  $w$  as children of  $v$



## Transformation

- Add a new root node to the leaf of the original root
- For each node  $v$  (starting at the root) take the right child  $w$ , and add the nodes on the leftmost path from  $w$  as children of  $v$



# $\langle O(n), O(1) \rangle$ solution ( $2n + o(n)$ bits)

- Node with inorder  $i$  in CT becomes node with preorder  $i + 1$  in the general tree
- So we can identify the node of array element  $i$  by selecting the  $(i + 2)$ th opening parenthesis in the balanced parentheses sequence of the general tree (+1 for the added root node, +1 for index shift by one)
- Let  $BP$  be the balanced parentheses sequence of the general tree

For  $0 \leq i \leq j < n$  we get:

```
00  rmqA(i,j)
01      ipos ← select(i + 2, (, BP)
02      jpos ← select(j + 2, (, BP)
03  return rank(rmqexcess±1(ipos – 1, jpos), (, BP) – 1
```

Where  $rmq_{excess}^{\pm 1}$  returns the rightmost position of the minimal value.

# $\langle O(n), O(1) \rangle$ solution ( $2n + o(n)$ bits)

- Node with inorder  $i$  in CT becomes node with preorder  $i + 1$  in the general tree
- So we can identify the node of array element  $i$  by selecting the  $(i + 2)$ th opening parenthesis in the balanced parentheses sequence of the general tree (+1 for the added root node, +1 for index shift by one)
- Let  $BP$  be the balanced parentheses sequence of the general tree

For  $0 \leq i \leq j < n$  we get:

```
00  rmqA(i,j)
01      ipos ← select(i + 2, (, BP)
02      jpos ← select(j + 2, (, BP)
03  return rank(rmqexcess±1(ipos – 1, jpos), (, BP) – 1
```

Where  $rmq_{excess}^{\pm 1}$  returns the rightmost position of the minimal value.

# $\langle O(n), O(1) \rangle$ solution ( $2n + o(n)$ bits)

- Node with inorder  $i$  in CT becomes node with preorder  $i + 1$  in the general tree
- So we can identify the node of array element  $i$  by selecting the  $(i + 2)$ th opening parenthesis in the balanced parentheses sequence of the general tree (+1 for the added root node, +1 for index shift by one)
- Let  $BP$  be the balanced parentheses sequence of the general tree

For  $0 \leq i \leq j < n$  we get:

```
00  rmqA(i,j)
01  ipos ← select(i + 2, (, BP)
02  jpos ← select(j + 2, (, BP)
03  return rank(rmqexcess±1(ipos – 1, jpos), (, BP) – 1
```

Where  $rmq_{excess}^{\pm 1}$  returns the rightmost position of the minimal value.

# $\langle O(n), O(1) \rangle$ solution ( $2n + o(n)$ bits)

- Node with inorder  $i$  in CT becomes node with preorder  $i + 1$  in the general tree
- So we can identify the node of array element  $i$  by selecting the  $(i + 2)$ th opening parenthesis in the balanced parentheses sequence of the general tree (+1 for the added root node, +1 for index shift by one)
- Let  $BP$  be the balanced parentheses sequence of the general tree

For  $0 \leq i \leq j < n$  we get:

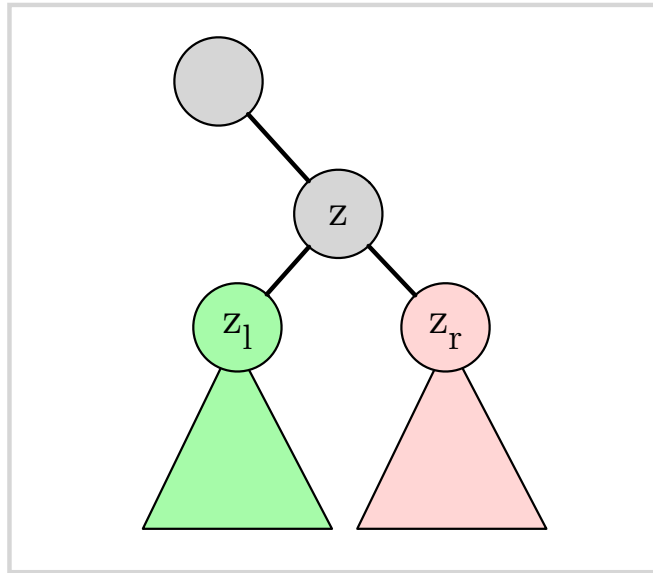
```
00  rmqA(i,j)
01  ipos ← select(i + 2, (, BP)
02  jpos ← select(j + 2, (, BP)
03  return rank(rmqexcess±1(ipos - 1, jpos), (, BP) - 1
```

Where  $rmq_{excess}^{\pm 1}$  returns the rightmost position of the minimal value.

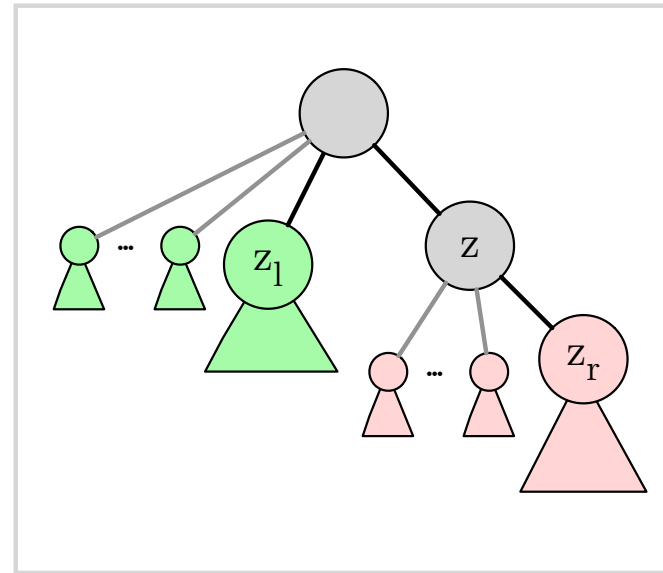
# $\langle O(n), O(1) \rangle$ solution ( $2n + o(n)$ bits)

Proof sketch: Let  $v$  and  $w$  be the nodes of  $A[i]$  and  $A[j]$  and  $z$  be the LCA of  $v$  and  $w$  in the Cartesian Tree. Node  $v$  is in the left subtree and  $w$  in the right subtree of  $z$ .

Situation in binary tree



Situation in general tree

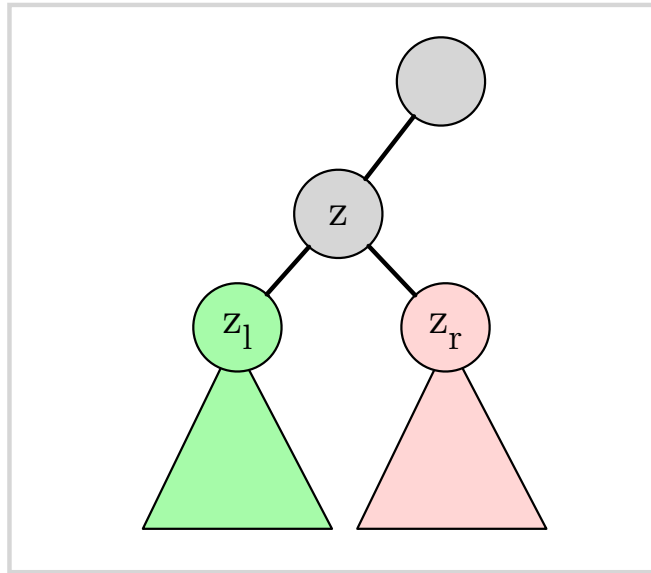


$$\underbrace{(\dots)}_{z_l} \dots \underbrace{(\dots)}_{z_l z} \underbrace{(\dots)}_{z} (\underbrace{(\dots)}_{z_l} \dots \underbrace{(\dots)}_{z_l z} \underbrace{(\dots)}_{z})$$

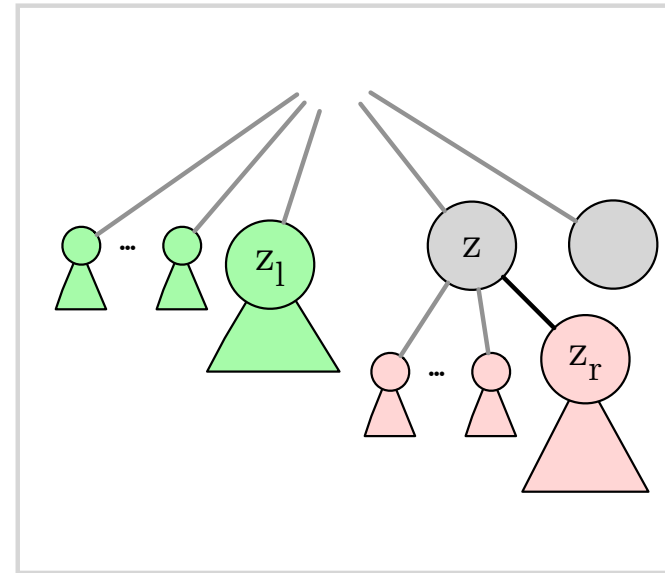
# $\langle O(n), O(1) \rangle$ solution ( $2n + o(n)$ bits)

Proof sketch: Let  $v$  and  $w$  be the nodes of  $A[i]$  and  $A[j]$  and  $z$  be the LCA of  $v$  and  $w$  in the Cartesian Tree. Node  $v$  is in the left subtree and  $w$  in the right subtree of  $z$ .

Situation in binary tree



Situation in general tree



$$(\dots) \dots (\dots) (\dots) ((\dots) \dots (\dots)) (\dots)$$

$z_l \quad z_l z \quad z$

# $\langle O(n), O(1) \rangle$ solution ( $2n + o(n)$ bits)

First case:  $v \neq z$  and  $w \neq z$

- $v$ 's opening parenthesis is the green area
- $w$ 's opening parenthesis is the red area
- the (rightmost)  $\pm 1RMQ$  will return the position  $p$  of the closing parenthesis of  $z$ ,
- $z$ 's opening parenthesis is at position  $p + 1$  by construction
- $r = rank(p) - 1$  corresponds to the preorder number of  $z$  in the general tree
- which in turns corresponds to the inorder number in CT
- which in turns corresponds to the index of the minimum in  $A[i, j]$

# $\langle O(n), O(1) \rangle$ solution ( $2n + o(n)$ bits)

Second case:  $v \neq z$  and  $w = z$ :

- $v$ 's opening parenthesis is the green area
- $w$ 's opening parenthesis is  $z$ 's opening parenthesis now
- the (rightmost)  $\pm 1RMQ$  will return the position  $p$  of the closing parenthesis of  $z$ ,
- $z$ 's opening parenthesis is at position  $p + 1$  by construction
- $r = rank(p) - 1$  corresponds to the preorder number of  $z$  in the general tree
- which in turns corresponds to the inorder number in CT
- which in turns corresponds to the index of the minimum in  $A[i, j]$

# $\langle O(n), O(1) \rangle$ solution ( $2n + o(n)$ bits)

Third case:  $v = z$  and  $w \neq z$ :

- $v$ 's opening parenthesis is  $z$ 's opening parenthesis now
- $w$ 's opening parenthesis is the red area
- the (rightmost)  $\pm 1RMQ$  will return the position  $p$  of the closing parenthesis of  $z$ ,
- $z$ 's opening parenthesis is at position  $p + 1$  by construction
- $r = rank(p) - 1$  corresponds to the preorder number of  $z$  in the general tree
- which in turns corresponds to the inorder number in CT
- which in turns corresponds to the index of the minimum in  $A[i, j]$

# $\langle O(n), O(1) \rangle$ solution ( $2n + o(n)$ bits)

Third case:  $v = z$  and  $w = z$ :

- $v$ 's opening parenthesis is  $z$ 's opening parenthesis now
- $w$ 's opening parenthesis is  $z$ 's opening parenthesis now
- the (rightmost)  $\pm 1RMQ$  will return the position  $p$  of the closing parenthesis of  $z$ ,
- $z$ 's opening parenthesis is at position  $p + 1$  by construction
- $r = rank(p) - 1$  corresponds to the preorder number of  $z$  in the general tree
- which in turns corresponds to the inorder number in CT
- which in turns corresponds to the index of the minimum in  $A[i, j]$

# Conclusion

Range Minimum Queries (RMQ)s over an array  $A$  can be answered in constant time after preprocessing a  $2n + o(n)$  space data structure in linear time.

Applications:

- Compressed suffix trees
- Document retrieval
- Weighted query completion
- ...

# Literature

- M.A. Bender, M. Farach-Colton: The LCA Problem Revisited.  
(LATIN 2000)
- K. Sadakane: Compressed Suffix Trees with Full Functionality.  
(TCS 2007)
- H. Ferrada, G. Navarro: Improved Range Minimum Queries  
(DCC 2016)

# **Burrows-Wheeler-Transformation**

## **Einführung**

### **Burrows, Wheeler (1983, 1994)**

- “nur” eine Umordnung des Textes,  
→ gruppiert Zeichen mit ähnlichem Kontext, reversibel
- ursprünglich eingeführt zur **Textkompression**  
→ Teilschritt von **bzip2**
- später auch für **Textindizierung** verwendet  
→ z.B. Rückwärtssuche, Berechnung des LCP-Array

# Burrows-Wheeler-Transformation

## Wiederholung: Suffix-Arrays (und Suffixbäume)

- Textindizierung  
→ schnelle Suche in Texten
- kann in  $O(n)$  erzeugt werden  
(DC3-Algorithmus)

1 2 3 4 5 6 7 8 9  
 $T = l a l a n g n g \$$

## Definition

- $SA[i] \doteq$  Index des  $i$ -ten sortierten Suffix  
(einer Zeichenkette  $T$ )

# Burrows-Wheeler-Transformation

## Wiederholung: Suffix-Arrays (und Suffixbäume)

- Textindizierung  
→ schnelle Suche in Texten
- kann in  $O(n)$  erzeugt werden  
(DC3-Algorithmus)

### Definition

- $\text{SA}[i] \doteq$  Index des  $i$ -ten sortierten Suffix  
(einer Zeichenkette  $T$ )

|       |   |   |   |   |   |   |   |   |    |   |
|-------|---|---|---|---|---|---|---|---|----|---|
|       | 1 | 2 | 3 | 4 | 5 | 6 | 7 | 8 | 9  |   |
| $T =$ | l | a | l | a | n | g | n | g | \$ | 9 |
|       |   |   |   |   |   |   |   |   |    | 8 |
|       |   |   |   |   |   |   |   |   |    | 7 |
|       |   |   |   |   |   |   |   |   |    | 6 |
|       |   |   |   |   |   |   |   |   |    | 5 |
|       |   |   |   |   |   |   |   |   |    | 4 |
|       |   |   |   |   |   |   |   |   |    | 3 |
|       |   |   |   |   |   |   |   |   |    | 2 |
|       |   |   |   |   |   |   |   |   |    | 1 |

# Burrows-Wheeler-Transformation

## Wiederholung: Suffix-Arrays (und Suffixbäume)

- Textindizierung  
→ schnelle Suche in Texten
- kann in  $O(n)$  erzeugt werden  
(DC3-Algorithmus)

### Definition

- $SA[i] \doteq$  Index des  $i$ -ten sortierten Suffix  
(einer Zeichenkette  $T$ )

|         |   |   |   |   |   |   |   |    |    |
|---------|---|---|---|---|---|---|---|----|----|
| 1       | 2 | 3 | 4 | 5 | 6 | 7 | 8 | 9  |    |
| $T = l$ | a | l | a | n | g | n | g | \$ |    |
|         |   |   |   |   |   |   |   |    | 9  |
|         |   |   | a | l | a | n | g | n  | \$ |
|         |   |   |   | a | l | a | n | g  | \$ |
|         |   |   |   |   | a | l | a | n  | \$ |
|         |   |   |   |   |   | a | l | a  | \$ |
|         |   |   |   |   |   |   | a | l  |    |
|         |   |   |   |   |   |   |   | a  |    |
|         |   |   |   |   |   |   |   |    | 2  |
|         |   |   |   |   |   |   |   |    | 4  |
|         |   |   |   |   |   |   |   |    | 8  |
|         |   |   |   |   |   |   |   |    | 6  |
|         |   |   |   |   |   |   |   |    | 1  |
|         |   |   |   |   |   |   |   |    | 3  |
|         |   |   |   |   |   |   |   |    | 7  |
|         |   |   |   |   |   |   |   |    | 5  |

# Burrows-Wheeler-Transformation

## Wiederholung: Suffix-Arrays (und Suffixbäume)

- Textindizierung  
→ schnelle Suche in Texten
- kann in  $O(n)$  erzeugt werden  
(DC3-Algorithmus)

### Definition

- $SA[i] \doteq$  Index des  $i$ -ten sortierten Suffix  
(einer Zeichenkette  $T$ )

|       | 1 | 2 | 3 | 4 | 5 | 6 | 7 | 8 | 9  | \$ | SA |
|-------|---|---|---|---|---|---|---|---|----|----|----|
| $T =$ | l | a | l | a | n | g | n | g | \$ | \$ | 9  |
|       |   |   |   | a | l | a | n | g | n  | g  | 2  |
|       |   |   |   |   | a | n | g | n | g  | g  | 4  |
|       |   |   |   |   |   | l | a | l | a  | n  | g  |
|       |   |   |   |   |   |   | g | n | g  | g  | 6  |
|       |   |   |   |   |   |   |   | g | g  | g  | 8  |
|       |   |   |   |   |   |   |   |   | g  | g  | 1  |
|       |   |   |   |   |   |   |   |   |    | g  | 3  |
|       |   |   |   |   |   |   |   |   |    | n  | 7  |
|       |   |   |   |   |   |   |   |   |    | g  | 5  |

# Burrows-Wheeler-Transformation

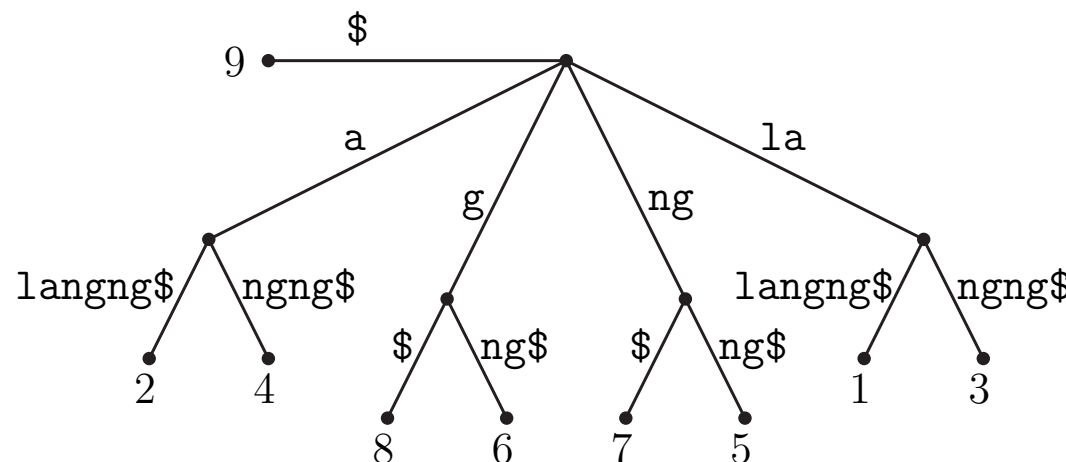
## Wiederholung: Suffix-Arrays (und Suffixbäume)

- Textindizierung  
→ schnelle Suche in Texten
- kann in  $O(n)$  erzeugt werden  
(DC3-Algorithmus)

### Definition

- $SA[i] \doteq$  Index des  $i$ -ten sortierten Suffix  
(einer Zeichenkette  $T$ )

|       |   |   |   |   |   |   |   |    |    |    |
|-------|---|---|---|---|---|---|---|----|----|----|
| 1     | 2 | 3 | 4 | 5 | 6 | 7 | 8 | 9  | \$ | SA |
| T = l | a | l | a | n | g | n | g | \$ | \$ | 9  |
|       |   |   | a | l | a | n | g | n  | g  | 2  |
|       |   |   |   | a | n | g | n | g  | g  | 4  |
|       |   |   |   |   | l | a | l | a  | n  | 8  |
|       |   |   |   |   |   | a | l | a  | n  | 6  |
|       |   |   |   |   |   |   | l | a  | n  | 1  |
|       |   |   |   |   |   |   |   | n  | g  | 3  |
|       |   |   |   |   |   |   |   |    | g  | 7  |
|       |   |   |   |   |   |   |   |    | n  | 5  |



# Burrows-Wheeler-Transformation

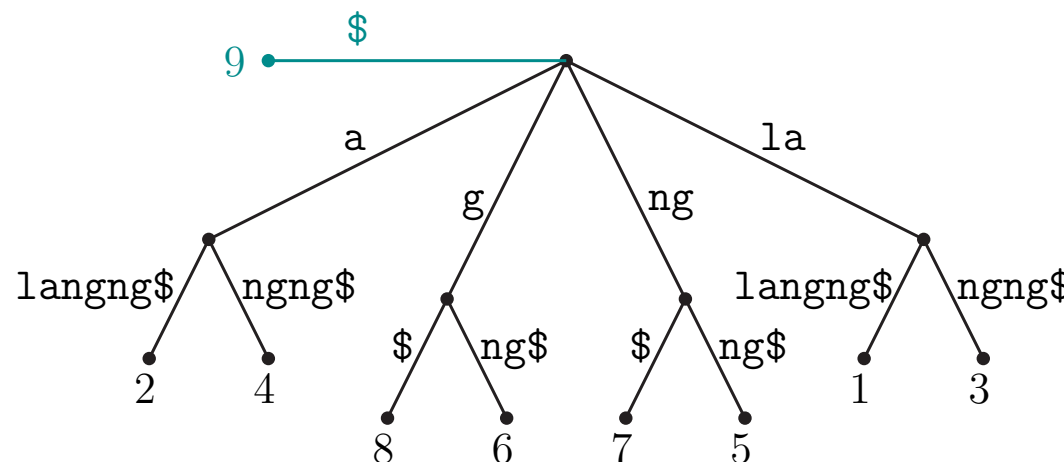
## Wiederholung: Suffix-Arrays (und Suffixbäume)

- Textindizierung  
→ schnelle Suche in Texten
- kann in  $O(n)$  erzeugt werden  
(DC3-Algorithmus)

### Definition

- $\text{SA}[i] \doteq \text{Index des } i\text{-ten sortierten Suffix}$   
(einer Zeichenkette  $T$ )

|       |   |   |   |   |   |   |   |    |    |    |
|-------|---|---|---|---|---|---|---|----|----|----|
| 1     | 2 | 3 | 4 | 5 | 6 | 7 | 8 | 9  | \$ | SA |
| T = l | a | l | a | n | g | n | g | \$ | \$ | 9  |
|       |   |   |   |   |   |   |   |    |    | 2  |
|       |   |   |   |   |   |   |   |    |    | 4  |
|       |   |   |   |   |   |   |   |    |    | 8  |
|       |   |   |   |   |   |   |   |    |    | 6  |
|       |   |   |   |   |   |   |   |    |    | 1  |
|       |   |   |   |   |   |   |   |    |    | 3  |
|       |   |   |   |   |   |   |   |    |    | 7  |
|       |   |   |   |   |   |   |   |    |    | 5  |



# Burrows-Wheeler-Transformation

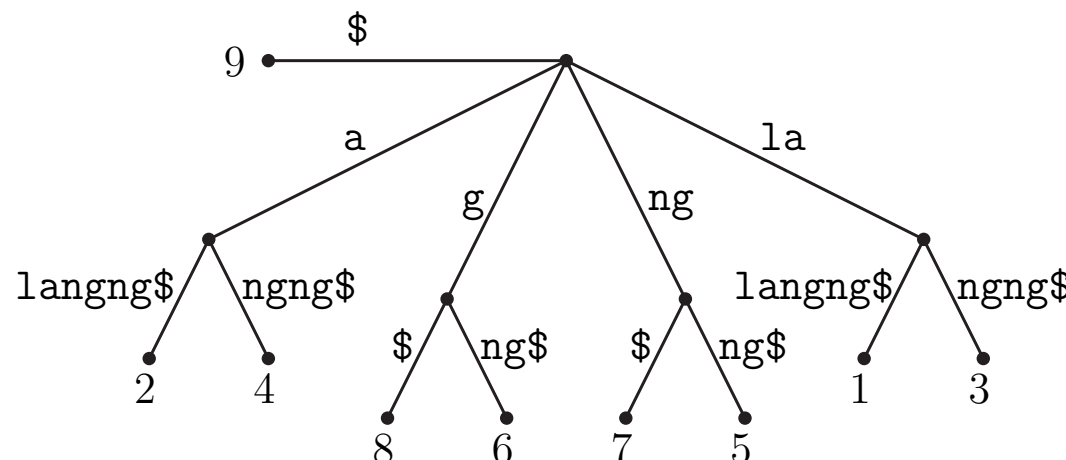
## Wiederholung: Suffix-Arrays (und Suffixbäume)

- Textindizierung  
→ schnelle Suche in Texten
- kann in  $O(n)$  erzeugt werden  
(DC3-Algorithmus)

### Definition

- $SA[i] \doteq$  Index des  $i$ -ten sortierten Suffix  
(einer Zeichenkette  $T$ )

|       |   |   |   |   |   |   |   |    |    |    |
|-------|---|---|---|---|---|---|---|----|----|----|
| 1     | 2 | 3 | 4 | 5 | 6 | 7 | 8 | 9  | \$ | SA |
| T = l | a | l | a | n | g | n | g | \$ | \$ | 9  |
|       |   |   | a | l | a | n | g | n  | g  | 2  |
|       |   |   |   | a | n | g | n | g  | g  | 4  |
|       |   |   |   |   | l | a | l | a  | n  | 8  |
|       |   |   |   |   |   | a | l | a  | n  | 6  |
|       |   |   |   |   |   |   | l | a  | n  | 1  |
|       |   |   |   |   |   |   |   | n  | g  | 3  |
|       |   |   |   |   |   |   |   |    | g  | 7  |
|       |   |   |   |   |   |   |   |    | n  | 5  |



# Burrows-Wheeler-Transformation

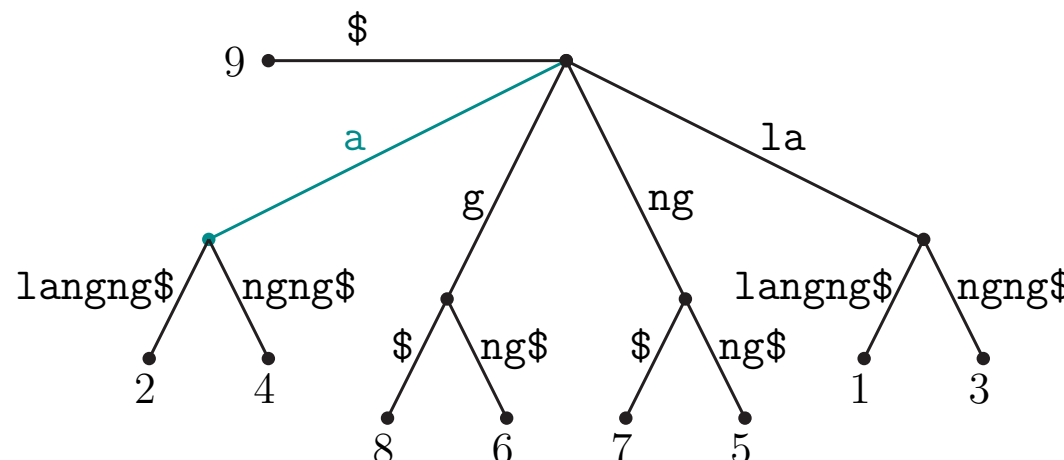
## Wiederholung: Suffix-Arrays (und Suffixbäume)

- Textindizierung  
→ schnelle Suche in Texten
- kann in  $O(n)$  erzeugt werden  
(DC3-Algorithmus)

### Definition

- $\text{SA}[i] \doteq \text{Index des } i\text{-ten sortierten Suffix}$   
(einer Zeichenkette  $T$ )

|       |   |   |   |   |   |   |   |    |    |    |
|-------|---|---|---|---|---|---|---|----|----|----|
| 1     | 2 | 3 | 4 | 5 | 6 | 7 | 8 | 9  | \$ | SA |
| T = l | a | l | a | n | g | n | g | \$ | \$ | 9  |
|       |   |   |   |   |   |   |   |    |    | 2  |
|       |   |   |   |   |   |   |   |    |    | 4  |
|       |   |   |   |   |   |   |   |    |    | 8  |
|       |   |   |   |   |   |   |   |    |    | 6  |
|       |   |   |   |   |   |   |   |    |    | 1  |
|       |   |   |   |   |   |   |   |    |    | 3  |
|       |   |   |   |   |   |   |   |    |    | 7  |
|       |   |   |   |   |   |   |   |    |    | 5  |



# Burrows-Wheeler-Transformation

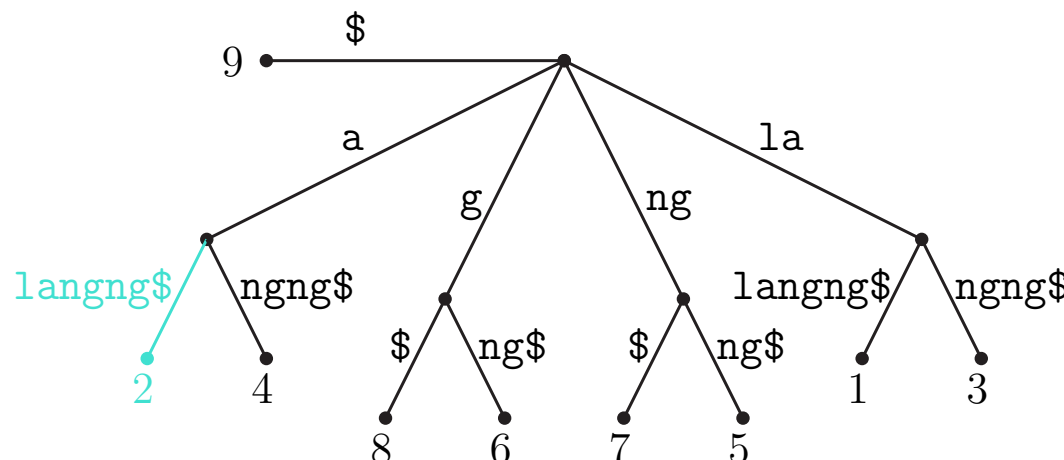
## Wiederholung: Suffix-Arrays (und Suffixbäume)

- Textindizierung  
→ schnelle Suche in Texten
- kann in  $O(n)$  erzeugt werden  
(DC3-Algorithmus)

### Definition

- $\text{SA}[i] \doteq$  Index des  $i$ -ten sortierten Suffix  
(einer Zeichenkette  $T$ )

|       |   |   |   |   |   |   |   |    |    |    |
|-------|---|---|---|---|---|---|---|----|----|----|
| 1     | 2 | 3 | 4 | 5 | 6 | 7 | 8 | 9  | \$ | SA |
| T = l | a | l | a | n | g | n | g | \$ | \$ | 9  |
|       |   |   |   |   |   |   |   |    |    | 2  |
|       |   |   |   |   |   |   |   |    |    | 4  |
|       |   |   |   |   |   |   |   |    |    | 8  |
|       |   |   |   |   |   |   |   |    |    | 6  |
|       |   |   |   |   |   |   |   |    |    | 1  |
|       |   |   |   |   |   |   |   |    |    | 3  |
|       |   |   |   |   |   |   |   |    |    | 7  |
|       |   |   |   |   |   |   |   |    |    | 5  |



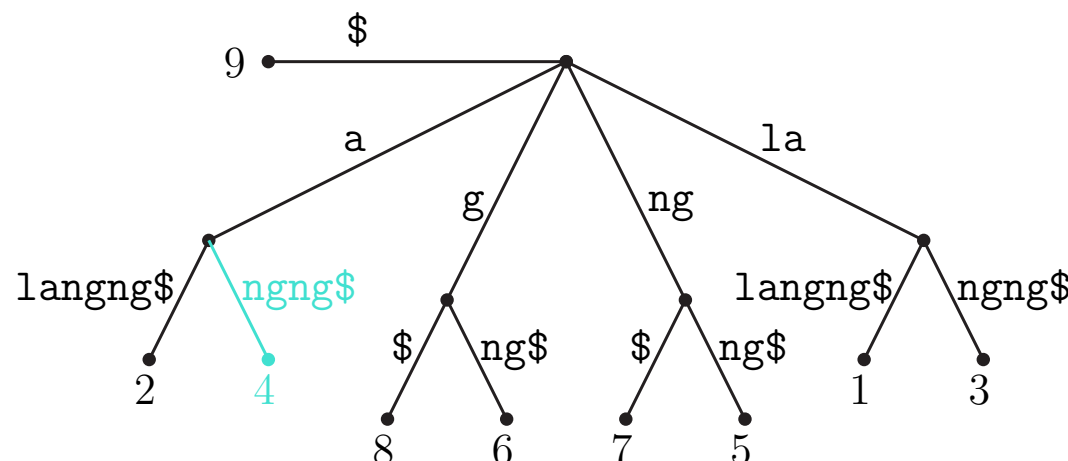
# **Burrows-Wheeler-Transformation**

# Wiederholung: Suffix-Arrays (und Suffixbäume)

- Textindizierung  
→ schnelle Suche in Texten
  - kann in  $O(n)$  erzeugt werden  
(DC3-Algorithmus)

## Definition

- $\text{SA}[i] \triangleq$  Index des  $i$ -ten sortierten Suffix  
(einer Zeichenkette  $T$ )



|                                       |   |   |   |   |   |   |   |    |
|---------------------------------------|---|---|---|---|---|---|---|----|
| 1                                     | 2 | 3 | 4 | 5 | 6 | 7 | 8 | 9  |
| $T = l$                               | a | l | a | n | g | n | g | \$ |
| <span style="color: cyan;">@</span> l | a | n | g | n | g | n | g | \$ |
| <span style="color: cyan;">@</span> n | g | n | n | n | n | n | n | \$ |
| l                                     | a | l | a | n | g | n | g | n  |
|                                       |   | l | a | n | g | n | g | n  |
|                                       |   |   |   | n | g | n | g | n  |
|                                       |   |   |   |   | n | g | n | n  |
|                                       |   |   |   |   | n | g | n | n  |

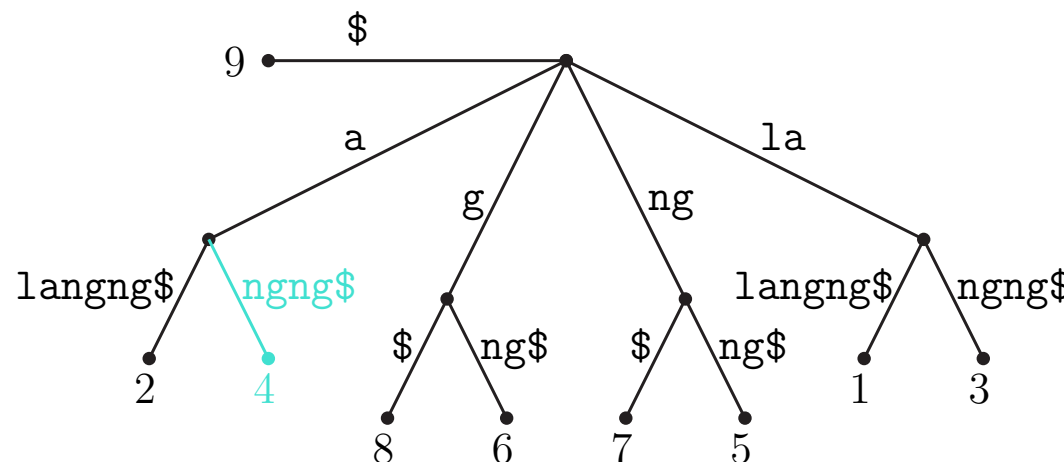
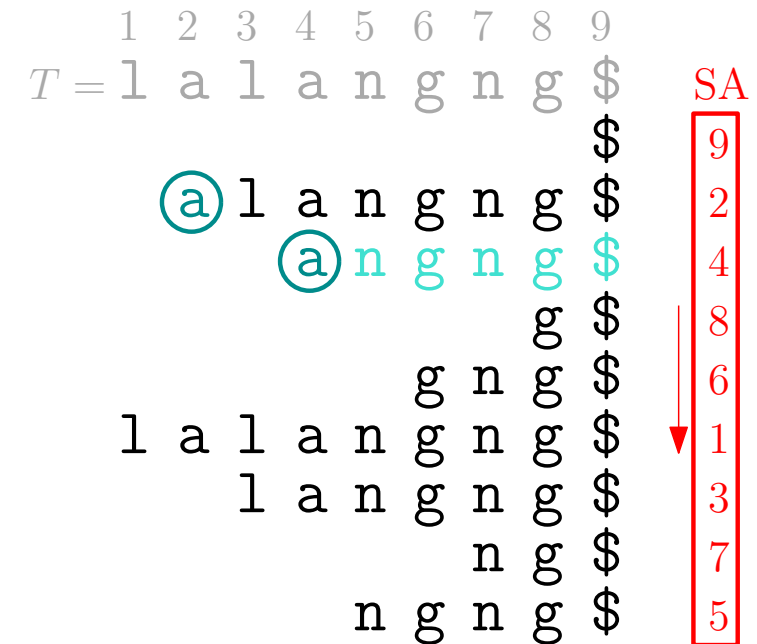
# Burrows-Wheeler-Transformation

## Wiederholung: Suffix-Arrays (und Suffixbäume)

- Textindizierung  
→ schnelle Suche in Texten
- kann in  $O(n)$  erzeugt werden  
(DC3-Algorithmus)

### Definition

- $SA[i] \doteq$  Index des  $i$ -ten sortierten Suffix  
(einer Zeichenkette  $T$ )



USW.

# **Burrows-Wheeler-Transformation**

## Transformation

1 2 3 4 5 6 7 8 9  
 $T = l a l a n g n g \$$

# **Burrows-Wheeler-Transformation**

## Transformation

1 2 3 4 5 6 7 8 9  
 $T = \begin{matrix} l & a & l & a & n & g & n & g & \$ & \$ \\ a & l & a & n & g & n & g & \$ & \$ & l \end{matrix}$

# **Burrows-Wheeler-Transformation**

## Transformation

1 2 3 4 5 6 7 8 9

$$T = \begin{matrix} 1 & a & l & a & n & g & n & g & \$ \\ a & l & a & n & g & n & g & \$ & \$ \\ l & a & n & g & n & g & \$ & \$ & 1 \end{matrix}$$

1 a

# **Burrows-Wheeler-Transformation**

## Transformation

1 2 3 4 5 6 7 8 9

$$T = \begin{matrix} 1 & a & l & a & n & g & n & \$ & \$ \\ a & l & a & n & g & n & g & \$ & 1 \\ l & a & n & g & n & g & \$ & 1 & a \\ a & n & g & n & g & \$ & \$ & 1 & a \end{matrix}$$

# **Burrows-Wheeler-Transformation**

## Transformation

1 2 3 4 5 6 7 8 9

$$T = \begin{matrix} 1 & a & l & a & n & g & n & \$ & \$ \\ a & l & a & n & g & n & g & \$ & 1 \\ l & a & n & g & n & g & \$ & 1 & a \\ a & n & g & n & g & \$ & \$ & 1 & a \\ & & & & & & & 1 & a \\ & & & & & & & & \\ & & & & & & & & \vdots \end{matrix}$$

# Burrows-Wheeler-Transformation

## Transformation

1 2 3 4 5 6 7 8 9

$$T = \begin{matrix} 1 & a & l & a & n & g & n & \$ & \\ a & l & a & n & g & n & \$ & \$ & 1 \\ l & a & n & g & n & \$ & \$ & 1 & a \\ a & n & g & n & \$ & \$ & 1 & a & l \\ n & g & n & \$ & \$ & 1 & a & l & a \\ g & n & \$ & \$ & 1 & a & l & a & n \\ n & \$ & \$ & 1 & a & l & a & n & g \\ \$ & \$ & 1 & a & l & a & n & g & n \\ \$ & 1 & a & l & a & n & g & n & \end{matrix}$$

# Burrows-Wheeler-Transformation

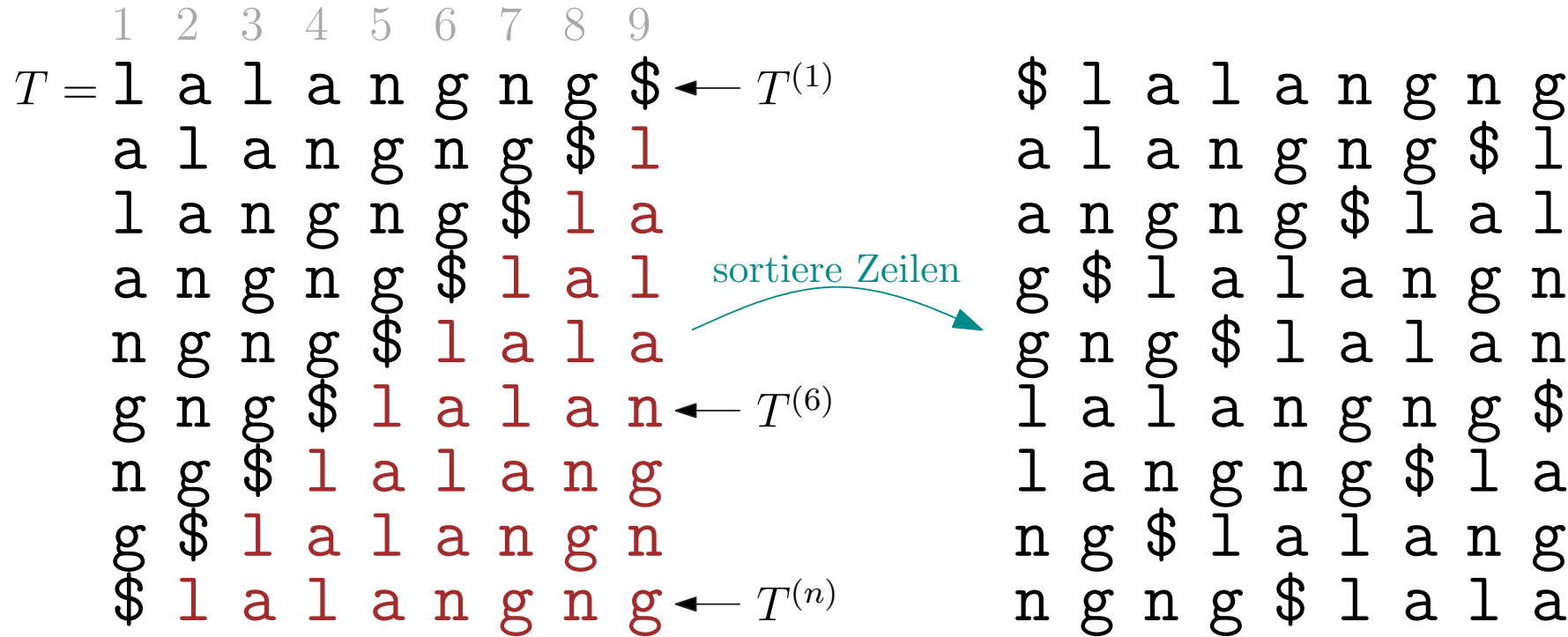
## Transformation

| 1     | 2    | 3    | 4    | 5    | 6    | 7    | 8    | 9    |
|-------|------|------|------|------|------|------|------|------|
| T = l | a    | l    | a    | n    | g    | n    | g    | \$   |
|       | a    | l    | a    | n    | g    | n    | g    | \$ 1 |
|       | l    | a    | n    | g    | n    | g    | \$ 1 | a    |
|       | a    | n    | g    | n    | g    | \$ 1 | a    | l    |
|       | n    | g    | n    | g    | \$ 1 | a    | l    | a    |
|       | g    | n    | g    | \$ 1 | a    | l    | a    | n    |
|       | n    | g    | \$ 1 | a    | l    | a    | n    | g    |
|       | g    | \$ 1 | a    | l    | a    | n    | g    | n    |
|       | \$ 1 | a    | l    | a    | n    | g    | n    | g    |

- $T^{(i)} \triangleq T$  zyklisch ab Position  $i$ , Länge  $n = |T|$

# Burrows-Wheeler-Transformation

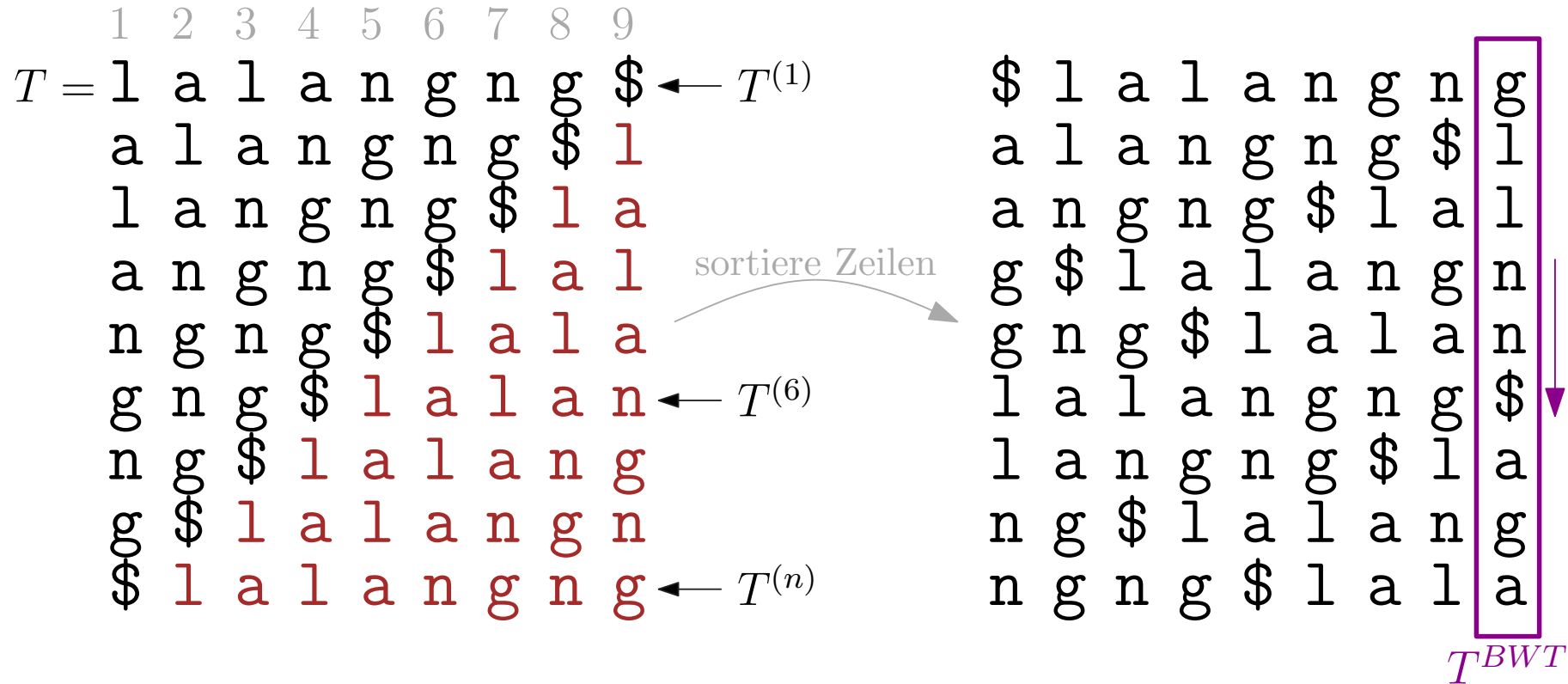
## Transformation



- $T^{(i)} \triangleq T$  zyklisch ab Position  $i$ , Länge  $n = |T|$

# Burrows-Wheeler-Transformation

## Transformation

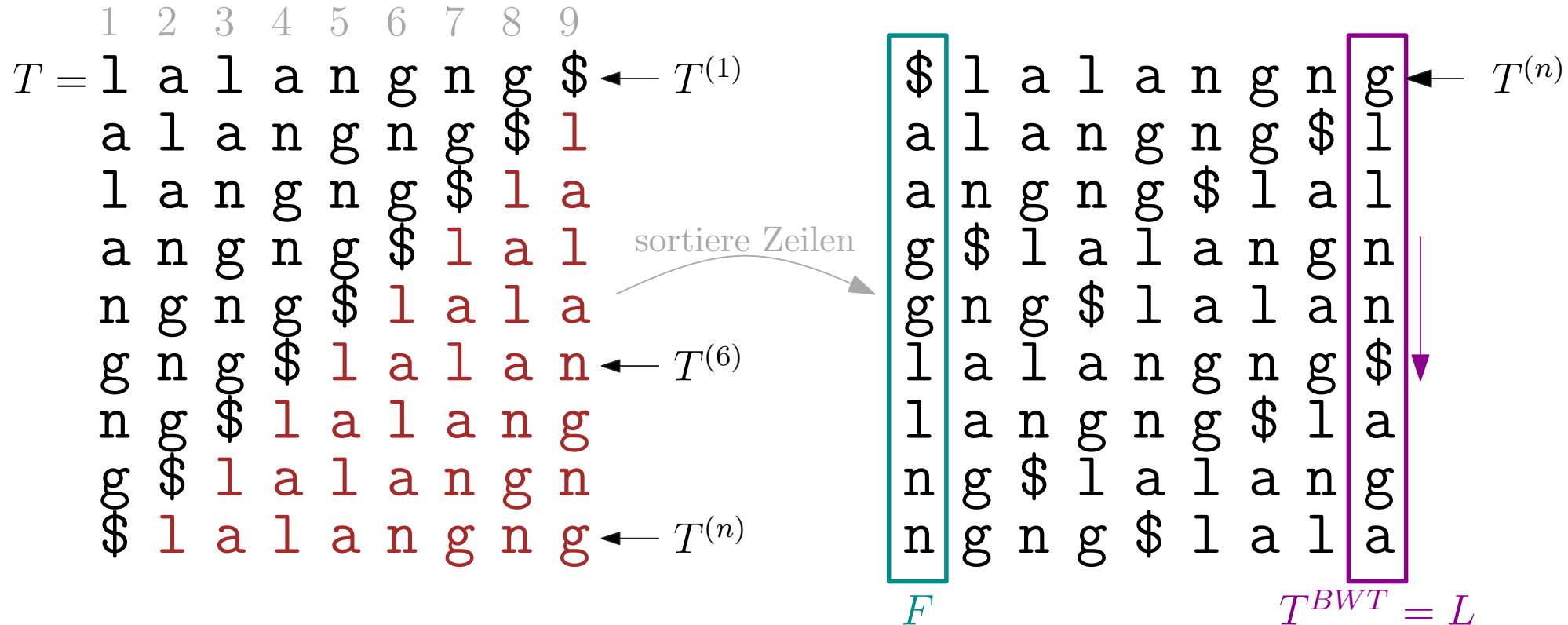


- $T^{(i)} \triangleq T$  zyklisch ab Position  $i$ , Länge  $n = |T|$
- $T = lalangng\$ \rightarrow T^{BWT} = g11nn\$aga$

$\mathcal{O}(n^2 + n \log n)$

# **Burrows-Wheeler-Transformation**

# Transformation



- $T^{(i)} \doteq T$  zyklisch ab Position  $i$ , Länge  $n = |T|$
  - $T = \text{lalangng\$} \quad \rightarrow \quad T^{BWT} = \text{g11nn\$aga}$

$$\mathcal{O}(n^2 + n \log n)$$

# Burrows-Wheeler-Transformation

## Eigenschaften

1 2 3 4 5 6 7 8 9  
 $T = l \text{ a } l \text{ a n g n g \$}$

- BWT in  $\mathcal{O}(n)$  berechenbar
- Zeilen enthalten sortierte Suffixe
- Zeichen in letzter Spalte entspricht Zeichen vor Suffix in  $T$

\$ l a l a n a n g n g n g o l 1  
a l a n g n g o l \$ 1 a l 1  
a n g n g o l \$ 1 a l a l 1  
g o \$ 1 a l a n g n g o l n 4  
o g o l a l a l a l a n g n g o l n 5  
g o l a l a n g n g o l n 6  
o l a l a n g n g o l n 7  
l a n g n g o l n 8  
n g \$ 1 a l a n g n g o l n 9  
n g n g \$ 1 a l a l a

# Burrows-Wheeler-Transformation

## Eigenschaften

1 2 3 4 5 6 7 8 9  
 $T = l \text{ a } l \text{ a n g n g \$}$

|    |    |   |   |    |   |   |   |   |   |   |   |
|----|----|---|---|----|---|---|---|---|---|---|---|
| \$ | l  | a | l | a  | n | g | n | g | o | l | 1 |
| a  | l  | a | n | g  | n | g | o | l | g | o | 2 |
| a  | n  | g | n | g  | o | l | g | o | l | a | 3 |
| g  | \$ | l | a | l  | a | n | g | n | g | a | 4 |
| o  | g  | o | l | a  | l | a | l | a | l | a | 5 |
| o  | l  | a | l | a  | n | g | n | g | o | l | 6 |
| l  | a  | l | a | n  | g | n | g | o | l | a | 7 |
| 1  | a  | n | g | n  | g | o | l | a | l | a | 8 |
| g  | o  | l | a | l  | a | n | g | n | g | o | 9 |
| n  | g  | n | g | \$ | l | a | l | a | a |   |   |

- BWT in  $\mathcal{O}(n)$  berechenbar
- Zeilen enthalten sortierte Suffixe
- Zeichen in letzter Spalte entspricht Zeichen vor Suffix in  $T$

# Burrows-Wheeler-Transformation

## Eigenschaften

1 2 3 4 5 6 7 8 9  
 $T = l \text{ a } l \text{ a n g n g } \$$

- BWT in  $\mathcal{O}(n)$  berechenbar
- Zeilen enthalten sortierte Suffixe
- Zeichen in letzter Spalte entspricht Zeichen vor Suffix in  $T$

|    |    |    |    |    |   |   |   |   |   |
|----|----|----|----|----|---|---|---|---|---|
| \$ | l  | a  | l  | a  | n | g | n | g | 1 |
| a  | l  | a  | n  | g  | n | g | o | l | 2 |
| a  | n  | g  | n  | g  | o | g | o | l | 3 |
| g  | \$ | l  | a  | l  | a | n | g | n | 4 |
| o  | g  | o  | l  | a  | l | a | l | a | 5 |
| o  | n  | g  | \$ | l  | a | l | a | l | 6 |
| l  | a  | l  | a  | n  | g | o | g | l | 7 |
| l  | a  | n  | g  | n  | g | o | l | a | 8 |
| n  | g  | \$ | l  | a  | l | a | l | g | 9 |
| n  | g  | n  | g  | \$ | l | a | l | a |   |

# Burrows-Wheeler-Transformation

## Eigenschaften

1 2 3 4 5 6 7 8 9  
 $T = l\ a\ l\ a\ n\ g\ n\ g\ \$$

- BWT in  $\mathcal{O}(n)$  berechenbar
- Zeilen enthalten sortierte Suffixe
- Zeichen in letzter Spalte entspricht Zeichen vor Suffix in  $T$

|    |    |    |   |    |   |   |   |   |   |   |   |
|----|----|----|---|----|---|---|---|---|---|---|---|
| \$ | l  | a  | l | a  | n | g | n | g | n | g | 1 |
| a  | l  | a  | n | g  | n | g | o | g | o | g | 2 |
| a  | n  | g  | n | g  | o | g | o | g | o | g | 3 |
| g  | \$ | l  | a | l  | a | n | g | n | g | n | 4 |
| o  | g  | o  | g | o  | g | o | g | o | g | o | 5 |
| o  | l  | a  | l | a  | n | g | n | g | o | o | 6 |
| l  | a  | l  | a | n  | g | n | g | o | o | a | 7 |
| l  | a  | n  | g | n  | g | o | o | g | o | a | 8 |
| n  | g  | \$ | l | a  | n | g | o | g | o | g | 9 |
| n  | g  | n  | g | \$ | l | a | l | a | l | a |   |

$T^{BWT} = L$

# Burrows-Wheeler-Transformation

## Eigenschaften

1 2 3 4 5 6 7 8 9  
 $T = l\ a\ l\ a\ n\ g\ n\ g\ \$$

- BWT in  $\mathcal{O}(n)$  berechenbar
- Zeilen enthalten sortierte Suffixe
- Zeichen in letzter Spalte entspricht Zeichen vor Suffix in  $T$
- $T^{BWT}[i] = L[i] = T[SA[i] - 1] = T^{(SA[i])}[n]$   
( $T^{BWT}[i]$  ist das Zeichen vor dem  $i$ -ten Suffix in  $T$ )

| SA | 1  | 2  | 3 | 4  | 5 | 6 | 7 | 8 | 9 |
|----|----|----|---|----|---|---|---|---|---|
| \$ | g  | l  | l | g  | g | g | g | g | g |
| a  | l  | a  | n | g  | n | g | o | l | l |
| a  | n  | g  | n | g  | o | g | g | l | l |
| g  | \$ | l  | a | l  | a | l | g | l | l |
| g  | g  | o  | l | a  | l | a | g | l | l |
| l  | a  | l  | a | n  | g | g | o | l | l |
| l  | a  | n  | g | n  | g | g | o | l | l |
| n  | g  | \$ | l | a  | l | a | g | l | l |
| n  | g  | n  | g | \$ | l | a | l | l | l |

$T^{BWT} = L$

# Burrows-Wheeler-Transformation

## Rücktransformation – Vorüberlegungen

1 2 3 4 5 6 7 8 9  
 $T^{BWT} = g \ 1 \ 1 \ n \ n \ \$ \ a \ g \ a$

### ■ betrachte Matrix aus Transformation

- erste Zeile enthält Lösung  $T^{(n)}$
- $T^{BWT} = L$  gegeben
- $F$  leicht zu bestimmen (sortiere  $L$ )
- $L$  ist *immer* Spalte vor  $F$  (zyklisch)

\$ l a l a n g g n  
a l a n g n g o \$  
a n g n g o \$ l a l  
g \$ l a l a n g g n  
g o n g \$ l a l a n  
l a l a n g g n g o \$  
l a n g n g o \$ l a  
n g \$ l a l a n g  
n g n g \$ l a l a

$T^{BWT} = L$

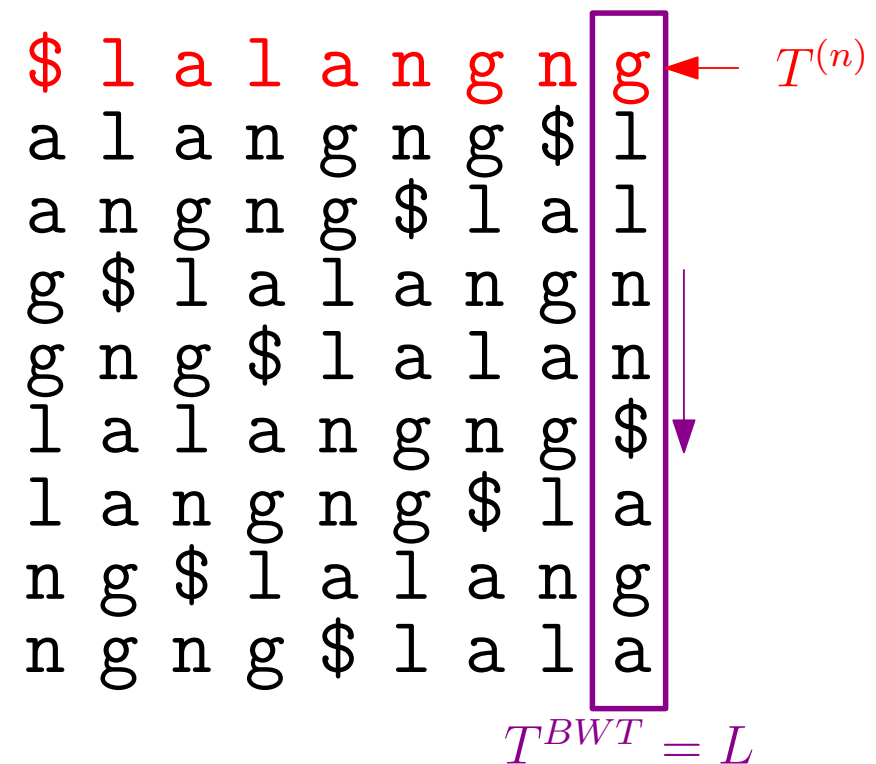
# Burrows-Wheeler-Transformation

## Rücktransformation – Vorüberlegungen

1 2 3 4 5 6 7 8 9  
 $T^{BWT} = g \ 1 \ 1 \ n \ n \ \$ \ a \ g \ a$

- betrachte Matrix aus Transformation

- erste Zeile enthält Lösung  $T^{(n)}$
- $T^{BWT} = L$  gegeben
- $F$  leicht zu bestimmen (sortiere  $L$ )
- $L$  ist *immer* Spalte vor  $F$  (zyklisch)



# Burrows-Wheeler-Transformation

## Rücktransformation – Vorüberlegungen

1 2 3 4 5 6 7 8 9  
 $T^{BWT} = g \ 1 \ 1 \ n \ n \ \$ \ a \ g \ a$

- betrachte Matrix aus Transformation

- erste Zeile enthält Lösung  $T^{(n)}$
- $T^{BWT} = L$  gegeben
- $F$  leicht zu bestimmen (sortiere  $L$ )
- $L$  ist *immer* Spalte vor  $F$  (zyklisch)



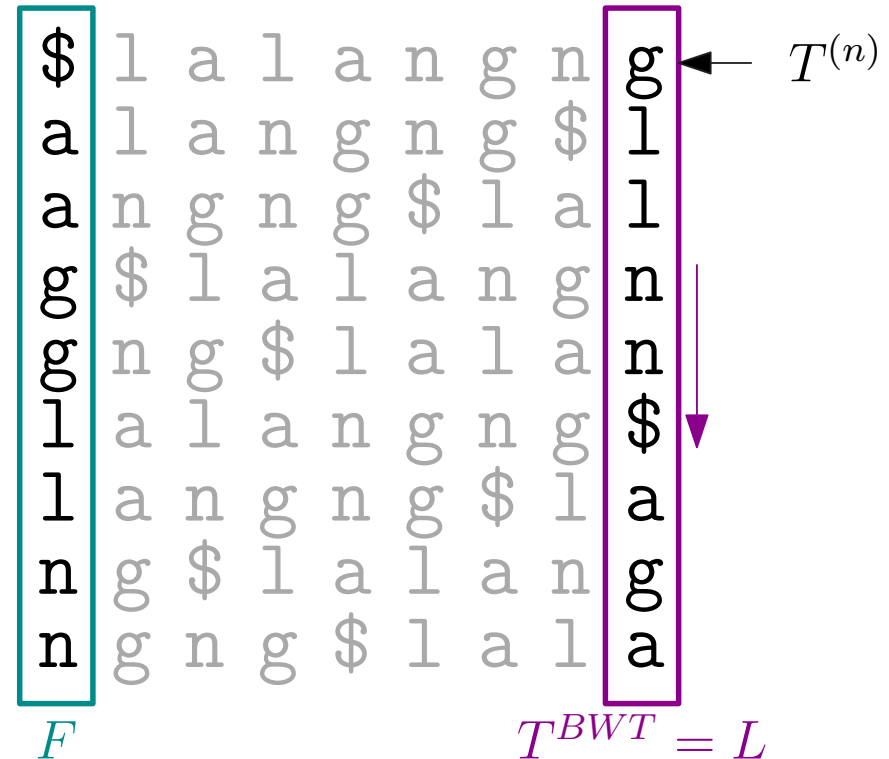
# Burrows-Wheeler-Transformation

## Rücktransformation – Vorüberlegungen

1 2 3 4 5 6 7 8 9  
 $T^{BWT} = g \ 1 \ 1 \ n \ n \ \$ \ a \ g \ a$

- betrachte Matrix aus Transformation

- erste Zeile enthält Lösung  $T^{(n)}$
- $T^{BWT} = L$  gegeben
- $F$  leicht zu bestimmen (sortiere  $L$ )
- $L$  ist *immer* Spalte vor  $F$  (zyklisch)



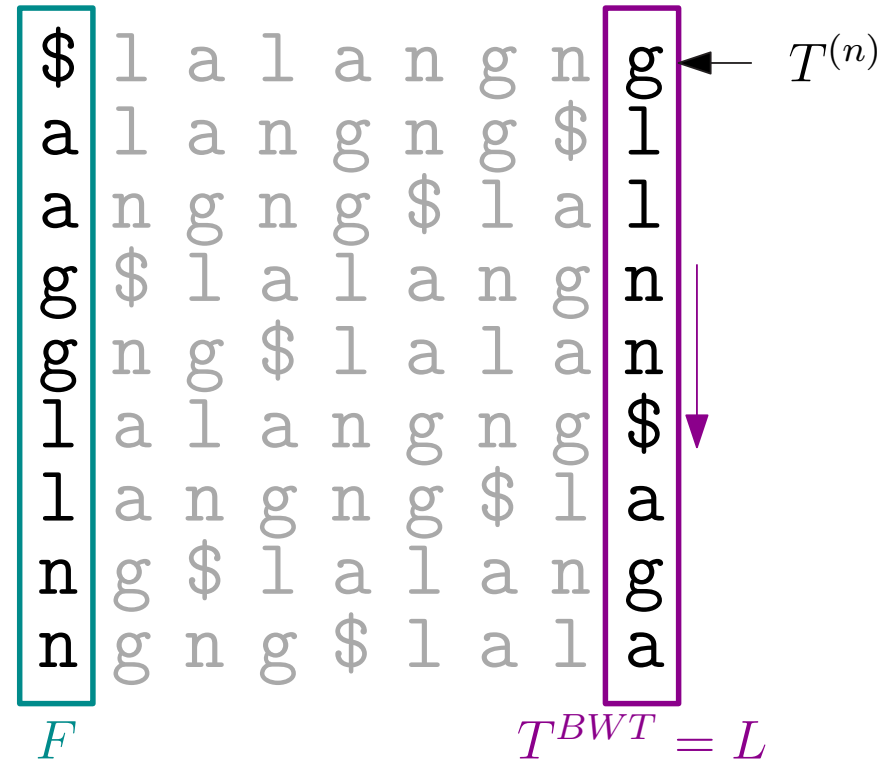
# Burrows-Wheeler-Transformation

## Rücktransformation – Vorüberlegungen

1 2 3 4 5 6 7 8 9  
 $T^{BWT} = g \ 1 \ 1 \ n \ n \ \$ \ a \ g \ a$

- betrachte Matrix aus Transformation

- erste Zeile enthält Lösung  $T^{(n)}$
- $T^{BWT} = L$  gegeben
- $F$  leicht zu bestimmen (sortiere  $L$ )
- $L$  ist *immer* Spalte vor  $F$  (zyklisch)

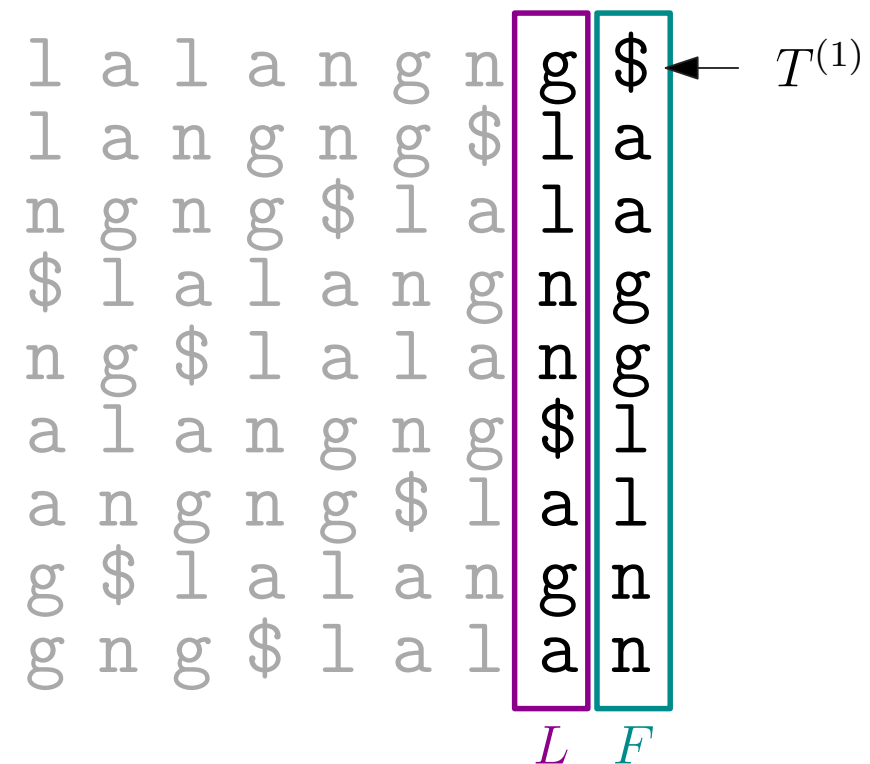


# **Burrows-Wheeler-Transformation**

# Rücktransformation – Vorüberlegungen

$T^{BWT} = g\ 1\ 1\ n\ n\ \$\ a\ g\ a$

- betrachte Matrix aus Transformation
    - erste Zeile enthält Lösung  $T^{(n)}$
    - $T^{BWT} = L$  gegeben
    - $F$  leicht zu bestimmen (sortiere  $L$ )
    - $L$  ist *immer* Spalte vor  $F$  (zyklisch)



# **Burrows-Wheeler-Transformation**

# Rücktransformation – Vorüberlegungen

$T^{BWT} = g\ 1\ 1\ n\ n\ \$\ a\ g\ a$

- betrachte Matrix aus Transformation
    - erste Zeile enthält Lösung  $T^{(n)}$
    - $T^{BWT} = L$  gegeben
    - $F$  leicht zu bestimmen (sortiere  $L$ )
    - $L$  ist *immer* Spalte vor  $F$  (zyklisch)

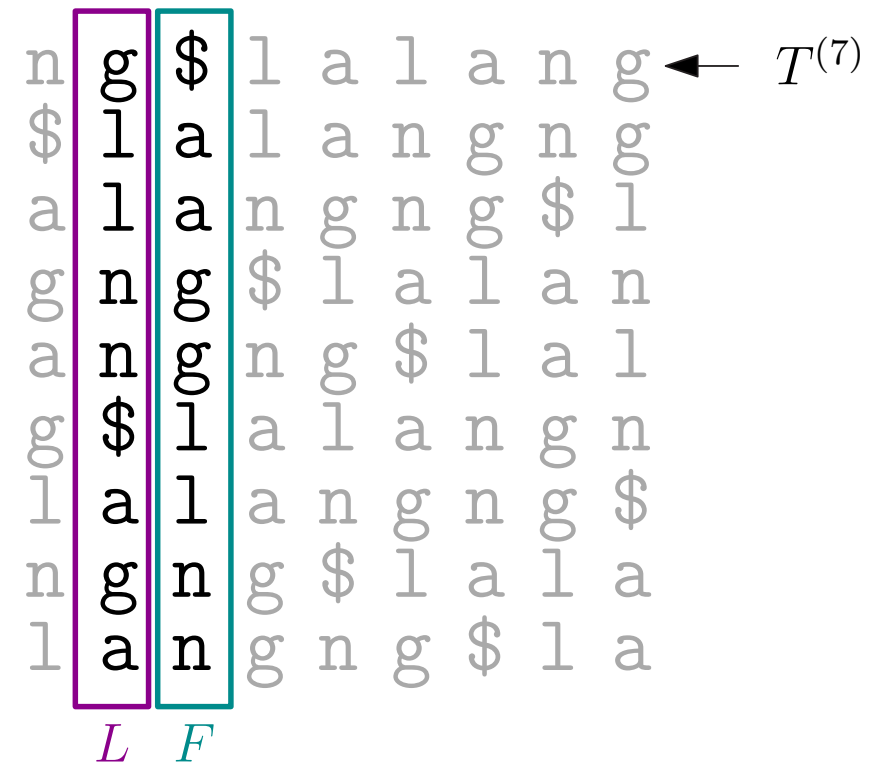
|    |      | $L$  | $F$  | $T^{(4)}$ |
|----|------|------|------|-----------|
| a  | aa   | aa   | aa   | aa        |
| n  | nn   | nn   | nn   | nn        |
| g  | gg   | gg   | gg   | gg        |
| \$ | \$\$ | \$\$ | \$\$ | \$\$      |
| l  | ln   | na   | as   | ga        |
| a  | an   | ng   | aa   | gg        |
| g  | gn   | na   | ga   | gg        |
| n  | nn   | ns   | aa   | gg        |
| l  | nl   | na   | aa   | gg        |
| a  | na   | ns   | aa   | gg        |
| g  | ng   | na   | aa   | gg        |
| \$ | \$\$ | na   | aa   | gg        |
| l  | nn   | na   | aa   | gg        |
| a  | nn   | ns   | aa   | gg        |
| g  | nn   | na   | aa   | gg        |
| n  | nn   | ns   | aa   | gg        |
| l  | nn   | na   | aa   | gg        |
| a  | nn   | ns   | aa   | gg        |
| g  | nn   | na   | aa   | gg        |
| \$ | nn   | na   | aa   | gg        |

# **Burrows-Wheeler-Transformation**

# Rücktransformation – Vorüberlegungen

$T^{BWT} = g\ 1\ 1\ n\ n\ \$\ a\ g\ a$

- betrachte Matrix aus Transformation
    - erste Zeile enthält Lösung  $T^{(n)}$
    - $T^{BWT} = L$  gegeben
    - $F$  leicht zu bestimmen (sortiere  $L$ )
    - $L$  ist *immer* Spalte vor  $F$  (zyklisch)



# **Burrows-Wheeler-Transformation**

## Rücktransformation

1 2 3 4 5 6 7 8 9  
 $T^{BWT} = g l l n n \$ a g a$

- schreibe  $T^{BWT}$  in Spaltenform
- sortiere zeilenweise
- schreibe  $T^{BWT}$  in Spaltenform davor
- wiederhole bis  $|T^{BWT}|$  mal sortiert

# Burrows-Wheeler-Transformation

## Rücktransformation

1 2 3 4 5 6 7 8 9  
 $T^{BWT} = g \ l \ l \ n \ n \ \$ \ a \ g \ a$

g  
l  
l  
n  
n  
\$  
a  
g  
a

$T^{BWT}$

- schreibe  $T^{BWT}$  in Spaltenform
- sortiere zeilenweise
- schreibe  $T^{BWT}$  in Spaltenform davor
- wiederhole bis  $|T^{BWT}|$  mal sortiert

# Burrows-Wheeler-Transformation

## Rücktransformation

1 2 3 4 5 6 7 8 9  
 $T^{BWT} = g \ 1 \ 1 \ n \ n \ \$ \ a \ g \ a$

\$ a a a a n n n

*F*

sortiert nach letzter Spalte

- schreibe  $T^{BWT}$  in Spaltenform
- sortiere zeilenweise
- schreibe  $T^{BWT}$  in Spaltenform davor
- wiederhole bis  $|T^{BWT}|$  mal sortiert

# Burrows-Wheeler-Transformation

## Rücktransformation

1 2 3 4 5 6 7 8 9  
 $T^{BWT} = g \ 1 \ 1 \ n \ n \ \$ \ a \ g \ a$

|                  |   |   |   |   |   |    |   |   |   |   |   |   |   |   |   |    |   |   |   |
|------------------|---|---|---|---|---|----|---|---|---|---|---|---|---|---|---|----|---|---|---|
| g                | o | l | l | n | n | \$ | a | g | a | g | o | l | l | n | n | \$ | a | g | a |
| T <sup>BWT</sup> | F |   |   |   |   |    |   |   |   |   |   |   |   |   |   |    |   |   |   |

- schreibe  $T^{BWT}$  in Spaltenform
- sortiere zeilenweise
- schreibe  $T^{BWT}$  in Spaltenform davor
- wiederhole bis  $|T^{BWT}|$  mal sortiert

# Burrows-Wheeler-Transformation

## Rücktransformation

1 2 3 4 5 6 7 8 9  
 $T^{BWT} = g \ 1 \ 1 \ n \ n \ \$ \ a \ g \ a$

- schreibe  $T^{BWT}$  in Spaltenform
- sortiere zeilenweise
- schreibe  $T^{BWT}$  in Spaltenform davor
- wiederhole bis  $|T^{BWT}|$  mal sortiert

\$ a a a a a a a a a  
1 1 n n n n n n n  
F

sortiert nach vorletzter Spalte

# Burrows-Wheeler-Transformation

## Rücktransformation

1 2 3 4 5 6 7 8 9  
 $T^{BWT} = g \ 1 \ 1 \ n \ n \ \$ \ a \ g \ a$

|    |    |    |
|----|----|----|
| g  | \$ | 1  |
| l  | a  | 1  |
| l  | a  | n  |
| n  | g  | \$ |
| n  | g  | n  |
| \$ | g  | n  |
| a  | 1  | a  |
| g  | 1  | a  |
| a  | a  | g  |

$T^{BWT_F}$

- schreibe  $T^{BWT}$  in Spaltenform
- sortiere zeilenweise
- schreibe  $T^{BWT}$  in Spaltenform davor
- wiederhole bis  $|T^{BWT}|$  mal sortiert

# Burrows-Wheeler-Transformation

## Rücktransformation

1 2 3 4 5 6 7 8 9  
 $T^{BWT} = g \ 1 \ 1 \ n \ n \ \$ \ a \ g \ a$

- schreibe  $T^{BWT}$  in Spaltenform
- sortiere zeilenweise
- schreibe  $T^{BWT}$  in Spaltenform davor
- wiederhole bis  $|T^{BWT}|$  mal sortiert

|    |   |    |    |    |    |    |    |    |    |
|----|---|----|----|----|----|----|----|----|----|
| \$ | a | a  | aa | aa | aa | a  | a  | a  | a  |
| 1  | 1 | n  | \$ | n  | a  | a  | aa | aa | aa |
| 1  | n | \$ | n  | a  | a  | aa | aa | aa | aa |
| n  | n | a  | a  | aa | aa | aa | aa | aa | aa |
| n  | a | a  | aa |

sortiert nach drittletzter Spalte

# Burrows-Wheeler-Transformation

## Rücktransformation

1 2 3 4 5 6 7 8 9  
 $T^{BWT} = g \ 1 \ 1 \ n \ n \ \$ \ a \ g \ a$

- schreibe  $T^{BWT}$  in Spaltenform
- sortiere zeilenweise
- schreibe  $T^{BWT}$  in Spaltenform davor
- wiederhole bis  $|T^{BWT}|$  mal sortiert

|    |    |   |    |
|----|----|---|----|
| g  | \$ | 1 | a  |
| 1  | a  | 1 | a  |
| 1  | a  | n | g  |
| n  | g  | 1 | \$ |
| n  | g  | g | 1  |
| \$ | 1  | a | 1  |
| 1  | a  | 1 | a  |
| a  | 1  | a | n  |
| g  | n  | g | \$ |
| a  | n  | g | n  |

$T^{BWT}F$

# Burrows-Wheeler-Transformation

## Rücktransformation

1 2 3 4 5 6 7 8 9  
 $T^{BWT} = g \ 1 \ 1 \ n \ n \ \$ \ a \ g \ a$

- schreibe  $T^{BWT}$  in Spaltenform
- sortiere zeilenweise
- schreibe  $T^{BWT}$  in Spaltenform davor
- wiederhole bis  $|T^{BWT}|$  mal sortiert

...

|    |    |   |    |
|----|----|---|----|
| g  | \$ | 1 | a  |
| 1  | a  | 1 | a  |
| 1  | a  | n | g  |
| n  | g  | 1 | \$ |
| n  | g  | g | 1  |
| \$ | 1  | o | g  |
| 1  | a  | 1 | g  |
| a  | 1  | a | n  |
| g  | n  | g | \$ |
| a  | n  | g | n  |

$T^{BWT}F$

# Burrows-Wheeler-Transformation

## Rücktransformation

1 2 3 4 5 6 7 8 9  
 $T^{BWT} = g \ 1 \ 1 \ n \ n \ \$ \ a \ g \ a$

- schreibe  $T^{BWT}$  in Spaltenform
- sortiere zeilenweise
- schreibe  $T^{BWT}$  in Spaltenform davor
- wiederhole bis  $|T^{BWT}|$  mal sortiert

\$ l a l a n g n g n g  
a l a n g n g o l \$ 1  
a n g n g o l \$ 1 a l  
g \$ l a l a n g n g n  
o n g \$ l a l a l a n  
l a l a n g n g o l \$  
l a n g n g o l \$ 1 a  
n g \$ l a l a n g n g  
n g n g \$ l a l a

# Burrows-Wheeler-Transformation

## Rücktransformation

1 2 3 4 5 6 7 8 9  
 $T^{BWT} = g \ 1 \ 1 \ n \ n \ \$ \ a \ g \ a$

- schreibe  $T^{BWT}$  in Spaltenform
- sortiere zeilenweise
- schreibe  $T^{BWT}$  in Spaltenform davor
- wiederhole bis  $|T^{BWT}|$  mal sortiert

\$ l a l a n g n g n g ←  $T^{(n)}$   
a l a n g n g n g \$ l  
a n g n g o g \$ l a l  
g \$ l a l a n g n g n  
g o g n g \$ l a l a l a n  
l a l a n g n g n g o g \$  
l a n g n g o g \$ l a  
n g \$ l a l a n g n g  
n g n g \$ l a l a a

■  $T^{BWT} = g11nn\$aga \rightarrow T = lalangng\$$

$\mathcal{O}(n^2 \log n)$

# Burrows-Wheeler-Transformation

## Rücktransformation – weitere Überlegungen

1 2 3 4 5 6 7 8 9  
 $T^{BWT} = g \ 1 \ 1 \ n \ n \ \$ \ a \ g \ a$   
 $T = \underline{\hspace{2cm}} \ ? \ \underline{\hspace{2cm}}$

- Wie lautet das Vorgängerzeichen?  
→ *last-to-front mapping LF[·]*  
(Position in  $L[·]$  an der Vorgänger steht)

g  
1  
l  
n  
n  
\$  
a  
g  
a  
 $T^{BWT}$

# Burrows-Wheeler-Transformation

## Rücktransformation – weitere Überlegungen

1 2 3 4 5 6 7 8 9  
 $T^{BWT} = g \ 1 \ 1 \ n \ n \ \$ \ a \ g \ a$   
 $T =$  \$

g  
1  
1  
n  
n  
\$  
a  
g  
a

$T^{BWT}$

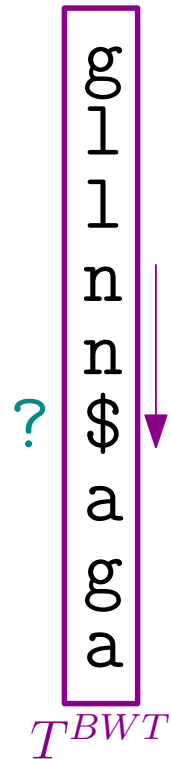
- Wie lautet das Vorgängerzeichen?  
→ *last-to-front mapping LF[.]*  
(Position in  $L[.]$  an der Vorgänger steht)

# Burrows-Wheeler-Transformation

## Rücktransformation – weitere Überlegungen

1 2 3 4 5 6 7 8 9  
 $T^{BWT} = g \ 1 \ 1 \ n \ n \ \$ \ a \ g \ a$   
 $T =$  ? \$

- Wie lautet das Vorgängerzeichen?  
→ *last-to-front mapping LF[·]*  
(Position in  $L[\cdot]$  an der Vorgänger steht)

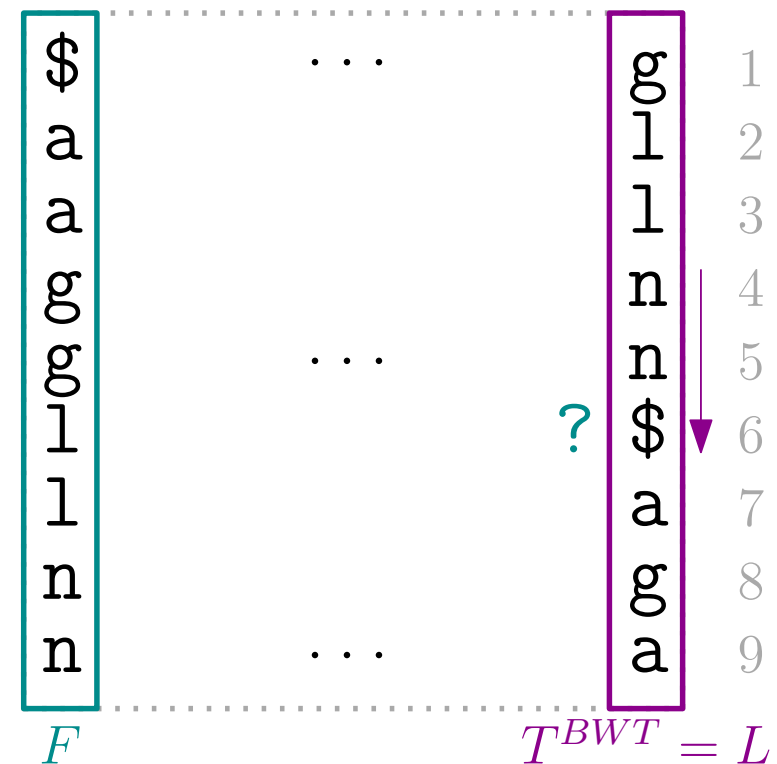


# Burrows-Wheeler-Transformation

## Rücktransformation – weitere Überlegungen

1 2 3 4 5 6 7 8 9  
 $T^{BWT} = g \ 1 \ 1 \ n \ n \ \$ \ a \ g \ a$   
 $T =$   
?

- Wie lautet das Vorgängerzeichen?  
→ *last-to-front mapping LF[·]*  
(Position in  $L[\cdot]$  an der Vorgänger steht)
- $LF[6] = ?$

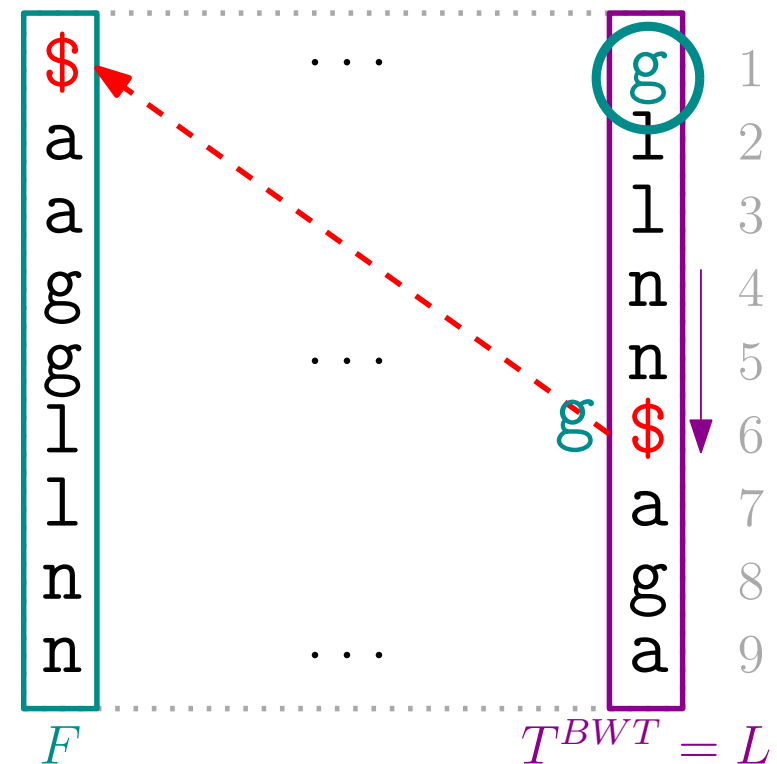


# Burrows-Wheeler-Transformation

## Rücktransformation – weitere Überlegungen

1 2 3 4 5 6 7 8 9  
 $T^{BWT} = g \ 1 \ 1 \ n \ n \ \$ \ a \ g \ a$   
 $T =$   
?

- Wie lautet das Vorgängerzeichen?  
→ *last-to-front mapping LF[·]*  
(Position in  $L[\cdot]$  an der Vorgänger steht)
- $LF[6] = 1$   
( $LF[6]$  ist die Position in  $F[\cdot]$  an der  $L[6]$  steht)

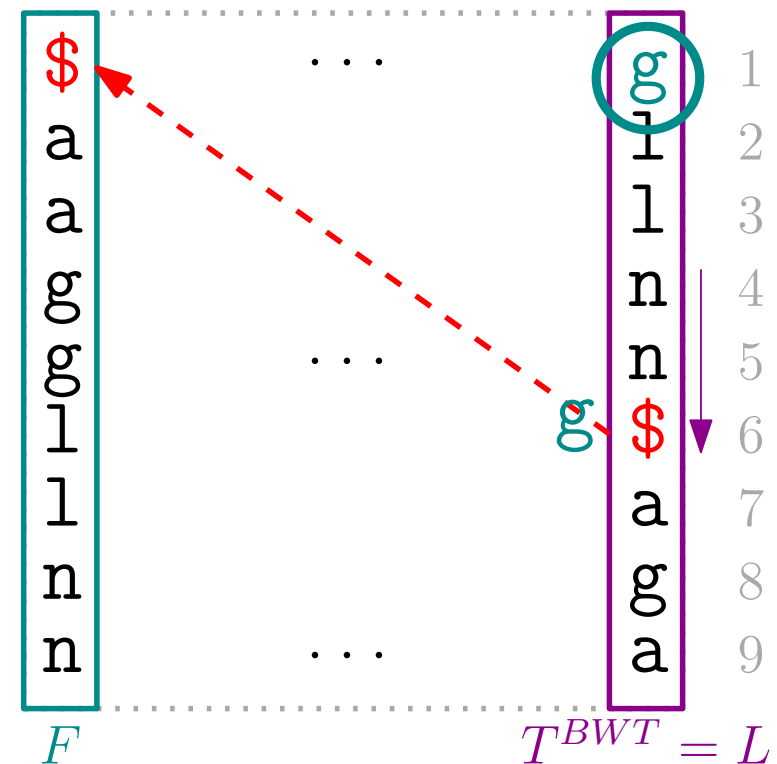


# Burrows-Wheeler-Transformation

## Rücktransformation – weitere Überlegungen

1 2 3 4 5 6 7 8 9  
 $T^{BWT} = g \ 1 \ 1 \ n \ n \ \$ \ a \ g \ a$   
 $T =$   
?

- Wie lautet das Vorgängerzeichen?  
→ *last-to-front mapping LF[·]*  
(Position in  $L[\cdot]$  an der Vorgänger steht)
- $LF[i] = j \Leftrightarrow T^{(SA[j])}(n) \Leftrightarrow SA[i] = SA[j] - 1 \pmod{n}$   
( $LF[i]$  ist die Position in  $F[\cdot]$  an der  $L[i]$  steht)



# Burrows-Wheeler-Transformation

## Rücktransformation – weitere Überlegungen

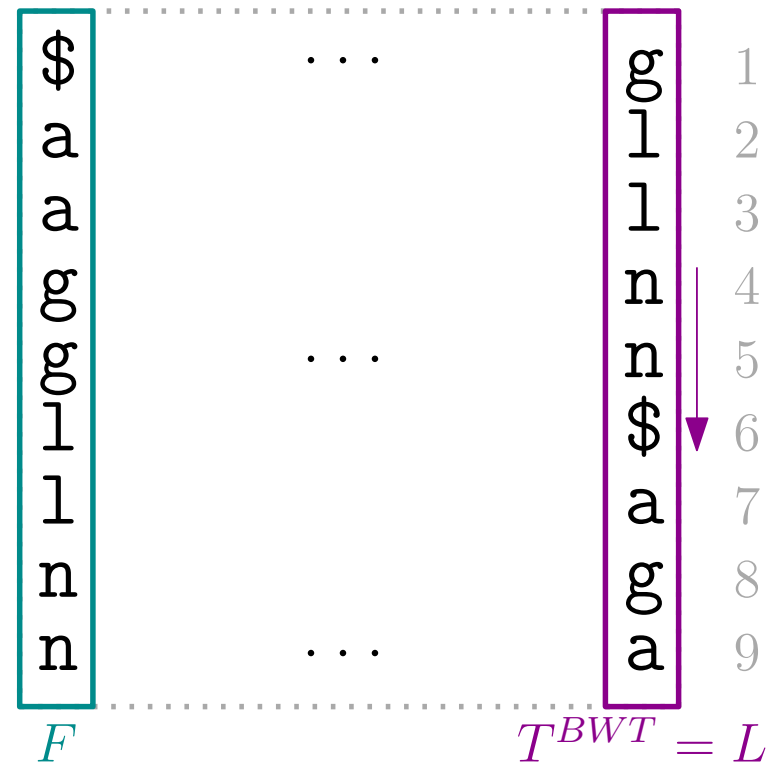
1 2 3 4 5 6 7 8 9  
 $T^{BWT} = g \ 1 \ 1 \ n \ n \ \$ \ a \ g \ a$

- $T^{BWT}$  hat Struktur, so dass gilt

→ gleiche Zeichen besitzen  
gleiche Reihenfolge in  $F[\cdot]$  und  $L[\cdot]$

→ falls  $L[i] = L[j]$  mit  $i < j$ ,  
dann  $LF[i] < LF[j]$

- Grund:  $\alpha < \beta$  lexikographisch (nach Konstruktion)

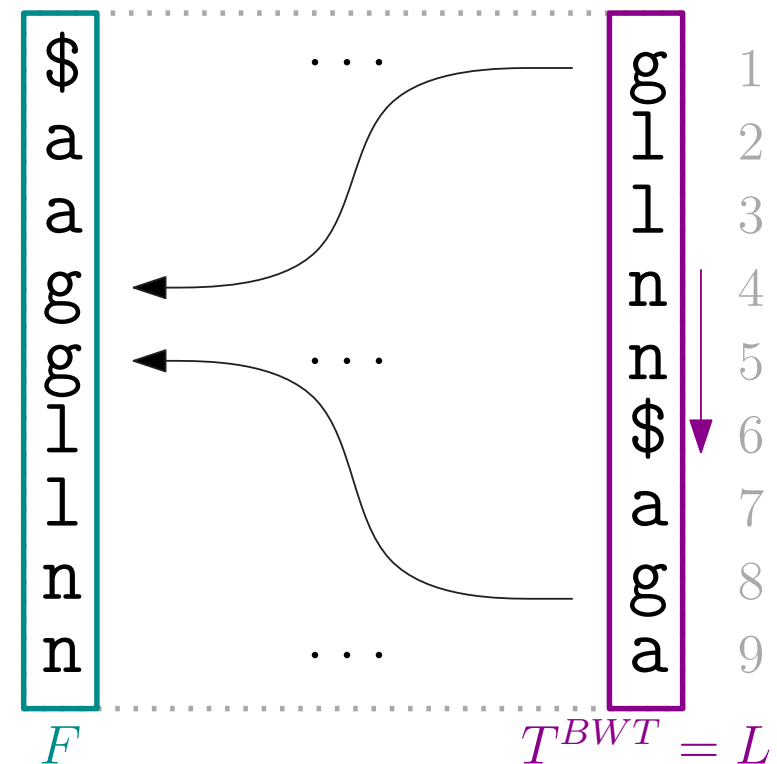


# Burrows-Wheeler-Transformation

## Rücktransformation – weitere Überlegungen

1 2 3 4 5 6 7 8 9  
 $T^{BWT} = g \ 1 \ 1 \ n \ n \ \$ \ a \ g \ a$

- $T^{BWT}$  hat Struktur, so dass gilt
  - gleiche Zeichen besitzen gleiche Reihenfolge in  $F[\cdot]$  und  $L[\cdot]$
  - falls  $L[i] = L[j]$  mit  $i < j$ , dann  $LF[i] < LF[j]$
- Grund:  $\alpha < \beta$  lexikographisch (nach Konstruktion)



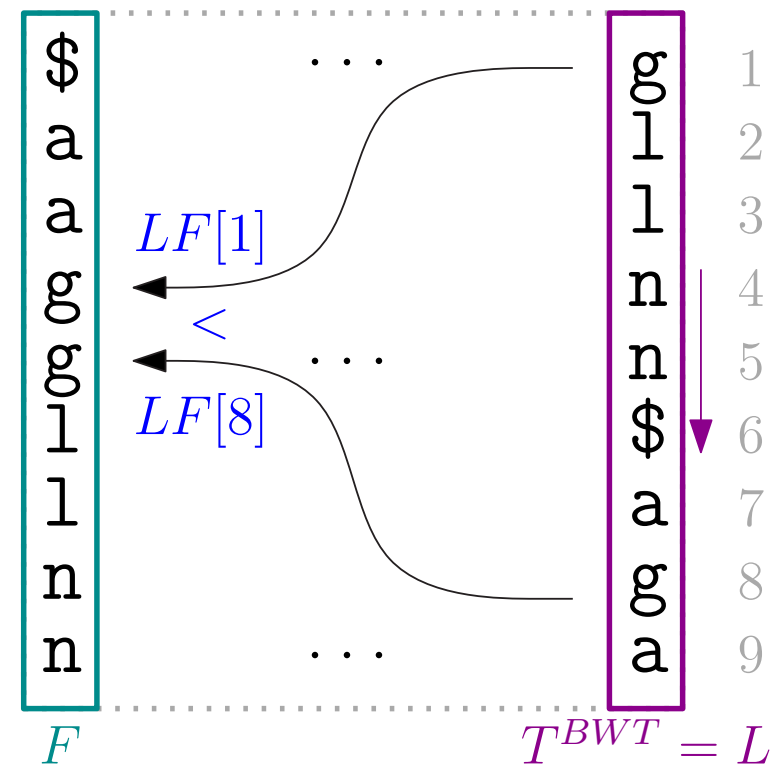
# Burrows-Wheeler-Transformation

## Rücktransformation – weitere Überlegungen

1 2 3 4 5 6 7 8 9  
 $T^{BWT} = g \ 1 \ 1 \ n \ n \ \$ \ a \ g \ a$

- $T^{BWT}$  hat Struktur, so dass gilt

- gleiche Zeichen besitzen  
gleiche Reihenfolge in  $F[\cdot]$  und  $L[\cdot]$
- falls  $L[i] = L[j]$  mit  $i < j$ ,  
dann  $LF[i] < LF[j]$



- Grund:  $\alpha < \beta$  lexikographisch (nach Konstruktion)

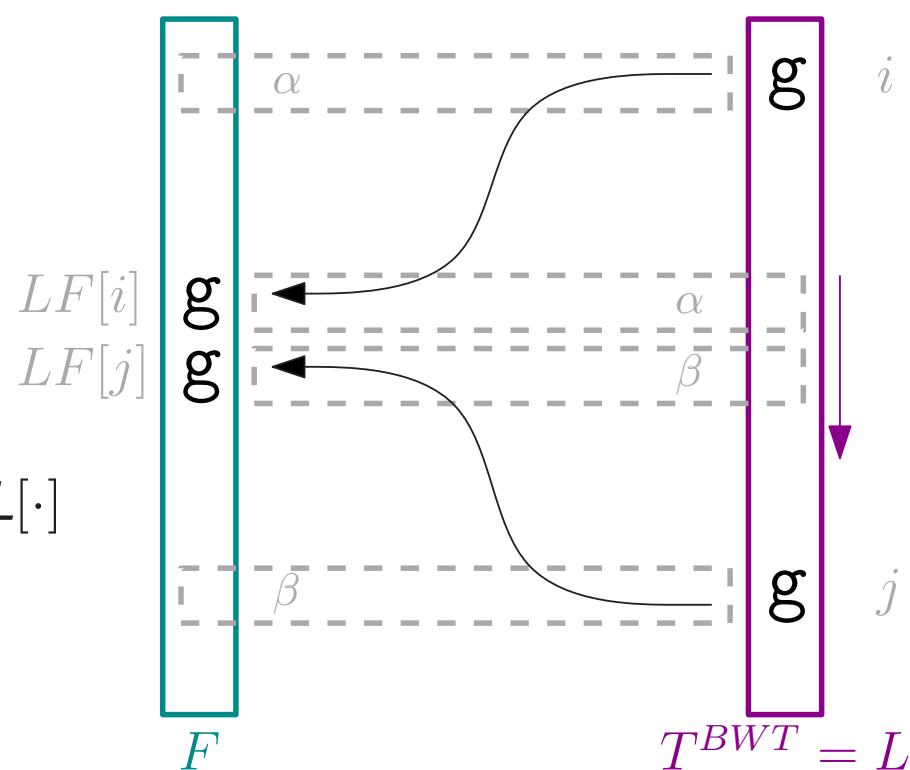
# Burrows-Wheeler-Transformation

## Rücktransformation – weitere Überlegungen

1 2 3 4 5 6 7 8 9  
 $T^{BWT} = g \ 1 \ 1 \ n \ n \ \$ \ a \ g \ a$

- $T^{BWT}$  hat Struktur, so dass gilt

- gleiche Zeichen besitzen  
gleiche Reihenfolge in  $F[\cdot]$  und  $L[\cdot]$
- falls  $L[i] = L[j]$  mit  $i < j$ ,  
dann  $LF[i] < LF[j]$



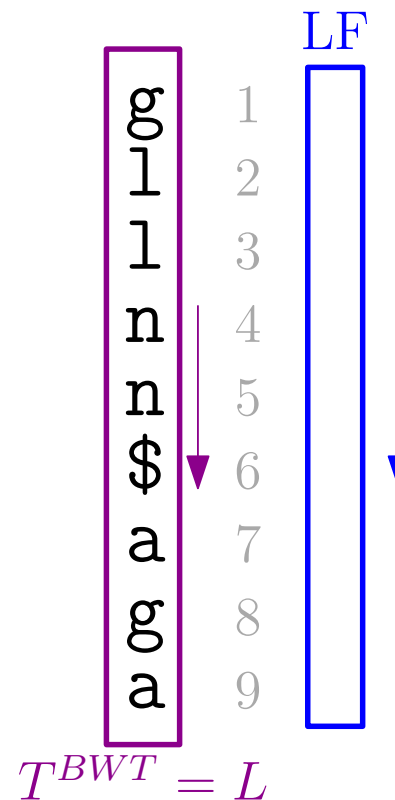
- Grund:  $\alpha < \beta$  lexikographisch (nach Konstruktion)

# Burrows-Wheeler-Transformation

Berechnung von  $LF[\cdot]$

1 2 3 4 5 6 7 8 9  
 $T^{BWT} = g \ 1 \ 1 \ n \ n \ \$ \ a \ g \ a$

- $LF[\cdot]$  nur aus  $T^{BWT}[\cdot]$  berechenbar
- $LF[i] = C(L[i]) + occ[i]$ 
  - $C(a) = \#$  Zeichen kleiner als  $a$
  - $occ[i] = \#$  Zeichen gleich  $L[i]$  in  $L[1..i]$   
( $LF[i]$  ist Position in  $F[\cdot]$ , an der  $L[i]$  steht)



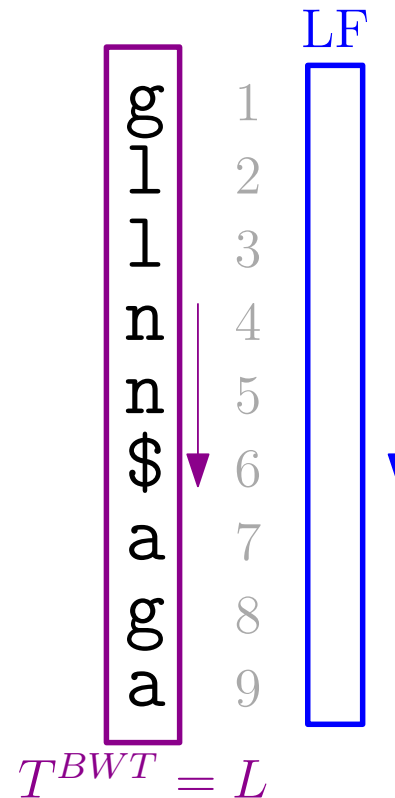
# Burrows-Wheeler-Transformation

Berechnung von  $LF[\cdot]$

$T^{BWT} = g \ 1 \ 1 \ n \ n \ \$ \ a \ g \ a$

- $LF[\cdot]$  nur aus  $T^{BWT}[\cdot]$  berechenbar
- $LF[i] = C(L[i]) + occ[i]$ 
  - $C(a) = \#$  Zeichen kleiner als  $a$
  - $occ[i] = \#$  Zeichen gleich  $L[i]$  in  $L[1..i]$

( $LF[i]$  ist Position in  $F[\cdot]$ , an der  $L[i]$  steht)

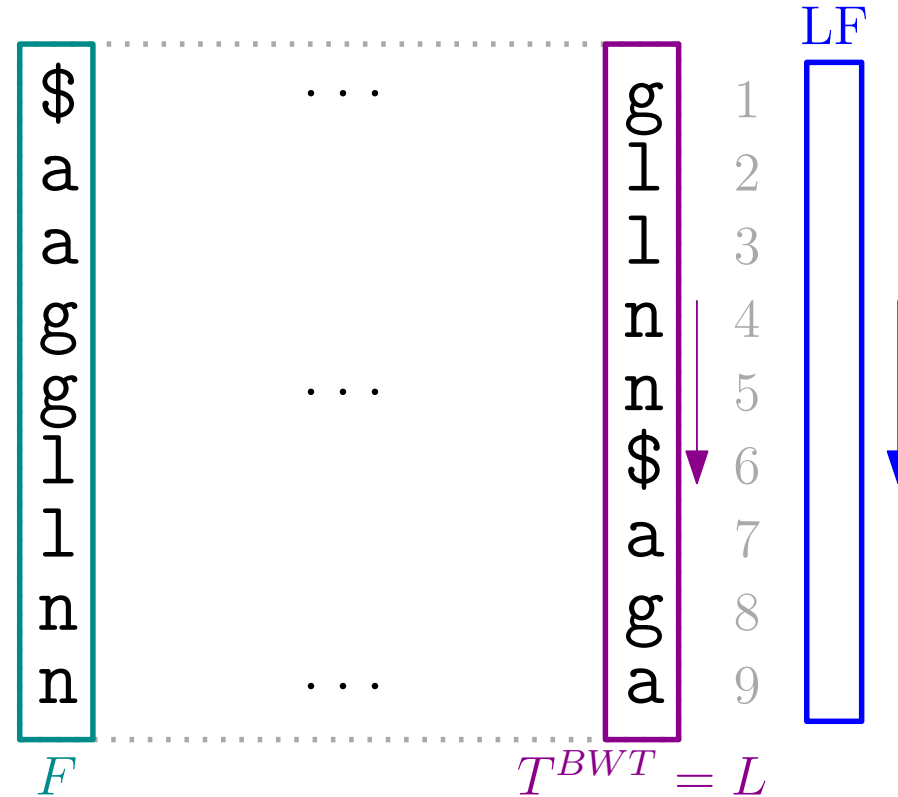


# Burrows-Wheeler-Transformation

## Berechnung von $LF[\cdot]$

$T^{BWT} = g \ 1 \ 1 \ n \ n \ \$ \ a \ g \ a$

- $LF[\cdot]$  nur aus  $T^{BWT}[\cdot]$  berechenbar
- $LF[i] = C(L[i]) + occ[i]$ 
  - $C(a) = \#$  Zeichen kleiner als  $a$
  - $occ[i] = \#$  Zeichen gleich  $L[i]$  in  $L[1..i]$   
( $LF[i]$  ist Position in  $F[\cdot]$ , an der  $L[i]$  steht)

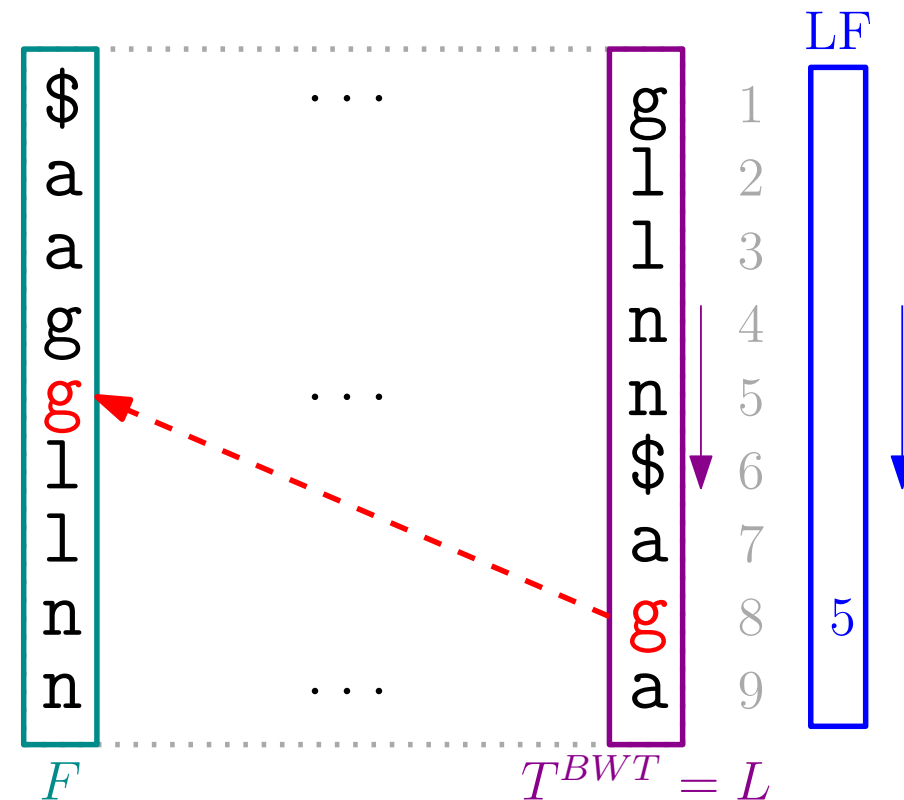


# Burrows-Wheeler-Transformation

## Berechnung von $LF[\cdot]$

1 2 3 4 5 6 7 8 9  
 $T^{BWT} = g \ 1 \ 1 \ n \ n \ \$ \ a \ g \ a$

- $LF[\cdot]$  nur aus  $T^{BWT}[\cdot]$  berechenbar
- $LF[i] = C(L[i]) + occ[i]$ 
  - $C(a) = \#$  Zeichen kleiner als  $a$
  - $occ[i] = \#$  Zeichen gleich  $L[i]$  in  $L[1..i]$   
( $LF[i]$  ist Position in  $F[\cdot]$ , an der  $L[i]$  steht)

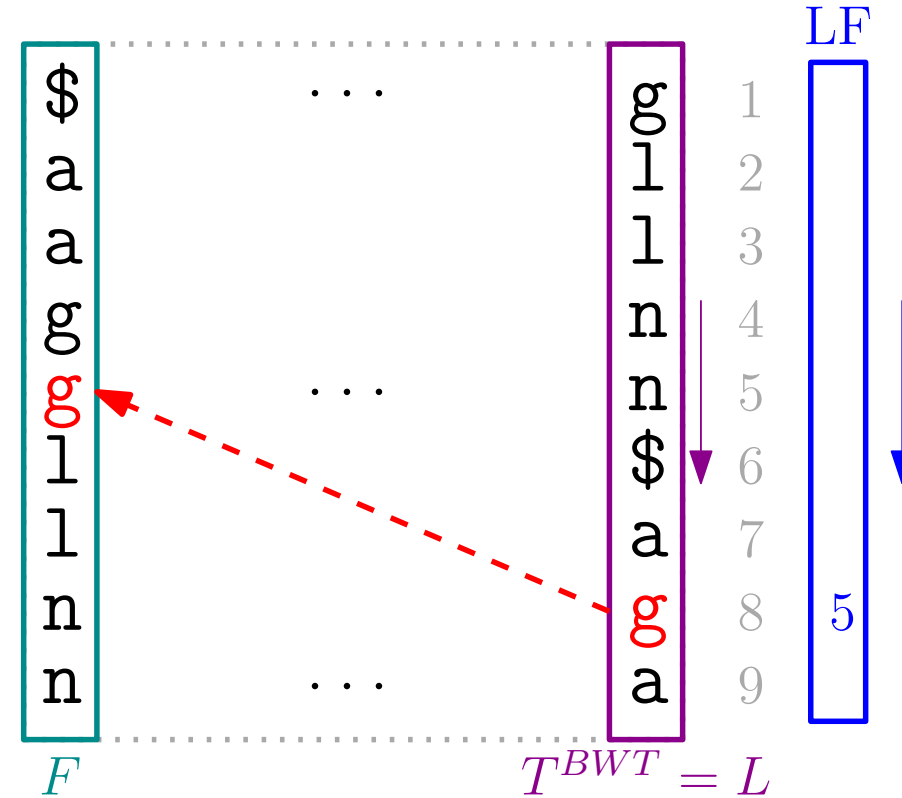


# Burrows-Wheeler-Transformation

Berechnung von  $LF[\cdot]$

$T^{BWT} = g \ 1 \ 1 \ n \ n \ \$ \ a \ g \ a$

- $LF[\cdot]$  nur aus  $T^{BWT}[\cdot]$  berechenbar
- $LF[i] = C(L[i]) + occ[i]$ 
  - $C(a) = \#$  Zeichen kleiner als  $a$
  - $occ[i] = \#$  Zeichen gleich  $L[i]$  in  $L[1..i]$   
( $LF[i]$  ist Position in  $F[\cdot]$ , an der  $L[i]$  steht)
- $C(\cdot), occ[\cdot]$  in  $\mathcal{O}(n)$  berechenbar  $\rightarrow LF[\cdot]$  auch in  $\mathcal{O}(n)$  berechenbar



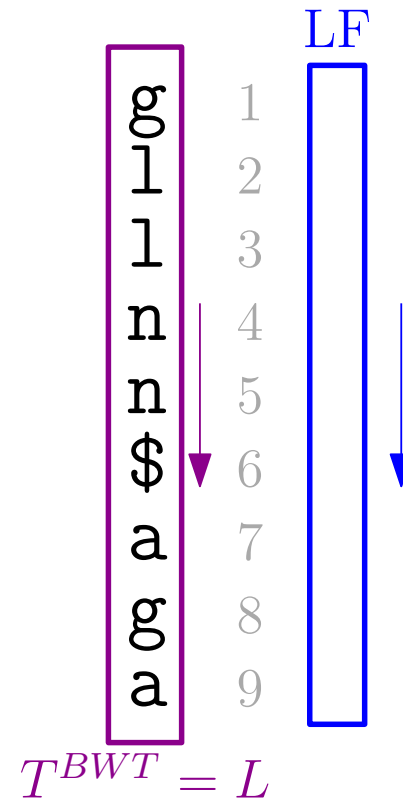
# Burrows-Wheeler-Transformation

## Ablauf der Berechnung von $LF[\cdot]$

$T^{BWT} = g \ 1 \ 1 \ n \ n \ \$ \ a \ g \ a$   
 $occ =$

$h = 0 \ 0 \ 0 \ 0 \ 0$   
(zählt Zeichen)

- initialisiere  $occ$  und  $h$
- laufe durch  $T^{BWT} = L$  ( $i = 1..n$ )
  - $h(L[i]) = h(L[i]) + 1$
  - $occ(L[i]) = h(L[i])$
- bilde exkl. Präfixsumme von  $h \rightarrow C$
- $LF[i] = C(L[i]) + occ[i]$



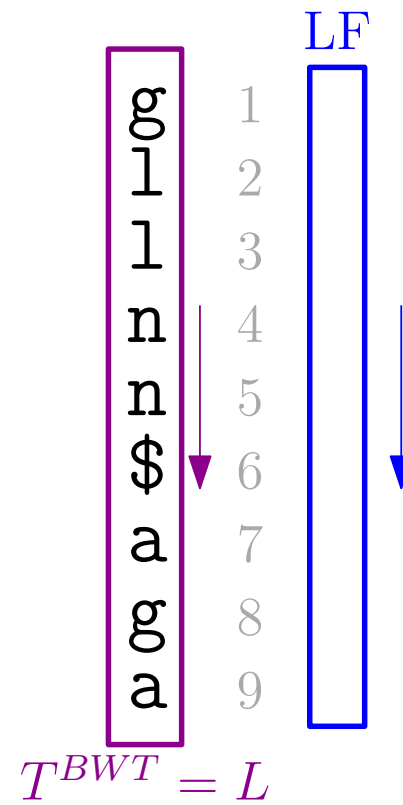
# Burrows-Wheeler-Transformation

## Ablauf der Berechnung von $LF[\cdot]$

$T^{BWT} = \begin{matrix} 1 & 2 & 3 & 4 & 5 & 6 & 7 & 8 & 9 \\ g & l & l & n & n & \$ & a & g & a \end{matrix}$   
 $occ =$

$h = \begin{matrix} \$ & a & g & l & n \\ 0 & 0 & 0 & 0 & 0 \end{matrix}$   
(zählt Zeichen)

- initialisiere  $occ$  und  $h$
- laufe durch  $T^{BWT} = L$  ( $i = 1..n$ )
  - $h(L[i]) = h(L[i]) + 1$
  - $occ(L[i]) = h(L[i])$
- bilde exkl. Präfixsumme von  $h \rightarrow C$
- $LF[i] = C(L[i]) + occ[i]$



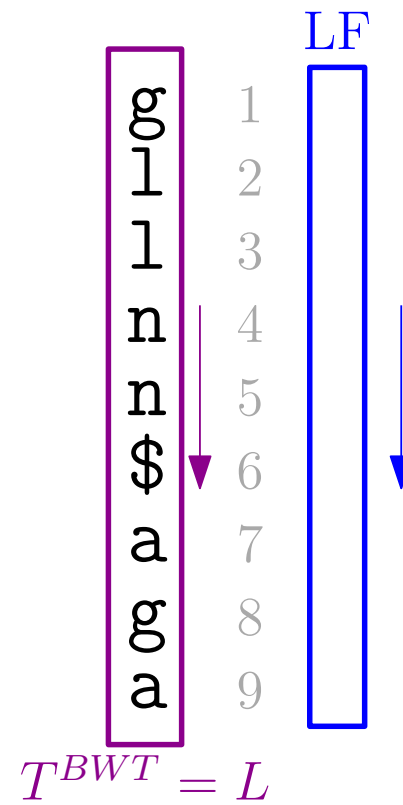
# Burrows-Wheeler-Transformation

## Ablauf der Berechnung von $LF[\cdot]$

$T^{BWT} = \begin{matrix} 1 & 2 & 3 & 4 & 5 & 6 & 7 & 8 & 9 \\ g & l & l & n & n & \$ & a & g & a \end{matrix}$   
 $occ =$

$\begin{matrix} \$ & a & g & l & n \\ h = 0 & 0 & 1 & 0 & 0 \end{matrix}$   
(zählt Zeichen)

- initialisiere  $occ$  und  $h$
- laufe durch  $T^{BWT} = L$  ( $i = 1..n$ )
  - $h(L[i]) = h(L[i]) + 1$
  - $occ(L[i]) = h(L[i])$
- bilde exkl. Präfixsumme von  $h \rightarrow C$
- $LF[i] = C(L[i]) + occ[i]$



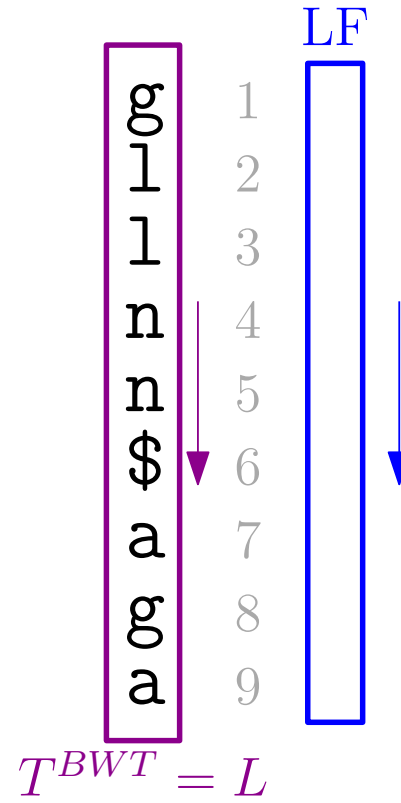
# Burrows-Wheeler-Transformation

## Ablauf der Berechnung von $LF[\cdot]$

$T^{BWT} = \begin{matrix} 1 & 2 & 3 & 4 & 5 & 6 & 7 & 8 & 9 \\ g & l & l & n & n & \$ & a & g & a \\ occ = 1 & & & & & & & & \end{matrix}$

$h = \begin{matrix} \$ & a & g & l & n \\ 0 & 0 & 1 & 0 & 0 \end{matrix}$   
(zählt Zeichen)

- initialisiere  $occ$  und  $h$
- laufe durch  $T^{BWT} = L$  ( $i = 1..n$ )
  - $h(L[i]) = h(L[i]) + 1$
  - $occ(L[i]) = h(L[i])$
- bilde exkl. Präfixsumme von  $h \rightarrow C$
- $LF[i] = C(L[i]) + occ[i]$



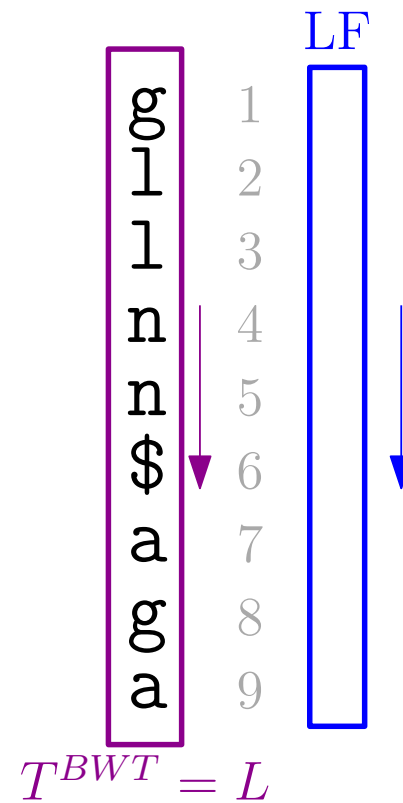
# Burrows-Wheeler-Transformation

## Ablauf der Berechnung von $LF[\cdot]$

$T^{BWT} = \begin{matrix} 1 & 2 & 3 & 4 & 5 & 6 & 7 & 8 & 9 \\ g & 1 & l & n & n & \$ & a & g & a \\ occ = 1 & 1 \end{matrix}$

$h = \begin{matrix} \$ & a & g & l & n \\ 0 & 0 & 1 & 1 & 0 \end{matrix}$   
 (zählt Zeichen)

- initialisiere  $occ$  und  $h$
- laufe durch  $T^{BWT} = L$  ( $i = 1..n$ )
  - $h(L[i]) = h(L[i]) + 1$
  - $occ(L[i]) = h(L[i])$
- bilde exkl. Präfixsumme von  $h \rightarrow C$
- $LF[i] = C(L[i]) + occ[i]$



# Burrows-Wheeler-Transformation

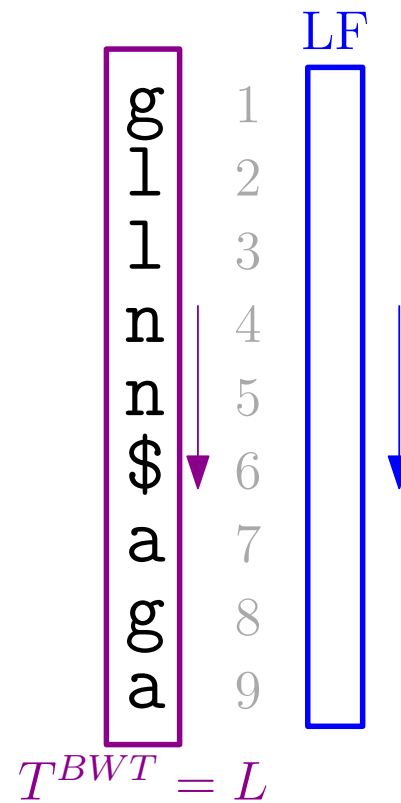
## Ablauf der Berechnung von $LF[\cdot]$

$$T^{BWT} = \begin{matrix} 1 & 2 & 3 & 4 & 5 & 6 & 7 & 8 & 9 \\ g & 1 & 1 & n & n & \$ & a & g & a \\ occ = 1 & 1 & 2 \end{matrix}$$

$$\begin{matrix} \$ & a & g & 1 & n \\ h = 0 & 0 & 1 & 2 & 0 \end{matrix}$$

(zählt Zeichen)

- initialisiere  $occ$  und  $h$
- laufe durch  $T^{BWT} = L$  ( $i = 1..n$ )
  - $h(L[i]) = h(L[i]) + 1$
  - $occ(L[i]) = h(L[i])$
- bilde exkl. Präfixsumme von  $h \rightarrow C$
- $LF[i] = C(L[i]) + occ[i]$



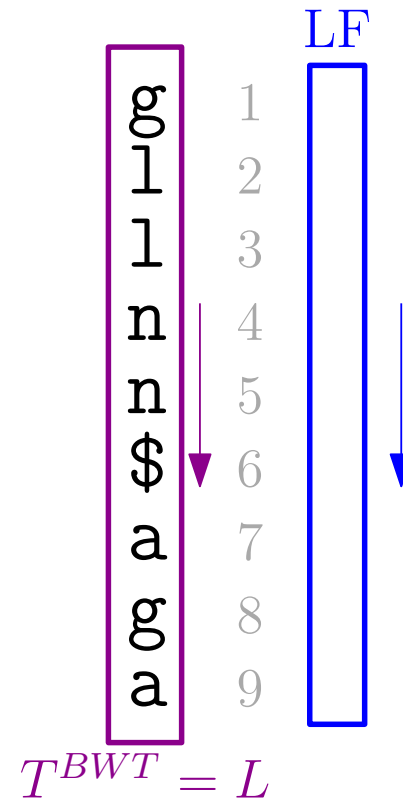
# Burrows-Wheeler-Transformation

## Ablauf der Berechnung von $LF[\cdot]$

$T^{BWT} = \begin{matrix} 1 & 2 & 3 & 4 & 5 & 6 & 7 & 8 & 9 \\ g & 1 & 1 & n & n & \$ & a & g & a \\ occ = 1 & 1 & 2 & \dots & & & & & \end{matrix}$

$h = \begin{matrix} \$ & a & g & 1 & n \\ 0 & 0 & 1 & 2 & 0 \end{matrix}$   
(zählt Zeichen)

- initialisiere  $occ$  und  $h$
- laufe durch  $T^{BWT} = L$  ( $i = 1..n$ )
  - $h(L[i]) = h(L[i]) + 1$
  - $occ(L[i]) = h(L[i])$
- bilde exkl. Präfixsumme von  $h \rightarrow C$
- $LF[i] = C(L[i]) + occ[i]$



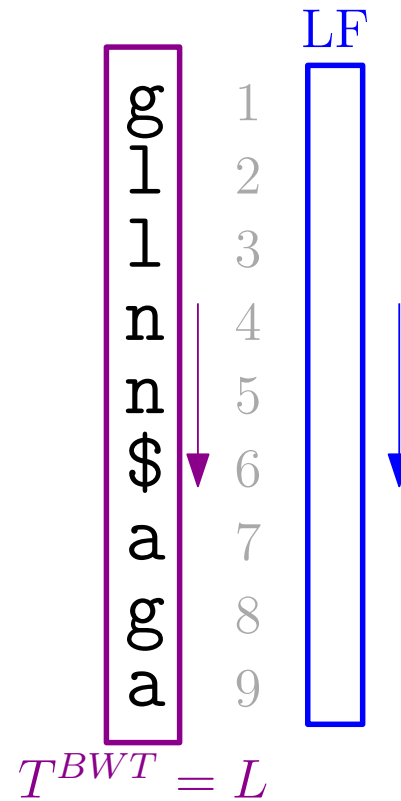
# Burrows-Wheeler-Transformation

## Ablauf der Berechnung von $LF[\cdot]$

$T^{BWT} = \begin{matrix} 1 & 2 & 3 & 4 & 5 & 6 & 7 & 8 & 9 \\ g & 1 & 1 & n & n & \$ & a & g & a \\ occ = 1 & 1 & 2 & 1 & 2 & 1 & 1 & 2 & 2 \end{matrix}$

$h = \begin{matrix} \$ & a & g & 1 & n \\ 1 & 2 & 2 & 2 & 2 \end{matrix}$   
(zählt Zeichen)

- initialisiere  $occ$  und  $h$
- laufe durch  $T^{BWT} = L$  ( $i = 1..n$ )
  - $h(L[i]) = h(L[i]) + 1$
  - $occ(L[i]) = h(L[i])$
- bilde exkl. Präfixsumme von  $h \rightarrow C$
- $LF[i] = C(L[i]) + occ[i]$



# Burrows-Wheeler-Transformation

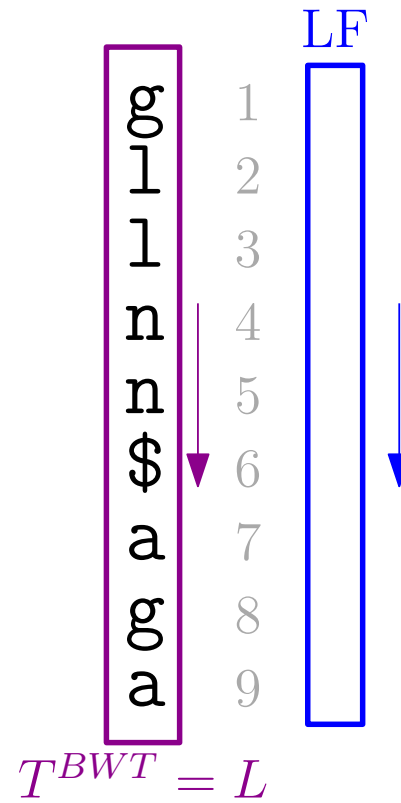
## Ablauf der Berechnung von $LF[\cdot]$

$$T^{BWT} = \begin{matrix} 1 & 2 & 3 & 4 & 5 & 6 & 7 & 8 & 9 \\ g & l & l & n & n & \$ & a & g & a \\ occ = 1 & 1 & 2 & 1 & 2 & 1 & 1 & 2 & 2 \end{matrix}$$

$$\begin{matrix} \$ & a & g & l & n \\ h = 1 & 2 & 2 & 2 & 2 \\ C = 0 & 1 & 3 & 5 & 7 \end{matrix}$$

(Präfixsumme von  $h$ )

- initialisiere  $occ$  und  $h$
- laufe durch  $T^{BWT} = L$  ( $i = 1..n$ )
  - $h(L[i]) = h(L[i]) + 1$
  - $occ(L[i]) = h(L[i])$
- bilde exkl. Präfixsumme von  $h \rightarrow C$
- $LF[i] = C(L[i]) + occ[i]$



# Burrows-Wheeler-Transformation

## Ablauf der Berechnung von $LF[\cdot]$

$$T^{BWT} = \begin{matrix} 1 & 2 & 3 & 4 & 5 & 6 & 7 & 8 & 9 \\ g & l & l & n & n & \$ & a & g & a \\ occ = 1 & 1 & 2 & 1 & 2 & 1 & 1 & 2 & 2 \end{matrix}$$

$$\begin{matrix} \$ & a & g & l & n \\ h = 1 & 2 & 2 & 2 & 2 \\ C = 0 & 1 & 3 & 5 & 7 \end{matrix}$$

|    | LF |
|----|----|
| g  | 4  |
| l  | 6  |
| l  | 7  |
| n  | 8  |
| n  | 9  |
| \$ | 1  |
| a  | 2  |
| g  | 5  |
| a  | 3  |

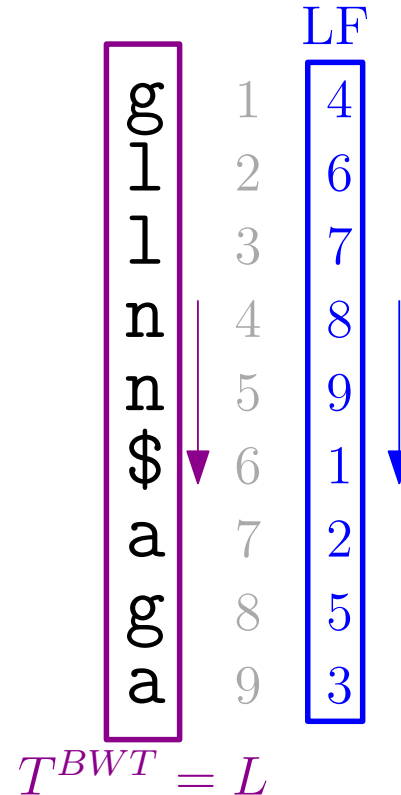
$T^{BWT} = L$

- initialisiere  $occ$  und  $h$
- laufe durch  $T^{BWT} = L$  ( $i = 1..n$ )
  - $h(L[i]) = h(L[i]) + 1$
  - $occ(L[i]) = h(L[i])$
- bilde exkl. Präfixsumme von  $h \rightarrow C$
- $LF[i] = C(L[i]) + occ[i]$

# Burrows-Wheeler-Transformation

## Rücktransformation mit $LF[\cdot]$

1 2 3 4 5 6 7 8 9  
 $T^{BWT} = g \ 1 \ 1 \ n \ n \ \$ \ a \ g \ a$   
 $T =$



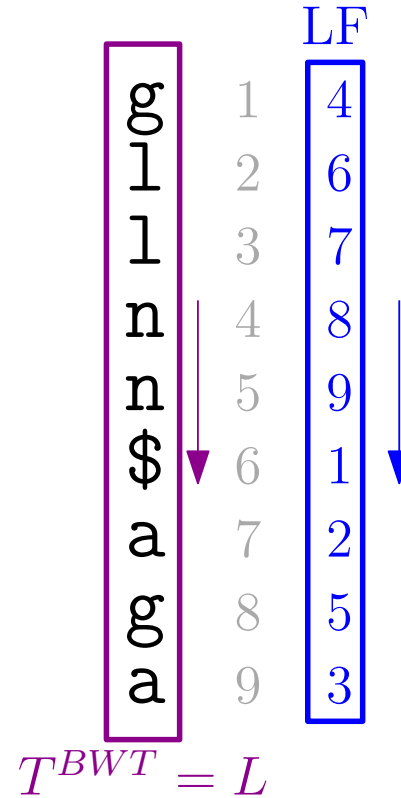
### ■ Berechnung von $T$ von rechts nach links

- Initialisierung:  $T[n] = \$ \Rightarrow LF(?) = 1$  (immer!)
- $L[1] = g \Rightarrow T[n-1] = g \Rightarrow LF(1) = 4$
- $L[4] = n \Rightarrow T[n-2] = n \Rightarrow LF(4) = 8$
- ...

# Burrows-Wheeler-Transformation

Rücktransformation mit  $LF[\cdot]$

1 2 3 4 5 6 7 8 9  
 $T^{BWT} = g \ 1 \ 1 \ n \ n \ \$ \ a \ g \ a$   
 $T =$   
                                  \$



## ■ Berechnung von $T$ von rechts nach links

- Initialisierung:  $T[n] = \$ \Rightarrow LF(?) = 1$  (immer!)
- $L[1] = g \Rightarrow T[n-1] = g \Rightarrow LF(1) = 4$
- $L[4] = n \Rightarrow T[n-2] = n \Rightarrow LF(4) = 8$
- ...

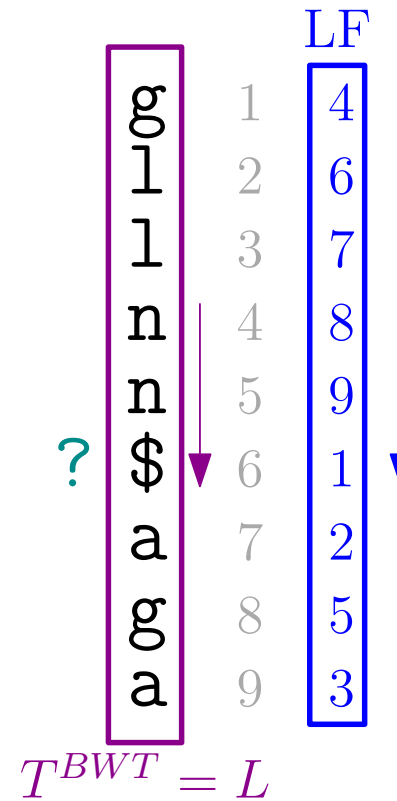
# Burrows-Wheeler-Transformation

Rücktransformation mit  $LF[\cdot]$

1 2 3 4 5 6 7 8 9  
 $T^{BWT} = g \ 1 \ 1 \ n \ n \ \$ \ a \ g \ a$   
 $T =$  ? \$

## ■ Berechnung von $T$ von rechts nach links

- Initialisierung:  $T[n] = \$ \Rightarrow LF(?) = 1$  (immer!)
- $L[1] = g \Rightarrow T[n-1] = g \Rightarrow LF(1) = 4$
- $L[4] = n \Rightarrow T[n-2] = n \Rightarrow LF(4) = 8$
- ...



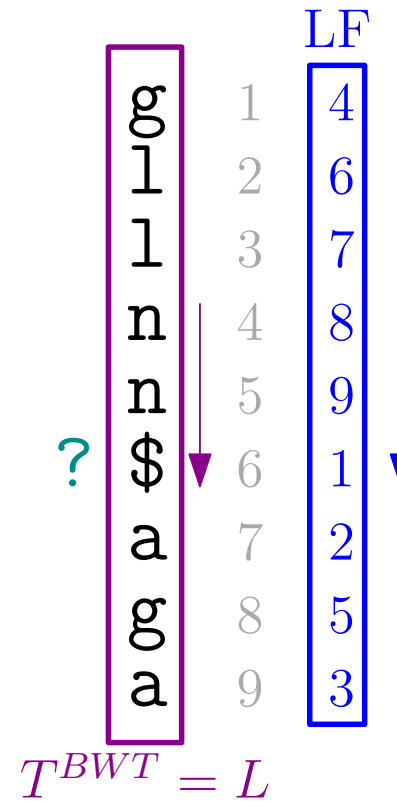
# Burrows-Wheeler-Transformation

Rücktransformation mit  $LF[\cdot]$

1 2 3 4 5 6 7 8 9  
 $T^{BWT} = g \ 1 \ 1 \ n \ n \ \$ \ a \ g \ a$   
 $T =$  ? \$

## ■ Berechnung von $T$ von rechts nach links

- Initialisierung:  $T[n] = \$ \Rightarrow LF(?) = 1$  (immer!)
- $L[1] = g \Rightarrow T[n-1] = g \Rightarrow LF(1) = 4$
- $L[4] = n \Rightarrow T[n-2] = n \Rightarrow LF(4) = 8$
- ...



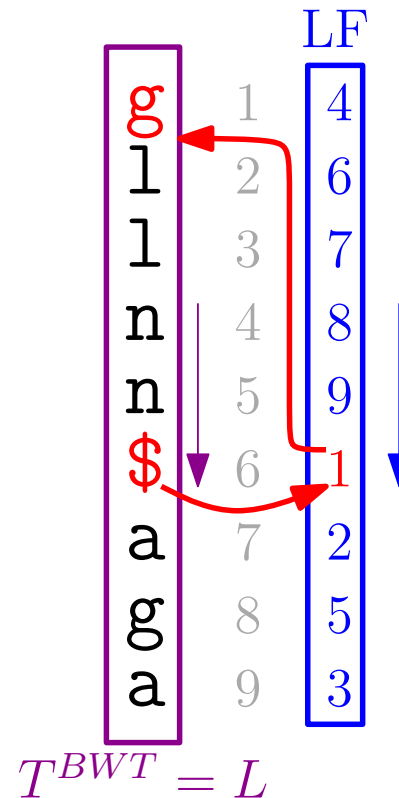
# Burrows-Wheeler-Transformation

Rücktransformation mit  $LF[\cdot]$

1 2 3 4 5 6 7 8 9  
 $T^{BWT} = g \ 1 \ 1 \ n \ n \ \$ \ a \ g \ a$   
 $T = \begin{matrix} & \\ g & \$ \end{matrix}$

## ■ Berechnung von $T$ von rechts nach links

- Initialisierung:  $T[n] = \$ \Rightarrow LF(?) = 1$  (immer!)
- $L[1] = g \Rightarrow T[n-1] = g \Rightarrow LF(1) = 4$
- $L[4] = n \Rightarrow T[n-2] = n \Rightarrow LF(4) = 8$
- ...



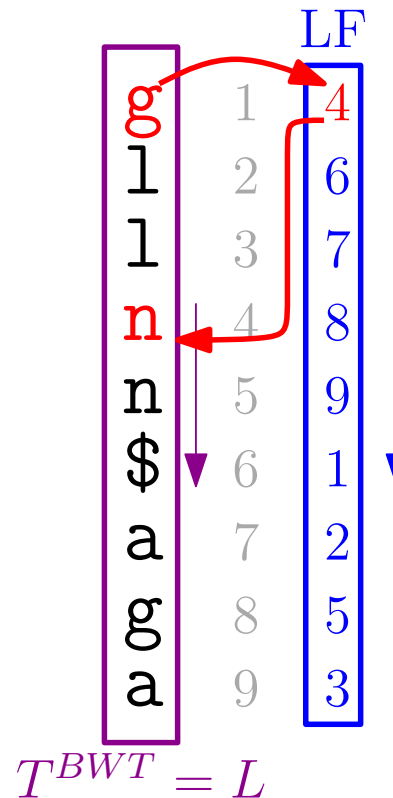
# Burrows-Wheeler-Transformation

Rücktransformation mit  $LF[\cdot]$

1 2 3 4 5 6 7 8 9  
 $T^{BWT} = g \ 1 \ 1 \ n \ n \ \$ \ a \ g \ a$   
 $T = \quad \quad \quad n \ g \ \$$

## ■ Berechnung von $T$ von rechts nach links

- Initialisierung:  $T[n] = \$ \Rightarrow LF(?) = 1$  (immer!)
- $L[1] = g \Rightarrow T[n-1] = g \Rightarrow LF(1) = 4$
- $L[4] = n \Rightarrow T[n-2] = n \Rightarrow LF(4) = 8$
- ...



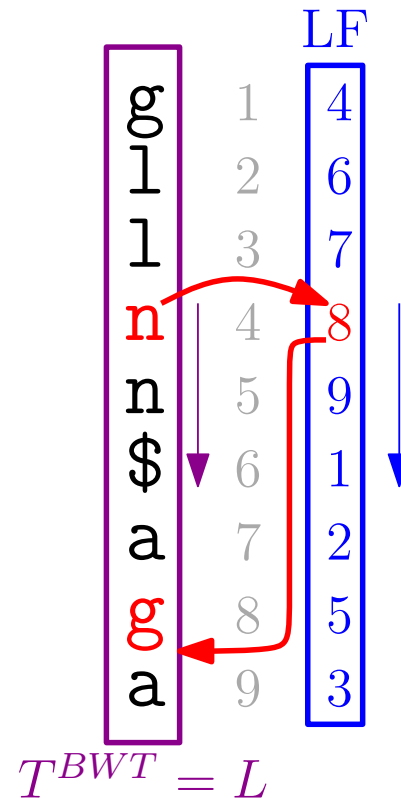
# Burrows-Wheeler-Transformation

Rücktransformation mit  $LF[\cdot]$

1 2 3 4 5 6 7 8 9  
 $T^{BWT} = g \ 1 \ 1 \ n \ n \ \$ \ a \ g \ a$   
 $T = \dots \ g \ n \ g \ \$$

## ■ Berechnung von $T$ von rechts nach links

- Initialisierung:  $T[n] = \$ \Rightarrow LF(?) = 1$  (immer!)
- $L[1] = g \Rightarrow T[n-1] = g \Rightarrow LF(1) = 4$
- $L[4] = n \Rightarrow T[n-2] = n \Rightarrow LF(4) = 8$
- ...



# Burrows-Wheeler-Transformation

Rücktransformation mit  $LF[\cdot]$

$$\begin{array}{ccccccccc} & 1 & 2 & 3 & 4 & 5 & 6 & 7 & 8 & 9 \\ T^{BWT} = & g & l & l & n & n & \$ & a & g & a \\ T = & l & a & l & a & n & g & n & g & \$ \end{array}$$

|    | LF |
|----|----|
| g  | 4  |
| l  | 6  |
| l  | 7  |
| n  | 8  |
| n  | 9  |
| \$ | 1  |
| a  | 2  |
| g  | 5  |
| a  | 3  |

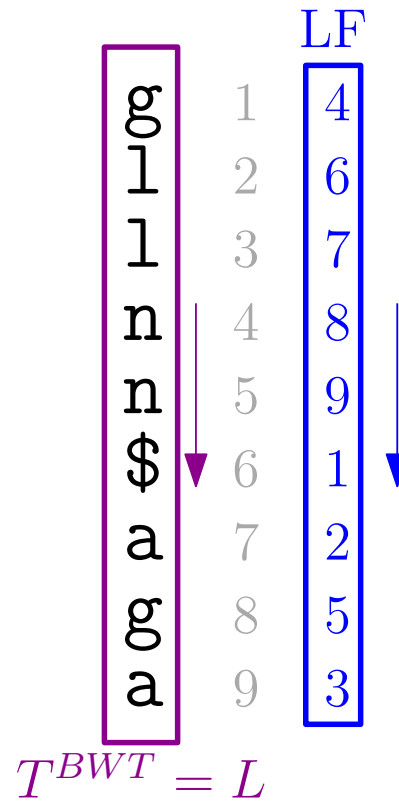
$$T^{BWT} = L$$

- Berechnung von  $T$  von rechts nach links
  - Initialisierung:  $T[n] = \$ \Rightarrow LF(?) = 1$  (immer!)
  - $L[1] = g \Rightarrow T[n-1] = g \Rightarrow LF(1) = 4$
  - $L[4] = n \Rightarrow T[n-2] = n \Rightarrow LF(4) = 8$
  - ...
- Allgemein:  $T[n-i] = L[LF(LF(\dots(LF(1))\dots))] \quad (i-1) \text{ LF Anwendungen}$

# Burrows-Wheeler-Transformation

## Rücktransformation mit $LF[\cdot]$

1 2 3 4 5 6 7 8 9  
 $T^{BWT} = g l l n n \$ a g a$   
 $T = l a l a n g n g \$$



- Berechnung von  $T$  von rechts nach links
  - Initialisierung:  $T[n] = \$ \Rightarrow LF(?) = 1$  (immer!)
  - $L[1] = g \Rightarrow T[n-1] = g \Rightarrow LF(1) = 4$
  - $L[4] = n \Rightarrow T[n-2] = n \Rightarrow LF(4) = 8$
  - ...
- Allgemein:  $T[n-i] = L[LF(LF(\dots(LF(1))\dots))]$  ( $i-1$ )  $LF$  Anwendungen
- Rücktransformation in  $\mathcal{O}(n)$  (ohne Zusatzinformationen)

# **Burrows-Wheeler-Transformation**

## Was bringt die BWT?

- benötigt gleichen Platz, verwendet gleiche Zeichen wie  $T$   
→ **scheinbar keine Vorteile ?!?**
  
- Permutation einfach **umkehrbar**  
(benötigt keine Zusatzinformationen,  $\mathcal{O}(n)$ )
- Zeichen mit ähnlichem Kontext gruppiert  
→ **vereinfacht Komprimierung**
  
- besonders gut auf Texten mit  
vielen gleichen Substrings  
→ Beispiel: englischer Text  
(u.a. viele “the”, ...)

(Außerdem: Vorgänger von Suffixen einfach bestimmbar → Indizierung / Suche)

# **Burrows-Wheeler-Transformation**

## Was bringt die BWT?

- benötigt gleichen Platz, verwendet gleiche Zeichen wie  $T$   
→ **scheinbar keine Vorteile ?!?**
  
- Permutation einfach **umkehrbar**  
(benötigt keine Zusatzinformationen,  $\mathcal{O}(n)$ )
- Zeichen mit ähnlichem Kontext gruppiert  
→ **vereinfacht Komprimierung**
  
- besonders gut auf Texten mit  
vielen gleichen Substrings  
→ Beispiel: englischer Text  
(u.a. viele “the”, ...)

(Außerdem: Vorgänger von Suffixen einfach bestimmbar → Indizierung / Suche)

# Burrows-Wheeler-Transformation

## Was bringt die BWT?

- benötigt gleichen Platz, verwendet gleiche Zeichen wie  $T$   
→ **scheinbar keine Vorteile ?!?**
- Permutation einfach **umkehrbar**  
(benötigt keine Zusatzinformationen,  $\mathcal{O}(n)$ )
- Zeichen mit ähnlichem Kontext gruppiert  
→ **vereinfacht Komprimierung**
- besonders gut auf Texten mit  
vielen gleichen Substrings  
→ Beispiel: englischer Text  
(u.a. viele “the”, ...)

(Außerdem: Vorgänger von Suffixen einfach bestimmbar → Indizierung / Suche)

# Burrows-Wheeler-Transformation

## Was bringt die BWT?

- benötigt gleichen Platz, verwendet gleiche Zeichen wie  $T$   
→ **scheinbar keine Vorteile ?!?**
- Permutation einfach **umkehrbar**  
(benötigt keine Zusatzinformationen,  $\mathcal{O}(n)$ )
- Zeichen mit ähnlichem Kontext gruppiert  
→ **vereinfacht Komprimierung**
- besonders gut auf Texten mit vielen gleichen Substrings  
→ Beispiel: englischer Text  
(u.a. viele “the”, ...)

⋮ ⋮  
t h e ... ... -  
t h e ... ... -  
t h e ... ... -  
⋮ ⋮

(Außerdem: Vorgänger von Suffixen einfach bestimmbar → Indizierung / Suche)

# Burrows-Wheeler-Transformation

## Was bringt die BWT?

- benötigt gleichen Platz, verwendet gleiche Zeichen wie  $T$   
→ **scheinbar keine Vorteile ?!?**
- Permutation einfach **umkehrbar**  
(benötigt keine Zusatzinformationen,  $\mathcal{O}(n)$ )
- Zeichen mit ähnlichem Kontext gruppiert  
→ **vereinfacht Komprimierung**
- besonders gut auf Texten mit vielen gleichen Substrings  
→ Beispiel: englischer Text  
(u.a. viele “the”, ...)

|   |   |     |     |     |   |
|---|---|-----|-----|-----|---|
| ⋮ | ⋮ | ⋮   |     |     |   |
| h | e | ... | ... | t   |   |
| h | e | ... | ... | t   |   |
| h | e | ... | ... | t   |   |
| ⋮ | ⋮ | ⋮   | ⋮   | ⋮   |   |
| t | h | e   | ... | ... | - |
| t | h | e   | ... | ... | - |
| t | h | e   | ... | ... | - |
| ⋮ | ⋮ | ⋮   | ⋮   | ⋮   |   |

(Außerdem: Vorgänger von Suffixen einfach bestimmbar → Indizierung / Suche)

# Burrows-Wheeler-Transformation

## Was bringt die BWT?

- benötigt gleichen Platz, verwendet gleiche Zeichen wie  $T$   
→ **scheinbar keine Vorteile ?!?**
- Permutation einfach **umkehrbar**  
(benötigt keine Zusatzinformationen,  $\mathcal{O}(n)$ )
- Zeichen mit ähnlichem Kontext gruppiert  
→ **vereinfacht Komprimierung**
- besonders gut auf Texten mit vielen gleichen Substrings  
→ Beispiel: englischer Text  
(u.a. viele “the”, ...)

| $T^{BWT}$ |
|-----------|
| ⋮         |
| h e ...   |
| h e ...   |
| h e ...   |
| ⋮         |
| t h e ... |
| t h e ... |
| t h e ... |
| ⋮         |

(Außerdem: Vorgänger von Suffixen einfach bestimmbar → Indizierung / Suche)

# Burrows-Wheeler-Transformation

## Was bringt die BWT?

- benötigt gleichen Platz, verwendet gleiche Zeichen wie  $T$   
→ **scheinbar keine Vorteile ?!?**
- Permutation einfach **umkehrbar**  
(benötigt keine Zusatzinformationen,  $\mathcal{O}(n)$ )
- Zeichen mit ähnlichem Kontext gruppiert  
→ **vereinfacht Komprimierung**
- besonders gut auf Texten mit vielen gleichen Substrings  
→ Beispiel: englischer Text  
(u.a. viele “the”, ...)

| $T^{BWT}$ |
|-----------|
| ⋮         |
| h e ...   |
| h e ...   |
| h e ...   |
| ⋮         |
| t h e ... |
| t h e ... |
| t h e ... |
| ⋮         |

(Außerdem: Vorgänger von Suffixen einfach bestimmbar → Indizierung / Suche)

# **Burrows-Wheeler-Transformation**

## Kompression

**gegeben:** Text  $T$

**gesucht :** komprimierter Text  $C$

### **bzip2 (1996)**

- (Huffmann Kodierung)
- erzeuge *Burrows-Wheeler-Transformation*
- *Move-To-Front (MTF) Kodierung*
- Huffmann Kodierung  
(eigentliche Kompression)

*bzip2*

# Burrows-Wheeler-Transformation

Kompression: *Move-To-Front* (MTF) Kodierung

- nutzt **lokale Redundanz**
- erzeugt **kleine Zahlen** für gleiche Zeichen, die nahe beieinander sind

## Ablauf

- initialisiere  $Y$  mit Alphabet von  $T^{BWT}$
- durchlaufe  $T^{BWT}$  ( $i = 1..n$ ), generiere  $R[1..n]$ 
  - $R[i] = \text{Position von } T^{BWT}[i] \text{ in } Y$
  - Schiebe  $T^{BWT}[i]$  an den Anfang von  $Y$

# Burrows-Wheeler-Transformation

## Kompression: *Move-To-Front* (MTF) Kodierung

- nutzt **lokale Redundanz**
- erzeugt **kleine Zahlen** für gleiche Zeichen, die nahe beieinander sind

### Ablauf

- initialisiere  $Y$  mit Alphabet von  $T^{BWT}$
- durchlaufe  $T^{BWT}$  ( $i = 1..n$ ), generiere  $R[1..n]$ 
  - $R[i] = \text{Position von } T^{BWT}[i] \text{ in } Y$
  - Schiebe  $T^{BWT}[i]$  an den Anfang von  $Y$

$T^{BWT} = g l l n n a g a \$$

$R =$

$Y = \$ a g l n$

# Burrows-Wheeler-Transformation

## Kompression: *Move-To-Front* (MTF) Kodierung

- nutzt **lokale Redundanz**
- erzeugt **kleine Zahlen** für gleiche Zeichen, die nahe beieinander sind

### Ablauf

- initialisiere  $Y$  mit Alphabet von  $T^{BWT}$
- durchlaufe  $T^{BWT}$  ( $i = 1..n$ ), generiere  $R[1..n]$ 
  - $R[i] = \text{Position von } T^{BWT}[i] \text{ in } Y$
  - Schiebe  $T^{BWT}[i]$  an den Anfang von  $Y$

1 2 3 4 5 6 7 8 9  
 $T^{BWT} = g l l n n a g a \$$   
 $R = 3$

1 2 3 4 5  
 $Y = \$ a g l n$

# Burrows-Wheeler-Transformation

## Kompression: *Move-To-Front* (MTF) Kodierung

- nutzt **lokale Redundanz**
- erzeugt **kleine Zahlen** für gleiche Zeichen, die nahe beieinander sind

### Ablauf

- initialisiere  $Y$  mit Alphabet von  $T^{BWT}$
- durchlaufe  $T^{BWT}$  ( $i = 1..n$ ), generiere  $R[1..n]$ 
  - $R[i] = \text{Position von } T^{BWT}[i] \text{ in } Y$
  - Schiebe  $T^{BWT}[i]$  an den Anfang von  $Y$

$T^{BWT} = g l l n n a g a \$$

$R = 3$

$Y = g \$ a l n$

# Burrows-Wheeler-Transformation

## Kompression: *Move-To-Front* (MTF) Kodierung

- nutzt **lokale Redundanz**
- erzeugt **kleine Zahlen** für gleiche Zeichen, die nahe beieinander sind

### Ablauf

- initialisiere  $Y$  mit Alphabet von  $T^{BWT}$
- durchlaufe  $T^{BWT}$  ( $i = 1..n$ ), generiere  $R[1..n]$ 
  - $R[i] = \text{Position von } T^{BWT}[i] \text{ in } Y$
  - Schiebe  $T^{BWT}[i]$  an den Anfang von  $Y$

$$T^{BWT} = \begin{matrix} 1 & 2 & 3 & 4 & 5 & 6 & 7 & 8 & 9 \\ g & l & l & n & n & a & g & a & \$ \end{matrix}$$
$$R = \begin{matrix} 3 & 4 \end{matrix}$$
$$\begin{matrix} 1 & 2 & 3 & 4 & 5 \\ \$ & a & g & l & n \end{matrix}$$
$$Y = \begin{matrix} g & \$ & a & 1 & n \end{matrix}$$

# Burrows-Wheeler-Transformation

## Kompression: *Move-To-Front* (MTF) Kodierung

- nutzt **lokale Redundanz**
- erzeugt **kleine Zahlen** für gleiche Zeichen, die nahe beieinander sind

### Ablauf

- initialisiere  $Y$  mit Alphabet von  $T^{BWT}$
- durchlaufe  $T^{BWT}$  ( $i = 1..n$ ), generiere  $R[1..n]$ 
  - $R[i] = \text{Position von } T^{BWT}[i] \text{ in } Y$
  - Schiebe  $T^{BWT}[i]$  an den Anfang von  $Y$

$T^{BWT} = g l l n n a g a \$$

$R = 3 \ 4$

$Y = \underline{1} \ g \ \$ \ a \ n$

# Burrows-Wheeler-Transformation

## Kompression: *Move-To-Front* (MTF) Kodierung

- nutzt **lokale Redundanz**
- erzeugt **kleine Zahlen** für gleiche Zeichen, die nahe beieinander sind

### Ablauf

- initialisiere  $Y$  mit Alphabet von  $T^{BWT}$
- durchlaufe  $T^{BWT}$  ( $i = 1..n$ ), generiere  $R[1..n]$ 
  - $R[i] = \text{Position von } T^{BWT}[i] \text{ in } Y$
  - Schiebe  $T^{BWT}[i]$  an den Anfang von  $Y$

$T^{BWT} = g l l n n a g a \$$

$R = 3 \ 4 \ 1$

$Y = 1 \ g \ \$ \ a \ n$

# Burrows-Wheeler-Transformation

## Kompression: *Move-To-Front* (MTF) Kodierung

- nutzt **lokale Redundanz**
- erzeugt **kleine Zahlen** für gleiche Zeichen, die nahe beieinander sind

### Ablauf

- initialisiere  $Y$  mit Alphabet von  $T^{BWT}$
- durchlaufe  $T^{BWT}$  ( $i = 1..n$ ), generiere  $R[1..n]$ 
  - $R[i] = \text{Position von } T^{BWT}[i] \text{ in } Y$
  - Schiebe  $T^{BWT}[i]$  an den Anfang von  $Y$

$T^{BWT} = g l l n n a g a \$$

$R = 3 \ 4 \ 1$

1 2 3 4 5  
\$ a g l n  
g \$ a l n  
l g \$ a n  
Y = 1 g \$ a n

# Burrows-Wheeler-Transformation

## Kompression: *Move-To-Front* (MTF) Kodierung

- nutzt **lokale Redundanz**
- erzeugt **kleine Zahlen** für gleiche Zeichen, die nahe beieinander sind

### Ablauf

- initialisiere  $Y$  mit Alphabet von  $T^{BWT}$
- durchlaufe  $T^{BWT}$  ( $i = 1..n$ ), generiere  $R[1..n]$ 
  - $R[i] = \text{Position von } T^{BWT}[i] \text{ in } Y$
  - Schiebe  $T^{BWT}[i]$  an den Anfang von  $Y$

$T^{BWT} = g l l n n a g a \$$

1 2 3 4 5 6 7 8 9

$R = 3 \ 4 \ 1 \ \dots$

1 2 3 4 5  
\$ a g l n  
g \$ a l n  
l g \$ a n  
Y = 1 g \$ a n

# Burrows-Wheeler-Transformation

## Kompression: *Move-To-Front* (MTF) Kodierung

- nutzt **lokale Redundanz**
- erzeugt **kleine Zahlen** für gleiche Zeichen, die nahe beieinander sind

### Ablauf

- initialisiere  $Y$  mit Alphabet von  $T^{BWT}$
- durchlaufe  $T^{BWT}$  ( $i = 1..n$ ), generiere  $R[1..n]$ 
  - $R[i] = \text{Position von } T^{BWT}[i] \text{ in } Y$
  - Schiebe  $T^{BWT}[i]$  an den Anfang von  $Y$

$T^{BWT} = g\ 1\ l\ n\ n\ a\ g\ a\ \$$

$R = 3\ 4\ 1\ 5\ 1\ 5\ 4\ 2\ 5$

|     |    |    |    |    |   |
|-----|----|----|----|----|---|
| 1   | 2  | 3  | 4  | 5  |   |
| \$  | a  | g  | l  | n  |   |
| g   | \$ | a  | l  | n  |   |
| o   | g  | \$ | a  | n  |   |
| l   | g  | g  | \$ | a  |   |
| g   | o  | g  | g  | \$ |   |
| o   | g  | g  | g  | a  |   |
| l   | g  | g  | g  | \$ |   |
| n   | l  | g  | g  | a  |   |
| l   | g  | g  | g  | \$ |   |
| n   | l  | g  | g  | a  |   |
| a   | n  | l  | g  | \$ |   |
| n   | l  | g  | g  | \$ |   |
| g   | a  | n  | l  | \$ |   |
| a   | g  | n  | l  | \$ |   |
| g   | a  | n  | l  | \$ |   |
| g   | a  | g  | n  | l  |   |
| Y = | \$ | a  | g  | n  | l |

# Burrows-Wheeler-Transformation

## Kompression: *Move-To-Front* (MTF) Kodierung

- nutzt **lokale Redundanz**
- erzeugt **kleine Zahlen** für gleiche Zeichen, die nahe beieinander sind

### Ablauf

- initialisiere  $Y$  mit Alphabet von  $T^{BWT}$
- durchlaufe  $T^{BWT}$  ( $i = 1..n$ ), generiere  $R[1..n]$ 
  - $R[i] = \text{Position von } T^{BWT}[i] \text{ in } Y$
  - Schiebe  $T^{BWT}[i]$  an den Anfang von  $Y$

1 2 3 4 5 6 7 8 9 10 11 12 13  
 $T^{BWT} = a a a a b b b c c c c d$   
 $R =$

1 2 3 4  
 $Y = a b c d$

# Burrows-Wheeler-Transformation

## Kompression: *Move-To-Front* (MTF) Kodierung

- nutzt **lokale Redundanz**
- erzeugt **kleine Zahlen** für gleiche Zeichen, die nahe beieinander sind

### Ablauf

- initialisiere  $Y$  mit Alphabet von  $T^{BWT}$
- durchlaufe  $T^{BWT}$  ( $i = 1..n$ ), generiere  $R[1..n]$ 
  - $R[i] = \text{Position von } T^{BWT}[i] \text{ in } Y$
  - Schiebe  $T^{BWT}[i]$  an den Anfang von  $Y$

$$T^{BWT} = \begin{matrix} 1 & 2 & 3 & 4 & 5 & 6 & 7 & 8 & 9 & 10 & 11 & 12 & 13 \\ a & a & a & a & b & b & b & b & c & c & c & c & d \end{matrix}$$
$$R = \begin{matrix} 1 & 1 & 1 & 1 & 2 & 1 & 1 & 1 & 3 & 1 & 1 & 1 & 4 \end{matrix}$$
$$\begin{matrix} 1 & 2 & 3 & 4 \\ a & b & c & d \\ \vdots \\ b & a & c & d \\ \vdots \\ c & b & a & d \\ \vdots \\ d & c & b & a \end{matrix}$$

# **Burrows-Wheeler-Transformation**

## Kompression: Huffman Kodierung

- präfixfreie Codes variabler Länge
- können greedy konstruiert werden

### Ablauf

- erzeuge binären Baum *bottom-up*
  - nimm seltenste 2 Zeichen(-gruppen)
  - erzeuge neuen Knoten, der beide Zeichen(-gruppen) repräsentiert, neue Häufigkeit  $\hat{=}$  Summe beider Häufigkeiten
- Beschriftungen der Baumkanten (links:0, rechts:1) ergeben Zeichenkodierungen

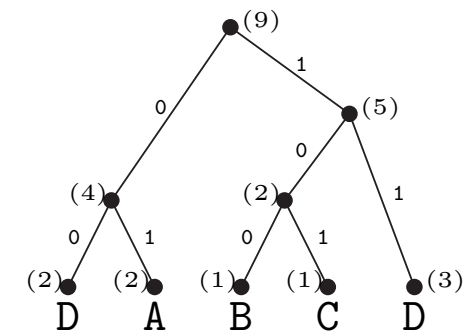
# Burrows-Wheeler-Transformation

## Kompression: Huffman Kodierung

- präfixfreie Codes variabler Länge
- können greedy konstruiert werden

## Ablauf

- erzeuge binären Baum *bottom-up*
  - nimm **seltenste** 2 Zeichen(-gruppen)
  - erzeuge neuen Knoten, der beide Zeichen(-gruppen) repräsentiert, neue Häufigkeit  $\hat{=}$  Summe beider Häufigkeiten
- Beschriftungen der Baumkanten (links:0, rechts:1) ergeben Zeichenkodierungen



# **Burrows-Wheeler-Transformation**

**Kompression: Huffmann Kodierung**

$$\begin{aligned}T &= 1 \text{ a } 1 \text{ a } n \text{ g } n \text{ g } \$ \\R &= 3 \text{ 4 } 1 \text{ 5 } 1 \text{ 5 } 4 \text{ 2 } 5\end{aligned}$$

# **Burrows-Wheeler-Transformation**

**Kompression: Huffmann Kodierung**

$$T = 1 \text{ a l a n g n g \$}$$
$$R = 3 \ 4 \ 1 \ 5 \ 1 \ 5 \ 4 \ 2 \ 5$$

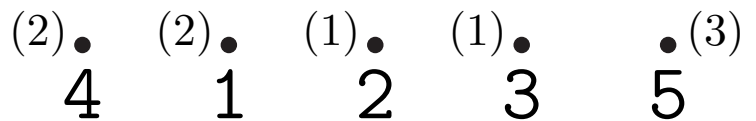
| Symbol | Häufigkeit |
|--------|------------|
| 1      | 2          |
| 2      | 1          |
| 3      | 1          |
| 4      | 2          |
| 5      | 3          |

# **Burrows-Wheeler-Transformation**

## Kompression: Huffmann Kodierung

$$T = 1 \text{ a } 1 \text{ a } n \text{ g } n \text{ g } \$$$
$$R = 3 \text{ 4 } 1 \text{ 5 } 1 \text{ 5 } 4 \text{ 2 } 5$$

| Symbol | Häufigkeit |
|--------|------------|
| 1      | 2          |
| 2      | 1          |
| 3      | 1          |
| 4      | 2          |
| 5      | 3          |

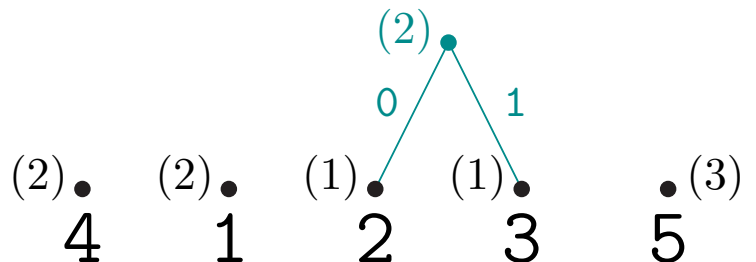


# Burrows-Wheeler-Transformation

Kompression: Huffmann Kodierung

$$T = 1 \text{ a } 1 \text{ a } n \text{ g } n \text{ g } \$$$
$$R = 3 \ 4 \ 1 \ 5 \ 1 \ 5 \ 4 \ 2 \ 5$$

| Symbol | Häufigkeit |
|--------|------------|
| 1      | 2          |
| 2      | 1          |
| 3      | 1          |
| 4      | 2          |
| 5      | 3          |

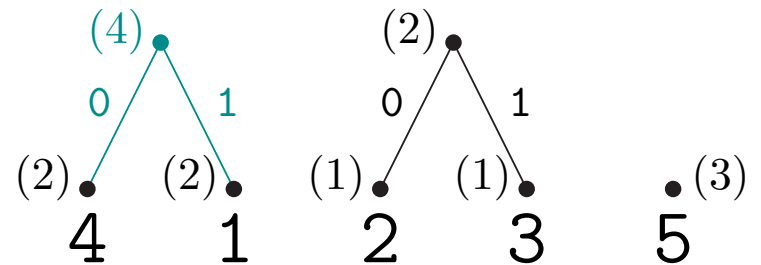


# Burrows-Wheeler-Transformation

Kompression: Huffmann Kodierung

$$T = 1 \text{ a } 1 \text{ a } n \text{ g } n \text{ g } \$$$
$$R = 3 \ 4 \ 1 \ 5 \ 1 \ 5 \ 4 \ 2 \ 5$$

| Symbol | Häufigkeit |
|--------|------------|
| 1      | 2          |
| 2      | 1          |
| 3      | 1          |
| 4      | 2          |
| 5      | 3          |

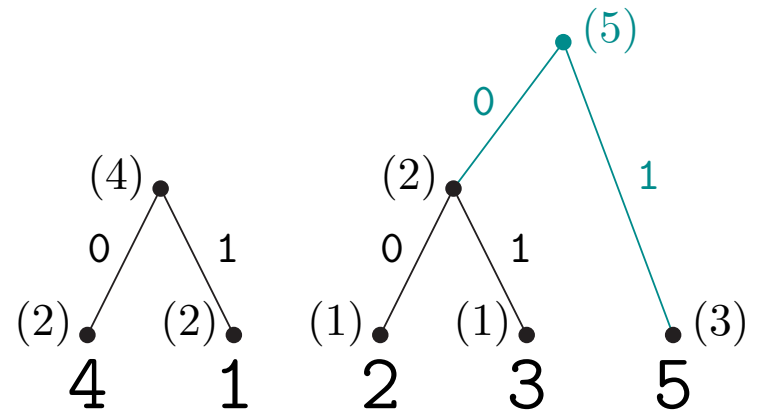


# Burrows-Wheeler-Transformation

## Kompression: Huffman Kodierung

$$T = 1 \text{ a } 1 \text{ a } n \text{ g } n \text{ g } \$$$
$$R = 3 \ 4 \ 1 \ 5 \ 1 \ 5 \ 4 \ 2 \ 5$$

| Symbol | Häufigkeit |
|--------|------------|
| 1      | 2          |
| 2      | 1          |
| 3      | 1          |
| 4      | 2          |
| 5      | 3          |

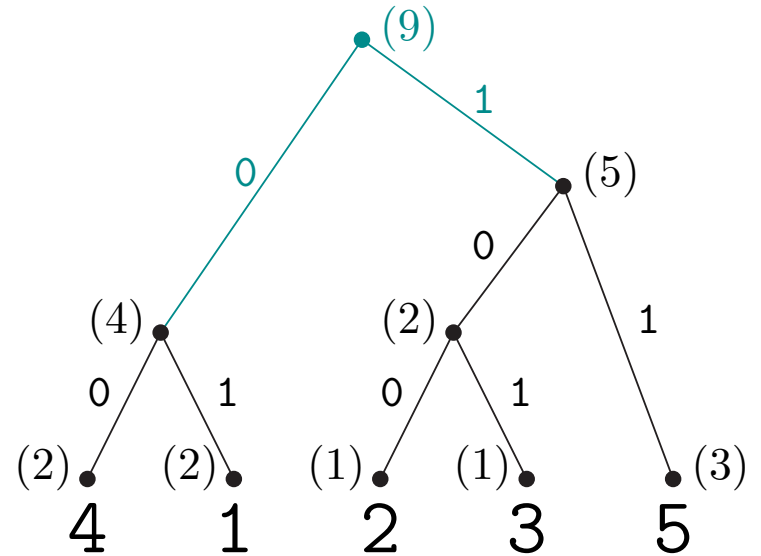


# Burrows-Wheeler-Transformation

## Kompression: Huffman Kodierung

$$T = 1 \text{ a } 1 \text{ a } n \text{ g } n \text{ g } \$$$
$$R = 3 \ 4 \ 1 \ 5 \ 1 \ 5 \ 4 \ 2 \ 5$$

| Symbol | Häufigkeit |
|--------|------------|
| 1      | 2          |
| 2      | 1          |
| 3      | 1          |
| 4      | 2          |
| 5      | 3          |

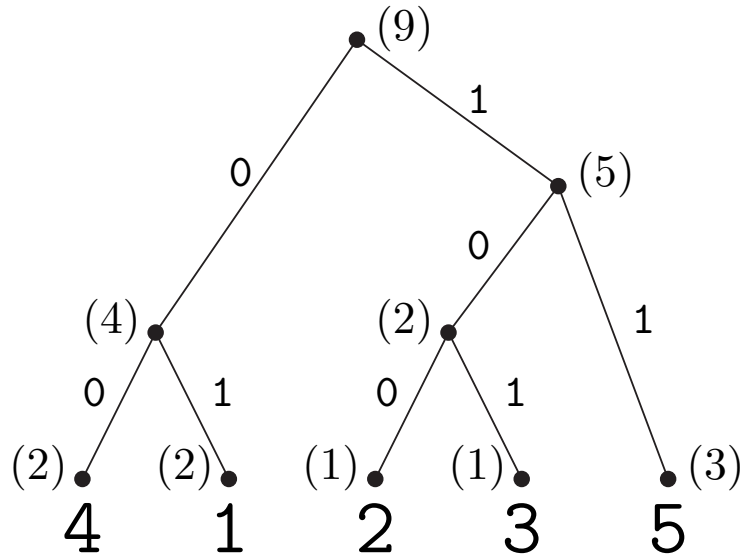


# Burrows-Wheeler-Transformation

## Kompression: Huffman Kodierung

$$T = 1 \text{ a } 1 \text{ a } n \text{ g } n \text{ g } \$$$
$$R = 3 \text{ 4 } 1 \text{ 5 } 1 \text{ 5 } 4 \text{ 2 } 5$$

| Symbol | Häufigkeit | Code |
|--------|------------|------|
| 1      | 2          | 01   |
| 2      | 1          | 100  |
| 3      | 1          | 101  |
| 4      | 2          | 00   |
| 5      | 3          | 11   |

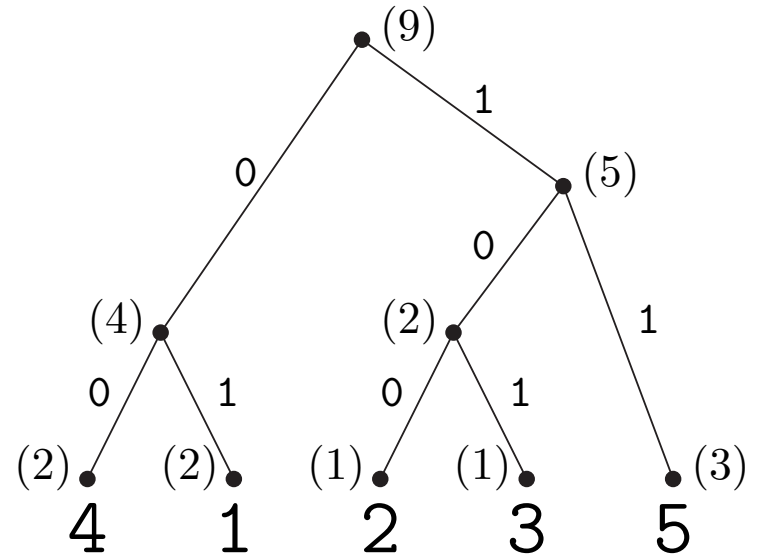


# Burrows-Wheeler-Transformation

## Kompression: Huffman Kodierung

$T = 1 \text{ a } 1 \text{ a } n \text{ g } n \text{ g } \$$   
 $R = 3 \text{ 4 } 1 \text{ 5 } 1 \text{ 5 } 4 \text{ 2 } 5$   
101 00 01 11 01 11 00 100 11 20 Bits

| Symbol | Häufigkeit | Code |
|--------|------------|------|
| 1      | 2          | 01   |
| 2      | 1          | 100  |
| 3      | 1          | 101  |
| 4      | 2          | 00   |
| 5      | 3          | 11   |

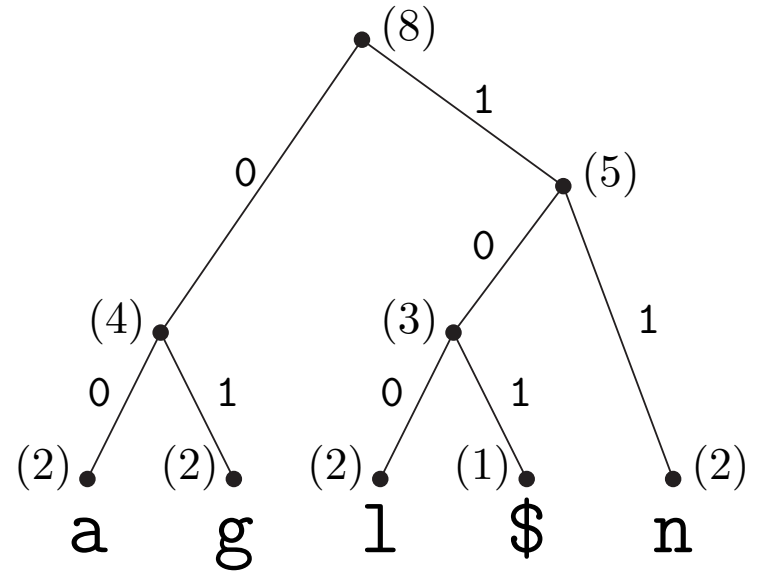


# Burrows-Wheeler-Transformation

## Kompression: Huffman Kodierung

$T = l \text{ a } l \text{ a } n \text{ g } n \text{ g } \$$   
100 00 100 00 11 01 11 01 101 21 Bits

| Symbol | Häufigkeit | Code |
|--------|------------|------|
| \$     | 1          | 101  |
| a      | 2          | 00   |
| g      | 2          | 01   |
| l      | 2          | 100  |
| n      | 2          | 11   |



# **Burrows-Wheeler-Transformation**

## **Zusammenfassung**

- erzeugt (sinnvolle) **Permutation** der Eingabe  
(gruppiert Zeichen mit ähnlichem Kontext nahe beieinander)
- **keine Zusatzinformation** für Rücktransformation nötig  
(alle Informationen in Struktur der Permutation)
- Hin- und Rücktransformation in  $\mathcal{O}(n)$   
(einfache Papier-und-Bleistift-Methode existiert auch)
- **Vorverarbeitung** (statischer) Texte  
(Komprimierung, Indizierung, Suche)

# Suche in der Burrows-Wheeler-Transformation

## Ferragina & Manzini (2000)

- Index basierend auf der Burrows-Wheeler-Transformation (BWT)
- Vergleich des Musters von rechts nach links
- Zeitkomplexität:  $\mathcal{O}(m \log \sigma)$

### BWT

- $BWT[i] = \mathcal{T}[SA[i] - 1 \bmod n]$
- Unkomprimierte Größe:  $n \log \sigma$  Bits
- Komprimierte Größe:  $nH_k(\mathcal{T})$  Bits (+Kontextinformation)

# Backward Search

| $i$ | $SA[i]$ | BWT | $\mathcal{T}[SA[i]..n - 1]$ |
|-----|---------|-----|-----------------------------|
| 0   | 18      | a   | \$                          |
| 1   | 17      | r   | a\$                         |
| 2   | 10      | r   | abarbara\$                  |
| 3   | 7       | d   | abrabarbara\$               |
| 4   | 0       | \$  | abracadabrabarbara\$        |
| 5   | 3       | r   | acadabrabarbara\$           |
| 6   | 5       | c   | adabrabarbara\$             |
| 7   | 15      | b   | ara\$                       |
| 8   | 12      | b   | arbara\$                    |
| 9   | 14      | r   | bara\$                      |
| 10  | 11      | a   | barbara\$                   |
| 11  | 8       | a   | brabarbara\$                |
| 12  | 1       | a   | bracadabrabarbara\$         |
| 13  | 4       | a   | cadabrabarbara\$            |
| 14  | 6       | a   | dabrabarbara\$              |
| 15  | 16      | a   | ra\$                        |
| 16  | 9       | b   | rabarbara\$                 |
| 17  | 2       | b   | racadabrabarbara\$          |
| 18  | 13      | a   | rbara\$                     |

- $BWT[i] = \mathcal{T}[SA[i] - 1]$ , for  $SA[i] > 0$
- $BWT[i] = \mathcal{T}[n - 1]$ , for  $SA[i] = 0$
- I.e.  $BWT[i]$  is the character preceding suffix  $SA[i]$

# Backward Search

| $i$ | BWT | $\mathcal{T}[SA[i]..n - 1]$ |
|-----|-----|-----------------------------|
| 0   | a   | \$                          |
| 1   | r   | a\$                         |
| 2   | r   | abarbara\$                  |
| 3   | d   | abrabarbara\$               |
| 4   | \$  | abracadabrabarbara\$        |
| 5   | r   | acadabrabarbara\$           |
| 6   | c   | adabrabarbara\$             |
| 7   | b   | ara\$                       |
| 8   | b   | arbara\$                    |
| 9   | r   | bara\$                      |
| 10  | a   | barbara\$                   |
| 11  | a   | brabarbbara\$               |
| 12  | a   | bracadabrabarbara\$         |
| 13  | a   | cadabrabarbara\$            |
| 14  | a   | dabrabarbara\$              |
| 15  | a   | ra\$                        |
| 16  | b   | rabarbbara\$                |
| 17  | b   | racadabrabarbara\$          |
| 18  | a   | rbara\$                     |

Array  $C$  contains for each  $c \in \Sigma$  the position of the first suffix in  $SA$  which starts with  $c$ :

|  | \$ | a | b | c  | d  | r  | r+1 |
|--|----|---|---|----|----|----|-----|
|  | 0  | 1 | 9 | 13 | 14 | 15 | 19  |

- Operation  $rank(i, X, BWT)$  returns how often character  $X \in \Sigma$  occurs in the prefix  $BWT[0..i - 1]$ .
- Example: search for  $\mathcal{P} = bar$ .

# Backward Search

| $i$ | BWT | $\mathcal{T}[SA[i]..n - 1]$ |
|-----|-----|-----------------------------|
| 0   | a   | \$                          |
| 1   | r   | a\$                         |
| 2   | r   | abarbara\$                  |
| 3   | d   | abrabarbara\$               |
| 4   | \$  | abracadabrabarbara\$        |
| 5   | r   | acadabrabarbara\$           |
| 6   | c   | adabrabarbara\$             |
| 7   | b   | ara\$                       |
| 8   | b   | arbara\$                    |
| 9   | r   | bara\$                      |
| 10  | a   | barbara\$                   |
| 11  | a   | brabarbara\$                |
| 12  | a   | bracadabrabarbara\$         |
| 13  | a   | cadabrabarbara\$            |
| 14  | a   | dabrabarbara\$              |
| 15  | a   | ra\$                        |
| 16  | b   | rabarbara\$                 |
| 17  | b   | racadabrabarbara\$          |
| 18  | a   | rbara\$                     |

| C | \$ | a | b | c  | d  | r  |
|---|----|---|---|----|----|----|
|   | 0  | 1 | 9 | 13 | 14 | 15 |

- Search backwards for  $bar$ .
- Initial interval:  $[sp_0, ep_0] = [0..n - 1]$
- Determine interval for  $r$ :  

$$sp_1 = C[r] + rank(sp_0, r, BWT)$$

$$ep_1 = C[r] + rank(ep_0 + 1, r, BWT) - 1$$

# Backward Search

| $i$ | BWT | $\mathcal{T}[SA[i]..n - 1]$ |
|-----|-----|-----------------------------|
| 0   | a   | \$                          |
| 1   | r   | a\$                         |
| 2   | r   | abarbara\$                  |
| 3   | d   | abrabarbara\$               |
| 4   | \$  | abracadabrabarbara\$        |
| 5   | r   | acadabrabarbara\$           |
| 6   | c   | adabrabarbara\$             |
| 7   | b   | ara\$                       |
| 8   | b   | arbara\$                    |
| 9   | r   | bara\$                      |
| 10  | a   | barbara\$                   |
| 11  | a   | brabarbara\$                |
| 12  | a   | bracadabrabarbara\$         |
| 13  | a   | cadabrabarbara\$            |
| 14  | a   | dabrabarbara\$              |
| 15  | a   | ra\$                        |
| 16  | b   | rabarbara\$                 |
| 17  | b   | racadabrabarbara\$          |
| 18  | a   | rbara\$                     |

| C | \$ | a | b | c  | d  | r  |
|---|----|---|---|----|----|----|
|   | 0  | 1 | 9 | 13 | 14 | 15 |

- Search backwards for  $bar$ .
- Initial interval:  $[sp_0, ep_0] = [0..n - 1]$
- Determine interval for  $r$ :  
 $sp_1 = 15 + rank(0, r, BWT)$   
 $ep_1 = 15 + rank(19, r, BWT)$

# Backward Search

| $i$ | BWT | $\mathcal{T}[SA[i]..n - 1]$ |
|-----|-----|-----------------------------|
| 0   | a   | \$                          |
| 1   | r   | a\$                         |
| 2   | r   | abarbara\$                  |
| 3   | d   | abrabarbara\$               |
| 4   | \$  | abracadabrabarbara\$        |
| 5   | r   | acadabrabarbara\$           |
| 6   | c   | adabrabarbara\$             |
| 7   | b   | ara\$                       |
| 8   | b   | arbara\$                    |
| 9   | r   | bara\$                      |
| 10  | a   | barbara\$                   |
| 11  | a   | brabarbara\$                |
| 12  | a   | bracadabrabarbara\$         |
| 13  | a   | cadabrabarbara\$            |
| 14  | a   | dabrabarbara\$              |
| 15  | a   | ra\$                        |
| 16  | b   | rabarbara\$                 |
| 17  | b   | racadabrabarbara\$          |
| 18  | a   | rbara\$                     |

| C | \$ | a | b | c  | d  | r  |
|---|----|---|---|----|----|----|
|   | 0  | 1 | 9 | 13 | 14 | 15 |

- Search backwards for  $bar$ .
- Initial interval:  $[sp_0, ep_0] = [0..n - 1]$
- Determine interval for  $r$ :  
 $sp_1 = 15 + 0$   
 $ep_1 = 15 + rank(19, r, BWT) - 1$

# Backward Search

| $i$ | BWT | $\mathcal{T}[SA[i]..n - 1]$ |
|-----|-----|-----------------------------|
| 0   | a   | \$                          |
| 1   | r   | a\$                         |
| 2   | r   | abarbara\$                  |
| 3   | d   | abrabarbara\$               |
| 4   | \$  | abracadabrabarbara\$        |
| 5   | r   | acadabrabarbara\$           |
| 6   | c   | adabrabarbara\$             |
| 7   | b   | ara\$                       |
| 8   | b   | arbara\$                    |
| 9   | r   | bara\$                      |
| 10  | a   | barbara\$                   |
| 11  | a   | brabarbara\$                |
| 12  | a   | bracadabrabarbara\$         |
| 13  | a   | cadabrabarbara\$            |
| 14  | a   | dabrabarbara\$              |
| 15  | a   | ra\$                        |
| 16  | b   | rabarbara\$                 |
| 17  | b   | racadabrabarbara\$          |
| 18  | a   | rbara\$                     |

| C | \$ | a | b | c  | d  | r  |
|---|----|---|---|----|----|----|
|   | 0  | 1 | 9 | 13 | 14 | 15 |

- Search backwards for  $bar$ .
- Initial interval:  $[sp_0, ep_0] = [0..n - 1]$
- Determine interval for  $r$ :  
 $sp_1 = 15 + 0 = 15$   
 $ep_1 = 15 + 4 - 1 = 18$

# Backward Search

| $i$ | BWT | $\mathcal{T}[SA[i]..n - 1]$ |
|-----|-----|-----------------------------|
| 0   | a   | \$                          |
| 1   | r   | a\$                         |
| 2   | r   | abarbara\$                  |
| 3   | d   | abrabarbara\$               |
| 4   | \$  | abracadabrabarbara\$        |
| 5   | r   | acadabrabarbara\$           |
| 6   | c   | adabrabarbara\$             |
| 7   | b   | ara\$                       |
| 8   | b   | arbara\$                    |
| 9   | r   | bara\$                      |
| 10  | a   | barbara\$                   |
| 11  | a   | brabarbara\$                |
| 12  | a   | bracadabrabarbara\$         |
| 13  | a   | cadabrabarbara\$            |
| 14  | a   | dabrabarbara\$              |
| 15  | a   | ra\$                        |
| 16  | b   | rabarbara\$                 |
| 17  | b   | racadabrabarbara\$          |
| 18  | a   | rbara\$                     |

| C | \$ | a | b | c  | d  | r  |
|---|----|---|---|----|----|----|
|   | 0  | 1 | 9 | 13 | 14 | 15 |

- Search backwards for  $bar$ .
- Interval:  $[sp_1, ep_1] = [15..18]$
- Determine interval for  $ar$ :  
 $sp_2 = C[a] + rank(sp_1, a, BWT)$   
 $ep_2 = C[a] + rank(ep_1 + 1, a, BWT) - 1$

# Backward Search

| $i$ | BWT | $\mathcal{T}[SA[i]..n - 1]$ |
|-----|-----|-----------------------------|
| 0   | a   | \$                          |
| 1   | r   | a\$                         |
| 2   | r   | abarbara\$                  |
| 3   | d   | abrabarbara\$               |
| 4   | \$  | abracadabrabarbara\$        |
| 5   | r   | acadabrabarbara\$           |
| 6   | c   | adabrabarbara\$             |
| 7   | b   | ara\$                       |
| 8   | b   | arbara\$                    |
| 9   | r   | bara\$                      |
| 10  | a   | barbara\$                   |
| 11  | a   | brabarbara\$                |
| 12  | a   | bracadabrabarbara\$         |
| 13  | a   | cadabrabarbara\$            |
| 14  | a   | dabrabarbara\$              |
| 15  | a   | ra\$                        |
| 16  | b   | rabarbara\$                 |
| 17  | b   | racadabrabarbara\$          |
| 18  | a   | rbara\$                     |

| C | \$ | a | b | c  | d  | r  |
|---|----|---|---|----|----|----|
|   | 0  | 1 | 9 | 13 | 14 | 15 |

- Search backwards for  $bar$ .
- Interval:  $[sp_1, ep_1] = [15..18]$
- Determine interval for  $ar$ :  
 $sp_2 = 1 + rank(15, a, BWT)$   
 $ep_2 = 1 + rank(ep_1, a, BWT)$

# Backward Search

| $i$ | BWT | $\mathcal{T}[SA[i]..n - 1]$ |
|-----|-----|-----------------------------|
| 0   | a   | \$                          |
| 1   | r   | a\$                         |
| 2   | r   | abarbara\$                  |
| 3   | d   | abrabarbara\$               |
| 4   | \$  | abracadabrabarbara\$        |
| 5   | r   | acadabrabarbara\$           |
| 6   | c   | adabrabarbara\$             |
| 7   | b   | ara\$                       |
| 8   | b   | arbara\$                    |
| 9   | r   | bara\$                      |
| 10  | a   | barbara\$                   |
| 11  | a   | brabarbara\$                |
| 12  | a   | bracadabrabarbara\$         |
| 13  | a   | cadabrabarbara\$            |
| 14  | a   | dabrabarbara\$              |
| 15  | a   | ra\$                        |
| 16  | b   | rabarbara\$                 |
| 17  | b   | racadabrabarbara\$          |
| 18  | a   | rbara\$                     |

| C | \$ | a | b | c  | d  | r  |
|---|----|---|---|----|----|----|
|   | 0  | 1 | 9 | 13 | 14 | 15 |

- Search backwards for *bar*.
- Interval:  $[sp_1, ep_1] = [15..18]$
- Determine interval for *ar*:  
 $sp_2 = 1 + \text{rank}(15, a, BWT)$   
 $ep_2 = 1 + \text{rank}(ep_1, a, BWT)$

# Backward Search

| $i$ | BWT | $\mathcal{T}[SA[i]..n - 1]$ |
|-----|-----|-----------------------------|
| 0   | a   | \$                          |
| 1   | r   | a\$                         |
| 2   | r   | abarbara\$                  |
| 3   | d   | abrabarbara\$               |
| 4   | \$  | abracadabrabarbara\$        |
| 5   | r   | acadabrabarbara\$           |
| 6   | c   | adabrabarbara\$             |
| 7   | b   | ara\$                       |
| 8   | b   | arbara\$                    |
| 9   | r   | bara\$                      |
| 10  | a   | barbara\$                   |
| 11  | a   | brabarbara\$                |
| 12  | a   | bracadabrabarbara\$         |
| 13  | a   | cadabrabarbara\$            |
| 14  | a   | dabrabarbara\$              |
| 15  | a   | ra\$                        |
| 16  | b   | rabarbara\$                 |
| 17  | b   | racadabrabarbara\$          |
| 18  | a   | rbara\$                     |

| C | \$ | a | b | c  | d  | r  |
|---|----|---|---|----|----|----|
|   | 0  | 1 | 9 | 13 | 14 | 15 |

- Search backwards for *bar*.
- Interval:  $[sp_1, ep_1] = [15..18]$
- Determine interval for *ar*:  
 $sp_2 = 1+6$   
 $ep_2 = 1 + \text{rank}(19, a, BWT) - 1$

# Backward Search

| $i$ | BWT | $\mathcal{T}[SA[i]..n - 1]$ |
|-----|-----|-----------------------------|
| 0   | a   | \$                          |
| 1   | r   | a\$                         |
| 2   | r   | abarbara\$                  |
| 3   | d   | abrabarbara\$               |
| 4   | \$  | abracadabrabarbara\$        |
| 5   | r   | acadabrabarbara\$           |
| 6   | c   | adabrabarbara\$             |
| 7   | b   | ara\$                       |
| 8   | b   | arbara\$                    |
| 9   | r   | bara\$                      |
| 10  | a   | barbara\$                   |
| 11  | a   | brabarbara\$                |
| 12  | a   | bracadabrabarbara\$         |
| 13  | a   | cadabrabarbara\$            |
| 14  | a   | dabrabarbara\$              |
| 15  | a   | ra\$                        |
| 16  | b   | rabarbara\$                 |
| 17  | b   | racadabrabarbara\$          |
| 18  | a   | rbara\$                     |

| C | \$ | a | b | c  | d  | r  |
|---|----|---|---|----|----|----|
|   | 0  | 1 | 9 | 13 | 14 | 15 |

- Search backwards for *bar*.
- Interval:  $[sp_1, ep_1] = [15..18]$
- Determine interval for *ar*:  
 $sp_2 = 1 + 6 = 7$   
 $ep_2 = 1 + 8 - 1 = 8$

# Backward Search

| $i$ | BWT | $\mathcal{T}[SA[i]..n - 1]$ |
|-----|-----|-----------------------------|
| 0   | a   | \$                          |
| 1   | r   | a\$                         |
| 2   | r   | abarbara\$                  |
| 3   | d   | abrabarbara\$               |
| 4   | \$  | abracadabrabarbara\$        |
| 5   | r   | acadabrabarbara\$           |
| 6   | c   | adabrabarbara\$             |
| 7   | b   | ara\$                       |
| 8   | b   | arbara\$                    |
| 9   | r   | bara\$                      |
| 10  | a   | barbara\$                   |
| 11  | a   | brabarbara\$                |
| 12  | a   | bracadabrabarbara\$         |
| 13  | a   | cadabrabarbara\$            |
| 14  | a   | dabrabarbara\$              |
| 15  | a   | ra\$                        |
| 16  | b   | rabarbara\$                 |
| 17  | b   | racadabrabarbara\$          |
| 18  | a   | rbara\$                     |

| C  |   |   |    |    |    |  |
|----|---|---|----|----|----|--|
| \$ | a | b | c  | d  | r  |  |
| 0  | 1 | 9 | 13 | 14 | 15 |  |

- Search backwards for *bar*.
- Interval:  $[sp_2, ep_2] = [7..8]$
- Determine interval for *bar*:  

$$sp_3 = C[b] + rank(sp_2, b, BWT)$$

$$ep_3 = C[b] + rank(ep_2 + 1, b, BWT) - 1$$

# Backward Search

| $i$ | BWT | $\mathcal{T}[SA[i]..n - 1]$ |
|-----|-----|-----------------------------|
| 0   | a   | \$                          |
| 1   | r   | a\$                         |
| 2   | r   | abarbara\$                  |
| 3   | d   | abrabarbara\$               |
| 4   | \$  | abracadabrabarbara\$        |
| 5   | r   | acadabrabarbara\$           |
| 6   | c   | adabrabarbara\$             |
| 7   | b   | ara\$                       |
| 8   | b   | arbara\$                    |
| 9   | r   | bara\$                      |
| 10  | a   | barbara\$                   |
| 11  | a   | brabarbara\$                |
| 12  | a   | bracadabrabarbara\$         |
| 13  | a   | cadabrabarbara\$            |
| 14  | a   | dabrabarbara\$              |
| 15  | a   | ra\$                        |
| 16  | b   | rabarbara\$                 |
| 17  | b   | racadabrabarbara\$          |
| 18  | a   | rbara\$                     |

| C  |   |   |    |    |    |  |
|----|---|---|----|----|----|--|
| \$ | a | b | c  | d  | r  |  |
| 0  | 1 | 9 | 13 | 14 | 15 |  |

- Search backwards for *bar*.
- Interval:  $[sp_2, ep_2] = [7..8]$
- Determine interval for *bar*:  
 $sp_3 = 9 + rank(7, b, BWT)$   
 $ep_3 = 9 + rank(ep_1, b, BWT)$

# Backward Search

| $i$ | BWT | $\mathcal{T}[SA[i]..n - 1]$ |
|-----|-----|-----------------------------|
| 0   | a   | \$                          |
| 1   | r   | a\$                         |
| 2   | r   | abarbara\$                  |
| 3   | d   | abrabarbara\$               |
| 4   | \$  | abracadabrabarbara\$        |
| 5   | r   | acadabrabarbara\$           |
| 6   | c   | adabrabarbara\$             |
| 7   | b   | ara\$                       |
| 8   | b   | arbara\$                    |
| 9   | r   | bara\$                      |
| 10  | a   | barbara\$                   |
| 11  | a   | brabarbara\$                |
| 12  | a   | bracadabrabarbara\$         |
| 13  | a   | cadabrabarbara\$            |
| 14  | a   | dabrabarbara\$              |
| 15  | a   | ra\$                        |
| 16  | b   | rabarbara\$                 |
| 17  | b   | racadabrabarbara\$          |
| 18  | a   | rbara\$                     |

| C | \$ | a | b | c  | d  | r  |
|---|----|---|---|----|----|----|
|   | 0  | 1 | 9 | 13 | 14 | 15 |

- Search backwards for *bar*.
- Interval:  $[sp_2, ep_2] = [7..8]$
- Determine interval for *bar*:  
 $sp_3 = 9 + \text{rank}(7, b, BWT)$   
 $ep_3 = 9 + \text{rank}(ep_1, b, BWT)$

# Backward Search

| $i$ | BWT | $\mathcal{T}[SA[i]..n - 1]$ |
|-----|-----|-----------------------------|
| 0   | a   | \$                          |
| 1   | r   | a\$                         |
| 2   | r   | abarbara\$                  |
| 3   | d   | abrabarbara\$               |
| 4   | \$  | abracadabrabarbara\$        |
| 5   | r   | acadabrabarbara\$           |
| 6   | c   | adabrabarbara\$             |
| 7   | b   | ara\$                       |
| 8   | b   | arbara\$                    |
| 9   | r   | bara\$                      |
| 10  | a   | barbara\$                   |
| 11  | a   | brabarbara\$                |
| 12  | a   | bracadabrabarbara\$         |
| 13  | a   | cadabrabarbara\$            |
| 14  | a   | dabrabarbara\$              |
| 15  | a   | ra\$                        |
| 16  | b   | rabarbara\$                 |
| 17  | b   | racadabrabarbara\$          |
| 18  | a   | rbara\$                     |

| C | \$ | a | b | c  | d  | r  |
|---|----|---|---|----|----|----|
|   | 0  | 1 | 9 | 13 | 14 | 15 |

- Search backwards for *bar*.
- Interval:  $[sp_2, ep_2] = [7..8]$
- Determine interval for *bar*:  
 $sp_3 = 9 + 0$   
 $ep_3 = 9 + rank(9, b, BWT) - 1$

# Backward Search

| $i$ | BWT | $\mathcal{T}[SA[i]..n - 1]$ |
|-----|-----|-----------------------------|
| 0   | a   | \$                          |
| 1   | r   | a\$                         |
| 2   | r   | abarbara\$                  |
| 3   | d   | abrabarbara\$               |
| 4   | \$  | abracadabrabarbara\$        |
| 5   | r   | acadabrabarbara\$           |
| 6   | c   | adabrabarbara\$             |
| 7   | b   | ara\$                       |
| 8   | b   | arbara\$                    |
| 9   | r   | bara\$                      |
| 10  | a   | bara\$                      |
| 11  | a   | brabarbara\$                |
| 12  | a   | bracadabrabarbara\$         |
| 13  | a   | cadabrabarbara\$            |
| 14  | a   | dabrabarbara\$              |
| 15  | a   | ra\$                        |
| 16  | b   | rabarbara\$                 |
| 17  | b   | racadabrabarbara\$          |
| 18  | a   | rbara\$                     |

| C | \$ | a | b | c  | d  | r  |
|---|----|---|---|----|----|----|
|   | 0  | 1 | 9 | 13 | 14 | 15 |

- Search backwards for *bar*.
- Interval:  $[sp_2, ep_2] = [7..8]$
- Determine interval for *bar*:  
 $sp_3 = 9 + 0 = 9$   
 $ep_3 = 9 + 2 - 1 = 10$

# Backward Search

## Summary

- Only  $C$  and a data structure  $R$  supporting the *rank* operation on  $BWT$  are required for existence and count queries.
- Space:  $\sigma \log n$  bits for  $C$  + space for  $R$
- Time:  $\mathcal{O}(m \cdot t_{rank})$ , where  $t_{rank}$  is time for one rank operation.  
Independent from  $n$ ?
- Next: How to implement *rank*?

### Rank operation

- Constant time and  $o(n)$  extra space solution on bitvectors  
(Jacobson 1989)
- Solution on general sequences: Wavelet Tree  
(Grossi & Vitter 2003)

# Backward Search

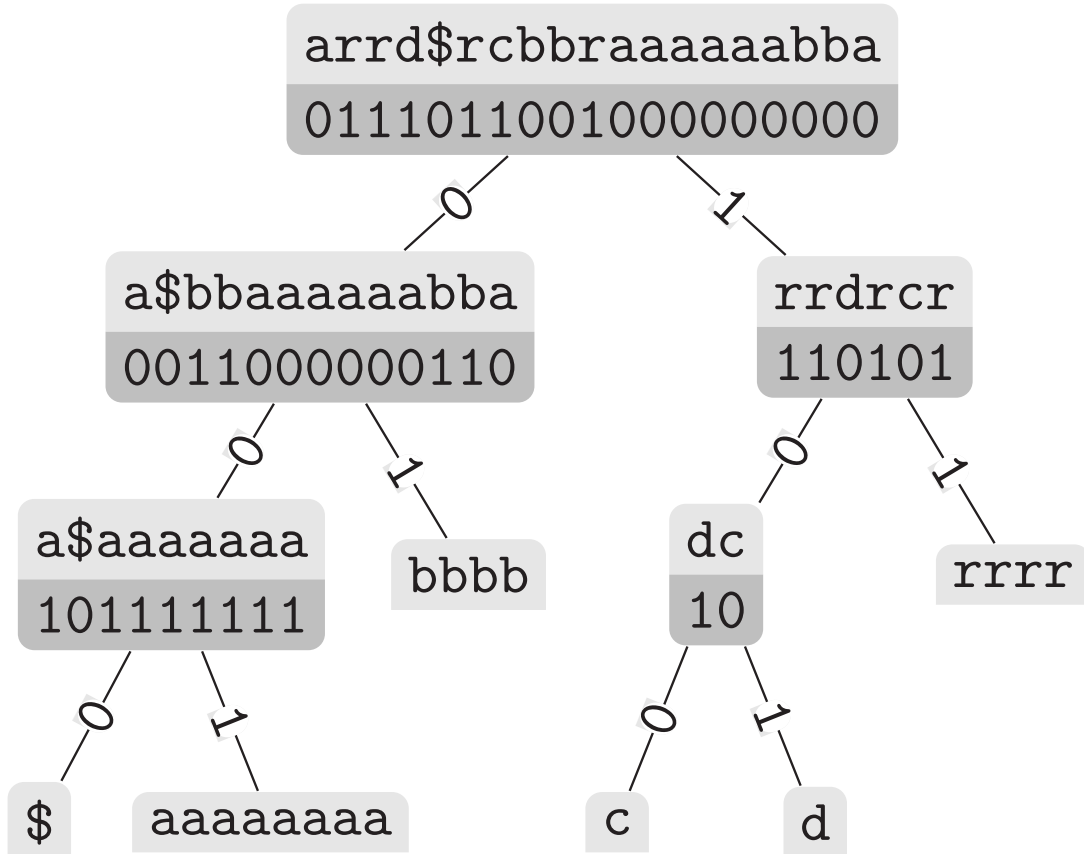
## Summary

- Only  $C$  and a data structure  $R$  supporting the *rank* operation on  $BWT$  are required for existence and count queries.
- Space:  $\sigma \log n$  bits for  $C$  + space for  $R$
- Time:  $\mathcal{O}(m \cdot t_{rank})$ , where  $t_{rank}$  is time for one rank operation.  
Independent from  $n$ ? If  $t_{rank}$  is independent from  $n$
- Next: How to implement *rank*?

### Rank operation

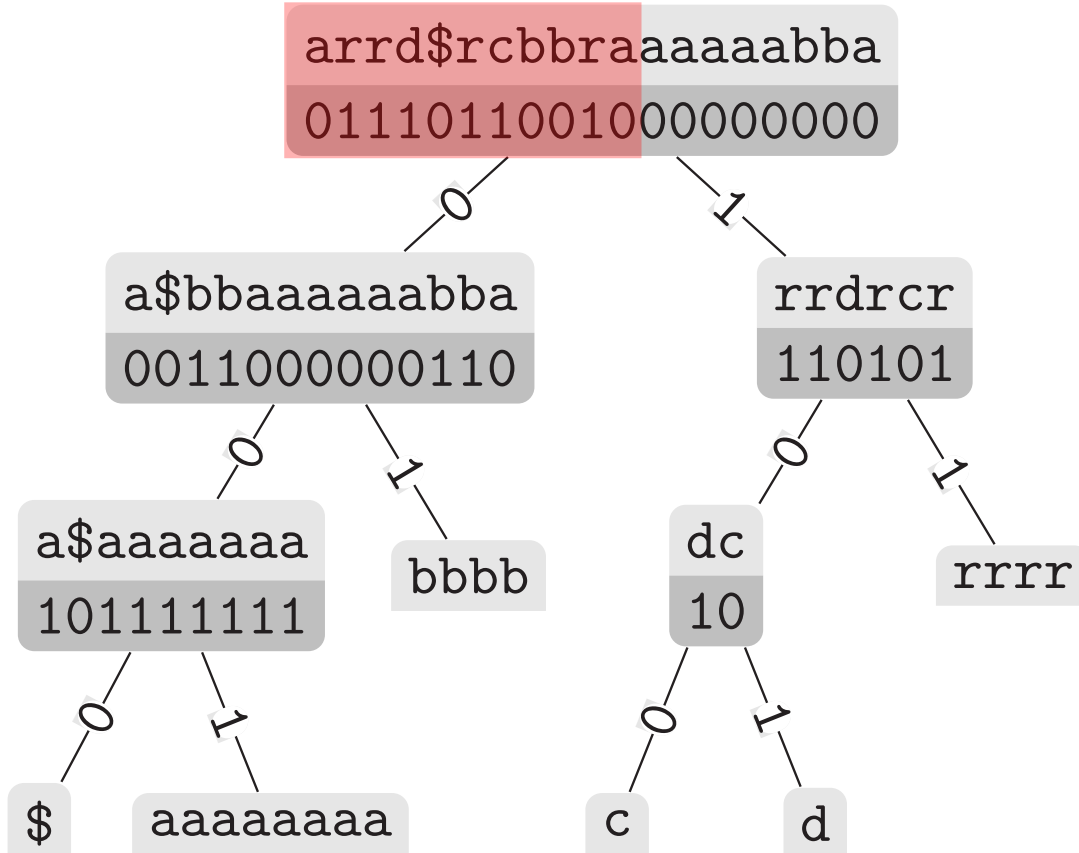
- Constant time and  $o(n)$  extra space solution on bitvectors  
(Jacobson 1989)
- Solution on general sequences: Wavelet Tree  
(Grossi & Vitter 2003)

# Wavelet Tree Example: Calculate Rank



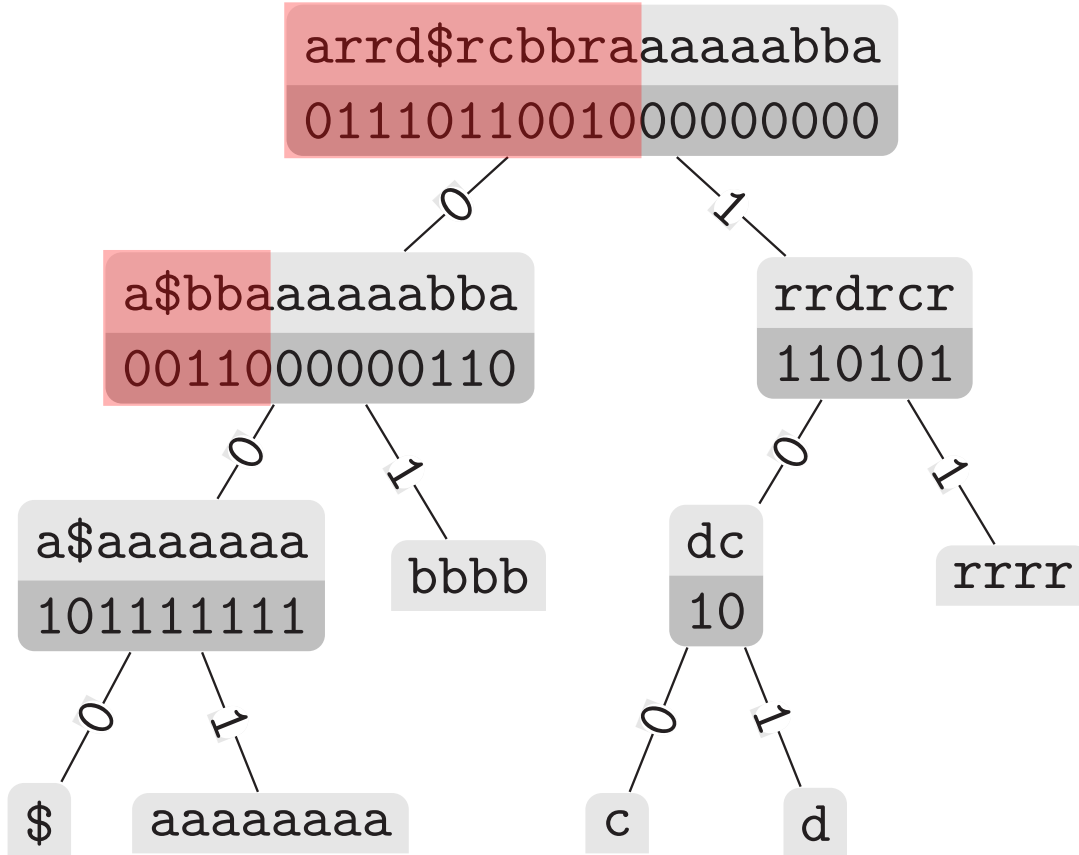
$$\text{rank}(11, a, WT) = \text{rank}(\text{rank}(\text{rank}(11, 0, b_\epsilon) = 5, 0, b_0) = 3, 1, b_{00}) = 2$$

# Wavelet Tree Example: Calculate Rank



$$\text{rank}(11, a, WT) = \text{rank}(\text{rank}(\text{rank}(11, 0, b_\epsilon) = 5, 0, b_0) = 3, 1, b_{00}) = 2$$

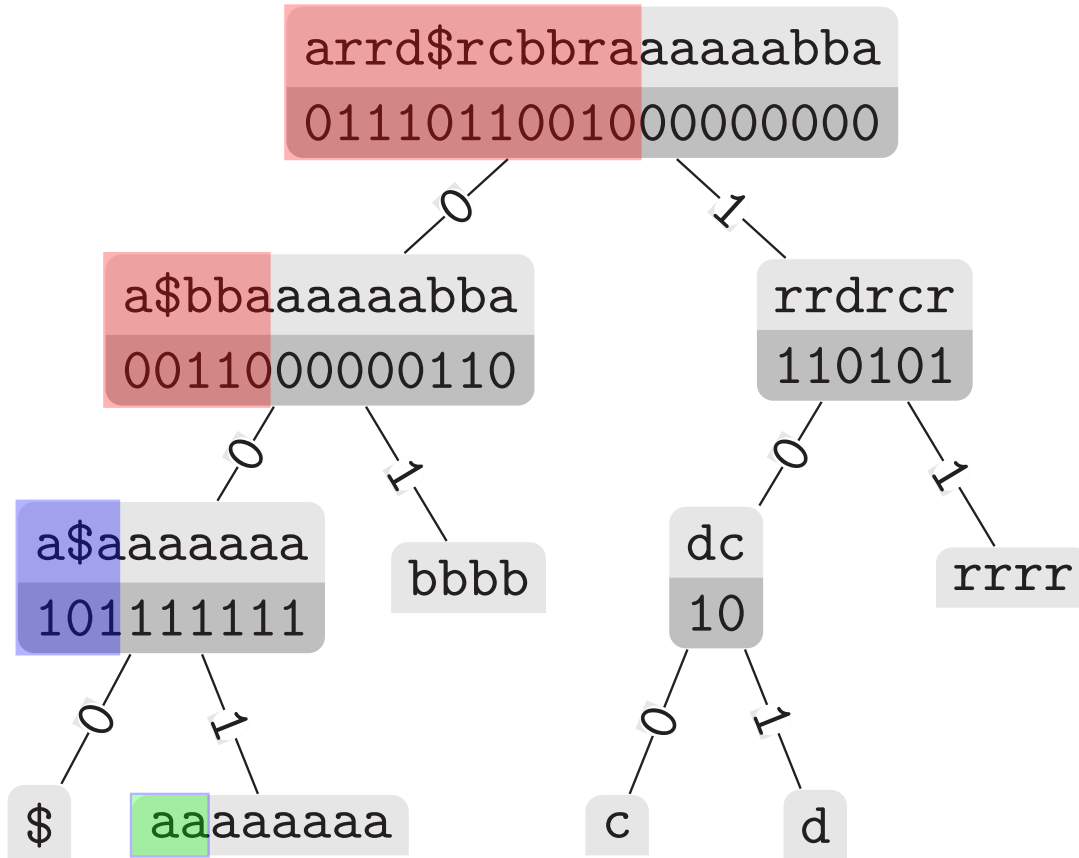
# Wavelet Tree Example: Calculate Rank



$$a = 001$$

$$\text{rank}(11, a, WT) = \text{rank}(\text{rank}(\text{rank}(11, 0, b_\epsilon) = 5, 0, b_0) = 3, 1, b_{00}) = 2$$

# Wavelet Tree Example: Calculate Rank



$$a = 001$$

$$\text{rank}(11, a, WT) = \text{rank}(\text{rank}(\text{rank}(11, 0, b_\epsilon) = 5, 0, b_0) = 3, 1, b_{00}) = 2$$

# $o(n)$ space / constant query time

- Given bitvector  $B$  of length  $n$  bits
- Divide  $B$  into superblocks of size  $L$
- For each superblock  $SB_j$  store  $\sum_{i=0}^{(j-1)L-1} B[i]$  in  $\log n$  bits
- Divide each superblock into blocks of size  $S$
- For each block  $B_k$  of superblock  $j$  store  $\sum_{i=(j-1)L}^{(j-1)L+kS-1} B[i]$  in  $\log L$  bits

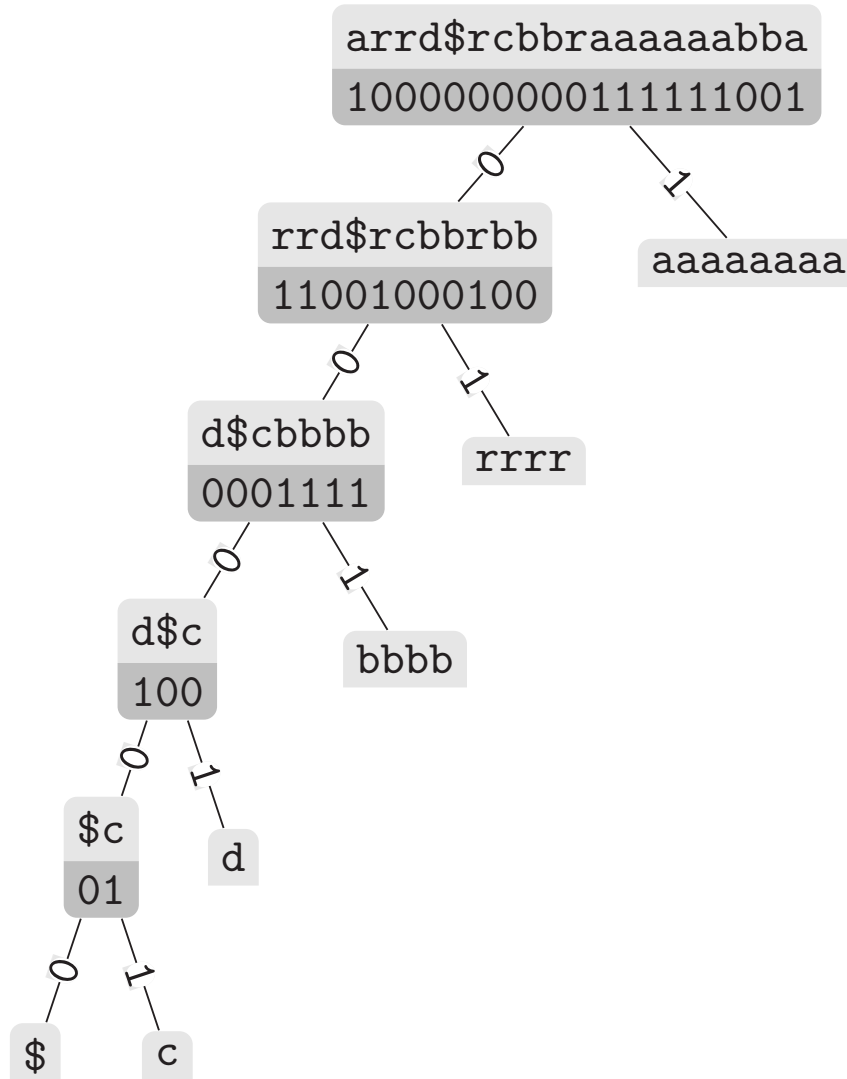
If blocks are small enough, we can pre-compute a table which stores all answers for every block and position (four Russian-Tick).

## Solution

- $L = \log^2 n$
- $S = \frac{1}{2} \log n$

Final space:  $\mathcal{O}\left(\frac{n}{\log n} + \frac{n \log \log n}{\log n} + \sqrt{n} \log n \log \log n\right)$  bits

# Huffman-shaped Wavelet Tree



| Char | c | <i>codeword(c)</i> |
|------|---|--------------------|
| \$   |   | 00000              |
| a    |   | 1                  |
| b    |   | 001                |
| c    |   | 00001              |
| d    |   | 0001               |
| r    |   | 01                 |

Avg. depth:  $H_0(BWT)$ . Total space:  $\approx nH_0 + 2\sigma \log n$  bits

# Practical Performance of FM-Index

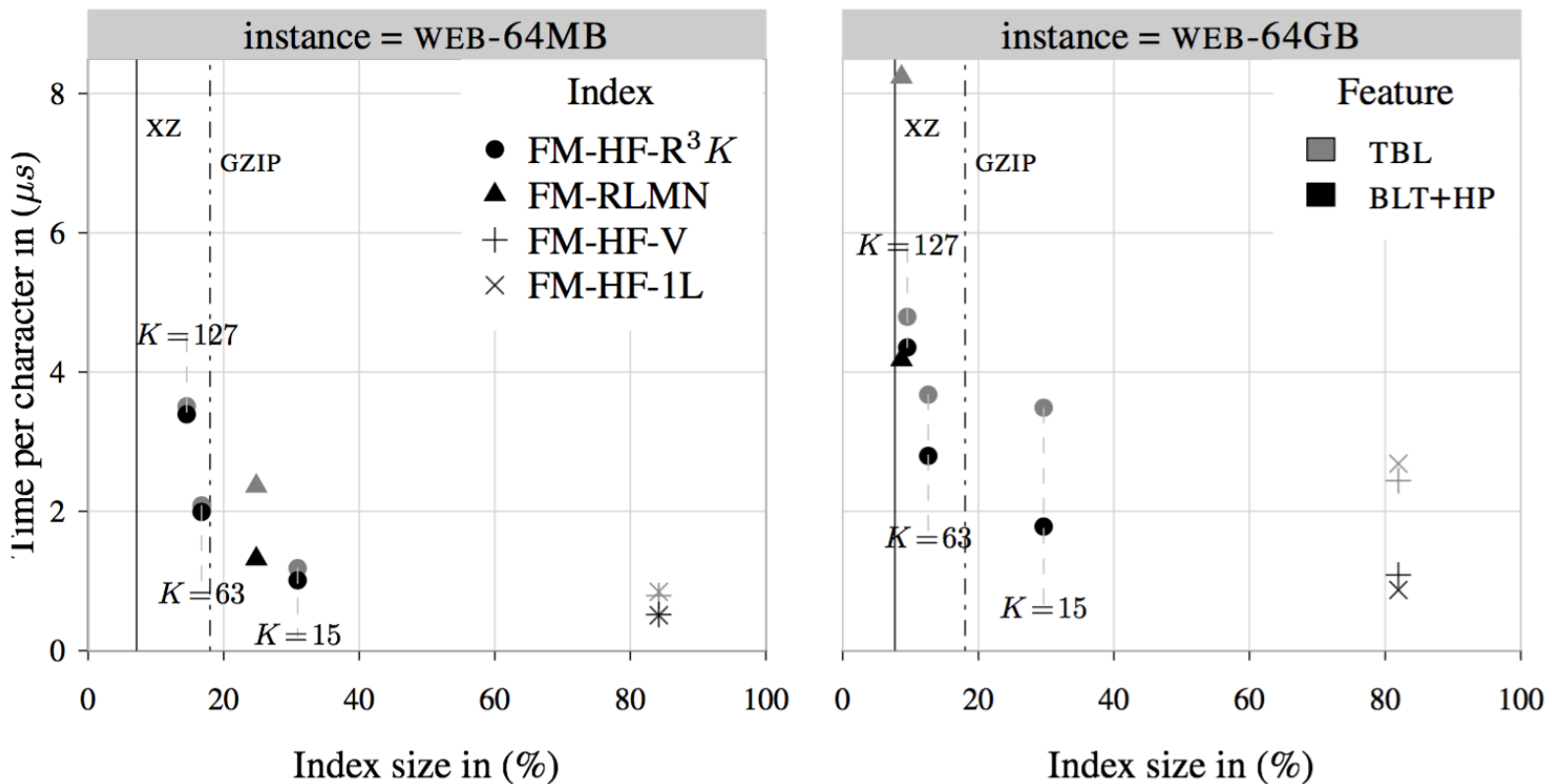


Figure 10. Count time and space of our index implementations on input instances of different size with compression effectiveness baselines using standard compression utilities XZ and GZIP with option --best.

# Succinct Data Structures

## Definition

A *succinct data structure* uses space „close” to the information-theoretical lower bound, but still supports operations time-efficiently.

Let  $L$  be the information-theoretical lower bound to represent a class of objects. Then a data structure which still supports time-efficient operations is called

- *implicit*, if it takes  $L + O(1)$  bits of space
- *succinct*, if it takes  $L + o(L)$  bits of space
- *compact*, if it takes  $O(L)$  bits of space

# Succinct representation of trees

- First consider binary trees
- Number of  $n$ -node binary trees:  $C_n = \frac{1}{n+1} \binom{2n}{n}$
- We need  $\log C_n = 2n + o(n)$  bits (using Sterling's Approximation)
- Operations:  $\text{parent}(v)$ ,  $\text{leftchild}(v)$ ,  $\text{rightchild}(v)$

# Succinct representation of trees

- First consider binary trees
- Number of  $n$ -node binary trees:  $C_n = \frac{1}{n+1} \binom{2n}{n}$
- We need  $\log C_n = 2n + o(n)$  bits (using Sterling's Approximation)
- Operations:  $\text{parent}(v)$ ,  $\text{leftchild}(v)$ ,  $\text{rightchild}(v)$

# Succinct representation of trees

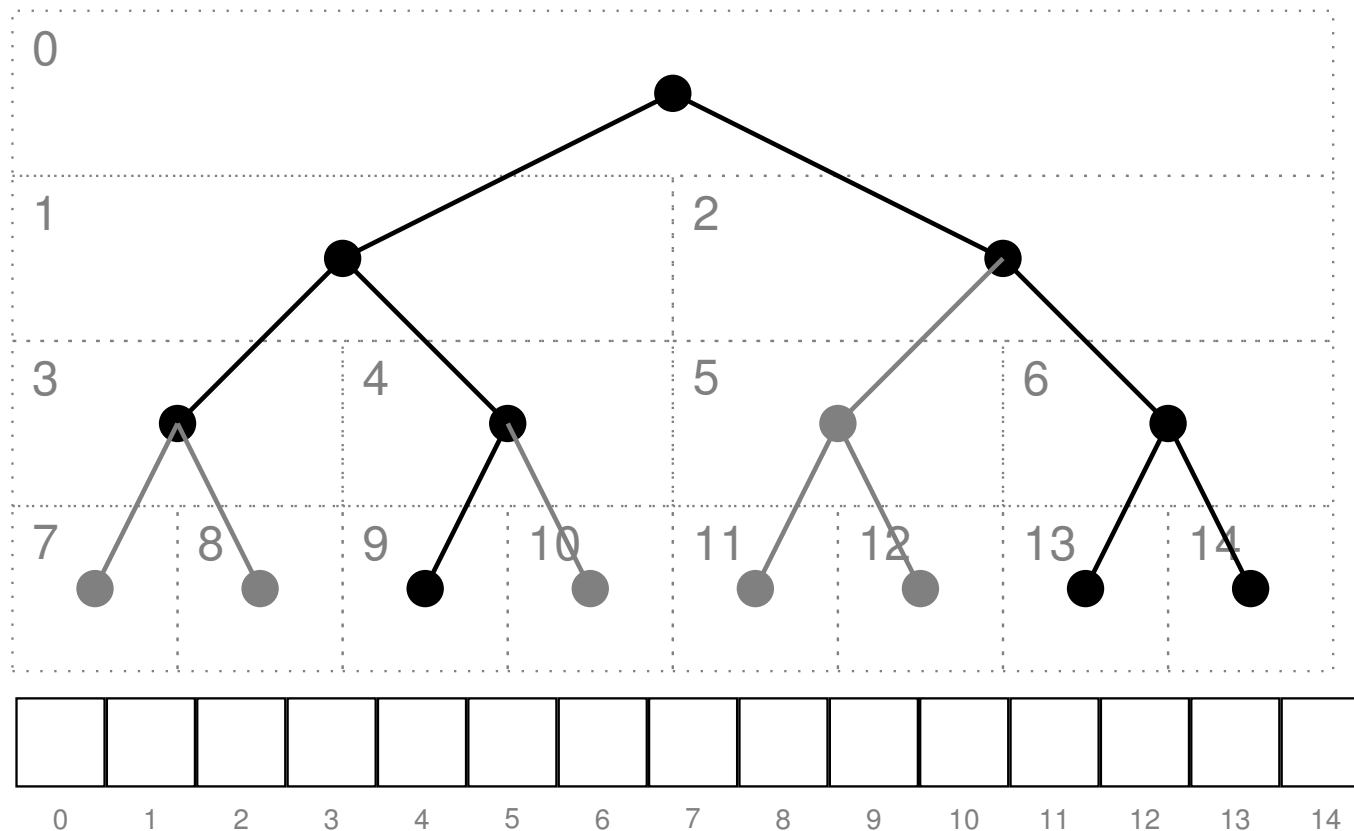
- First consider binary trees
- Number of  $n$ -node binary trees:  $C_n = \frac{1}{n+1} \binom{2n}{n}$
- We need  $\log C_n = 2n + o(n)$  bits (using Sterling's Approximation)
- Operations:  $\text{parent}(v)$ ,  $\text{leftchild}(v)$ ,  $\text{rightchild}(v)$

# Succinct representation of trees

- First consider binary trees
- Number of  $n$ -node binary trees:  $C_n = \frac{1}{n+1} \binom{2n}{n}$
- We need  $\log C_n = 2n + o(n)$  bits (using Sterling's Approximation)
- Operations:  $\text{parent}(v)$ ,  $\text{leftchild}(v)$ ,  $\text{rightchild}(v)$

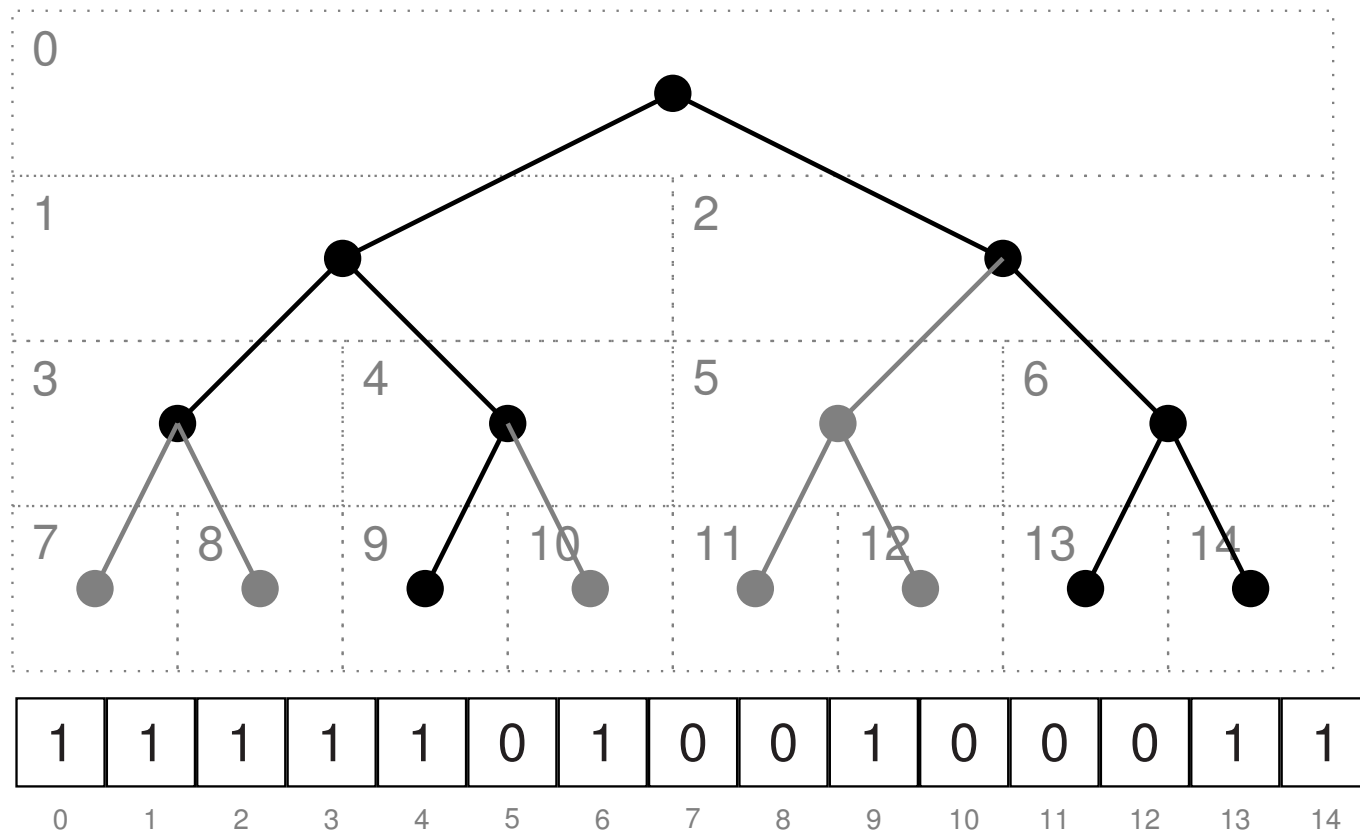
# Succinct representation of trees

- First consider binary trees
- Number of  $n$ -node binary trees:  $C_n = \frac{1}{n+1} \binom{2n}{n}$
- We need  $\log C_n = 2n + o(n)$  bits (using Sterling's Approximation)
- Operations:  $\text{parent}(v)$ ,  $\text{leftchild}(v)$ ,  $\text{rightchild}(v)$



# Succinct representation of trees

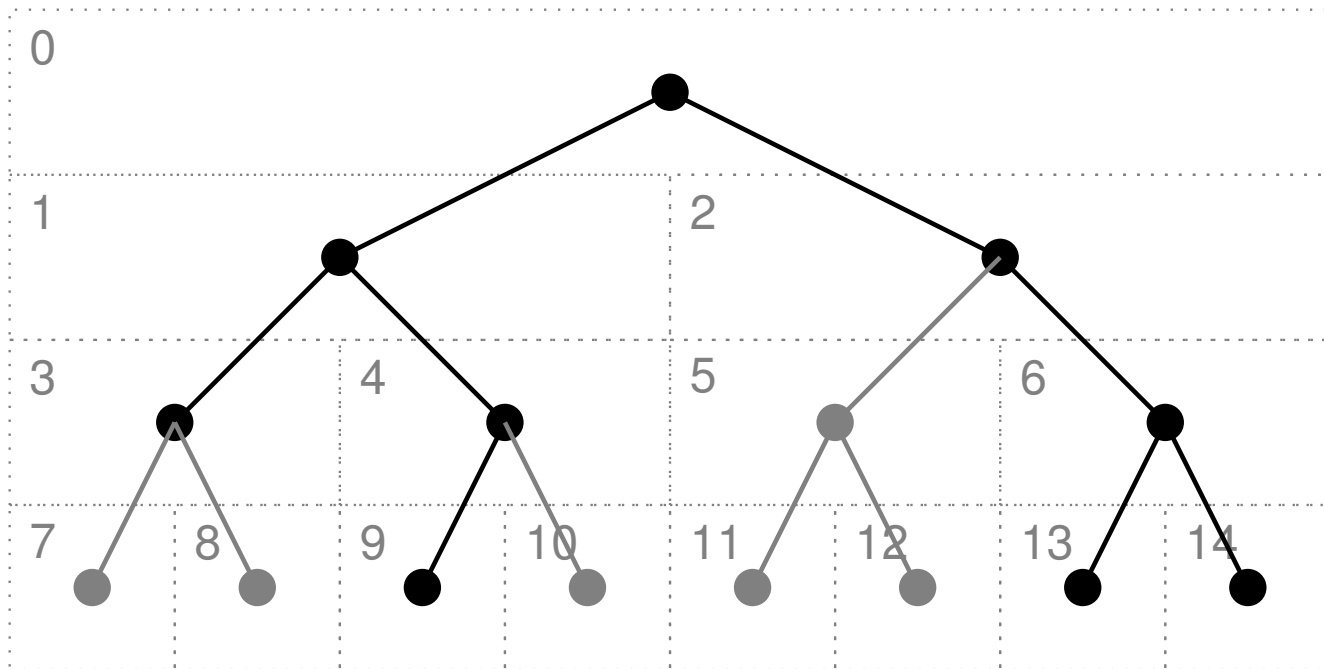
- First consider binary trees
- Number of  $n$ -node binary trees:  $C_n = \frac{1}{n+1} \binom{2n}{n}$
- We need  $\log C_n = 2n + o(n)$  bits (using Sterling's Approximation)
- Operations:  $\text{parent}(v)$ ,  $\text{leftchild}(v)$ ,  $\text{rightchild}(v)$



# Succinct representation of trees

- In a very balanced binary tree (like in a heap) operations are easy
- Let 0 be the root identifier
  - $\text{parent}(v) = \lfloor \frac{v-1}{2} \rfloor$  for  $v > 0$
  - $\text{leftchild}(v) = 2v + 1$
  - $\text{rightchild}(v) = 2v + 2$

# Child operation in detail

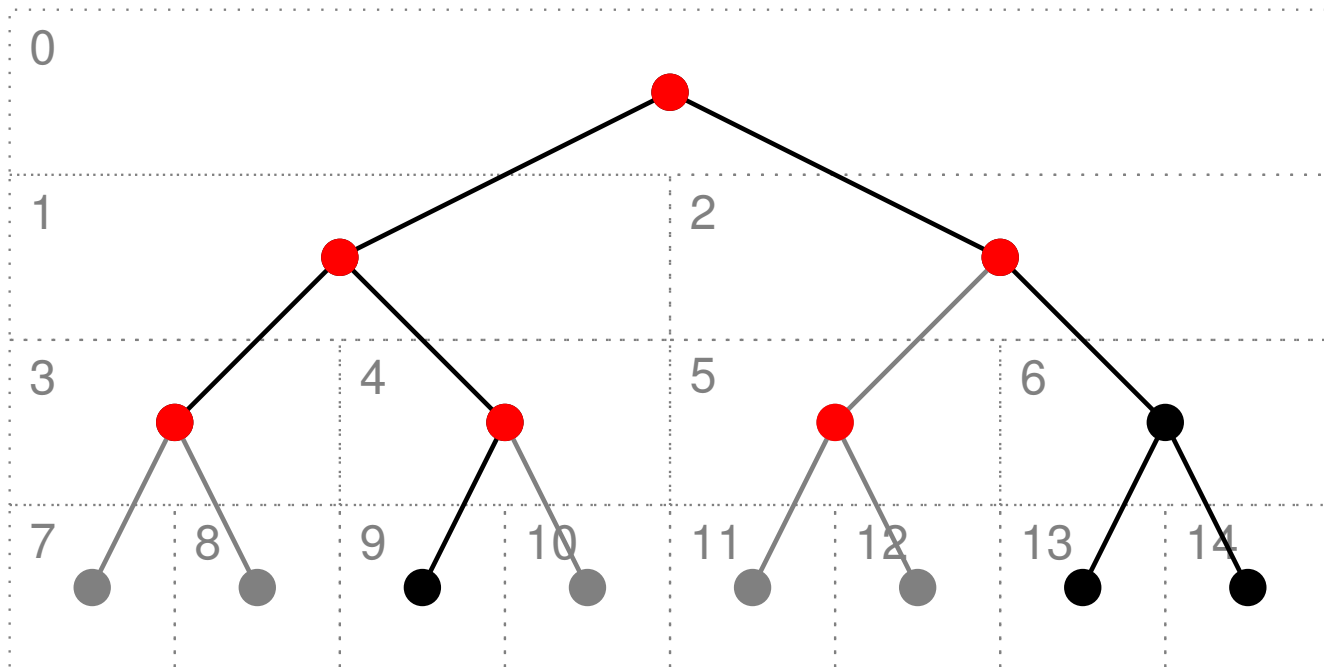


$w = \text{leftchild}(v)$

- Mark  $P(v)$
- $P(w) = \{ \text{children of } P(v) \} \cup \{ w \}$
- $w$  is at position  
 $|P(w)| = 2P(v) + 1 = 2v + 1$

- Let  $\delta(v)$  be the distance of a node  $v$  to the root node
- $P(v) := \{ w \mid \delta(w) \leq \delta(v) \wedge w < v \}$
- Note:  $|P(v)| = v$

# Child operation in detail

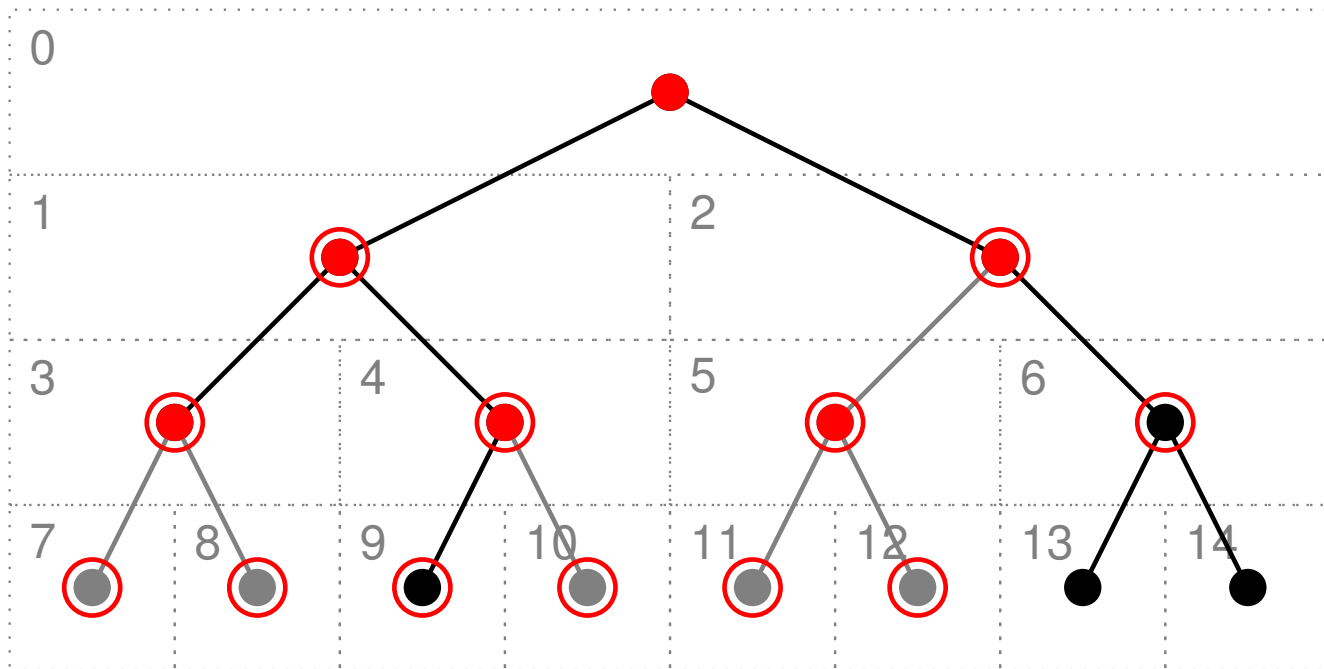


$w = \text{leftchild}(v)$

- Mark  $P(v)$
- $P(w) = \{w \mid \delta(w) \leq \delta(v) \wedge w < v\}$
- $w$  is at position  
 $|P(w)| = 2P(v) + 1 = 2v + 1$

- Let  $\delta(v)$  be the distance of a node  $v$  to the root node
- $P(v) := \{w \mid \delta(w) \leq \delta(v) \wedge w < v\}$
- Note:  $|P(v)| = v$

# Child operation in detail

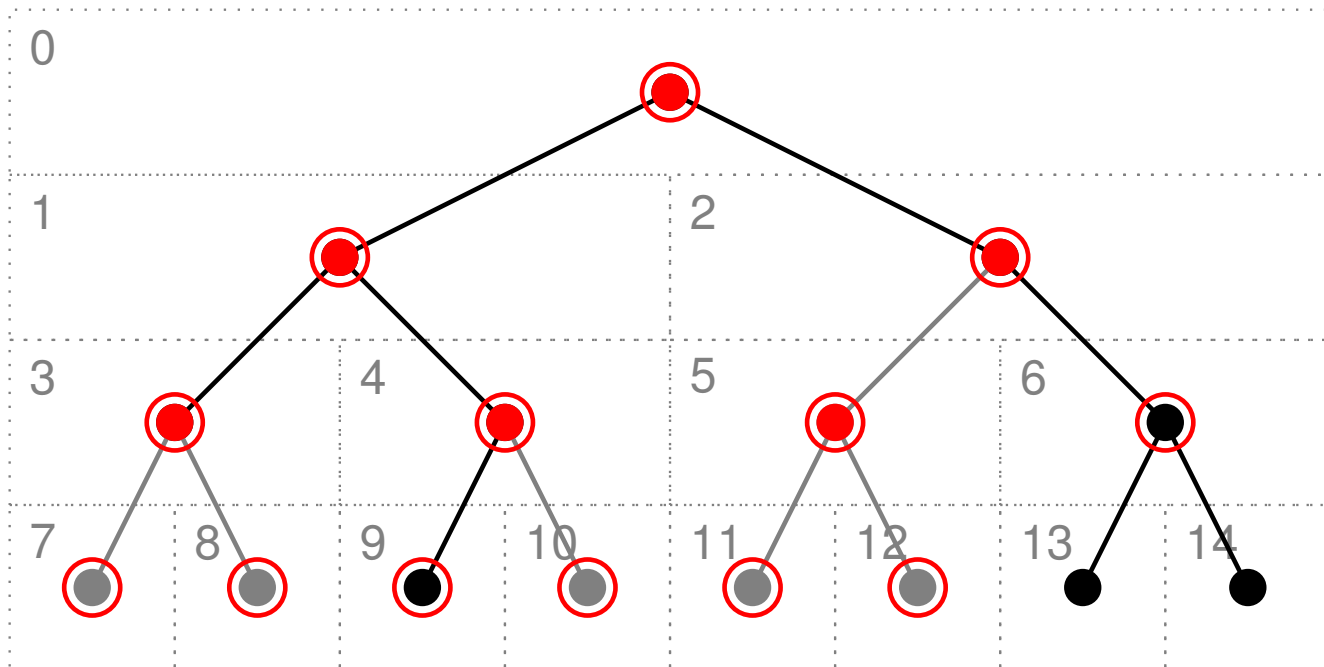


$w = \text{leftchild}(v)$

- Mark  $P(v)$
- $P(w) = \{\text{children of } P(v)\} \cup \{w\}$
- $w$  is at position  
 $|P(w)| = 2P(v) + 1 = 2v + 1$

- Let  $\delta(v)$  be the distance of a node  $v$  to the root node
- $P(v) := \{w \mid \delta(w) \leq \delta(v) \wedge w < v\}$
- Note:  $|P(v)| = v$

# Child operation in detail

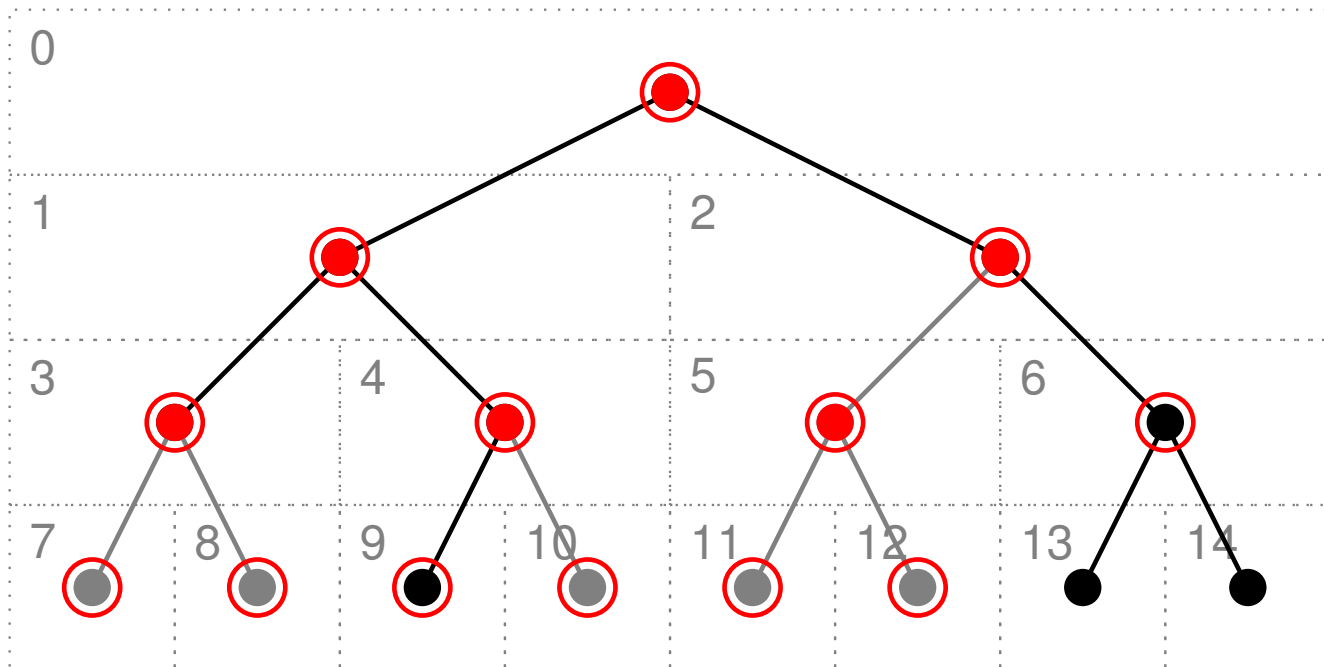


$w = \text{leftchild}(v)$

- Mark  $P(v)$
- $P(w) = \{ \text{children of } P(v) \} \cup \{ \text{root} \}$
- $w$  is at position  
 $|P(w)| = 2P(v) + 1 = 2v + 1$

- Let  $\delta(v)$  be the distance of a node  $v$  to the root node
- $P(v) := \{ w \mid \delta(w) \leq \delta(v) \wedge w < v \}$
- Note:  $|P(v)| = v$

# Child operation in detail



$w = \text{leftchild}(v)$

- Mark  $P(v)$
- $P(w) = \{ \text{children of } P(v) \} \cup \{ \text{root} \}$
- $w$  is at position  
 $|P(w)| = 2P(v) + 1 = 2v + 1$

- Let  $\delta(v)$  be the distance of a node  $v$  to the root node
- $P(v) := \{ w \mid \delta(w) \leq \delta(v) \wedge w < v \}$
- Note:  $|P(v)| = v$

# Succinct representation of trees

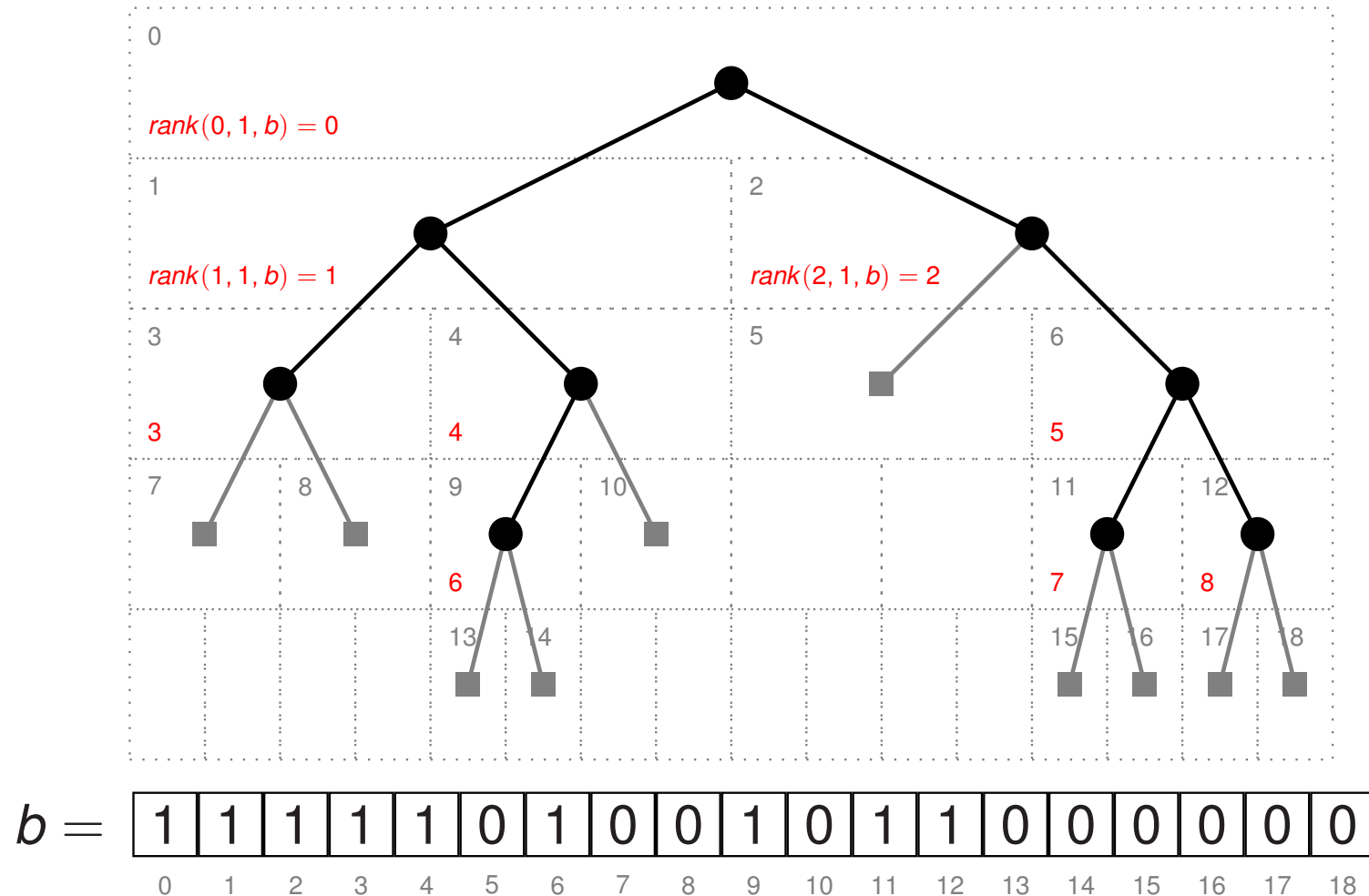
Problem with previous approach:

For unbalanced trees the space would be  $2^d$  bits, where d is the maximum depth of a node.

Proposal of Jacobson (FOCS 1989):

1. Mark all the nodes of the tree with a 1.
2. Add external nodes to the tree, and mark them all with 0-bits.
3. Read off the bits marking the nodes of the tree in (left-to-right) level-order.

# Succinct representation of trees

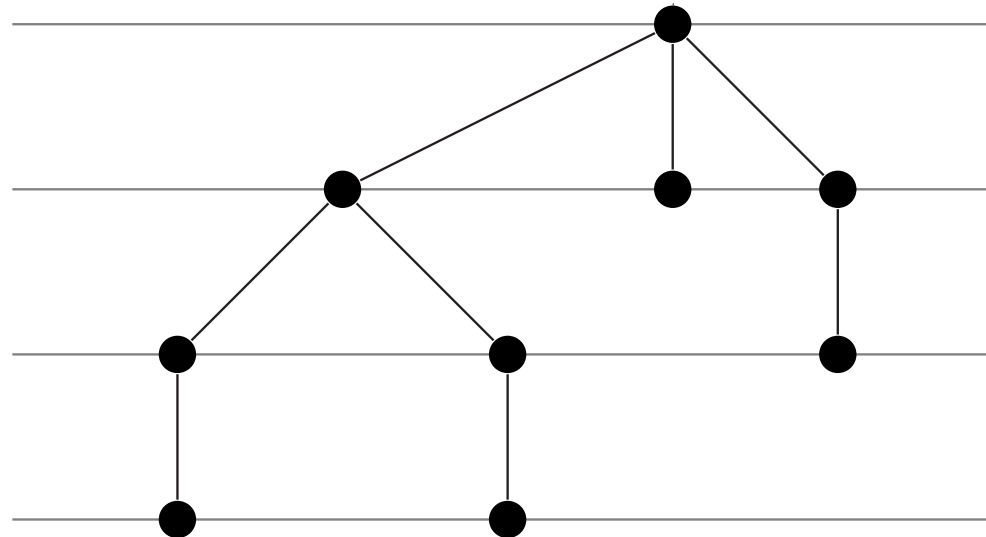


# Succinct representation of trees

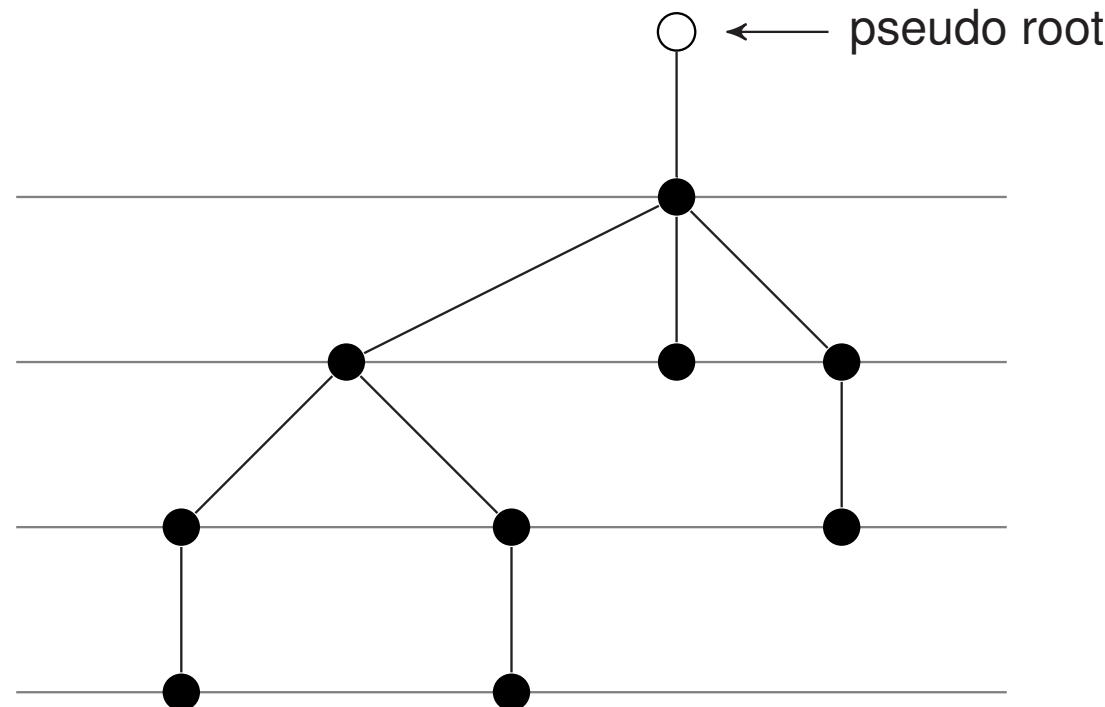
- $b$  contains  $n$  set bits and is of length  $2n + 1$ .
- A node is represented by the position of its corresponding 1-bit in  $b$ .
  - $\text{leftchild}(v) = 2 \cdot \text{rank}(v) + 1$
  - $\text{rightchild}(v) = 2 \cdot \text{rank}(v) + 2$
  - $\text{parent}(v)$  also possible in constant time (homework)
- Total space (including rank and select):  $2n + o(n)$  bits

Jacobson also considered rooted, ordered tree with degree higher than 2.

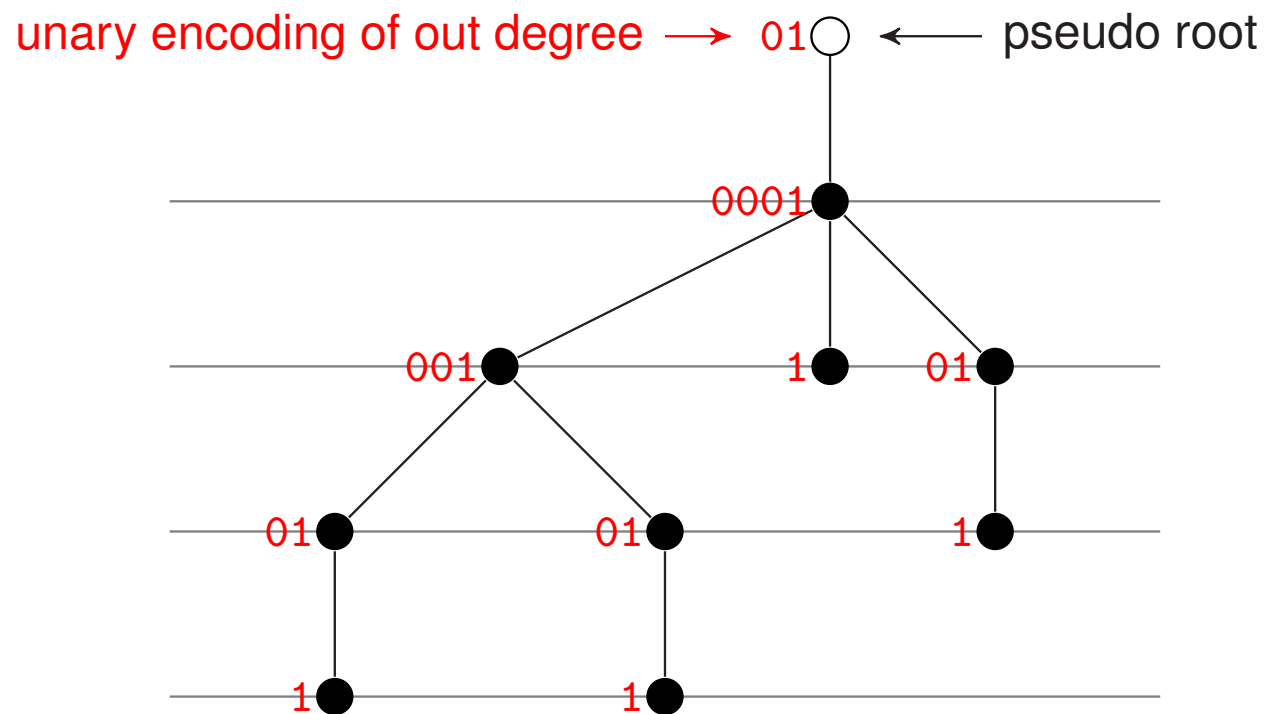
# LOUDS – level order unary degree sequence



# LOUDS – level order unary degree sequence

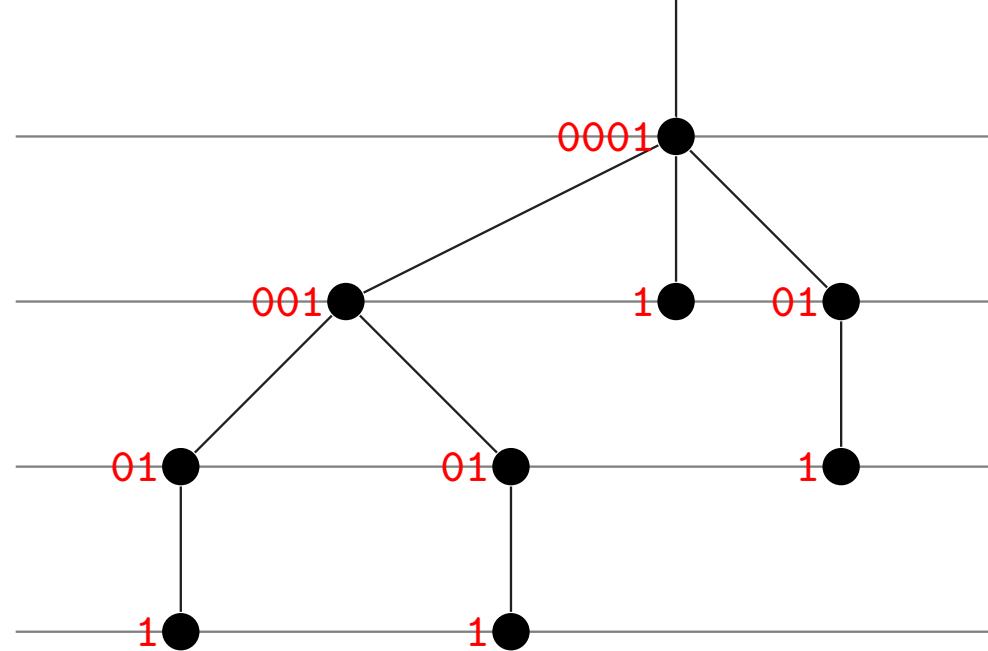


# LOUDS – level order unary degree sequence



# LOUDS – level order unary degree sequence

unary encoding of out degree → 01○ ← pseudo root



LOUDS sequence = 0100010011010101111  
(concatenation of unary codes in level order)

# LOUDS – level order unary degree sequence

- Each node (except the pseudo root) is represented twice
  - Once as „0“ in the child list of its parent
  - Once as the terminal („1“) in its child list
- Represent node  $v$  by the index of its corresponding „0“
- I.e.  $root$  corresponds to „0“

# LOUDS – level order unary degree sequence

```
00 is_leaf( $v$ )
01    $id \leftarrow rank(v, 0, LOUDS)$ 
02    $p \leftarrow select(id + 2, 1, LOUDS)$ 
03   if  $LOUDS[p - 1] = 1$  then
04     return true
05   return false

00 out_degree( $v$ )
01   if  $is\_leaf(v)$  then
02     return 0
03    $id \leftarrow rank(v, 0, LOUDS)$ 
04   return  $select(id + 2, 1, LOUDS) - select(id + 1, 1, LOUDS) - 1$ 
```

# LOUDS – level order unary degree sequence

Get  $i$ -th child ( $i \in [1, \text{out\_degree}(v)]$ ) of  $v$  and parent:

```
00 child( $v, i$ )
01   if  $i > \text{out\_degree}(v)$  then
02     return  $\perp$ 
03    $id \leftarrow \text{rank}(v, 0, LOUDS)$ 
04   return  $\text{select}(id + 1, 1, LOUDS) + i$ 
```

```
00 parent( $v$ )
01   if  $\text{is\_root}(v)$  then
02     return  $\perp$ 
03    $pid \leftarrow \text{rank}(v, 1, LOUDS)$ 
04   return  $\text{select}(pid, 0, LOUDS)$ 
```

# LOUDS – level order unary degree sequence

## Conclusion

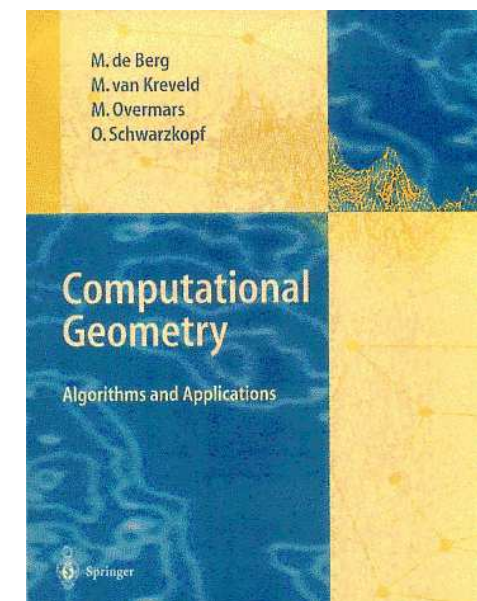
- Total space for LOUDS representation is  $2n + 1 + o(n)$  bits
- All operations take constant time

# 6 Geometrische Algorithmen

- Womit beschäftigen sich geom. Algorithmen?
- Schnitt von Strecken: Bentley-Ottmann-Algorithmus
- Konvexe Hüllen
- Kleinste einschließende Kugel
- Range Search

Quelle:

[Computational Geometry – Algorithms and Applications  
de Berg, van Kreveld, Overmars, Schwarzkopf  
Springer, 1997]

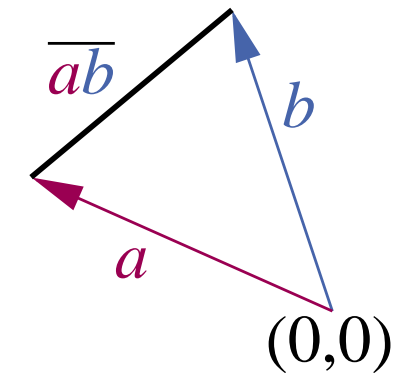


# Elementare Geometrische Objekte

Punkte:  $x \in \mathbb{R}^d$

Strecken:  $\overline{ab} := \{\alpha \mathbf{a} + (1 - \alpha) \mathbf{b} : \alpha \in [0, 1]\}$

uvam: Halbräume, Ebenen, Kurven,...

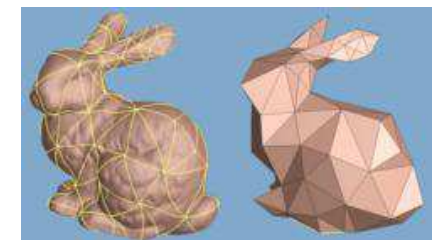


## Dimension $d$ :

- 1: Oft trivial. Gilt i. allg. nicht als geometrisches Problem
- 2: Geogr. Informationssysteme (GIS), Bildverarbeitung,...
- 3: Computergrafik, Simulationen,...
- $\geq 4$ : Optimierung, Datenbanken, maschinelles Lernen,...

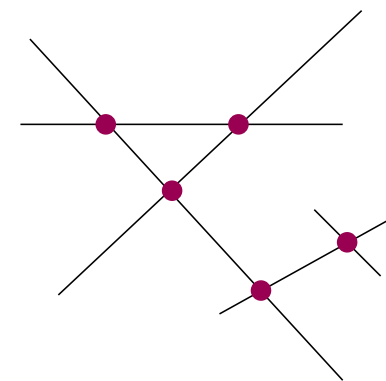
curse of dimensionality!

$n$ : Anzahl vorliegender Objekte



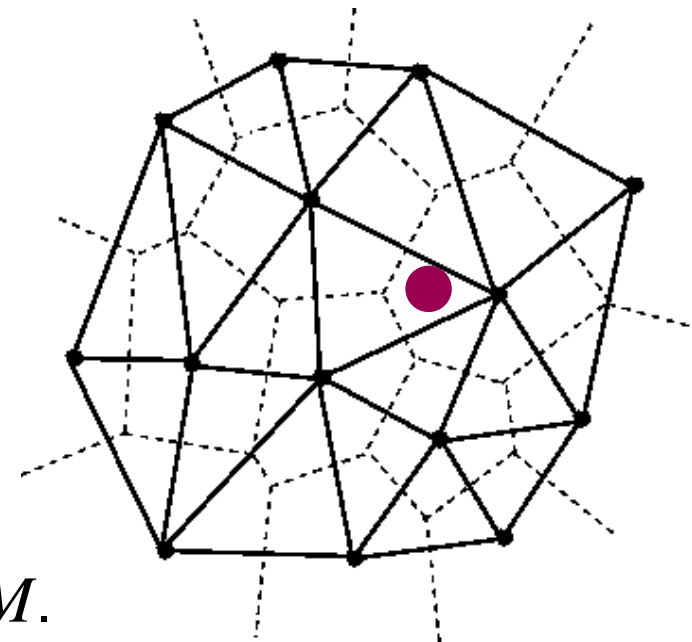
## Typische Fragestellungen

- Schnittpunkte zwischen  $n$  Strecken



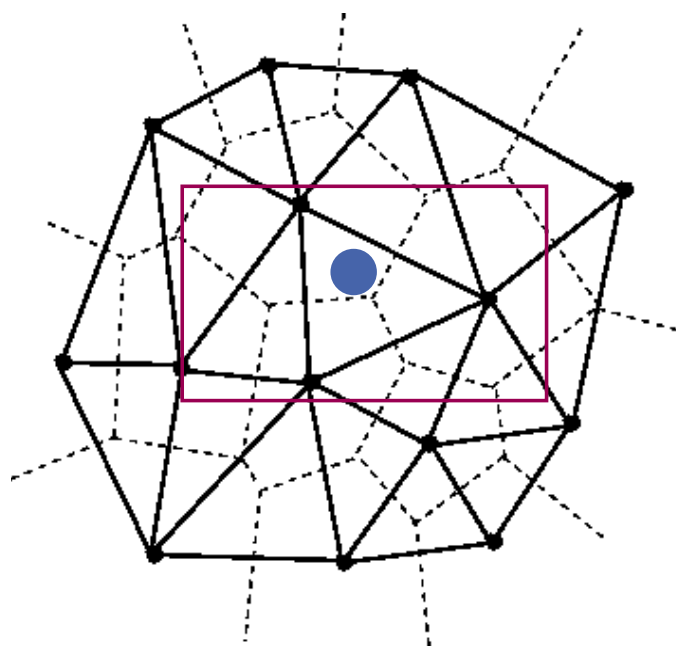
# Typische Fragestellungen

- Schnittpunkte zwischen  $n$  Strecken
- Konvexe Hülle
- Triangulation von Punktmenzen  
(2D, verallgemeinerbar)  
z.B. **Delaunaytriangulierung**:  
Kein Dreieck enthält weiteren Punkt
- Voronoi-Diagramme**: Sei  $x \in M \subseteq \mathbb{R}^d$ .  
 $\forall y \in \mathbb{R}^d$  bestimme nächstes Element aus  $M$ .  
(Unterteilung von  $M$  in  $n$  **VoronoiZellen**)
- Punklokalisierung**: Geg. Unterteilung von  $R^d$ ,  $x \in R^d$ :  
in welchem Teil liegt  $x$  ?



# Datenstrukturen für Punktmengen

- nächsten Nachbarn berechnen
- Bereichsanfragen
- ...



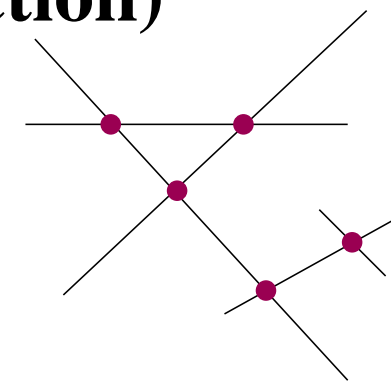
## Mehr Fragestellungen

- Sichtbarkeitsberechnungen
- Lineare Programmierung
- Geometrische Versionen von Optimierungsproblemen
  - Kürzeste Wege, z.B.  
energieeffiziente Kommunikation in Radionetzwerken
  - minimale Spannbäume  
reduzierbar auf Delaunay-Triangulierung + Graphalgorithmus
  - Matchings
  - Handlungsreisendenproblem
  - ...
- ...

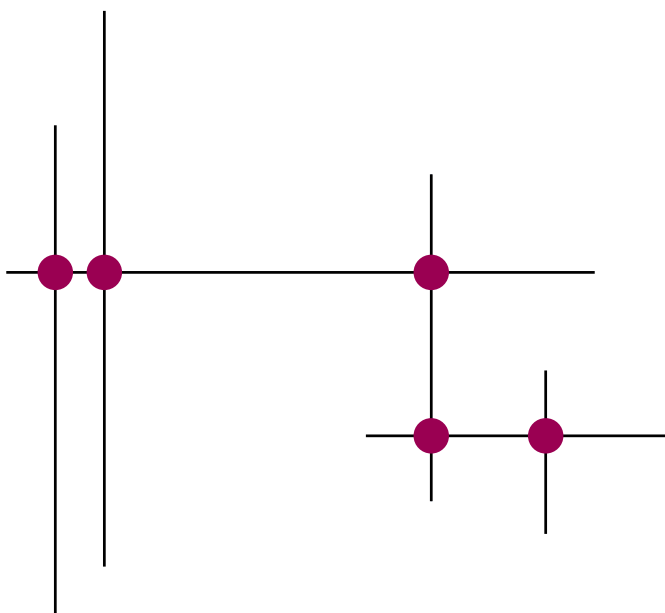
## 6.1 Streckenschnitt (line segment intersection)

**Gegeben:**  $S = \{s_1, \dots, s_n\}$ ,  $n$  Strecken

**Gesucht:** Schnittpunkte  $\bigcup_{s,t \in S} s \cap t$

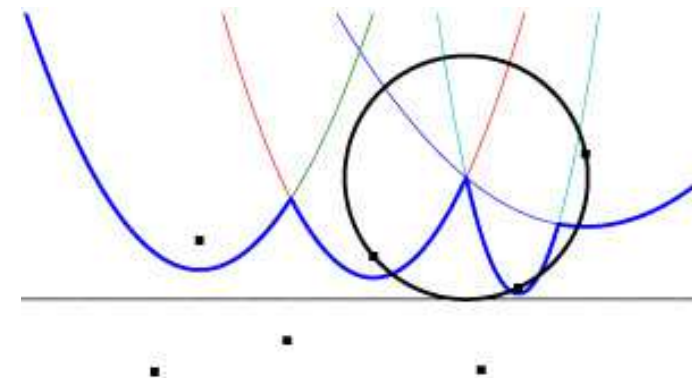


Zum Warmwerden: Orthogonaler Streckenschnitt – die Strecken sind parallel zur x- oder y-Achse



## Streckenschnitt: Anwendungen

- Schaltungsentwurf: wo kreuzen sich Leiterbahnen?
- **GIS**: Strassenkreuzungen, Brücken,...
- Erweiterungen: z.B. Graphen benachbarter Strecken/Flächen aufbauen/verarbeiten
- Noch allgemeiner:  
**Plane-Sweep**-Algorithmen für andere Fragestellungen  
(z.B. Konstruktion von konvexen Hüllen oder Voronoi-diagrammen)



## Streckenschnitt: Naiver Algorithmus

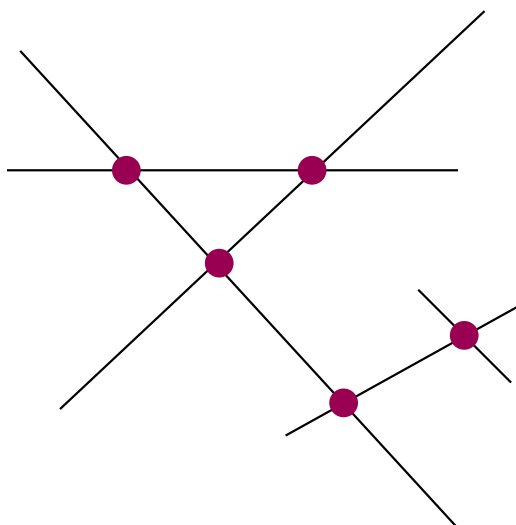
**foreach**  $\{s, t\} \subseteq S$  **do**

**if**  $s \cap t \neq \emptyset$  **then**

        output  $\{s, t\}$

Problem: Laufzeit  $\Theta(n^2)$ .

Zu langsam für große Datenmengen

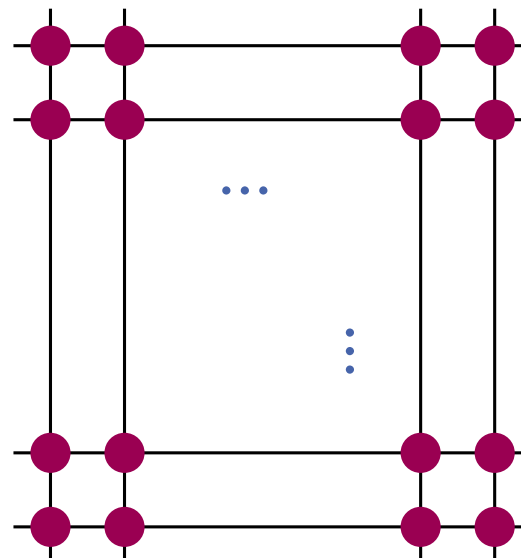


## Streckenschnitt: Untere Schranke

$\Omega(n + k)$  mit  $k :=$  Anzahl ausgegebener Schnitte.

Vergleichsbasiert:  $\Omega(n \log n + k)$  (Beweis: nicht hier)

Beobachtung  $k = \Theta(n^2)$  ist möglich, aber reale Eingaben haben meist  $k = O(n)$ .

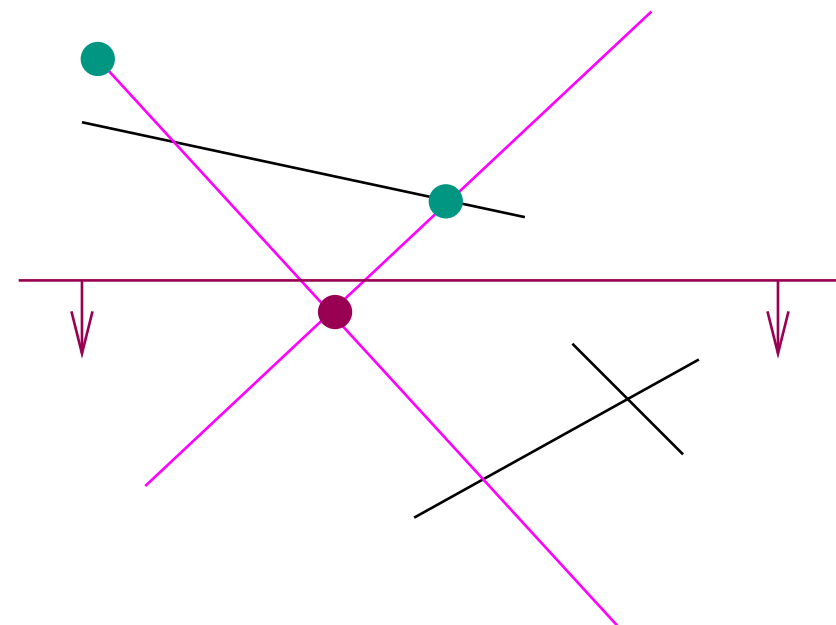


## Idee: Plane-Sweep-Algorithmen

(Waagerechte) Sweep-Line  $\ell$  läuft von oben nach unten.

Invariante: Schnittpunkte oberhalb von  $\ell$  wurden korrekt ausgegeben.

**Ansatz:** speichere jeweils Segmente, die  $\ell$  schneiden und finde deren Schnittpunkte.



# Plane-Sweep für orth. Streckenschnitt

Erstmal nur: Schnitte zwischen vertikalen und horizontalen Strecken.

$T = \langle \rangle$  : SortedSequence **of** Segment

**invariant**  $T$  stores the vertical segments intersecting  $\ell$

$Q := \text{sort}(\langle (y, s) : \exists \text{hor. seg. } s \text{ at } y \text{ or } \exists \text{vert. seg. } s \text{ starting/ending at } y \rangle)$

//tie breaking: vert. starting events first, vert. finishing events last

**foreach**  $(y, s) \in Q$  in descending order **do**

**if**  $s$  is a vertical segment and **starts** at  $y$  **then**  $T.\text{insert}(s)$

**else if**  $s$  is a vertical segment and **ends** at  $y$  **then**  $T.\text{remove}(s)$

**else** //we have a horizontal segment  $s = \overline{(x_1, y)(x_2, y)}$

**foreach**  $t = \overline{(x, y_1)(x, y_2)} \in T$  with  $x \in [x_1, x_2]$  **do**

output  $\{s, t\}$

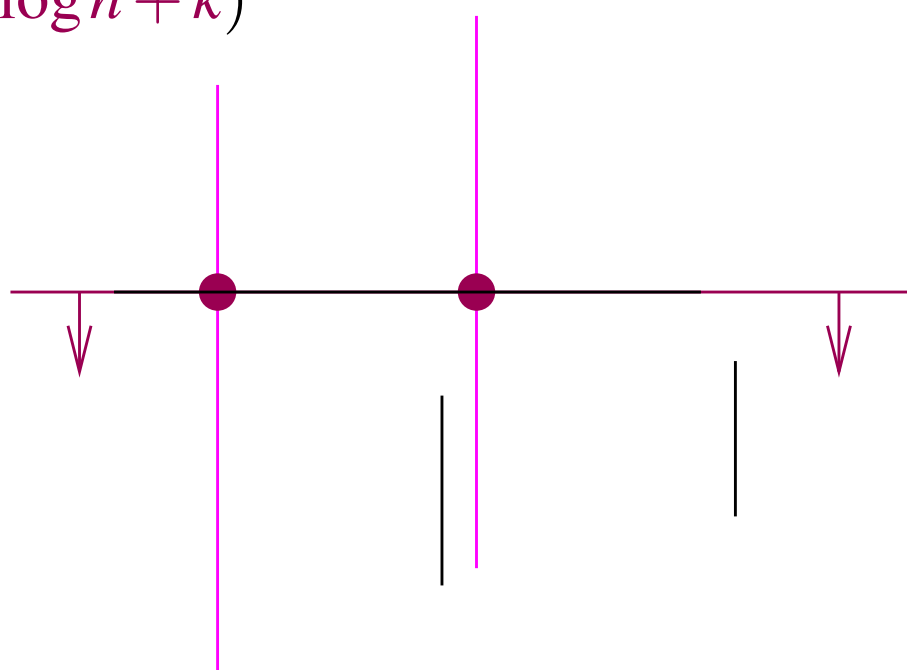
# Analyse orth. Streckenschnitt

insert:  $O(\log n)$  ( $\leq n \times$ )

remove:  $O(\log n)$  ( $\leq n \times$ )

rangeQuery:  $O(\log n + k_s)$ ,  $k_s$  Schnitte mit hor. Segment  $s$

Insgesamt:  $O(n \log n + \sum_s k_s) = O(n \log n + k)$



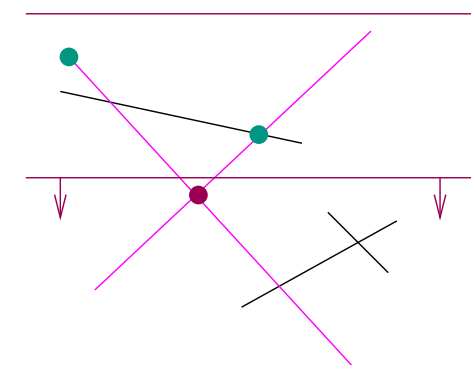
# Verallgemeinerung – aber erstmal “nicht ganz”

Annahme zunächst:

Allgemeine Lage, d.h. hier

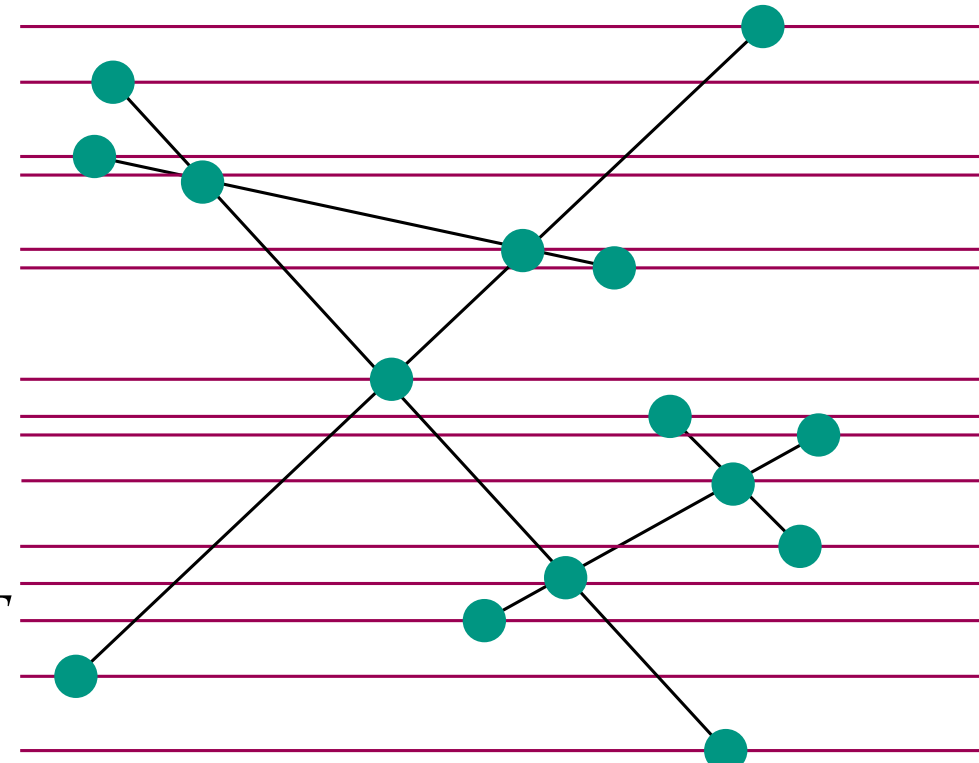
- Keine horizontalen Strecken
- Keine Überlappungen
- Schnittpunkte jeweils im Inneren von genau zwei Strecken

**Beobachtung:** kleine zuf. Perturbationen produzieren allg. Lage.



# Verallgemeinerung – Grundidee

- Plane-Sweep mit Sweep-Line  $\ell$
- Status  $T$  := nach  $x$  geordnete Folge der  $\ell$  schneidenden Strecken
- Ereignis:= Statusänderung
  - Startpunkte
  - Endpunkte
  - Schnittpunkte
- Schnitttest nur für Segmente, die an einem Ereignispunkt in  $T$  benachbart sind.



# Verallgemeinerung – Korrektheit

**Lemma:**

$s \cap t = \{(x, y)\} \rightarrow \exists \text{ Ereignis} : s, t \text{ werden Nachbarn auf } \ell$

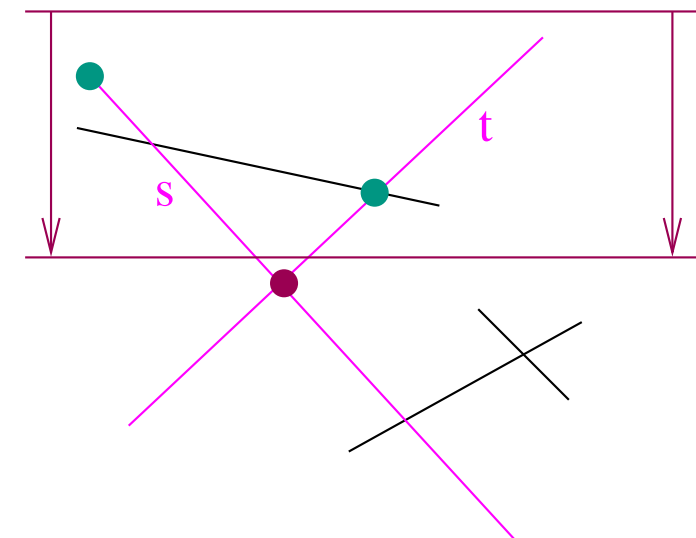
**Beweis:**

Anfangs :  $T = \langle \rangle \rightarrow s, t \text{ sind nicht in } \ell \text{ benachbart.}$

@ $y + \varepsilon$  :  $s, t$  sind in  $\ell$  benachbart.

$\rightarrow$

$\exists \text{ Ereignis}$  bei dem  $s$  und  $t$  Nachbarn werden.



# Verallgemeinerung – Implementierung

$T = \langle \rangle$  : SortedSequence **of** Segment

**invariant**  $T$  stores the relative order of the segments intersecting  $\ell$

$Q$  : MaxPriorityQueue

$$Q := Q \cup \left\{ (\max \{y, y'\}, \text{start}, s) : s = \overline{(x, y)(x', y')} \in S \right\} // O(n \log n)$$

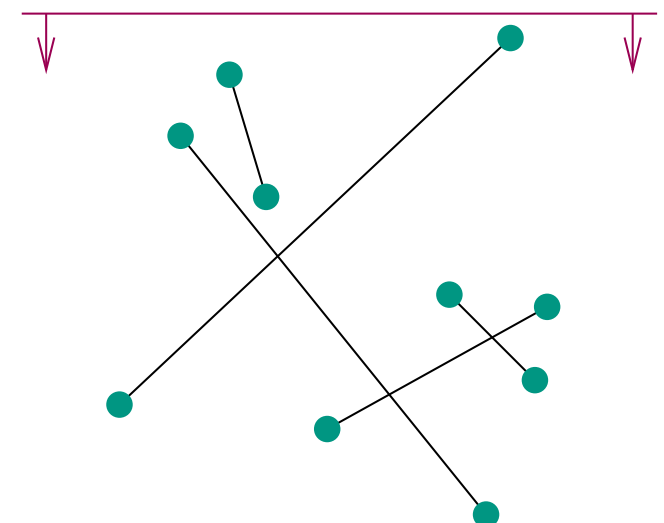
$$Q := Q \cup \left\{ (\min \{y, y'\}, \text{finish}, s) : s = \overline{(x, y)(x', y')} \in S \right\} // O(n \log n)$$

**while**  $Q \neq \emptyset$  **do**

$(y, \text{type}, s) := Q.\text{deleteMax}$

    //  $O((n+k) \log n)$

    handleEvent( $y, \text{type}, s, T, Q$ )



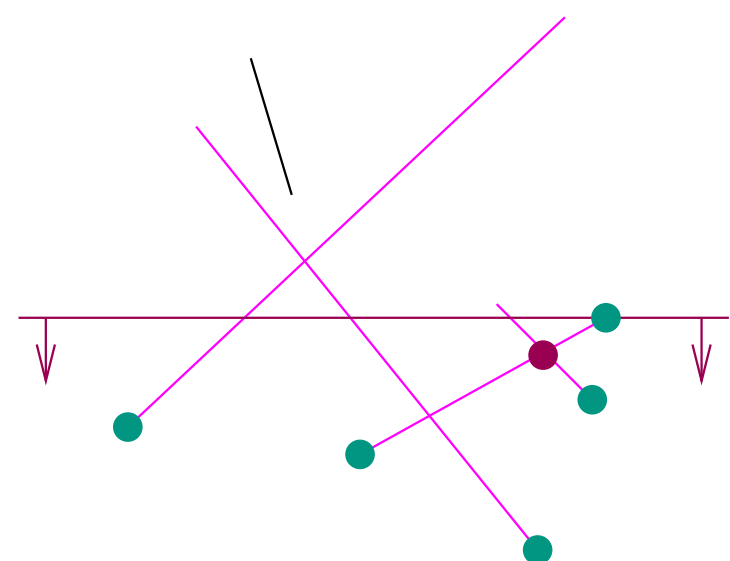
```

handleEvent( $y, \text{start}, s, T, Q)$  //  $n \times$ 
     $h := T.\text{insert}(s)$  //  $O(\log n)$ 
     $\text{prev} := \text{pred}(h)$  //  $O(1)$ 
     $\text{next} := \text{succ}(h)$  //  $O(1)$ 
    findNewEvent( $\text{prev}, h$ )
    findNewEvent( $h, \text{next}$ )

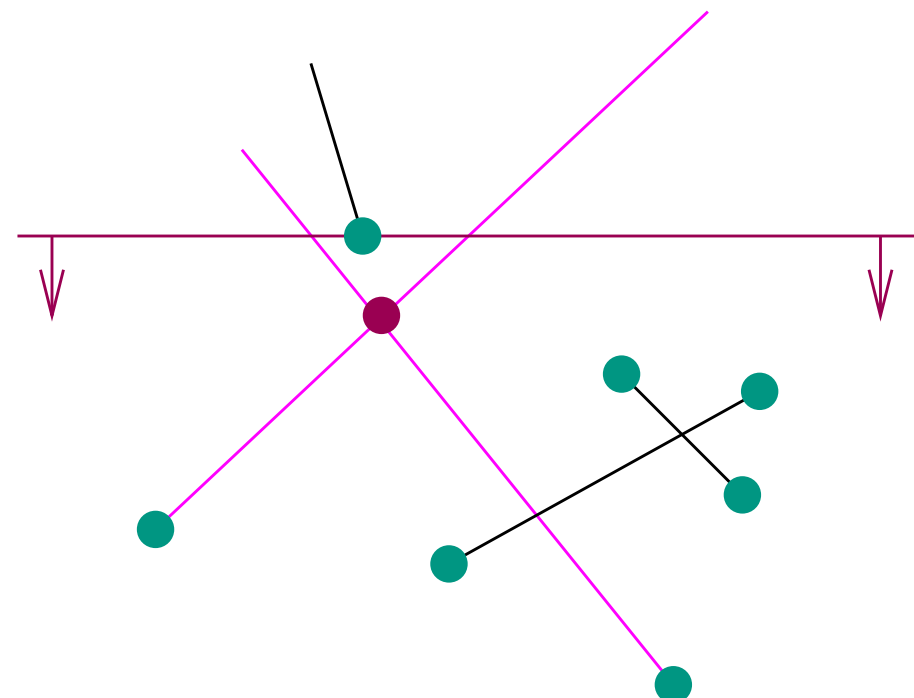
```

**Procedure**  $\text{findNewEvent}(s, t)$  //  $O(1 + \log n)$

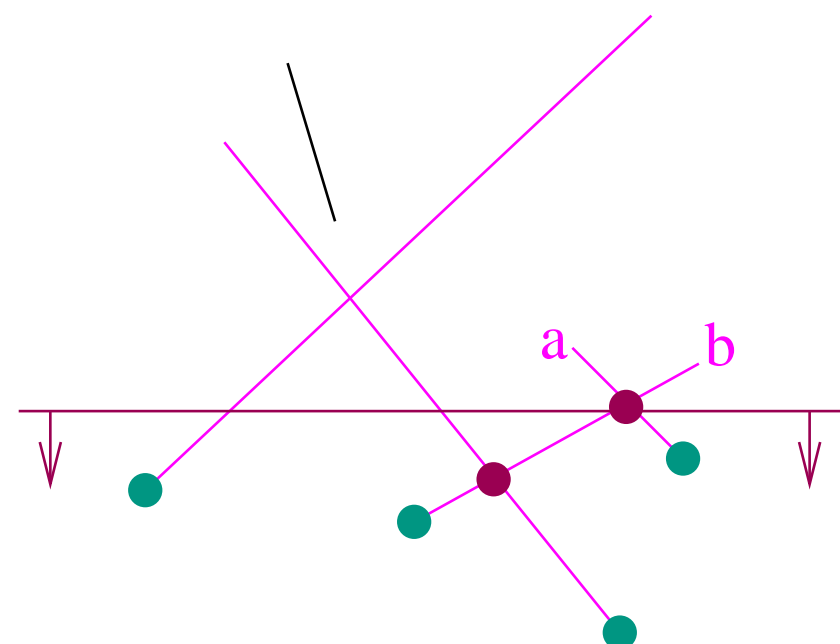
**if**  $*s$  and  $*t$  intersect at  $y' < y$  **then**

$$Q.\text{insert}((y', \text{intersection}, (s, t)))$$


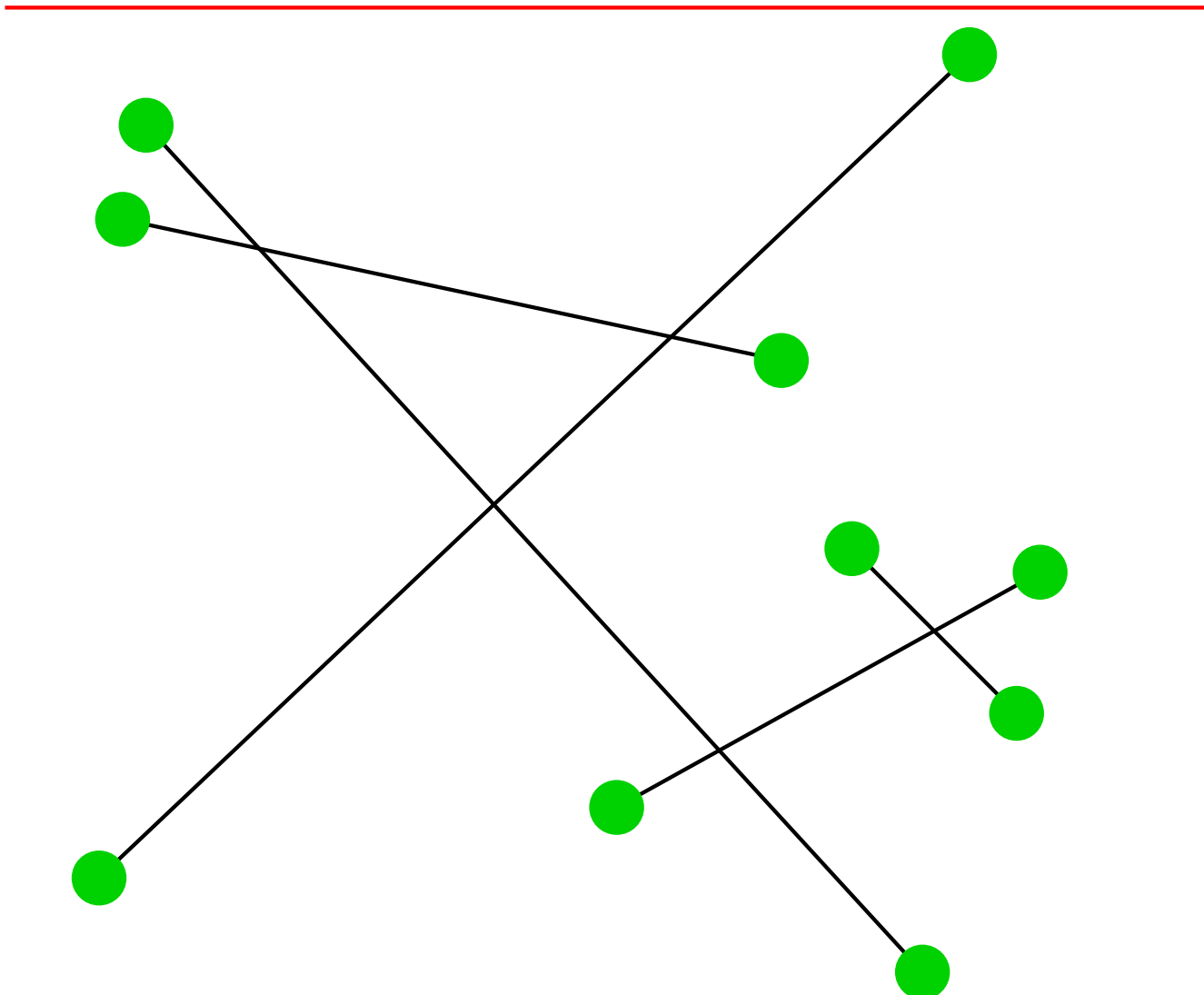
```
handleEvent(y, finish, s, T, Q)           // n×  
    h:= T.locate(s)                      // O(log n)  
    prev:= pred(h)                      // O(1)  
    next:= succ(h)                      // O(1)  
    T.remove(s)                         // O(log n)  
  
findNewEvent(prev, next)
```



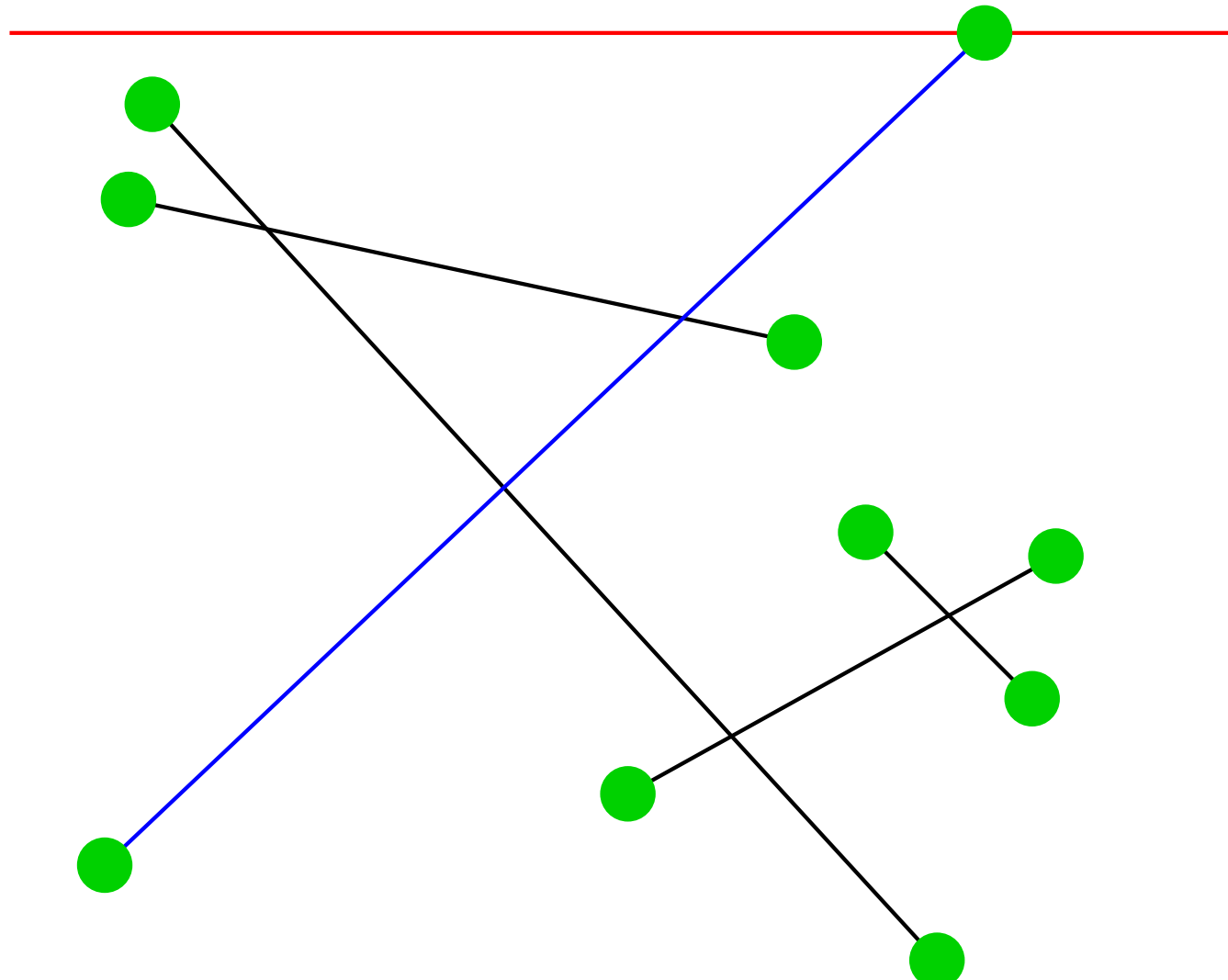
```
handleEvent(y, intersection, (a,b), T, Q)           // k×  
    output (*s ∩ *t)                                // O(1)  
    T.swap(a,b)                                     // O(log n)  
    prev:= pred(b)                                  // O(1)  
    next:= succ(a)                                   // O(1)  
    findNewEvent(prev,b)  
    findNewEvent(a,next)
```



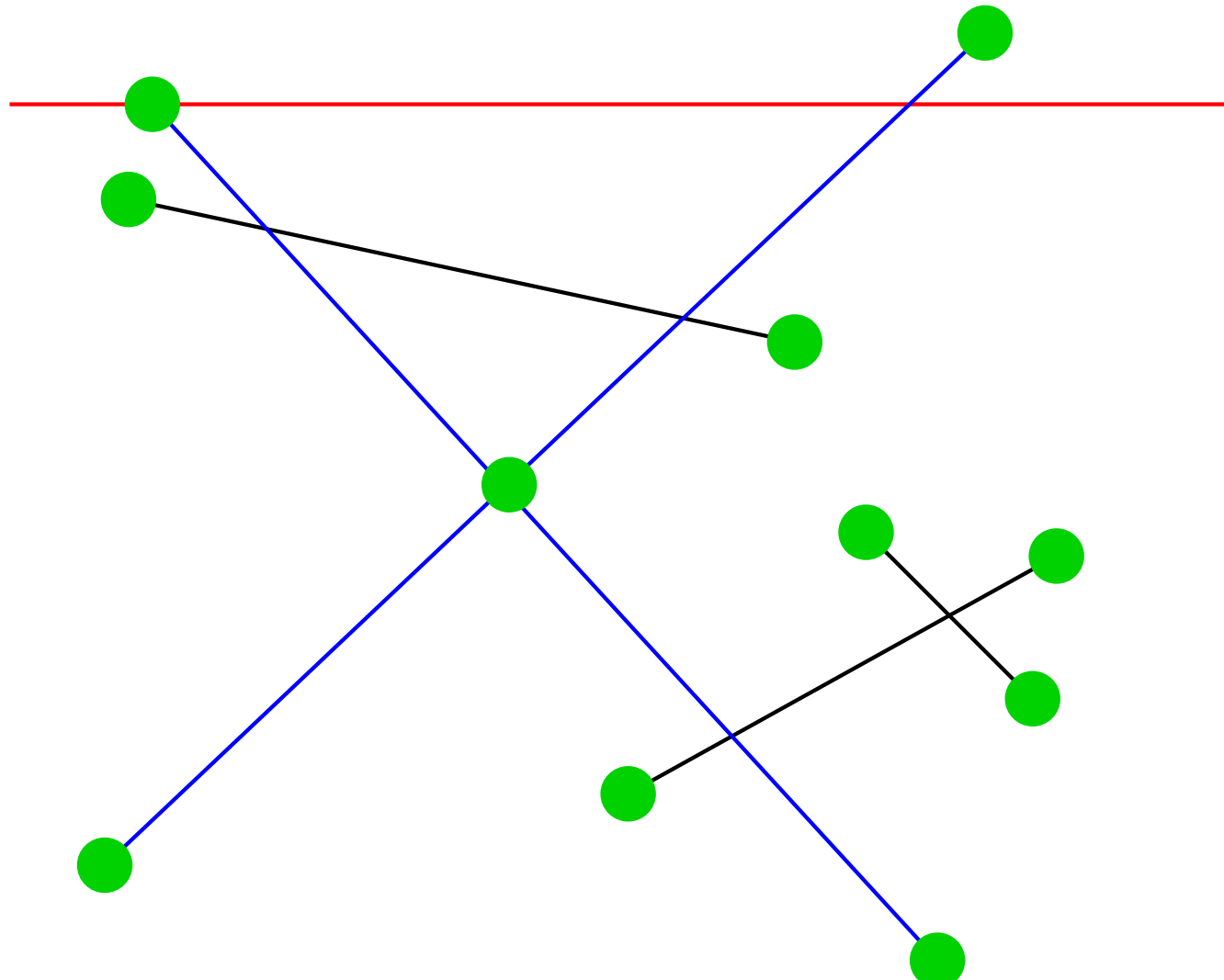
## Verallgemeinerung – Beispiel



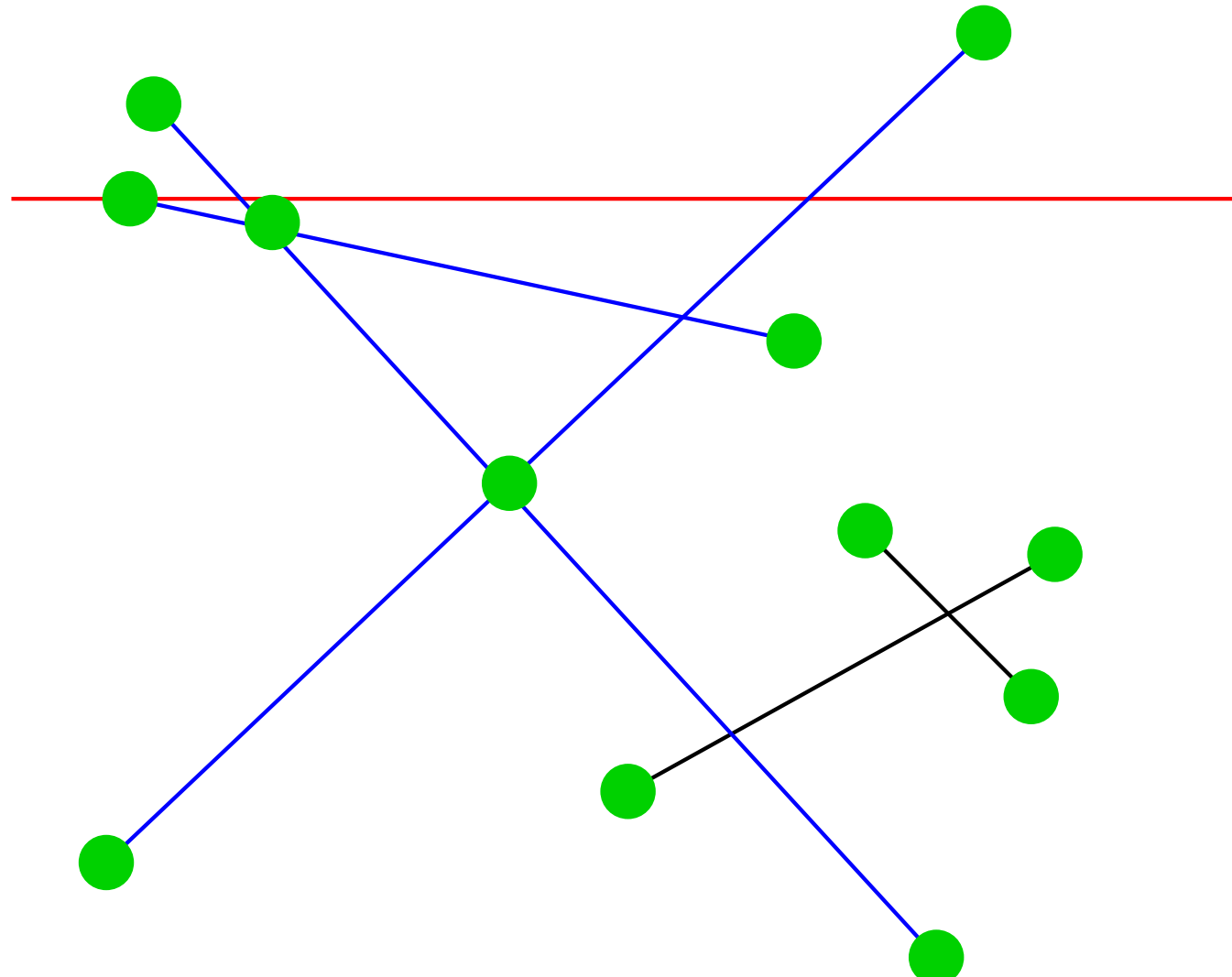
## Verallgemeinerung – Beispiel



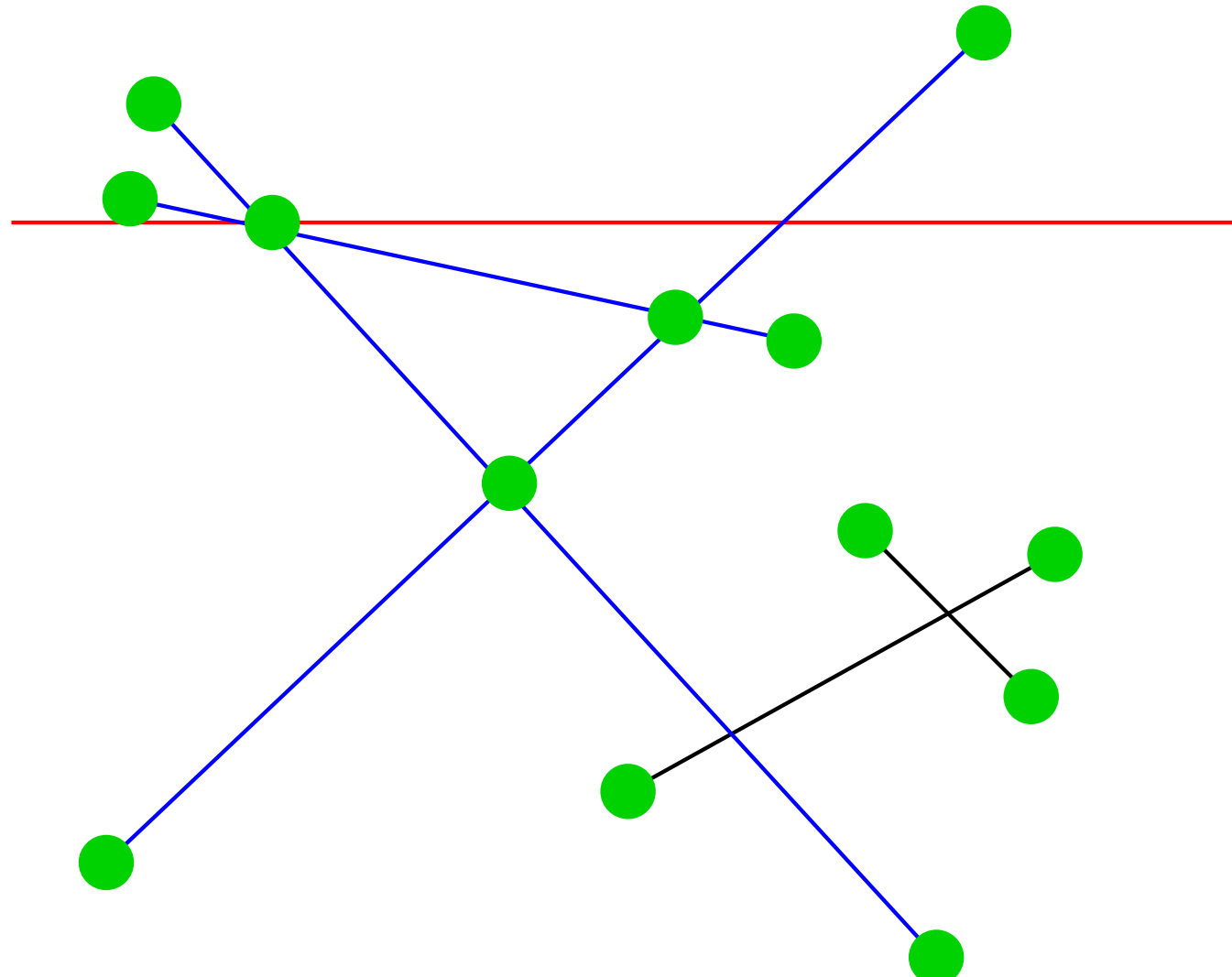
## Verallgemeinerung – Beispiel



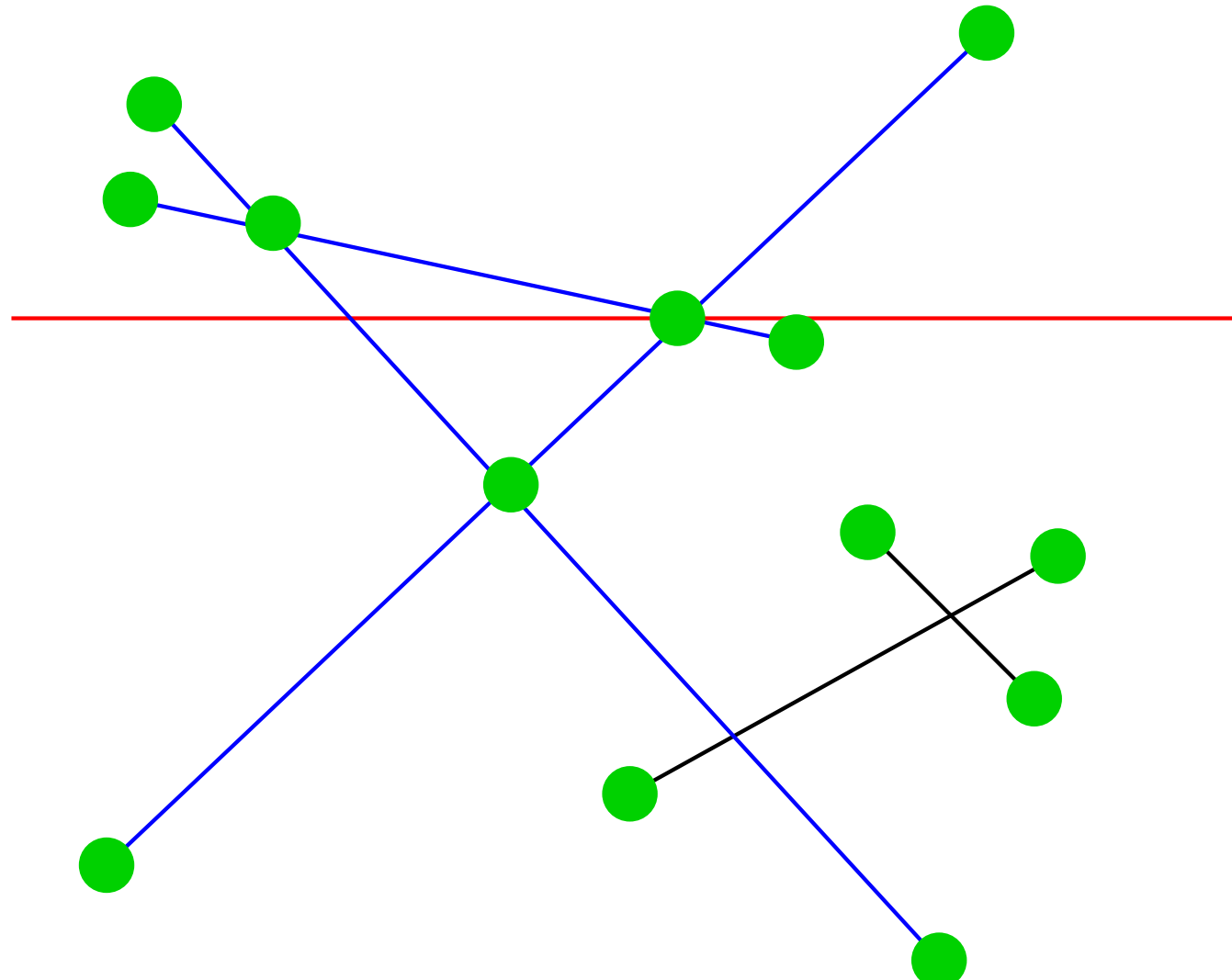
## Verallgemeinerung – Beispiel



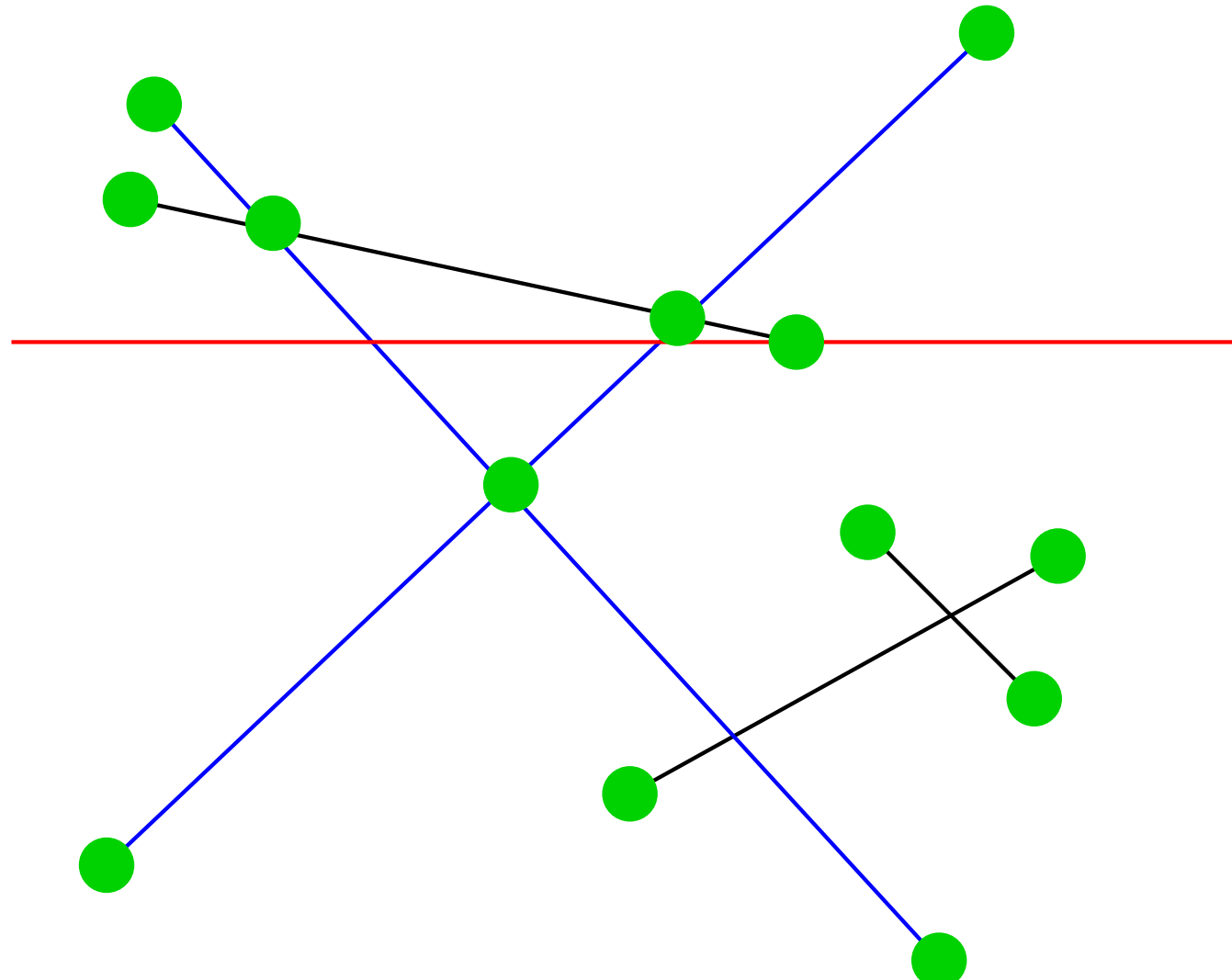
## Verallgemeinerung – Beispiel



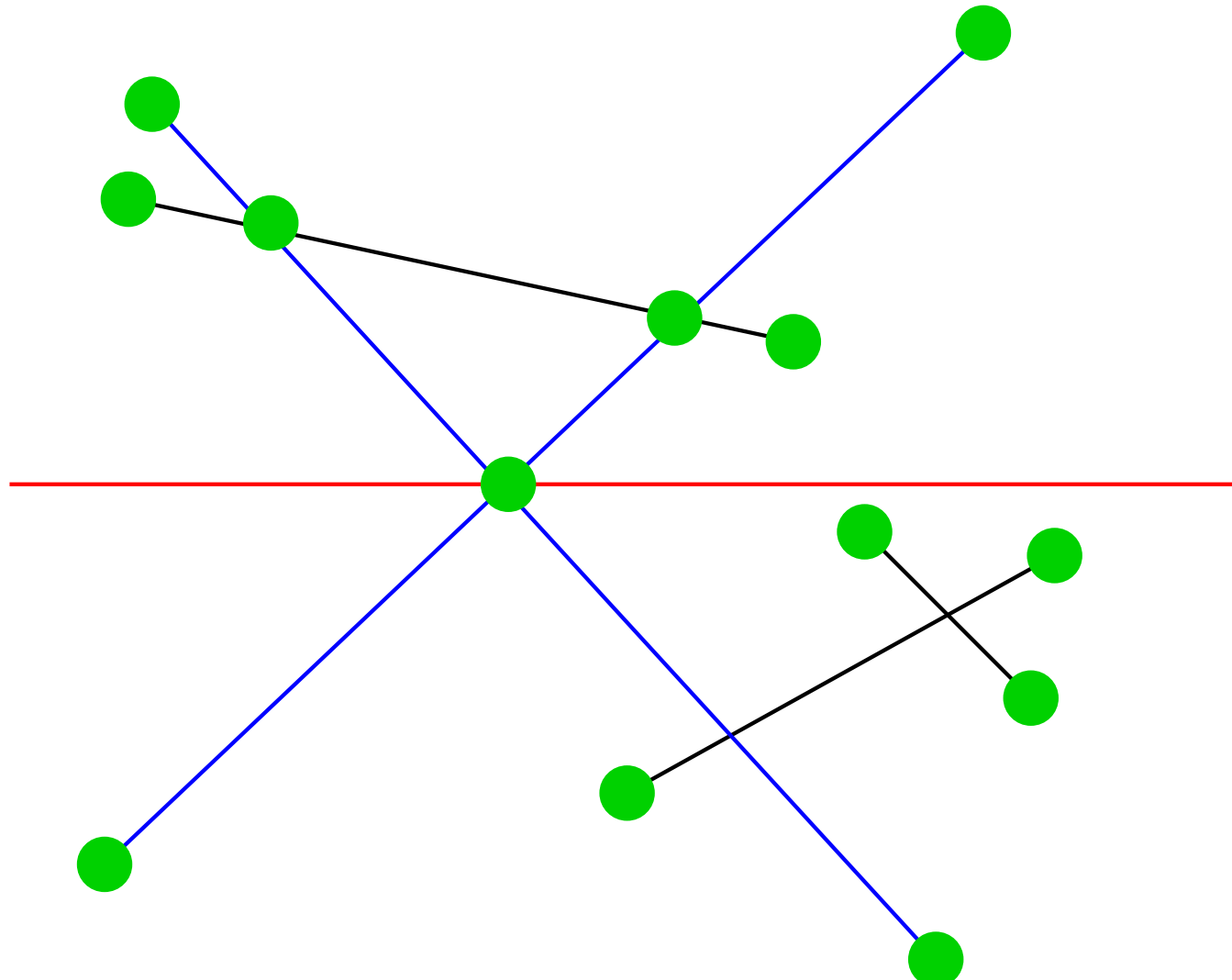
## Verallgemeinerung – Beispiel



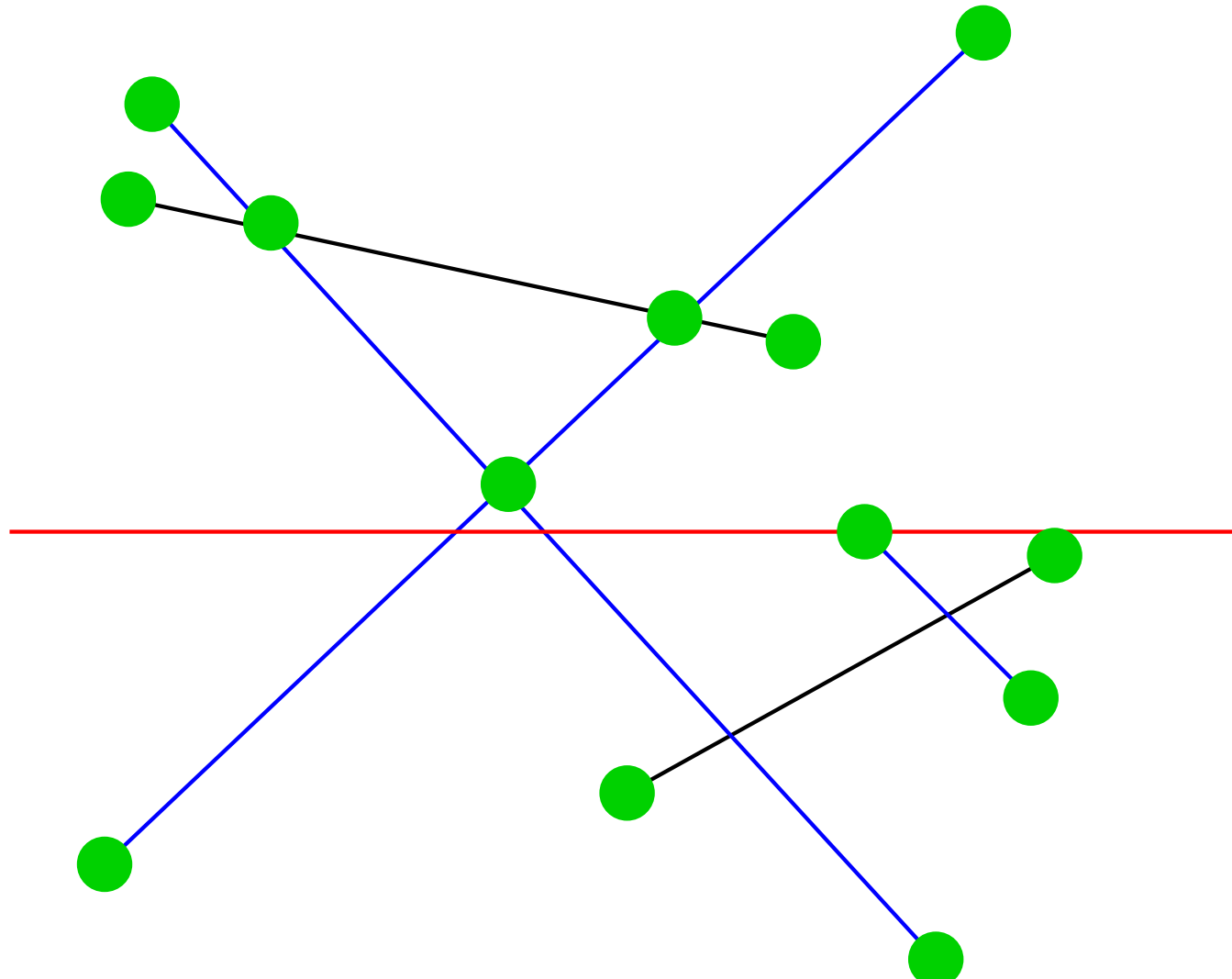
## Verallgemeinerung – Beispiel



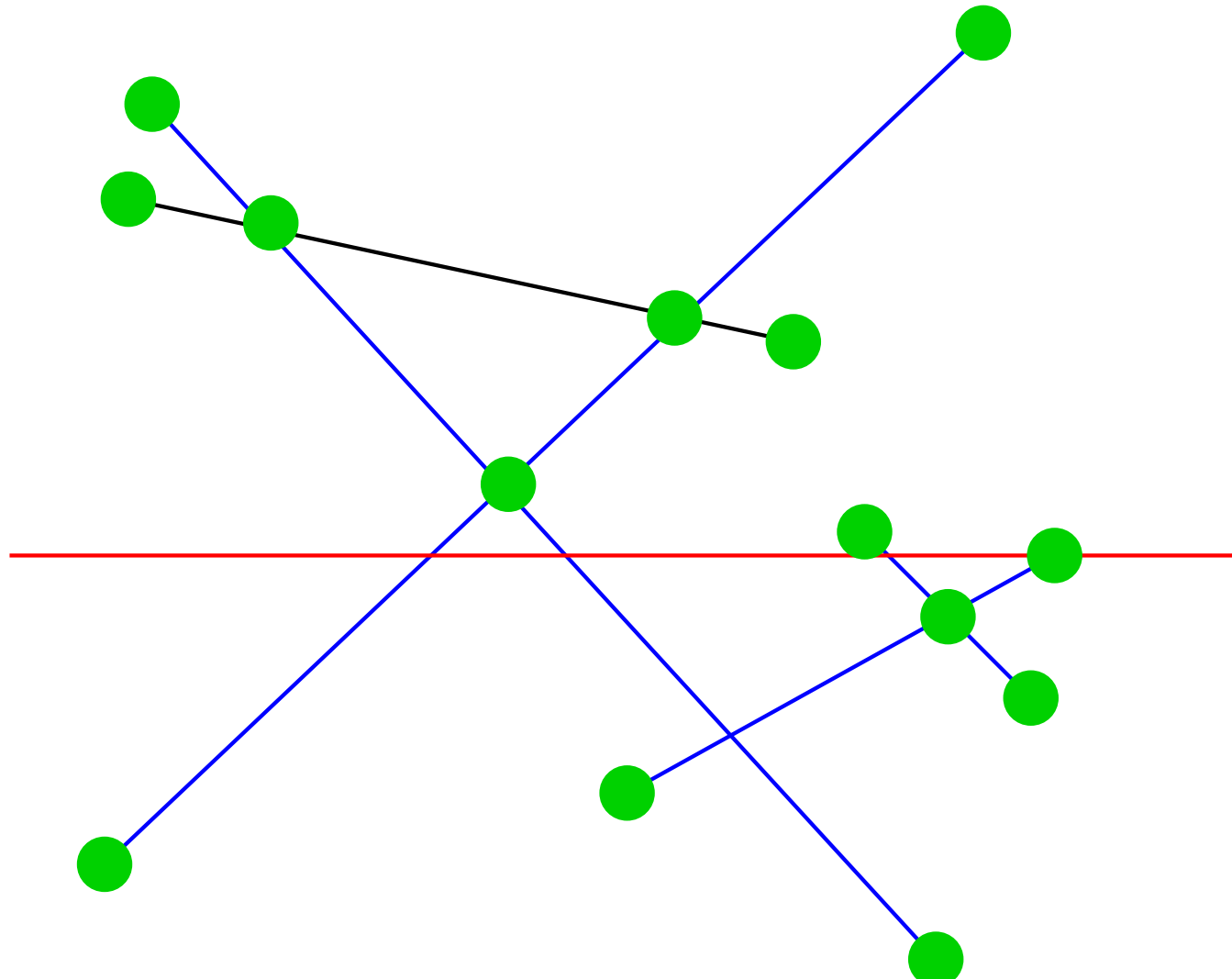
# Verallgemeinerung – Beispiel



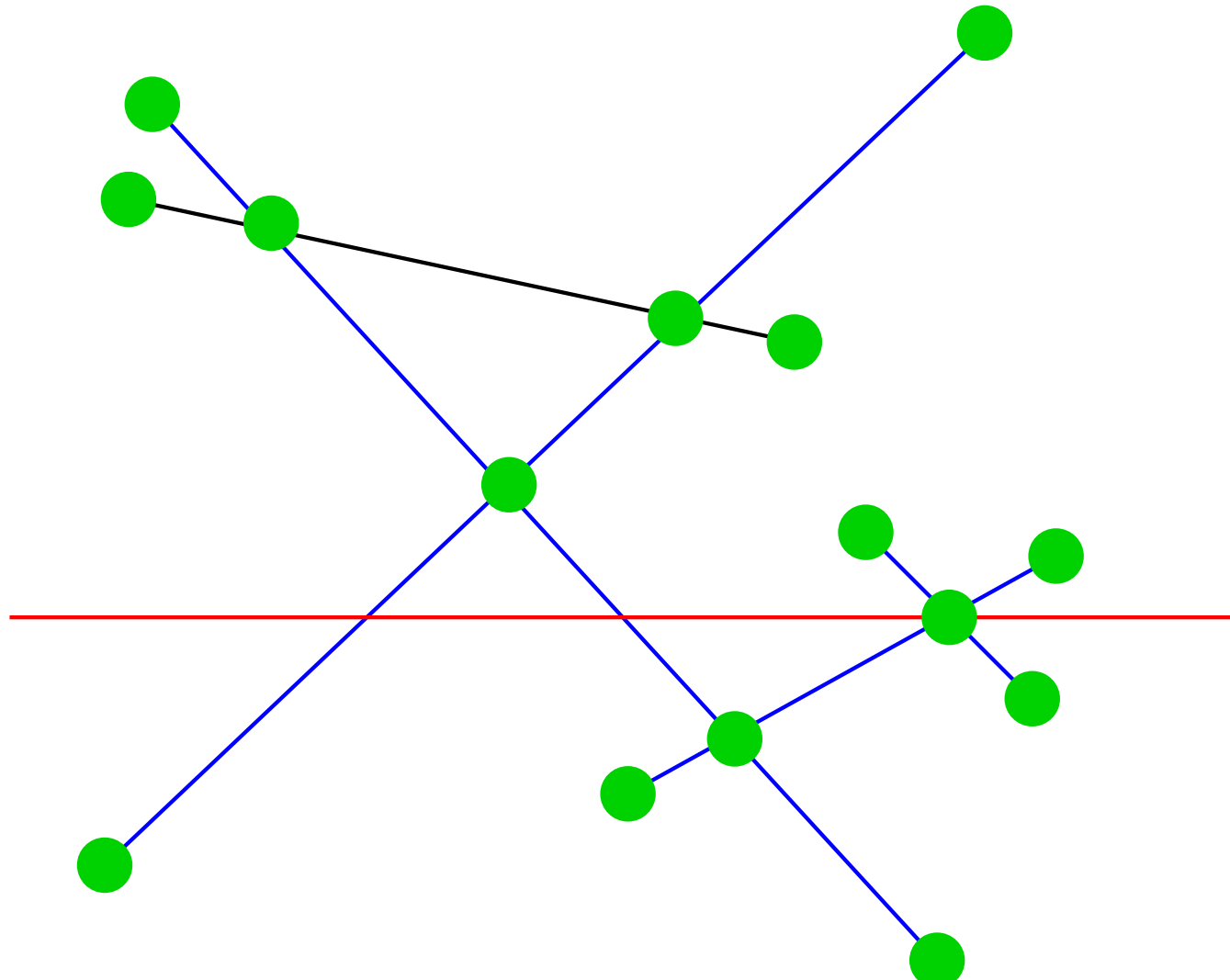
## Verallgemeinerung – Beispiel



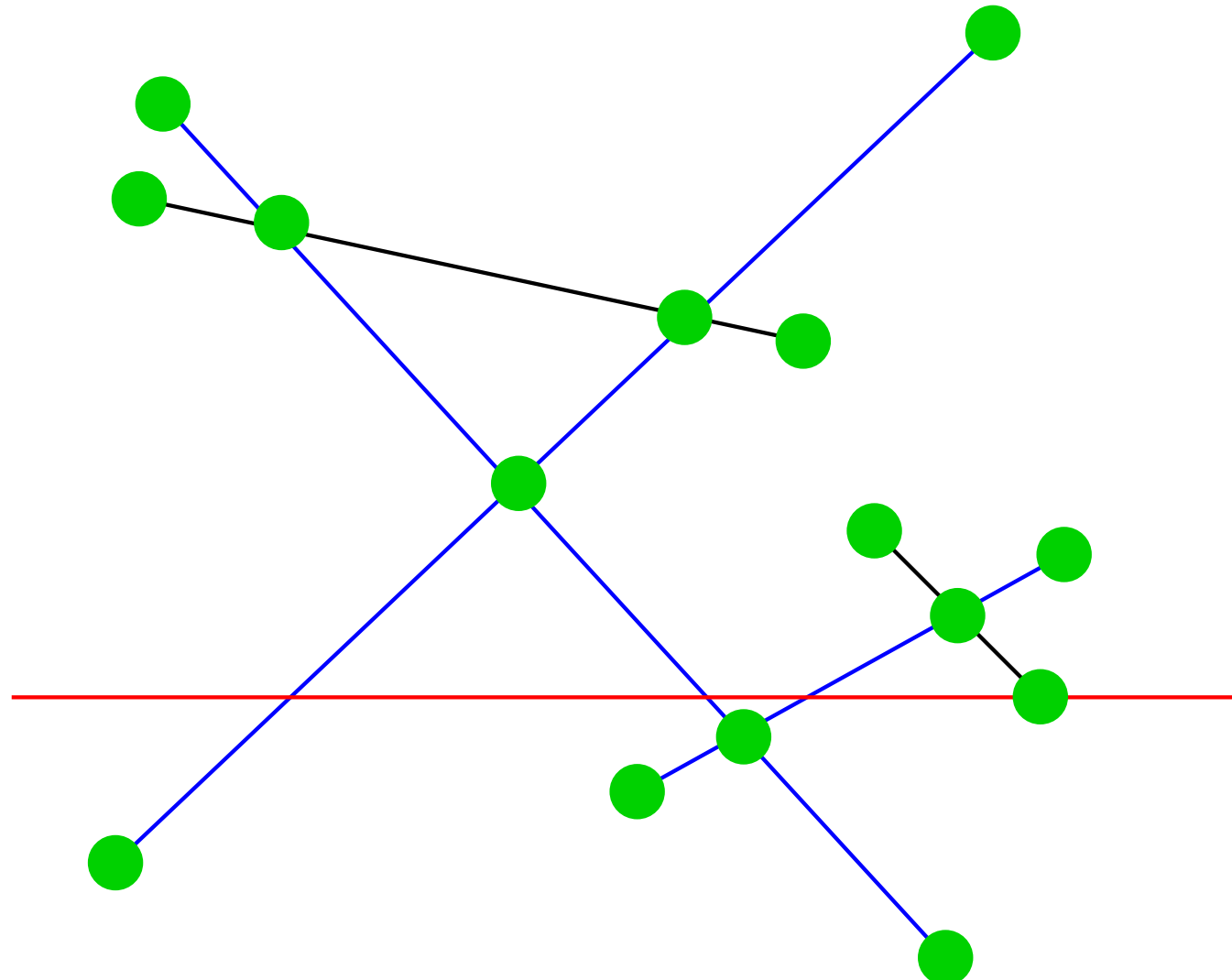
## Verallgemeinerung – Beispiel



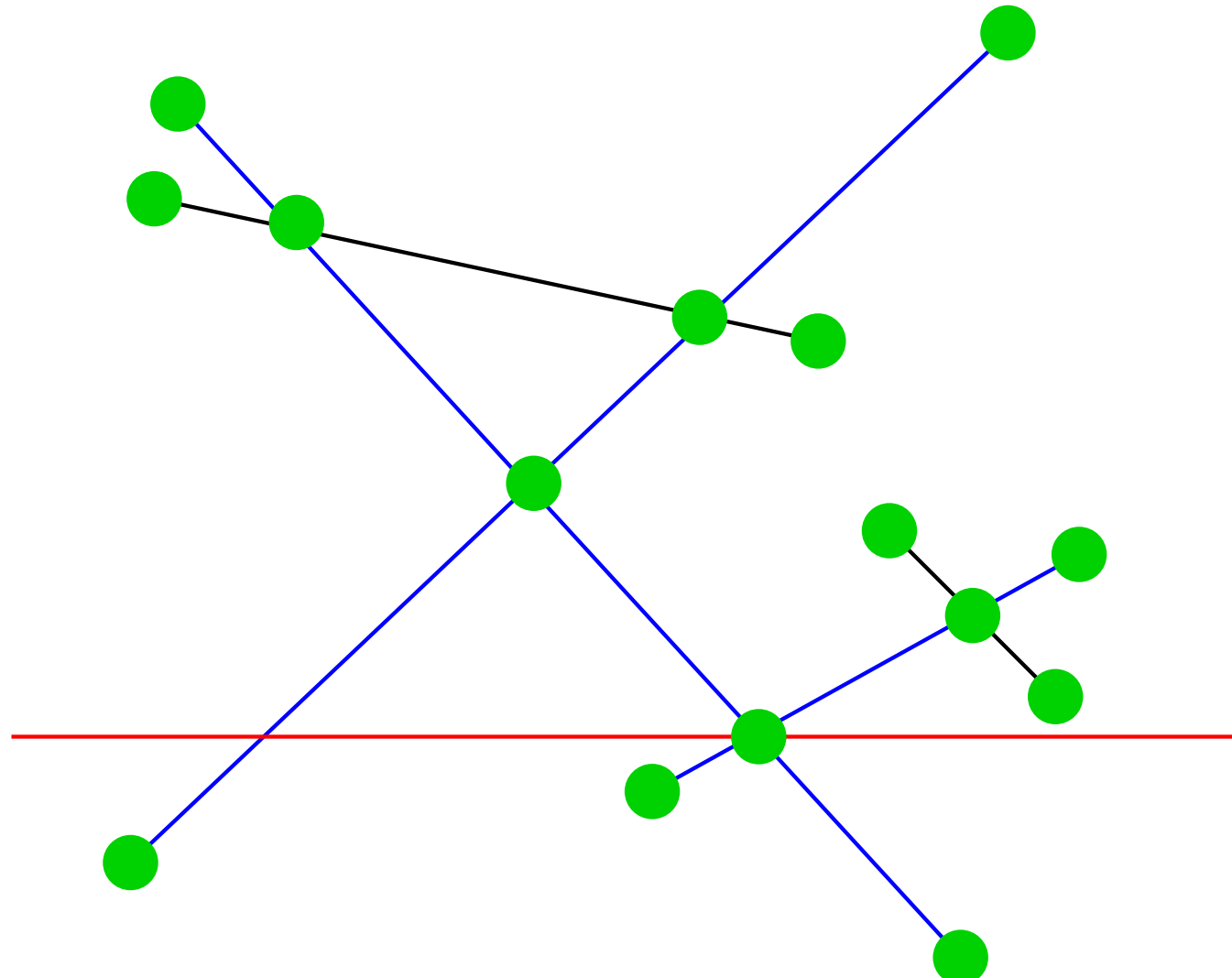
## Verallgemeinerung – Beispiel



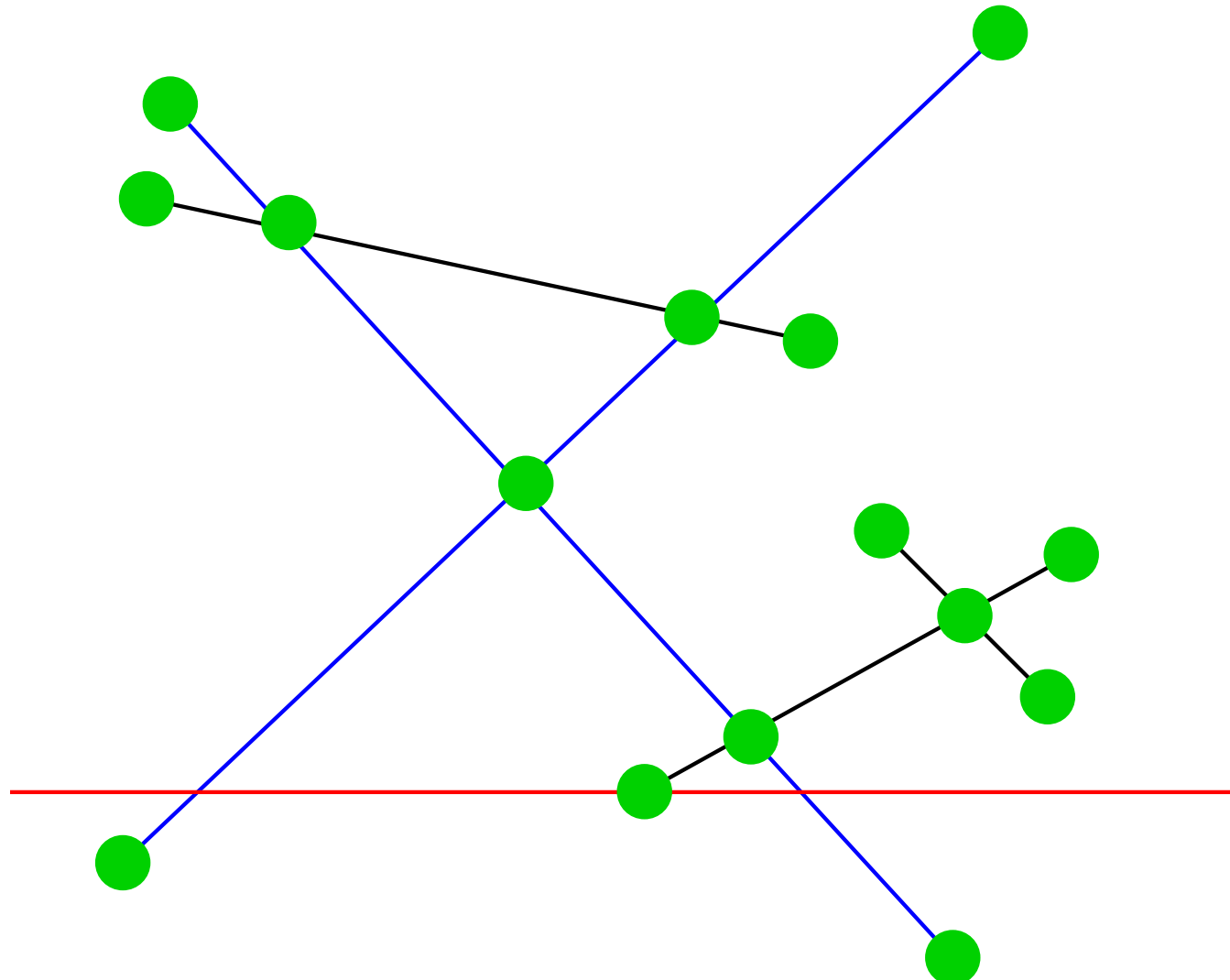
## Verallgemeinerung – Beispiel



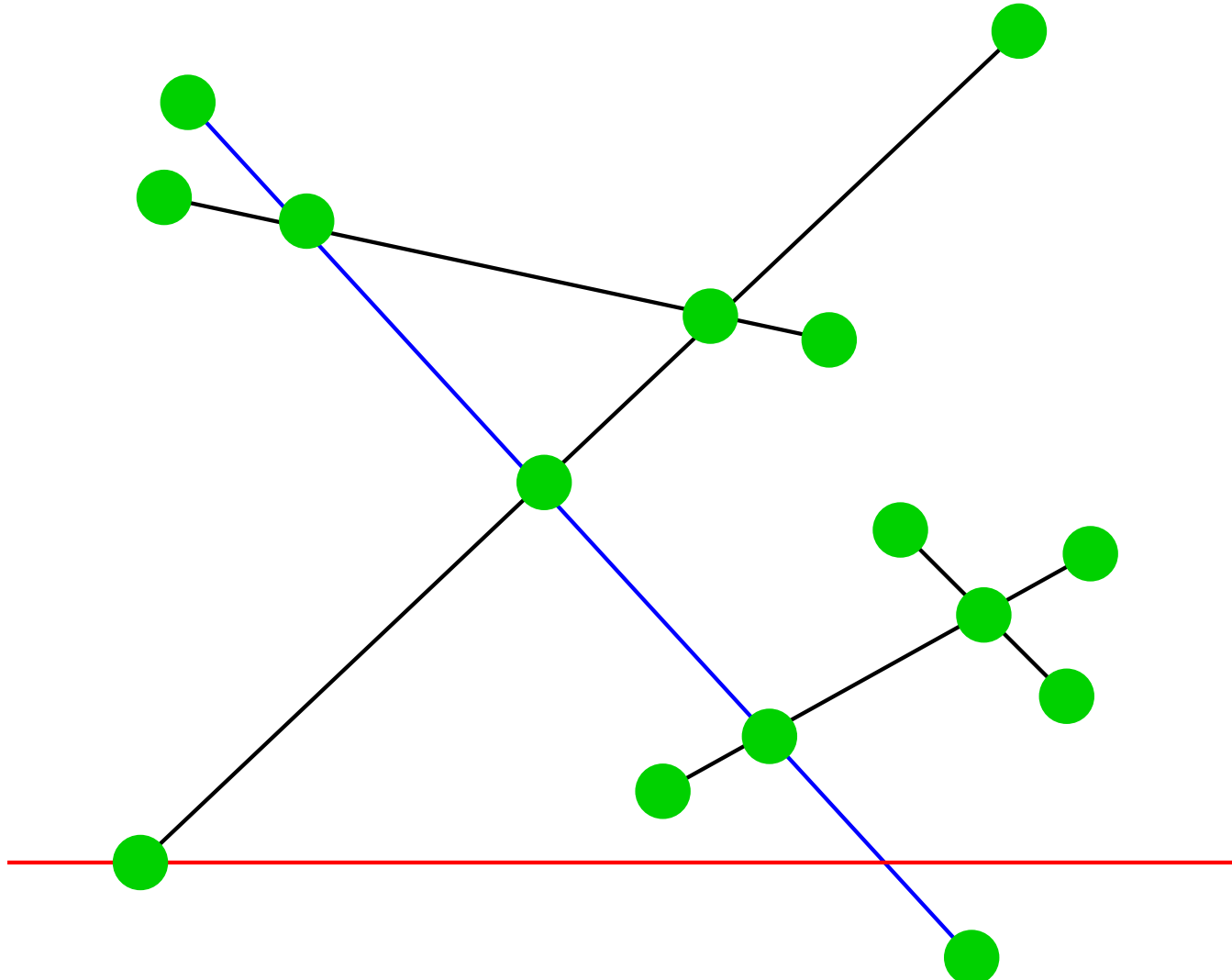
## Verallgemeinerung – Beispiel



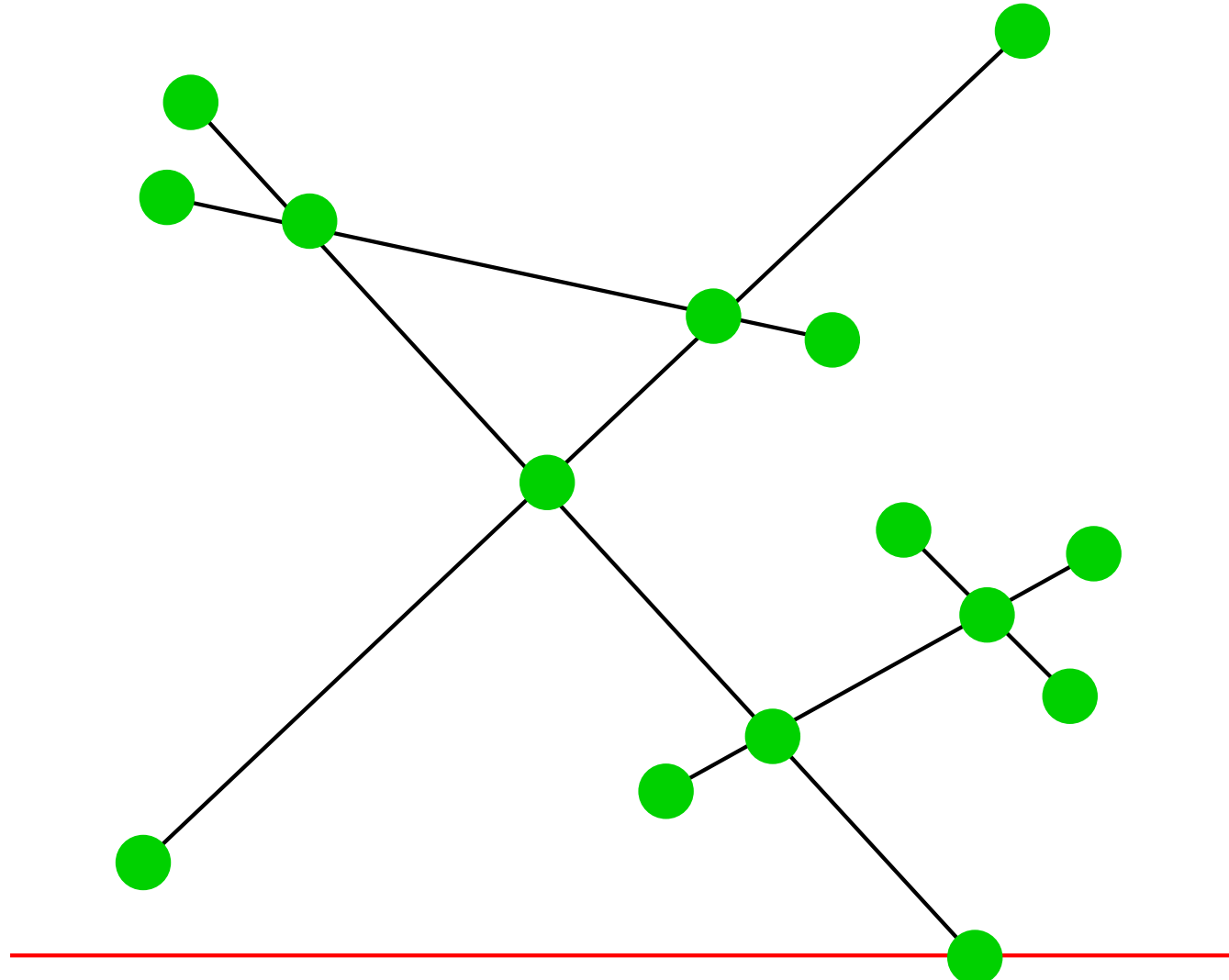
## Verallgemeinerung – Beispiel



## Verallgemeinerung – Beispiel



## Verallgemeinerung – Beispiel



## Verallgemeinerung – Analyse

Insgesamt:  $O((n + k) \log n)$

## Verallgemeinerung – jetzt (fast) wirklich

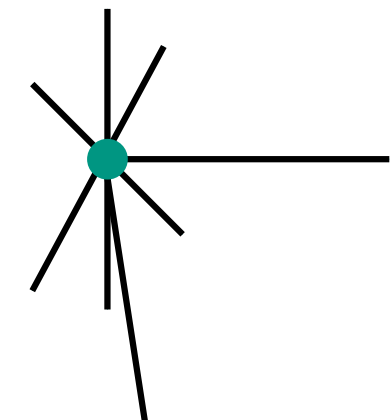
Verbleibende Annahme: Keine Überlappungen

Ordnung für  $Q$ :  $(x, y) \prec (x', y') \Leftrightarrow y > y' \vee y = y' \wedge x < x'$   
(verquere lexikographische Ordnung)

Interpretation: infinitesimal ansteigende Sweep-Line



$Q$  speichert Mengen von Ereignissen mit gleichem  $(x, y)$



**handleEvent**( $p = (x, y)$ )

$U :=$  segments starting at  $p$  // from  $Q$

$C :=$  segments with  $p$  in their interior // from  $T$

$L :=$  segments finishing at  $p$  // from  $Q$

**if**  $|U| + |C| + |L| \geq 2$  **then** report intersection @  $p$

$T.\text{remove}(L \cup C)$

$T.\text{insert}(C \cup U)$  such that order just below  $p$  is correct

**if**  $U \cup C = \emptyset$  **then**

**findNewEvent**( $T.\text{findPred}(p), T.\text{findSucc}(p), p$ )

**else**

**findNewEvent**( $T.\text{findPred}(p), T.\text{findLeftmost}(p), p$ )

**findNewEvent**( $T.\text{findRightmost}(p), T.\text{findSucc}(p), p$ )

**findNewEvent**( $s, t, p$ )

**if**  $s$  and  $t$  intersect at a point  $p' \succ p$  **then**

**if**  $p' \notin Q$  **then**  $Q.\text{insert}(p')$

## Überlappungen finden

Für jede Strecke  $s$  berechne die Gerade  $g(s)$ , auf der  $s$  liegt

Sortiere  $S$  nach  $g(s)$

1D Überlappungsproblem für jede auftretende Gerade.

## Platzverbrauch

Im Moment:  $\Theta(n + k)$

Reduktion auf  $O(n)$ :

lösche Schnittpunkte zwischen nicht benachbarten Strecken aus  $T$ .

Die werden ohnehin wieder eingefügt wenn sie wieder benachbart werden.

## Mehr Linienschnitt

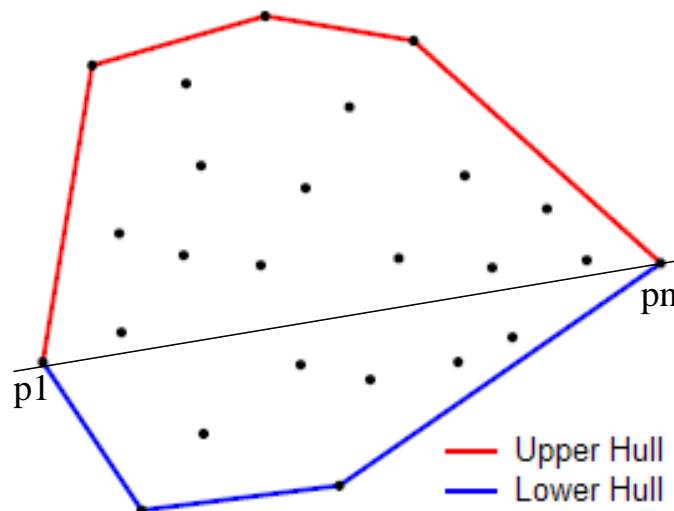
- [Bentley Ottmann 1979] Zeit  $O((n+k)\log n)$
- [Chazelle Edelsbrunner 1988] Zeit  $O(n \log n + k)$
- [Pach Sharir 1991] Zeit  $O((n+k)\log n)$ , Platz  $O(n)$
- [Mulmuley 1988] erwartete Zeit  $O(n \log n + k)$ , Platz  $O(n)$
- [Balaban 1995] Zeit  $O(n \log n + k)$ , Platz  $O(n)$

## 6.2 2D Konvexe Hülle

**Gegeben:** Menge  $P = \{p_1, \dots, p_n\}$  von Punkten in  $\mathbb{R}^2$

**Gesucht:** Konvexes Polygon  $K$  mit Eckpunkten aus  $P$  und  $P \subseteq K$ .

Wir geben einen einfachen Algorithmus, der in Zeit  $O(\text{sort}(n))$  läuft.



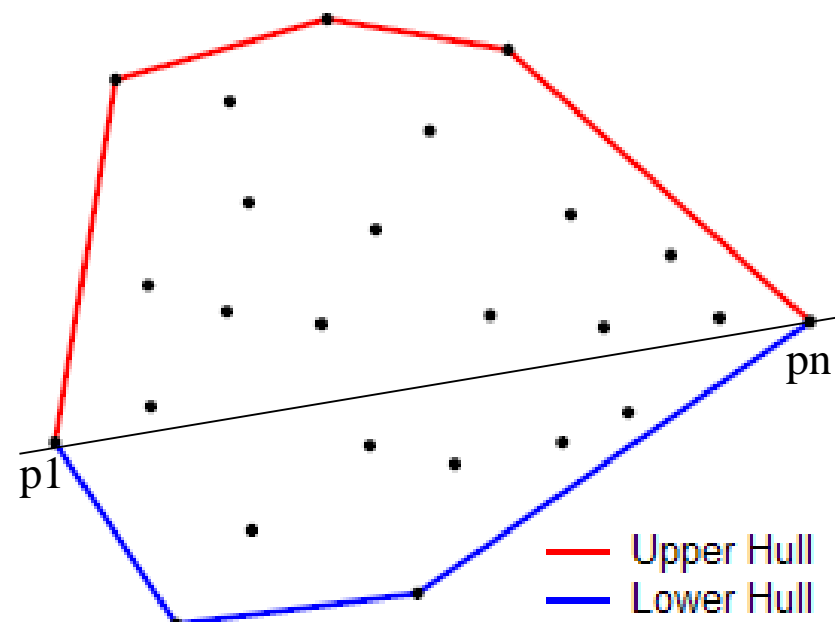
# Konvexe Hülle

sortiere  $P$  lexikographisch nach  $(x, y)$ , d.h., ab jetzt

$$p_1 < p_2 < \dots < p_n$$

OBdA:

Wir berechnen nur die obere Hülle von Punkten oberhalb von  $\overline{p_1 p_n}$



## Graham's Scan [Graham 1972, Andrew 1979]

**Function** `upperHull( $p_1, \dots, p_n$ )`

$L = \langle p_n, p_1, p_2 \rangle$  : Stack of Point

**invariant**  $L$  is the upper hull of  $\langle p_n, p_1, \dots, p_i \rangle$

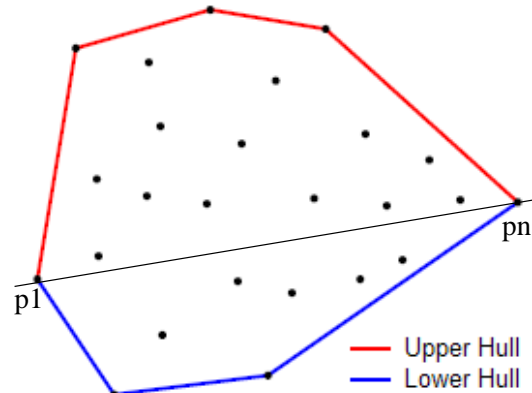
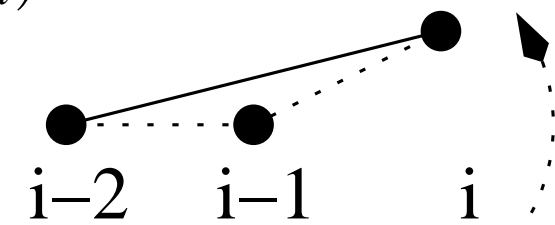
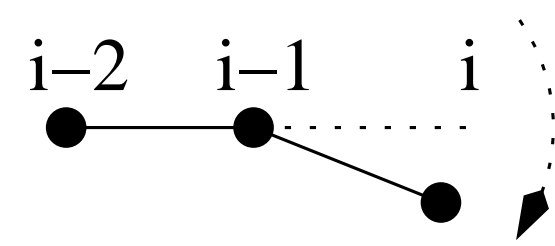
**for**  $i := 3$  **to**  $n$  **do**

**while**  $\neg \text{rightTurn}(L.\text{secondButlast}, L.\text{last}, p_i)$  **do**

$L.\text{pop}$

$L := L \circ \langle p_i \rangle$

**return**  $L$



# Graham's Scan – Beispiel

**Function** upperHull( $p_1, \dots, p_n$ )

$L = \langle p_n, p_1, p_2 \rangle$  : Stack **of** Point

**invariant**  $L$  is the upper hull of  $\langle p_n, p_1, \dots, p_i \rangle$

**for**  $i := 3$  **to**  $n$  **do**

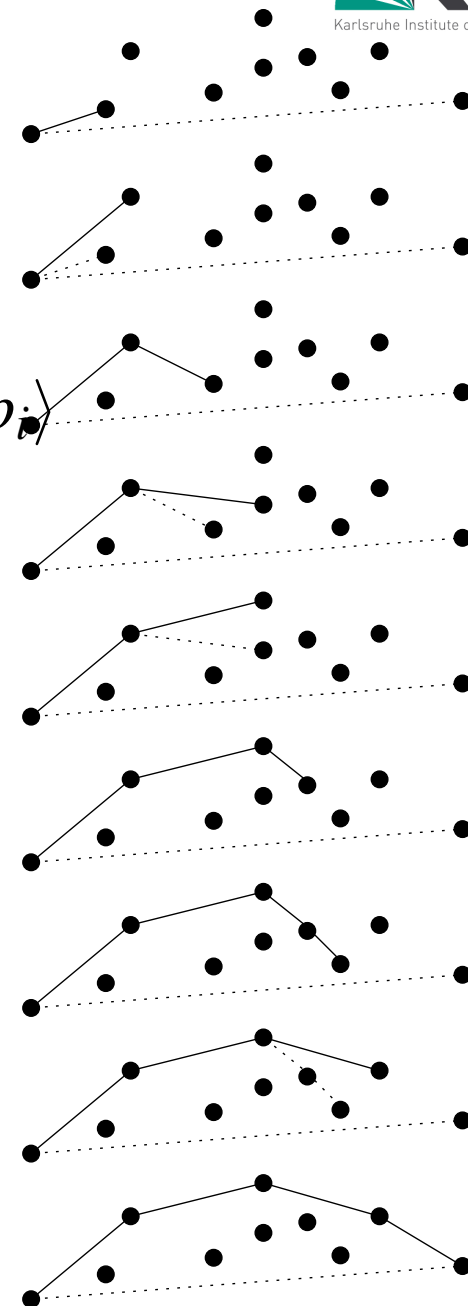
**while**  $\neg \text{rightTurn}(L.\text{secondButlast},$

$L.\text{last}, p_i)$  **do**

$L.\text{pop}$

$L := L \circ \langle p_i \rangle$

**return**  $L$



## Graham's Scan – Analyse

**Function** upperHull( $p_1, \dots, p_n$ )

$L = \langle p_n, p_1, p_2 \rangle$  : Stack **of** Point

**invariant**  $L$  is the upper hull of  $\langle p_n, p_1, \dots, p_i \rangle$

**for**  $i := 3$  **to**  $n$  **do**

**while**  $\neg \text{rightTurn}(L.\text{secondButlast}, L.\text{last}, p_i)$  **do**

$L.\text{pop}$

$L := L \circ \langle p_i \rangle$

**return**  $L$

Sortieren +  $O(n)$

Wieviele Iterationen der While-Schleife insgesamt?

## 3D Konvexe Hülle

Geht in Zeit  $O(n \log n)$  [Preparata Hong 1977]

**Konvexe Hülle,  $d \geq 4$**

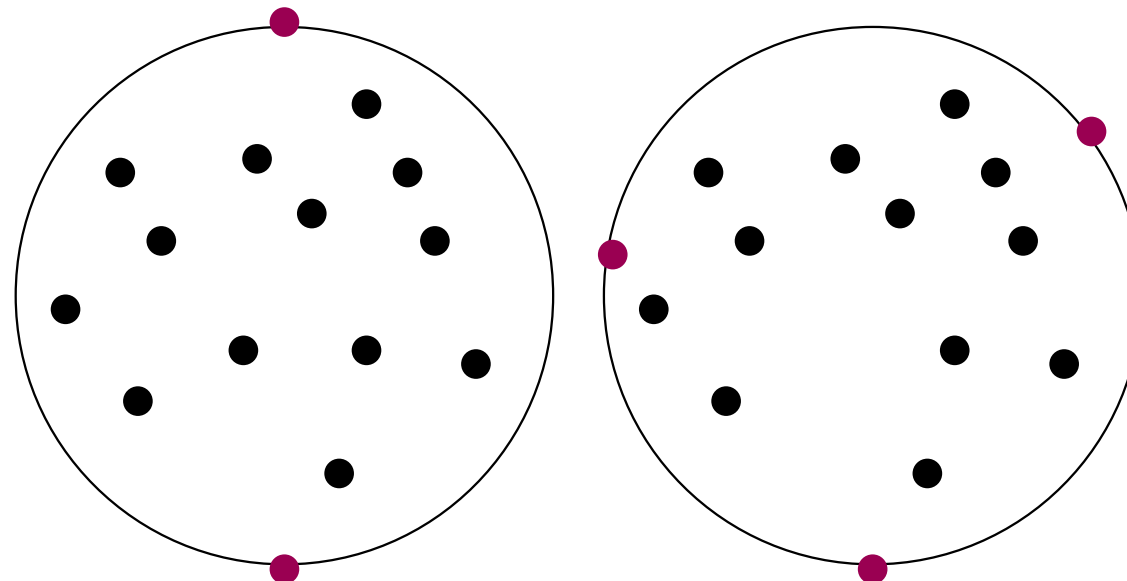
Ausgabekomplexität  $O\left(n^{\lfloor d/2 \rfloor}\right)$

## 6.3 Kleinste einschließende Kugel

**Gegeben:** Menge  $P = \{p_1, \dots, p_n\}$  von Punkten in  $\mathbb{R}^d$

**Gesucht:** Kugel  $K$  mit minimalem Radius, so dass  $P \subseteq K$ .

Wir geben einen einfachen Algorithmus, der in erwarteter Zeit  $O(n)$  läuft. [Welzl 1991].



**Function** `smallestEnclosingBallWithPoints( $P, Q$ )`

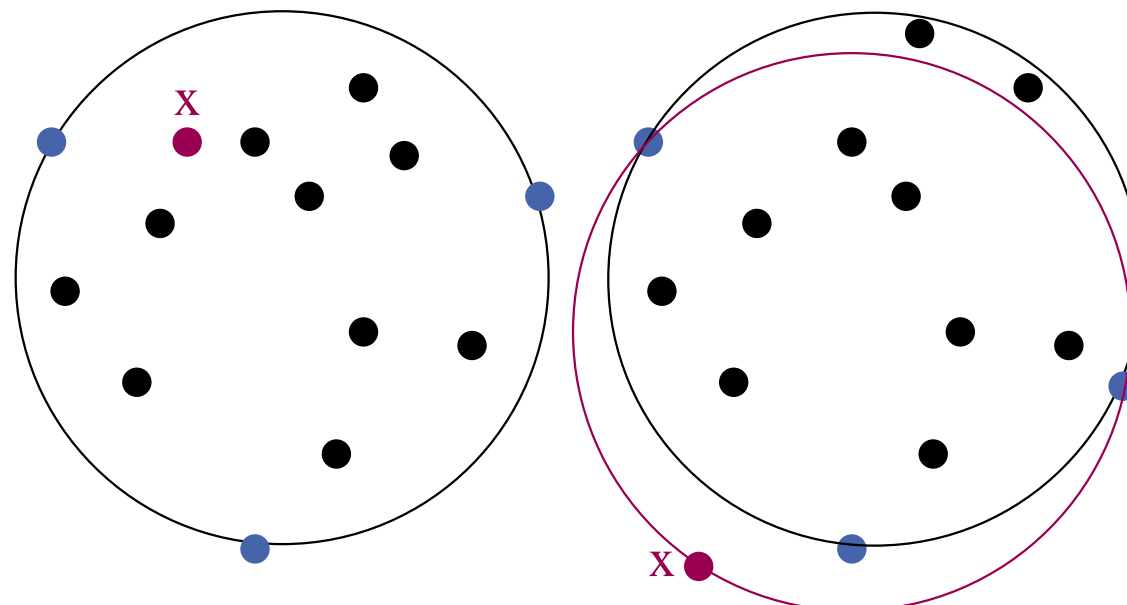
**if**  $|P| = 0 \vee |Q| = d + 1$  **then return** `ball( $Q$ )`

pick random  $x \in P$

$B :=$  `smallestEnclosingBallWithPoints( $P \setminus \{x\}, Q$ )`

**if**  $x \in B$  **then return**  $B$

**return** `smallestEnclosingBallWithPoints( $P \setminus \{x\}, Q \cup \{x\}$ )`



# Kleinste einschließende Kugel – Korrektheit

**Function**  $\text{smallestEnclosingBallWithPoints}(P, Q)$

**if**  $|P| = 1 \vee |Q| = d + 1$  **then return**  $\text{ball}(Q)$

pick random  $x \in P$

$B := \text{smallestEnclosingBallWithPoints}(P \setminus \{x\}, Q)$

**if**  $x \in B$  **then return**  $B$

**return**  $\text{smallestEnclosingBallWithPoints}(P \setminus \{x\}, Q \cup \{x\})$

z.Z.:  $x \notin B \rightarrow x$  ist auf dem Rand von  $\text{sEB}(P)$

Wir zeigen Kontraposition:

$x$  nicht auf dem Rand von  $\text{sEB}(P)$

$\rightarrow \text{sEB}(P) = \text{sEB}(P \setminus \{x\}) = B$

z.Z.: sEBs sind eindeutig!

Also  $x \in B$

**Lemma:** sEB( $P$ ) ist eindeutig bestimmt.

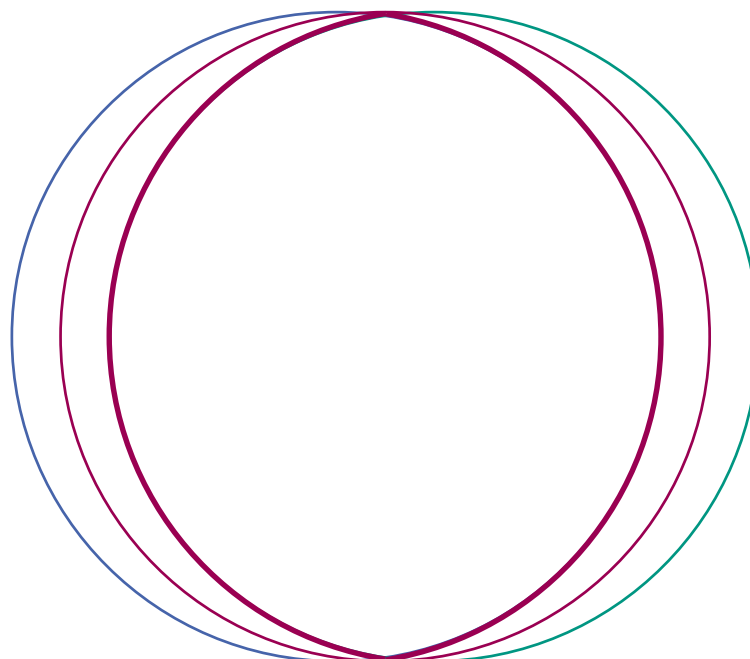
**Beweis:** Annahme,  $\exists$ sEBs  $B_1 \neq B_2$

$$\rightarrow P \subseteq B_1 \wedge P \subseteq B_2$$

$$\rightarrow P \subseteq B_1 \cap B_2 \subseteq \text{sEB}(B_1 \cap B_2) =: B$$

Aber dann ist  $\text{radius}(B) < \text{radius}(B_1)$

Widerspruch zur Annahme, dass  $B_1$  eine sEB ist. □



# Kleinste einschließende Kugel – Analyse

Wir zählen die erwartete Anzahl der Tests  $x \in B, T(p, q)$ .

$$T(p, d+1) = T(1, p) = 0 \quad \text{Basis der Rekurrenz}$$

$$T(p, q) \leq 1 + T(p-1, q) + \mathbb{P}[x \notin B] T(p, q+1)$$

$$\leq 1 + T(p-1, q) + \frac{d+1-q}{p} T(p, q+1)$$

## Kleinste einschließende Kugel – Analyse, $d = 2$

$$T(p, d+1) = T(1, p) = 0$$

$$T(p, q) \leq 1 + T(p-1, q) + \frac{d+1-q}{p} T(p, q+1)$$

$$T(p, 2) \leq 1 + T(p-1, 2) + \frac{1}{p} T(p, 3) \leq 1 + T(p-1, 2) \leq p$$

$$\begin{aligned} T(p, 1) &\leq 1 + T(p-1, 1) + \frac{2}{p} T(p, 2) \\ &\leq 1 + T(p-1, 1) + \frac{2}{p} p = 3 + T(p-1, 1) \leq 3p \end{aligned}$$

$$\begin{aligned} T(p, 0) &\leq 1 + T(p-1, 0) + \frac{3}{p} T(p, 1) \\ &\leq 1 + T(p-1, 0) + \frac{3}{p} 3p = 10 + T(p-1, 0) \leq 10p \end{aligned}$$

# Kleinste einschließende Kugel – Analyse

| $d$ | $T(p, 0)$ |
|-----|-----------|
| 1   | $3n$      |
| 2   | $10n$     |
| 3   | $41n$     |
| 4   | $206n$    |

Allgemein  $T(p, 0) \geq d!n$

# Ähnliche Randomisierte Linearzeitalgorithmen

- Lineare Programmierung mit konstantem  $d$  [Seidel 1991]
- Kleinster einschließender Ellipsoid, Kreisring,...
- Support-Vector-Machines (maschinelles Lernen)
- Alles wo (LP-type problem [Sharir Welzl 1992])
  - $O(1)$  Objekte das Optimum festlegen
  - Objekt  $x$  hinzufügen
    - Lösung bleibt gleich oder ist an Lösungsdef. beteiligt

## 6.4 2D Bereichssuche (range search)

**Daten:**  $P = \{p_1, \dots, p_n\} \subseteq \mathbb{R}^2$

**Anfragen:** achsenparallele Rechtecke  $Q = [x, x'] \times [y, y']$

finde  $P \cap Q$  (range reporting)

oder  $k = |P \cap Q|$  (range counting)

Vorverarbeitung erlaubt.

Vorverarbeitungszeit?  $O(n \log n)$

Platz?  $O(n)$  ?

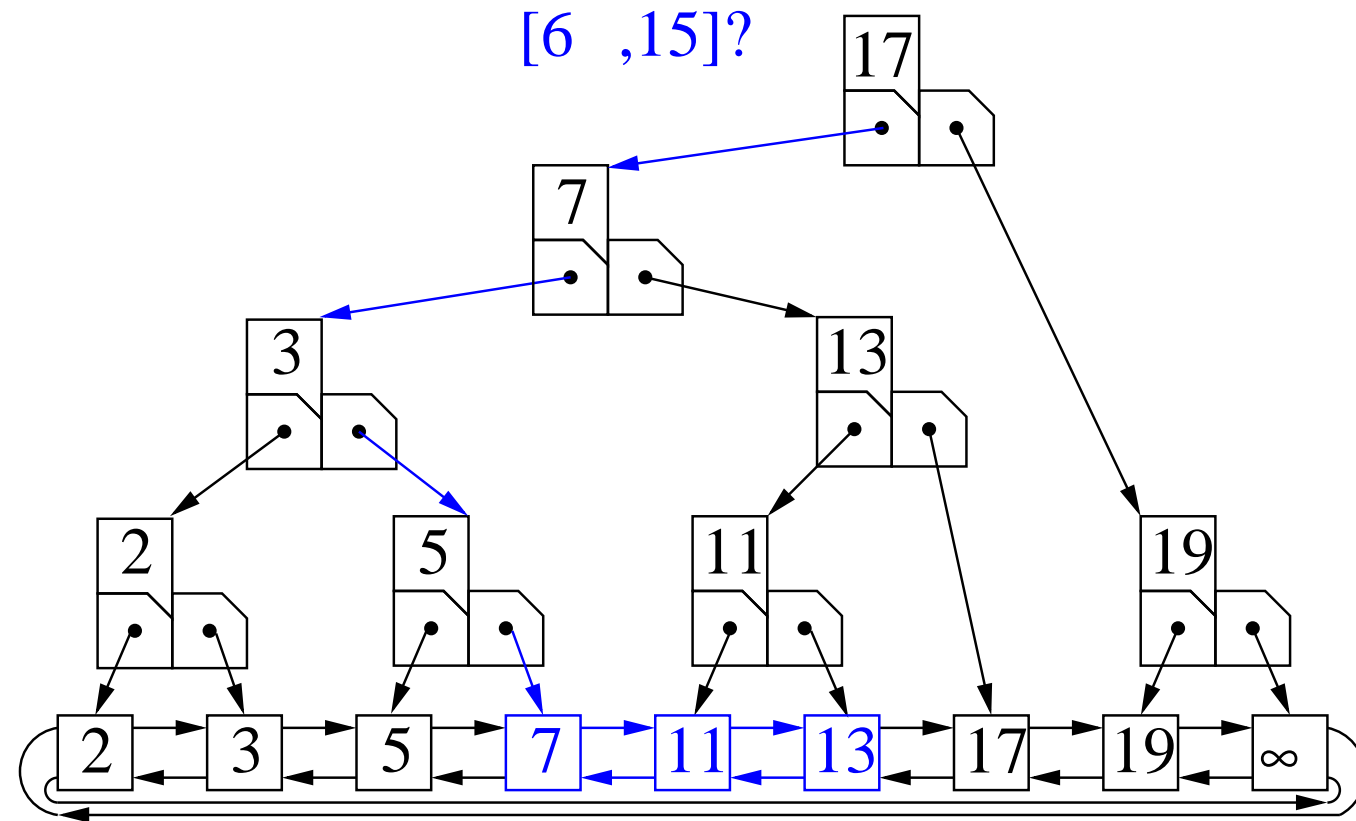
Anfragebearbeitung?

- Counting:  $O(\log n)$

- Reporting:  $O(k + \log n)$  oder wenigstens  $O(k \cdot \log n)$

# 1D Bereichssuche

Suchbaum



Zählanfragen: Teilbaumgrößen speichern  
Sogar dynamisch !

## Reduktion auf $1..n \times 1..n$

vereinfachende Annahme: Koordinaten paarweise verschieden.

Ersetze Koordinaten  $P = \{(x_1, y_1), \dots, (x_n, y_n)\}$  durch ihren Rang:

$x_i \rightarrow$  Rang von  $x_i$  in  $\{x_1, \dots, x_n\}$

$y_i \rightarrow$  Rang von  $y_i$  in  $\{y_1, \dots, y_n\}$

## Reduktion auf $1..n \times 1..n$

Ersetze Koordinaten  $P = \{(x_1, y_1), \dots, (x_n, y_n)\}$  durch ihren Rang:

$P_x := \text{sort}(\langle x_1, \dots, x_n \rangle); \quad P_y := \text{sort}(\langle y_1, \dots, y_n \rangle)$

$P := \{( \text{binarySearch}(x, P_x), \text{binarySearch}(y, P_y) ) : (x, y) \in P\}$

**Function** rangeQuery( $[x, x'] \times [y, y']$ )

$x := \text{binarySearchSucc}(x, P_x); \quad x' := \text{binarySearchPred}(x', P_x)$

$y := \text{binarySearchSucc}(y, P_y); \quad y' := \text{binarySearchPred}(y', P_y)$

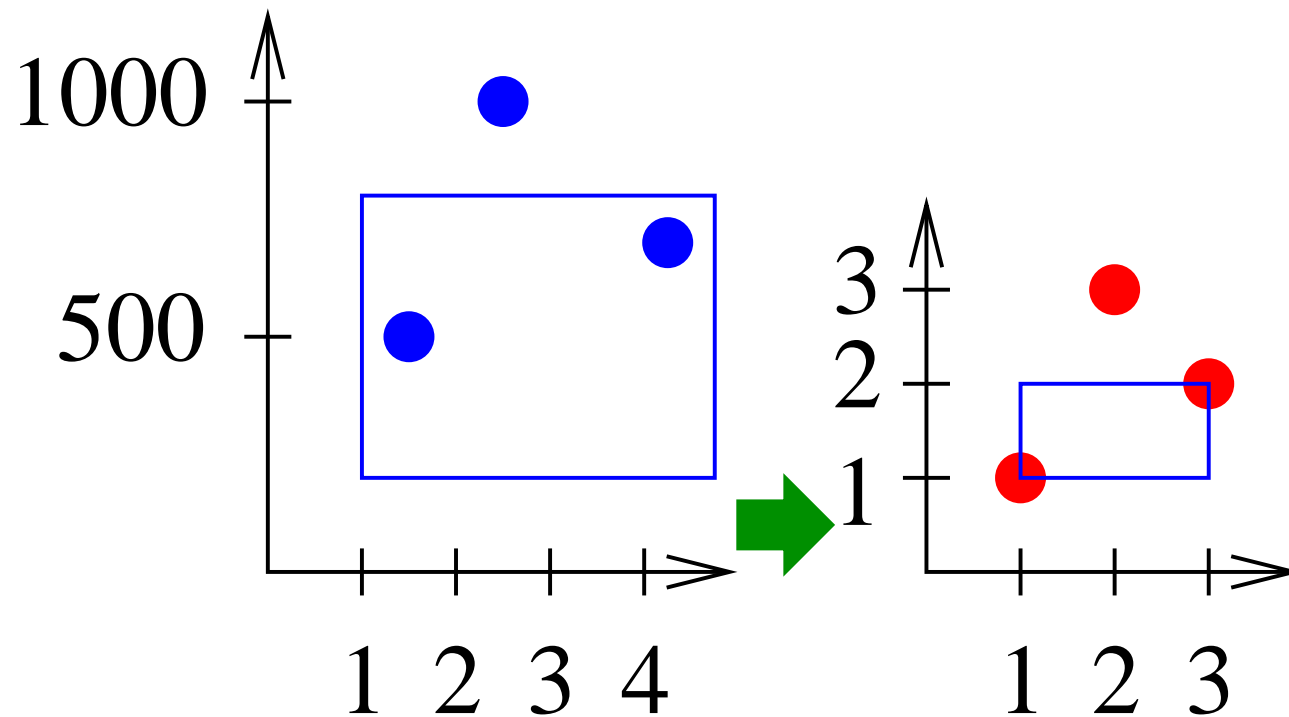
$R := \text{intRangeQuery}([x, x'] \times [y, y'])$

**return**  $\{(P_x[x], P_y[y]) : (x, y) \in R\}$

Zeit  $O(n \log n)$

## Beispiel

$$\{(2.5, 1000), (1.4, 500), (4.2, 700)\} \rightarrow \{(2, 3), (1, 1), (3, 2)\}$$



# Wavelet Tree

[Chazelle 1988, Grossi/Gupta/Vitter 2003, Mäkinen/Navarro 2007]

**Class** WaveletTree( $X = \langle x_1, \dots, x_n \rangle$ )// represents  $(x_1, 1), \dots, (x_n, n)$

//Constructor:

**if**  $n < n_0$  **then** store  $X$  directly

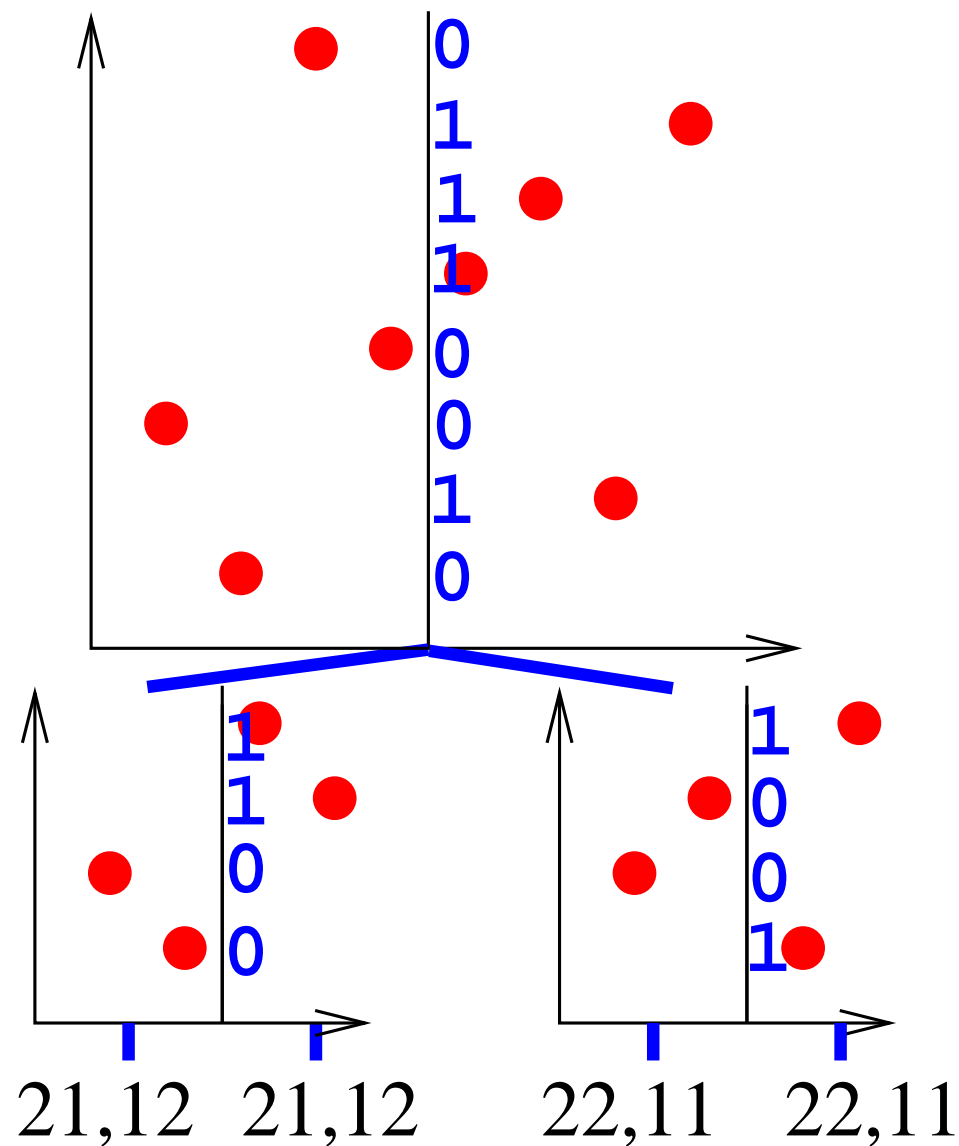
**else**

store bitvector  $b$  with  $b[i] = 1$  iff  $x_i > \lfloor n/2 \rfloor$

$\ell :=$  WaveletTree( $\langle x_i : x_i \leq \lfloor n/2 \rfloor \rangle$ )

$r :=$  WaveletTree( $\langle x_i - \lfloor n/2 \rfloor : x_i > \lfloor n/2 \rfloor \rangle$ )

## Beispiel

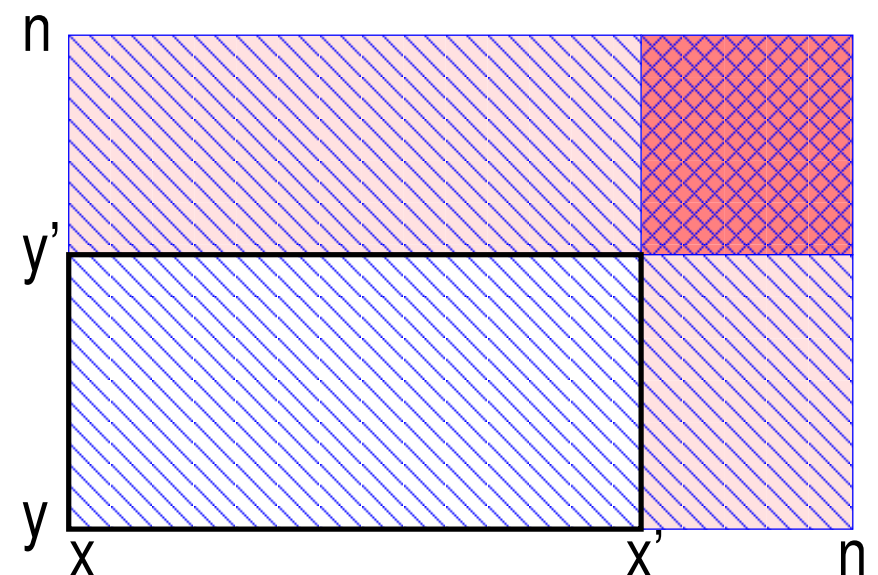


# Wavelet Tree Counting Query

**Function** intRangeCount( $[x, x'] \times [y, y']$ )

**return**

```
intDominanceCount( $x, y$ ) –  
intDominanceCount( $x', y$ ) –  
intDominanceCount( $x, y'$ ) +  
intDominanceCount( $x', y'$ )
```

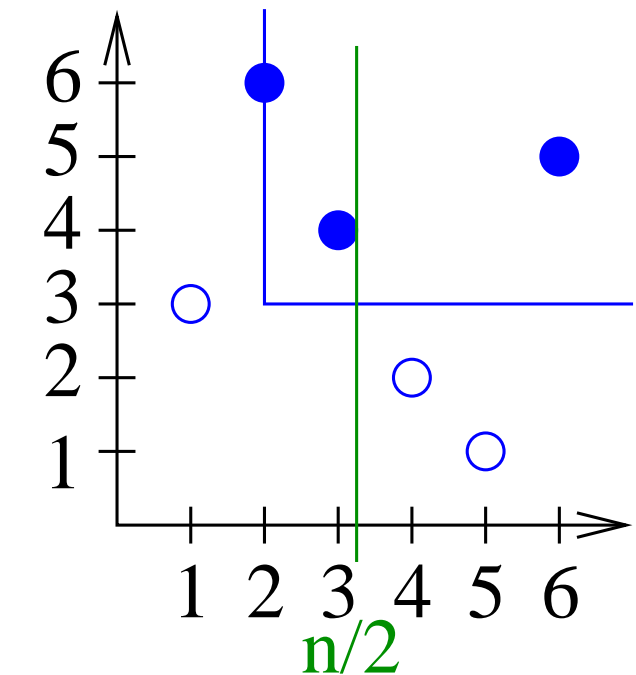


# Wavelet Tree Dominance Counting Query

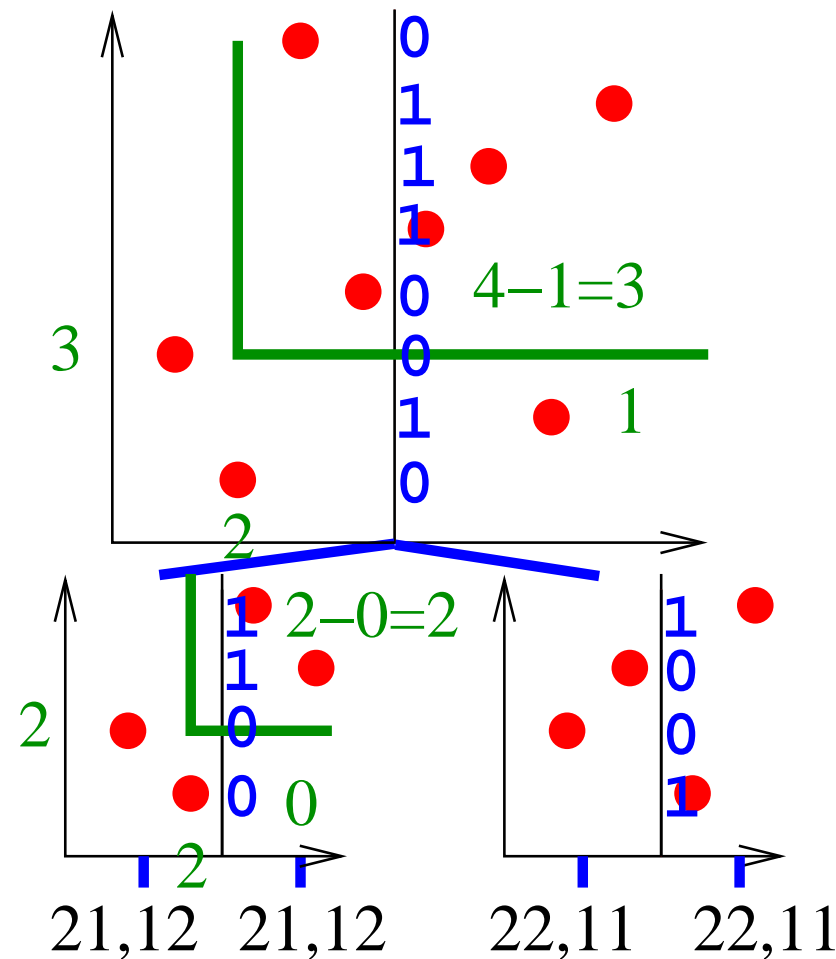
```

Function intDominanceCount( $x, y$ )           //  $|[x, n] \times [y, n] \cap P|$ 
    if  $n \leq n_0$  then return  $|[x, n] \times [y, n] \cap P|$       // brute force
     $y_r := b.rank(y)$           // Number of els  $\leq y$  in right half
    if  $x \leq \lfloor n/2 \rfloor$  then
        return  $\ell.intDominanceCount(x, y - y_r) + \lceil n/2 \rceil - y_r$ 
    else
        return  $r.intDominanceCount(x - \lfloor n/2 \rfloor, y_r)$ 

```



# Beispiel



## Analyse

Nur ein rekursiver Aufruf.

Rekursionstiefe  $O(\log n)$ .

rank in konstanter Zeit (s.u.)

Zeit  $O(\log n)$

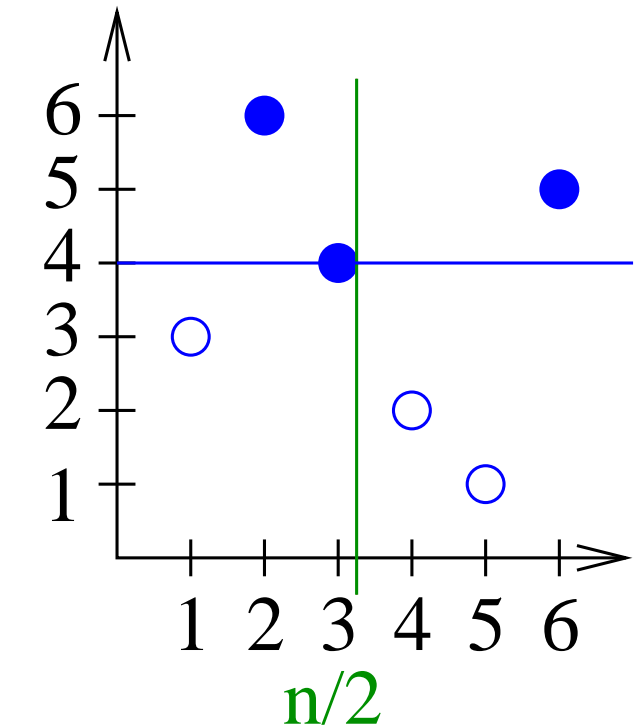
# Wavelet Tree Dominance Reporting Query

```
Function intDominanceReporting( $x, y$ )           //  $[x, n] \times [y, n] \cap P$ 
    if  $n \leq n_0$  then return  $[x, n] \times [y, n] \cap P$       // brute force
     $R := \emptyset$                                          // Result
     $y_r := b.rank(y)$                                 // Number of els  $\leq y$  in right half
    if  $x \leq \lfloor n/2 \rfloor$  then                      // Both halves interesting
        if  $y - y_r < \frac{n}{2}$  then  $R := R \cup \ell.intDominanceReporting(x, y - y_r)$ 
        if  $y_r < \frac{n}{2}$  then  $R := R \cup r.oneSidedReporting(y_r)$ 
        else if  $y_r < \frac{n}{2}$  then  $R := R \cup r.intDominanceReporting(x - \lfloor n/2 \rfloor, y_r)$ 
    return  $R$ 
```

```

Function oneSidedReporting( $y$ )           //  $[1, n] \times [y, n] \cap P$ 
    if  $n \leq n_0$  then return  $[1, n] \times [y, n] \cap P$       // brute force
     $y_r := b.rank(y)$           // Number of els  $\leq y$  in right half
     $R := \emptyset$ 
    if  $y_r < \frac{n}{2}$  then  $R := R \cup r.oneSidedReporting(y_r)$ 
    if  $y - y_r < \frac{n}{2}$  then  $R := R \cup \ell.oneSidedReporting(y - y_r)$ 
    return  $R$ 

```



# Analyse

Rekurrenz

$$T(n_0, 0) = O(1)$$

$$T(n, 0) = T(n/2, 0) + O(1) \implies T(n, 0) = O(\log n)$$

$$T(n, k) = T(n/2, k') + T(n/2, k - k') + O(1) \text{ also}$$

$$\begin{aligned} T(n, k) &\leq ck' \log n + c(k - k') \log n + c = c(1 + k \log n) = \\ &O(k \log n) \end{aligned}$$

Zeit  $O(k + \log n)$  braucht zusätzlichen Faktor  $\log n$  Platz.

Z.B. komplette Listen auf allen Ebenen speichern

Übungsaufgabe?

# Allgemeine Reporting Query

4-seitig

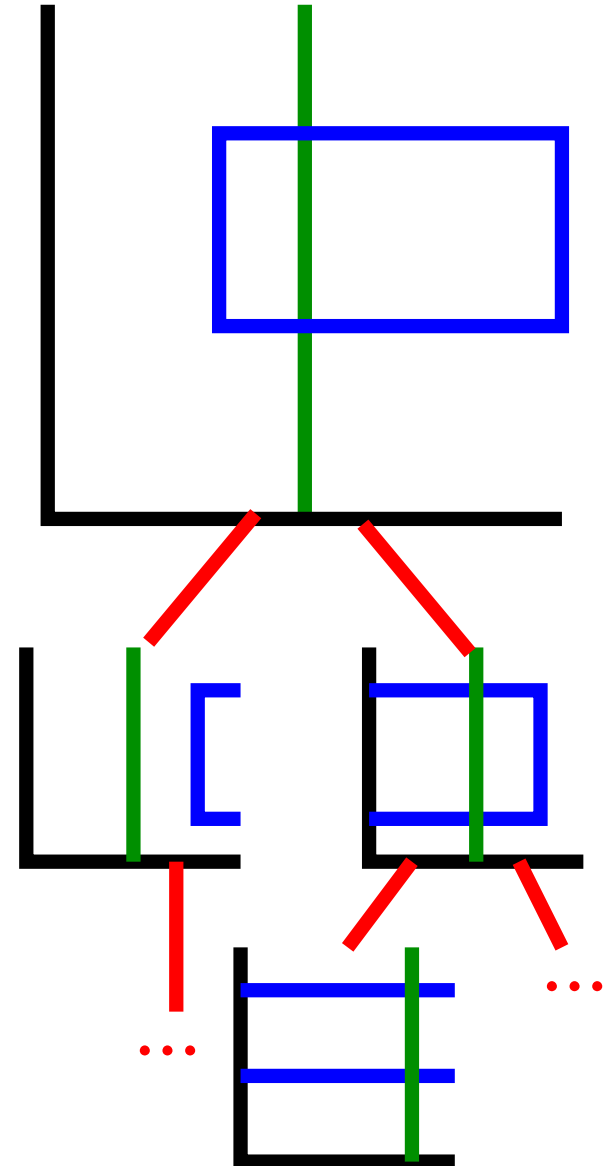
~~~

3-seitig (2 Varianten)

~~~

y-range

Analog oneSidedReporting (zwei Ranks statt einem)



## Bitvektoren $v$ mit rank in $O(1)$

Wähle  $B = \Theta(\log n)$ .

Vorberechnung  $\text{bRank}[i] := v.\text{rank}(iB)$

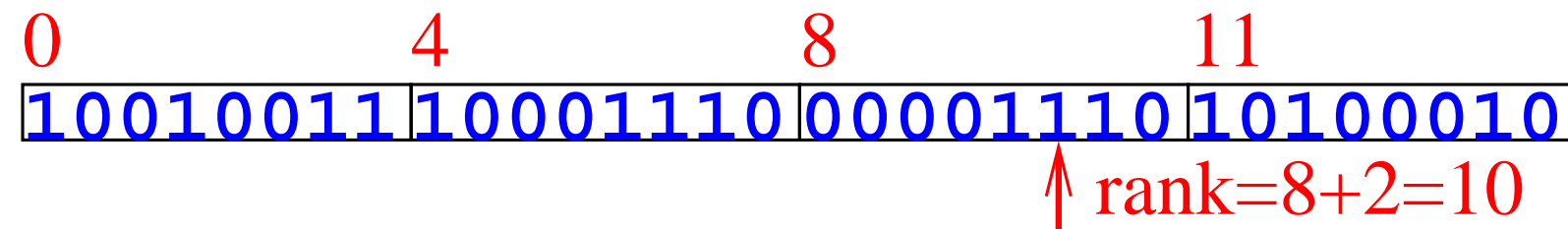
Zeit  $O(n)$ , Platz  $O(n)$  bits

Reduktion auf logarithmische Eingabegröße:

**Function**  $\text{rank}(j)$    **return**  $\text{bRank}[j \text{ div } B] + \text{rank}(v[B(j \text{ div } B)..j])$

Logarithmische Größe:

Maschinenbefehl (population count) oder Tabellenzugriff (z.B. Größe  $\sqrt{n}$  Zahlen)

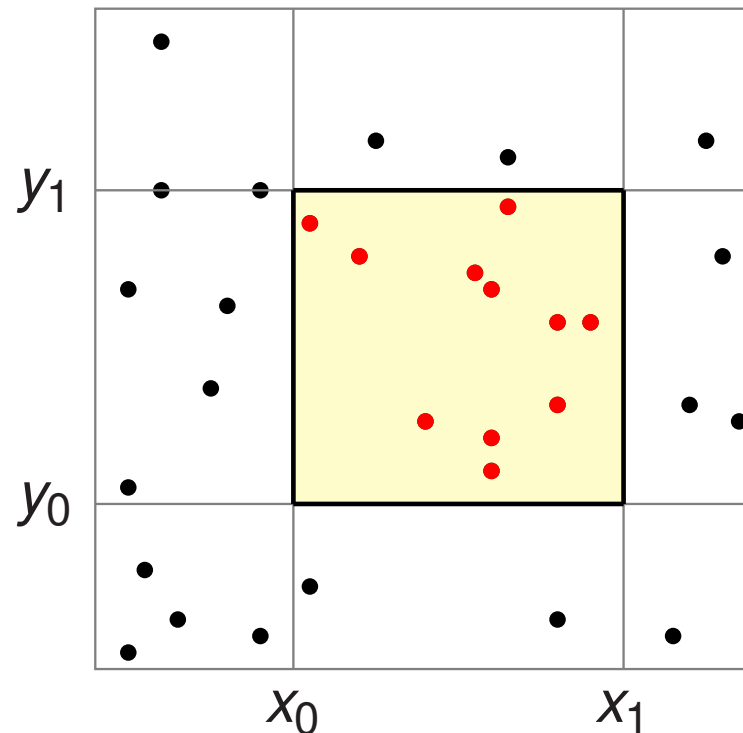


## Mehr zu Bitvektoren

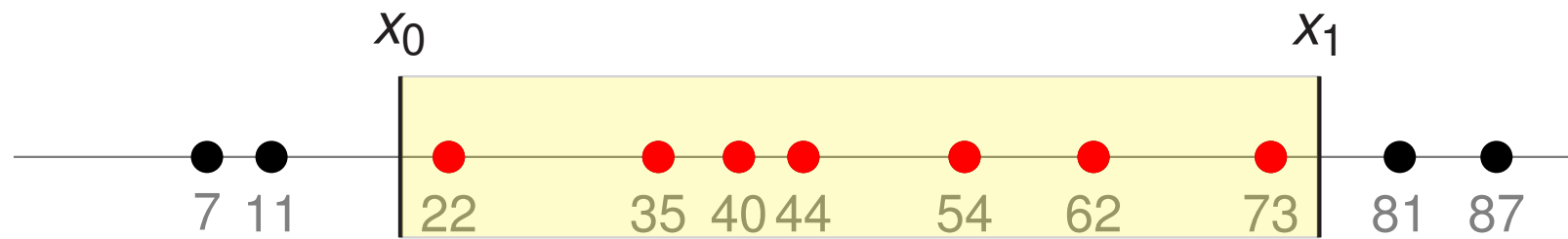
- weitere wichtige Operation  $b.\text{select}(i)$ := Position des  $i$ -ten 1-bits.  
Ebenfalls  $O(1)$
- Informationstheoretisch asympt. optimaler Platz  $n + o(n)$  bits möglich.
- Grundlage für weitere succinct data structures
- Beispiel: Baum mit Platz  $2n + o(n)$  bits und Navigation in konstanter Zeit.

# Orthogonal range searching

Classical OLAP queries: „Find all users aged between 30 and 35 who are connected to at least 100 and at most 200 other users“



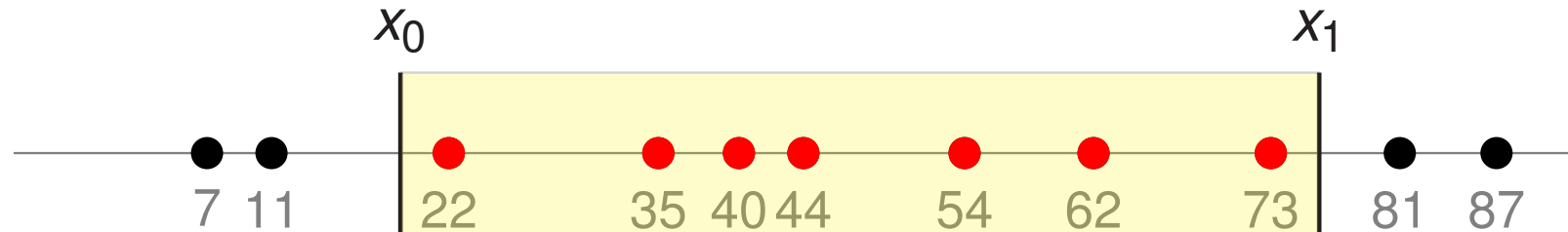
# Orthogonal range searching – 1D



One dimensional case ( $d = 1$ ). Example ( $x_0 = 19$ ,  $x_1 = 76$ ):

- $\text{count}(x_0, x_1) = 7$
- $\text{report}(x_0, x_1) = \{22, 35, 40, 44, 54, 62, 73\}$

# Orthogonal range searching – 1D

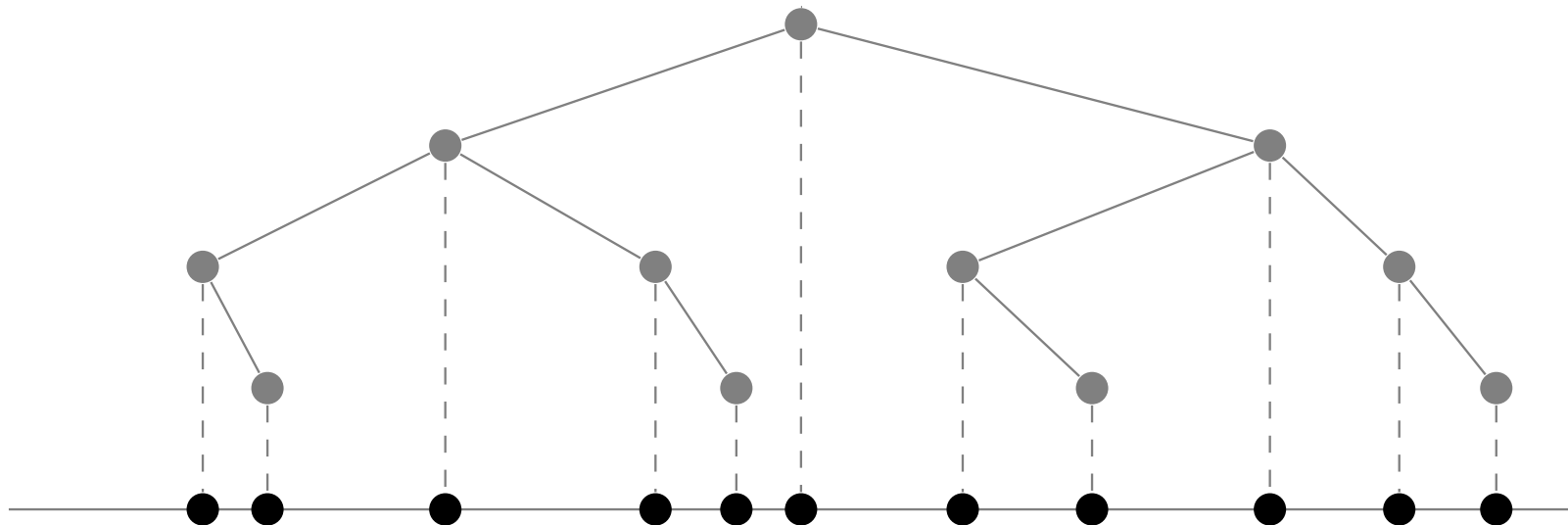


Simple solution

- Sort points according to  $x$ -coordinates ( $O(n \log n)$ ) and store them in array  $A$
- Calculate successor  $x'_0$  of  $x_0$  and predecessor  $x'_1$  of  $x_1$
- Let  $i'(j')$  be the index of  $x'_0$  ( $x'_1$ ) in  $A$
- Method *count* returns  $k = j' - i' + 1$  (in  $O(\log n)$  time)
- Method *report* returns subarray  $A[i', j']$  (in  $O(\log n + k)$  time)

# Orthogonal range searching – 1D

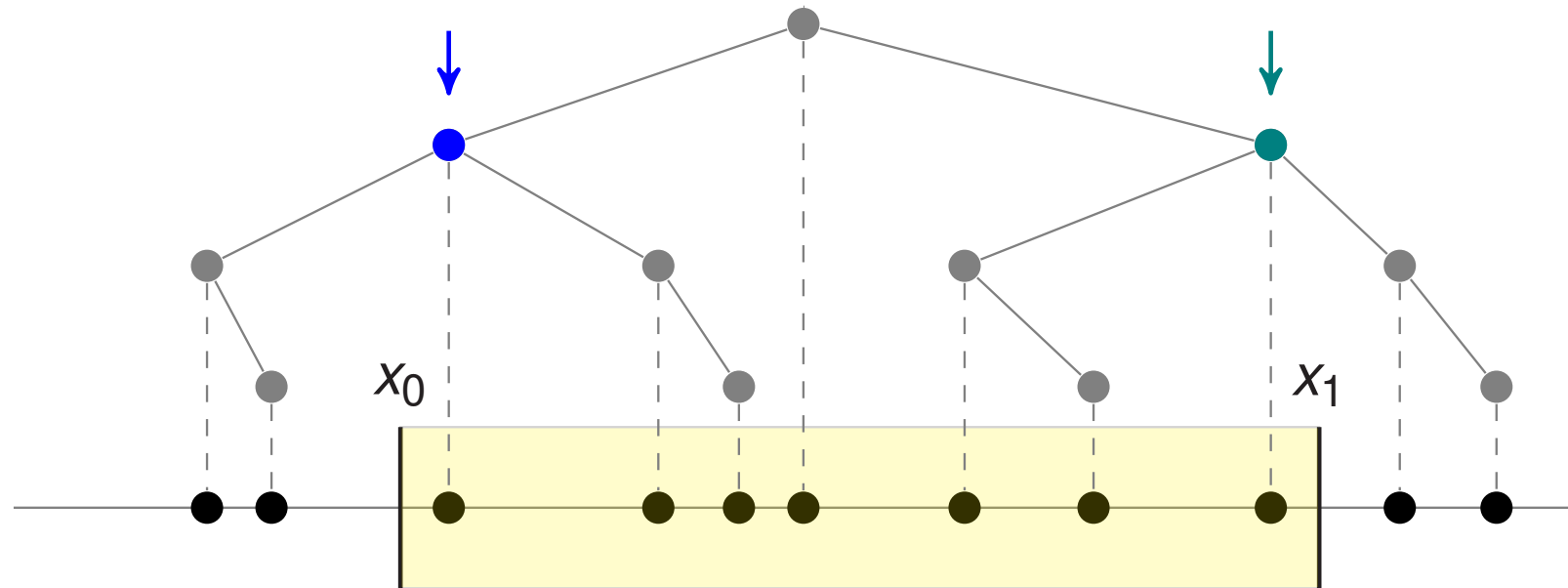
Alternative solution: balanced binary search trees



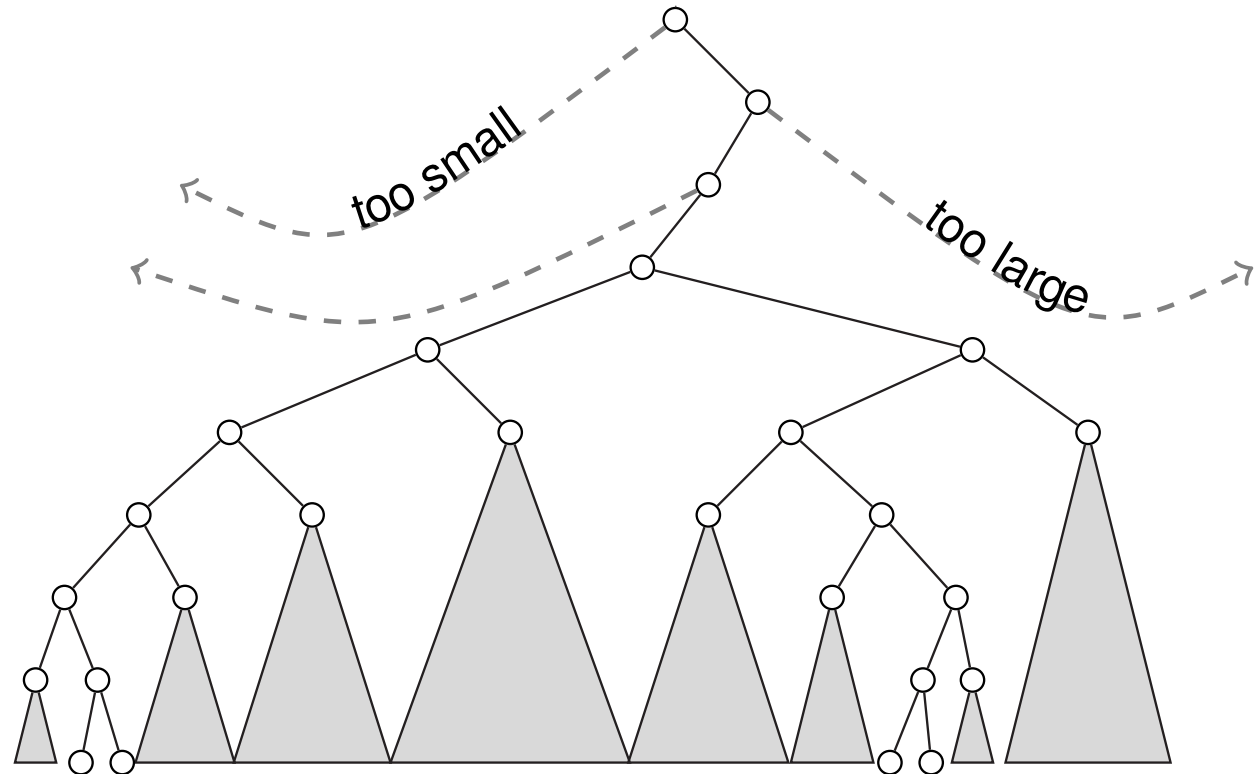
- Find point in middle, split set and recurse on both half (pick left point if set size is even)
- Depth is  $\log n$ , construction time is bounded by sorting ( $O(n \log n)$ )

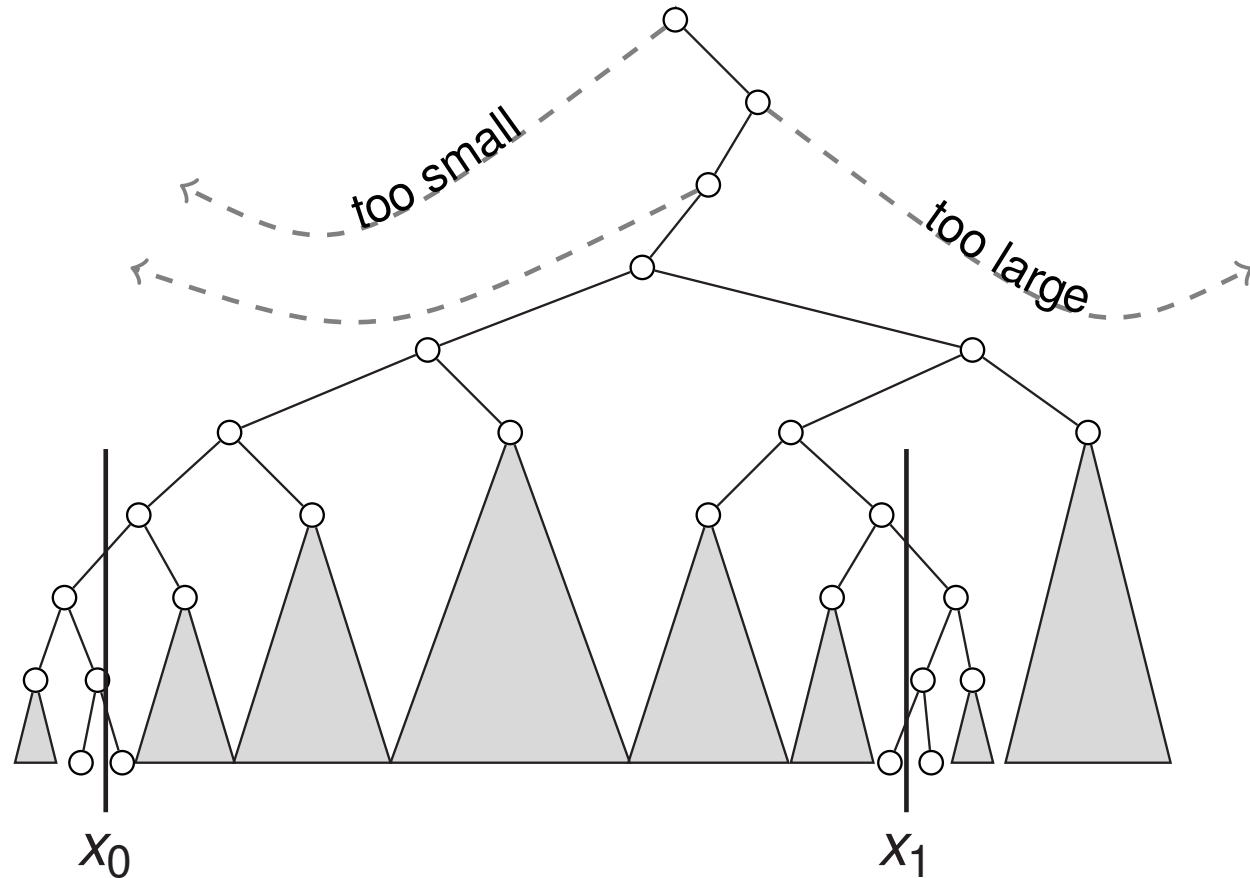
# Orthogonal range searching – 1D

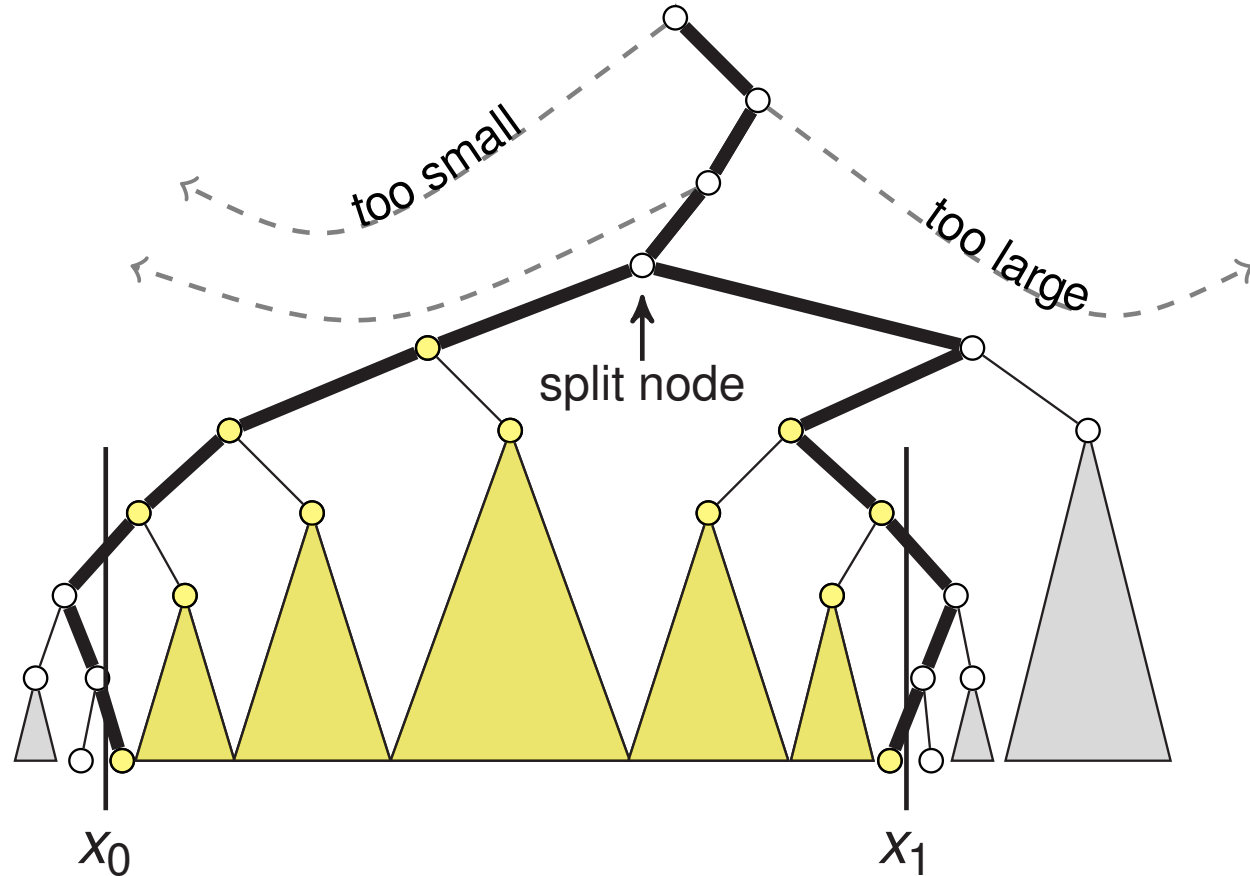
Alternative solution: balanced binary search trees

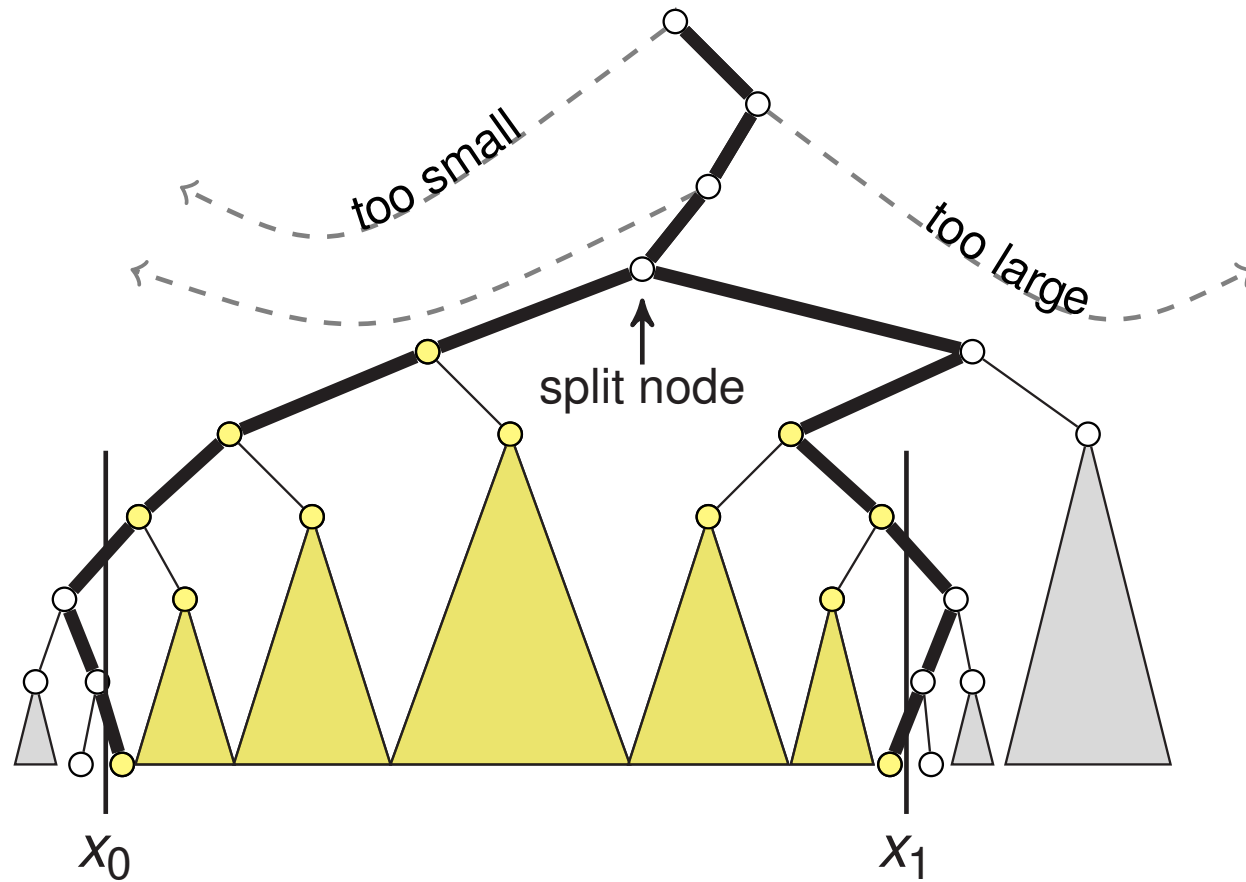


- Find successor (predecessor) of  $x_0$  ( $x_1$ ) again



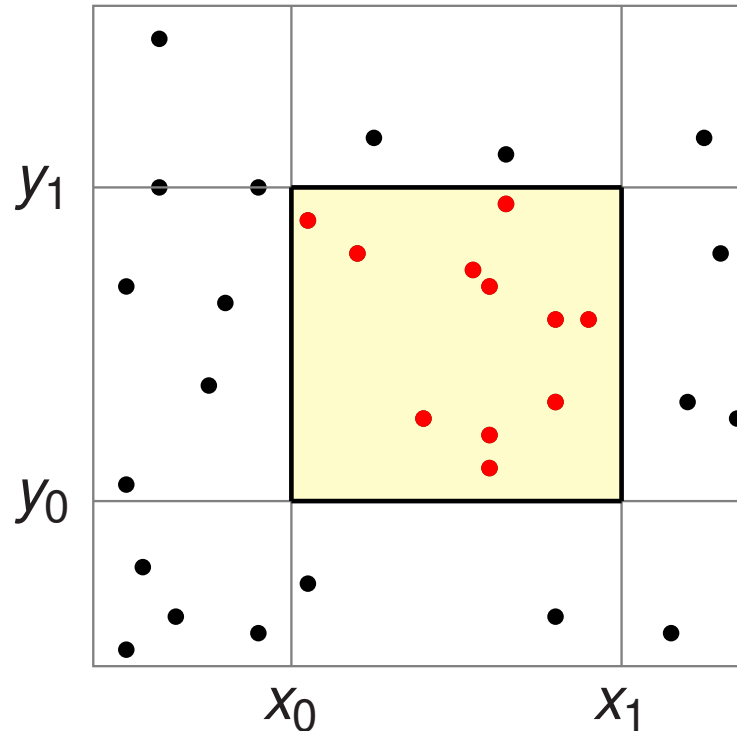






- Subtrees of off-path edges are either included or excluded from result
- Result can be implicitly represented using included off-path subtrees (there are at most  $O(\log n)$  of them)

# Orthogonal range searching – 2D



Two dimensional case ( $d = 2$ ): Example ( $x_0 = 12, x_1 = 32, y_0 = 10, y_1 = 29$ ):

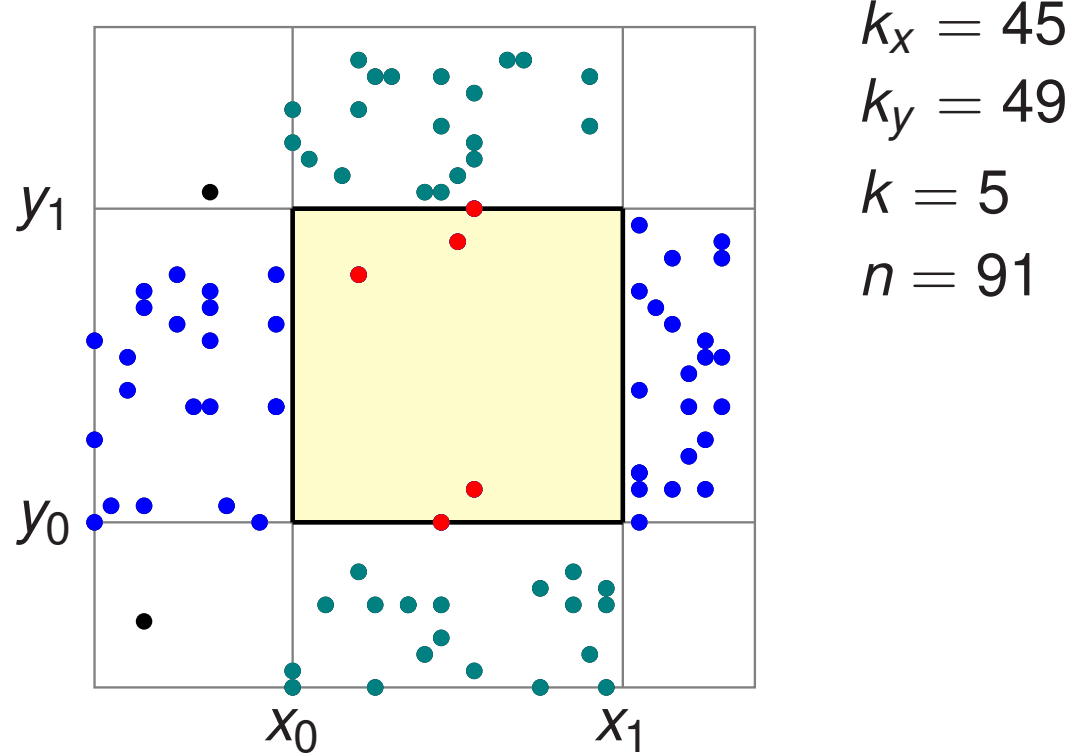
- $\text{count}(x_0, x_1, y_0, y_1) = 11$
- $\text{report}(x_0, x_1, y_0, y_1) = (19, 40), (23, 39), (22, 49), \dots$

# Orthogonal range searching – 2D

## First attempt of a solution

- Store points in array  $A_x$  and  $A_y$
- Sort points in  $A_x$  according to  $x$ -coordinate ( $A_y$  according to  $y$ -coordinate)
- Let  $k_x = \text{count}(x_0, x_1)$  in  $A_x$ , i.e all points with  $x_0 \leq x \leq x_1$
- Let  $k_y = \text{count}(y_1, y_1)$  in  $A_y$ , i.e. all points with  $y_0 \leq y \leq y_1$
- Check smaller point list for both constraints
- Time complexity for this approach:  $O(\log n) + O(\min(k_x, k_y))$
- Well, there are cases...

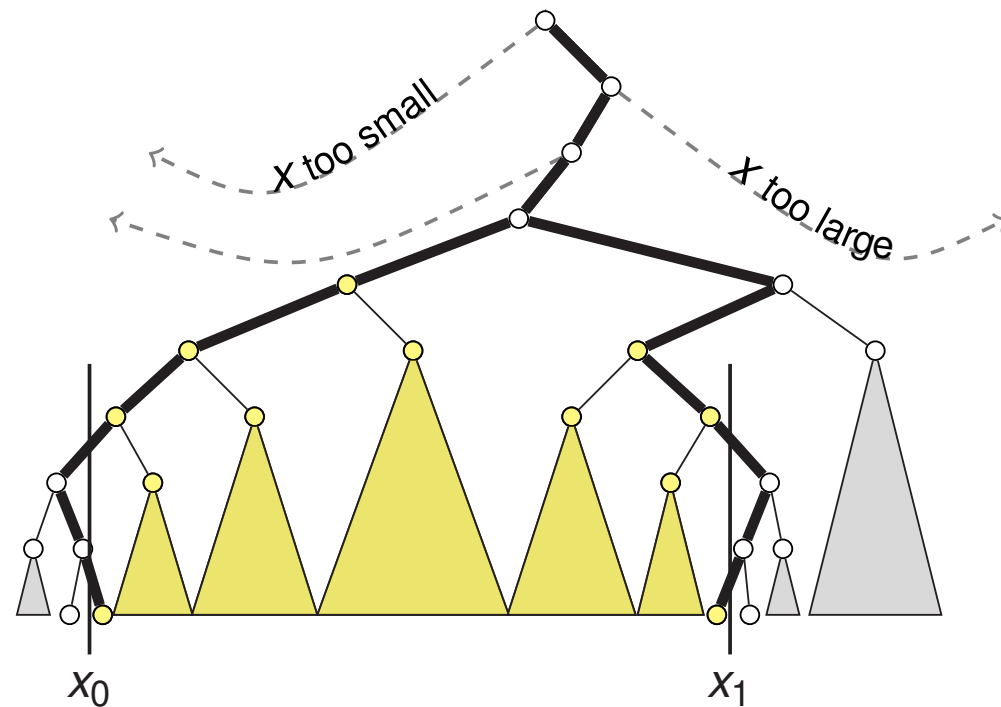
# Orthogonal range searching – 2D



# Orthogonal range search – 2D

## Second attempt

- Build a balanced binary tree using the  $x$  coordinates
- Calculate the  $O(\log n)$  subtrees which contain all points with  $x_0 \leq x \leq x_1$
- Idea: Filter these subtrees by  $y$ -coordinate



# Orthogonal range searching – 2D

How to filter by  $y$ -coordinate

- For each node  $v$  in the tree build a 1D range searching structure on the  $y$ -coordinates of all points in  $v$ 's subtree
- This can be done during the preprocessing
- How does the query process change?
  - Determine paths to successor and predecessor of  $x_0$  and  $x_1$
  - Determine the root nodes of the  $O(\log n)$  included off-path subtrees
  - For each such root node  $v_i$  retrieve all points which are in  $[y_0, y_1]$  in  $O(\log n + k_i)$  time, where  $k_i$  is the number of matching points

Total time complexity:  $O(\log^2 n + k)$

- At most  $O(\log n)$  subtrees for  $x$
- Retrieval time for each subtree  $O(\log n + k_i)$
- Points from two different subtrees are *distinct*

# Orthogonal range searching – 2D

How to filter by  $y$ -coordinate

- For each node  $v$  in the tree build a 1D range searching structure on the  $y$ -coordinates of all points in  $v$ 's subtree
- This can be done during the preprocessing
- How does the query process change?
  - Determine paths to successor and predecessor of  $x_0$  and  $x_1$
  - Determine the root nodes of the  $O(\log n)$  included off-path subtrees
  - For each such root node  $v_i$  retrieve all points which are in  $[y_0, y_1]$  in  $O(\log n + k_i)$  time, where  $k_i$  is the number of matching points

Total time complexity:  $O(\log^2 n + k)$

- At most  $O(\log n)$  subtrees for  $x$
- Retrieval time for each subtree  $O(\log n + k_i)$
- Points from two different subtrees are *distinct*

# Orthogonal range searching – 2D

How much space is used?

- Tree height is  $O(\log n)$
- On each level  $\ell$  each point is represented in only one node
- $\sum_{i=0}^{c_1 \log n} c_2 n = O(n \log n)$  words

How long does the preprocessing take?

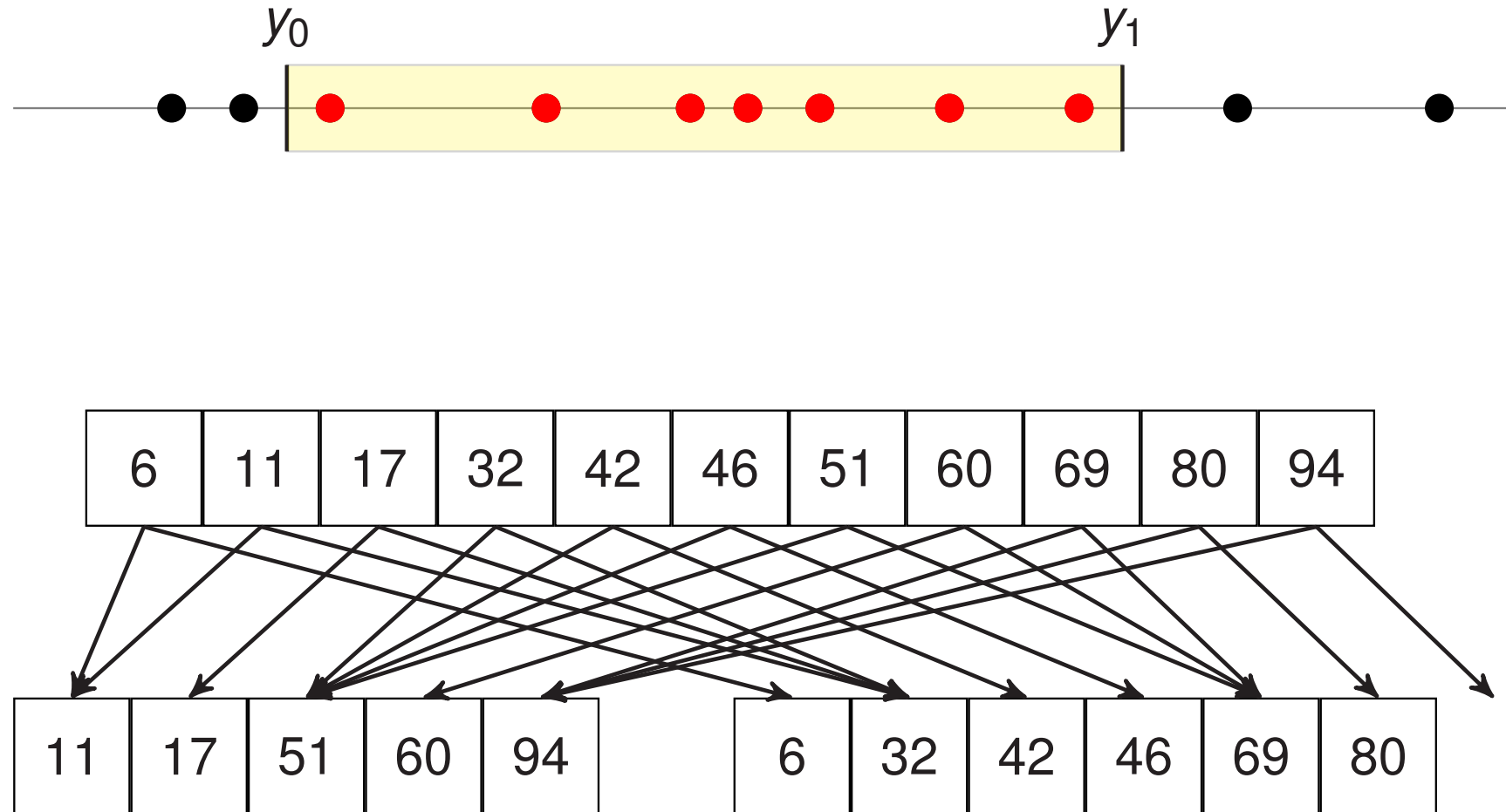
- Problem: points have to be sorted according to  $y$ -coordinate in each node
- Solution: bottom-up construction
  - Start at the leaves
  - Merge the (already sorted) lists of the two children of a node
  - I.e.  $O(n \log n)$  construction time

# Orthogonal range searching – 2D

2d-range searching in  $O(\log n + k)$  time

- Idea: Avoid expensive calculation of successor/predecessor in all  $O(\log n)$  1d-range structures for  $y$ -coordinates
- Determine successor/predecessor in root node and map result into child nodes
- Technique known as *fractional cascading*
- More detailed: For each node  $v$  and entry of the  $y$ -range searching structure store a pointer to the corresponding successor in  $v$ 's left and right child

# Orthogonal range searching – 2D



# Überblick

Einleitung

Job-Scheduling

Skiausleihe

Speicherverwaltung

Auswahl von Experten

# Quellen

- ▶ Skript zu dieser Vorlesung
- ▶ Unterlagen von R. van Stee zur Vorlesung «Approximations- und Online-Algorithmen» (KIT)
- ▶ Buch Borodin/El-Yaniv: Online Computation and Competitive Analysis
- ▶ Unterlagen von F. Kuhn zur Vorlesung «Algorithm Theory» (Uni Freiburg)
- ▶ Unterlagen von G. Schnitger und A. Kovacs (beide Uni Frankfurt/Main) zur Vorlesung «Effiziente Algorithmen»
- ▶ Unterlagen zur Vorlesung «Online and Approximation Algorithms» von Susanne Albers (TU München)
- ▶ und viele andere mehr ...

# Eine Reihe von Beispielen

auf manche werden wir genauer eingehen:

- ▶ Job-Scheduling
- ▶ Skiausleihe
- ▶ Speicherverwaltung
- ▶ Auswahl von «Experten»
- ▶ selbstorganisierende Datenstrukturen

# Beispiel Job-Scheduling

ähnlich wie im Kapitel zu Approximationsalgorithmen

- ▶ *Maschinen*  $M_1, \dots, M_m$
- ▶ *Anfrage*: ein Job  $J_i$ , der Zeit  $t_j \geq 0$  benötigt
- ▶ *Antwort*: Zuordnung von  $J_i$  zu einer Maschine  $M_j$
- ▶ Wie kann man den *Makespan* minimieren?  
(Wann ist die letzte Maschine fertig?)
- ▶ Entscheidung für jedes  $J_i$  ohne Kenntnis der zukünftigen Jobs

# Beispiel Skiausleihe

- ▶ *Skiurlaub*: solange das Wetter gut ist, jeden Morgen  
*Anforderung*: «Skier besorgen!»
  - ▶ sobald Wetter schlecht, Aufforderung: «Heimfahren!»
- ▶ zwei mögliche «*Antworten*»
  - ▶ Ski für einen Tag ausleihen; Kosten  $k \text{ €}$
  - ▶ Ski für ganzen Urlaub kaufen; Kosten  $K \text{ €}$ ,  $K > k$
- ▶ Was tun, um Gesamtkosten klein zu halten?  
(in welchem Sinne?)
- ▶ Entscheidung ohne Kenntnis des zukünftigen Wetters

# Beispiel Speicherverwaltung

- ▶ langsamer *Hauptspeicher* Größe  $N$



schneller *Cache* Größe  $k < N$



- ▶ *Anforderung:* eine Seite  $P$  des Hauptspeichers: 
- ▶  $P$  im Cache: alles gut
- ▶  $P$  nicht im Cache: *Cache Miss, Strafpunkt, Seitenfehler*  
«*Antwort*» des Systems:
  - ▶ verdränge an einer Stelle  $a$  im Cache
  - ▶ die dort gespeicherte Seite durch  $P$
- ▶ Welche Verdrängungsstrategie minimiert die «Kosten»?
- ▶ Auswahl der verdrängten Seiten ohne Kenntnis der zukünftigen Anforderungen

# Auswahl von Experten

- ▶ in jeder von mehreren Runden:
  1. jeder von  $n$  Experten: eine Ja/Nein-Empfehlung
    - ▶ Experten können irren!
  2. eigene Ja/Nein-Entscheidung
  3. Mitteilung, welche Entscheidung richtig gewesen wäre
- ▶ Wie kann man die Anzahl Fehlentscheidungen minimieren?  
(in welchem Sinne?)
- ▶ eigene Entscheidungen ohne Kenntnis der zukünftigen Qualität der Expertenantworten

# Beispiel Selbstorganisierende Datenstrukturen

- ▶ einfach verkettete Liste
- ▶ *Anforderung:* ein Element  $x$  der Liste  
Kosten: Position von  $x$  in Liste
- ▶ mögliche *Reaktionen:*
  - ▶ ohne weitere Kosten: angefragtes Element weiter nach vorne
  - ▶ mit Kosten 1: Vertauschung zweier aufeinanderfolgender Elemente
- ▶ Welche Listen-Verwaltung minimiert die Kosten?
- ▶ eventuelle Umordnungen ohne Kenntnis der zukünftigen Anforderungen

# Online-Algorithmus

Formalisierung (Borodin/El-Yaniv folgend)

- ▶ «Eingabe» als *Folge von Anforderungen* (engl. *requests*)  
 $\sigma = (r_1, r_2, \dots, r_n) \in R^n$
- ▶ auf Anforderung  $r_i$  muss bearbeitet werden
  - ▶ *Antwort*  $a_i = g_i(r_1, \dots, r_i) \in A$
  - ▶ *ohne Wissen der Zukunft* ( $r_{i+1}, \dots$ )
    - ▶ auch keine probabilistischen Annahmen
    - ▶ *unwiderruflich*
- ▶ also ALG festgelegt durch  $g_1, g_2, \dots$
- ▶ *Kosten* festgelegt durch  $\text{cost}_n : R^n \times A^n \rightarrow \mathbb{R}_{>0}$  (nie 0)
- ▶ für  $\sigma \in R^n$  produziert ALG Ausgabe  
 $\text{ALG}[\sigma] = (g_1(r_1), g_2(r_1, r_2), \dots, g_n(r_1, \dots, r_n))$   
mit Kosten  $\text{ALG}(\sigma) = \text{cost}_n(\sigma, \text{ALG}[\sigma])$

# Competitive Analysis

Warum man nicht einfach die Kosten schlimmster Instanzen betrachten kann

- ▶ Beispiel Speicherverwaltung
  - ▶ schlimmste Anforderungsfolgen  $\sigma \in R^n$  erzwingen
  - ▶ *in jedem Schritt* Seitenfehler
  - ▶ *für jeden Onlinealgorithmus*
- ▶ schlimmste Instanzen sind immer gleich schlimm

# Competitive Analysis

Betrachte alle Instanzen und vergleiche mit «optimalem» Wettbewerber

- ▶ betrachte «*optimalen Offline-Algorithmus* OPT»
- ▶ (jedenfalls, falls  $A$  endlich ist, existiert)  
$$\text{für } \sigma \in R^n \text{ } \text{OPT}(\sigma) = \min\{\text{cost}_n(\sigma, \tau) \mid \tau \in A^n\}$$
- ▶ nur bei Kenntnis der *ganzen* Folge  $\sigma$  bestimmbar
- ▶ Aufgabe: Vergleiche ALG mit OPT!
- ▶ Frage: Wie?
  
- ▶ Beachte: hier nur *Minimierungsprobleme*

# Wettbewerbsfaktor

für Onlinealgorithmus  $\text{ALG}$  heist

$$c_{\text{ALG}} = \sup\{\text{ALG}(\sigma)/\text{OPT}(\sigma) \mid \sigma \in R^+\}$$

der **Wettbewerbsfaktor** (engl. *competitive ratio*) von  $\text{ALG}$

- ▶ sofern nicht  $\infty$

# Strikte $c$ -Kompetitivität

der technisch angenehmere Fall

- ▶ Onlinealgorithmus  $\text{ALG}$  *strikt  $c$ -kompetitiv*, falls

$$\forall \sigma \in R^+ : \text{ALG}(\sigma) \leq c \cdot \text{OPT}(\sigma)$$

- ▶ da wir stets  $\text{cost}(\sigma) > 0$  voraussetzen, äquivalent zu

$$\forall \sigma \in R^+ : \text{ALG}(\sigma)/\text{OPT}(\sigma) \leq c$$

- ▶ Wenn  $\text{ALG}$  strikt  $c$ -kompetitiv, dann
  - ▶  $c \geq 1$
  - ▶  $\text{ALG}$  strikt  $c'$ -kompetitiv für jedes  $c' \geq c$
- ▶ Wie klein kann man  $c$  machen?

# Wettbewerbsfaktor und strikte Kompetitivität

## Lemma

Es sei  $\text{ALG}$  ein strikt  $c$ -kompetitiver Onlinealgorithmus und  $C = \{ c \mid \text{ALG} \text{ ist strikt } c\text{-kompetitiv} \}$ .

Dann ist

$$c_{\text{ALG}} = \inf C \quad \text{und} \quad c_{\text{ALG}} \in C .$$

# Wettbewerbsfaktor und strikte Kompetitivität

$C = \{ c \mid \text{ALG ist strikt } c\text{-kompetitiv} \}$  und  $c^{\inf} = \inf C$   
zeige:  $c_{\text{ALG}} = c^{\inf}$  und nebenbei auch  $c_{\text{ALG}} \in C$

## Beweis

$\geq$ : für alle  $\sigma$  ist  $\text{ALG}(\sigma)/\text{OPT}(\sigma) \leq c_{\text{ALG}}$   
also  $\text{ALG}(\sigma) \leq c_{\text{ALG}} \cdot \text{OPT}(\sigma)$   
also ist ALG auch  $c_{\text{ALG}}$ -kompetitiv  
also ist  $c_{\text{ALG}} \in C$  und  $c_{\text{ALG}} \geq c^{\inf}$

# Wettbewerbsfaktor und strikte Kompetitivität

$C = \{ c \mid \text{ALG ist strikt } c\text{-kompetitiv} \}$  und  $c^{\inf} = \inf C$   
zeige:  $c_{\text{ALG}} = c^{\inf}$  und nebenbei auch  $c_{\text{ALG}} \in C$

## Beweis

$\geq$ : für alle  $\sigma$  ist  $\text{ALG}(\sigma)/\text{OPT}(\sigma) \leq c_{\text{ALG}}$

also  $\text{ALG}(\sigma) \leq c_{\text{ALG}} \cdot \text{OPT}(\sigma)$

also ist ALG auch  $c_{\text{ALG}}$ -kompetitiv

also ist  $c_{\text{ALG}} \in C$  und  $c_{\text{ALG}} \geq c^{\inf}$

$\leq$ : indirekt: angenommen  $c_{\text{ALG}} - c^{\inf} = d > 0$

also  $c' = c^{\inf} + d/2 \in C$

also  $\forall \sigma: \text{ALG}(\sigma) \leq c' \cdot \text{OPT}(\sigma)$

also  $\sup_{\sigma} \text{ALG}(\sigma)/\text{OPT}(\sigma) \leq c'$

im Widerspruch zu  $c' = c_{\text{ALG}} - d/2 < c_{\text{ALG}}$

# Nicht-strikte $c$ -Kompetitivität

- ▶ Onlinealgorithmus  $\text{ALG}$   **$c$ -kompetitiv** für ein  $c \in \mathbb{R}_{>0}$ , falls Konstante  $b \in \mathbb{R}$  (unabhängig von  $\sigma$ ) existiert mit

$$\forall \sigma \in R^+ : \text{ALG}(\sigma) \leq c \cdot \text{OPT}(\sigma) + b$$

- ▶ im Vergleich zu *strikter  $c$ -Kompetitivität* erlaubt man Ausnahmen
- ▶ Achtung:
  - ▶ wir *vermeiden* hier den Begriff Wettbewerbsfaktor bzw. competitive ratio
  - ▶ andere benutzen ihn weiter, *in unterschiedlichen Bedeutungen*

# Überblick

Einleitung

Job-Scheduling

Skiausleihe

Speicherverwaltung

Auswahl von Experten

# LISTSCHEDULING ist (fast) ein Onlinealgorithmus

Approximationsalgorithmus

```
1 LISTSCHEDULING( $n, m, t_1 \dots n$ )
2 each  $L_i \leftarrow 0$                                 ▷ load of machine  $i$ ,  $1 \leq i \leq m$ 
3 each  $S_j \leftarrow 0$                                 ▷ machine for job  $j$ ,  $1 \leq j \leq n$ 
4 for each  $j$  in range( $1, n$ )
5     do pick  $k$  from  $\{i \mid L_i \text{ is currently minimal}\}$ 
6          $S_j \leftarrow k$ 
7          $L_k \leftarrow L_k + t_j$ 
8
9 return  $S$ 
```

frühere Analyse: Wettbewerbsfaktor höchstens 2

# LISTSCHEDULING ist (fast) ein Onlinealgorithmus

*Onlinealgorithmus*

```
1 LISTSCHEDULING( m      )
2 each  $L_i \leftarrow 0$            ▷ load of machine  $i$ ,  $1 \leq i \leq m$ 
3
4 for each  $t_j$  in  $\sigma$ 
5     do pick  $k$  from  $\{i \mid L_i \text{ is currently minimal}\}$ 
6      $a_j \leftarrow k$ 
7      $L_k \leftarrow L_k + t_j$ 
8     assign Job  $j$  to machine  $a_j$ 
9
```

frühere Analyse: Wettbewerbsfaktor höchstens 2

# Überblick

Einleitung

Job-Scheduling

Skiausleihe

Speicherverwaltung

Auswahl von Experten

# Skiausleihe

- ▶ Ski für einen Tag ausleihen kostet  $k \text{ €}$
- ▶ Ski für ganzen Urlaub kaufen kostet  $K \text{ €}, \quad K > k$
- ▶ Man weiß nicht, wie lange der Urlaub dauert.
- ▶ Am wievielten Tag sollte man die Ski kaufen?

Ähnlich (was ist anders?)

- ▶ Nach wievielen Bahnfahrten eine Bahncard kaufen?

# Optimale Kosten?

- ▶ Anforderungsfolge:  $t$  mal «Skier ausleihen!»
- ▶ Optimale Kosten:
  - ▶ falls Urlaubsdauer  $t \leq K/k$  Tage:  $t$  mal Ausleihe
    - ▶ Kosten  $tk$
  - ▶ falls Urlaubsdauer  $t \geq K/k$  Tage: sofort kaufen
    - ▶ Kosten  $K$

# Deterministische Entscheidung für Skikauf

- ▶ Entscheidung hängt nur von  $k$  und  $K$  ab.
- ▶ *Wettbewerbsfaktor 2*
  - ▶ wenn Kauf an Tag  $K/k$
  - ▶ besser gehts nicht
  - ▶ Details in der Übung

# Überblick

Einleitung

Job-Scheduling

Skiausleihe

## Speicherverwaltung

Offline: LFD ist optimal

Deterministisch: bestenfalls  $k$ -kompetitiv

Deterministisch: LRU ist  $k$ -kompetitiv

Resource Augmentation:  $(h, k)$ -Seitenwechsel

Randomisiert: RANDMARK ist  $2H_k$ -kompetitiv

# Problemstellung

- ▶ langsamer *Hauptspeicher* Größe  $N$



schneller *Cache* Größe  $k < N$



- ▶ *Anforderung:* eine Seite  $P$  des Hauptspeichers: 

  - ▶  $P$  im Cache: alles gut

- ▶  $P$  nicht im Cache: *Cache Miss, Page Fault, Strafpunkt Reaktion* des Systems:
  - ▶ verdränge an einer Stelle  $a$  im Cache
  - ▶ dort gespeicherte Seite durch  $P$
- ▶ Welche Verdrängungsstrategie minimiert die «Kosten»?
- ▶ Online-Entscheidungen ohne Kenntnis der Zukunft

# Plan für diesen Abschnitt

- ▶ Offlinealgorithmus LFD und seine Optimalität
- ▶ deterministische Onlinealgorithmen:  
untere Schranke  $k$  für Wettbewerbsfaktor
- ▶ wird von LRU erreicht
- ▶ kurz: resource augmentation
- ▶ randomisierter Onlinealgorithmus:  
 $\text{RANDMARK}$  hat Wettbewerbsfaktor  $2H_k$

# Überblick

## Speicherverwaltung

Offline: LFD ist optimal

Deterministisch: bestenfalls  $k$ -kompetitiv

Deterministisch: LRU ist  $k$ -kompetitiv

Resource Augmentation:  $(h, k)$ -Seitenwechsel

Randomisiert: RANDMARK ist  $2H_k$ -kompetitiv

# Longest Forward Distance (LFD)

- ▶ Aus dem Cache wird ein Eintrag verdrängt, der *am spätesten in der Zukunft* wieder angefordert wird.
- ▶ Beispiel:  
vor Bearbeitung der ersten Anforderung

|          |   |   |   |   |   |   |   |
|----------|---|---|---|---|---|---|---|
| $\sigma$ | 3 | 1 | 5 | 3 | 2 | 4 | 1 |
| Cache    | 1 | 4 | 2 |   |   |   |   |

# Longest Forward Distance (LFD)

- ▶ Aus dem Cache wird ein Eintrag verdrängt, der *am spätesten in der Zukunft* wieder angefordert wird.
- ▶ Beispiel:  
vor Bearbeitung der ersten Anforderung

|          |   |   |   |   |   |   |   |
|----------|---|---|---|---|---|---|---|
| $\sigma$ | 3 | 1 | 5 | 3 | 2 | 4 | 1 |
| Cache    | 1 | 4 | 2 |   |   |   |   |

nach Bearbeitung der ersten Anforderung

|          |   |   |   |   |   |   |   |
|----------|---|---|---|---|---|---|---|
| $\sigma$ | 3 | 1 | 5 | 3 | 2 | 4 | 1 |
| Cache    | 1 | 3 | 2 |   |   |   |   |

# Longest Forward Distance (LFD)

- ▶ Beispiel:  
nach Bearbeitung der ersten Anforderung

|          |   |   |   |   |   |   |   |
|----------|---|---|---|---|---|---|---|
| $\sigma$ | 3 | 1 | 5 | 3 | 2 | 4 | 1 |
| Cache    | 1 | 3 | 2 |   |   |   |   |

# Longest Forward Distance (LFD)

- ▶ Beispiel:  
nach Bearbeitung der ersten Anforderung

|          |   |   |   |   |   |   |   |
|----------|---|---|---|---|---|---|---|
| $\sigma$ | 3 | 1 | 5 | 3 | 2 | 4 | 1 |
| Cache    | 1 | 3 | 2 |   |   |   |   |

nach Bearbeitung der zweiten Anforderung

|          |   |   |   |   |   |   |   |
|----------|---|---|---|---|---|---|---|
| $\sigma$ | 3 | 1 | 5 | 3 | 2 | 4 | 1 |
| Cache    | 1 | 3 | 2 |   |   |   |   |

# Longest Forward Distance (LFD)

- ▶ Beispiel:  
nach Bearbeitung der zweiten Anforderung

|          |   |   |   |   |   |   |   |
|----------|---|---|---|---|---|---|---|
| $\sigma$ | 3 | 1 | 5 | 3 | 2 | 4 | 1 |
| Cache    | 1 | 3 | 2 |   |   |   |   |

# Longest Forward Distance (LFD)

► Beispiel:

nach Bearbeitung der zweiten Anforderung

|          |   |   |   |   |   |   |   |
|----------|---|---|---|---|---|---|---|
| $\sigma$ | 3 | 1 | 5 | 3 | 2 | 4 | 1 |
| Cache    | 1 | 3 | 2 |   |   |   |   |

nach Bearbeitung der dritten Anforderung

|          |   |   |   |   |   |   |   |
|----------|---|---|---|---|---|---|---|
| $\sigma$ | 3 | 1 | 5 | 3 | 2 | 4 | 1 |
| Cache    | 5 | 3 | 2 |   |   |   |   |

# Optimalität von LFD

## Satz

LFD ist optimal.

# Optimalität von LFD — Beweisskizze (1)

## Satz

LFD ist optimal.

## Beweisidee

- ▶ zeige: Ein optimaler Algorithmus OPT kann schrittweise zu LFD umgebaut werden.
- ▶ für induktiven Schritt folgendes Lemma

## Lemma

Gegeben ALG,  $\sigma = (r_1, \dots, r_n)$  und  $i \leq n$  arbeite  $\text{LFD}_i(\text{ALG})$  so:

- ▶  $\text{LFD}_i(\text{ALG})$  verarbeitet  $(r_1, \dots, r_{i-1})$  wie ALG
- ▶ Bei Cache Miss für  $r_i$  entfernt  $\text{LFD}_i(\text{ALG})$  den am spätestens in der Zukunft angeforderten Eintrag.

Dann gilt:  $\text{LFD}_i(\text{ALG})(\sigma) \leq \text{ALG}(\sigma)$ .

## Optimalität von LFD: Beweisskizze (2)

- ▶ angenommen, Lemma wäre gezeigt, also  
 $\text{LFD}_i(\text{ALG})(\sigma) \leq \text{ALG}(\sigma)$
- ▶ zu gegebenem optimalem Algorithmus OPT definiere:
  - ▶  $\text{OPT}_0 = \text{OPT}$
  - ▶  $\text{OPT}_1 = \text{LFD}_1(\text{OPT}_0)$
  - ▶  $\text{OPT}_2 = \text{LFD}_2(\text{OPT}_1)$
  - ▶ ...
  - ▶ d. h. allgemein für  $1 \leq i \leq n$ :  $\text{OPT}_i = \text{LFD}_i(\text{OPT}_{i-1})$
- ▶ dann per Induktion
  - ▶ alle  $\text{OPT}_i$  sind optimal
  - ▶  $\text{OPT}_n = \text{LFD}$

## Optimalität von LFD: Beweisskizze (3)

bleibt zu zeigen:  $LFD_i(\text{ALG})(\sigma) \leq \text{ALG}(\sigma)$

nicht hier

# Überblick

## Speicherverwaltung

Offline: LFD ist optimal

Deterministisch: bestenfalls  $k$ -kompetitiv

Deterministisch: LRU ist  $k$ -kompetitiv

Resource Augmentation:  $(h, k)$ -Seitenwechsel

Randomisiert: RANDMARK ist  $2H_k$ -kompetitiv

# Deterministische Onlinealgorithmen

**FIFO** first in first out

**LIFO** last in first out

**LRU** least recently used

**LFU** least frequently used

- ▶ **LIFO** ist nicht kompetitiv: betrachte  
 $\langle 1, 2, \dots, k-1, k, k+1, k, k+1, k, k+1, k, k+1, \dots \rangle$
- ▶ **LFU** ist nicht kompetitiv: betrachte  
 $\langle 1^m, 2^m, \dots, (k-1)^m \rangle, \langle k, k+1 \rangle^{m-1}$
- ▶ **LRU** und **FIFO** sind  $k$ -kompetitiv
  - ▶ in der Praxis nimmt man **LRU**

# Untere Schranke für den Wettbewerbsfaktor (det. Seitenwechsel)

## Satz

Jeder deterministische Onlinealgorithmus für das Seitenwechselproblem mit Cachegröße  $k$  hat einen Wettbewerbsfaktor  $c \geq k$ .

# Untere Schranke für den Wettbewerbsfaktor (det. Seitenwechsel) – Beweisskizze (1)

## Satz

Jeder deterministische Onlinealgorithmus für das Seitenwechselproblem mit Cachegröße  $k$  hat einen Wettbewerbsfaktor  $c \geq k$ .

## Beweisskizze

- ▶ Hauptspeicher Größe  $N = k + 1$
- ▶ ALG beliebiger Onlinealgorithmus für Speicherverwaltung
- ▶ betrachte  $\sigma$  mit der Eigenschaft:
  - ▶ Jede Anforderung verursacht Seitenfehler bei ALG und
  - ▶  $|\sigma| > k$
- ▶ Zeige: LFD hat höchstens alle  $k$  Anforderungen einen Seitenfehler.

## Beweisskizze (2)

- ▶ o. B. d. A.
  - ▶ zu Beginn ALG und LFD mit gleichem Cache-Inhalt
  - ▶ Cache Miss bei erster Anforderung
- ▶ *Phase:*
  - ▶ beginnt mit Anforderung, bei der LFD Cache Miss hat
  - ▶ endet unmittelbar vor der nächsten
- ▶ Länge einer Phase: *mindestens  $k$* , denn
  - ▶ wenn LFD einen Cache Miss hat,
  - ▶ dann wird die Seite verdrängt,
  - ▶ vor der jede der anderen  $k - 1$  Seiten,
  - ▶ die gerade im Cache sind,
  - ▶ mindestens einmal angefordert wird.
- ▶ Anzahl Cache Misses pro Phase:
  - ▶ ALG Länge der Phase viele, also  $\geq k$
  - ▶ LFD nur 1 zu Beginn der Phase

# Überblick

## Speicherverwaltung

Offline: LFD ist optimal

Deterministisch: bestenfalls  $k$ -kompetitiv

**Deterministisch: LRU ist  $k$ -kompetitiv**

Resource Augmentation:  $(h, k)$ -Seitenwechsel

Randomisiert: RANDMARK ist  $2H_k$ -kompetitiv

Online-Algorithmen

└ Speicherverwaltung

└ Deterministisch: LRU ist  $k$ -kompetitiv

# LRU — Beispiel

live

# LRU ist $k$ -kompetitiv

## Satz

LRU ist  $k$ -kompetitiv.

# LRU ist $k$ -kompetitiv — Beweisskizze (1)

## Satz

LRU ist  $k$ -kompetitiv.

## Beweisskizze

- ▶  $\sigma$  beliebige Anforderungsfolge
- ▶ Aufteilung von  $\sigma$  in Phasen  $P_0, P_1$ , etc.
  - ▶  $P_0$  beginnt mit erster Anforderung
  - ▶ jedes  $P_{i+1}$  beginnt unmittelbar nach Ende von  $P_i$
  - ▶ jede  $P_i$  umfasst maximal viele Anforderungen, die nur  $k$  Seiten betreffen
- ▶ sei außerdem  $Q_i$  die Folge  $P_i$  ohne deren erstes Element, aber mit dem ersten Element von  $P_{i+1}$  angehängt

## Beweisskizze (2)

- ▶ zeige:
  - ▶ LRU hat höchstens  $k$  Cache Misses pro Phase  $P_i$
  - ▶ LFD hat mindestens 1 Cache Miss pro  $Q_i$
- ▶ dann bei insgesamt  $m$  Phasen
  - ▶  $\text{LRU}(\sigma) \leq km$
  - ▶  $\text{LFD}(\sigma) \geq m - 1$
  - ▶ also  $\text{LRU}(\sigma) \leq k \cdot \text{LFD}(\sigma) + k$

## Beweisskizze (3)

zeige: LRU hat höchstens  $k$  Cache Miss pro  $P_i$

- ▶ andernfalls hätte LRU in einer Phase für eine Seite  $p$  *zweimal* einen Cache Miss
- ▶ wegen «least recently used» hätten zwischen den beiden Cache Misses  $k$  *andere* Seiten angefordert werden müssen
- ▶ d. h. es wären in einer Phase  $k + 1$  verschiedene Seiten angefordert worden
- ▶ im Widerspruch zur Definition der Phasen

## Beweisskizze (4)

zeige: LFD hat mindestens 1 Cache Miss pro  $Q_i$ :

- ▶ seien  $p_1^i, \dots, p_k^i$  die der Reihe nach in  $P_i$  auftretenden verschiedenen Seiten
- ▶ betrachte  $p_2^i, \dots, p_k^i, p_1^{i+1}$
- ▶ das sind  $k$  verschiedene Seiten
- ▶ wenn von  $p_2^i, \dots, p_k^i$  keine einen Cache Miss verursacht, dann  $p_1^{i+1}$  (weil  $p_1^i, \dots, p_k^i$  im Cache sind)
- ▶ also hat LRU mindestens in jeder Phase außer der ersten mindestens einen Cache Miss

# Überblick

## Speicherverwaltung

Offline: LFD ist optimal

Deterministisch: bestenfalls  $k$ -kompetitiv

Deterministisch: LRU ist  $k$ -kompetitiv

Resource Augmentation:  $(h, k)$ -Seitenwechsel

Randomisiert: RANDMARK ist  $2H_k$ -kompetitiv

# Resource Augmentation

- ▶  **$(h, k)$ -Seitenwechselproblem**
- ▶ vergleiche Onlinealgorithmus  $\text{ALG}_k$  mit Cachegröße  $k$  mit  $\text{LFD}_h$  mit Cachegröße  $h < k$
- ▶ Onlinealgorithmus heißt ***konservativ***, wenn er
  - ▶ für Anforderungsfolgen mit höchsten  $k$  verschiedenen Seiten
  - ▶ höchstens  $k$  Cache Misses hat
- ▶ Beispiele: LRU, FIFO

# Resource Augmentation

## Satz

Jeder konservative Onlinealgorithmus ist  $\frac{k}{k-h+1}$ -kompetitiv.

## Beweisskizze

- ▶ Verallgemeinerung von «LRU ist  $k$ -kompetitiv».
- ▶ konservativer Alg. hat in  $P_i$  höchstens  $k$  Cache Misses
- ▶ Nach erster Anforderung von  $P_i$
- ▶ enthält der Cache von  $\text{LFD}_h$  noch  $h - 1$  andere Seiten,
- ▶ die in  $P_{i-1}$  angefordert wurden.
- ▶ In  $Q_i$  folgen aber noch  $k$  andere verschiedene Seiten,
- ▶ von denen  $\geq k - (h - 1)$  einen Cache Miss verursachen

Beispiel  $h = k/2$ :  $\rightsquigarrow \text{ALG}_k(\sigma) \leq 2\text{LFD}_h(\sigma) + b$

# Überblick

## Speicherverwaltung

Offline: LFD ist optimal

Deterministisch: bestenfalls  $k$ -kompetitiv

Deterministisch: LRU ist  $k$ -kompetitiv

Resource Augmentation:  $(h, k)$ -Seitenwechsel

Randomisiert: **RANDMARK** ist  $2H_k$ -kompetitiv

# Randomisierte Onlinealgorithmen

Bei randomisierten Online-Algorithmus  $R$  ist die Zahl der Cache Misses eine Zufallsvariable  $f_R(r_1, \dots, r_n)$ .

etwas andere Sicht auf  $c$ -Kompetitivität sinnvoll

# Widersacher: verschieden miese Typen

- ▶ Widersacher
  - ▶ bekommen Eingabe  $n$
  - ▶ erzeugen für  $R$  «schlimme» Anforderungsfolgen der Länge  $n$
  - ▶ die sie aber auch selbst verarbeiten müssen
- ▶ Wieviel Information ist über die Zufallsbits bekannt?
  - ▶ *unwissender Widersacher*  $W$  (engl. *oblivious adversary*)
    - ▶ *kein* Wissen über erzeugte Zufallsbits
    - ▶ Zu  $R$  und  $n$  erzeugt  $W$  immer gleiches  $(r_1, \dots, r_n)$ .
  - ▶ *adaptiver Widersacher*:
    - ▶ arbeitet gegen eine konkrete Abarbeitung von  $R$ ,
    - ▶ kennt die von  $R$  bei Abarbeitung von  $(r_1, \dots, r_i)$  erzeugten Zufallsbits,
    - ▶ und folglich auch immer den aktuellen Cachezustand von  $R$ .

## Widersacher (2)

Womit vergleicht man die Zahl der Cache Misses von  $R$ ?

- ▶ *unwissende Widersacher*:  $\text{OPT}(r_1, \dots, r_n)$
- ▶ *adaptive Widersacher*: zwei Varianten
  - ▶ adaptiver Online-Widersacher:
    - ▶ muss erzeugte Anforderungsfolge selbst auch irgendwie online verwalten
    - ▶ muss also sofort nach Erzeugung eines  $r_i$  entscheiden, wie er in seinem Cache damit umgeht  $\rightsquigarrow$  Kosten
  - ▶ adaptiver Offline-Widersacher:
    - ▶ kann zunächst vollständig  $(r_1, \dots, r_n)$  erzeugen und
    - ▶ bekommt nur  $\text{OPT}(r_1, \dots, r_n)$  in Rechnung gestellt
  - ▶ In beiden Fällen ist Anzahl der Cache Misses von  $W$  Zufallsvariable (Abhängigkeit von den Zufallsbits von  $R$ )

## Wettbewerbsfaktor

- $R$  ist *c-kompetitiv gegen unwissende Widersacher*, wenn es ein von  $n$  unabhängiges  $b$  gibt so, dass für jede Anforderungsfolge  $(r_1, \dots, r_n)$  gilt:

$$\mathbf{E} [f_R(r_1, \dots, r_n)] - c \cdot \text{OPT}(r_1, \dots, r_n) \leq b$$

nur das werden wir hier betrachten

- $R$  ist *c-kompetitiv gegen einen adaptiven Online- resp. Offline-Widersacher*, wenn es ein von  $n$  unabhängiges  $b$  gibt so, dass gilt:

$$\mathbf{E} [f_R(r_1, \dots, r_n) - c \cdot f_W(r_1, \dots, r_n)] \leq b$$

resp.  $\mathbf{E} [f_R(r_1, \dots, r_n) - c \cdot f_O(r_1, \dots, r_n)] \leq b$

Online-Algorithmen

└ Speicherverwaltung

└ Randomisiert: **RANDMARK** ist  $2H_k$ -kompetitiv

# RANDMARK Algorithmus (Fiat et al., 1991)

## RANDMARK Algorithmus (Fiat et al., 1991)

*⟨Cache: cache[i], Markierungsbits mark[i], 1 ≤ i ≤ k⟩*

**for**  $i \leftarrow 1$  **to**  $k$  **do**  $mark[i] \leftarrow 0$  **od**

**while** *⟨noch weitere Anforderungen⟩* **do**

- $r \leftarrow \langle \text{nächste Anforderung} \rangle$
- if** *⟨memory[r] nicht in cache⟩* **then**
  - if** *⟨alle mark[i] = 1⟩* **then** *⟨alle mark[i] ← 0⟩* **fi**
  - $i \leftarrow \langle \text{zufälliges } j \text{ mit mark}[j] = 0 \rangle$
  - $cache[i] \leftarrow memory[r]$
- else**
  - $i \leftarrow \langle \text{Index mit } cache[i] = memory[r] \rangle$
- fi**
- $mark[i] \leftarrow 1$

**od**

## RANDMARK Algorithmus (Fiat et al., 1991)

*⟨Cache: cache[i], Markierungsbits mark[i], 1 ≤ i ≤ k⟩*

**for**  $i \leftarrow 1$  **to**  $k$  **do**  $mark[i] \leftarrow 0$  **od**

**while** *⟨noch weitere Anforderungen⟩* **do**

$r \leftarrow \langle$  *nächste Anforderung*  $\rangle$

**if** *⟨memory[r] nicht in cache⟩* **then**

**if** *⟨alle mark[i] = 1⟩* **then** *⟨alle mark[i] ← 0⟩* **fi**

$i \leftarrow \langle$  *zufälliges j mit mark[j] = 0*  $\rangle$

$cache[i] \leftarrow memory[r]$

**else**

$i \leftarrow \langle$  *Index mit cache[i] = memory[r]*  $\rangle$

**fi**

$mark[i] \leftarrow 1$

**od**

# Kompetitivität von RANDMARK

## Satz

RANDMARK ist  $2H_k$ -kompetitiv gegen unwissende Widersacher.

Beachte:

- ▶  $2H_k \in \Theta(\log k)$
- ▶ jeder det. Online-Alg. ist bestenfalls  $k$ -kompetitiv

# Beweis

- ▶ Algorithmus zerfällt *Phasen*:
  - ▶ Phase beginnt mit Zurücksetzen aller Markierungsbits auf 0
  - ▶ und endet unmittelbar vor der nächsten.
- ▶ Betrachte LFD (optimal) und RANDMARK für  $r_1, r_2, r_3 \dots$
- ▶ anfangs gleiche Cacheinhalte und  $r_1$  führe zu Cache Miss
- ▶ also
  - ▶ jede Phase beginnt mit Cache Miss,
  - ▶ umfasst maximale Teilfolge  $r_i, \dots, r_j$
  - ▶ mit genau  $k$  verschiedenen Adressen,
  - ▶ denn jede in der Teilfolge «neue» Adresse führt dazu,
  - ▶ dass ein Markierungsbit auf 1 gesetzt wird, und
  - ▶ Phase endet direkt vor ( $k + 1$ )-ter neuer Adresse.

## Beweis (2)

Zeige:

1. **LFD** hat im Mittel pro Phase  $\geq \ell/2$  Cache Misses.
2. **RANDMARK** hat erwartet pro Phase  $\ell H_k$  Cache Misses.

Definition von  $\ell$  kommt gleich

## Beweis (3)

betrachte einzelne Phase

ein Datum heiße

- ▶ *veraltet*, wenn es zu *Beginn der Phase* im Cache ist
- ▶ *sauber*, wenn es zu Beginn der Phase *nicht* im Cache ist
- ▶ *markiert*, wenn es zum *betrachteten Zeitpunkt* an einer markierten Stelle des Caches liegt

## Beweis (4)

- ▶ **RANDMARK** entfernt aus dem Cache stets ein nicht markiertes, veraltetes Datum und
- ▶ das den Cache Miss verursachende Datum ist ab dem Zeitpunkt, zu dem es geladen wird, markiert.
- ▶ Innerhalb einer Phase führt die erste Anforderung jedes sauberen Datums zu Cache Miss.
- ▶  $\ell$ : Anzahl sauberer Datenelemente, die durch **RANDMARK** im Laufe der Phase (evtl. mehrfach) angefordert werden.

## Beweis (5)

Anforderung eines veralteten Datums kann zu Cache Miss führen

- ▶ wenn es zwischenzeitlich (aufgrund eines anderen Cache Miss) aus dem Cache entfernt worden war.
- ▶ Das kann aber *nur einmal* innerhalb einer Phase zu einem Cache Miss führen, da es beim erneuten Laden markiert wird.
- ▶ Außerdem wird hierdurch wieder ein (nicht markiertes, also) veraltetes Datum verdrängt.

## Beweis (6)

### Abschätzung Cache Misses bei LFD

- ▶  $S_O$ : Menge der Cacheelemente von LFD
- $S_R$ : Menge der Cacheelemente von **RANDMARK**
- ▶  $d_a$ : Größe von  $S_O \setminus S_R$  am Anfang der Phase
- $d_e$ : Größe von  $S_O \setminus S_R$  am Ende der Phase
- ▶  $m_O$ : Anzahl der Cache Misses von LFD während der Phase.

## Beweis (6)

### Abschätzung Cache Misses bei LFD

- ▶  $S_O$ : Menge der Cacheelemente von LFD
- $S_R$ : Menge der Cacheelemente von RANDMARK
- ▶  $d_a$ : Größe von  $S_O \setminus S_R$  am Anfang der Phase
- $d_e$ : Größe von  $S_O \setminus S_R$  am Ende der Phase
- ▶  $m_O$ : Anzahl der Cache Misses von LFD während der Phase.

Zu Beginn der Phase:

- ▶  $\ell$  später angeforderte saubere Datenelemente nicht in  $S_R$
- ▶ höchstens  $d_a$  von ihnen sind in  $S_O$
- ▶ also  $m_O \geq \ell - d_a$

## Beweis (7)

### Abschätzung Cache Misses von LFD (2)

Am Ende der Phase:

- ▶  $S_R$  enthält genau die  $k$  markierten, also insbesondere auch während der Phase angeforderten Elemente.
- ▶ Davon sind  $d_e$  am Ende nicht mehr in  $S_O$ , sie sind also vom optimalen Algorithmus verdrängt worden.
- ▶ Das kann nur durch den Cache Miss eines anderen Elementes geschehen sein.
- ▶ Als muss der optimale Algorithmus mindestens  $d_e$  Cache Misses erzeugt haben.
- ▶ Also  $m_O \geq d_e$

## Beweis (8)

### Abschätzung Cache Misses von LFD (3)

Insgesamt:

$$\blacktriangleright m_O \geq \max\{\ell - d_a, d_e\} \geq (\ell - d_a + d_e)/2.$$

## Beweis (8)

### Abschätzung Cache Misses von LFD (3)

Insgesamt:

- ▶  $m_O \geq \max\{\ell - d_a, d_e\} \geq (\ell - d_a + d_e)/2$ .

Summation über alle Phasen:

- ▶  $d_e$  am Ende einer Phase ist  $d_a$  zu Beginn der nächsten.
- ▶ die Summanden für  $d_a$  und  $d_e$  heben sich auf,
  - ▶ außer zu Beginn der ersten Phase:  $d_a = 0$
  - ▶ und am Ende der letzten Phase  $d_e$
- ▶ Vorstellung:
  - ▶ schiebe Cache Misses in „benachbarte Phasen“
  - ▶ immer noch  $m_O \geq \ell/2$  Cache Misses in jeder Phase

## Beweis (9)

### Abschätzung Cache Misses von RANDMARK (1)

- ▶ jeweils erste Anforderung eines der  $\ell$  sauberen Elemente
  - ▶ führt zu Cache Miss
  - ▶ übrige Anforderungen sauberer Elemente nicht
- ▶ alle anderen Anforderungen: veraltete Elemente
- ▶ am Ende der Phase sind  $k - \ell$  davon im Cache.
- ▶ erwartete Anzahl dadurch erzwungener Cache Misses maximieren: erst alle sauberen Elemente angefordern.
- ▶ danach fehlen im Cache  $\ell$  veraltete Elemente
- ▶ das bleibt bis zum Ende der Phase so, denn
  - ▶ durch Anforderung eines fehlenden veralteten Datums  $x$  wird stets ein anderes veraltetes Datum  $x'$  verdrängt,
  - ▶ aber  $x$  wird bis zum Ende der Phase nicht mehr verdrängt.

# Beweis (10)

## Abschätzung Cache Misses von RANDMARK (2)

- ▶ Seien  $x_1, \dots, x_{k-\ell}$  die am Ende der Phase im Cache befindlichen veralteten Elemente.
- ▶  $x_1$  zuerst angefordert, dann  $x_2$ , usw.
- ▶ W.keit für Cache Miss bei 1. Anforderung von  $x_i$ ,  $i \leq k - \ell$ : gleich der W.keit, ein nicht im Cache vorhandenes veraltetes Element auszuwählen aus den veralteten Elementen, die in dieser Phase noch nicht angefordert wurden.
- ▶ stets  $\ell$  veraltete Elemente nicht im Cache
- ▶ bei erster Anforderung von  $x_i$  wurden  $k - (i - 1)$  veraltete Elemente noch nicht angefordert
- ▶ relative Häufigkeit eines Cache Miss also  $\ell/(k - i + 1)$

## Beweis (11)

### Abschätzung Cache Misses von **RANDMARK** (3)

- ▶ Es ist

$$\sum_{i=1}^{k-\ell} \frac{\ell}{(k-i+1)} = \ell \left( \frac{1}{k} + \frac{1}{k-1} + \cdots + \frac{1}{\ell+1} \right) = \ell(H_k - H_\ell) .$$

- ▶ also erwartete Anzahl Cache Misses kleiner oder gleich

$$\ell + \ell(H_k - H_\ell) = \ell H_k - (H_\ell - 1)\ell \leq \ell H_k .$$

# Überblick

Einleitung

Job-Scheduling

Skiausleihe

Speicherverwaltung

## Auswahl von Experten

Einfache binäre Variante

Allgemeinere Variante

# Überblick

Auswahl von Experten

Einfache binäre Variante

Allgemeinere Variante

# Problemstellung

- ▶ in jeder von mehreren Runden:
  1. jeder von  $k$  «Experten»: eine Ja/Nein-Empfehlung
    - ▶ Experten können irren!
  2. eigene Ja/Nein-Entscheidung
  3. Mitteilung, welche Entscheidung richtig gewesen wäre

Ziel:

- ▶ **Anforderung:**  $k$ -Tupel, J/N-Empfehlungen der Experten
- ▶ **Antwort:** eigene J/N-Entscheidung
- ▶ **Kosten:** Anzahl eigener Fehlentscheidungen
- ▶ Ziel: eigene Kosten nahe an Kosten der besten Experten

# Auswahl von Experten

*Wie man es nicht machen sollte:*

- ▶ Wähle die Antwort eines Experten, der bisher am besten war.  
denn
  - ▶ für jedes  $k$  Menge von  $k$  Experten konstruierbar, für die gilt:
    - ▶ Die obige Strategie irrt *immer*.
    - ▶ Jeder Experte hat nach  $t$  Runden höchsten  $t/k$  Fehler gemacht.
  - ▶  $\leadsto$  Übung

Wie dann?

# Auswahl von Experten: der deterministische Weighted Majority Algorithm (wMA)

- ▶ Experte  $i$  hat ein «Gewicht»  $w_i$
- ▶ initial: alle  $w_i \leftarrow 1$
- ▶ in jeder Runde
  1. Experten geben Empfehlungen  $x_i \in \{ \text{ja} , \text{nein} \}$
  2. eigene Entscheidung fällen:

$$\begin{cases} \text{ja}, & \text{falls } \sum_{i, x_i=\text{ja}} w_i \geq \sum_{i, x_i=\text{nein}} w_i \\ \text{nein}, & \text{falls } \sum_{i, x_i=\text{ja}} w_i < \sum_{i, x_i=\text{nein}} w_i \end{cases}$$

- 3. Expertengewichte anpassen

$$w_i^{t+1} = \begin{cases} w_i^t, & \text{falls } x_i \text{ richtig war} \\ w_i^t/2, & \text{falls } x_i \text{ falsch war} \end{cases}$$

# Qualität von wMA

## Satz

wMA ist  $1/\log_2(4/3)$ -kompetitiv. Genauer

$$\text{wMA}(\sigma) \leq \frac{1}{\log_2(4/3)} (\text{OPTXPRT}(\sigma) + \log_2 k)$$

# Beweis

in einer Runde  $t$

- ▶  $W_t$ : Summe der  $w_i$  zu Beginn der Runde
  - ▶ initial  $W_1 = n$
- ▶  $x_i$  die Expertenempfehlungen,  $y$  die richtige Antwort
- ▶  $R_t = \sum_{i, x_i=y} w_i$  und  $F_t = \sum_{i, x_i \neq y} w_i$ 
  - ▶  $W_t = R_t + F_t$

wenn Entscheidung falsch, dann

- ▶  $R_t < W_t/2$
- ▶  $W_{t+1} = \frac{F_t}{2} + R_t = \frac{F_t}{2} + \frac{R_t}{2} + \frac{R_t}{2} \leq \frac{W_t}{2} + \frac{W_t}{4} = \frac{3}{4} W_t$

## Beweis (2)

bis zu Beginn von Runde  $t$

- ▶ wenn eigene Entscheidungen  $f$  mal falsch  
dann  $W_t \leq \left(\frac{3}{4}\right)^f \cdot W_1 = \left(\frac{3}{4}\right)^f \cdot k$
- ▶ wenn bester Experte  $i$  nur  $f_{opt}$  mal falsch  
dann  $W_t \geq w_i = \left(\frac{1}{2}\right)^{f_{opt}}$
- ▶ also  $\left(\frac{1}{2}\right)^{f_{opt}} \leq \left(\frac{3}{4}\right)^f \cdot k$
- ▶ also  $f \leq \frac{1}{\log_2(4/3)} (f_{opt} + \log_2 k)$ 
  - ▶  $\frac{1}{\log_2(4/3)} \approx 2.409$

Online-Algorithmen

└ Auswahl von Experten

  └ Allgemeinere Variante

# Überblick

## Auswahl von Experten

Einfache binäre Variante

Allgemeinere Variante

# Verallgemeinerte Problemstellung

- ▶ in Runde  $t$ :
  1. Experten: Empfehlungen  $x_1, \dots, x_k$
  2. eigene Wahl einer Empfehlung
  3. Mitteilung, welche Entscheidung richtig gewesen wäre
  4. Beurteilung der Empfehlungen durch «Noten»  $c_i^t$ 
    - ▶ beste Note: 0
    - ▶ schlechteste Note: 1
  5. eigene *Kosten*: Note der gewählten Empfehlung

## Randomisiert: $\text{RANDWMA}_\varepsilon$

- ▶ es sei  $0 < \varepsilon < 1/2$
- ▶ Experte  $i$  hat ein «Gewicht»  $w_i$
- ▶ initial: alle  $w_i \leftarrow 1$
- ▶ in jeder Runde  $t = 1, 2, \dots$ 
  1. wähle Empfehlung von Experte  $i$  mit Wahrscheinlichkeit
$$p_i = \frac{w_i}{\sum_1^k w_i}$$
  2. Benotung
  3. setze jedes  $w_i \leftarrow w_i(1 - \varepsilon c_i^t)$

# Qualität von $\text{RANDWMA}_\varepsilon$

## Satz

Es sei  $k$  die Anzahl der Experten und  $0 < \varepsilon < 1/2$ .

Wenn  $\text{RANDWMA}_\varepsilon$  nach einer Anzahl Runden erwartete Gesamtkosten  $K$  hat und die besten Experten Empfehlungen mit (minimalen) Gesamtkosten  $K_{opt}$  gegeben haben, dann ist

$$K \leq (1 + \varepsilon) \cdot K_{opt} + \frac{\ln n}{\varepsilon}$$

# Beweis

- ▶ setze
  - ▶  $w_i^t$  Gewicht von Experte  $i$  zu Beginn von Runde  $t$
  - ▶  $W_t = \sum_{i=1}^k w_i$  Gesamtgewicht
  - ▶  $K_t = \sum_{i=1}^k \frac{w_i^t}{W_t} c_i^t$  erwartete eigene Kosten in Runde  $t$
- ▶ 
$$\begin{aligned} W_{t+1} &= \sum_{i=1}^k w_i^t (1 - \varepsilon c_i^t) = \sum_{i=1}^k w_i^t - \varepsilon \sum_{i=1}^k w_i^t c_i^t \\ &= W_t - \varepsilon K_t \end{aligned}$$
- ▶ also  $W_{t+1} = W_1 \cdot \prod_{\tau=1}^t (1 - \varepsilon K_\tau)$
- ▶ also  $\ln W_{t+1} \leq \ln n - \sum_{\tau=1}^t \varepsilon K_\tau = \ln n - \varepsilon K$ 
  - ▶ wegen  $\ln(1 - x) \leq -x$  für  $0 \leq x \leq 1/2$

## Beweis (2)

- andererseits für jeden Experten  $i$  (auch den opt.):

$$W_{t+1} \geq w_i^{t+1} = \prod_{\tau=1}^t (1 - \varepsilon c_i^\tau)$$

- wegen  $\ln(1 - x) \geq -x - x^2$  für  $0 \leq x \leq 1/2$  daher

$$\ln W_{t+1} \geq \sum_{\tau=1}^t \ln(1 - \varepsilon c_i^\tau) \geq - \sum_{\tau=1}^t (\varepsilon c_i^\tau + (\varepsilon c_i^\tau)^2)$$

- wegen  $(c_i^\tau)^2 \leq c_i^\tau$  weiter:

$$\ln W_{t+1} \geq - \sum_{\tau=1}^t (\varepsilon c_i^\tau + \varepsilon^2 c_i^\tau) = -(\varepsilon + \varepsilon^2) K(i)$$

- insgesamt insbesondere für  $K_{opt}$ :

$$-(\varepsilon + \varepsilon^2) K_{opt} \leq \ln W_{t+1} \leq \ln k - \varepsilon \cdot K$$

also 
$$K \leq (1 + \varepsilon) \cdot K_{opt} + \frac{\ln k}{\varepsilon}$$

# Überblick

## Einleitung

Nachrichtengekoppelte Parallelrechner

# Warum Parallelverarbeitung

# Warum Parallelverarbeitung

Zeitersparnis:  $p$  Computer, die gemeinsam an einem Problem arbeiten, lösen es bis zu  $p$  mal so schnell.

- ▶ *aber* gute Koordinationsalgorithmen nötig

# Warum Parallelverarbeitung

**Zeitersparnis:**  $p$  Computer, die gemeinsam an einem Problem arbeiten, lösen es bis zu  $p$  mal so schnell.

- ▶ *aber* gute Koordinationsalgorithmen nötig

**Kommunikationsersparnis:** wenn Daten verteilt anfallen, kann man sie auch verteilt (vor)verarbeiten

**Energieersparnis:** zwei Prozessoren mit halber Taktfrequenz brauchen weniger als eine voll getakteter Prozessor.

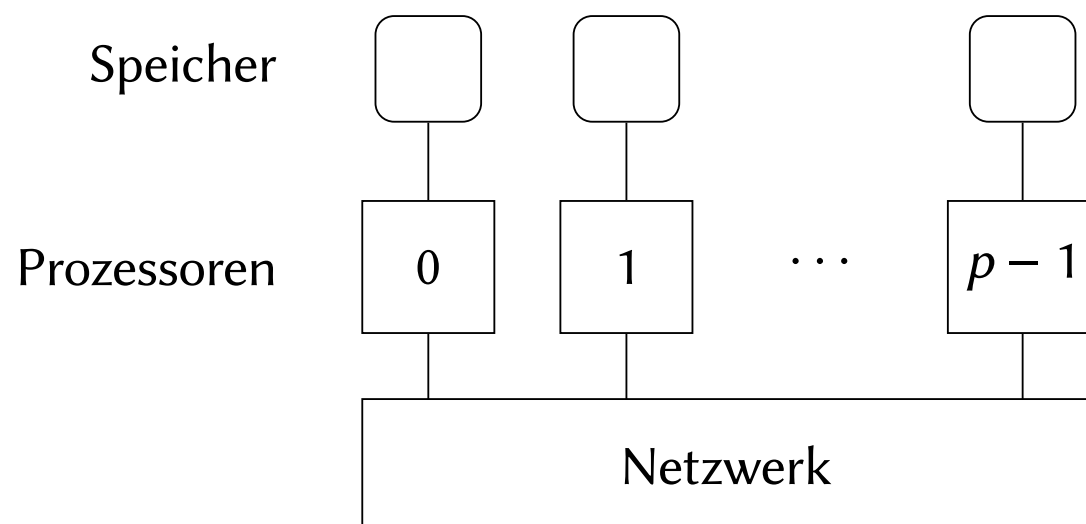
**Speicherbeschränkung** mehr Prozessoren haben mehr Hauptspeicher, mehr Cache, ...

# Verschiedene Modelle für Parallelverarbeitung

- ▶ es gibt *viiiiiiiele*
  - ▶ konzeptionell sehr unterschiedlich (auf den ersten Blick)
  - ▶ Parallelverarbeitung zum Teil «versteckt»
- ▶ in dieser Vorlesung zwei Standardmodelle
  - ▶ Prozessornetzwerk mit *Nachrichtengekopplung*
  - ▶ *parallele Registermaschinen* mit Speicherkopplung

# Nachrichtengekoppelter Parallelrechner

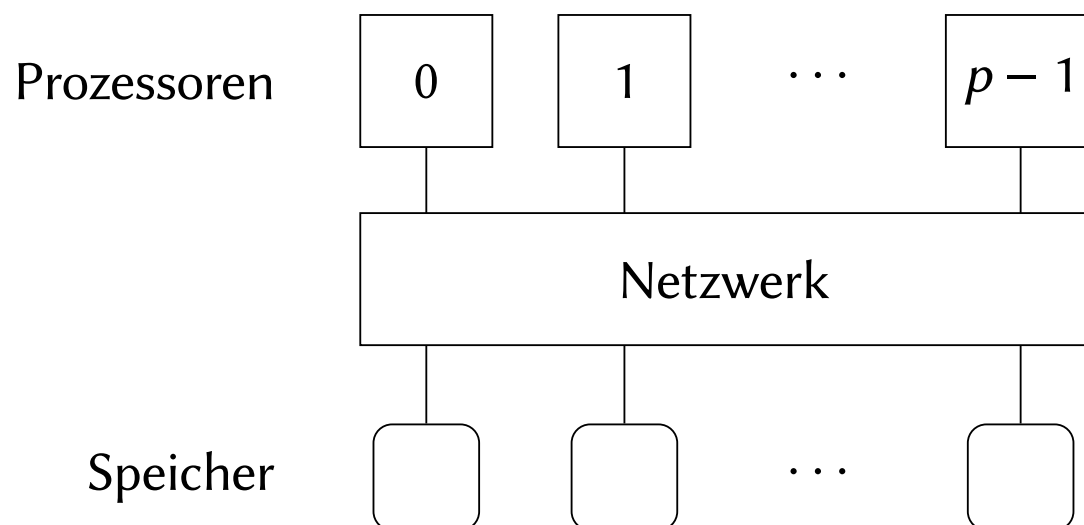
- ▶ Prozessoren: *random access machines*
  - ▶ «normale CPUs» mit lokalem Speicher
  - ▶ jedes Speichermodul nur von «seinem» Prozessor zugreifbar
  - ▶ nennen wir auch *PE (processing element)*
- ▶ *Datenaustausch*
  - ▶ über Netzwerk
  - ▶ *Nachrichten* von einem Prozessor zu einem anderen



# Parallelrechner mit globalem Speicher

ein möglicher Aufbau

- ▶ Prozessoren wie üblich
  - ▶ aber kein «lokaler» Speicher
  - ▶ jedes Speichermodul von «allen» Prozessoren zugreifbar
- ▶ *Datentransport*
  - ▶ über Netzwerk
  - ▶ zwischen einer CPU und einem Speicher



# Nachrichtenkopplung versus Speicherkopplung

potenzielle Nachteile von Nachrichtenkopplung

- ▶ für Datentransport Beteiligung von *zwei* Prozessoren
  - ▶ für Empfänger mitunter «unpassend»
- ▶ Parallelismus muss explizit programmiert werden

potenzielle Nachteile von Speicherkopplung

- ▶ *Skalierbarkeit:* große Prozessorzahlen sinnvoll?
- ▶ Kostenmaß bei *Speicherzugriffskonflikten?*

daher oft gute Strategie:

- ▶ Entwurf für verteilten Speicher
  - ▶ deckt viel breiteren Bereich ab
- ▶ Implementierung u. U. für gemeinsamen Speicher

# Parallele Beispielalgorithmen

einfache, aber wichtige, algorithmische Probleme

- ▶ Datenumverteilung
- ▶ Präfixsummen
- ▶ Sortieren
- ▶ ...

# Überblick

## Einleitung

## Nachrichtengekoppelte Parallelrechner

Modell

Parallele Reduktion

Analyse paralleler Programme

Parallele Präfixsummen

Paralleles Sortieren

# Überblick

## Nachrichtengekoppelte Parallelrechner Modell

Parallele Reduktion

Analyse paralleler Programme

Parallele Präfixsummen

Paralleles Sortieren

# Modell für Nachrichtenaustausch

ähnlich wie bei MPI

- ▶ Netzwerk
  - ▶ Punkt-zu-Punkt
  - ▶ vollständig verknüpft
  - ▶ Nachrichten überholen sich nicht
  - ▶ voll-duplex
- ▶ jeder Prozessor kann maximal gleichzeitig
  - ▶ eine Nachricht an einen beliebigen Empfänger senden
    - ▶  $\text{SEND}(smsg, to)$
  - ▶ eine Nachricht von einem beliebigen Sender empfangen
    - ▶  $rmsg \leftarrow \text{RECV}(from)$
  - ▶ oder beides gleichzeitig
    - ▶  $rmsg \leftarrow \text{SENDRECV}(smsg, to, from)$
- ▶ wer MPI kennt, möchte mehr spezifiziert haben ...

# Kostenmodell für Nachrichtenaustausch

Dauer für Senden oder Empfangen von  $\ell$  Bytes

$$T_{comm}(\ell) = T_{start} + \ell \cdot T_{byte}$$

- ▶ in der Praxis meist  $T_{byte} \ll T_{start}$
- ▶ ignoriert z. B. «Abstand» zwischen Sender und Empfänger
  - ▶ auf gleicher CPU?
  - ▶ auf gleichem Mainboard?
  - ▶ in gleichem Rack?

# Programmiermodell

- ▶ **SPMD:** single program multiple data
  - ▶ alle PEs führen das gleiche Programm aus
  - ▶ Unterscheidung durch «Ränge»
    - ▶ paarweise verschiedene PE-Nummern
- ▶ Beispiel:

**PARHELLOWORLD()**

```
1  p = COMM_SIZE()  
2  iPE = COMM_RANK()  
3  PRINT("I am PE", iPE, "of", p, "PEs")
```

mögliche Ausgabe

“I am PE 1 of 3 PEs”

“I am PE 2 of 3 PEs”

“I am PE 0 of 3 PEs”

# Überblick

Nachrichtengekoppelte Parallelrechner

Modell

**Parallele Reduktion**

Analyse paralleler Programme

Parallele Präfixsummen

Paralleles Sortieren

# Reduktion

- ▶  $\otimes$  sei binäre assoziative Operation auf Menge  $M$ 
  - ▶ nicht notwendig kommutativ
  - ▶ Beispiele  $x \otimes y = x + y$ ,  $x \otimes y = \min(x, y)$ ,  
 $x \otimes y = x$ ,  $x \otimes y = y$
- ▶ für  $x = (x_0, \dots, x_{p-1}) \in M$  definiere  
 $R_\otimes(x) = \bigotimes_{i < p} x_i = x_0 \otimes \dots \otimes x_{p-1}$

# Parallele Berechnung für Reduktion

## Satz

Wenn  $\otimes$  eine binäre assoziative Operation ist und  $p$  Elemente  $x_0, \dots, x_{p-1}$  auf  $p$  PEs verteilt sind, dann kann man  $\bigotimes_{i < p} x_i$  in Zeit  $\Theta(\log p)$  auf PE 0 berechnen.

# Parallele Reduktion: Algorithmusidee

- ▶ für  $0 \leq i < p$  liege  $x_i$  auf PE  $i$
- ▶ Idee für den Fall  $p = 2^k$ :

$$\bigotimes_{i<p} x_i = \bigotimes_{i<p/2} x_i \otimes \bigotimes_{i<p/2} x_{i+p/2}$$

und Rekursion

- ▶ (Bild live)

# Parallele Reduktion: Algorithmus

```
1  active ← 1
2  sum ←  $x_i$ 
3  for  $k \leftarrow 0$  to  $\lfloor \log p \rfloor$ 
4      if active
5          if bit  $k$  of  $i$ 
6              SEND(sum,  $i - 2^k$ ) // bit  $k$  is 0
7              active ← 0
8          else if  $i + 2^k < p$ 
9              sum' ← RECV( $i + 2^k$ )
10             sum ← sum  $\otimes$  sum'
11  // result is in sum of PE 0
```

zu jedem SEND ein RECV und umgekehrt

Parallele Algorithmen

- └ Nachrichtengekoppelte Parallelrechner
  - └ Parallele Reduktion

# Parallele Reduktion: Algorithmus (2)

Bild live

# Parallele Reduktion: Analyse

Reduktion von  $n$  Elementen

- ▶ sequenziell: Zeit  $\Theta(n)$  (optimal)
- ▶ auf  $p = n$  PEs
  - ▶ Laufzeit  $\Theta(\log n)$
  - ▶ Beschleunigung  $\Theta(\frac{n}{\log n})$ 
    - ▶ «ideal» wäre Beschleunigung  $\Theta(p) = \Theta(n)$
- ▶ wie kann man Beschleunigung noch verbessern?

## Parallele Reduktion mit $p < n$

- ▶ jedes PE  $i$  hat  $n/p$  Datenelemente
  - ▶ berechnet zuerst  $s_i = \bigotimes$  der lokalen Elemente
  - ▶ anschließend parallele Reduktion der  $s_i$
- 
- ▶ Laufzeit  $\Theta(n/p) + \Theta(\log p)$
  - ▶ Beschleunigung
$$\frac{\Theta(n)}{\Theta(n/p + \log p)}$$
  - ▶ für  $p \in \Theta(n/\log n)$  ist die Beschleunigung  $\Theta(p)$

# Anmerkungen

- ▶ Bäume sind des öfteren nützlich
- ▶ *Brent's Prinzip:* «Durch Verringerung der Prozessorzahl  $p$  kann man die Beschleunigung in die Nähe von  $p$  bringen.»
  - ▶ gleich noch etwas präziser

# Überblick

## Nachrichtengekoppelte Parallelrechner

Modell

Parallele Reduktion

Analyse paralleler Programme

Parallele Präfixsummen

Paralleles Sortieren

# Analyse paralleler Programme (1)

was interessiert?

- ▶ Laufzeit
- ▶ Beschleunigung
- ▶ verrichtete Arbeit

# Analyse paralleler Programme (1)

was interessiert?

- ▶ Laufzeit
  - ▶ Beschleunigung
  - ▶ verrichtete Arbeit
- 
- ▶  $T_{par}(I, p)$  Laufzeit Probleminstanz  $I$  bearbeitet mit  $p$  PEs
  - ▶  $T_{seq}(I)$  Laufzeit Probleminstanzen Größe  $n$  mit «bestem (bekannten) Algorithmus»
  - ▶ «im allgemeinen»  $T_{seq}(I) < T_{par}(I, 1)$ 
    - ▶ aber par. Alg. kann leicht (?) modifiziert werden:  
**if**  $p = 1$  **then**  $A_{seq}(I)$  **else**  $A_{par}(I)$  **fi**

## Analyse paralleler Programme (2)

- ▶ *Beschleunigung (speedup)*

$$S(I, p) = \frac{T_{seq}(I)}{T_{par}(I, p)}$$

- ▶ Beschleunigung vergröbert

$$S(n, p) = \inf\{S(I, p) \mid n = |I|\}$$

- ▶ bequemer Spezialfall: für Instanzen  $I, I'$  gleicher Größe  $n$  ist  
 $T_{par}(I, p) = T_{par}(I', p) = T_{par}(n, p)$  und  
 $T_{seq}(I) = T_{seq}(I') = T_{seq}(n)$
- ▶ dann  $S(n, p) = T_{seq}(n)/T_{par}(n, p)$ 
  - ▶ *Im allgemeinen gilt das nicht! (Übung)*

# Analyse paralleler Programme (3)

- ▶ Simulation von  $p$  Prozessoren durch 1 Prozessor:
  - ▶ reihum immer «ein Stückchen» von Prozessor  $i$
  - ▶ «möglichst guter» seq. Alg. nie langsamer als  $O(p \cdot T_{par}(I, p))$
  - ▶ also stets  $\frac{T_{seq}(I)}{T_{par}(I, p)} \in O(p)$  und  $S(n, p) \in O(p)$

# Analyse paralleler Programme (4)

- ▶ *Effizienz:*

$$E(n, p) = \frac{S(n, p)}{p}$$

- ▶ wegen  $S(n, p) \in O(p)$  stets  $E(n, p) \in O(1)$
- ▶ kurios, aber möglich:  $E(p) > 1$  «superlinearer Speedup»
  - ▶ wie kann das sein?
- ▶ Ziel:  $E(p) \in \Theta(1)$
- ▶

$$E(n, p) = \frac{T_{par}(n, p)}{p \cdot T_{seq}(n)}$$

# Analyse paralleler Programme (5)

- ▶ *Arbeit:*

$$W(n, p) = p \cdot T_{par}(n, p)$$

- ▶ dann

$$E(n, p) = \frac{S(n, p)}{p} = \frac{T_{seq}(n)}{T_{par}(n, p) \cdot p} = \frac{T_{seq}(n)}{W(n, p)}$$

# Analyse der parallelen Reduktion mit $p < n$

jetzt präziser formuliert

- ▶ sequenzielle Reduktion von  $n/p$  Elementen
- ▶ anschließend parallele Reduktion der  $p$  partiellen Summen
  
- ▶ Laufzeit  $T_{par}(n, p) = \Theta(n/p) + \Theta(\log p)$
- ▶ Beschleunigung  $S(n, p) = \frac{\Theta(n)}{\Theta(n/p + \log p)}$
- ▶ Effizienz  $E(n, p) = \frac{\Theta(n)}{\Theta(n + p \log p)}$
- ▶ für  $p = n$ :  
 $S(n, n) \in \Theta\left(\frac{n}{\log n}\right)$  und  $E(n, n) \in \Theta\left(\frac{1}{\log n}\right)$
- ▶ für  $p \in \Theta(n/\log n)$ :  
 $S(n, p) = \Theta(p)$  und  $E(n, p) \in \Theta(1)$
- ▶ größere Effizienz für kleinere  $p$     Brents Prinzip

# Überblick

## Nachrichtengekoppelte Parallelrechner

Modell

Parallele Reduktion

Analyse paralleler Programme

Parallele Präfixsummen

Paralleles Sortieren

# Präfixsummen

- ▶  $\otimes$  sei binäre assoziative Operation auf Menge  $M$ 
  - ▶ nicht notwendig kommutativ
  - ▶ evtl. neutrales Element  $e$
- ▶ für  $x = (x_0, \dots, x_{p-1}) \in M$  definiere  $P_\otimes(x) = y = (y_0, \dots, y_{p-1})$  wobei für  $0 \leq i < p$ :
  - ▶  $y_i = \bigotimes_{k \leq i} x_k$  oder
  - ▶  $y_i = \bigotimes_{k < i} x_k$  (falls neutrales Element  $e$ ;  $\bigotimes_{k < 0} x_i = e$ )
- ▶ also
  - ▶  $y_0 = x_0$  und  $y_{i+1} = y_i \otimes x_{i+1}$ ,  
also
  - ▶  $y_1 = x_0 \otimes x_1$
  - ▶  $y_2 = x_0 \otimes x_1 \otimes x_2$
  - ▶  $y_3 = x_0 \otimes x_1 \otimes x_2 \otimes x_3$
  - ▶ ...

# Präfixsummen: Hyperwürfel-Algorithmus

- ▶ um es bequem zu haben:
  - ▶  $p = n = 2^d$
  - ▶ kommutatives  $\otimes$
- ▶ PE-«Koordinaten»  $0 \leq i < 2^d$ 
  - ▶ repräsentiert als Bitvektoren  $i = (i_{d-1} \cdots i_0)$  mit  $i_j \in \{0, 1\}$ 
    - ▶  $i_k$ : das  $k$ -te Bit von rechts in  $i$
  - ▶ Kommunikation  $i \leftrightarrow i'$  nur bei Hammingdistanz 1, also  $i' = i \oplus 2^k \pmod{2^d}$ 
    - ▶  $\leadsto$  Hyperwürfel

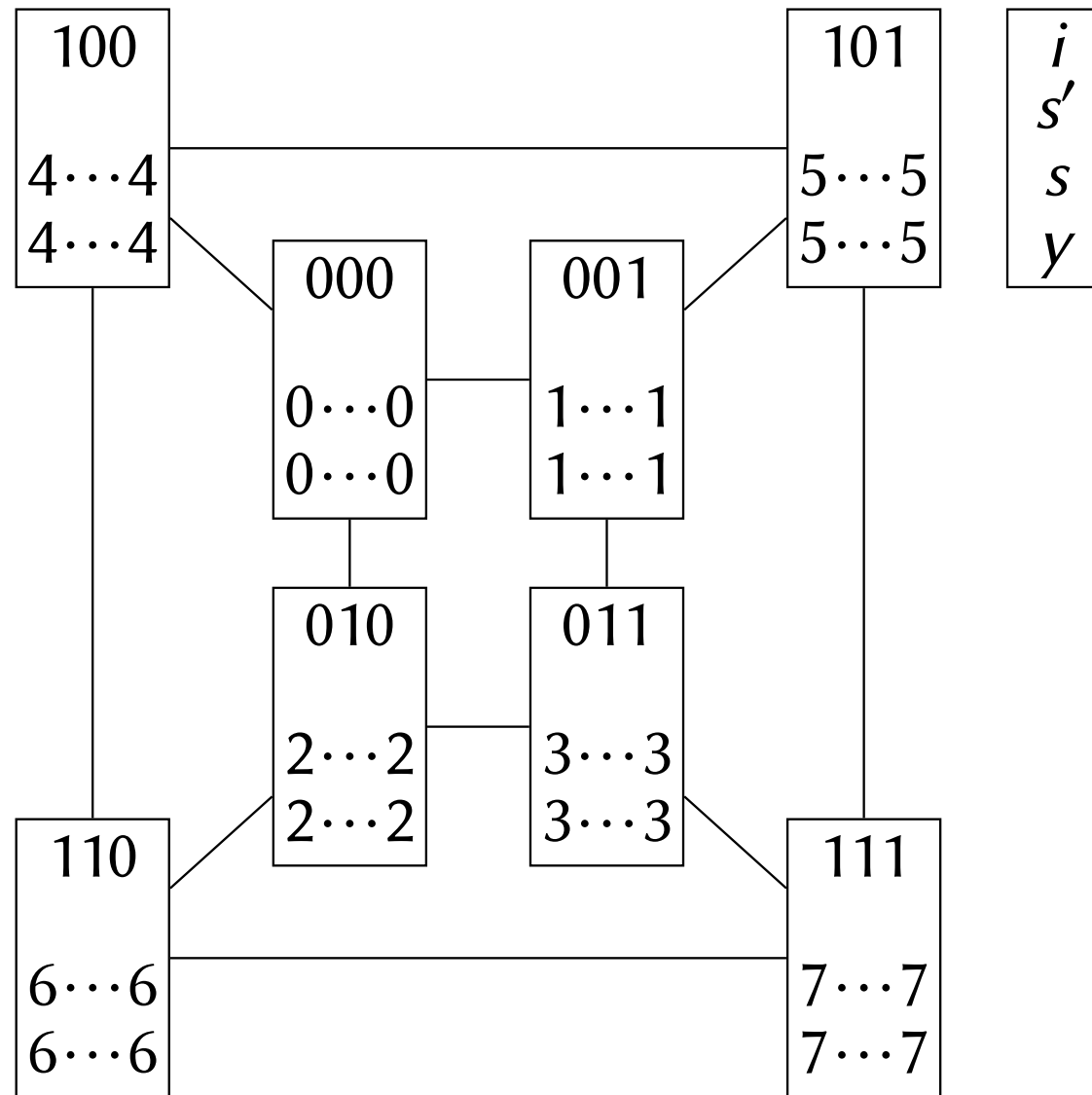
# Präfixsummen: Hyperwürfel-Algorithmus

für den Fall  $p = n = 2^d$  und kommutatives  $\otimes$

PREFIXSUM( $x, \otimes$ )

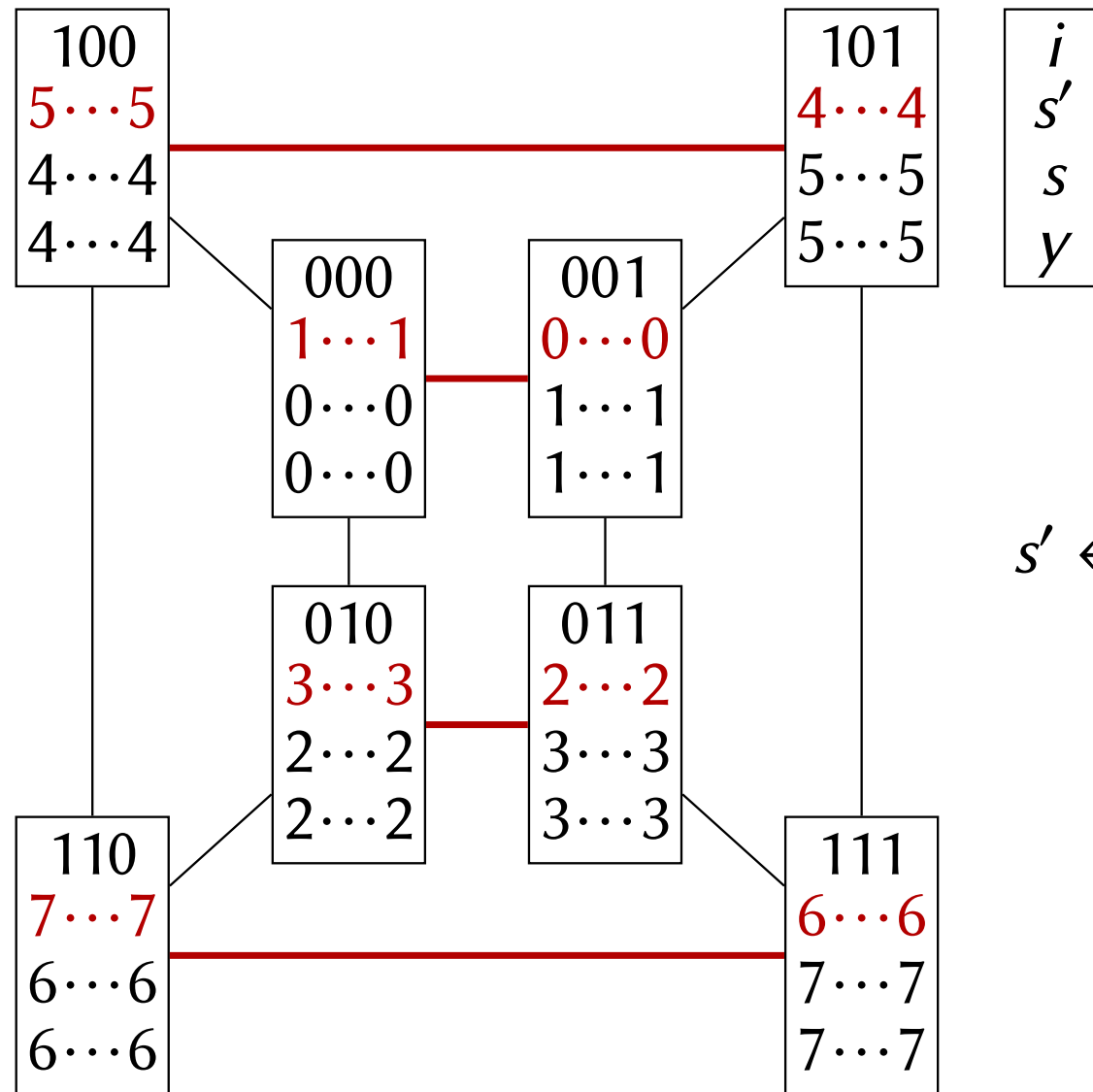
- 1     $y \leftarrow x$  // auf PE  $i$  liegt  $x_i$
- 2     $s \leftarrow x$  // für Summe von Elementen in Unterwürfel
- 3    **for**  $k \leftarrow 0$  **to**  $d - 1$
- 4         $s' \leftarrow \text{SENDRECV}(s, i \oplus 2^k, i \oplus 2^k)$
- 5         $s \leftarrow s \otimes s'$
- 6        **if**  $i_k = 1$
- 7             $y \leftarrow y \otimes s'$
- 8    // auf PE  $i$  liegt  $y_i = x_0 \otimes \dots \otimes x_i$

# Präfixsummen: Hyperwürfel-Algorithmus (Init)



$$k \cdots m = \bigotimes_{j=k}^m x_j$$

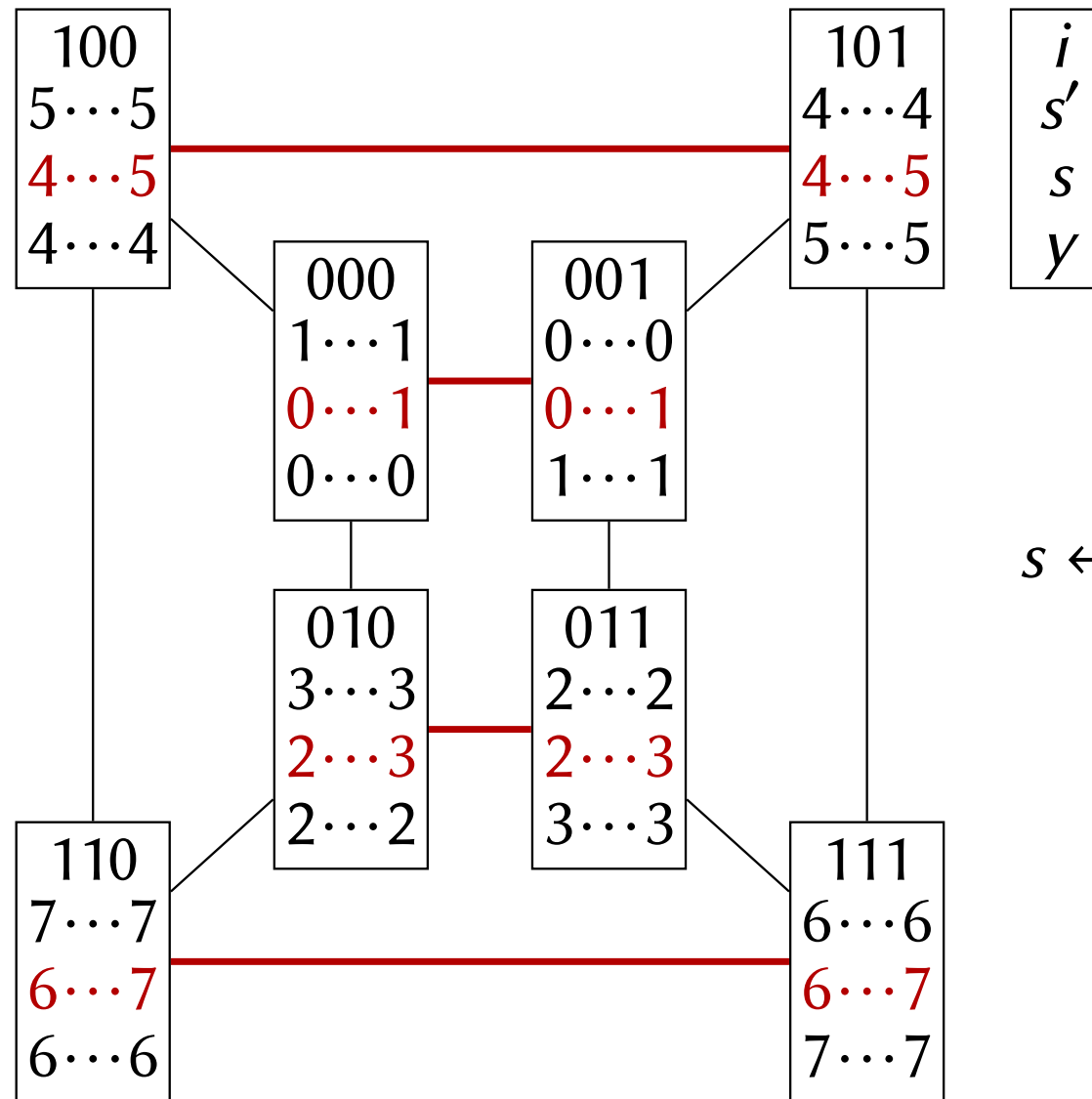
# Präfixsummen: Hyperwürfel-Algorithmus ( $k = 0$ )



$$s' \leftarrow \text{SENDRECV}(s, i \oplus 2^0, i \oplus 2^0)$$

$$k \cdots m = \bigotimes_{j=k}^m x_j$$

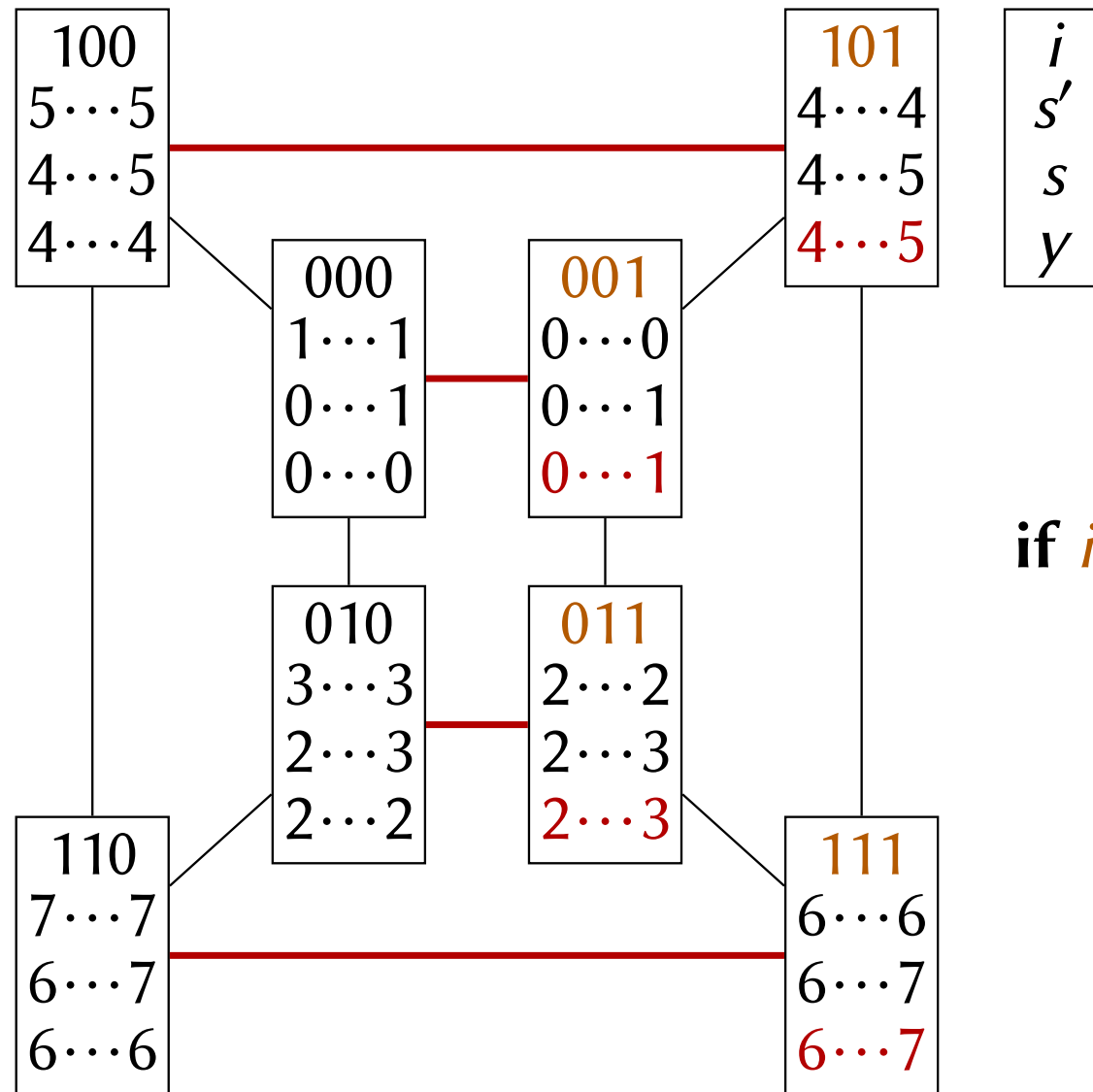
# Präfixsummen: Hyperwürfel-Algorithmus ( $k = 0$ )



$$s \leftarrow s \otimes s'$$

$$k \cdots m = \bigotimes_{j=k}^m x_j$$

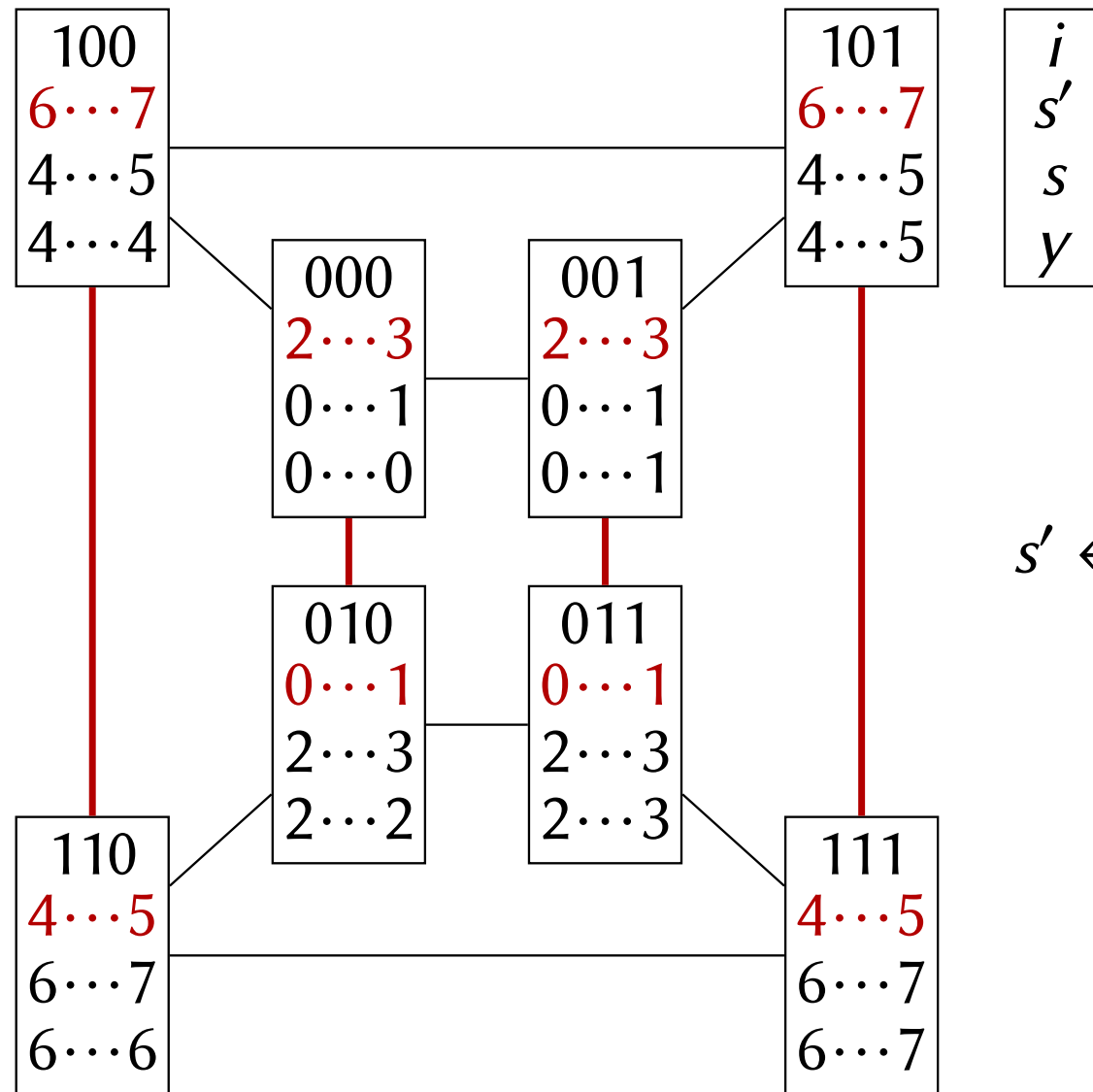
# Präfixsummen: Hyperwürfel-Algorithmus ( $k = 0$ )



**if  $i_k = 1$  then  $y \leftarrow y \otimes s'$**

$$k \cdots m = \bigotimes_{j=k}^m x_j$$

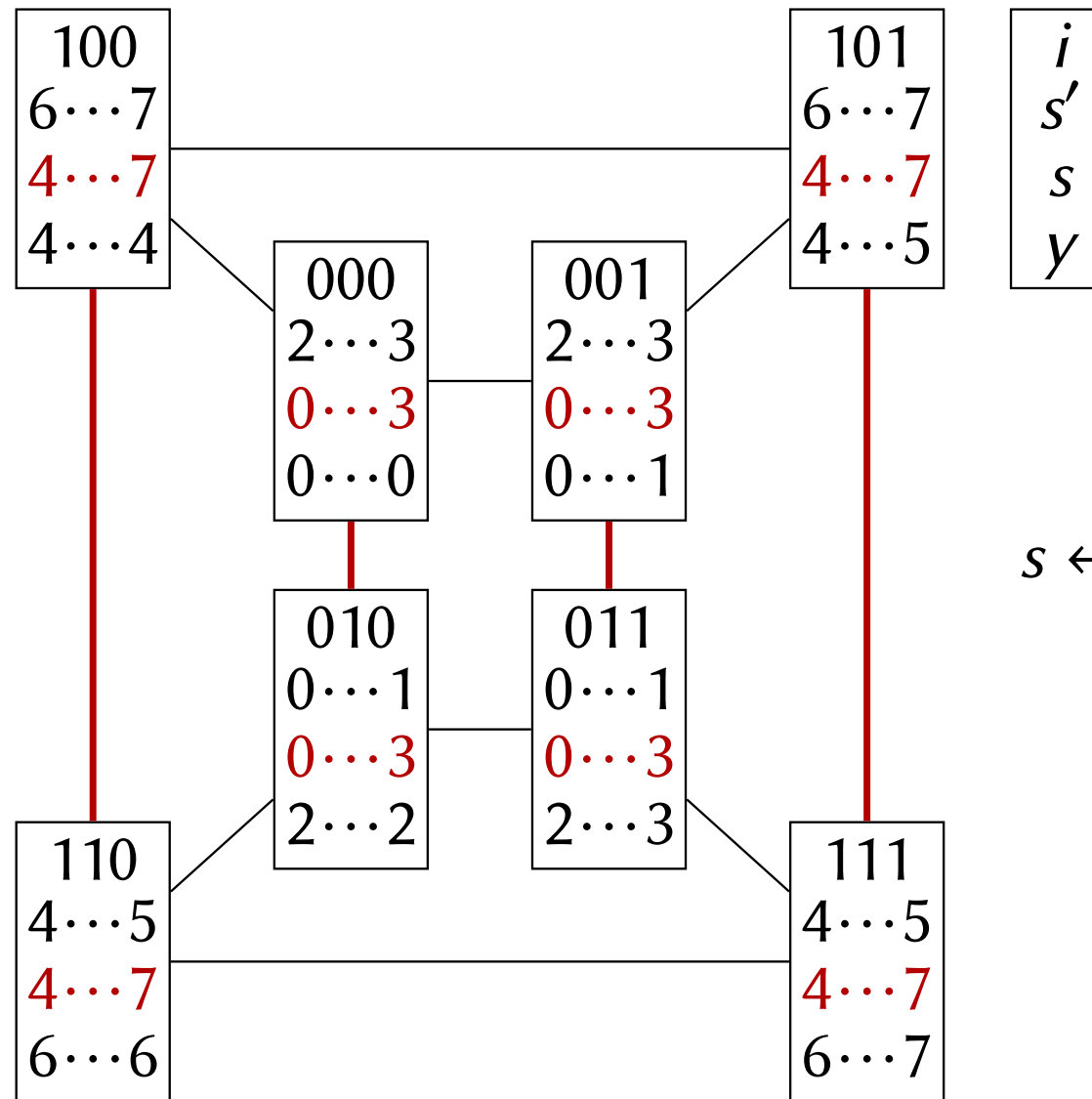
# Präfixsummen: Hyperwürfel-Algorithmus ( $k = 1$ )



$$s' \leftarrow \text{SENDRECV}(s, i \oplus 2^1, i \oplus 2^1)$$

$$k \cdots m = \bigotimes_{j=k}^m x_j$$

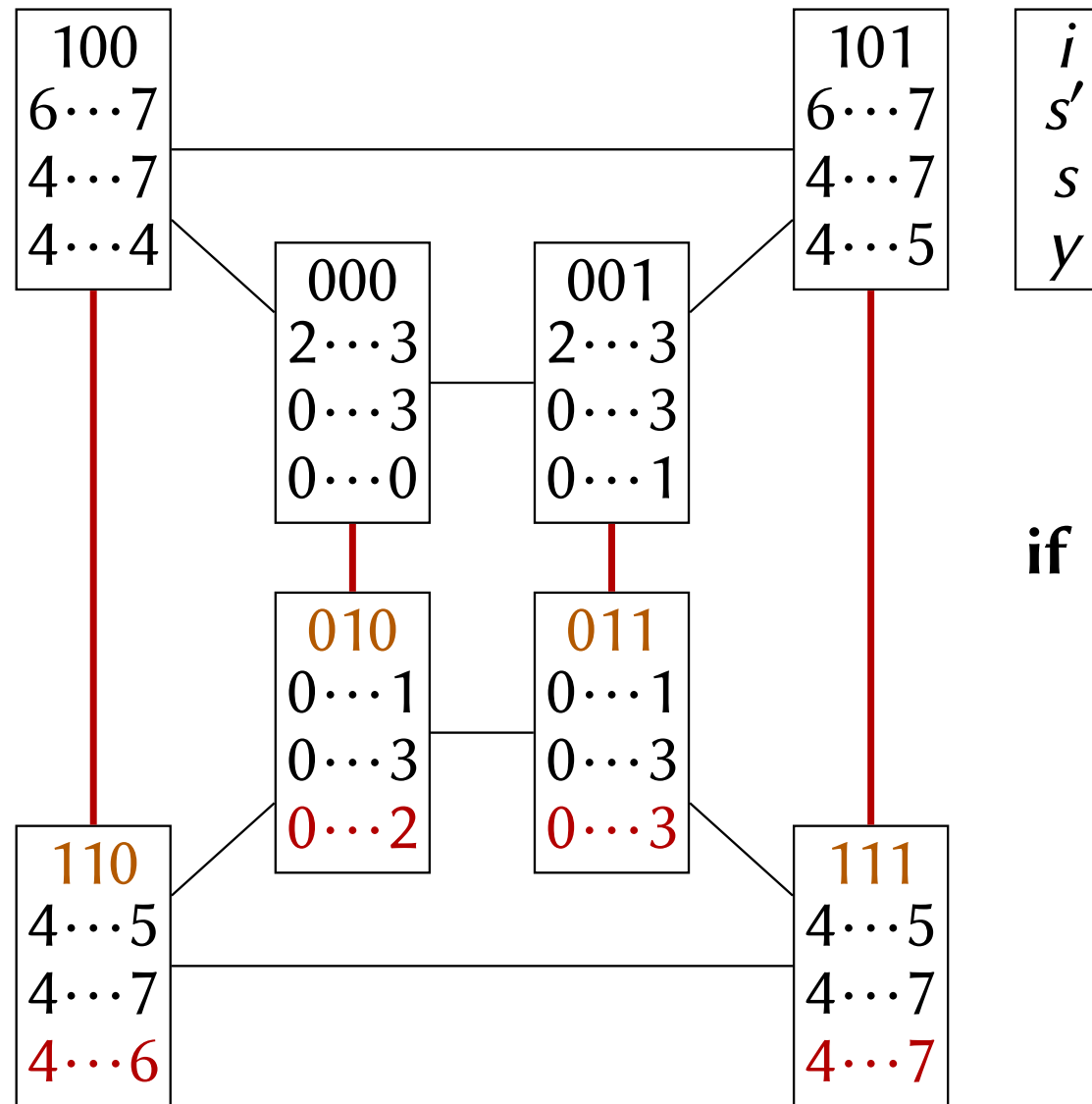
# Präfixsummen: Hyperwürfel-Algorithmus ( $k = 1$ )



$$s \leftarrow s \otimes s'$$

$$k \cdots m = \bigotimes_{j=k}^m x_j$$

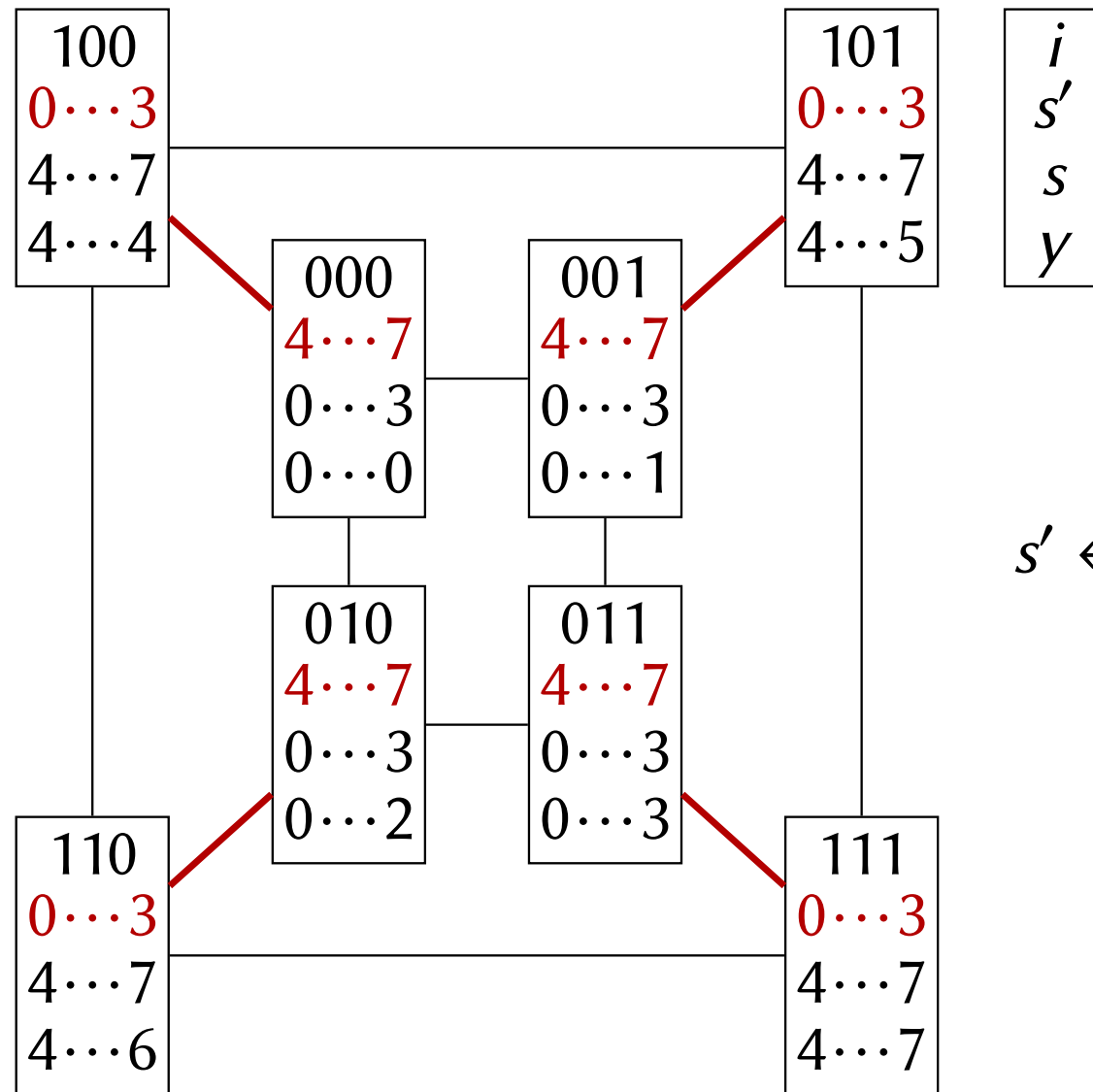
# Präfixsummen: Hyperwürfel-Algorithmus ( $k = 1$ )



**if  $i_k = 1$  then  $y \leftarrow y \otimes s'$**

$$k \cdots m = \bigotimes_{j=k}^m x_j$$

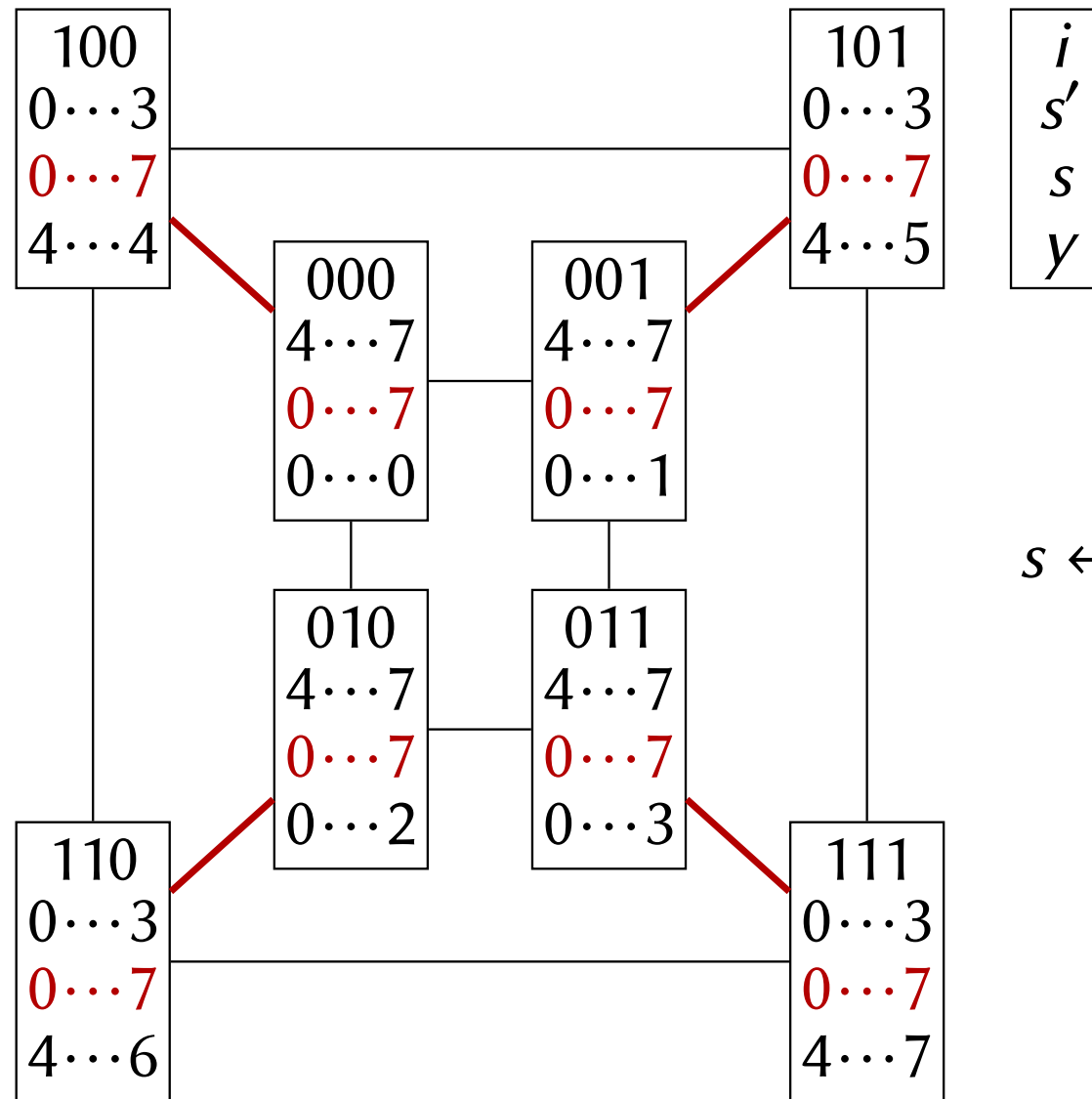
# Präfixsummen: Hyperwürfel-Algorithmus ( $k = 2$ )



$$s' \leftarrow \text{SENDRECV}(s, i \oplus 2^2, i \oplus 2^2)$$

$$k \cdots m = \bigotimes_{j=k}^m x_j$$

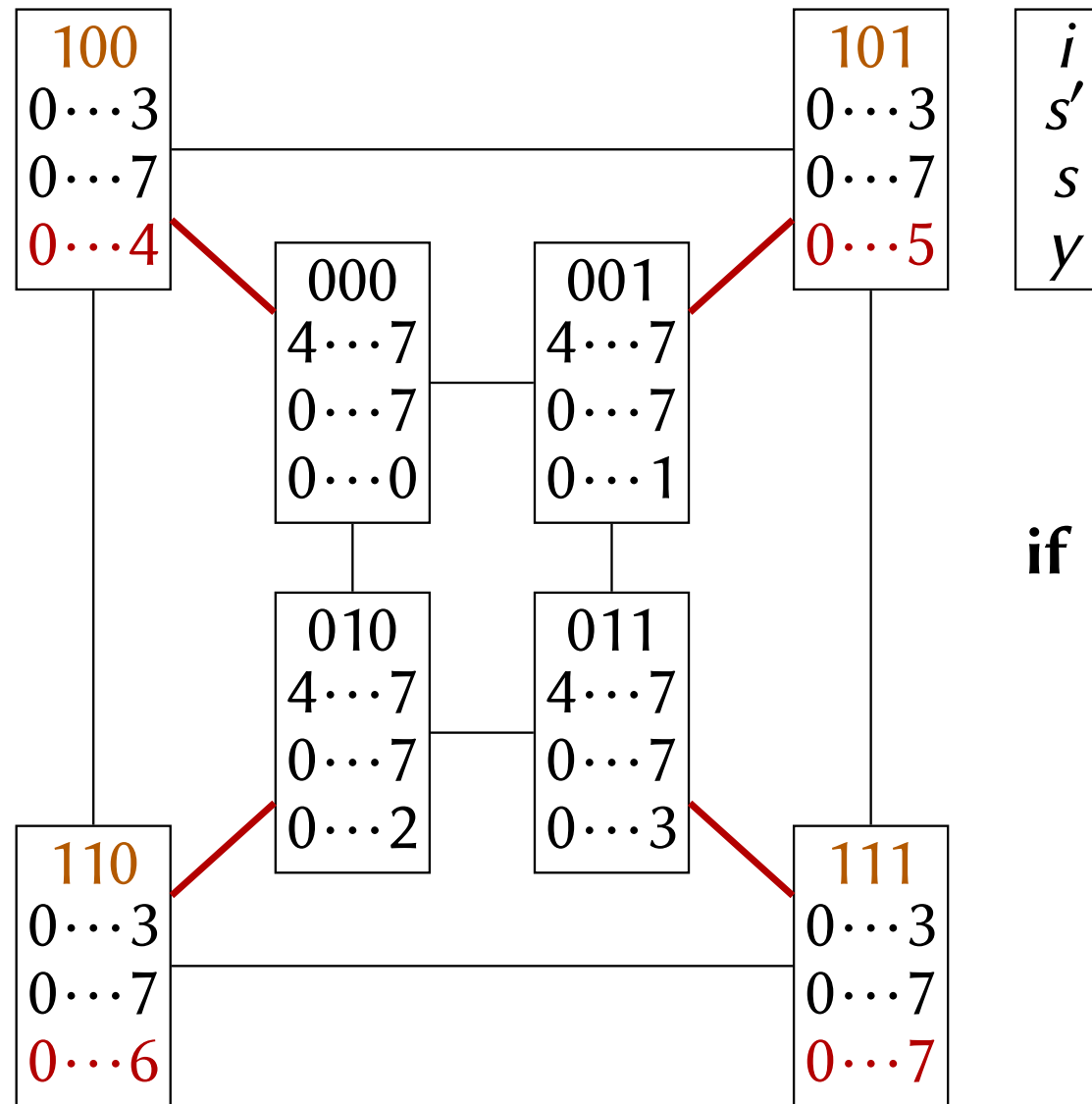
# Präfixsummen: Hyperwürfel-Algorithmus ( $k = 2$ )



$$s \leftarrow s \otimes s'$$

$$k \cdots m = \bigotimes_{j=k}^m x_j$$

# Präfixsummen: Hyperwürfel-Algorithmus ( $k = 2$ )



**if  $i_k = 1$  then  $y \leftarrow y \otimes s'$**

$$k \cdots m = \bigotimes_{j=k}^m x_j$$

## Hyperwürfel-Algorithmus: Korrektheit

schreibe  $i|0^k$  für  $(i_{d-1}, \dots, i_k, 0, \dots, 0)$  und  
 analog  $i|1^k$  für  $(i_{d-1}, \dots, i_k, 1, \dots, 1)$

```

1    $y \leftarrow x$  // auf PE  $i$  liegt  $x_i$ 
2    $s \leftarrow x$  // für Summe von Elementen in Unterwürfel
3   for  $k \leftarrow 0$  to  $d - 1$ 
    // Invariante:  $s_i = \bigotimes_{a_i}^{b_i} x_i$  und  $y_i = \bigotimes_{a_i}^i x_i$ 
    // mit  $a_i = i|0^k$ ,  $b_i = i|1^k$ 
4    $s' \leftarrow \text{SENDRECV}(s, i \oplus 2^k, i \oplus 2^k)$ 
5    $s \leftarrow s \otimes s'$ 
6   if  $i_k = 1$ 
7      $y \leftarrow y \otimes s'$ 
8 // auf PE  $i$  liegt  $y_i = x_0 \otimes \dots \otimes x_i$ 

```

# Hyperwürfel-Algorithmus: Analyse

- ▶ Laufzeit

$$T_{prefix} \in O((T_{start} + \ell \cdot T_{byte}) \cdot \log p)$$

- ▶ für  $T_{start} \ll \ell T_{byte}$  nicht optimal
  - ▶  $\Theta(T_{start} \cdot \log p + \ell \cdot T_{byte})$  erreichbar
  - ▶ ↗ Vorlesung «Parallele Algorithmen»
- ▶ analog übrigens auch schon bei Reduktion

# Parallele Präfixsummen für nicht-kommutatives $\otimes$

kleine Korrekturen an zwei Stellen:

```
1   $y \leftarrow x$  // auf PE  $i$  liegt  $x_i$ 
2   $s \leftarrow x$  // für Summe von Elementen in Unterwürfel
3  for  $k \leftarrow 0$  to  $d - 1$ 
4     $s' \leftarrow \text{SENDRECV}(s, i \oplus 2^k, i \oplus 2^k)$ 
     // statt  $s \leftarrow s \otimes s'$ 
5    if  $i_k = 1$ 
6       $s \leftarrow s' \otimes s$ 
7    else  $s \leftarrow s \otimes s'$ 
8    if  $i_k = 1$ 
9       $y \leftarrow s' \otimes y$                                 // statt  $y \otimes s'$ 
10   // auf PE  $i$  liegt  $y_i = x_0 \otimes \dots \otimes x_i$ 
```

# Parallele Präfixsummen für nicht-kommutatives $\otimes$

- ▶  $x \otimes y = x$ : parallele Präfixsumme *eine* Möglichkeit
  - ▶ in Zeit  $\log p$
  - ▶  $x_0$  an alle Prozessoren zu verteilen
- ▶ *Broadcast*
  - ▶  $rval \leftarrow \text{BCAST}(val, from)$
  - ▶ Anwendung «wie in MPI»
  - ▶ muss von *allen* Prozessoren aufgerufen werden

# Überblick

## Nachrichtengekoppelte Parallelrechner

Modell

Parallele Reduktion

Analyse paralleler Programme

Parallele Präfixsummen

Paralleles Sortieren

# Aufgabenvarianten

wo liegen am Anfang die Daten

- ▶ alle  $n$  Elemente auf PE 0
  - ▶ jedes Element von PE 0 mindestens einmal angefasst
  - ▶  $\leadsto$  Laufzeit in  $\Omega(n)$
- ▶ je  $n/p$  Elemente auf PE  $i$ ,  $0 \leq i < p$ 
  - ▶ interessanter

# Verteilte Eingabedaten

- ▶ zunächst einfacher Fall  $p = n$ 
  - ▶ Prozessor  $i$  hat Eingabeelement  $x_i$
- ▶ Grundidee von Quicksort beibehalten
  - ▶ ein Element  $pv$  als Pivot wählen
  - ▶ Elemente umverteilen
    - ▶ Elemente kleiner als  $pv$  auf Prozessoren mit kleinen Rängen
    - ▶ Elemente größer als  $pv$  auf Prozessoren mit großen Rängen
  - ▶ parallele Rekursion: gleichzeitig
    - ▶ Elemente kleiner als  $pv$  rekursiv analog und
    - ▶ Elemente größer als  $pv$  rekursiv analog sortieren

# Theoretiker-Quicksort

## Theoretiker-Quicksort Teil 0: Vorbereitungen

**THEOQSORT0( $x$ )**

- 1  $i \leftarrow \text{COMM RANK}()$
- 2  $p \leftarrow \text{COMM SIZE}()$   
// PE  $i$  hat Element  $x_i$
- 3 **THEOQSORT**( $x, 0, p - 1$ )

# Theoretiker-Quicksort

Theoretiker-Quicksort Teil 1: kleine Elemente zählen

THEOQSORT( $x, \dots$ )

- 1   **if**  $i = 0$
- 2        $ipv \leftarrow \text{RANDINT}(0, p)$  // expected log. recursion levels
- 3        $ipv \leftarrow \text{BCAST}(ipv, 0)$
- 4        $pv \leftarrow \text{BCAST}(x, ipv)$
- 5        $small \leftarrow x \leq pv$  // 1 iff  $x \leq pv$ ; 0 otherwise
- 6        $j \leftarrow \text{PREFIXSUM}(small, +)$
- 7        $p' \leftarrow \text{BCAST}(j, p - 1)$  // nr of elements  $\leq pv$

# Theoretiker-Quicksort

## Theoretiker-Quicksort Teil 2: Datenumverteilung und Rekursion

```
    small ←  $x \leq pv$                                 // 1 iff  $x \leq pv$ ; 0 otherwise
    j ← PREFIXSUM(small, +)                            // «inclusive» prefix sum
                                                       // as described before
    p' ← BCAST(j,  $p - 1$ )                           // nr of elements  $\leq pv$ 
1   if small = 1
2     SEND(x,  $j - 1$ )                               // assume nonblocking SEND
3   else SEND(x,  $p' + i - j$ )                         // assume nonblocking SEND
                                                       //  $i - j$  small elements left of  $i$ 
4   x ← RECV(ANY)
5   recursive THEOQSORT of «left»/«right» part
```

# Theoretiker-Quicksort: Laufzeit

- ▶ erwartete Rekursionstiefe  $O(\log p)$
- ▶ jeweils Zeit  $O(T_{start} \log p)$
- ▶ insgesamt erwartete Zeit  $O(T_{start}(\log p)^2)$

# 11 Fortgeschrittene Datenstrukturen

Hier am Beispiel von Prioritätslisten.

Weitere Beispiele:

- Monotone ganzzahlige Prioritätslisten [Kapitel kürzeste Wege](#)
- perfektes **Hashing** [siehe Buch](#)
- Suchbäume** mit fortgeschrittenen Operationen [siehe Buch](#)
- Externe Prioritätslisten [Kapitel externe Algorithmen](#)
- Geometrische Datenstrukturen [Kapitel geom. Algorithmen](#)

## 11.1 Adressierbare Prioritätslisten

**Procedure** build( $\{e_1, \dots, e_n\}$ )  $M := \{e_1, \dots, e_n\}$

**Function** size **return**  $|M|$

**Procedure** insert( $e$ )  $M := M \cup \{e\}$

**Function** min **return**  $\min M$

**Function** deleteMin  $e := \min M; M := M \setminus \{e\};$  **return**  $e$

**Function** remove( $h$  : Handle)  $e := h; M := M \setminus \{e\};$  **return**  $e$

**Procedure** decreaseKey( $h$  : Handle,  $k$  : Key) **assert**  $\text{key}(h) \geq k;$   $\text{key}(h) :=$

**Procedure** merge( $M'$ )  $M := M \cup M'$

## Adressierbare Prioritätslisten: Anwendungen

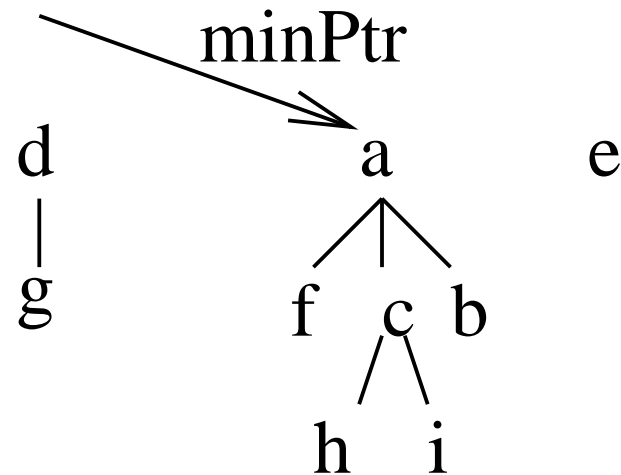
- Dijkstras Algorithmus für kürzeste Wege
- Jarník-Prim-Algorithmus für minimale Spannbäume
- Bei uns: Hierarchiekonstruktion für Routenplanung
- Bei uns: Graphpartitionierung
- Bei uns: disk scheduling

Allgemein:

Greedy-Algorithmen, bei denen sich Prioritäten (begrenzt) ändern.

# Grundlegende Datenstruktur

Ein **Wald heap-geordneter** Bäume

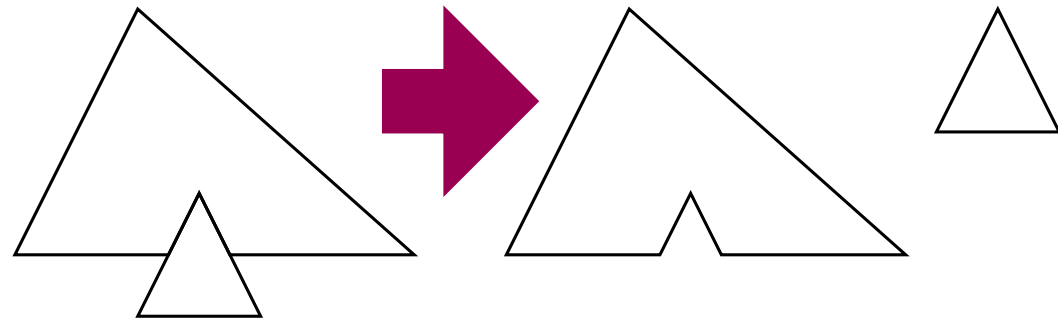


Verallgemeinerung gegenüber binary heap:

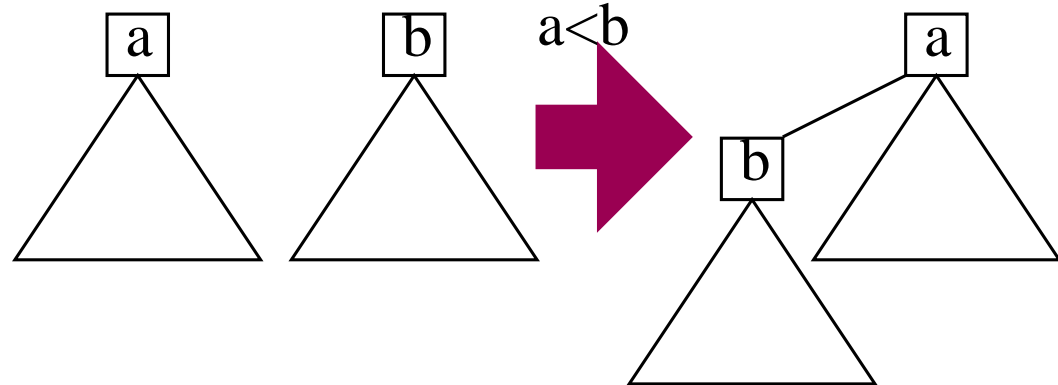
- Baum → Wald
- binär → beliebige Knotengrade

# Wälder Bearbeiten

Cut:



Link:



$\text{union}(a, b) : \text{link}(\min(a, b), \max(a, b))$

# Pairing Heaps (Paarungs-Haufen??)

[Fredman Sedgewick Sleator Tarjan 1986]

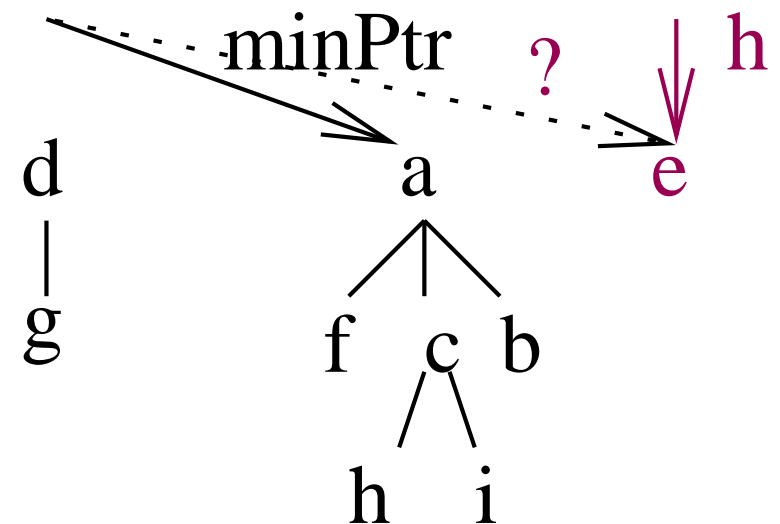
**Procedure** insertItem( $h$  : Handle)

newTree( $h$ )

**Procedure** newTree( $h$  : Handle)

forest := forest  $\cup \{h\}$

**if**  $*h < \text{min}$  **then** minPtr :=  $h$



# Pairing Heaps

**Procedure** decreaseKey( $h$  : Handle,  $k$  : Key)

key( $h$ ) :=  $k$

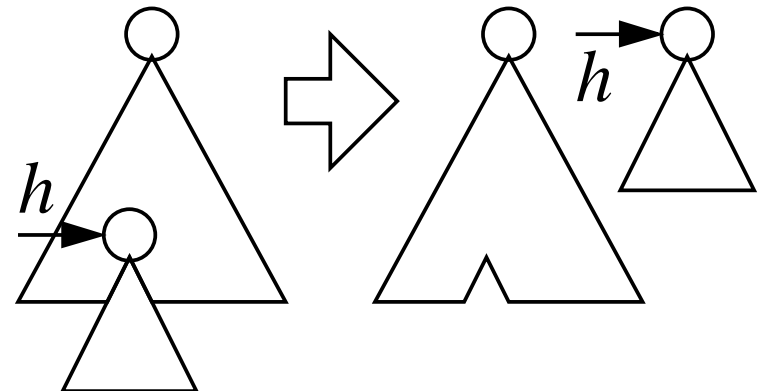
**if**  $h$  is not a root **then** cut( $h$ )

**else** update minPtr

**Procedure** cut( $h$  : Handle)

remove the subtree rooted at  $h$

newTree( $h$ )



# Pairing Heaps

**Function** deleteMin : Handle

*m*:= minPtr

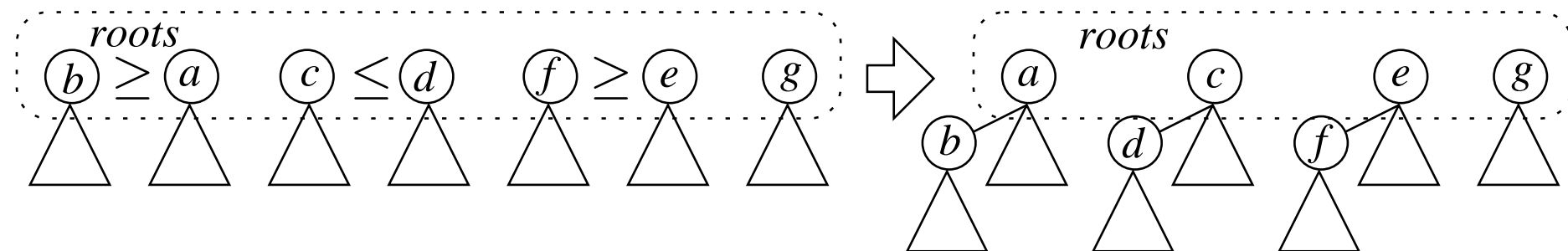
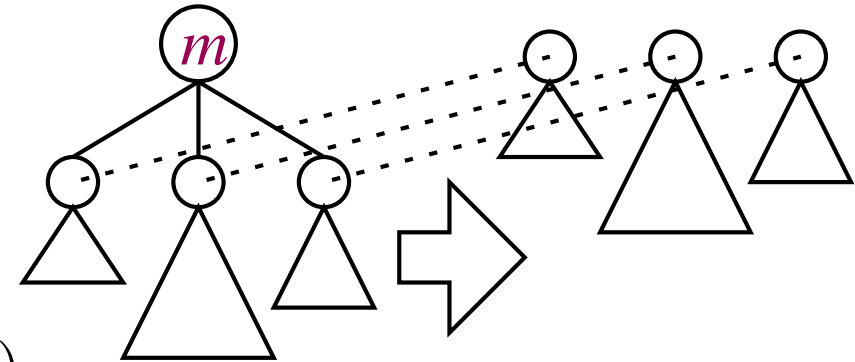
forest:= forest \ {*m*}

**foreach** child *h* of *m* **do** newTree(*h*)

perform **pair-wise union** operations on the roots in forest

update minPtr

**return** *m*



# Pairing Heaps

**Procedure** merge(*o* : AdressablePQ)

**if** \*minPtr > \*(*o*.minPtr) **then** minPtr:= *o*.minPtr

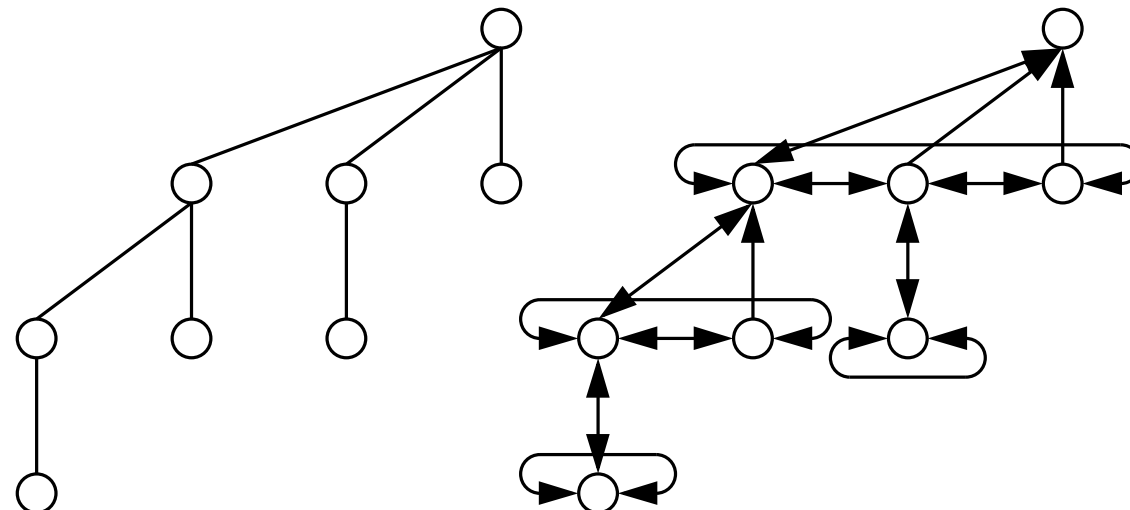
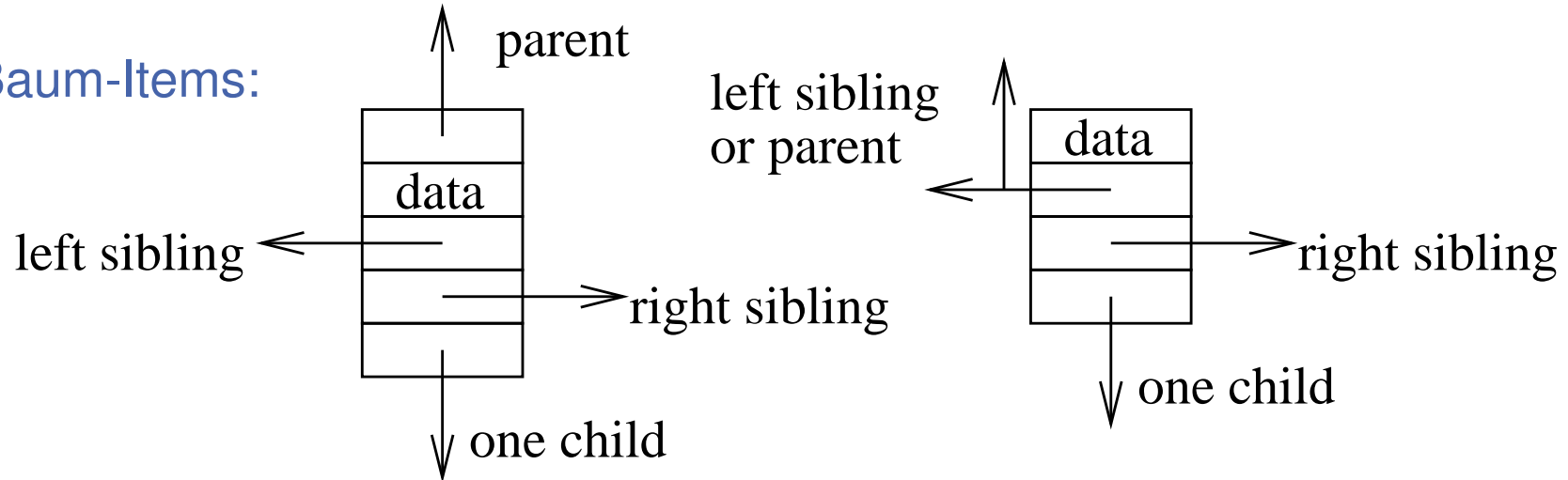
forest:= forest  $\cup$  *o*.forest

*o*.forest:=  $\emptyset$

# Pairing Heaps – Repräsentation

Wurzeln: Doppelt verkettete Liste

Baum-Items:



## Pairing Heaps – Analyse

insert, merge:  $O(1)$

deleteMin, remove:  $O(\log n)$  amortisiert

decreaseKey: unklar!  $O(\log \log n) \leq T \leq O(\log n)$  amortisiert.

In der Praxis sehr schnell.

Beweise: nicht hier.

## Fibonacci Heaps [Fredman Tarjan 1987]

Rang: Anzahl (direkter) Kinder speichern

Vereinigung nach Rang: Union nur für gleichrangige Wurzeln

Markiere Knoten, die ein Kind verloren haben

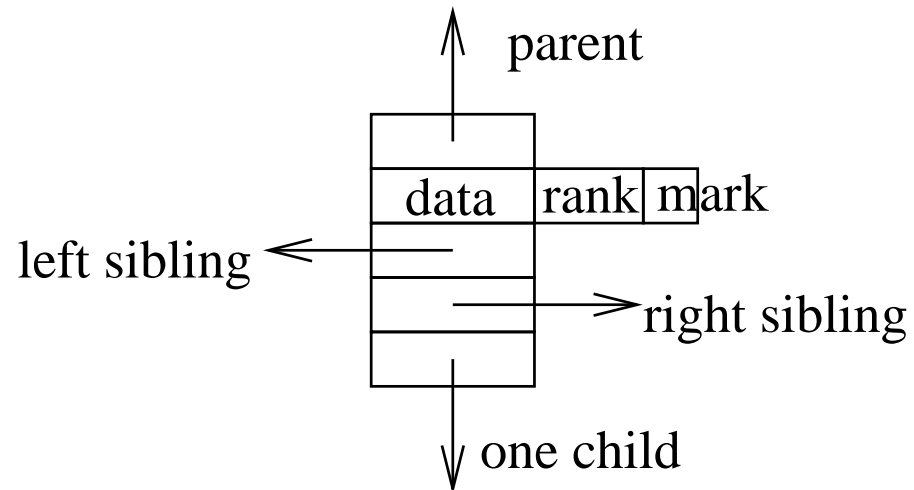
Kaskadierende Schnitte: Schneide markierte Knoten  
(die also 2 Kinder verloren haben)

**Satz:** Amortisierte Komplexität  $O(\log n)$  für deleteMin, remove und  
 $O(1)$  für alle anderen Operationen  
(d.h.  $Gesamtzeit = O(o + d \log n)$  falls  
 $d = \#\text{deleteMin}$ ,  $o = \#\text{otherOps}$ ,  $n = \max |M|$ )

# Repräsentation

Wurzeln: Doppelt verkettete Liste  
(und ein temporäres Feld für deleteMin)

Baum-Items:



**insert, merge:** wie gehabt. Zeit  $O(1)$

# deleteMin mit Union-by-Rank

**Function** deleteMin : Handle

$m := \text{minPtr}$

$\text{forest} := \text{forest} \setminus \{m\}$

**foreach** child  $h$  of  $m$  **do** newTree( $h$ )

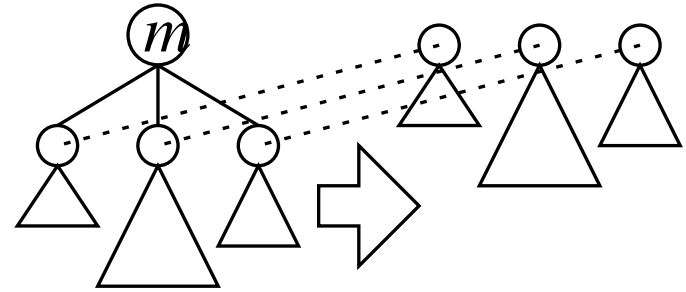
**while**  $\exists a, b \in \text{forest} : \text{rank}(a) = \text{rank}(b)$  **do**

$\text{union}(a, b)$

// increments rank of surviving root

update minPtr

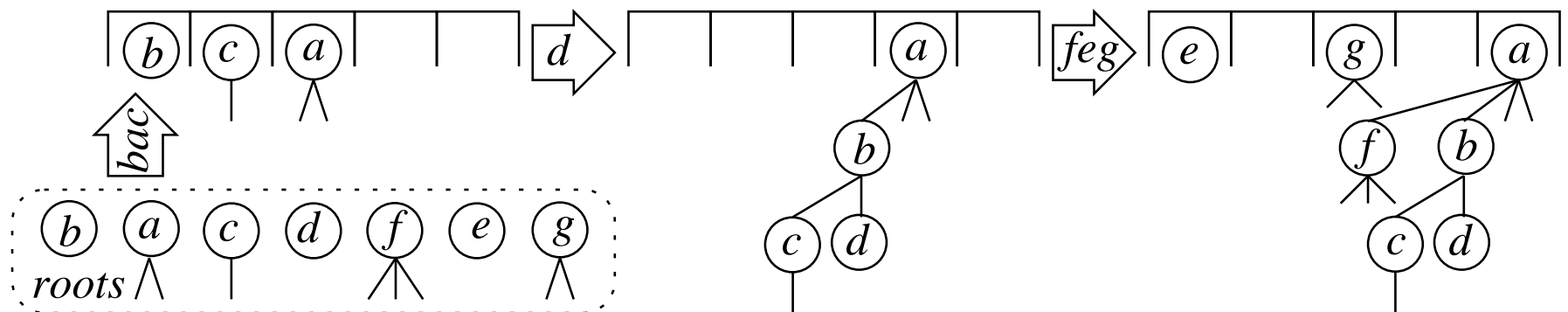
**return**  $m$



# Schnelles Union-by-Rank

Durch rank adressiertes Feld.

Solange link durchführen bis freier Eintrag gefunden.



Analyse: Zeit  $O(\#unions + |\text{forest}|)$

## Amortisierte Analyse von deleteMin

$$\text{maxRank} := \max_{a \in \text{forest}} \text{rank}(a) \text{ (nachher)}$$

Lemma:  $T_{\text{deleteMin}} = O(\text{maxRank})$

Beweis: Kontomethode. Ein Token pro Wurzel

$$\text{rank}(\text{minPtr}) \leq \text{maxRank}$$

~> Kosten  $O(\text{maxRank})$  für newTrees und neue Token.

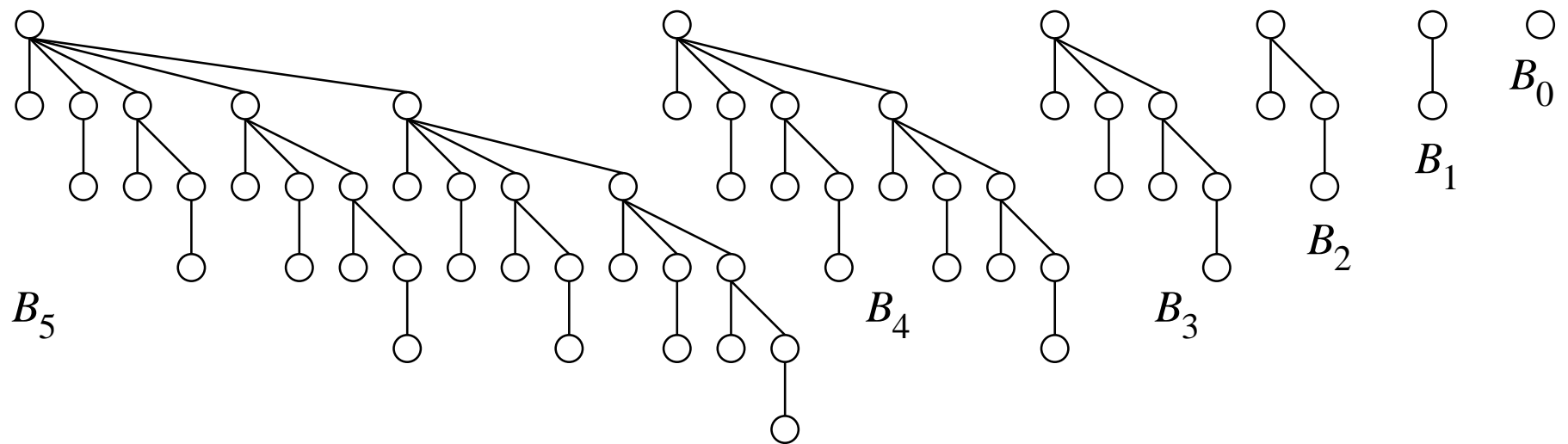
Union-by-rank: Token zahlen für

- union Operationen (ein Token wird frei) und
- durchlaufen alter und neuer Wurzeln.

Am Ende gibt es  $\leq \text{maxRank}$  Wurzeln.

# Warum ist maxRank logarithmisch? – Binomialbäume

$2^k + 1 \times \text{insert}, 1 \times \text{deleteMin} \rightsquigarrow \text{rank } k$



[Vuillemain 1978] PQ nur mit Binomialbäumen,  $T_{\text{decreaseKey}} = O(\log n)$ .

Problem: Schnitte können zu kleinen hochrangigen Bäumen führen

# Kaskadierende Schnitte

**Procedure** decreaseKey( $h$  : Handle,  $k$  : Key)

key( $h$ ) :=  $k$

update minPtr

cascadingCut( $h$ )

**Procedure** cascadingCut( $h$ )

**if**  $h$  is not a root **then**

$p$  := parent( $h$ )

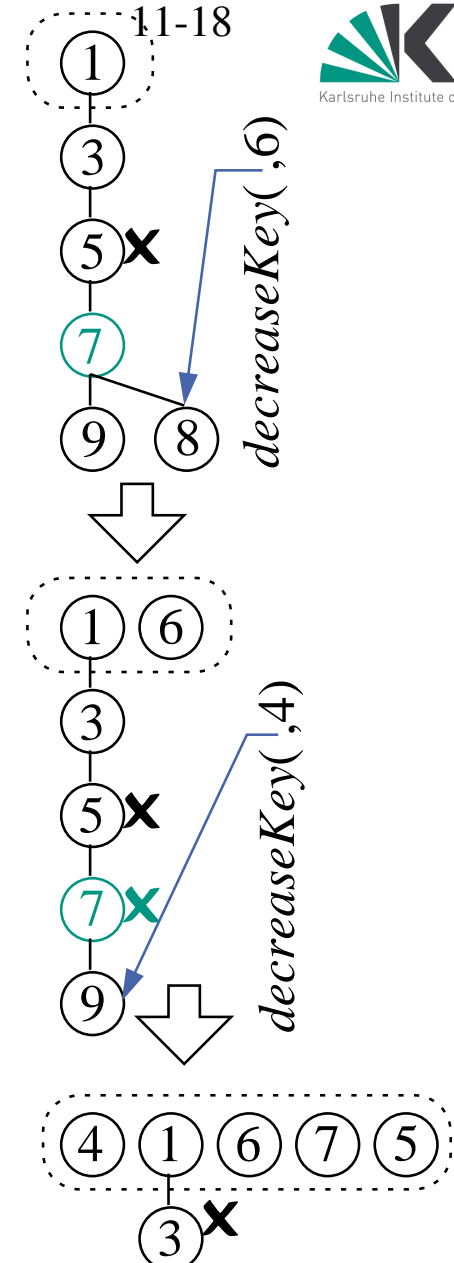
unmark  $h$

cut( $h$ )

**if**  $p$  is marked **then**

cascadingCut( $p$ )

**else** mark  $p$



Wir werden zeigen: kaskadierende Schnitte halten maxRank logarithmisch

Lemma: decreaseKey hat amortisierte Komplexität  $O(1)$

Kontomethode: ( $\approx 1$  Token pro cut oder union)

1 Token für jede Wurzel

2 Token für jeden markierten Knoten

betrachte decreaseKey mit  $k$  konsekutiven markierten Vorgängern:

2k Token werden frei (unmarked nodes)

2 Token für neue Markierung

$k+1$  Token für Ausstattung der neuen Wurzeln

$k+1$  Token für Schnitte

Bleiben 4 Token + $O(1)$  Kosten für decreaseKey

## Auftritt Herr Fibonacci

$$F_i := \begin{cases} 0 & \text{für } i=0 \\ 1 & \text{für } i=1 \\ F_{i-2} + F_{i-1} & \text{sonst} \end{cases}$$

Bekannt:  $F_{i+2} \geq ((1 + \sqrt{5})/2)^i \geq 1.618^i$  for all  $i \geq 0$ .

Wir zeigen:

Ein Teilbaum mit Wurzel  $v$  mit  $\text{rank}(v) = i$  enthält  $\geq F_{i+2}$  Elemente.

⇒

logarithmische Zeit für deleteMin.

## Beweis:

Betrachte Zeitpunkt als das  $j$ -te Kind  $w_j$  von  $v$  hinzugelinkt wurde:

$w_j$  und  $v$  hatten gleichen Rang  $\geq j - 1$  ( $v$  hatte schon  $j - 1$  Kinder)

$\text{rank}(w_j)$  hat **höchsten um eins abgenommen** (cascading cuts)

$\Rightarrow \text{rank}(w_j) \geq j - 2$  und  $\text{rank}(v) \geq j - 1$

$S_i$ := untere Schranke für # Knoten mit Wurzel vom Rang  $i$ :

$$S_0 = 1$$

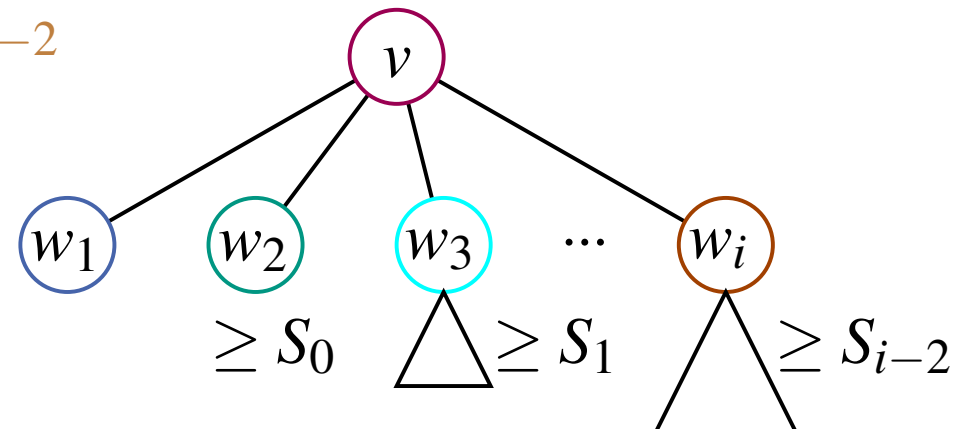
$$S_1 = 2$$

$$S_i \geq 1 + 1 + S_0 + S_1 + \cdots + S_{i-2}$$

für  $i \geq 2$

Diese Rekurrenz

hat die Lösung  $S_i \geq F_{i+2}$



## Addressable Priority Queues: Mehr

- Untere Schranke  $\Omega(\log n)$  für deleteMin, vergleichsbasiert.  
Beweis: Übung
- Worst case Schranken: nicht hier
- Monotone PQs mit **ganzzahligen** Schlüsseln (stay tuned)

### Offene Probleme:

Analyse Pairing Heap, Vereinfachung Fibonacci Heap.

## Zusammenfassung Datenstrukturen

- In dieser Vorlesung Fokus auf Beispiel Prioritätslisten  
(siehe auch kürzeste Wege, externe Algorithmen)
- Heapkonzept trägt weit
- Geschwisterzeiger erlauben Repräsentation beliebiger Bäume mit konstanter Zahl Zeiger pro Item.
- Fibonacci heaps als nichttriviales Beispiel für amortisierte Analyse

# Fortgeschrittene Graphenalgorithmen

## 12 Kürzeste Wege

Folien teilweise von Rob van Stee

**Eingabe:** Graph  $G = (V, E)$

Kostenfunktion/Kantengewicht  $c : E \rightarrow \mathbb{R}$

Anfangsknoten  $s$ .

**Ausgabe:** für alle  $v \in V$

Länge  $\mu(v)$  des kürzesten Pfades von  $s$  nach  $v$ ,

$\mu(v) := \min \{c(p) : p \text{ ist Pfad von } s \text{ nach } v\}$

mit  $c(\langle e_1, \dots, e_k \rangle) := \sum_{i=1}^k c(e_i)$ .

Oft wollen wir auch „geeignete“ Repräsentation der kürzesten Pfade.



# Allgemeine Definitionen

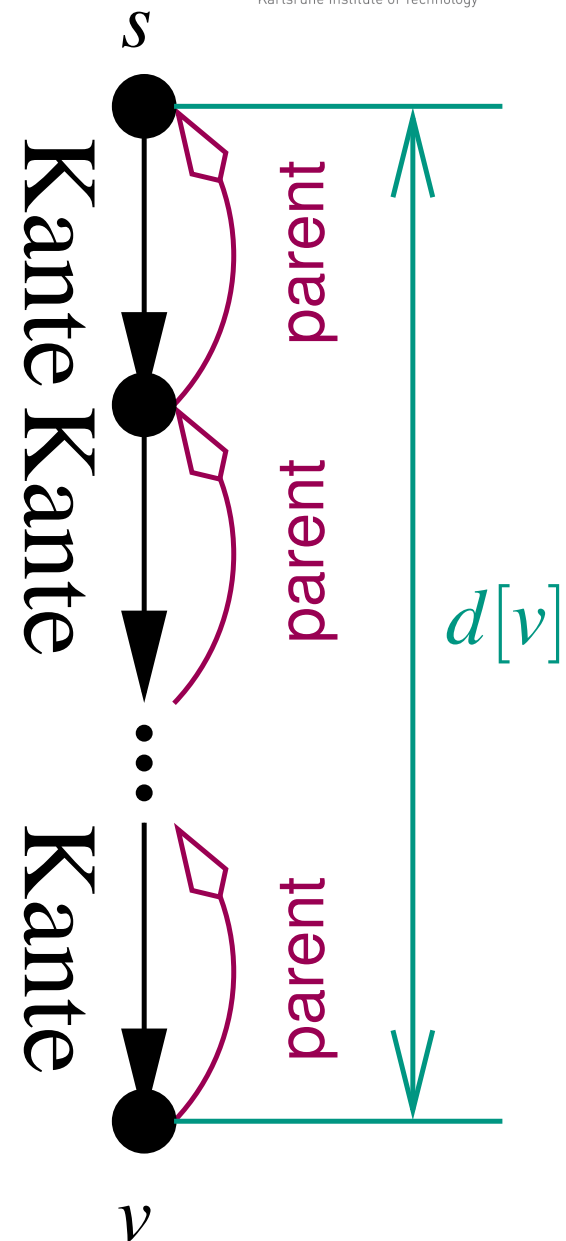
Wie bei BFS benutzen wir zwei Knotenarrays:

- $d[v]$  = aktuelle (vorläufige) Distanz von  $s$  nach  $v$   
**Invariante:**  $d[v] \geq \mu(v)$
- $\text{parent}[v]$  = Vorgänger von  $v$   
 auf dem (vorläufigen) kürzesten Pfad von  $s$  nach  $v$   
**Invariante:** dieser Pfad bezeugt  $d[v]$

**Initialisierung:**

$$d[s] = 0, \text{parent}[s] = s$$

$$d[v] = \infty, \text{parent}[v] = \perp$$



## Kante $(u, v)$ relaxieren

falls  $d[u] + c(u, v) < d[v]$

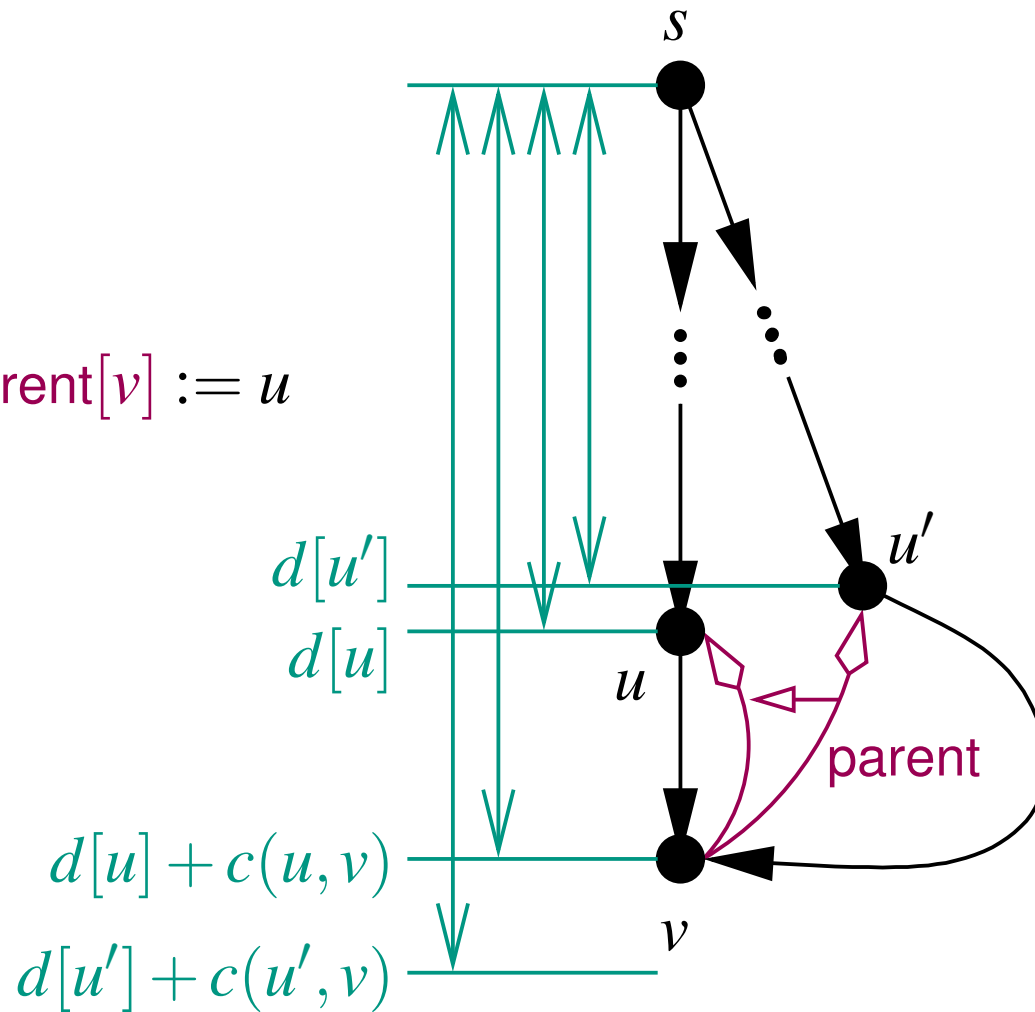
vielleicht  $d[v] = \infty$

setze  $d[v] := d[u] + c(u, v)$  und  $\text{parent}[v] := u$

Invarianten bleiben erhalten!

**Beobachtung:**

$d[v]$  Kann sich mehrmals ändern!



# Dijkstra's Algorithmus: Pseudocode

initialize  $d$ , parent

all nodes are non-scanned

**while**  $\exists$  non-scanned node  $u$  with  $d[u] < \infty$

$u :=$  non-scanned node  $v$  with minimal  $d[v]$

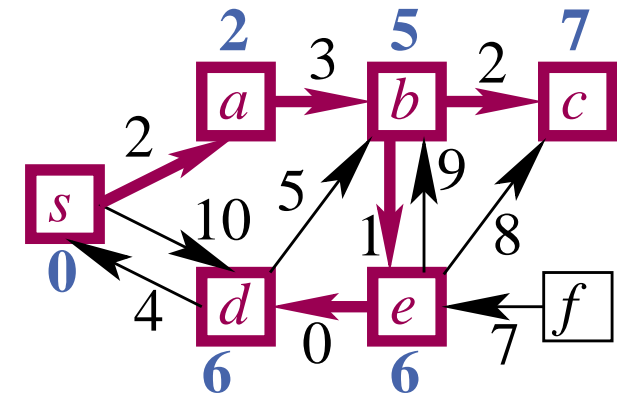
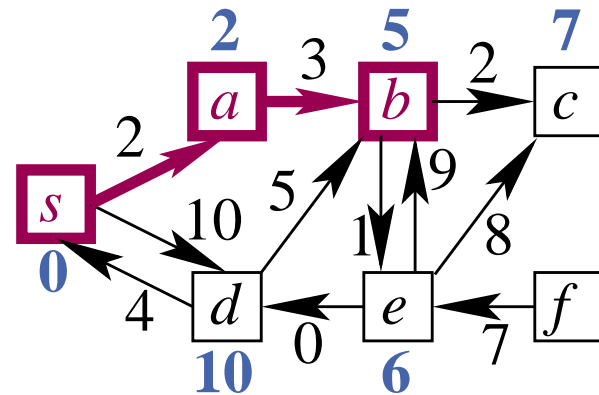
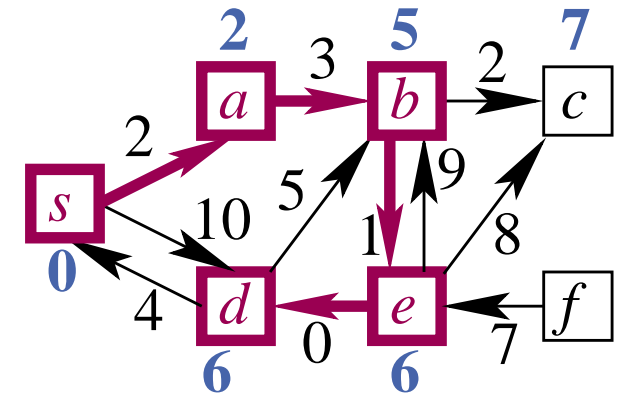
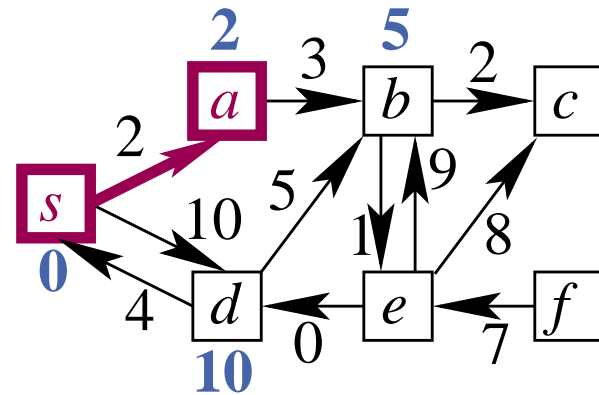
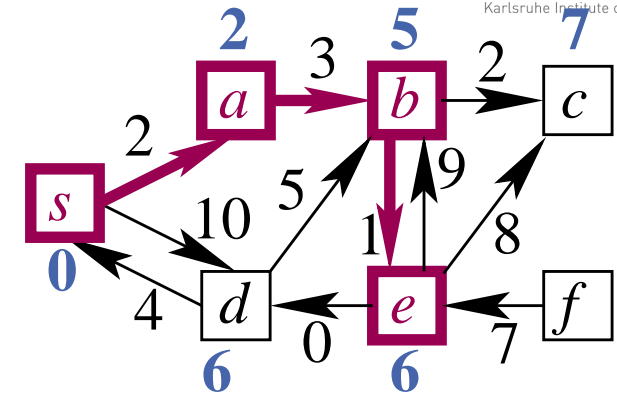
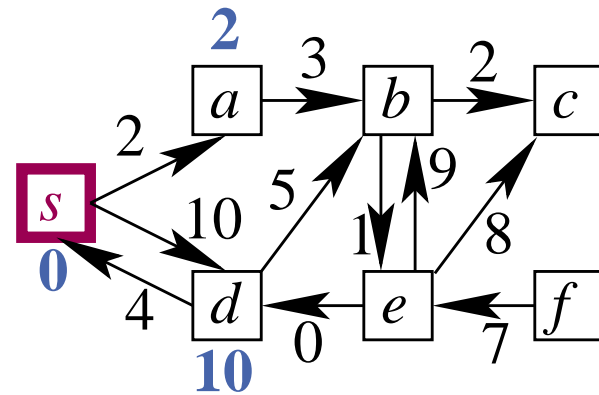
    relax all edges  $(u, v)$  out of  $u$

$u$  is scanned now

**Behauptung:** Am Ende definiert  $d$  die optimalen Entfernungen und parent die zugehörigen Wege (siehe Algo I:)

- $v$  erreichbar  $\implies v$  wird irgendwann gescannt
- $v$  gescannt  $\implies \mu(v) = d[v]$

## Beispiel



# Laufzeit

$$T_{\text{Dijkstra}} = O(m \cdot T_{\text{decreaseKey}}(n) + n \cdot (T_{\text{deleteMin}}(n) + T_{\text{insert}}(n)))$$

Mit Fibonacci-Heapprioritätslisten:

- insert  $O(1)$
- decreaseKey  $O(1)$
- deleteMin  $O(\log n)$  (amortisiert)

$$\begin{aligned} T_{\text{DijkstraFib}} &= O(m \cdot 1 + n \cdot (\log n + 1)) \\ &= O(m + n \log n) \end{aligned}$$

Aber: konstante Faktoren in  $O(\cdot)$  sind hier größer als bei binären Heaps!

# Laufzeit im Durchschnitt

Bis jetzt:  $\leq m$  decreaseKeys ( $\leq 1 \times$  pro Kante)

Wieviel decreaseKeys **im Durchschnitt**?

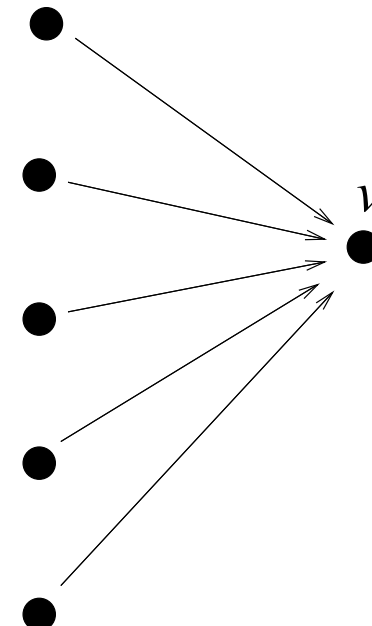
## Modell:

- Beliebiger Graph  $G$
- Beliebiger Anfangsknoten  $s$
- Beliebige Mengen  $C(v)$ 
  - von Kantengewichten für
  - eingehende Kanten von Knoten  $v$

**Gemittelt** wird über alle Zuteilungen

$C(v) \rightarrow$  eingehende Kanten von  $v$

**Beispiel:** alle Kosten unabhängig identisch verteilt

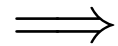


$$\text{indegree}(v)=5$$

$$C(v)=\{c_1, \dots, c_5\}$$

## Laufzeit im Durchschnitt

Probabilistische Sichtweise: Zufällige gleichverteilte Auswahl einer der zu mittelnden Eingaben.



wir suchen den **Erwartungswert** der Laufzeit

**Frage:** Unterschied zu erwarteter Laufzeit bei randomisierten Algorithmen ?

# Laufzeit im Durchschnitt

**Satz 1.**  $\mathbb{E}[\#\text{decreaseKey-Operationen}] = O\left(n \log \frac{m}{n}\right)$

Dann

$$\begin{aligned}\mathbb{E}(T_{\text{DijkstraBHeap}}) &= O\left(m + n \log \frac{m}{n} \cdot T_{\text{decreaseKey}}(n)\right. \\ &\quad \left.+ n \cdot (T_{\text{deleteMin}}(n) + T_{\text{insert}}(n))\right) \\ &= O\left(m + n \log \frac{m}{n} \log n + n \log n\right) \\ &= O\left(m + n \log \frac{m}{n} \log n\right)\end{aligned}$$

(wir hatten vorher  $T_{\text{DijkstraBHeap}} = O((m+n) \log n)$ )

( $T_{\text{DijkstraFib}} = O(m + n \log n)$  schlechtester Fall)

# Lineare Laufzeit für dichte Graphen

$m = \Omega(n \log n \log \log n) \Rightarrow$  lineare Laufzeit.

(nachrechnen)

Also hier u. U. besser als Fibonacci heaps

**Satz 1.**  $\mathbb{E}[\#\text{decreaseKey-Operationen}] = O\left(n \log \frac{m}{n}\right)$

**Satz 1.**  $\mathbb{E}[\#\text{decreaseKey-Operationen}] = O(n \log \frac{m}{n})$

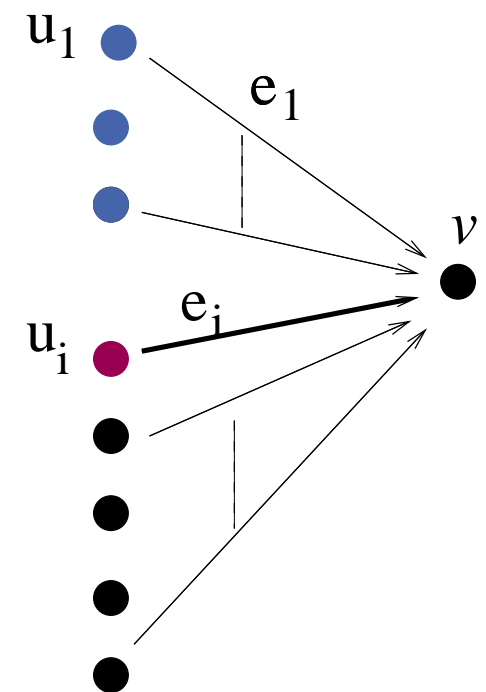
decreaseKey bei Bearbeitung von  $e_i$  nur wenn

$$\mu(u_i) + c(e_i) < \min_{j < i} (\mu(u_j) + c(e_j)).$$

Aber  $\mu(u_i) \geq \mu(u_j)$  für  $j < i$ , also muss gelten:

$$c(e_i) < \min_{j < i} c(e_j).$$

Präfixminimum



**Satz 1.**  $\mathbb{E}[\#\text{decreaseKey-Operationen}] = O(n \log \frac{m}{n})$

Kosten in  $C(v)$  erscheinen in zufälliger Reihenfolge

Wie oft findet man ein neues Minimum bei zufälliger Reihenfolge?

Harmonische Zahl  $H_k$  (Sect. 2.8, s.u.)

Erstes Minimum: führt zu  $\text{insert}(v)$ .

Also  $\leq H_k - 1 \leq (\ln k + 1) - 1 = \ln k$  erwartete decreaseKeys

**Satz 1.**  $\mathbb{E}[\#\text{decreaseKey-Operationen}] = O(n \log \frac{m}{n})$

Für Knoten  $v \leq H_k - 1 \leq \ln k$  decreaseKeys (erwartet) mit  
 $k = \text{indegree}(v)$ .

Insgesamt

$$\sum_{v \in V} \ln \text{indegree}(v) \leq n \ln \frac{m}{n}$$

(wegen Konkavität von  $\ln x$ )

# Präfixminima einer Zufallsfolge

Definiere Zufallsvariable  $M_n$  als Anzahl Präfixminima einer Folge von  $n$  verschiedenen Zahlen (in Abhängigkeit von einer Zufallspermutation)

Definiere Indikatorzufallsvariable  $I_i := 1$  gdw. die  $i$ -te Zahl ein Präfixminimum ist.

$$\begin{aligned} \mathbb{E}[M_n] &= \mathbb{E}\left[\sum_{i=1}^n I_i\right] \stackrel{\text{Lin. E}[\cdot]}{=} \sum_{i=1}^n \mathbb{E}[I_i] \\ &= \sum_{i=1}^n \frac{1}{i} = H_n \text{ wegen } \mathbb{P}[I_i = 1] = \frac{1}{i} \end{aligned}$$

$$\underbrace{x_1, \dots, x_{i-1}}_{< x_i?}, \textcolor{violet}{x_i}, x_{i+1}, \dots, x_n$$

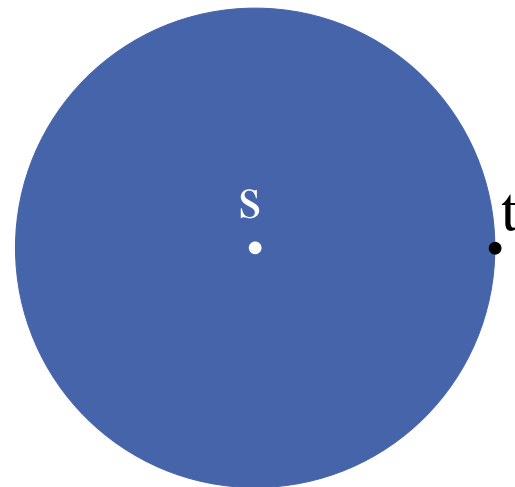
# Monotone ganzzahlige Prioritätslisten

Grundidee: Datenstruktur auf Anwendung **zuschneiden**

Dijkstra's Algorithmus benutzt die **Prioritätsliste monoton**:

Operationen insert und decreaseKey benutzen Distanzen der Form  
 $d[u] + c(e)$

Dieser Wert **nimmt ständig zu**



# Monotone ganzzahlige Prioritätslisten

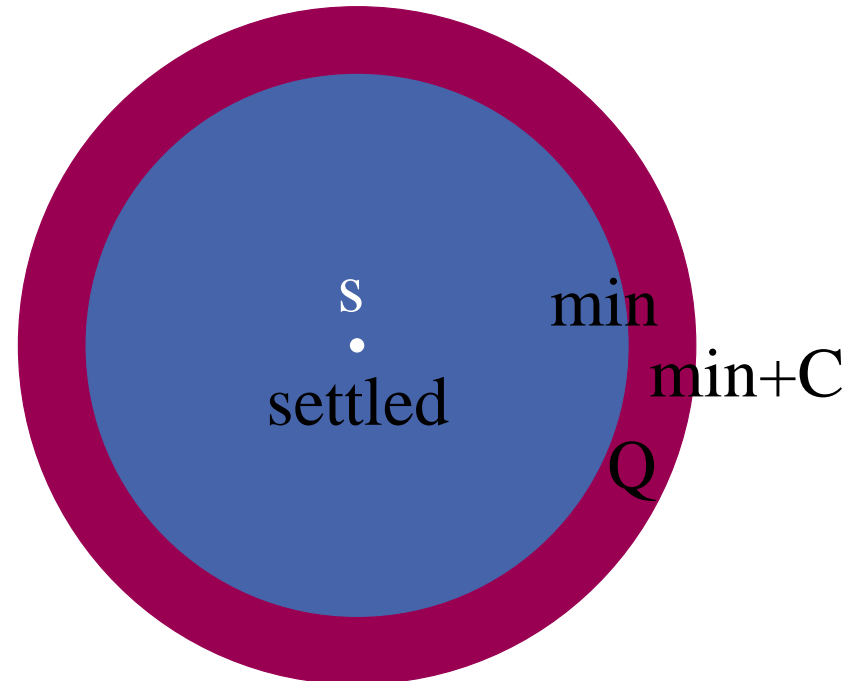
**Annahme:** Alle Kantengewichte sind ganzzahlig und im Intervall  $[0, C]$

$$\implies \forall v \in V : d[v] \leq (n - 1)C$$

Es gilt sogar:

Sei  $\min$  der letzte Wert,  
der aus  $Q$  entfernt wurde.

In  $Q$  sind **immer**  
nur Knoten mit Distanzen im  
Interval  $[\min, \min + C]$ .

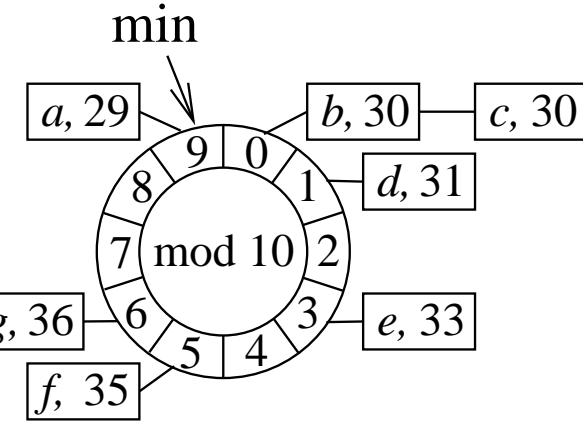


# Bucket-Queue

Zyklisches Array  $B$  von  $C + 1$  doppelt verketteten Listen

Knoten mit Distanz  $d[v]$  wird in  $B[d[v] \bmod (C+1)]$  gespeichert.

Bucket queue with  $C = 9$



Content=

$\langle (a, 29), (b, 30), (c, 30), (d, 31)$   
 $(e, 33), (f, 35), (g, 36) \rangle$

# Operationen

Initialisierung:  $C + 1$  leere Listen,  $\min = 0$

**insert( $v$ )**: fügt  $v$  in  $B[d[v] \mod (C + 1)]$  ein

**decreaseKey( $v$ )**: entfernt  $v$  aus seiner Liste und  
fügt es ein in  $B[d[v] \mod (C + 1)]$

$O(1)$

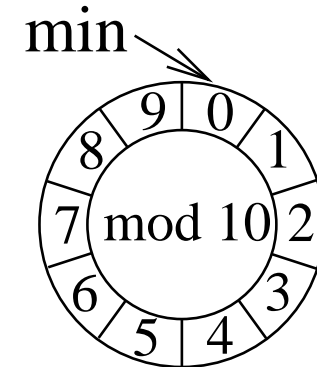
$O(1)$

**deleteMin**: fängt an bei Bucket  $B[\min \mod (C + 1)]$ . Falls der leer  
ist,  $\min := \min + 1$ , wiederhole.

erfordert Monotonizität!

$\min$  nimmt höchstens  $nC$  mal zu, höchstens  $n$  Elemente werden  
insgesamt aus  $Q$  entfernt  $\Rightarrow$

Gesamtkosten deleteMin-Operationen =  $O(n + nC) = O(nC)$ .  
Genauer:  $O(n + \text{maxPathLength})$



# Laufzeit Dijkstra mit Bucket-Queues

$$T_{\text{Dijkstra}} = O(m \cdot T_{\text{decreaseKey}}(n) + \text{Kosten deleteMin-Operationen})$$

$$+ n \cdot T_{\text{insert}}(n)))$$

$$T_{\text{DijkstraBQ}} = O(m \cdot 1 + nC + n \cdot 1))$$

$$= O(m + nC) \text{ oder auch}$$

$$= O(m + \text{maxPathLength})$$

Mit Radix-Heaps finden wir sogar  $T_{\text{DijkstraRadix}} = O(m + n \cdot \log C)$

Idee: nicht alle Buckets gleich groß machen

## Radix-Heaps

Wir verwenden die Buckets -1 bis K, für  $K = 1 + \lfloor \log C \rfloor$

$\min$  = die zuletzt aus  $Q$  entfernte Distanz

Für jeden Knoten  $v \in Q$  gilt  $d[v] \in [\min, \dots, \min + C]$ .

Betrachte **binäre Repräsentation** der möglichen Distanzen in  $Q$ .

Nehme zum Beispiel  $C = 9$ , binär 1001. Dann  $K = 4$ .

Beispiel 1:  $\min = 10000$ , dann  $\forall v \in Q : d[v] \in [10000, 11001]$

Beispiel 2:  $\min = 11101$ , dann  $\forall v \in Q : d[v] \in [11101, 100110]$

Speichere  $v$  in Bucket  $B[i]$  falls  $d[v]$  und  $\min$  sich **zuerst an der *i*ten Stelle unterscheiden**, (in  $B[K]$  falls  $i > K$ , in  $B[-1]$  falls sie sich nicht unterscheiden)

## Definition $msd(a, b)$

Die **Position** der **höchstwertigen** Binärziffer wo  $a$  und  $b$  sich unterscheiden

|             |                   |                  |         |
|-------------|-------------------|------------------|---------|
| $a$         | 1100 <b>1</b> 010 | 10101 <b>0</b> 0 | 1110110 |
| $b$         | 1100 <b>0</b> 101 | 10101 <b>1</b> 0 | 1110110 |
| $msd(a, b)$ | 3                 | 1                | -1      |

$msd(a, b)$  können wir mit Maschinenbefehlen sehr schnell berechnen

# Radix-Heap-Invariante

$v$  ist gespeichert in Bucket  $B[i]$  wo  $i = \min(msd(min, d[v]), K)$ .

Beispiel 1:  $\min = 10000, C = 9, K = 4$

| Bucket | $d[v]$ binär | $d[v]$ |
|--------|--------------|--------|
| -1     | 10000        | 16     |
| 0      | 10001        | 17     |
| 1      | 1001*        | 18,19  |
| 2      | 101**        | 20–23  |
| 3      | 11***        | 24–25  |
| 4      | -            | -      |

(In Bucket 4 wird nichts gespeichert)

# Radix-Heap-Invariante

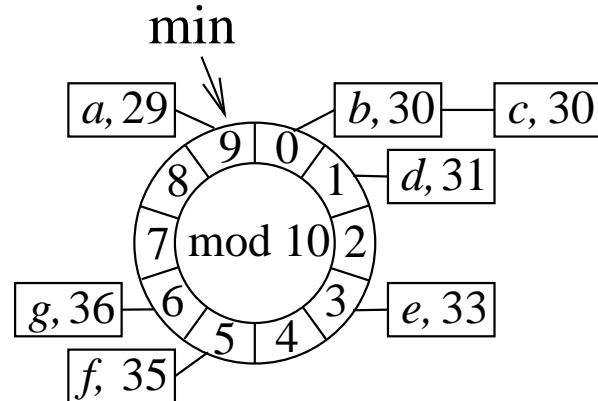
$v$  ist gespeichert in Bucket  $B[i]$  wo  $i = \min(msd(min, d[v]), K)$ .

Beispiel 2:  $\min = 11101$ ,  $C = 9$ , dann  $K = 4$

| Bucket | $d[v]$ binär     | $d[v]$       |
|--------|------------------|--------------|
| -1     | 11101            | 29           |
| 0      | -                | -            |
| 1      | 1111*            | 30,31        |
| 2      | -                | -            |
| 3      | -                | -            |
| 4      | 100000 und höher | 32 und höher |

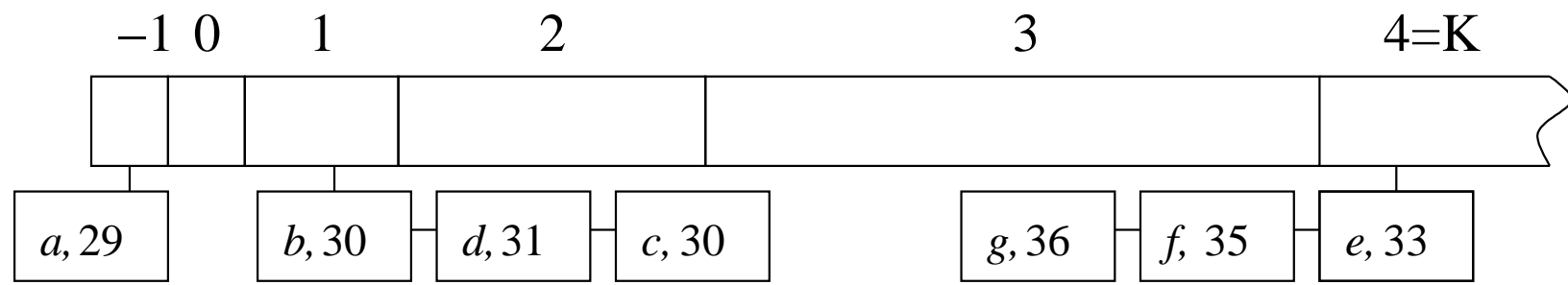
Falls  $d[v] \geq 32$ , dann  $msd(\min, d[v]) > 4$ !

# Bucket-Queues und Radix-Heaps



Bucket queue with  $C = 9$

Content=  
 $\langle(a,29), (b,30), (c,30), (d,31), (e,33), (f,35), (g,36)\rangle$



Binary Radix Heap

# Radix Heap: deleteMin

**Function** deleteMin: Element

**if**  $B[-1] = \emptyset$

$i := \min \{j \in 0..K : B[j] \neq \emptyset\}$

move min  $B[i]$  to  $B[-1]$  and to min

**foreach**  $e \in B[i]$  **do** // exactly here invariant is violated !

move  $e$  to  $B[\min(msd(min, d[v]), K)]$

result:=  $B[-1].popFront$

**return** result

$B[0], \dots, B[i-1]$ : leer, also nichts zu tun.

$B[i+1], \dots, B[K]$ : msd bleibt erhalten, weil altes und neues *min*

**gleich** für alle Bits  $j > i$

# Buckets $j > i$ bei Änderung von min

Beispiel:  $\min = 10000, C = 9, K = 4$ .

Neues  $\min = 10010$ , war in Bucket 1

| Bucket | $\min = 10000$ |        | $\min = 10010$ |        |
|--------|----------------|--------|----------------|--------|
|        | $d[v]$ binär   | $d[v]$ | $d[v]$ binär   | $d[v]$ |
| -1     | 10000          | 16     | 10010          | 18     |
| 0      | -              | -      | 10011          | 19     |
| 1      | 1001*          | 18,19  | -              | -      |
| 2      | 101**          | 20–23  | 101**          | 20-23  |
| 3      | 11***          | 24–25  | 11***          | 24-27  |
| 4      | -              | -      | -              | -      |

# Bucket $B[i]$ bei Änderung von $\min$

**Lemma:** Elemente  $x$  aus  $B[i]$  gehen zu Buckets mit **kleineren** Indices

Wir zeigen nur den Fall  $i < K$ .

Sei  $\min_o$  der alte Wert von  $\min$ .

| Case $i < K$ |          |   |
|--------------|----------|---|
|              | $i$      | 0 |
| $\min_o$     | $\alpha$ | 0 |
| $\min$       | $\alpha$ | 1 |
| $x$          | $\alpha$ | 1 |

## Kosten der deleteMin-Operationen

Bucket  $B[i]$  finden:  $O(i)$

Elemente aus  $B[i]$  verschieben:  $O(|B[i]|)$

Insgesamt  $O(K + |B[i]|)$  falls  $i \geq 0$ ,  $O(1)$  falls  $i = -1$

Verschiebung erfolgt immer nach **kleineren** Indices

Wir zahlen dafür **schon beim insert** (amortisierte Analyse):

es gibt höchstens  $K$  Verschiebungen eines Elements

# Laufzeit Dijkstra mit Radix-Heaps

Insgesamt finden wir amortisiert

- $T_{\text{insert}}(n) = \mathcal{O}(K)$
- $T_{\text{deleteMin}}(n) = \mathcal{O}(K)$
- $T_{\text{decreaseKey}}(n) = \mathcal{O}(1)$

$$T_{\text{Dijkstra}} = \mathcal{O}(m \cdot T_{\text{decreaseKey}}(n) + n \cdot (T_{\text{deleteMin}}(n) + T_{\text{insert}}(n)))$$

$$T_{\text{DijkstraRadix}} = \mathcal{O}(m + n \cdot (K + K)) = \mathcal{O}(m + n \cdot \log C)$$

# Lineare Laufzeit für zufällige Kantengewichte

**Vorher gesehen:** Dijkstra mit Bucket-Queues hat lineare Laufzeit **für dichte Graphen** ( $m > n \log n \log \log n$ )

**Letzte Folie:**  $T_{\text{DijkstraRadix}} = O(m + n \cdot \log C)$

**Jetzt:** Dijkstra mit Radix-Heaps hat **lineare** Laufzeit ( $O(m + n)$ ) falls Kantenkosten **identisch uniform verteilt** in  $0..C$   
–wir brauchen nur eine kleine Änderung im Algorithmus

# Änderung im Algorithmus für zufällige Kantengewichte

Vorberechnung von  $c_{\min}^{in}(v) := \min \{c((u, v) : (u, v) \in E\}$  leichtestes eingehendes Kantengewicht.

Beobachtung:  $d[v] \leq \min + c_{\min}^{in}(v)$

$\implies d[v] = \mu(v).$

$\implies$  schiebe  $v$  in Menge  $F$  ungescannter Knoten mit korrekter Distanz

Knoten in  $F$  werden bei nächster Gelegenheit gescannt.

( $\approx F$  als Erweiterung von  $B[-1]$ .)

## Analyse

Ein Knoten  $v$  kommt **nie** in einem Bucket  $i$  mit  $i < \log c_{\min}^{\text{in}}(v)$

Also wird  $v$  höchstens  $K + 1 - \log c_{\min}^{\text{in}}(v)$  mal verschoben

**Kosten von Verschiebungen** sind dann insgesamt höchstens

$$\sum_v (K - \log c_{\min}^{\text{in}}(v) + 1) = n + \sum_v (K - \log c_{\min}^{\text{in}}(v)) \leq n + \sum_e (K - \log c(e)).$$

$K - \log c(e)$  = Anzahl Nullen am Anfang der binären Repräsentation von  $c(e)$  als  $K$ -Bit-Zahl.

$$\mathbb{P}(K - \log c(e) = i) = 2^{-i} \quad \Rightarrow \quad \mathbb{E}(K - \log c(e)) = \sum_{i \geq 0} i 2^{-i} \leq 2$$

Laufzeit =  $\mathcal{O}(m + n)$

# All-Pairs Shortest Paths

Bis jetzt gab es immer einen bestimmten Anfangsknoten  $s$

Wie können wir kürzeste Pfade für **alle** Paare  $(u, v)$  in  $G$  bestimmen?

Annahme: negative Kosten erlaubt, aber keine negativen **Kreise**

Lösung 1:  $n$  mal Bellman-Ford ausführen

... Laufzeit  $O(n^2m)$

Lösung 2: **Knotenpotentiale**

... Laufzeit  $O(nm + n^2 \log n)$ , deutlich schneller

## Knotenpotentiale

Jeder Knoten bekommt ein Potential  $\text{pot}(v)$

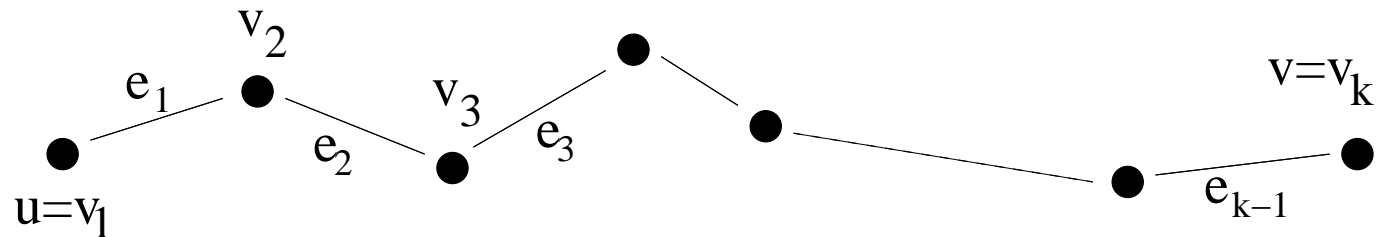
Mit Hilfe der Potentiale definieren wir **reduzierte Kosten**  $\bar{c}(e)$  für Kante  $e = (u, v)$  als

$$\bar{c}(e) = \text{pot}(u) + c(e) - \text{pot}(v).$$

Mit diesen Kosten finden wir die **gleichen** kürzesten Pfade wie vorher!

Gilt für **alle** möglichen Potentiale – wir können sie also frei definieren

# Knotenpotentiale



Sei  $p$  ein Pfad von  $u$  nach  $v$  mit Kosten  $c(p)$ . Dann

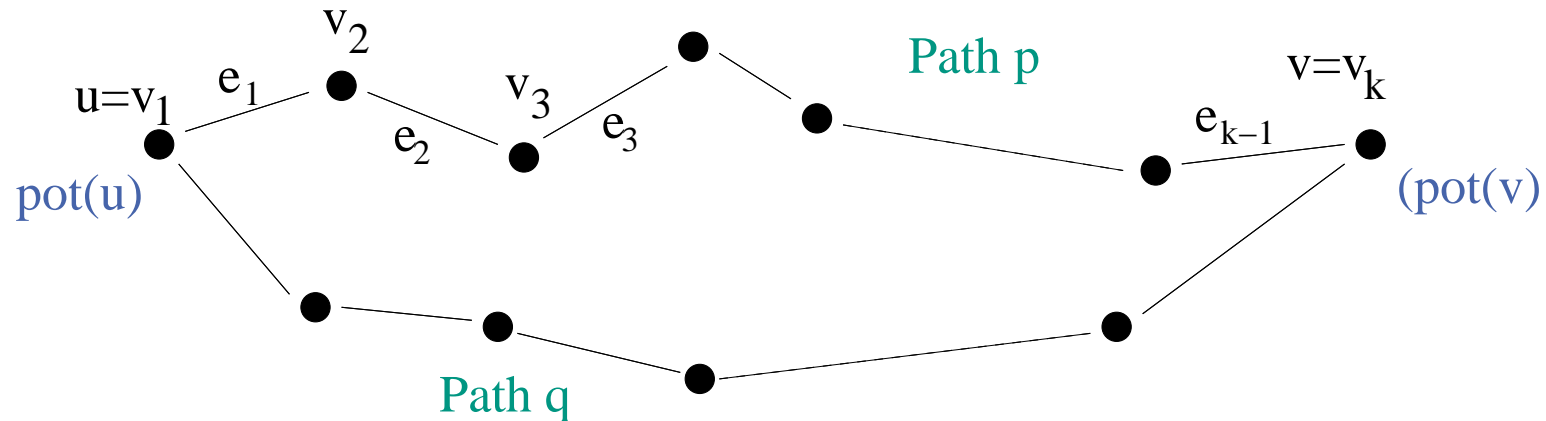
$$\begin{aligned}
 \bar{c}(p) &= \sum_{i=1}^{k-1} \bar{c}(e_i) = \sum_{i=1}^{k-1} (\text{pot}(v_i) + c(e_i) - \text{pot}(v_{i+1})) \\
 &= \text{pot}(v_1) + \sum_{i=1}^{k-1} c(e_i) - \text{pot}(v_k) \\
 &= \text{pot}(v_1) + c(p) - \text{pot}(v_k).
 \end{aligned}$$

# Knotenpotentiale

Sei  $p$  ein Pfad von  $u$  nach  $v$  mit Kosten  $c(p)$ . Dann

$$\bar{c}(p) = \text{pot}(v_1) + c(p) - \text{pot}(v_k).$$

Sei  $q$  ein anderer  $u$ - $v$ -Pfad, dann  $c(p) \leq c(q) \Leftrightarrow \bar{c}(p) \leq \bar{c}(q)$ .



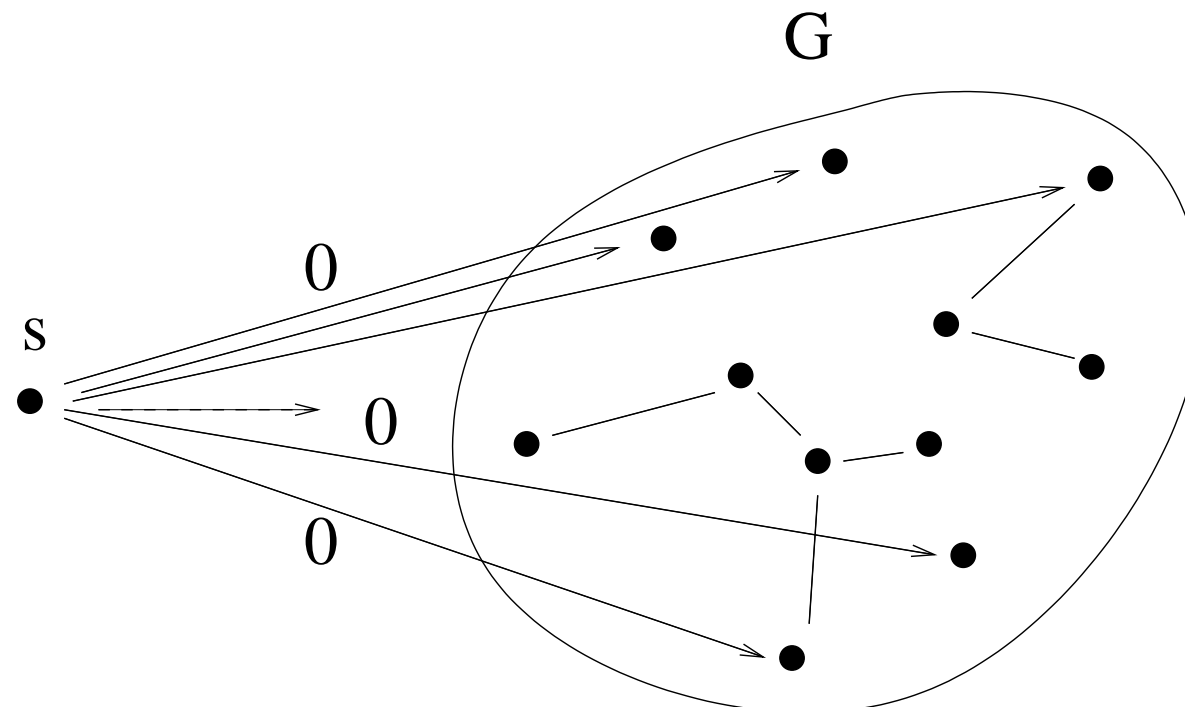
**Definition:**  $\mu(u, v) =$  kürzeste Distanz von  $u$  nach  $v$

# Hilfsknoten

Wir fügen einen **Hilfsknoten  $s$**  an  $G$  hinzu

Für alle  $v \in V$  fügen wir eine Kante  $(s, v)$  hinzu mit Kosten 0

Berechne kürzeste Pfade **von  $s$  aus** mit Bellman-Ford



# Definition der Potentiale

Definiere  $\text{pot}(v) := \mu(v)$  für alle  $v \in V$

Jetzt sind die reduzierten Kosten alle **nicht negativ**: also können wir Dijkstra benutzen! (Evtl.  $s$  wieder entfernen...)

- Keine negativen Kreise, also  $\text{pot}(v)$  wohldefiniert
- Für beliebige Kante  $(u, v)$  gilt

$$\mu(u) + c(e) \geq \mu(v)$$

deshalb

$$\bar{c}(e) = \mu(u) + c(e) - \mu(v) \geq 0$$

# Algorithmus

## All-Pairs Shortest Paths in the Absence of Negative Cycles

neuer Knoten  $s$

**foreach**  $v \in V$  **do** füge Kante  $(s, v)$  ein (Kosten 0) //  $O(n)$

$\text{pot} := \mu := \text{BellmanFordSSSP}(s, c)$  //  $O(nm)$

**foreach** Knoten  $x \in V$  **do** //  $O(n(m + n \log n))$

$\bar{\mu}(x, \cdot) := \text{DijkstraSSSP}(x, \bar{c})$

// zurück zur ursprünglichen Kostenfunktion

**foreach**  $e = (v, w) \in V \times V$  **do** //  $O(n^2)$

$\mu(v, w) := \bar{\mu}(v, w) + \text{pot}(w) - \text{pot}(v)$

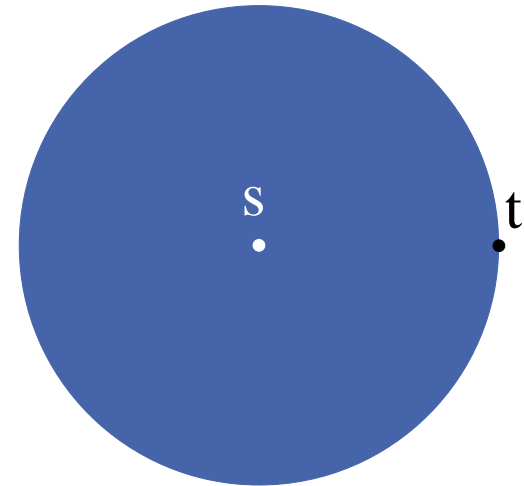
## Laufzeit

- $s$  hinzufügen:  $O(n)$
- Postprocessing:  $O(n^2)$  (zurück zu den ursprünglichen Kosten)
- $n$  mal Dijkstra dominiert

Laufzeit  $O(n(m + n \log n)) = O(nm + n^2 \log n)$

## Distanz zu einem Zielknoten $t$

Was machen wir, wenn wir nur die Distanz von  $s$  zu einem **bestimmten Knoten  $t$**  wissen wollen?



### Trick 0:

Dijkstra hört auf, wenn  $t$  aus  $Q$  entfernt wird

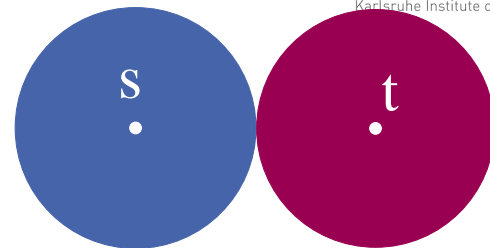
Spart "im Durchschnitt" Hälften der Scans

Frage: Wieviel spart es (meist) beim Europa-Navi?



# Ideen für Routenplanung

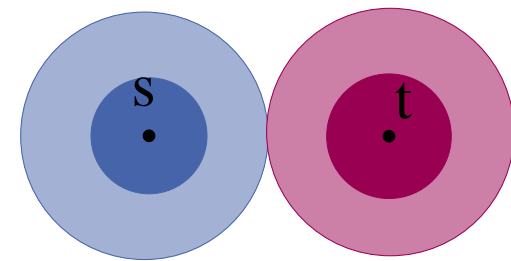
Vorwärts + Rückwärtssuche



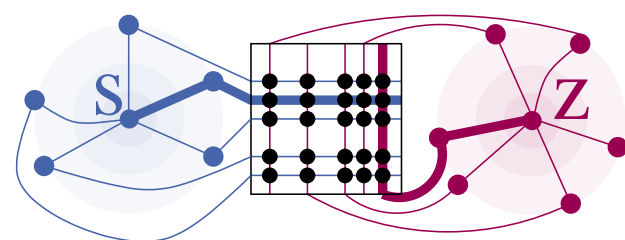
Zielgerichtete Suche



Hierarchien ausnutzen 

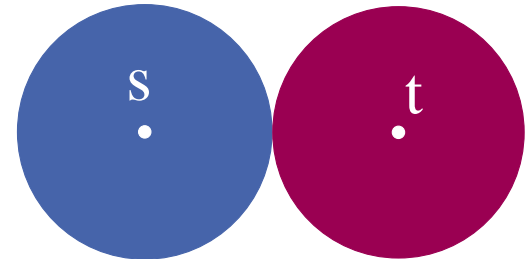


Teilabschnitte tabellieren 



## Bidirektionale Suche

Idee: Suche abwechselnd  $s$  und  $t$



Vorwärtssuche auf normalem Graph  $G = (V, E)$

Rückwärtssuche auf Rückwärtsgraph  $G^r = (V, E^r)$

(Suchrichtungen wechseln in jedem Schritt)

Vorläufige kürzeste Distanz wird in jedem Schritt gespeichert:

$$d[s, t] = \min(d[s, t], d_{forward}[u] + d_{backward}[u])$$

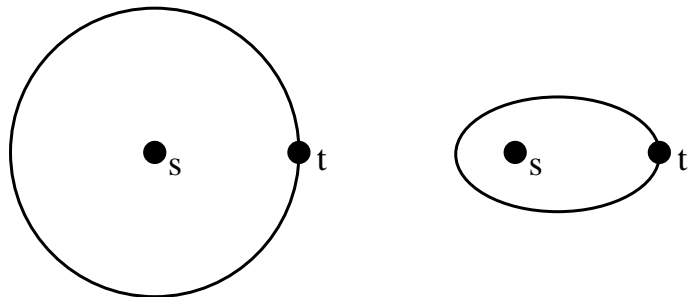
Abbruchkriterium:

Suche scannt Knoten, der in anderer Richtung bereits gescannt wurde.

$$d[s, t] \Rightarrow \mu(s, t)$$

# $A^*$ -Suche

Idee: suche “in die Richtung von  $t$ ”

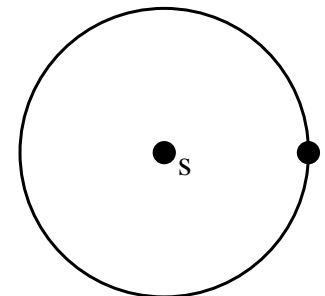


Annahme: Wir kennen eine Funktion  $f(v)$  die  $\mu(v, t)$  schätzt  $\forall v$

Definiere  $\text{pot}(v) = f(v)$  und  $\bar{c}(u, v) = c(u, v) + f(v) - f(u)$

[Oder: in Dijkstra's Algorithmus, entferne nicht  $v$  mit minimalem  $d[v]$  aus  $Q$ , sondern  $v$  mit minimalem  $d[v] + f[v]$ ]

## $A^*$ -Suche



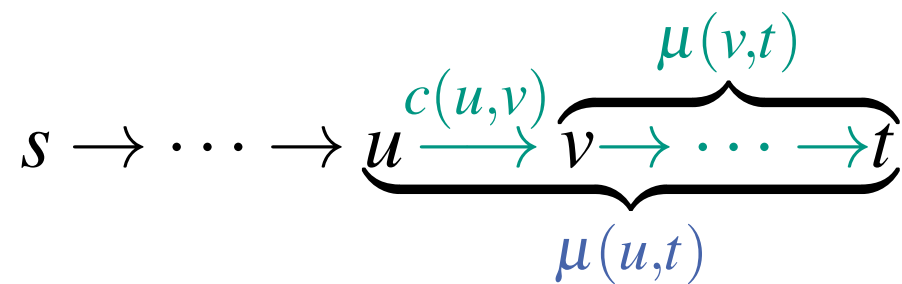
Idee: suche “in die Richtung von  $t$ ”

Annahme: wir kennen eine Funktion  $f(v)$  die  $\mu(v, t)$  schätzt  $\forall v$

Definiere  $\text{pot}(v) = f(v)$  und  $\bar{c}(u, v) = c(u, v) + f(v) - f(u)$

Beispiel:  $f(v) = \mu(v, t)$ .

Dann gilt:  $\bar{c}(u, v) = c(u, v) + \mu(v, t) - \mu(u, t) = 0$  falls  $(u, v)$  auf dem kürzesten Pfad von  $s$  nach  $t$  liegt.



Also scannt Dijkstra nur die Knoten auf diesem Pfad!

## Benötigte Eigenschaften von $f(v)$

- Konsistenz (reduzierte Kosten nicht negativ):

$$c(e) + f(v) \geq f(u) \quad \forall e = (u, v)$$

- $f(v) \leq \mu(v, t) \quad \forall v \in V$ . Dann gilt  $f(t) = 0$  und wir können aufhören wenn  $t$  aus  $Q$  entfernt wird.

Sei  $p$  irgendein Pfad von  $s$  nach  $t$ .

Alle Kanten auf  $p$  sind relaxiert?  $\Rightarrow d[t] \leq c(p)$ .

Sonst:  $\exists v \in p \cap Q$ , und  $d[t] + f(t) \leq d[v] + f(v)$  weil  $t$  schon entfernt wurde. Deshalb

$$d[t] = d[t] + f(t) \leq d[v] + f(v) \leq d[v] + \mu(v, t) \leq c(p)$$

# Wie finden wir $f(v)$ ?

Wir brauchen Heuristiken für  $f(v)$ .

Strecke im Straßennetzwerk:  $f(v) = \text{euklidischer Abstand } ||v - t||_2$

bringt deutliche aber nicht überragende Beschleunigung

Fahrzeit:  $\frac{||v - t||_2}{\text{Höchstgeschwindigkeit}}$  praktisch nutzlos

Noch besser aber mit Vorberechnung: Landmarks

# Landmarks [Goldberg Harrelson 2003]

**Vorberechnung:** Wähle Landmarkmenge  $L$ .  $\forall \ell \in L, v \in V$  berechne/speichere  $\mu(v, \ell)$ .

**Query:** Suche Landmark  $\ell \in L$  "hinter" dem Ziel.

Benutze untere Schranke  $f_\ell(v) = \mu(v, \ell) - \mu(t, \ell)$

- + Konzeptuell einfach
- + Erhebliche Beschleunigungen  
( $\approx$  Faktor 20 im Mittel)
- + Kombinierbar mit anderen Techniken
- Landmarkauswahl kompliziert
- hoher Platzverbrauch



## Zusammenfassung Kürzeste Wege

- Nichtriviale Beispiele für Analyse im Mittel. Ähnlich für MST
- Monotone, ganzzahlige Prioritätslisten als Beispiel wie Datenstrukturen auf Algorithmus angepasst werden
- Knotenpotentiale allgemein nützlich in Graphenalgorithmen
- Aktuelle Forschung trifft klassische Algorithmik

# 13 Anwendungen von DFS

# Tiefensuchschema für $G = (V, E)$

unmark all nodes; init

**foreach**  $s \in V$  **do**

**if**  $s$  is not marked **then**

        mark  $s$  // make  $s$  a root and grow

        root( $s$ ) // a new DFS-tree rooted at it.

        DFS( $s, s$ )

**Procedure** DFS( $u, v : \text{Nodeld}$ ) // Explore  $v$  coming from  $u$ .

**foreach**  $(v, w) \in E$  **do**

**if**  $w$  is marked **then** traverseNonTreeEdge( $v, w$ )

**else**     traverseTreeEdge( $v, w$ )

            mark  $w$

            DFS( $v, w$ )

    backtrack( $u, v$ ) // return from  $v$  along the incoming edge

# DFS Nummerierung

init:  $\text{dfsPos} = 1 : 1..n$

$\text{root}(s)$ :  $\text{dfsNum}[s] := \text{dfsPos}++$

$\text{traverseTreeEdge}(v, w)$ :  $\text{dfsNum}[w] := \text{dfsPos}++$

$$u \prec v \Leftrightarrow \text{dfsNum}[u] < \text{dfsNum}[v] .$$

## Beobachtung:

Knoten auf dem Rekursionsstapel sind bzgl.,  $\prec$  sortiert

## Fertigstellungszeit

init:                   finishingTime=1 : 1..n

backtrack( $u, v$ ):    **finishTime**[ $v$ ]:= finishingTime++

# Starke Zusammenhangskomponenten

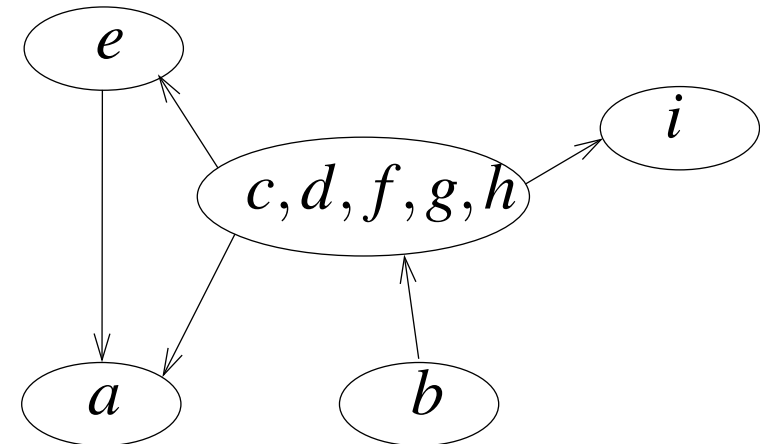
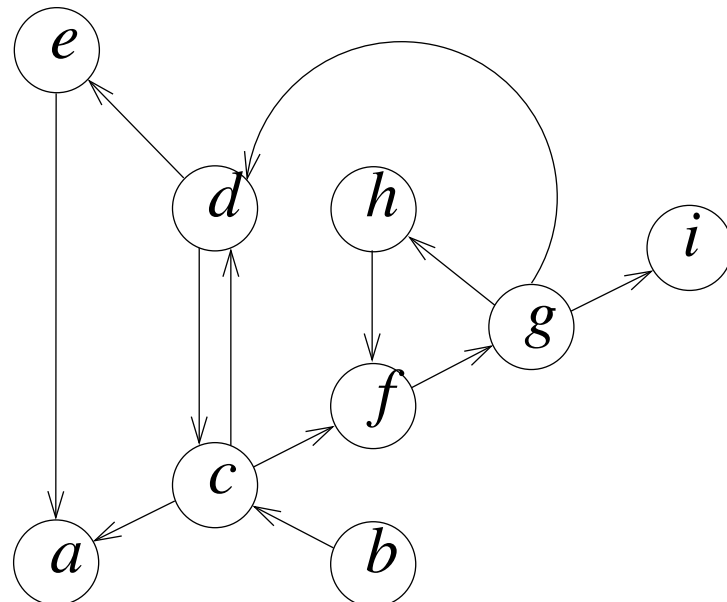
Betrachte die Relation  $\overset{*}{\leftrightarrow}$  mit

$u \overset{*}{\leftrightarrow} v$  falls  $\exists$  Pfad  $\langle u, \dots, v \rangle$  und  $\exists$  Pfad  $\langle v, \dots, u \rangle$ .

**Beobachtung:**  $\overset{*}{\leftrightarrow}$  ist Äquivalenzrelation

Übung

Die Äquivalenzklassen von  $\overset{*}{\leftrightarrow}$  bezeichnet man als **starke Zusammenhangskomponenten**.



# Starke Zusammenhangskomponenten – Abstrakter Algorithmus

$G_c := (V, \emptyset = E_c)$

**foreach** edge  $e \in E$  **do**

**invariant** SCCs of  $G_c$  are known

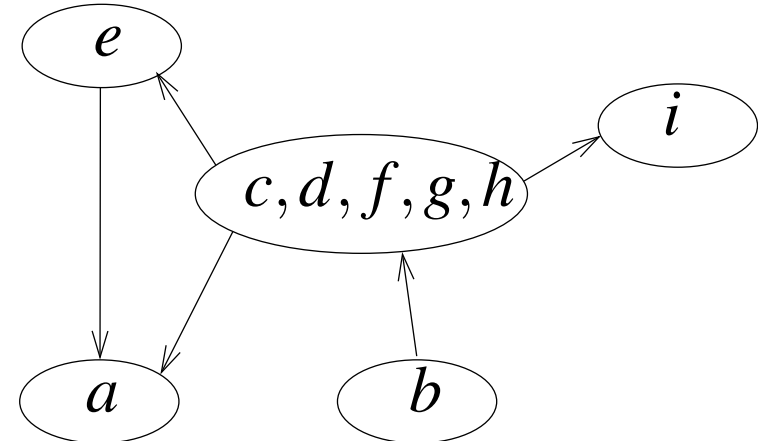
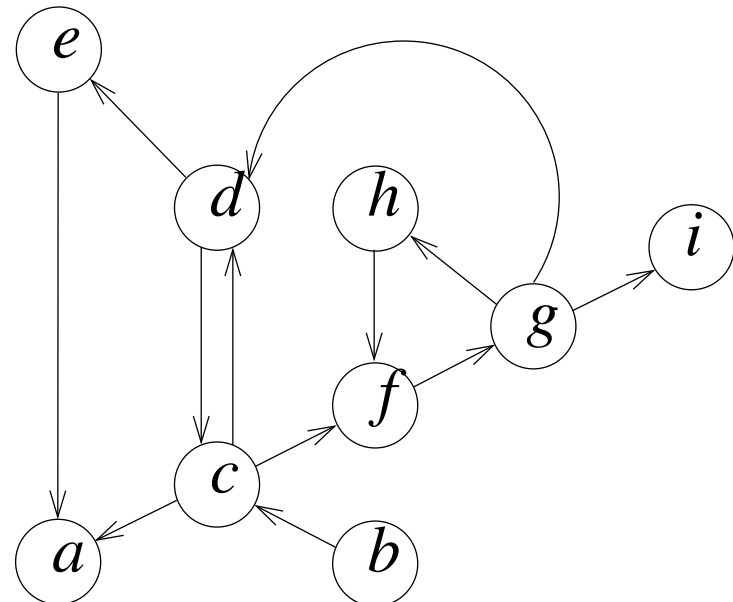
$E_c := E_c \cup \{e\}$

# Schrumpfgraph

$$G_c^s = (V^s, E_c^s)$$

Knoten: SCCs von  $G_c$ .

Kanten:  $(C, D) \in E_c^s \Leftrightarrow \exists (c, d) \in E_c : c \in C \wedge d \in D$



**Beobachtung:** Der Schrumpfgraph ist azyklisch

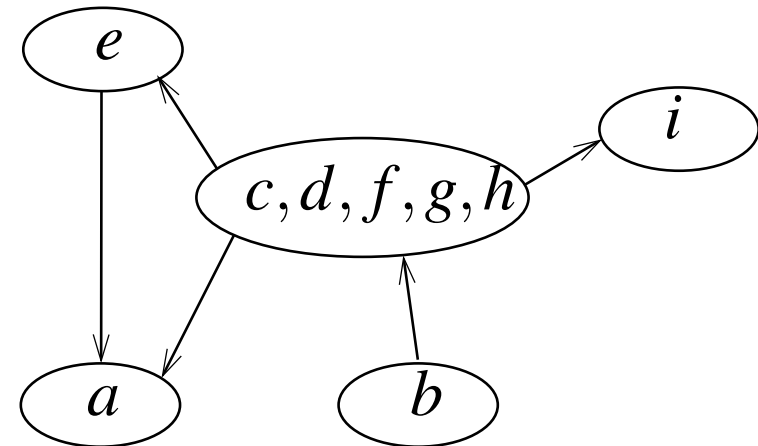
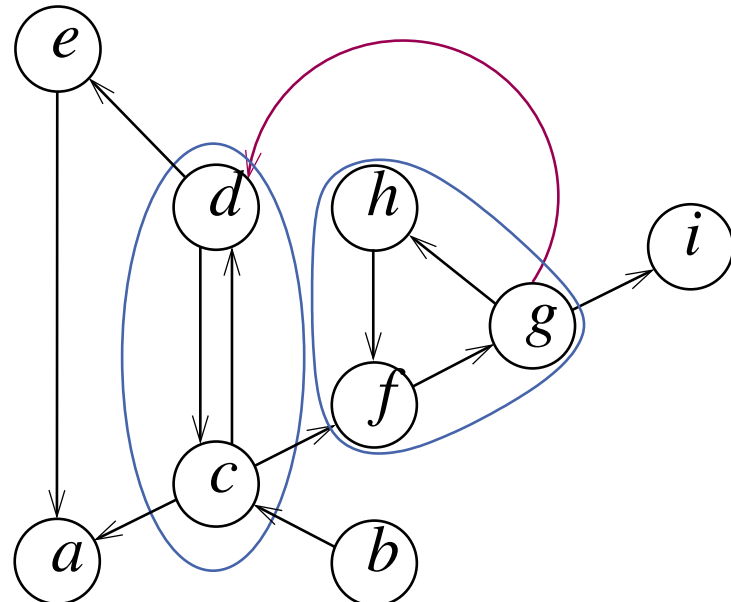
# Auswirkungen einer neuen Kante $e$ auf $G_c, G_c^s$

SCC-intern: Nichts ändert sich

zwischen zwei SCCs:

Kein Kreis: Neue Kante in  $G_c^s$

Kreisschluss: SCCs auf Kreis kollabieren.



## Konkreter: SCCs mittels DFS

[Cherian/Mehlhorn 96, Gabow 2000]

$V_c$  = markierte Knoten

$E_c$  = bisher explorierte Kanten

**Aktive Knoten**: markiert aber nicht finished.

SCCs von  $G_c$ :

nicht erreicht: Unmarkierte Knoten

offen: enthält aktive Knoten

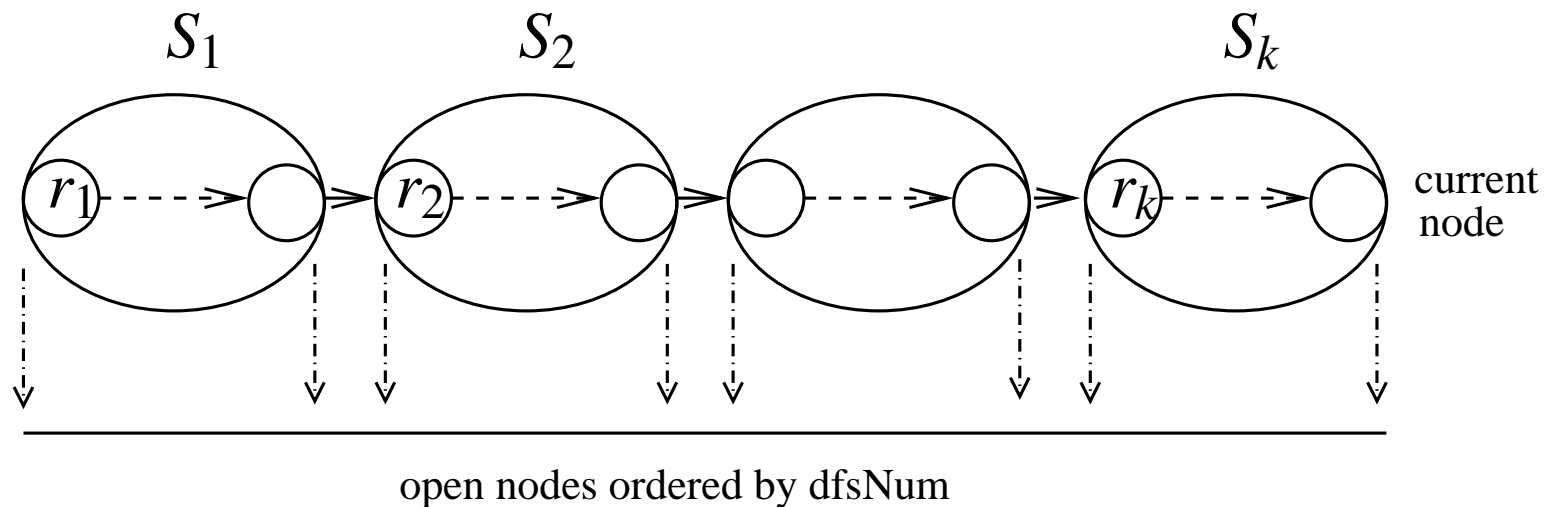
abgeschlossen: alle Knoten finished

**component[w]** gibt Repräsentanten einer SCC an.

Knoten von offenen (abgeschl.) Komponenten heißen offen (abgeschl.)

# Invarianten von $G_c$

1. Kanten von abgeschlossenen Knoten gehen zu abgeschlossenen Knoten
2. Offene Komponenten  $S_1, \dots, S_k$  bilden Pfad in  $G_c^s$ .
3. Repräsentanten partitionieren die offenen Komponenten bzgl. ihrer dfsNum.



**Lemma:** Abgeschlossene SCCs von  $G_c$  sind SCCs von  $G$

Betrachte abgeschlossenen Knoten  $v$

und beliebigen Knoten  $w$

in der SCC von  $v$  bzgl.  $G$ .

z.Z.:  $w$  ist abgeschlossen und

in der gleichen SCC von  $G_c$  wie  $v$ .

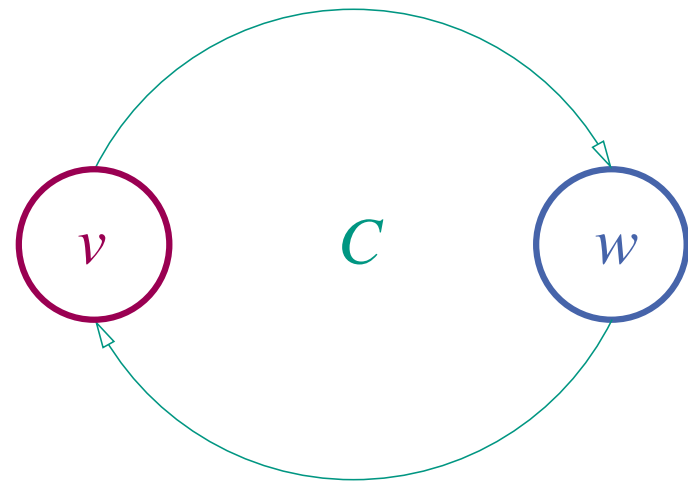
Betrachte Kreis  $C$  durch  $v, w$ .

Inv. 1: **Knoten** von  $C$  sind abgeschlossen.

Abgeschl. Knoten sind finished.

Kanten aus finished Knoten wurden exploriert.

Also sind alle **Kanten** von  $C$  in  $G_c$ . □

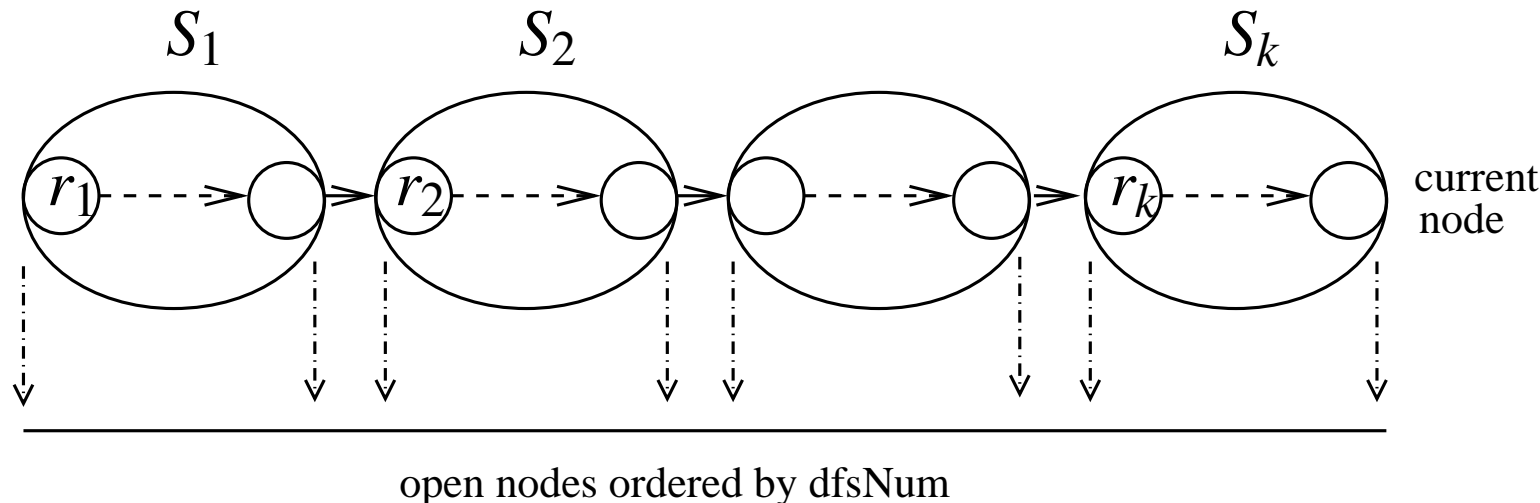


# Repräsentation offener Komponenten

Zwei Stapel aufsteigend sortiert nach dfsNum

oReps: Repräsentanten offener Komponenten

oNodes: Alle offenen Knoten



init

```
component : NodeArray of NodId           // SCC representatives
oReps=⟨⟩ : Stack of NodId      // representatives of open SCCs
oNodes=⟨⟩ : Stack of NodId      // all nodes in open SCCs
```

Alle Invarianten erfüllt.

(Weder offene noch geschlossene Knoten)

$\text{root}(s)$

```
oReps.push(s)                                // new open
oNodes.push(s)                                 // component
```

$\{s\}$  ist die einzige offene Komponente.

Alle Invarianten bleiben gültig

traverseTreeEdge( $v, w$ )

oReps.push( $w$ ) // new open  
oNodes.push( $w$ ) // component

$\{w\}$  ist neue offene Komponente.

$\text{dfsNum}(w) >$  alle anderen.

~~> Alle Invarianten bleiben gültig

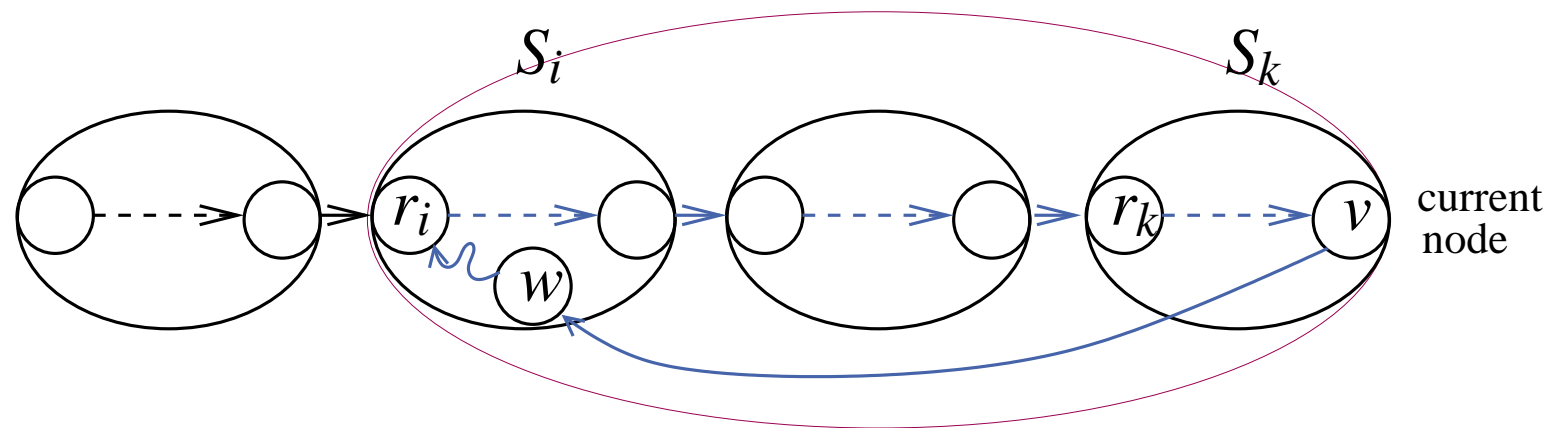
traverseNonTreeEdge( $v, w$ )

**if**  $w \in \text{oNodes}$  **then**

**while**  $w \prec \text{oReps.top}$  **do**  $\text{oReps.pop}$

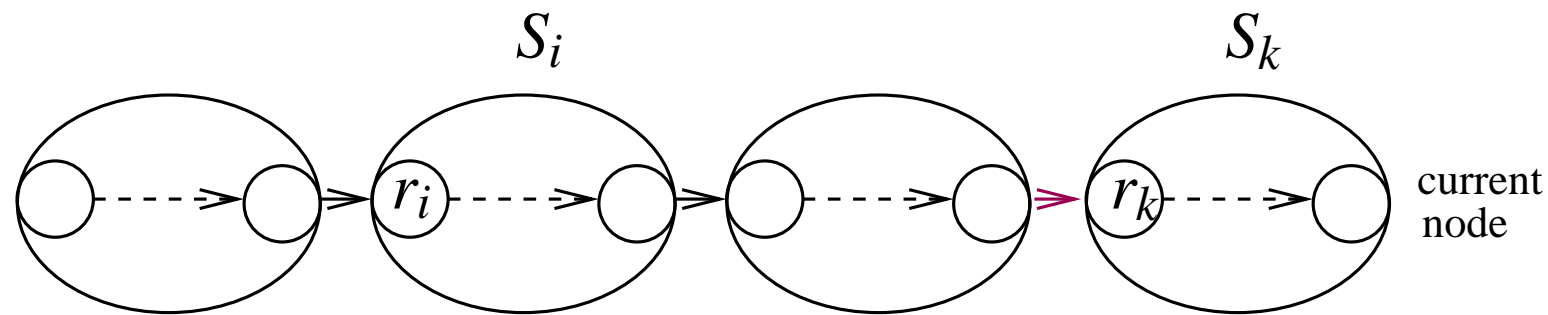
$w \notin \text{oNodes} \rightsquigarrow w$  is abgeschlossen  $\stackrel{\text{Lemma}(*)}{\rightsquigarrow}$  Kante uninteressant

$w \in \text{oNodes}$ : kollabiere offene SCCs auf Kreis



backtrack( $u, v$ )

```
if  $v = \text{oReps.top}$  then
     $\text{oReps.pop}$  // close
    repeat // component
         $w := \text{oNodes.pop}$ 
         $\text{component}[w] := v$ 
    until  $w = v$ 
```



z.Z. Invarianten bleiben erhalten...

backtrack( $u, v$ )

**if**  $v = \text{oReps.top}$  **then**

  oReps.pop

// close

**repeat**

// component

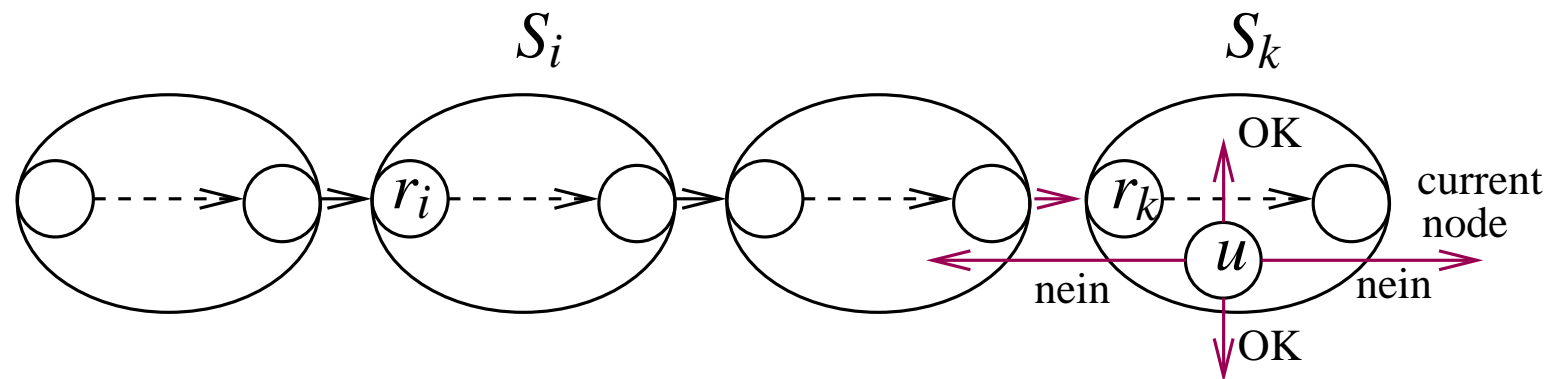
$w := \text{oNodes.pop}$

  component[ $w$ ] :=  $v$

**until**  $w = v$

**Inv. 1:** Kanten von abgeschlossenen Knoten gehen zu

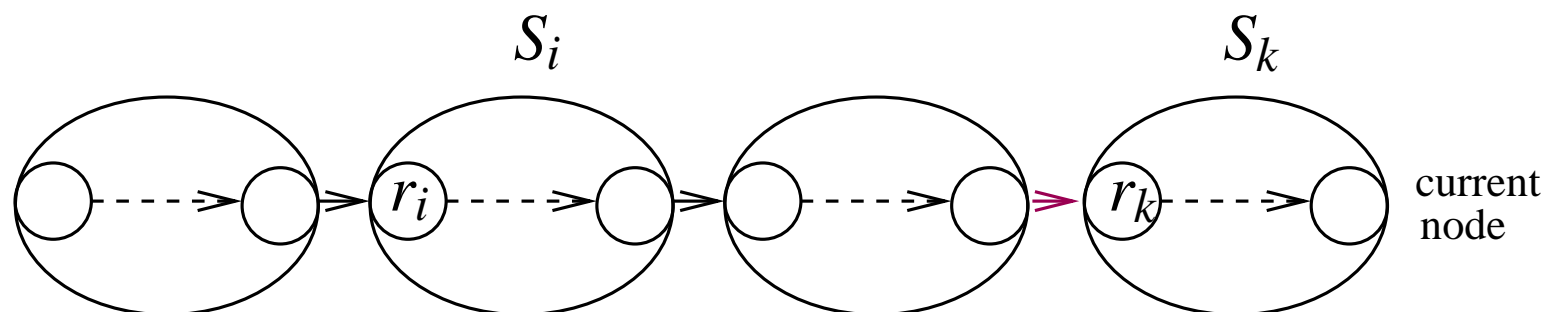
abgeschlossenen Knoten.



```
backtrack( $u, v$ )
  if  $v = \text{oReps.top}$  then
    oReps.pop                                // close
    repeat                                  // component
       $w := \text{oNodes.pop}$ 
      component[ $w$ ] :=  $v$ 
    until  $w = v$ 
```

**Inv. 2:** Offene Komponenten  $S_1, \dots, S_k$  bilden Pfad in  $G_c^s$

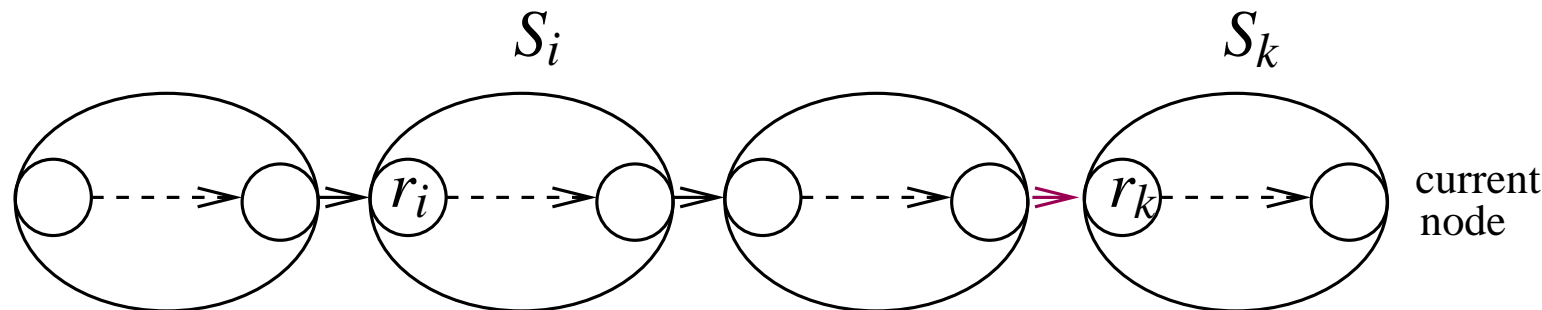
OK. ( $S_k$  wird ggf. entfernt)



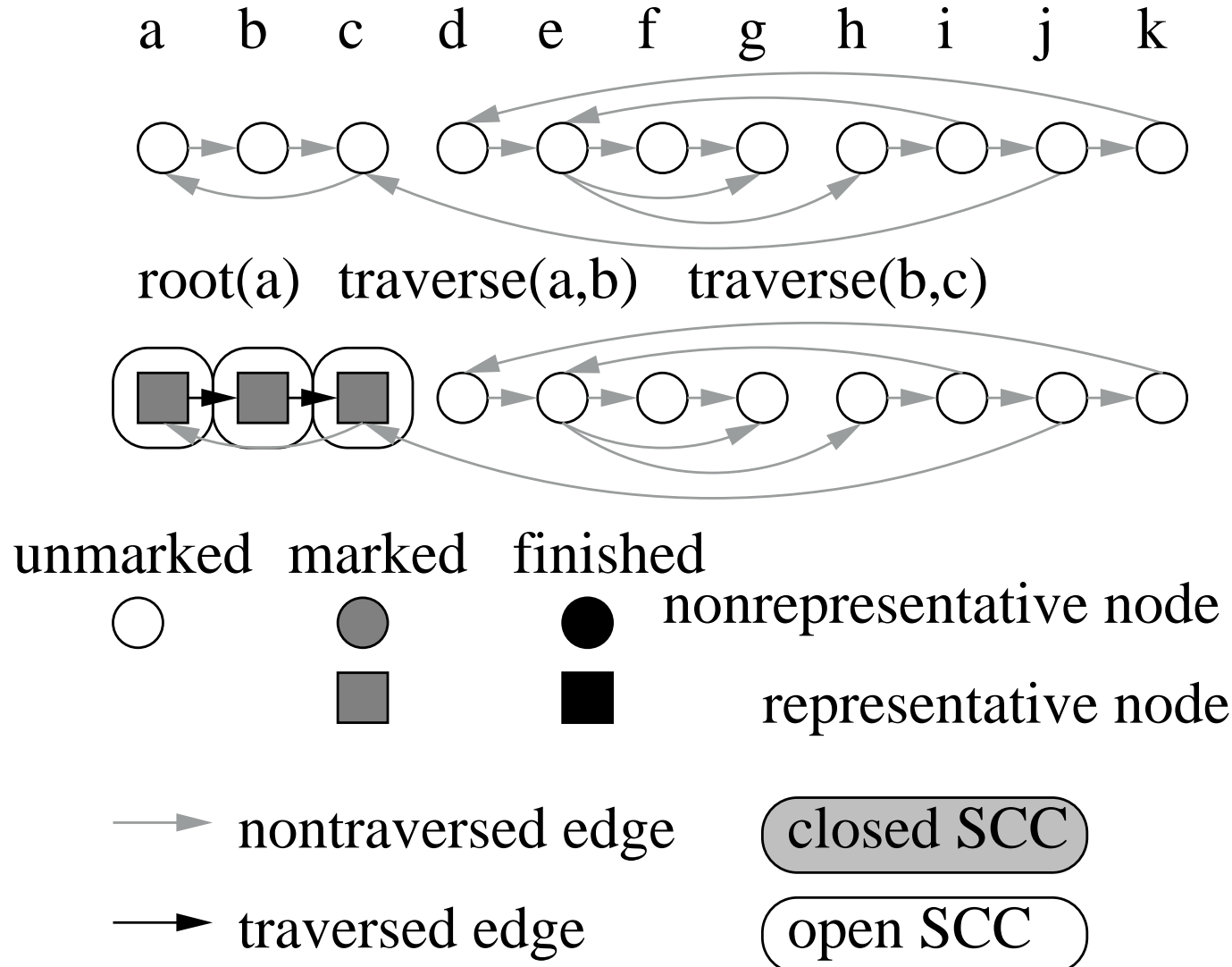
```
backtrack( $u, v$ )
  if  $v = \text{oReps.top}$  then
    oReps.pop
    repeat // close component
       $w := \text{oNodes.pop}$ 
      component[ $w$ ] :=  $v$ 
    until  $w = v$ 
```

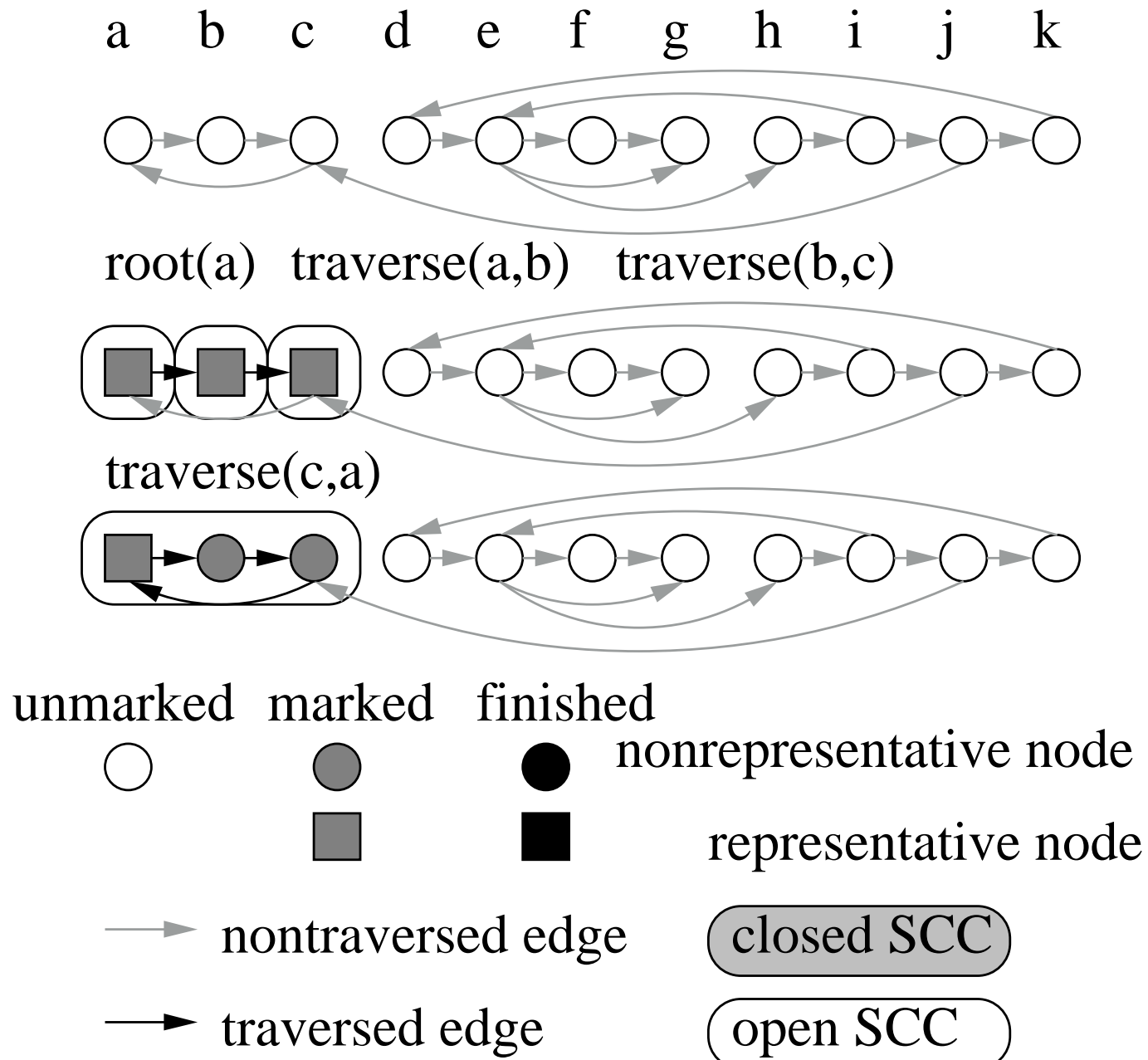
**Inv. 3:** Repräsentanten partitionieren die offenen Komponenten bzgl.  
ihrer dfsNum.

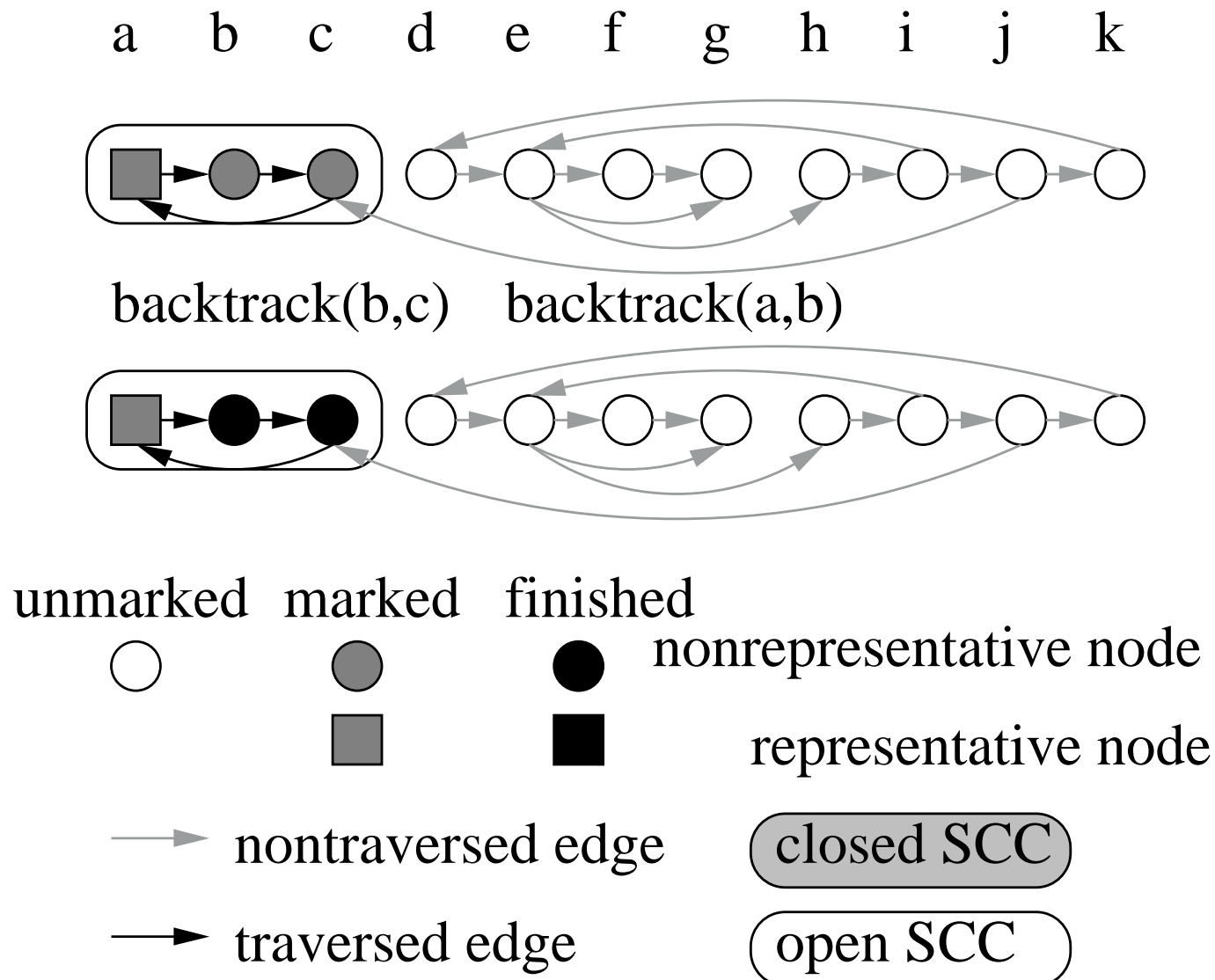
OK. ( $S_k$  wird ggf. entfernt)

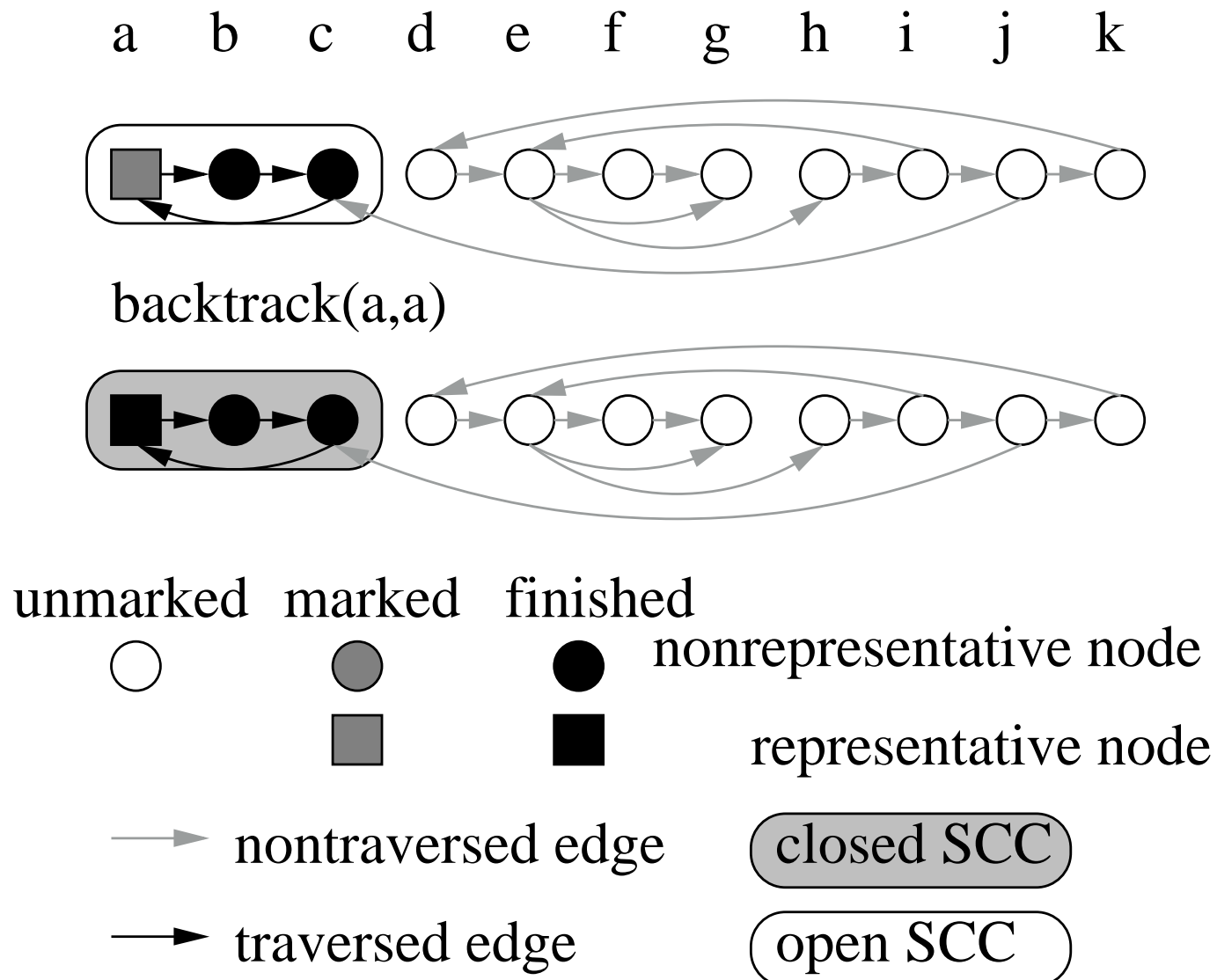


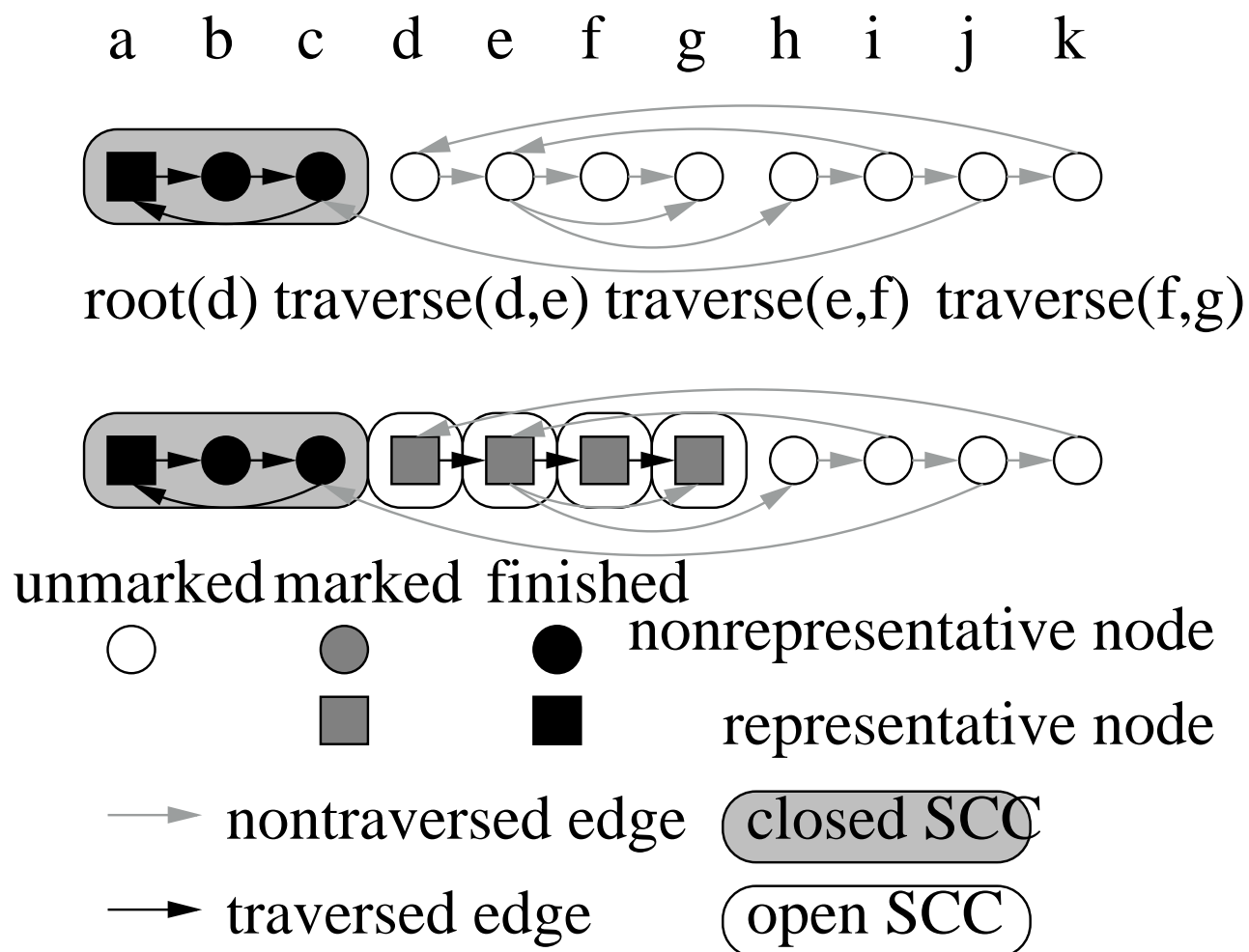
# Beispiel

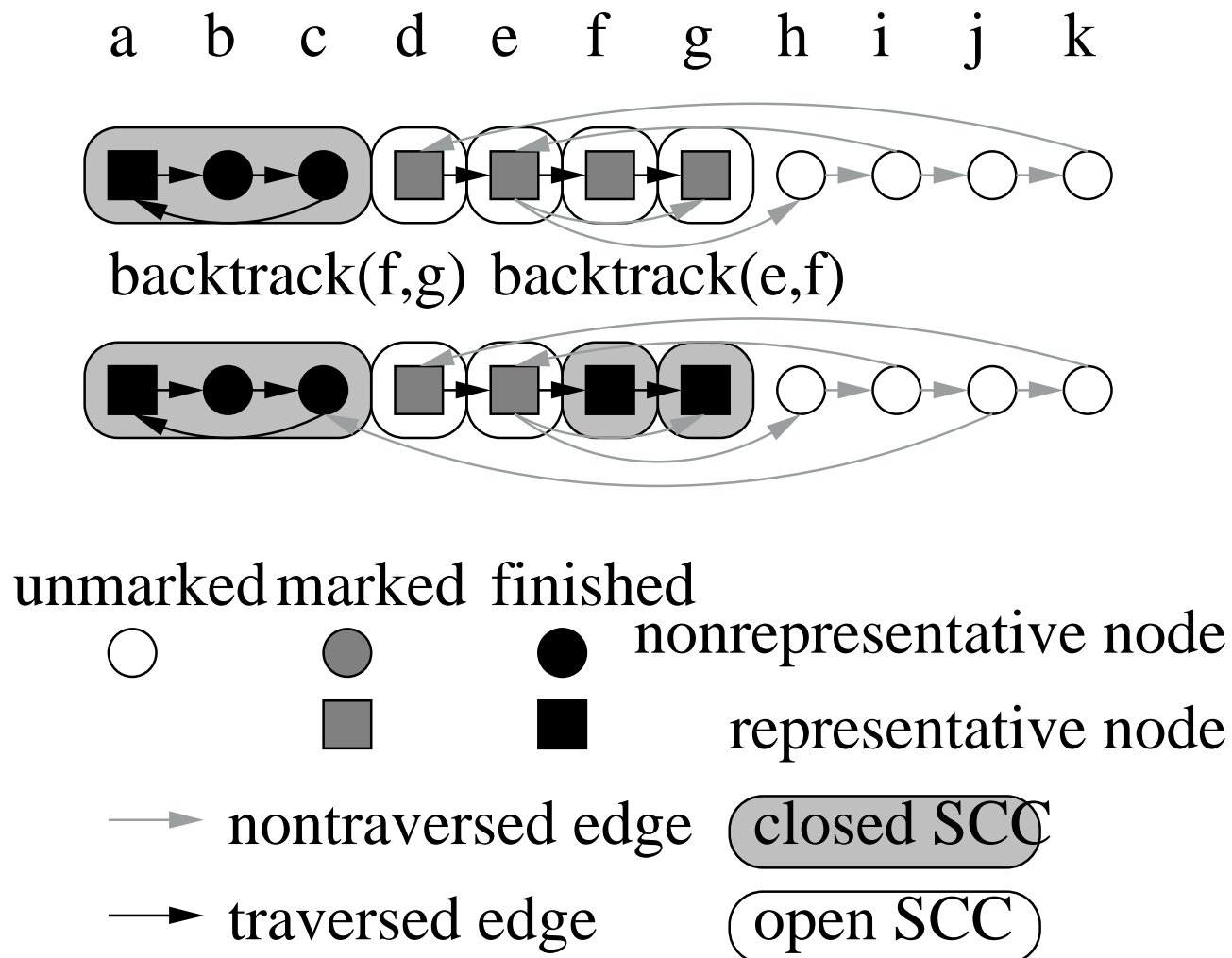


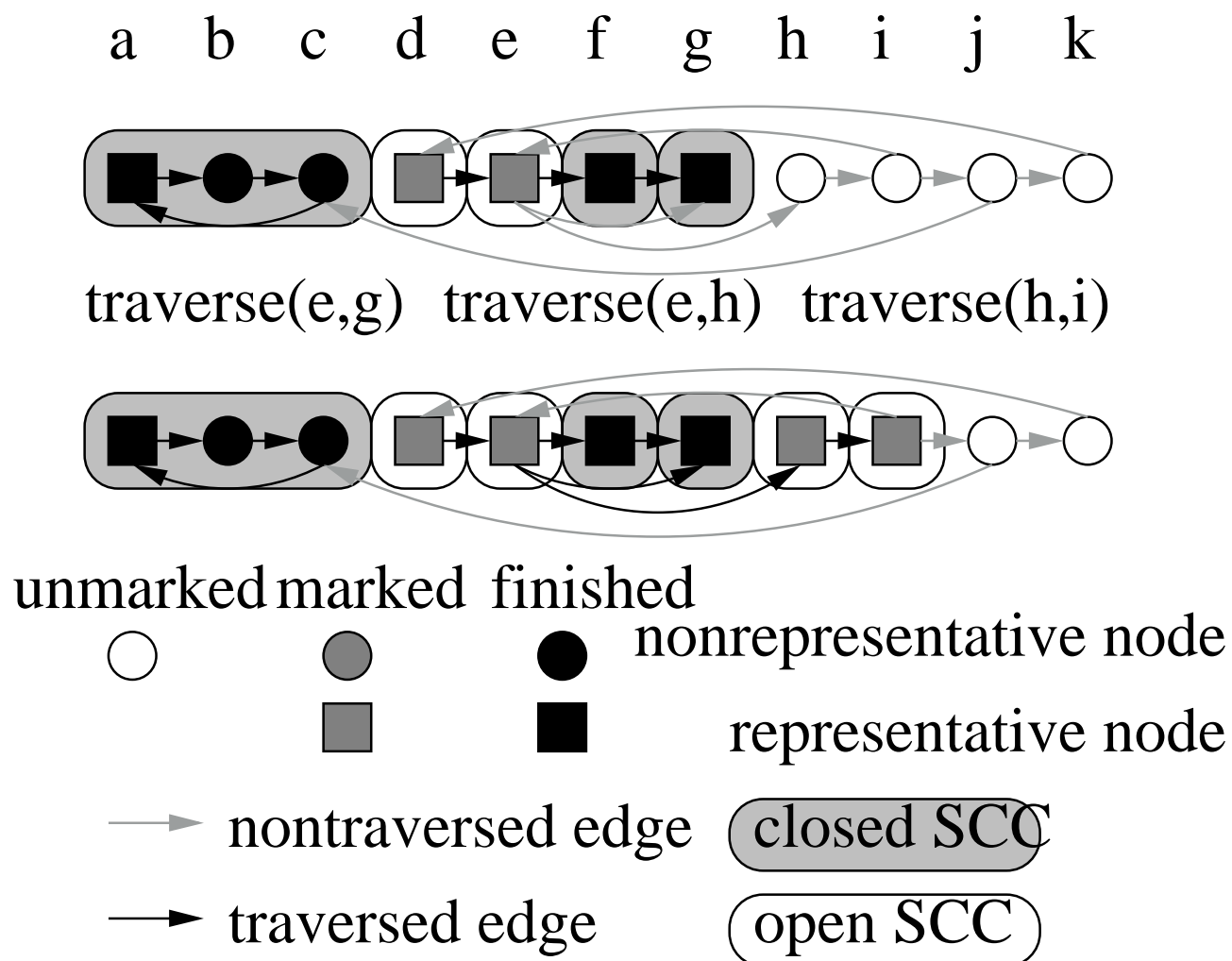


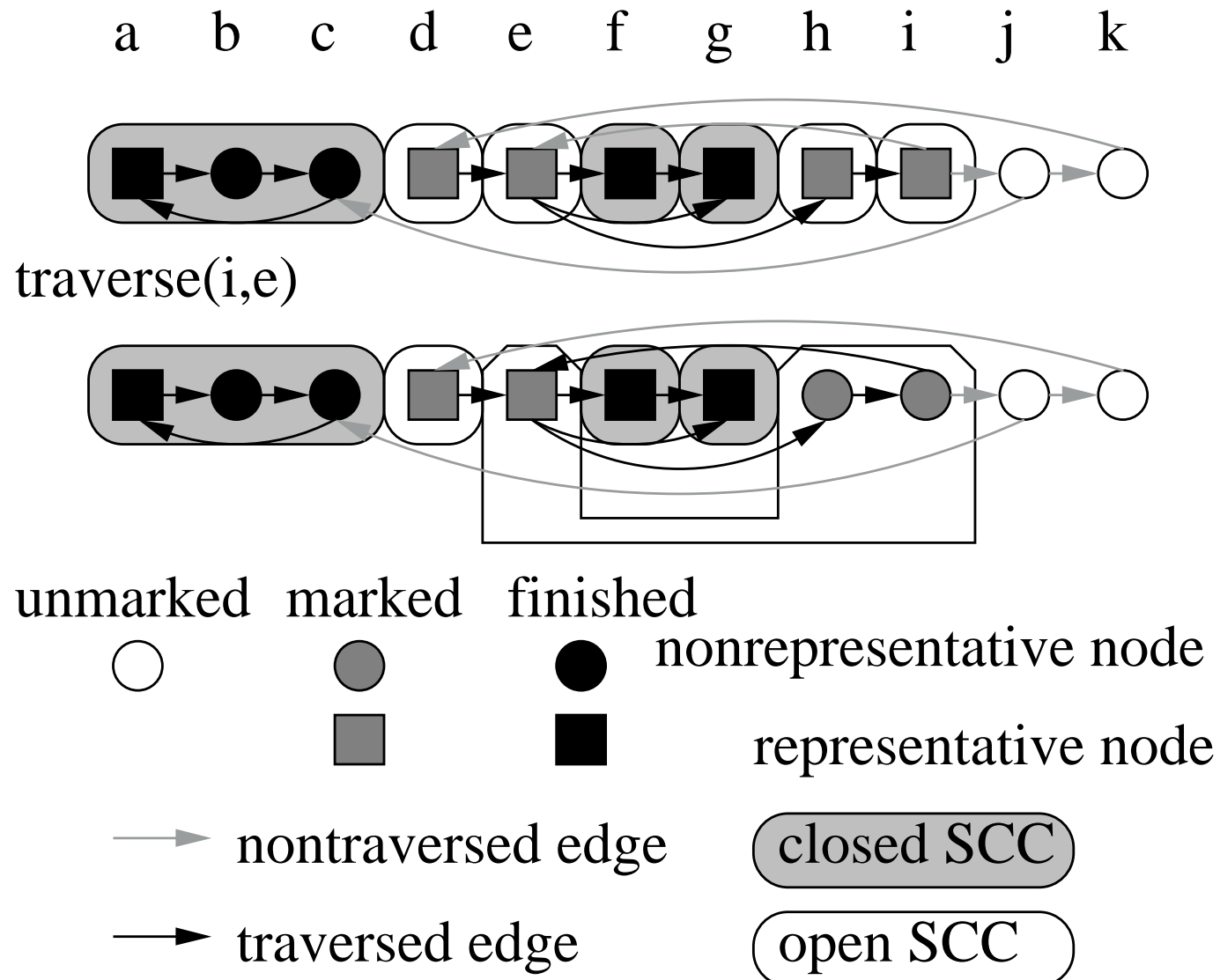


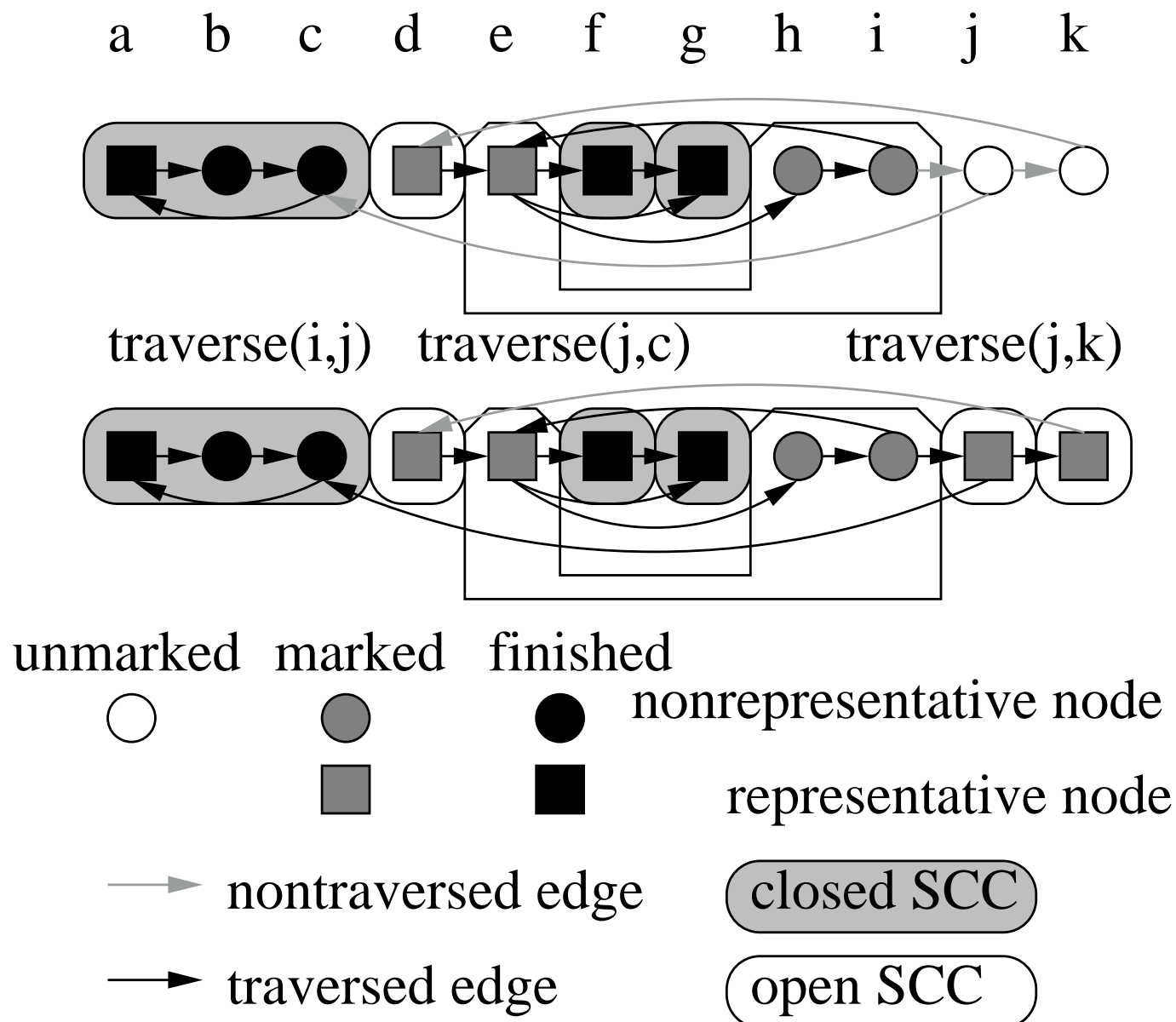


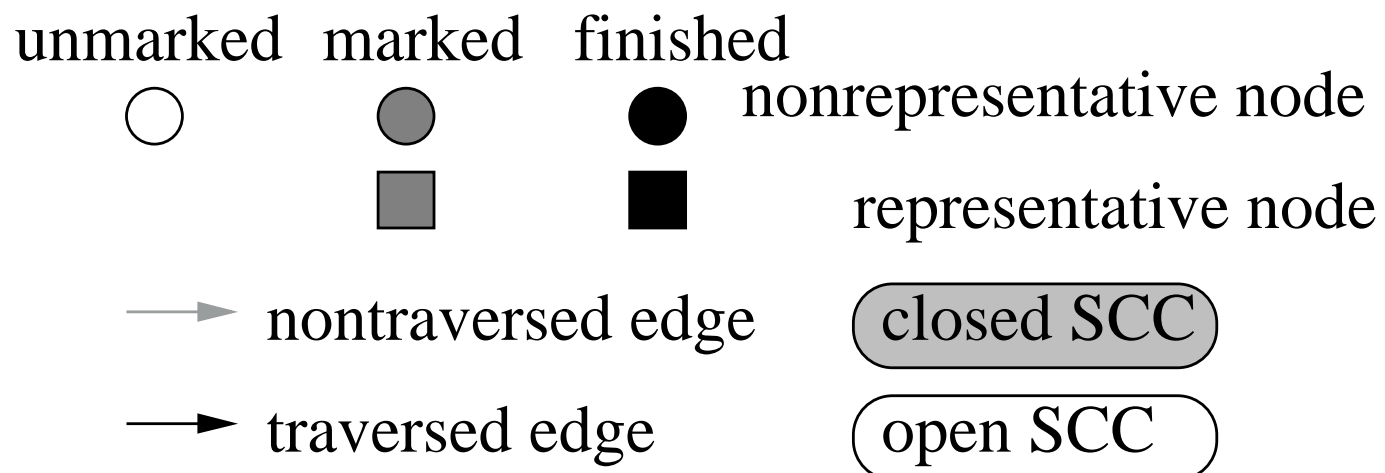
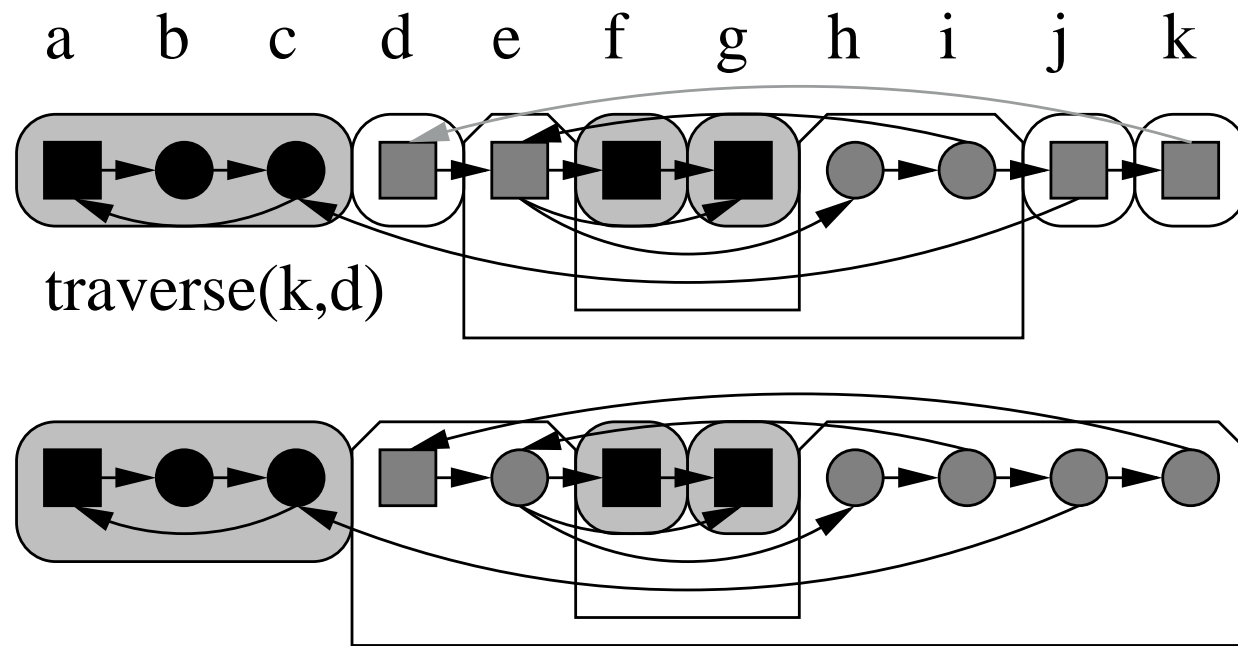


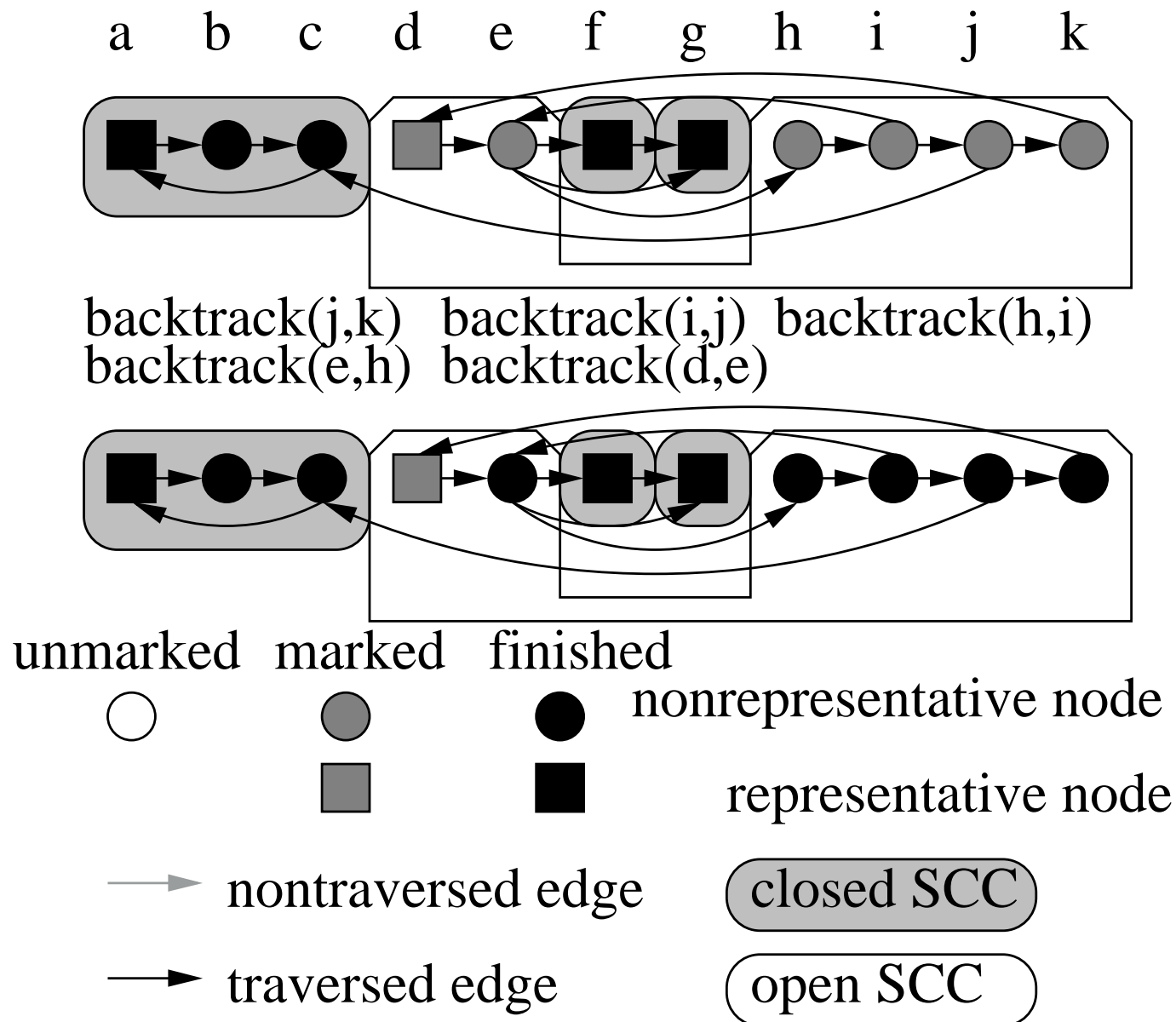


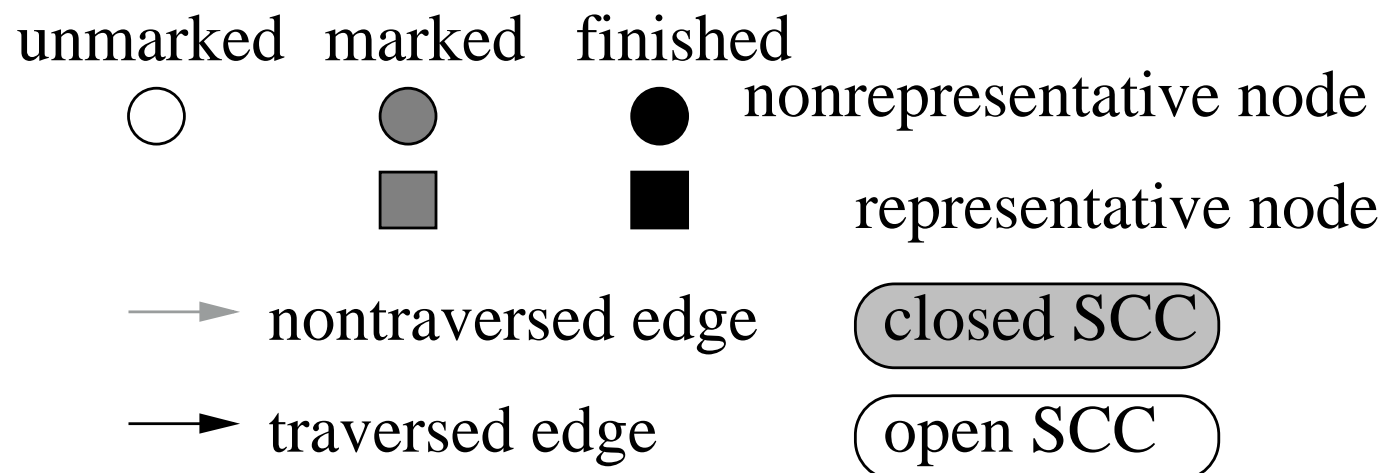
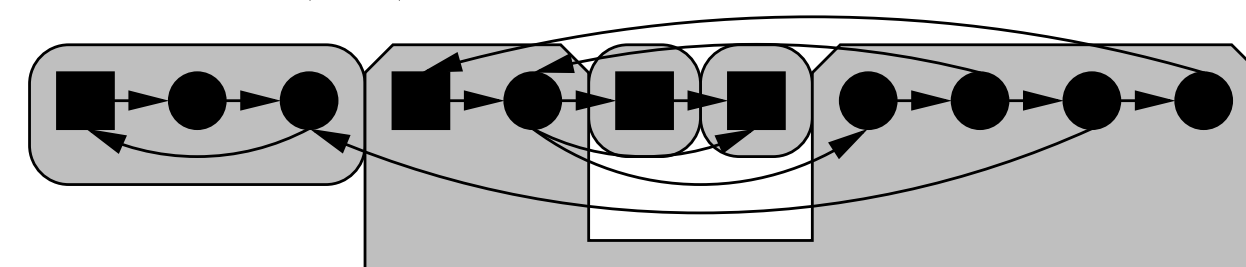
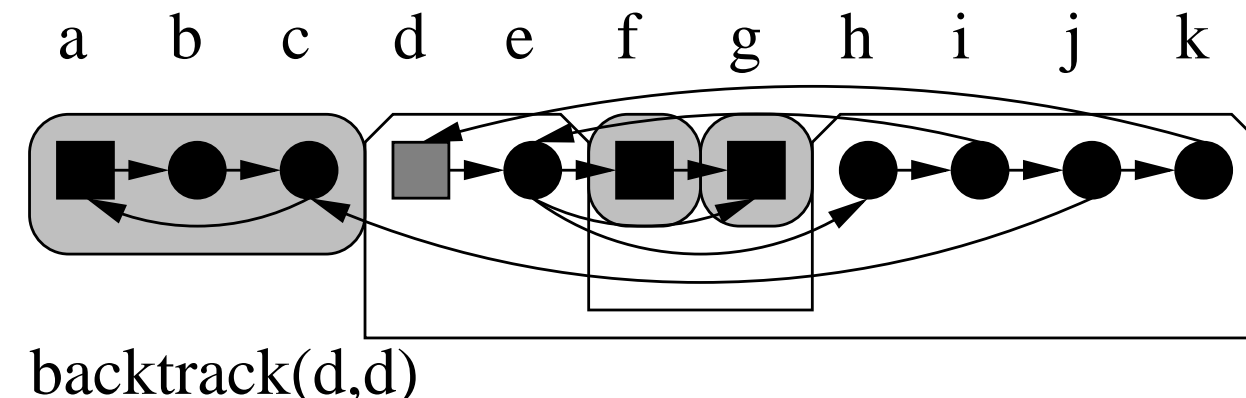










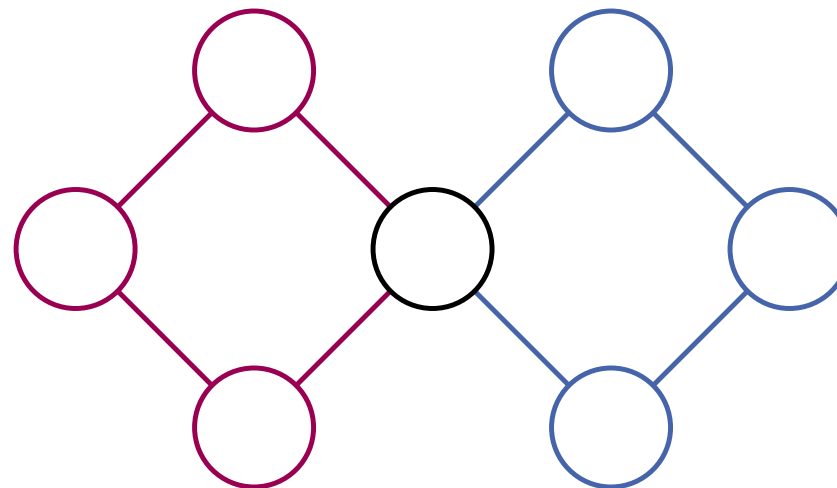


## Zusammenfassung: SCC Berechnung

- Einfache Instantiierung des DFS-Musters
- Nichttrivialer Korrektheitsbeweis
- Laufzeit  $O(m + n)$ : (Jeweils max.  $n$  push/pop Operationen)
- Ein einziger Durchlauf

## 2-zusammenhängende Komponenten (ungerichtet)

Bei entfernen eines Knotens bleibt die Komponente zusammenhängend.  
(Partitionierung der Kanten)



Geht in Zeit  $O(m + n)$  mit Algorithmus ähnlich zu SCC-Algorithmus

## Mehr DFS-basierte Linearzeitalgorithmen

- 3-zusammenhängende Komponenten
- Planaritätstest
- Einbettung planarer Graphen

# 14 Maximum Flows and Matchings

[mit Kurz Mehlhorn, Rob van Stee]

Folien auf Englisch

Literatur:

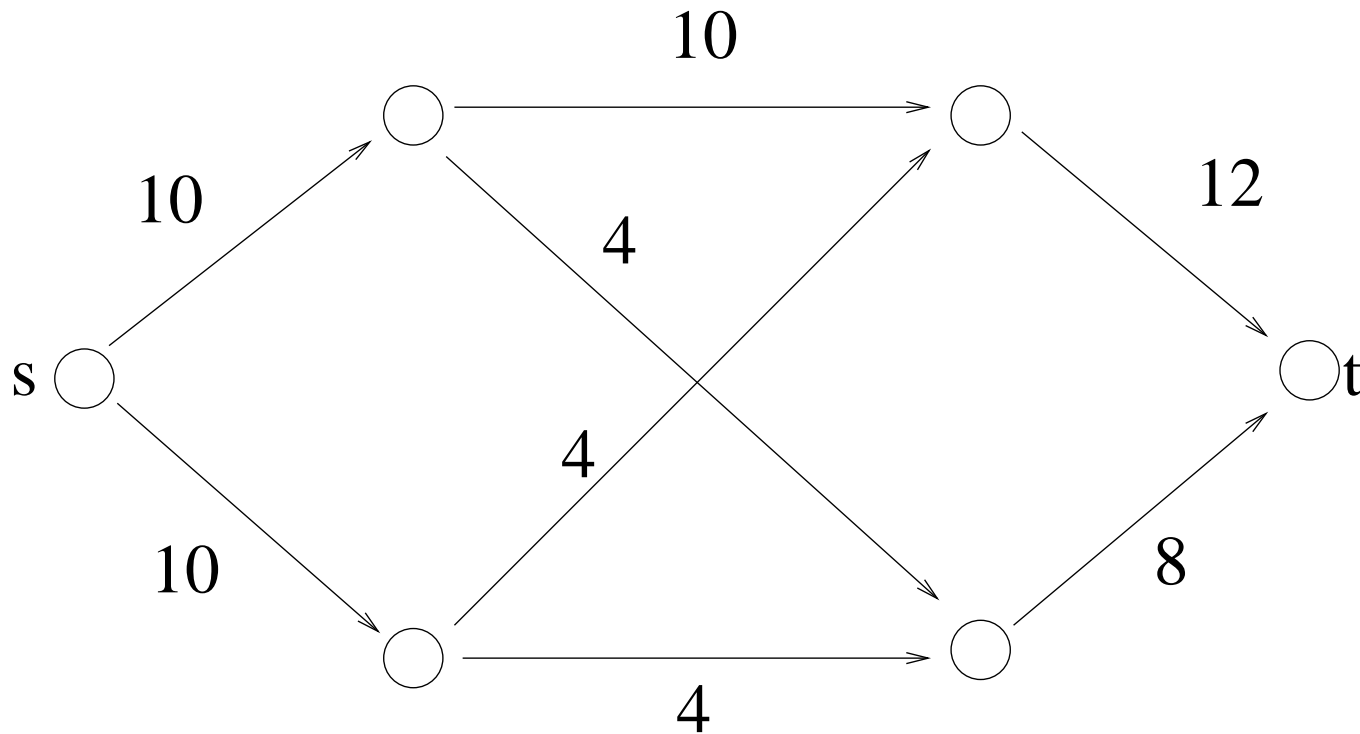
[Mehlhorn / Näher, The LEDA Platform of Combinatorial and Geometric Computing, Cambridge University Press, 1999]

[http://www.mpi-inf.mpg.de/~mehlhorn/ftp/  
LEDAbook/Graph\\_alg.ps](http://www.mpi-inf.mpg.de/~mehlhorn/ftp/LEDAbook/Graph_alg.ps)

[Ahuja, Magnanti, Orlin, Network Flows, Prentice Hall, 1993]

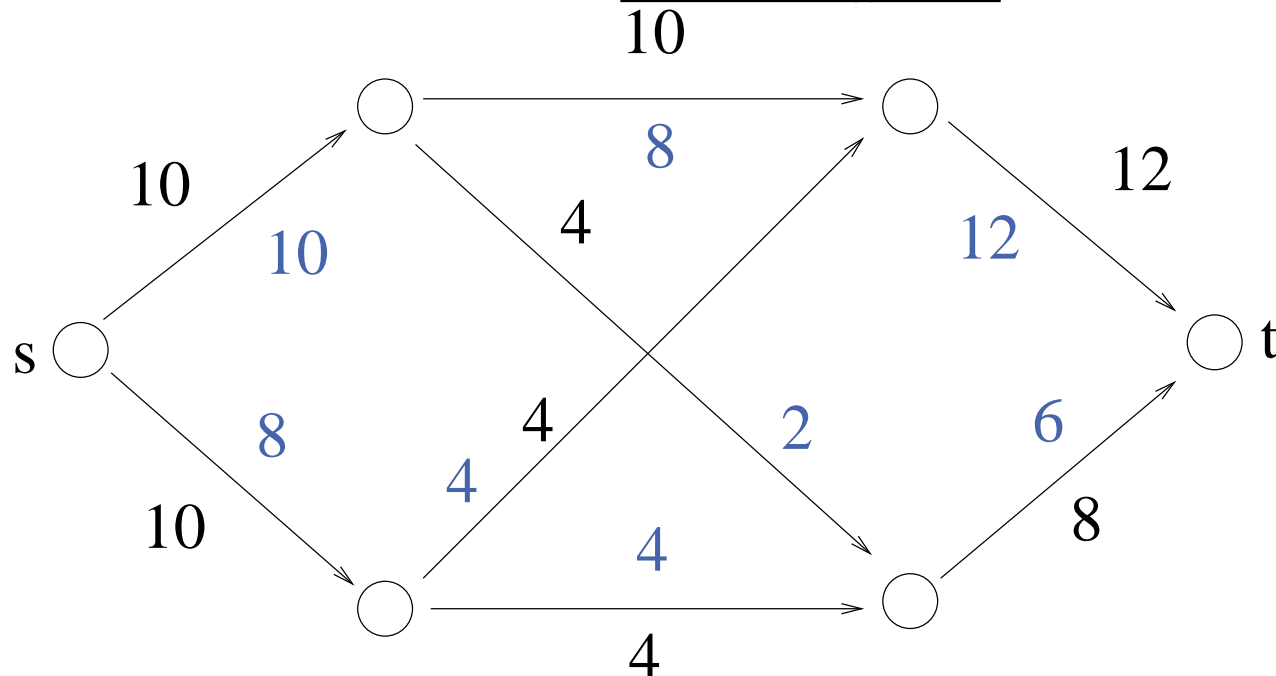
# Definitions: Network

- Network = directed weighted graph with source node  $s$  and sink node  $t$
- $s$  has no incoming edges,  $t$  has no outgoing edges
- Weight  $c_e$  of an edge  $e$  = capacity of  $e$  (nonnegative!)



## Definitions: Flows

- Flow = function  $f_e$  on the edges,  $0 \leq f_e \leq c_e \forall e$   
 $\forall v \in V \setminus \{s, t\}$ : total incoming flow = total outgoing flow
- Value of a flow  $\text{val}(f) = \text{total outgoing flow from } s =$   
**total flow going into  $t$**
- Goal: find a flow with maximum value

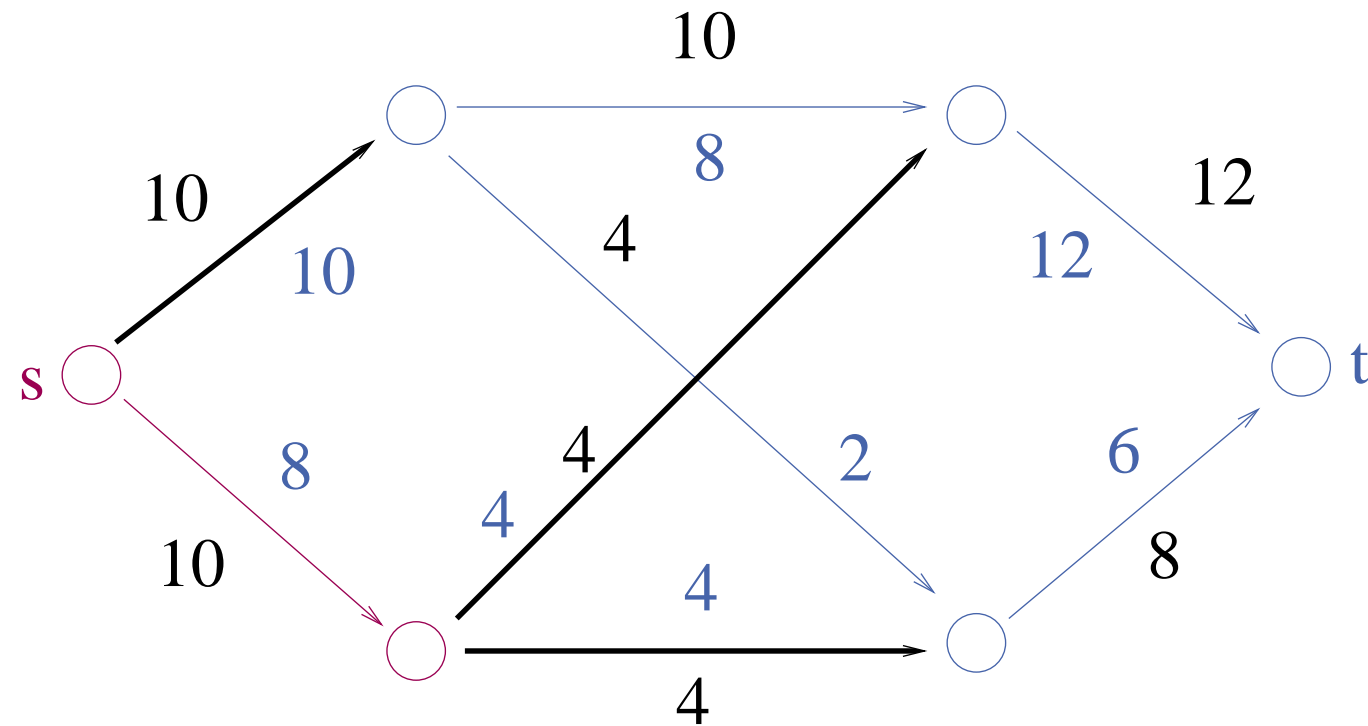


## Definitions: (Minimum) $s$ - $t$ Cuts

An  $s$ - $t$  cut is partition of  $V$  into  $S$  and  $T$  with  $s \in S$  and  $t \in T$ .

The **capacity** of this cut is:

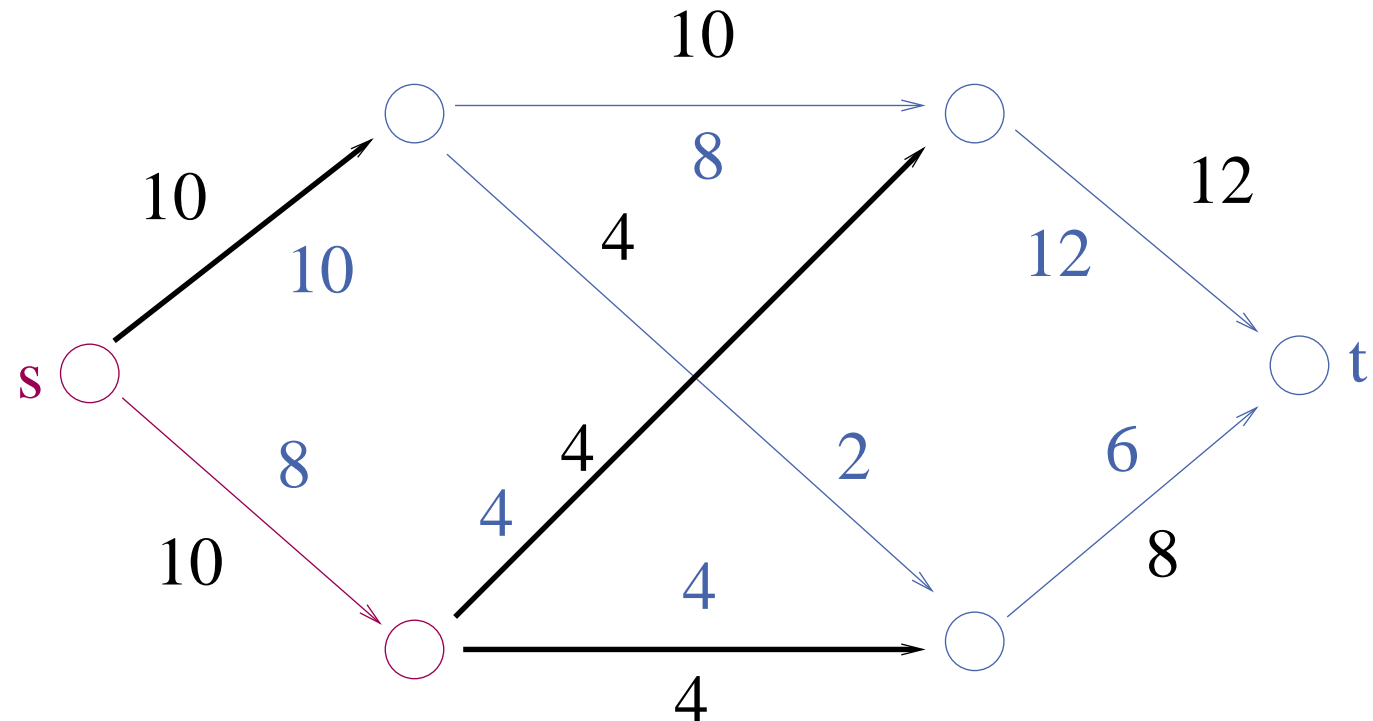
$$\sum \{c_{(u,v)} : u \in S, v \in T\}$$



# Duality Between Flows and Cuts

**Theorem:** [Elias/Feinstein/Shannon, Ford/Fulkerson 1956]

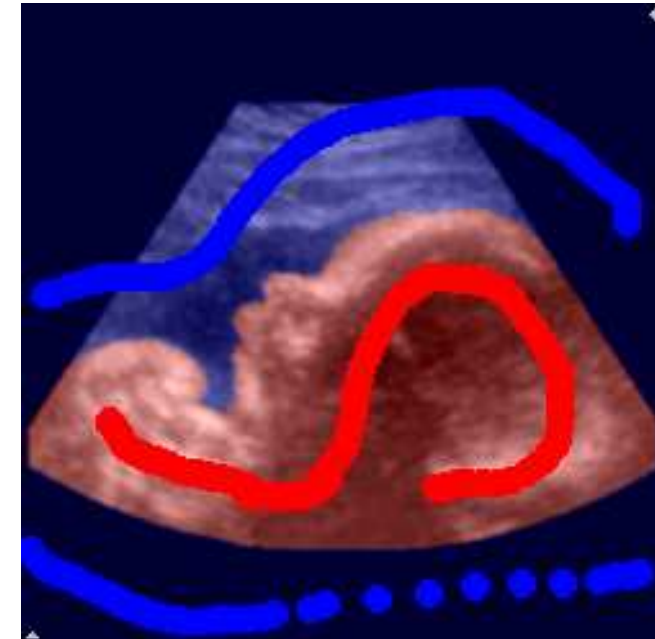
Value of an  $s-t$  max-flow = minimum capacity of an  $s-t$  cut.



**Proof:** later

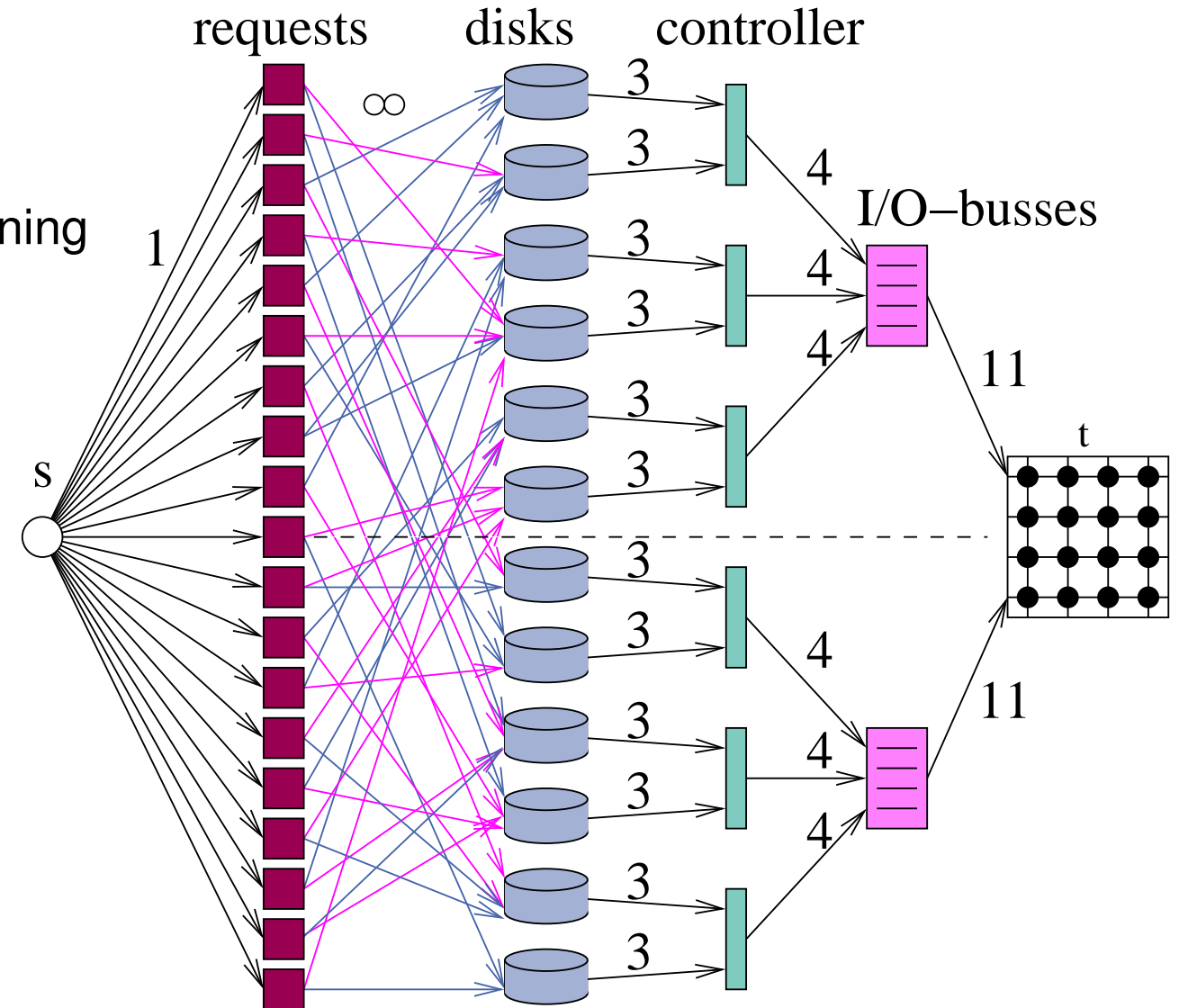
# Applications

- Oil pipes
- Traffic flows on highways
- Image Processing <http://vision.csd.uwo.ca/maxflow-data>
  - segmentation
  - stereo processing
  - multiview reconstruction
  - surface fitting
- disk/machine/tanker scheduling
- matrix rounding
- ...



# Applications in our Group

- multicasting using network coding
- balanced  $k$  partitioning
- disk scheduling



## Option 1: linear programming

- Flow variables  $x_e$  for each edge  $e$
- Flow on each edge is at most its capacity
- Incoming flow at each vertex = outgoing flow from this vertex
- Maximize outgoing flow from starting vertex

We can do better!

# Algorithms 1956–now

| Year | Author         | Running time      |                        |
|------|----------------|-------------------|------------------------|
| 1956 | Ford-Fulkerson | $O(mnU)$          |                        |
| 1969 | Edmonds-Karp   | $O(m^2n)$         |                        |
| 1970 | Dinic          | $O(mn^2)$         |                        |
| 1973 | Dinic-Gabow    | $O(mn \log U)$    | $n$ = number of nodes  |
| 1974 | Karzanov       | $O(n^3)$          | $m$ = number of arcs   |
| 1977 | Cherkassky     | $O(n^2 \sqrt{m})$ | $U$ = largest capacity |
| 1980 | Galil-Naamad   | $O(mn \log^2 n)$  |                        |
| 1983 | Sleator-Tarjan | $O(mn \log n)$    |                        |

| Year | Author                   | Running time   |
|------|--------------------------|--|
| 1986 | Goldberg-Tarjan          | $O(mn \log(n^2/m))$  |
| 1987 | Ahuja-Orlin              | $O(mn + n^2 \log U)$   |
| 1987 | Ahuja-Orlin-Tarjan       | $O(mn \log(2 + n\sqrt{\log U}/m))$                             |
| 1990 | Cherian-Hagerup-Mehlhorn | $O(n^3 / \log n)$  |
| 1990 | Alon                     | $O(mn + n^{8/3} \log n)$                                       |
| 1992 | King-Rao-Tarjan          | $O(mn + n^{2+e})$  |
| 1993 | Philipps-Westbrook       | $O(mn \log n / \log \frac{m}{n} + n^2 \log^{2+\varepsilon} n)$ |
| 1994 | King-Rao-Tarjan          | $O(mn \log n / \log \frac{m}{n \log n})$ if $m \geq 2n \log n$ |
| 1997 | Goldberg-Rao             | $O(\min\{m^{1/2}, n^{2/3}\} m \log(n^2/m) \log n)$             |

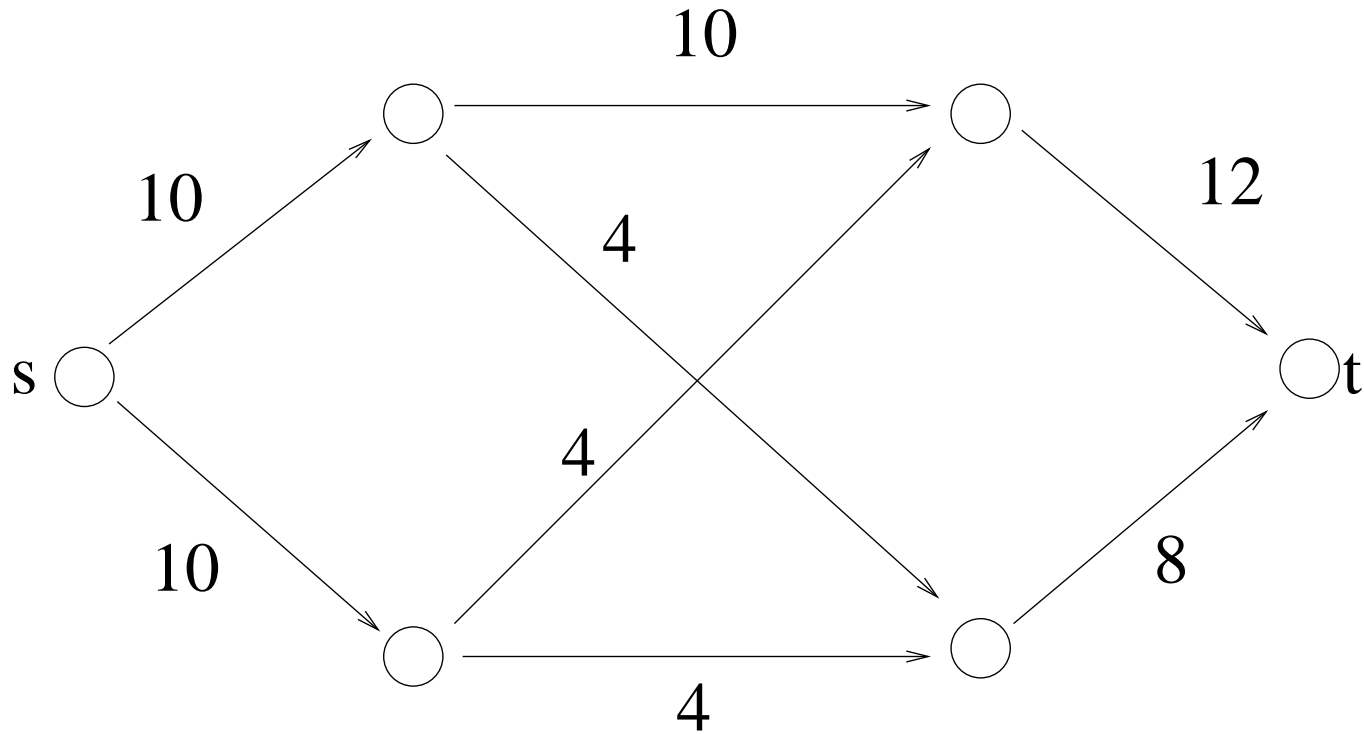
## Augmenting Paths (Rough Idea)

Find a path from  $s$  to  $t$  such that each edge has some **spare capacity**

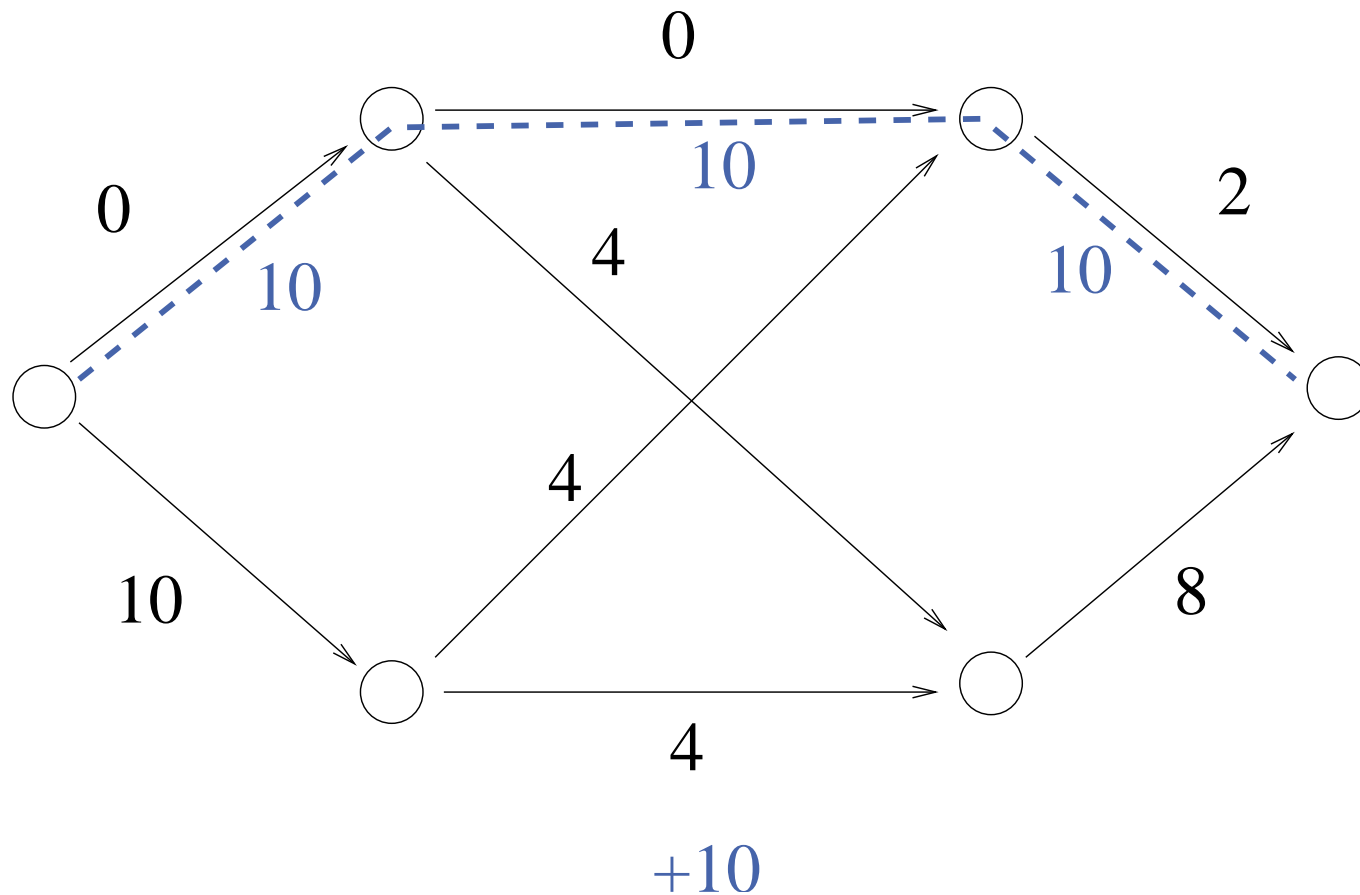
On this path, **saturate** the edge with the smallest spare capacity

**Adjust capacities** for all edges (create **residual graph**) and repeat

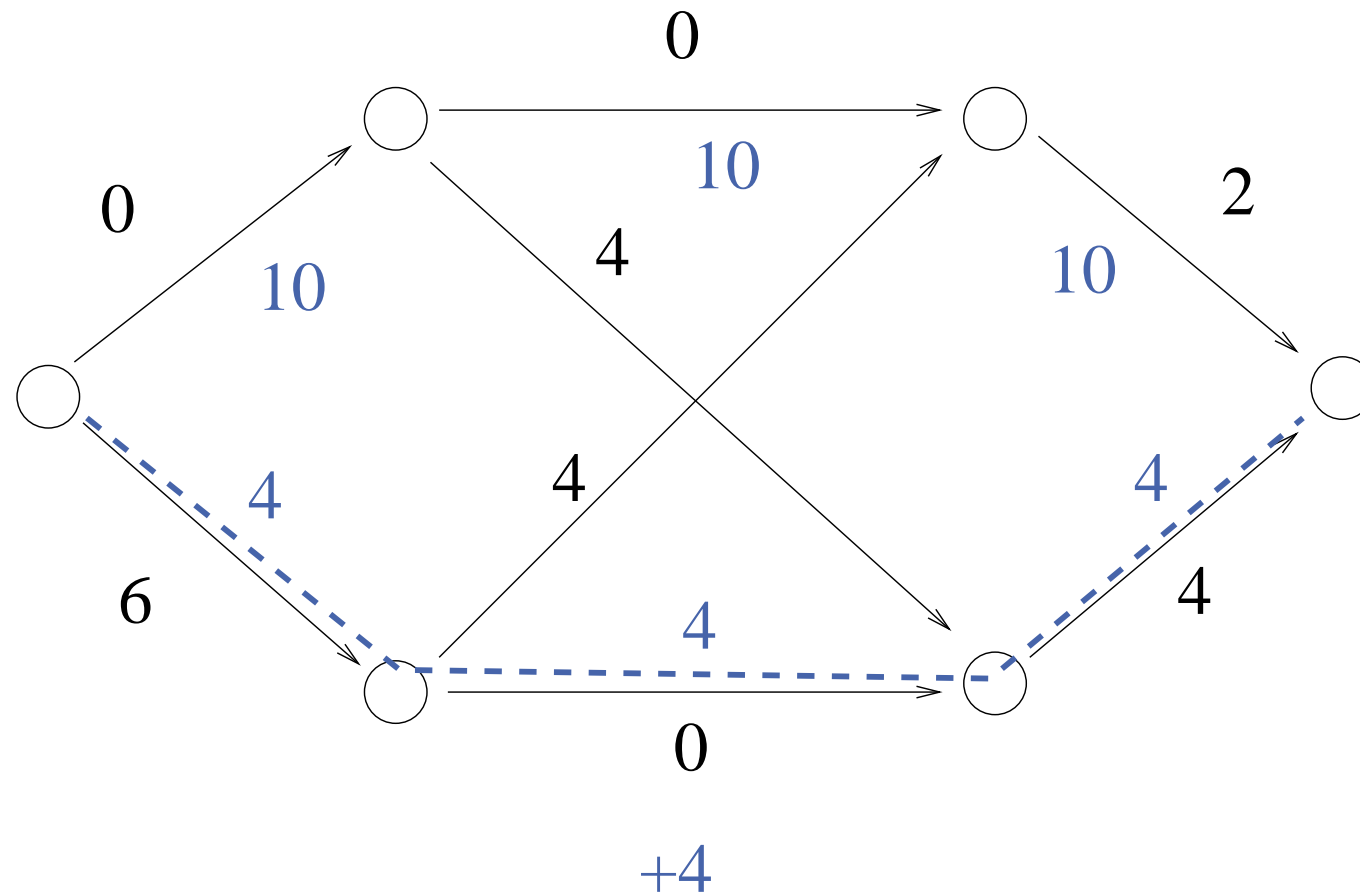
## Example



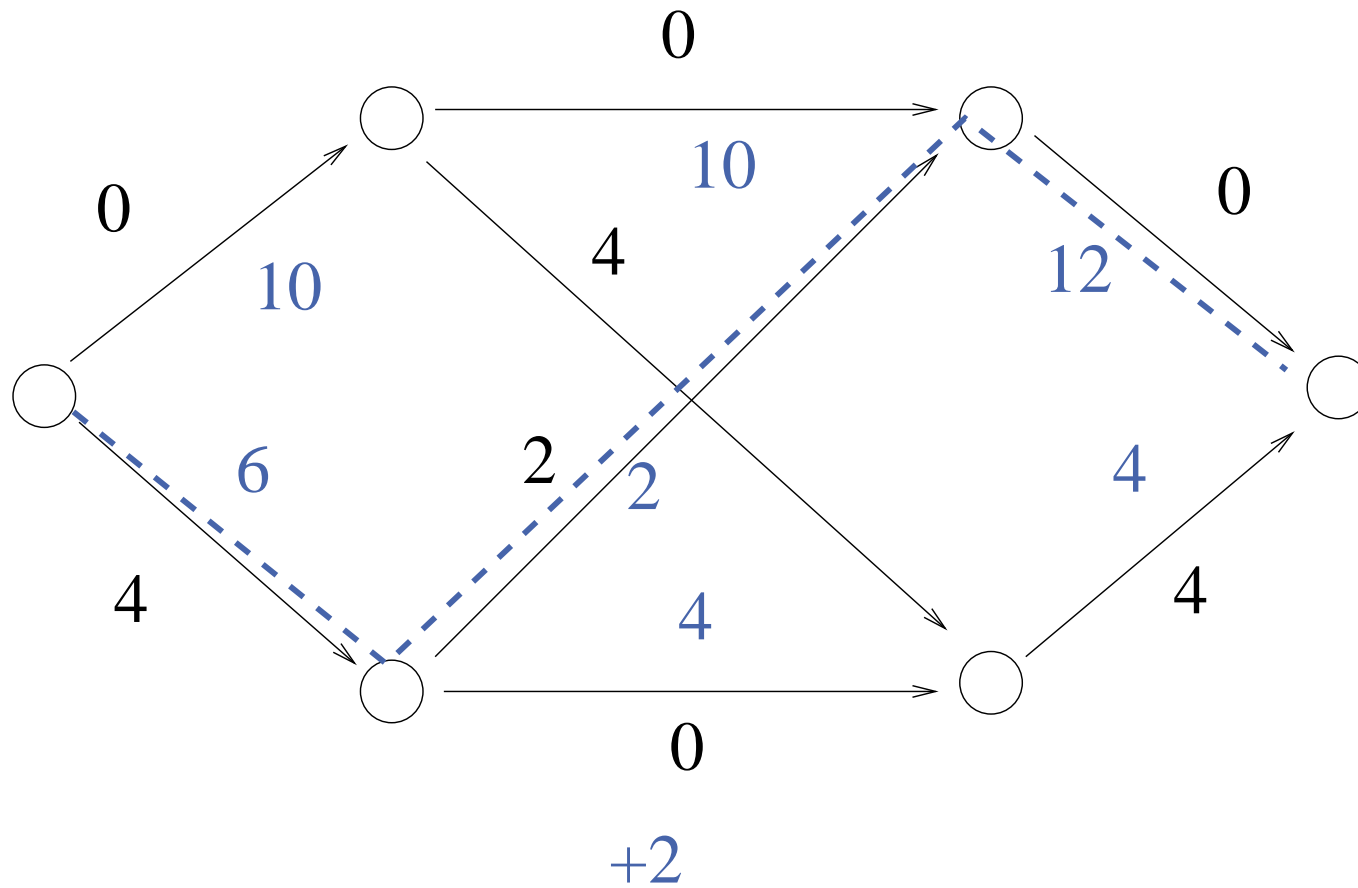
## Example



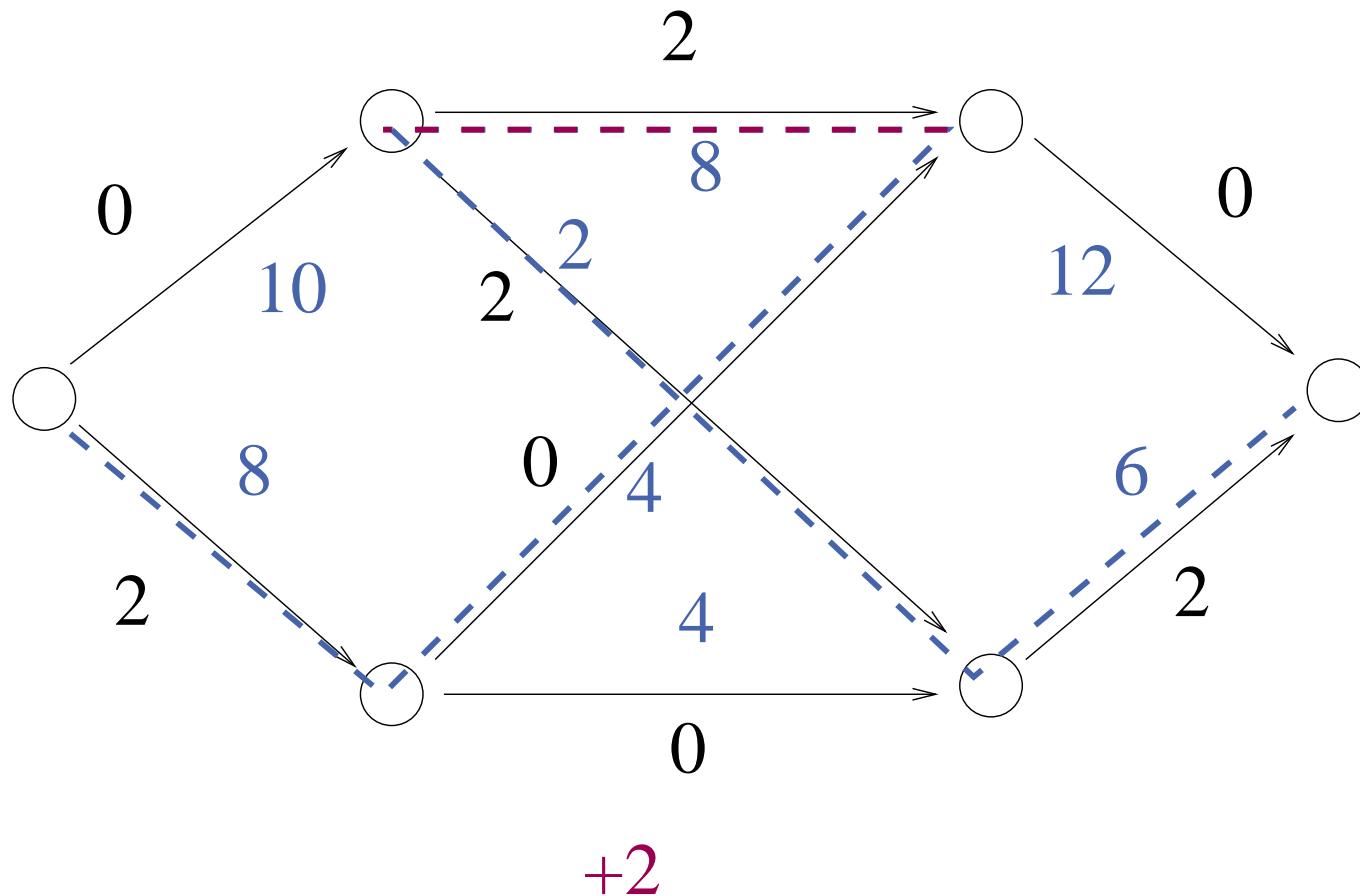
# Example



# Example



# Example

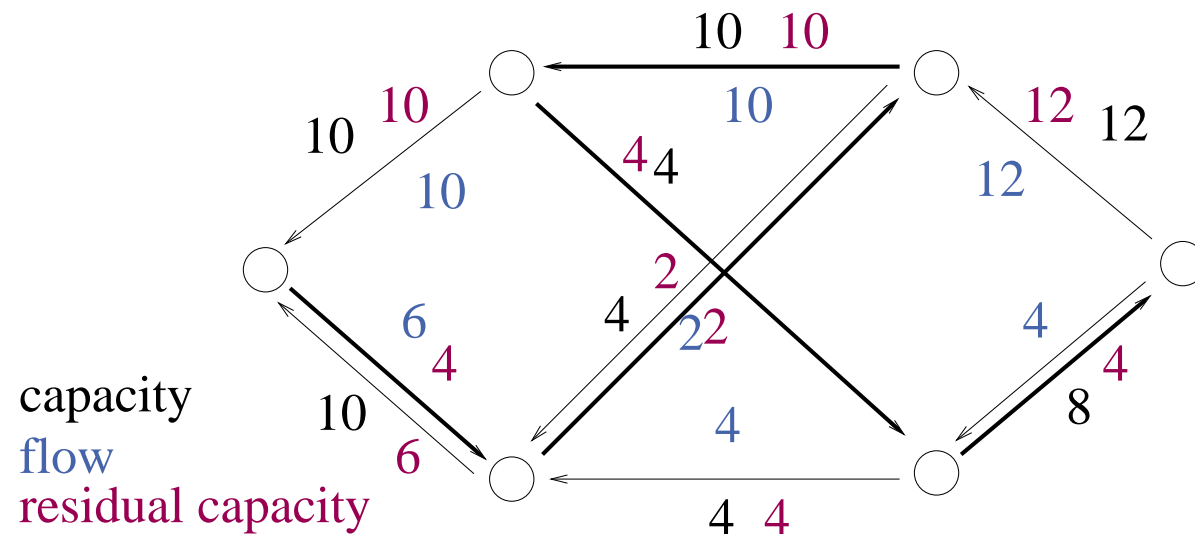


# Residual Graph

Given, network  $G = (V, E, c)$ , flow  $f$

Residual graph  $G_f = (V, E_f, c^f)$ . For each  $e \in E$  we have

$$\begin{cases} e \in E_f \text{ with } c_e^f = c_e - f(e) & \text{if } f(e) < c(e) \\ e^{\text{rev}} \in E_f \text{ with } c_{e^{\text{rev}}}^f = f(e) & \text{if } f(e) > 0 \end{cases}$$



# Augmenting Paths

Find a path  $p$  from  $s$  to  $t$  such that each edge  $e$  has nonzero **residual capacity**  $c_e^f$

$$\Delta f := \min_{e \in p} c_e^f$$

**foreach**  $(u, v) \in p$  **do**

**if**  $(u, v) \in E$  **then**  $f_{(u,v)}+ = \Delta f$

**else**  $f_{(v,u)}- = \Delta f$

# Ford Fulkerson Algorithm

**Function** FFMaxFlow( $G = (V, E), s, t, c : E \rightarrow \mathbb{N}$ ) :  $E \rightarrow \mathbb{N}$

$f := 0$

**while**  $\exists$  path  $p = (s, \dots, t)$  in  $G_f$  **do**

augment  $f$  along  $p$

**return**  $f$

time  $O(m\text{val}(f))$

## Ford Fulkerson – Correctness

“Clearly” FF computes a feasible flow  $f$ . (Invariant)

Todo: flow value is maximal

At termination: no augmenting paths in  $G_f$  left.

Consider cut  $(S, V \setminus S)$  with

$$S := \{v \in V : v \text{ reachable from } s \text{ in } G_f\}$$

# Some Basic Observations

**Lemma 1:** For any cut  $(S, T)$ :

$$\mathbf{val}(f) = \overbrace{\sum_{e \in E \cap S \times T} f_e}^{S \rightarrow T \text{ edges}} - \overbrace{\sum_{e \in E \cap T \times S} f_e}^{T \rightarrow S \text{ edges}} .$$

**Lemma 2:**  $\forall (u, v) \in E : c_{(u,v)}^f = 0 \Rightarrow f_{(v,u)} = 0$

# Ford Fulkerson – Correctness

Todo:  $\mathbf{val}(f)$  is maximal when no augmenting paths in  $G_f$  left.

Consider cut  $(S, V \setminus S)$  with  $S := \{v \in V : v \text{ reachable from } s \text{ in } G_f\}$ .

Observation:  $\forall (u, v) \in E \cap S \times T : c_e^f = 0$  and hence  $f_{(v,u)} = 0$

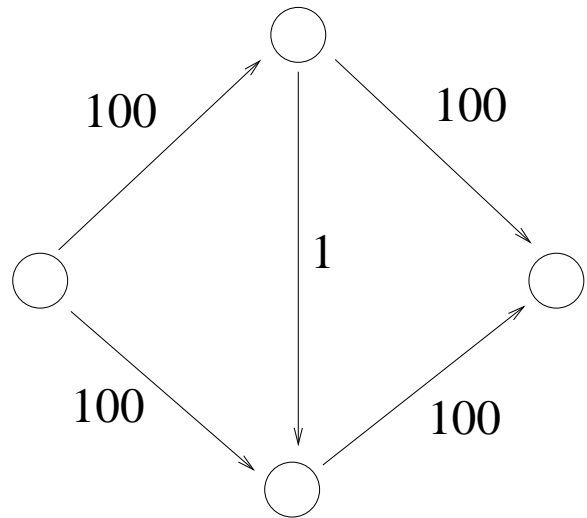
**Lemma 2.**

Now, by Lemma 1,

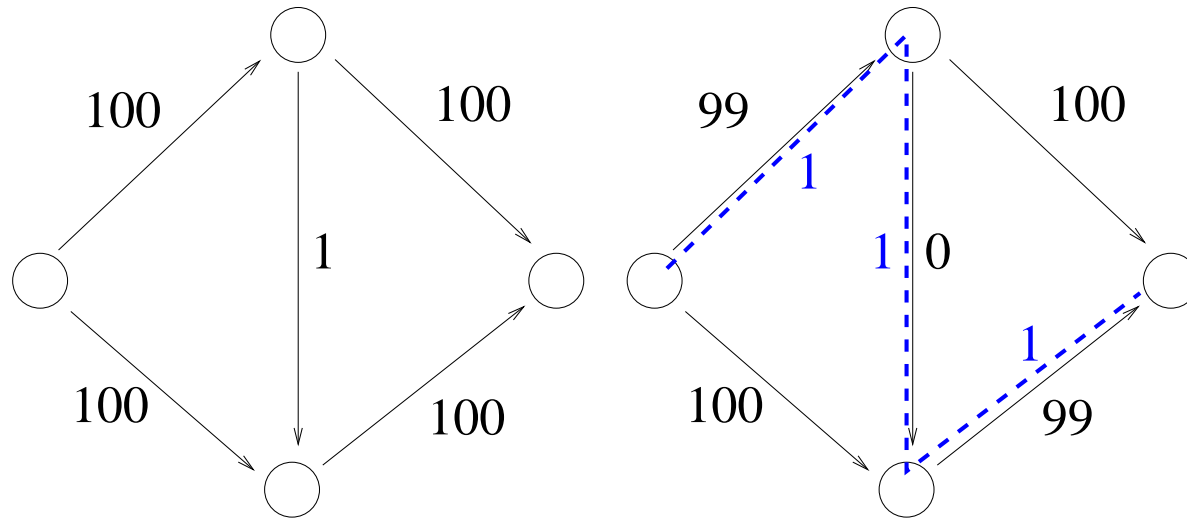
$$\begin{aligned} \mathbf{val}(f) &= \sum_{e \in E \cap S \times T} f_e - \sum_{e \in E \cap T \times S} f_e \\ &= \sum_{e \in E \cap S \times T} f_e = \text{cut capacity} \\ &\geq \text{max flow} \end{aligned}$$

**Corollary:** max flow = min cut

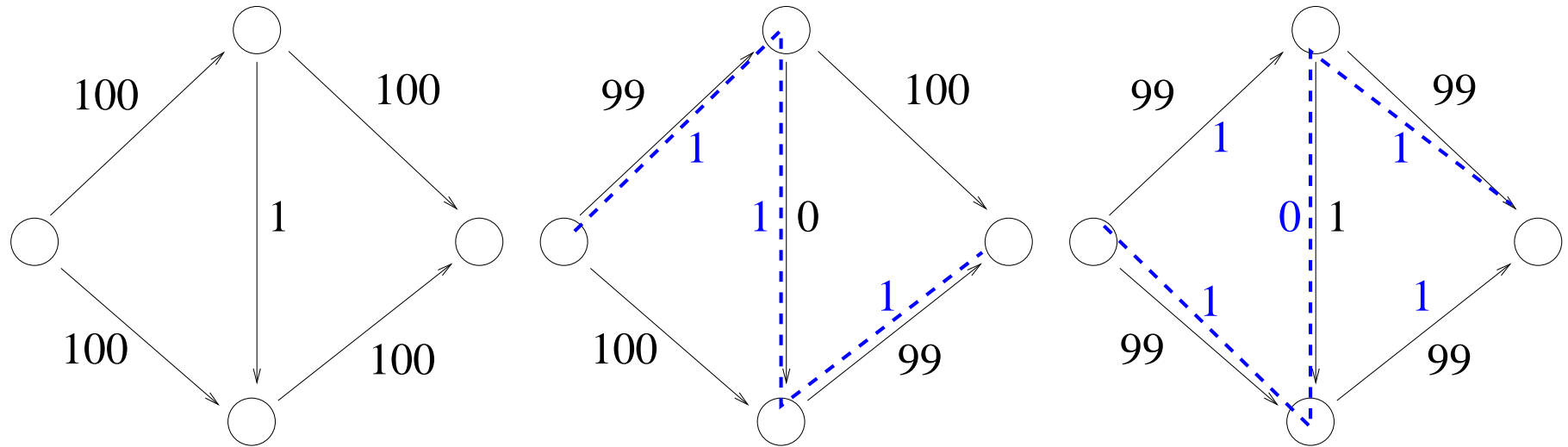
## A Bad Example for Ford Fulkerson



# A Bad Example for Ford Fulkerson



# A Bad Example for Ford Fulkerson



# An Even Worse Example for Ford Fulkerson

[U. Zwick, TCS 148, p. 165–170, 1995]

$$\text{Let } r = \frac{\sqrt{5} - 1}{2}.$$

Consider the graph

And the augmenting paths

$$p_0 = \langle s, c, b, t \rangle$$

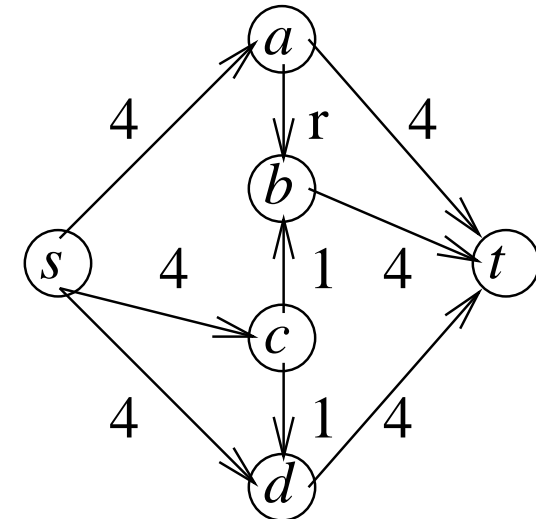
$$p_1 = \langle s, a, b, c, d, t \rangle$$

$$p_2 = \langle s, c, b, a, t \rangle$$

$$p_3 = \langle s, d, c, b, t \rangle$$

The sequence of augmenting paths  $p_0(p_1, p_2, p_1, p_3)^*$  is an infinite sequence of positive flow augmentations.

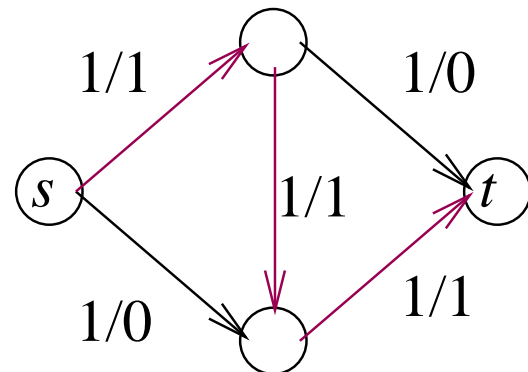
The flow value does **not** converge to the maximum value 9.



# Blocking Flows

$f_b$  is a **blocking flow** in  $H$  if

$$\forall \text{paths } p = \langle s, \dots, t \rangle : \exists e \in p : f_b(e) = c(e)$$



# Dinitz Algorithm

**Function** DinitzMaxFlow( $G = (V, E), s, t, c : E \rightarrow \mathbb{N}$ ) :  $E \rightarrow \mathbb{N}$

$f := 0$

**while**  $\exists$  path  $p = (s, \dots, t)$  in  $G_f$  **do**

$d = G_f.\text{reverseBFS}(t) : V \rightarrow \mathbb{N}$

$L_f = (V, \{(u, v) \in E_f : d(v) = d(u) - 1\})$  // layer graph

find a blocking flow  $f_b$  in  $L_f$

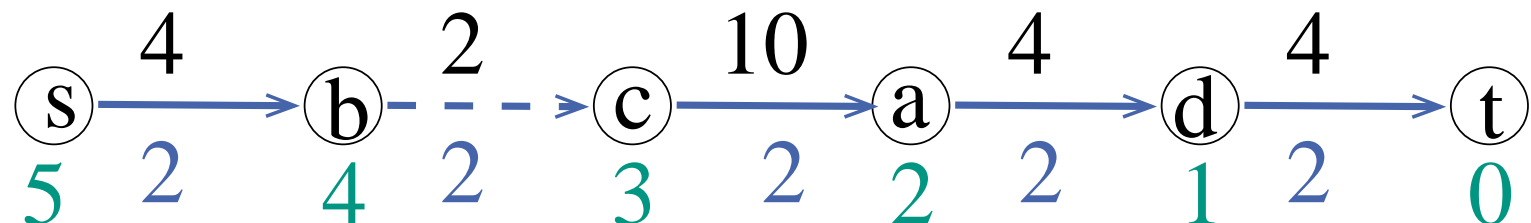
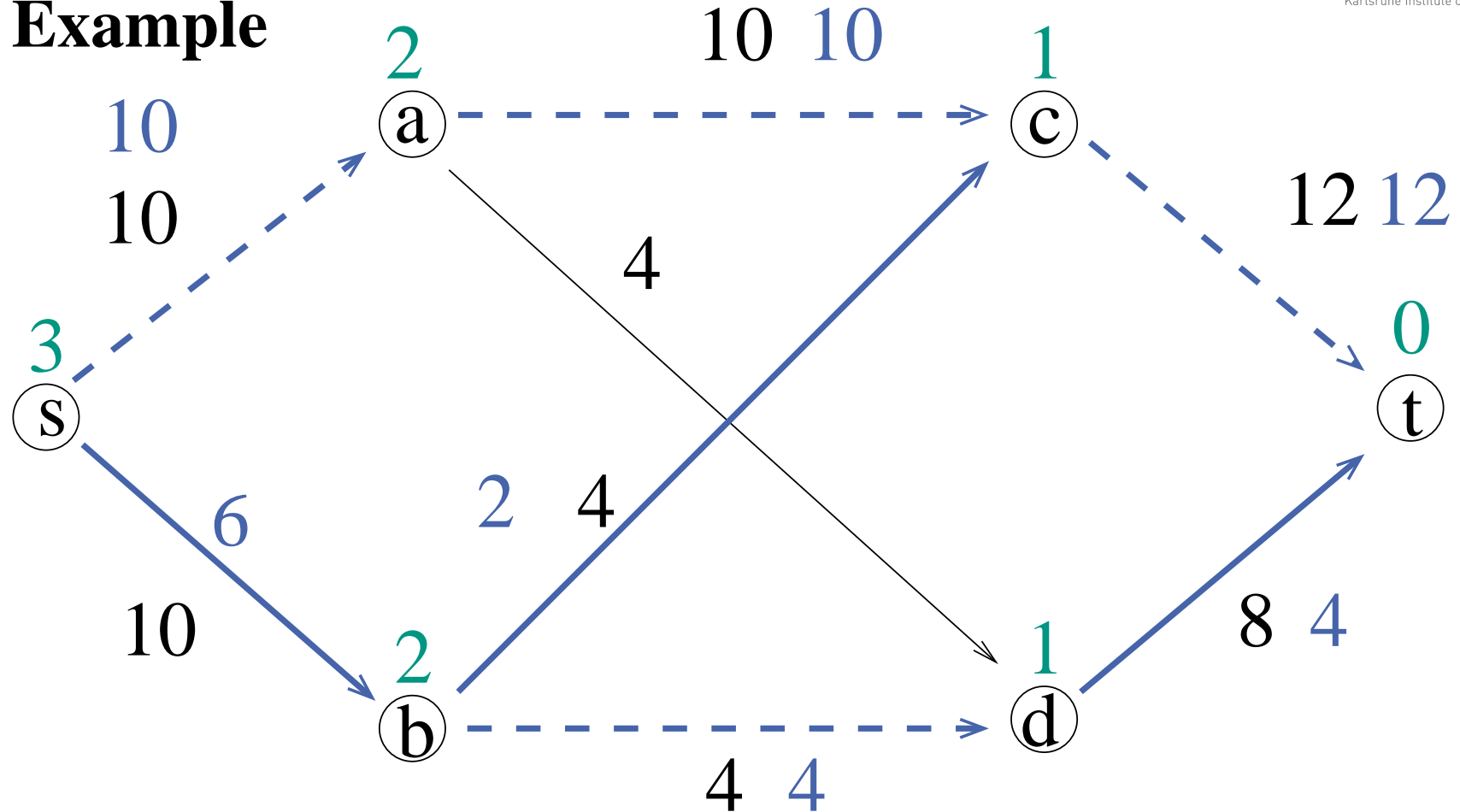
augment  $f += f_b$

**return**  $f$

## Dinitz – Correctness

analogous to Ford-Fulkerson

## Example



# Computing Blocking Flows

Idee: wiederholte DFS nach augmentierenden Pfaden

**Function** blockingFlow( $L_f = (V, E)$ ) :  $E \rightarrow \mathbb{N}$

$p = \langle s \rangle$  : Path;       $f_b = 0$  : Flow

**loop** // Round

$v := p.\text{last}()$

**if**  $v = t$  **then** // breakthrough

$\delta := \min \{c(e) - f_b(e) : e \in p\}$

**foreach**  $e \in p$  **do**

$f_b(e) += \delta$

**if**  $f_b(e) = c(e)$  **then remove**  $e$  from  $E$

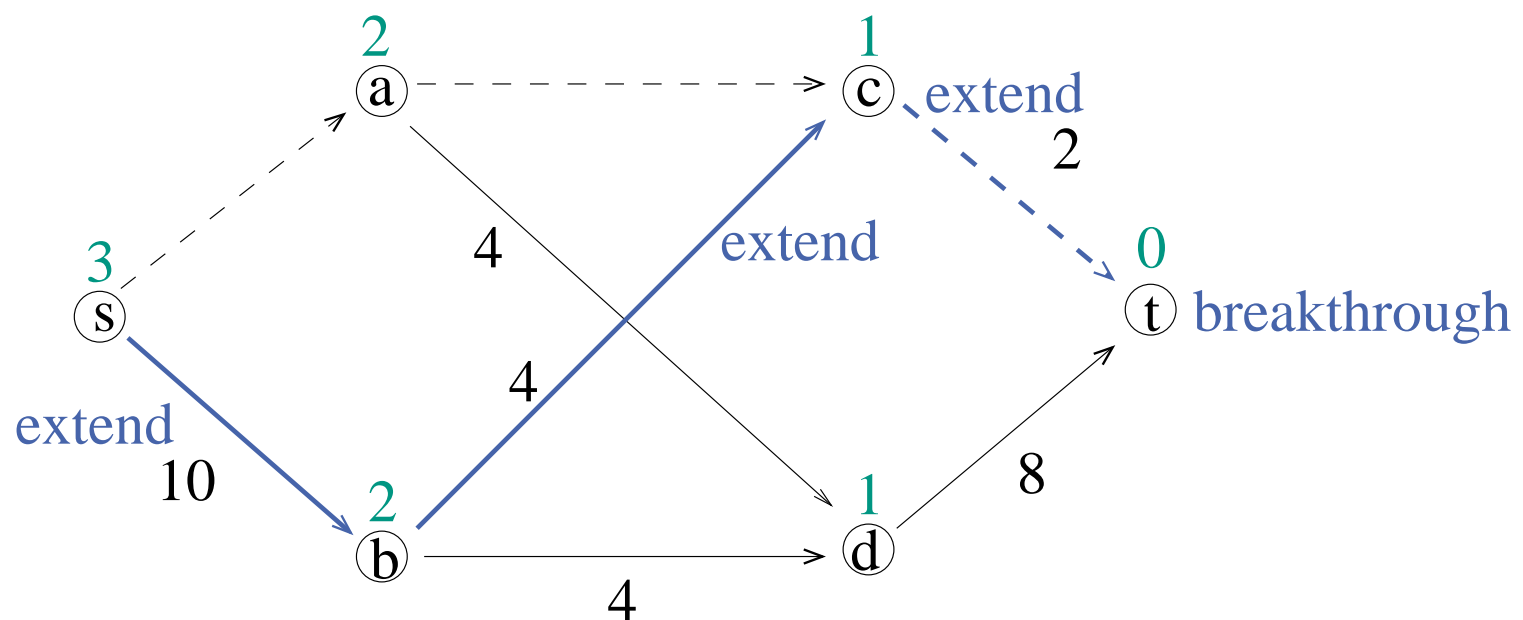
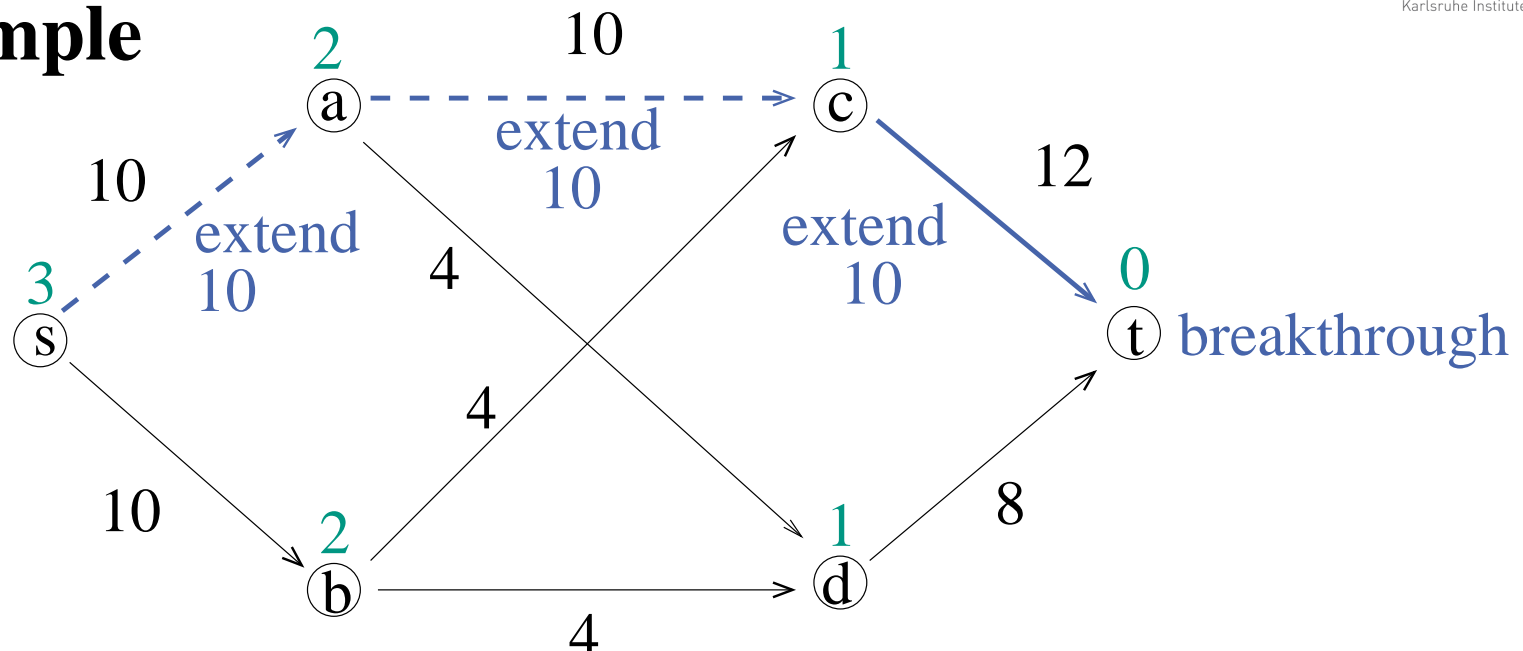
$p := \langle s \rangle$

**else if**  $\exists e = (v, w) \in E$  **then**  $p.\text{pushBack}(w)$  // extend

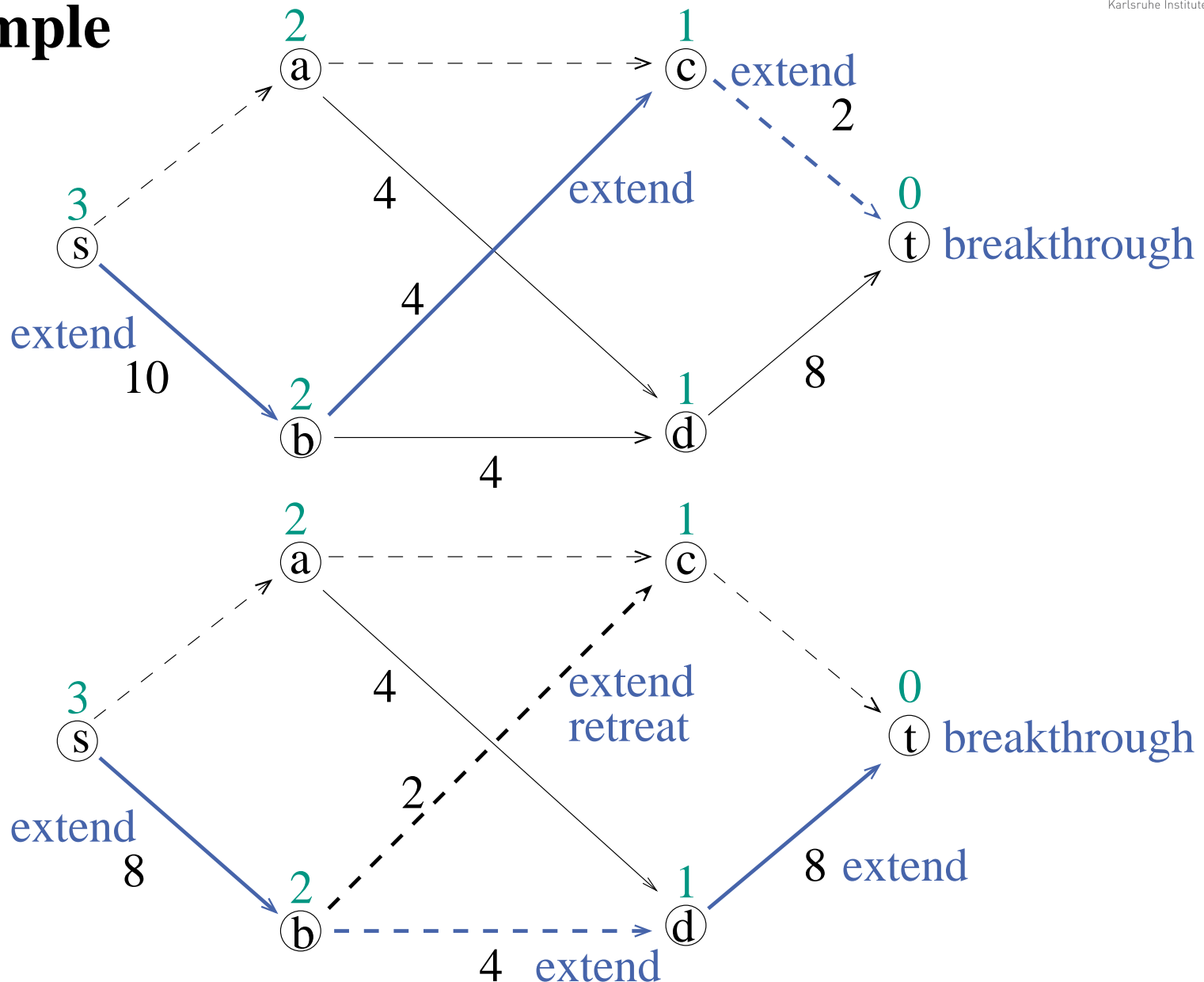
**else if**  $v = s$  **then return**  $f_b$  // done

**else** delete the last edge from  $p$  in  $p$  and  $E$  // retreat

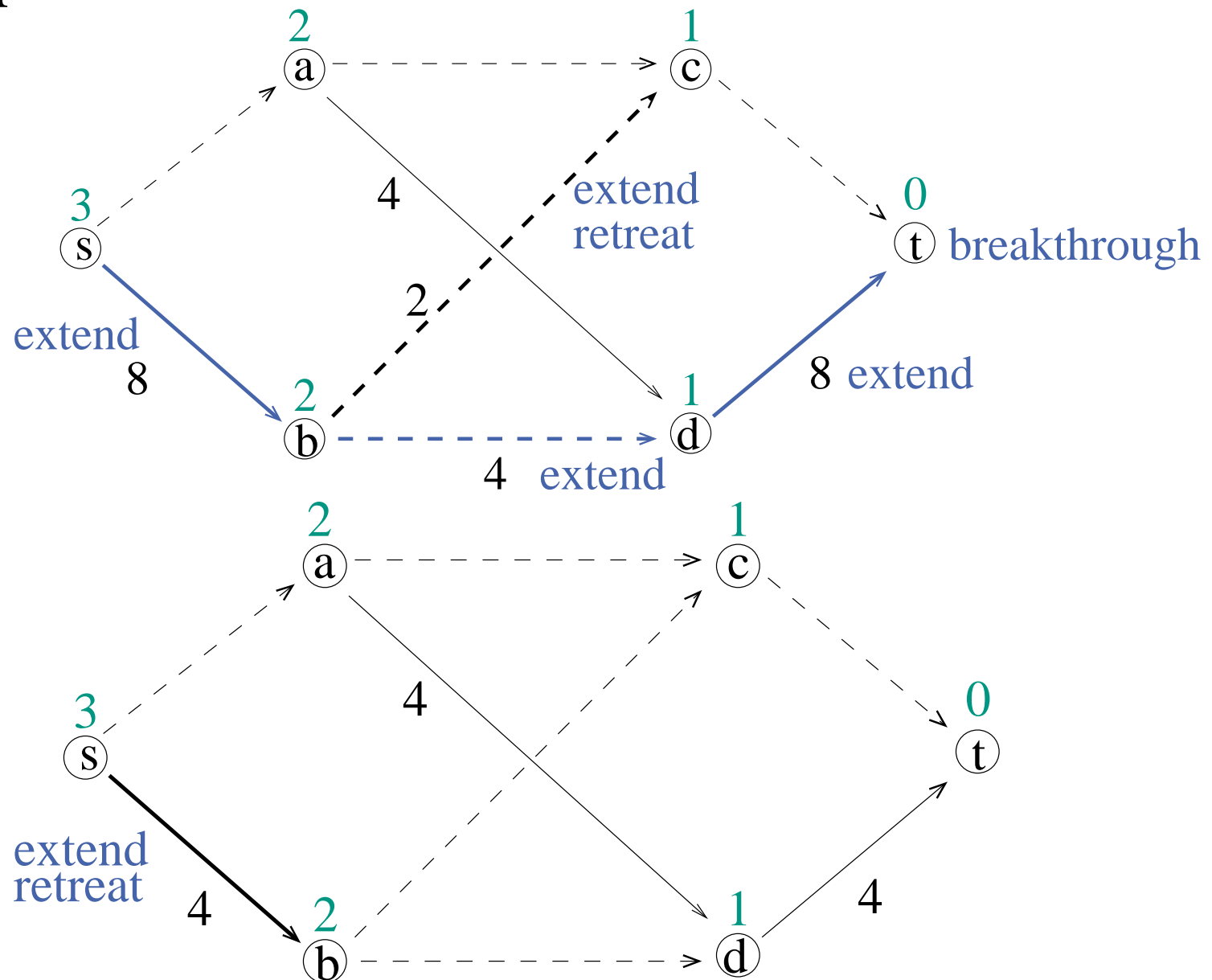
## Example



## Example



## Example



# Blocking Flows Analysis 1

- running time  $\#_{extends} + \#_{retreats} + n \cdot \#_{breakthroughs}$
- $\#_{breakthroughs} \leq m$ 
  - $\geq 1$  edge is saturated
- $\#_{retreats} \leq m$ 
  - one edge is removed
- $\#_{extends} \leq \#_{retreats} + n \cdot \#_{breakthroughs}$ 
  - a retreat cancels 1 extend, a breakthrough cancels  $\leq n$  extends

time is  $O(m + nm) = O(nm)$

## Blocking Flows Analysis 2

### Unit capacities:

breakthroughs saturates **all** edges on  $p$ , i.e., amortized constant cost per edge.

time  $O(m + n)$

## Blocking Flows Analysis 3

Dynamic trees: breakthrough (!), retreat, extend in time  $O(\log n)$

time  $O((m+n)\log n)$

“Theory alert”: In practice, this seems to be slower  
(few breakthroughs, many retreat, extend ops.)

# Dinitz Analysis 1

**Lemma 1.**  $d(s)$  increases by at least one in each round.

*Beweis.* not here



## Dinitz Analysis 2

- $\leq n$  rounds
  - time  $O(mn)$  each
- time  $O(mn^2)$  (**strongly polynomial**)
- time  $O(mn \log n)$  with dynamic trees

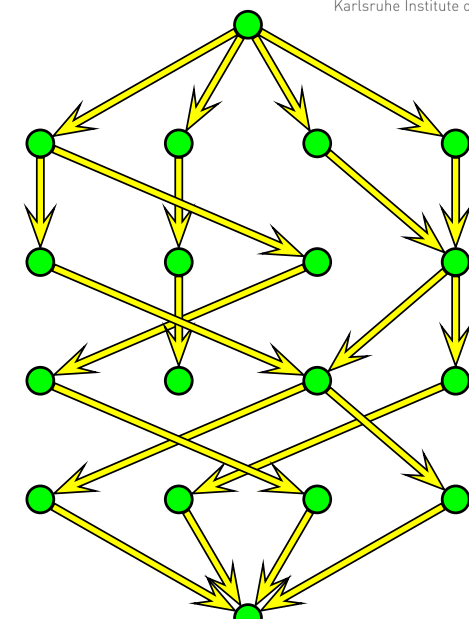
## Dinitz Analysis 3 – Unit Capacities

**Lemma 2.** *At most  $2\sqrt{m}$  BF computations:*

*Beweis.* Consider iteration  $k = \sqrt{m}$ .

Cut in layergraph induces cut in residual graph of capacity at most  $\sqrt{m}$ .

At most  $\sqrt{m}$  additional phases.



Total time:  $O((m+n)\sqrt{m})$

more detailed analysis:  $O(m \min \{m^{1/2}, n^{2/3}\})$

## Dinitz Analysis 4 – Unit Networks

Unit capacity +  $\forall v \in V : \min \{\text{indegree}(v), \text{outdegree}(v)\} = 1$ :

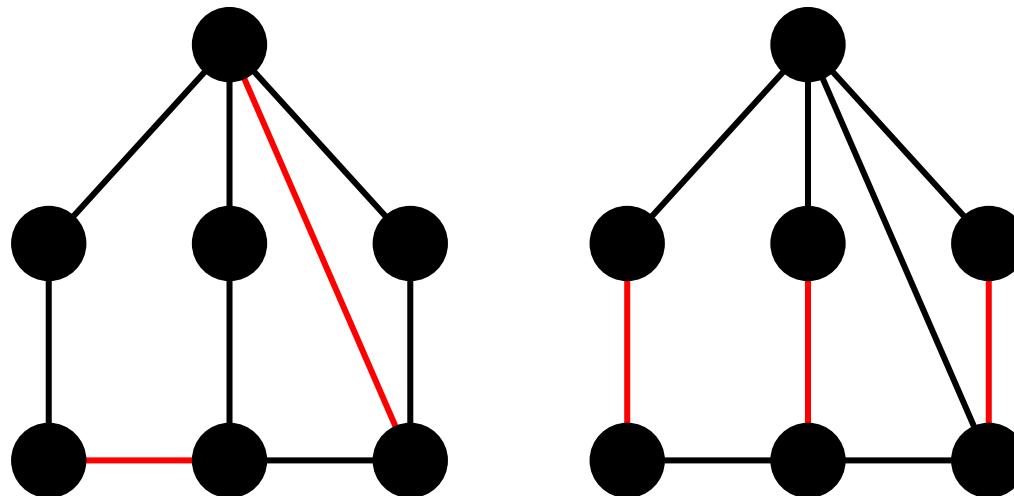
time:  $O((m+n)\sqrt{n})$

# Matching

$M \subseteq E$  is a **matching** in the undirected graph  $G = (V, E)$  iff  
 $(V, M)$  has maximum degree  $\leq 1$ .

$M$  is **maximal** if  $\nexists e \in E \setminus M : M \cup \{e\}$  is a matching.

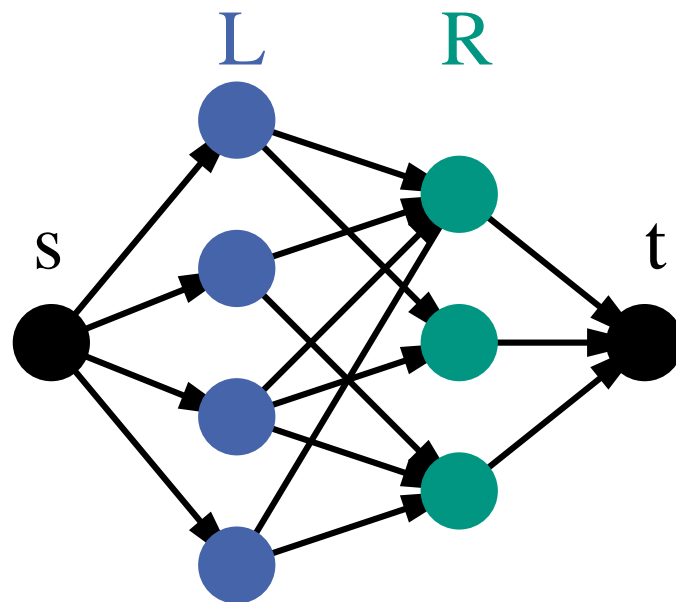
$M$  has **maximum** cardinality if  $\nexists$  matching  $M' : |M'| > |M|$



# Maximum Cardinality Bipartite Matching

in  $(L \cup R, E)$ . Model as a **unit network maximum flow** problem

$$(\{s\} \cup L \cup R \cup \{t\}, \{(s, u) : u \in L\} \cup E \cup \{(\nu, t) : \nu \in R\})$$

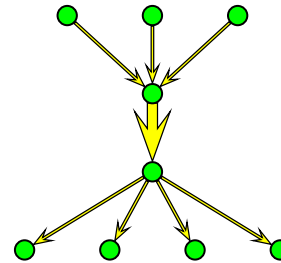


Dinitz algorithm yields  $O((n + m)\sqrt{n})$  algorithm

## Similar Performance for Weighted Graphs?

time:  $O\left(m \min\left\{m^{1/2}, n^{2/3}\right\} \log C\right)$  [Goldberg Rao 97]

**Problem:** Fat edges between layers ruin the argument



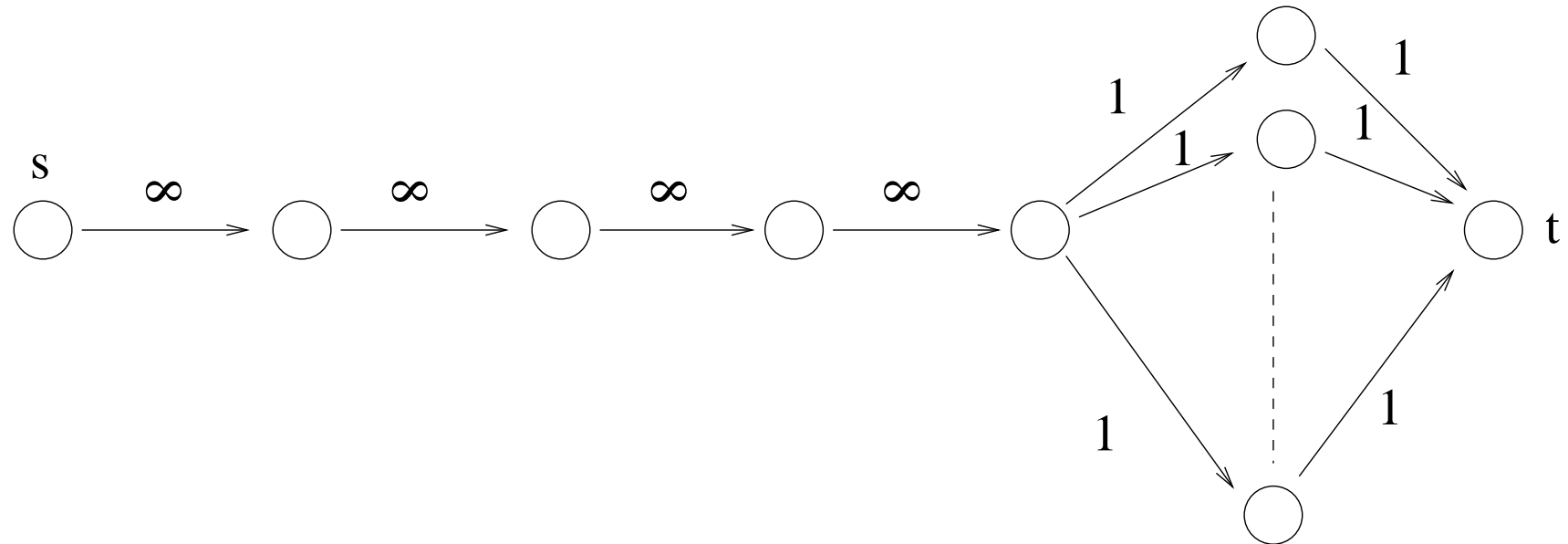
Idea: **scale** a parameter  $\Delta$  from small to large

contract SCCs of fat edges (capacity  $> \Delta$ )

Experiments [Hagerup, Sanders Träff 98]:

Sometimes best algorithm usually slower than **preflow push**

# Disadvantage of augmenting paths algorithms



# Preflow-Push Algorithms

Preflow  $f$ : a flow where the **flow conservation** constraint is **relaxed** to

$$\text{excess}(v) := \overbrace{\sum_{(u,v) \in E} f_{(u,v)}}^{\text{inflow}} - \overbrace{\sum_{(v,w) \in E} f_{(v,w)}}^{\text{outflow}} \geq 0 .$$

$v \in V \setminus \{s, t\}$  is **active** iff  $\text{excess}(v) > 0$

**Procedure**  $\text{push}(e = (v, w), \delta)$

**assert**  $\delta > 0 \quad \wedge \quad \text{excess}(v) \geq \delta$

**assert** residual capacity of  $e \geq \delta$

$\text{excess}(v)- = \delta$

$\text{excess}(w)+ = \delta$

**if**  $e$  is reverse edge **then**  $f(\text{reverse}(e))- = \delta$

**else**  $f(e)+ = \delta$

# Level Function

Idea: make progress by pushing **towards**  $t$

Maintain

an **approximation**  $d(v)$  of the BFS distance from  $v$  to  $t$  **in**  $G_f$ .

**invariant**  $d(t) = 0$

**invariant**  $d(s) = n$

**invariant**  $\forall (v, w) \in E_f : d(v) \leq d(w) + 1$       // no **steep** edges

Edge directions of  $e = (v, w)$

**steep**:  $d(w) < d(v) - 1$

**downward**:  $d(w) < d(v)$

**horizontal**:  $d(w) = d(v)$

**upward**:  $d(w) > d(v)$

```

Procedure genericPreflowPush(G=(V,E), f)
  forall  $e = (s, v) \in E$  do push( $e, c(e)$ )           // saturate
   $d(s) := n$ 
   $d(v) := 0$  for all other nodes
  while  $\exists v \in V \setminus \{s, t\} : \text{excess}(v) > 0$  do           // active node
    if  $\exists e = (v, w) \in E_f : d(w) < d(v)$  then // eligible edge
      choose some  $\delta \leq \min \left\{ \text{excess}(v), c_e^f \right\}$ 
      push( $e, \delta$ )                                // no new steep edges
    else  $d(v)++$                                 // relabel. No new steep edges
  
```

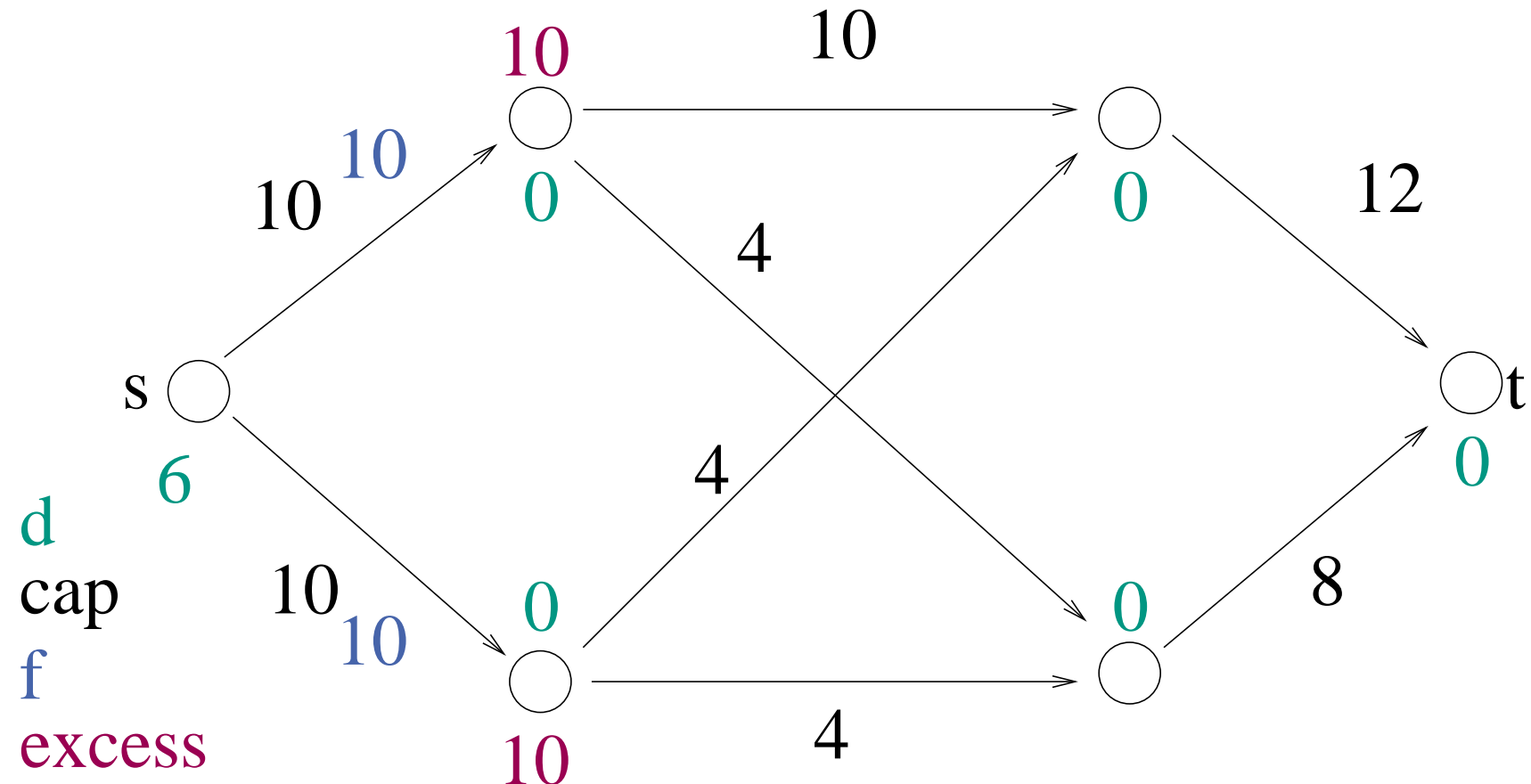
Obvious choice for  $\delta$ :  $\delta = \min \left\{ \text{excess}(v), c_e^f \right\}$

Saturating push:  $\delta = c_e^f$

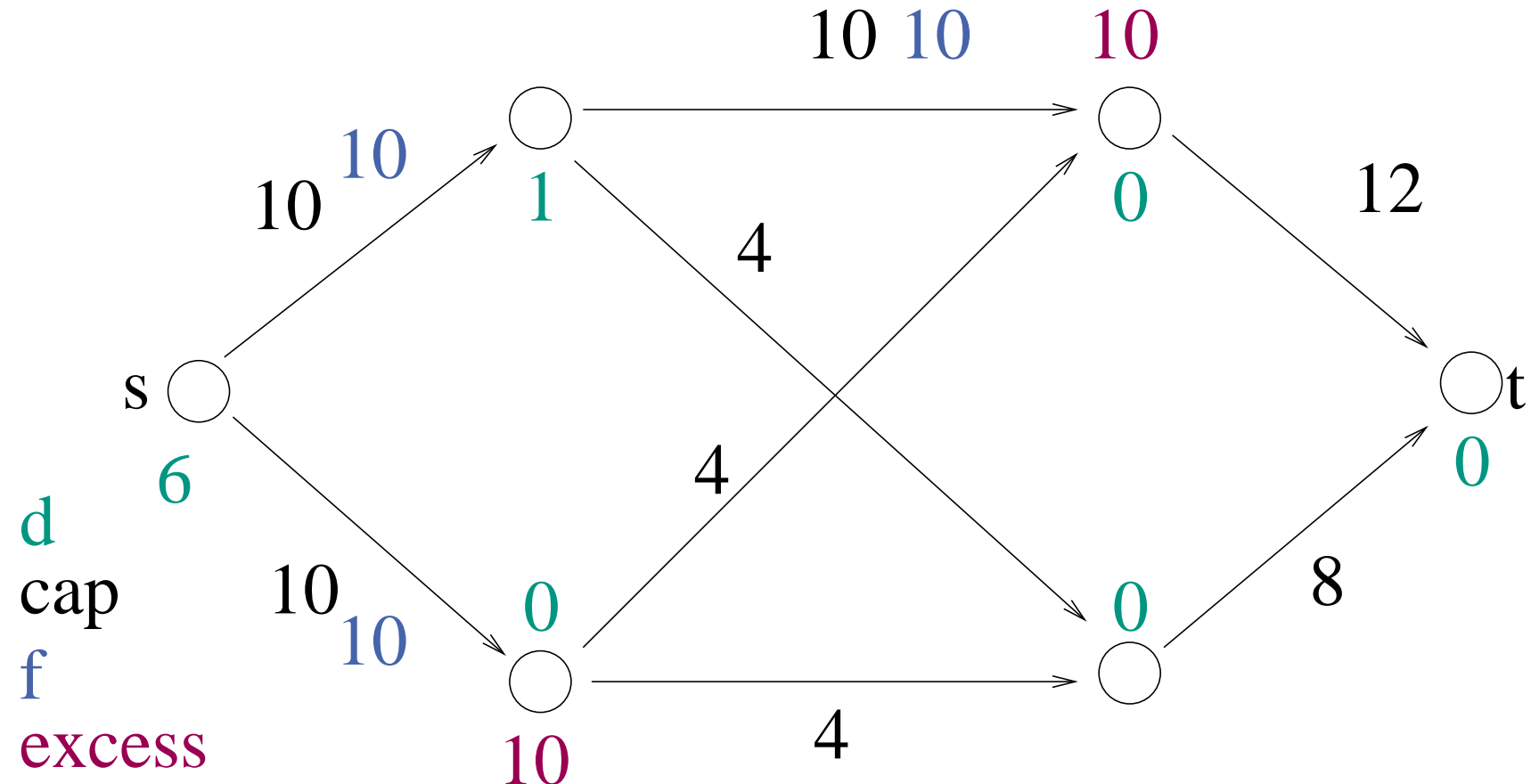
nonsaturating push:  $\delta < c_e^f$

To be filled in: How to select active nodes and eligible edges?

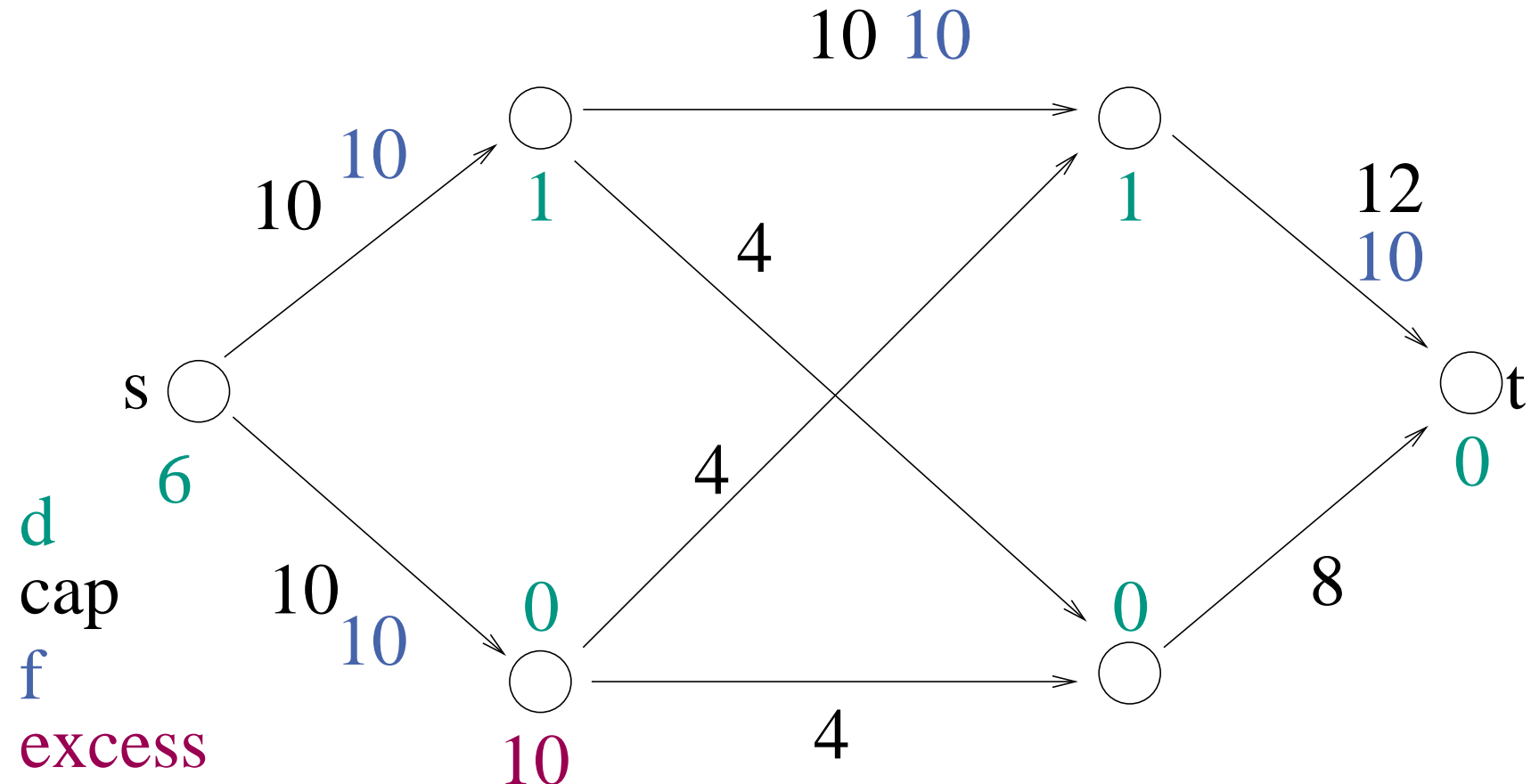
## Example



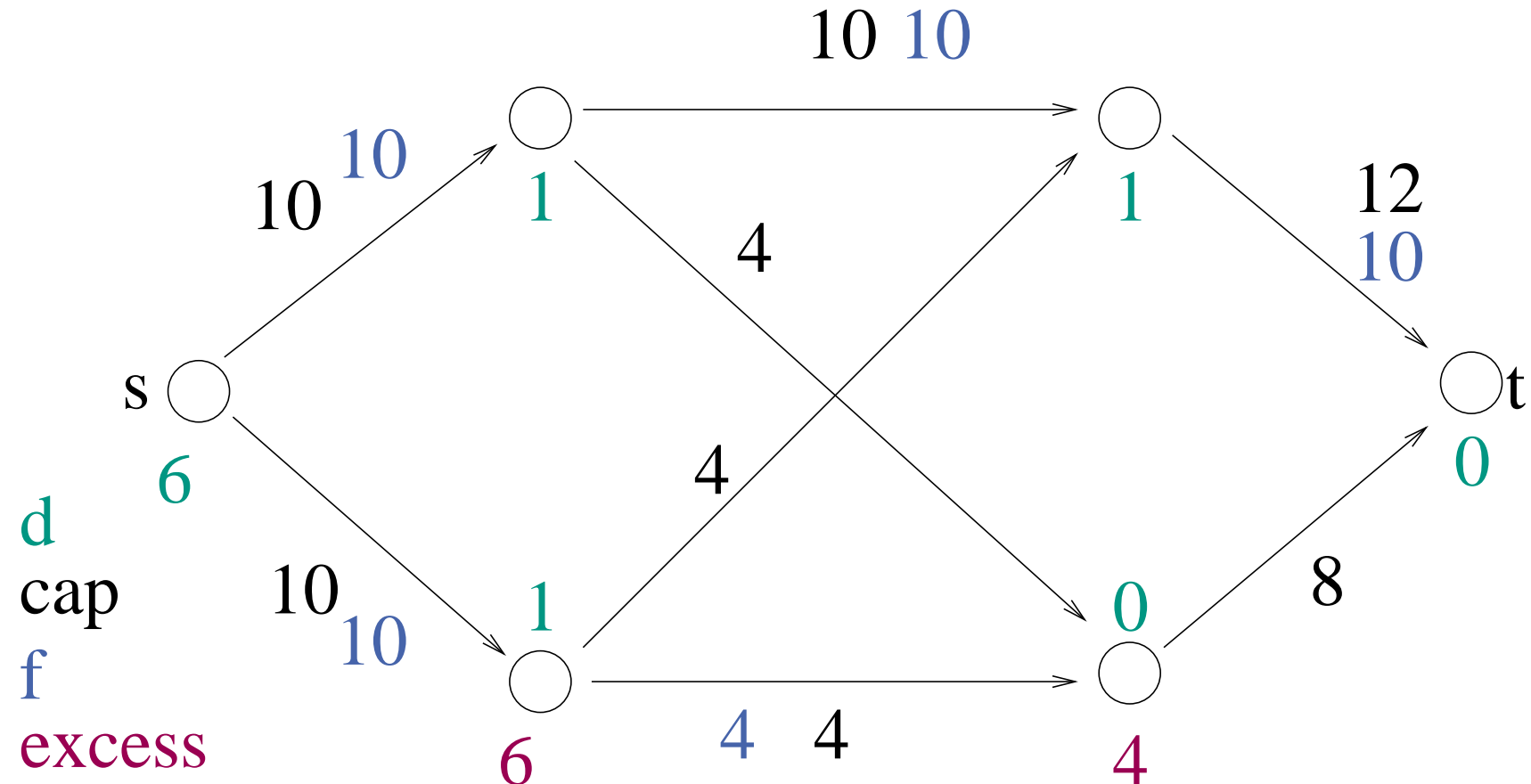
## Example



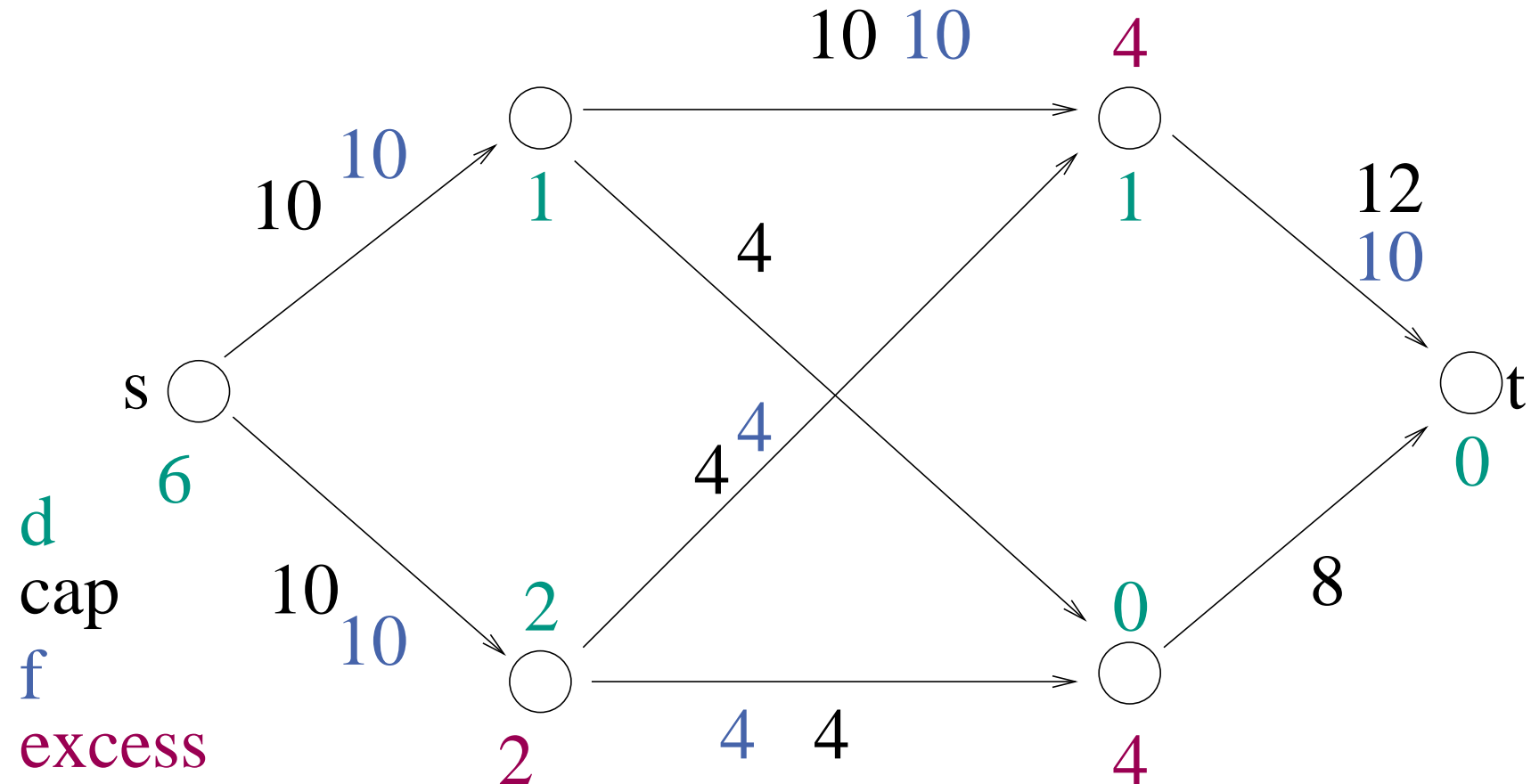
## Example



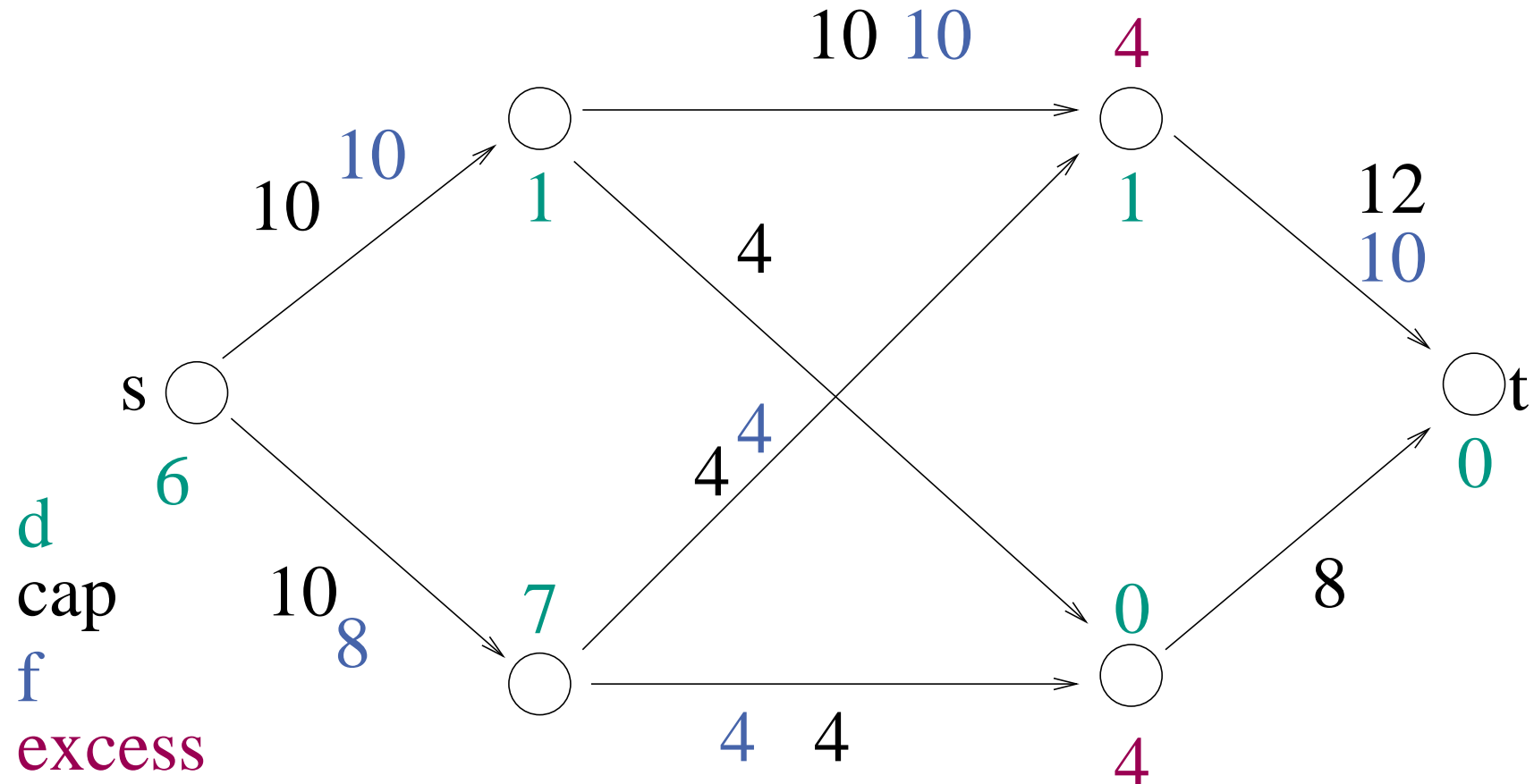
## Example



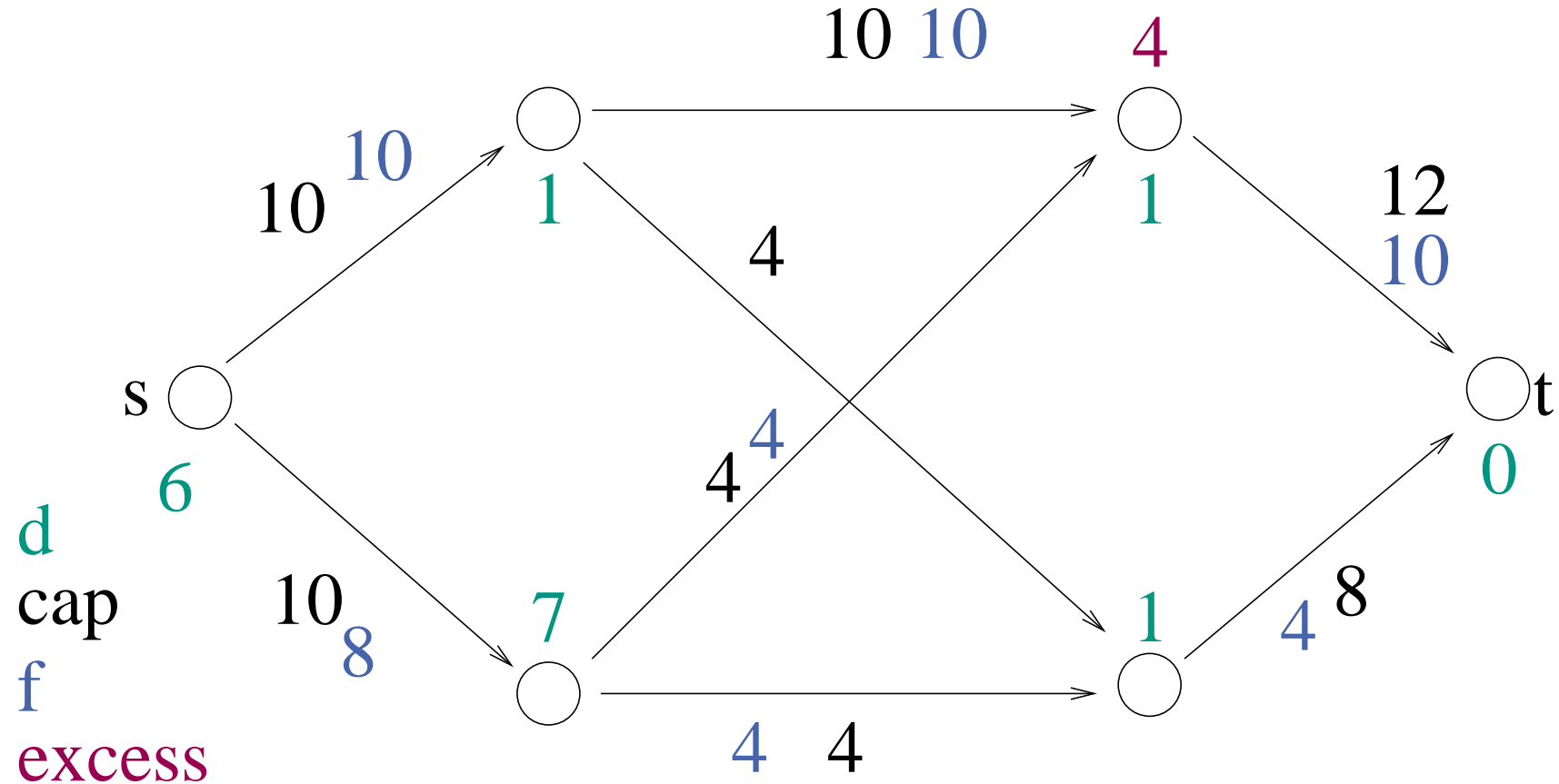
## Example



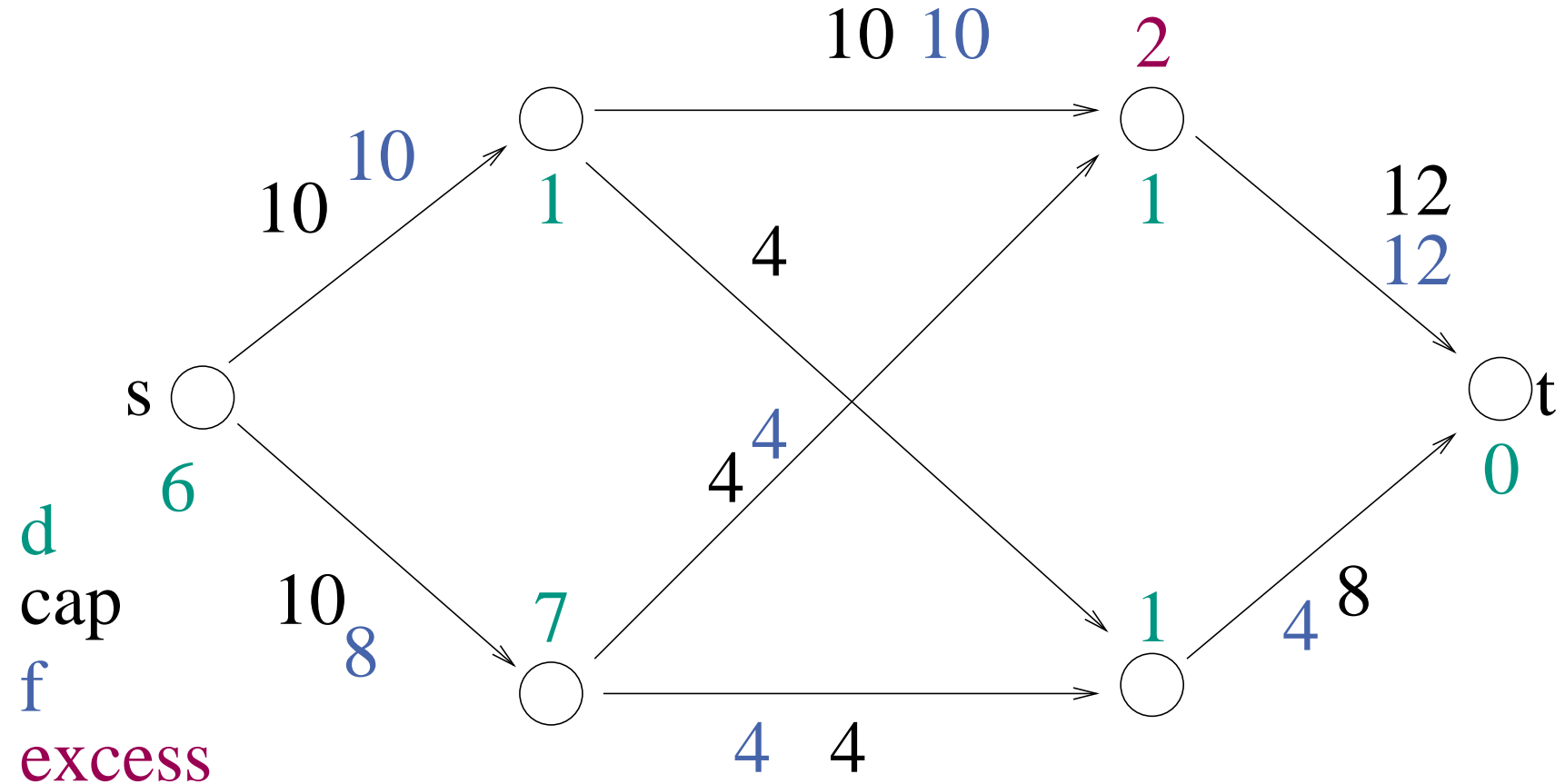
## Example



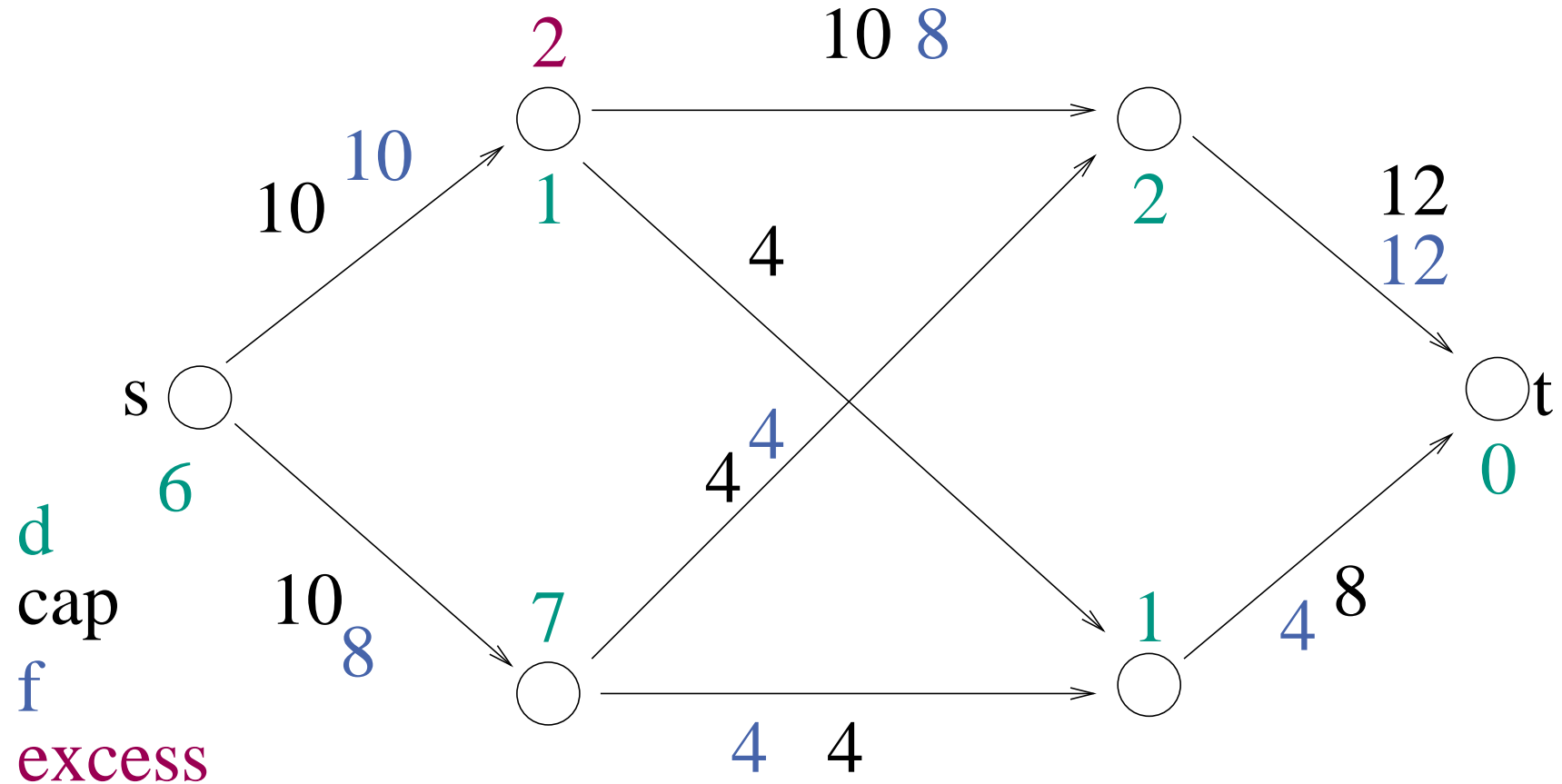
## Example



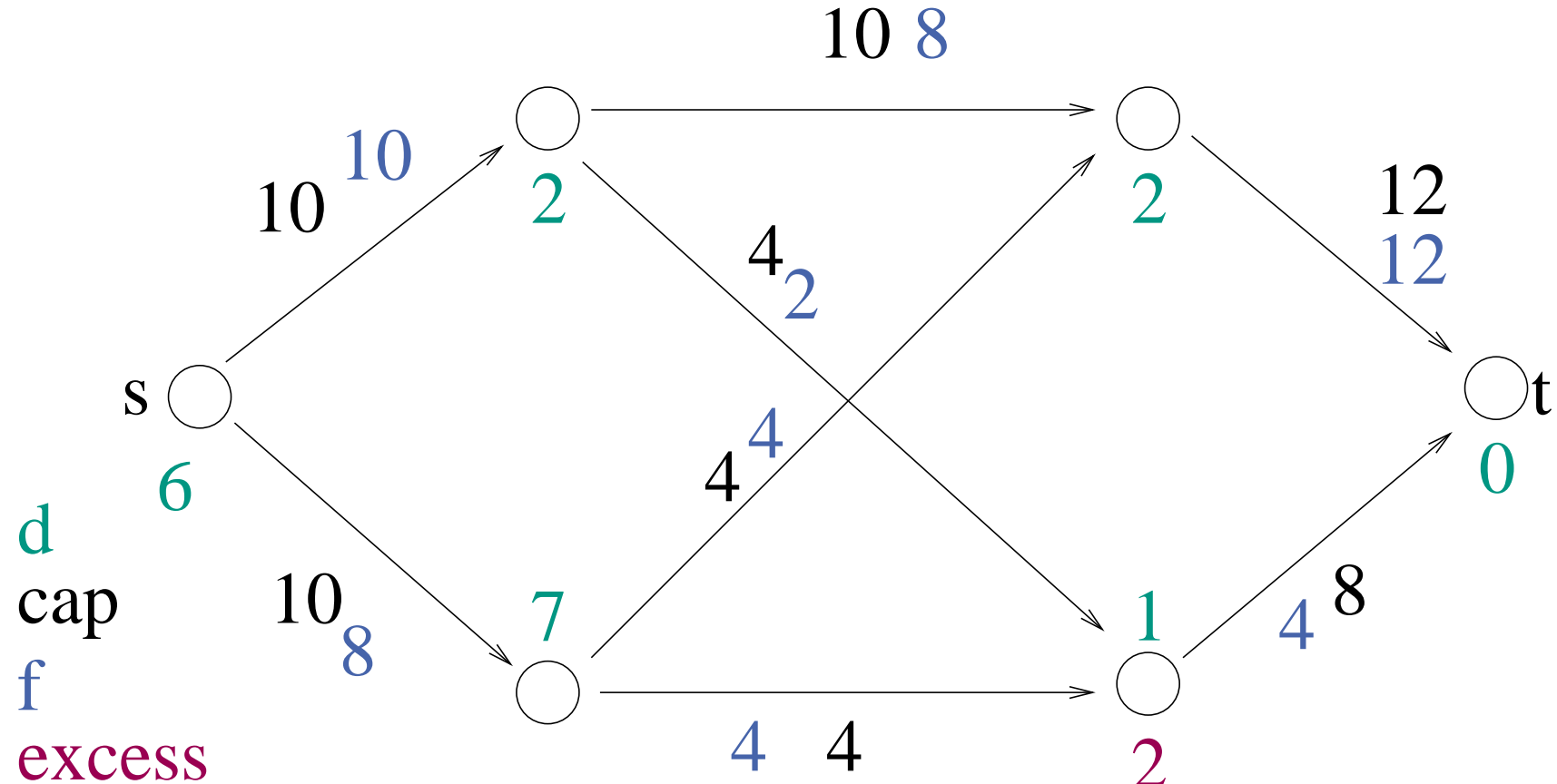
## Example



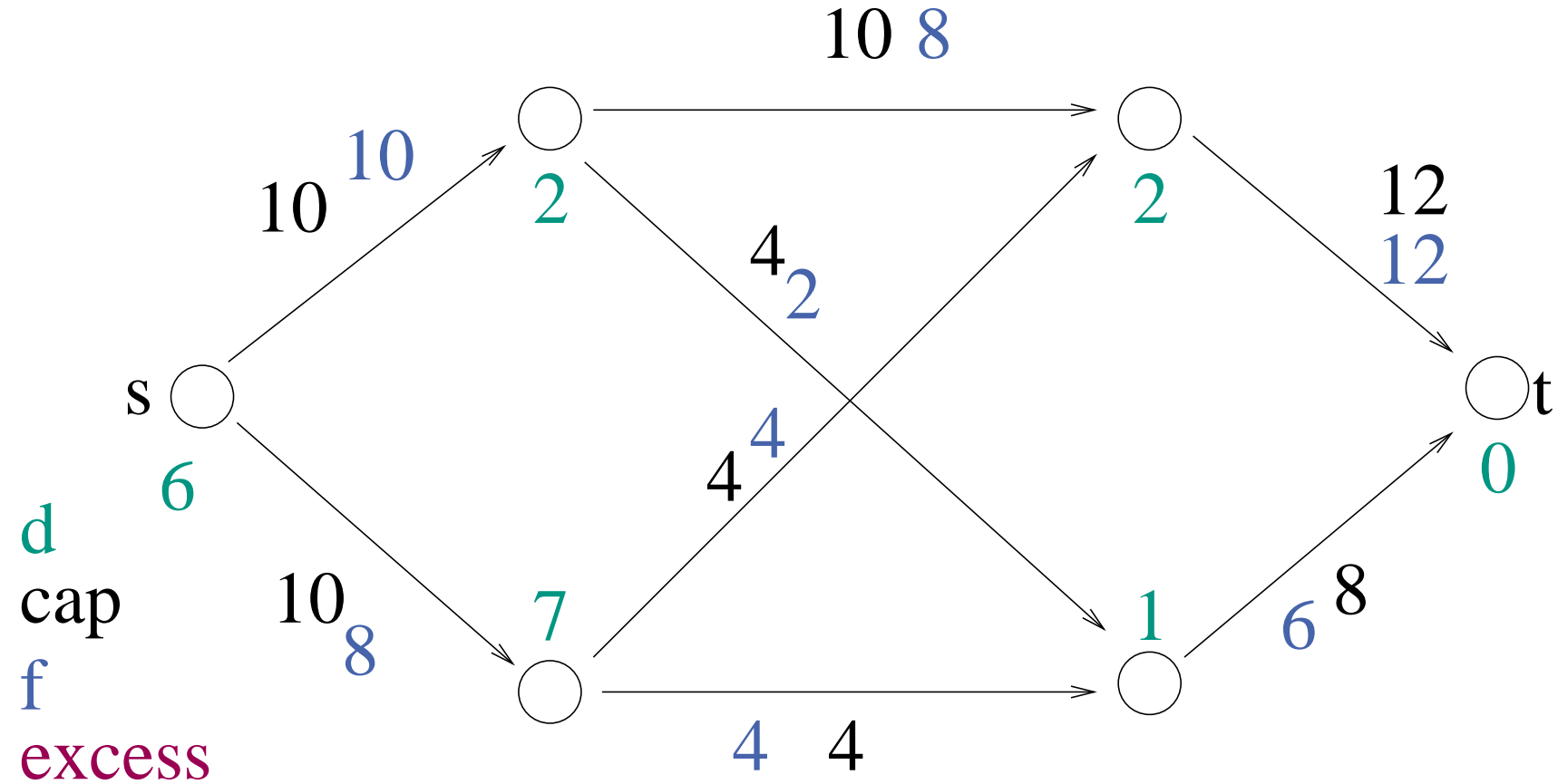
## Example



## Example



## Example



12 pushes in total

## Partial Correctness

**Lemma 3.** *When genericPreflowPush terminates  
 $f$  is a maximal flow.*

*Beweis.*

$f$  is a **flow** since  $\forall v \in V \setminus \{s, t\} : \text{excess}(v) = 0$ .

To show that  $f$  is **maximal**, it suffices to show that

$\nexists$  path  $p = \langle s, \dots, t \rangle \in G_f$  (Max-Flow Min-Cut Theorem):

Since  $d(s) = n, d(t) = 0$ ,  $p$  would have to contain steep edges.

That would be a contradiction. □

**Lemma 4.** For any cut  $(S, T)$ ,

$$\sum_{u \in S} \text{excess}(u) = \sum_{e \in E \cap (T \times S)} f(e) - \sum_{e \in E \cap (S \times T)} f(e),$$

**Proof:**

$$\sum_{u \in S} \text{excess}(u) = \sum_{u \in S} \left( \sum_{(v,u) \in E} f((v,u)) - \sum_{(u,v) \in E} f((u,v)) \right)$$

Contributions of edge  $e$  to sum:

$S$  to  $T$ :  $-f(e)$

$T$  to  $S$ :  $f(e)$

within  $S$ :  $f(e) - f(e) = 0$

within  $T$ : 0

■

**Lemma 5.**

$$\forall \text{ active nodes } v : \text{excess}(v) > 0 \Rightarrow \exists \text{ path } \langle v, \dots, s \rangle \in G_f$$

Intuition: what got there can always go back.

*Beweis.*  $S := \{u \in V : \exists \text{ path } \langle v, \dots, u \rangle \in G_f\}$ ,  $T := V \setminus S$ . Then

$$\sum_{u \in S} \text{excess}(u) = \sum_{e \in E \cap (T \times S)} f(e) - \sum_{e \in E \cap (S \times T)} f(e),$$

$$\forall (u, w) \in E_f : u \in S \Rightarrow w \in S \quad \text{by Def. of } G_f, S$$

$$\Rightarrow \forall e = (u, w) \in E \cap (T \times S) : f(e) = 0 \quad \text{Otherwise } (w, u) \in E_f$$

Hence,  $\sum_{u \in S} \text{excess}(u) \leq 0$

Only the negative excess of  $s$  can outweigh  $\text{excess}(v) > 0$ .

Hence  $s \in S$ . □

## Lemma 6.

$$\forall v \in V : d(v) < 2n$$

*Beweis.*

Suppose  $v$  is lifted to  $d(v) = 2n$ .

By the Lemma 2, there is a (simple) path  $p$  to  $s$  in  $G_f$ .

$p$  has at most  $n - 1$  nodes

$$d(s) = n.$$

Hence  $d(v) < 2n$ . Contradiction (no steep edges). □

**Lemma 7.** # Relabel operations  $\leq 2n^2$

*Beweis.*  $d(v) \leq 2n$ , i.e.,  $v$  is relabeled at most  $2n$  times.

Hence, at most  $|V| \cdot 2n = 2n^2$  relabel operations. □

**Lemma 8.**  $\# \text{saturating pushes} \leq nm$ 

*Beweis.*

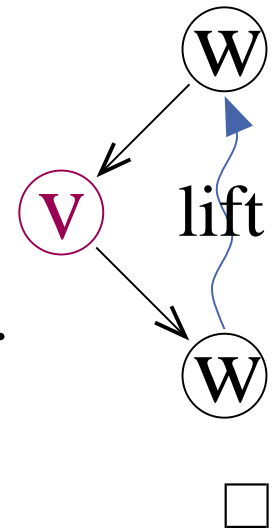
We show that there are **at most  $n$  sat. pushes** over any edge  $e = (v, w)$ .

A saturating push( $e, \delta$ ) **removes  $e$**  from  $E_f$ .

Only a **push on  $(w, v)$**  can **reinsert  $e$**  into  $E_f$ .

For this to happen,  $w$  must be **lifted** at least two levels.

Hence, at most  $2n/2 = n$  saturating pushes over  $(v, w)$



**Lemma 9.**  $\# \text{nonsaturating pushes} = O(n^2m)$

if  $\delta = \min \left\{ \text{excess}(v), c_e^f \right\}$

for *arbitrary* node and edge selection rules.  
*(arbitrary-preflow-push)*

*Beweis.*  $\Phi := \sum_{\{v: v \text{ is active}\}} d(v).$  (Potential)

$\Phi = 0$  initially **and** at the end (no active nodes left!)

| Operation          | $\Delta(\Phi)$ | How many times? | Total effect |
|--------------------|----------------|-----------------|--------------|
| relabel            | 1              | $\leq 2n^2$     | $\leq 2n^2$  |
| saturating push    | $\leq 2n$      | $\leq nm$       | $\leq 2n^2m$ |
| nonsaturating push | $\leq -1$      |                 |              |

$\Phi \geq 0$  always. □

# Searching for Eligible Edges

Every node  $v$  maintains a `currentEdge` pointer to its sequence of outgoing edges in  $G_f$ .

**invariant** no edge  $e = (v, w)$  to the left of `currentEdge` is eligible

Reset `currentEdge` at a relabel  $(\leq 2n \times)$

Invariant cannot be violated by a push over a reverse edge  $e' = (w, v)$  since this only happens when  $e'$  is downward, i.e.,  $e$  is upward and hence not eligible.

## Lemma 10.

*Total cost for searching*  $\leq \sum_{v \in V} 2n \cdot \text{degree}(v) = 4nm = \mathcal{O}(nm)$

**Satz 11.** *Arbitrary Preflow Push finds a maximum flow in time  $O(n^2m)$ .*

*Beweis.*

Lemma 3: partial correctness

Initialization in time  $O(n + m)$ .

Maintain set (e.g., stack, FIFO) of active nodes.

Use reverse edge pointers to implement push.

Lemma 7:  $2n^2$  relabel operations

Lemma 8:  $nm$  saturating pushes

Lemma 9:  $O(n^2m)$  nonsaturating pushes

Lemma 10:  $O(nm)$  search time for eligible edges

---

Total time  $O(n^2m)$



## FIFO Preflow push

**Examine a node:** Saturating pushes until nonsaturating push or relabel.

Examine all nodes in phases (or use FIFO queue).

**Theorem:** time  $O(n^3)$

**Proof:** not here

## Highest Level Preflow Push

Always select active nodes that **maximize  $d(v)$**

Use **bucket priority queue** (insert, increaseKey, deleteMax)

not monotone (!) but **relabels** “pay” for scan operations

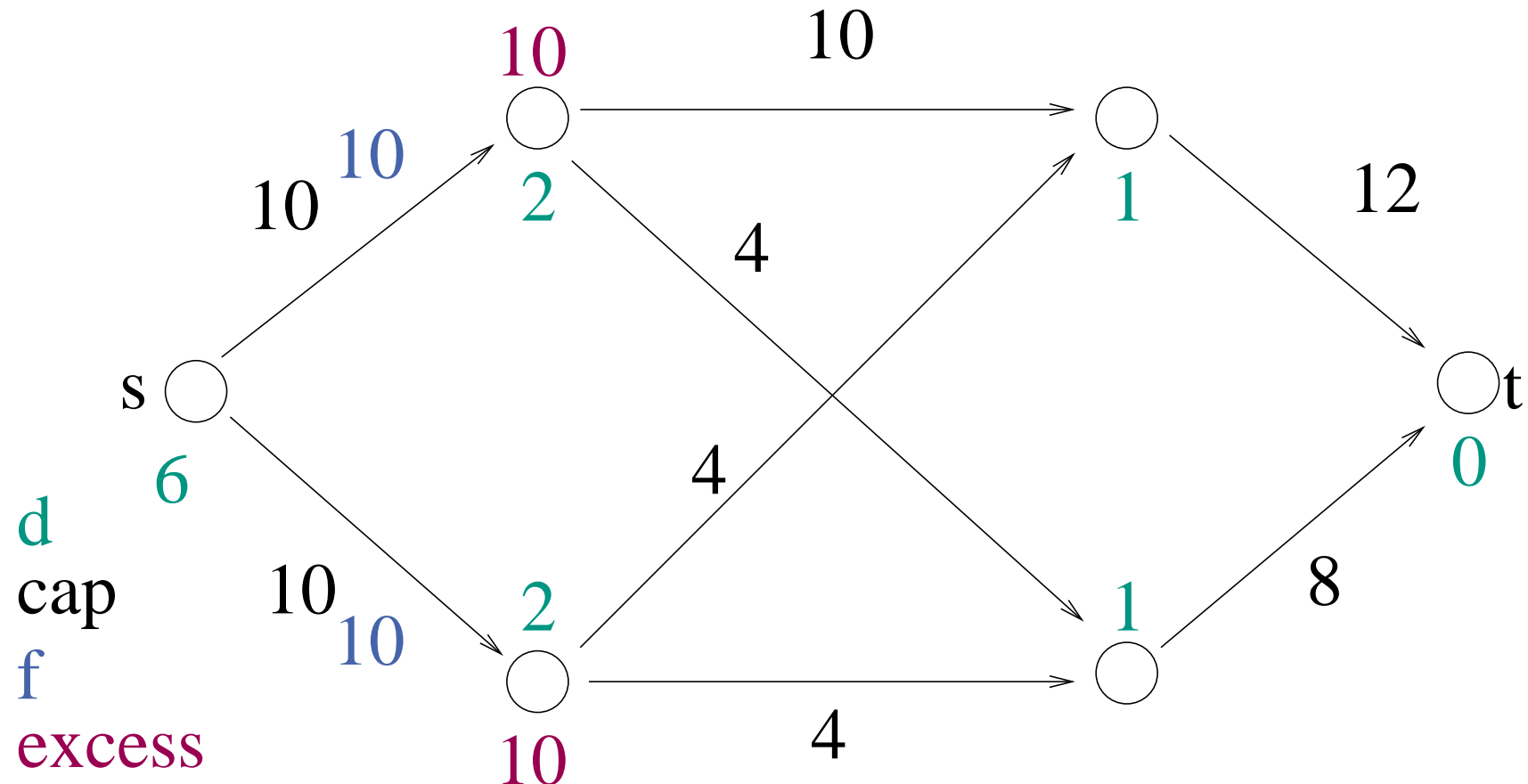
**Lemma 12.** *At most  $n^2\sqrt{m}$  nonsaturating pushes.*

*Beweis.* later

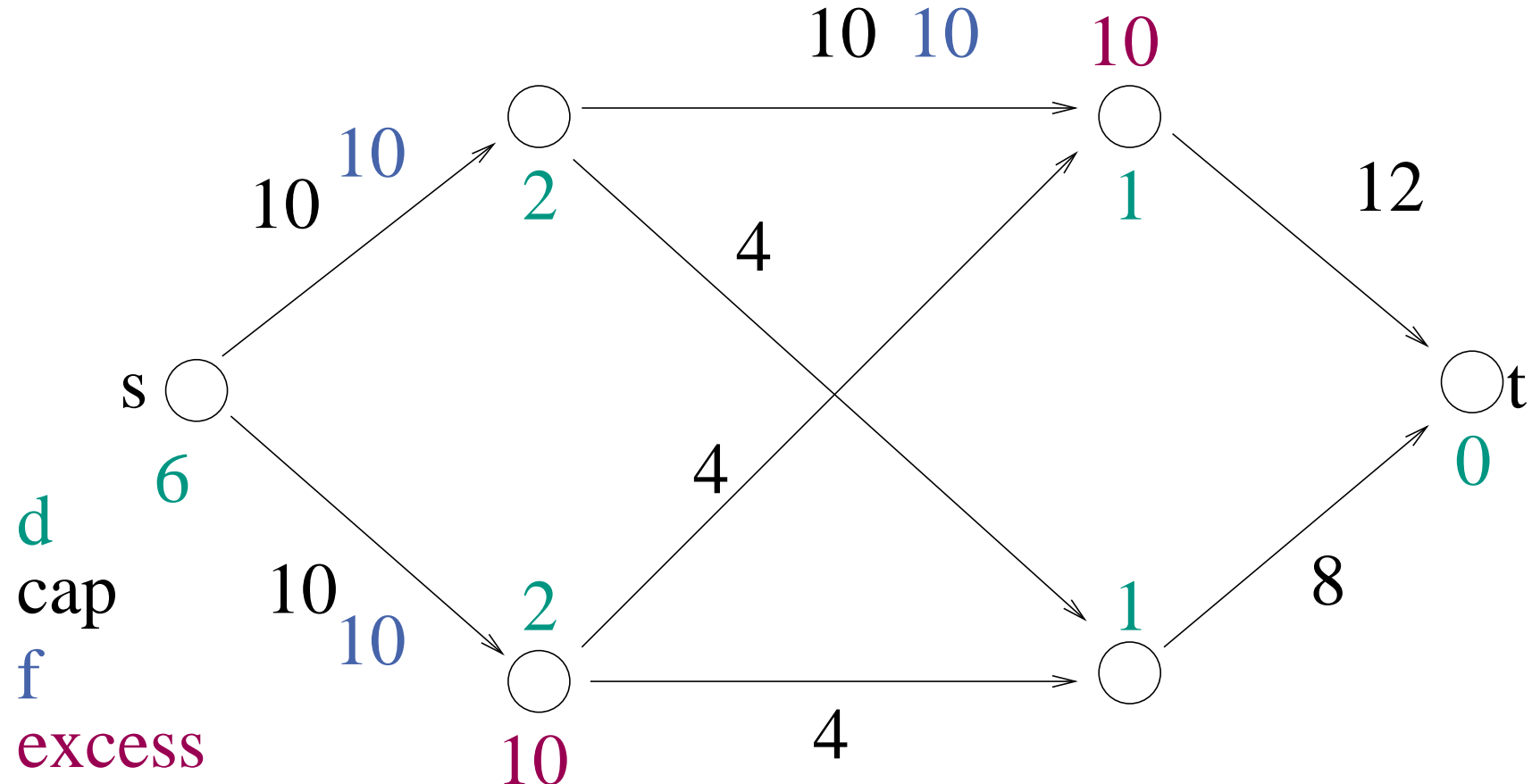
□

**Satz 13.** *Highest Level Preflow Push finds a maximum flow in time  $O(n^2\sqrt{m})$ .*

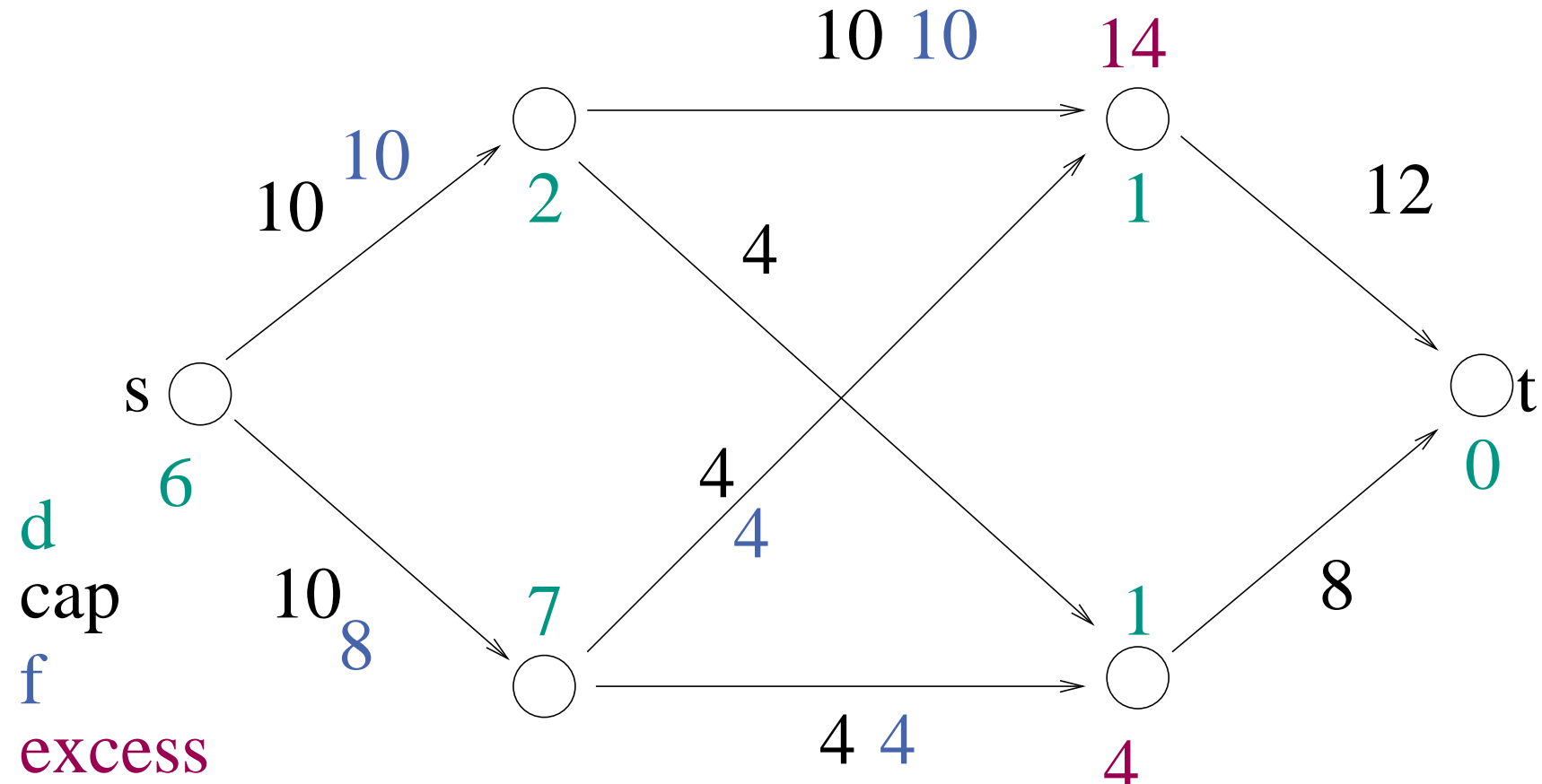
## Example



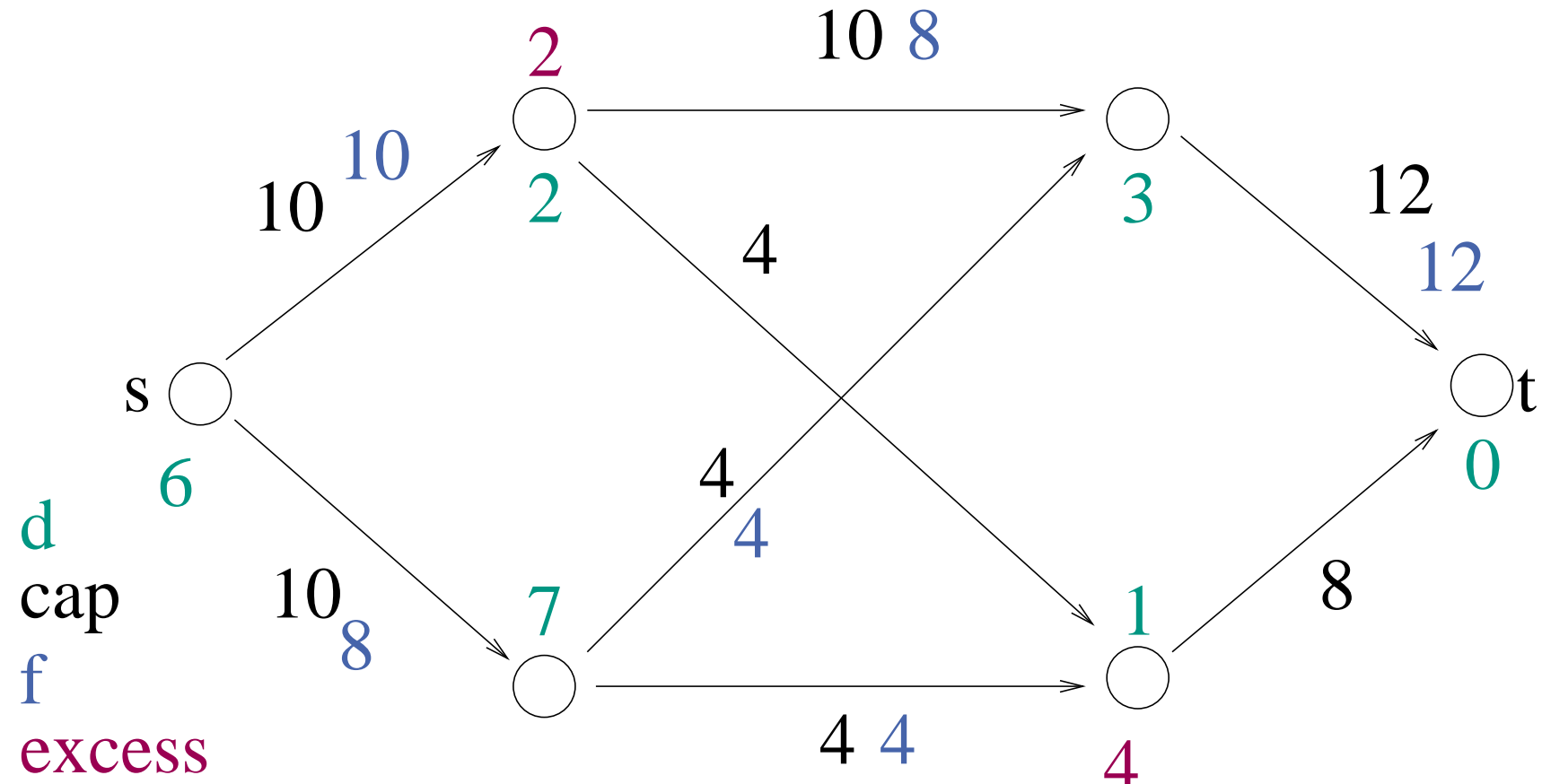
## Example



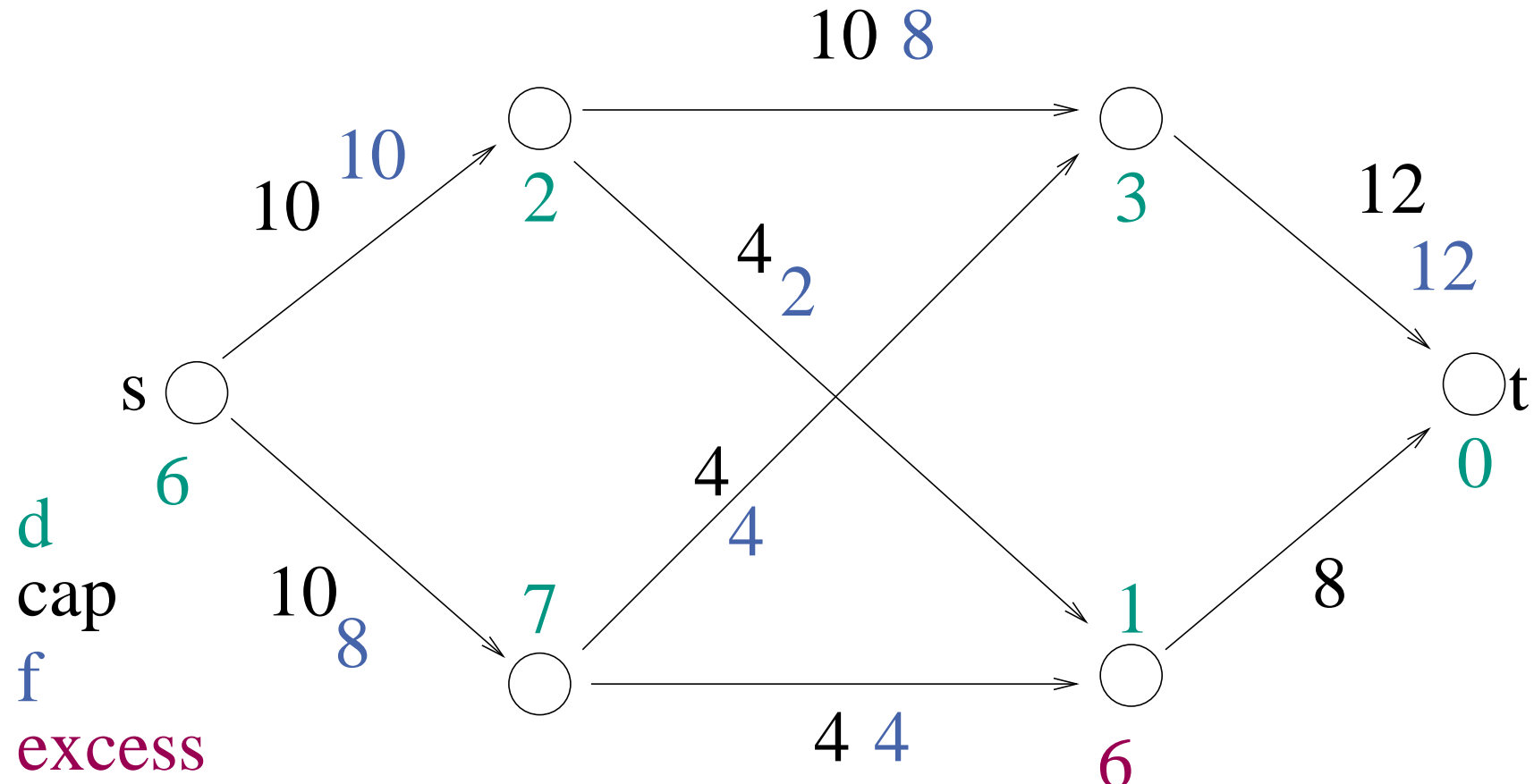
## Example



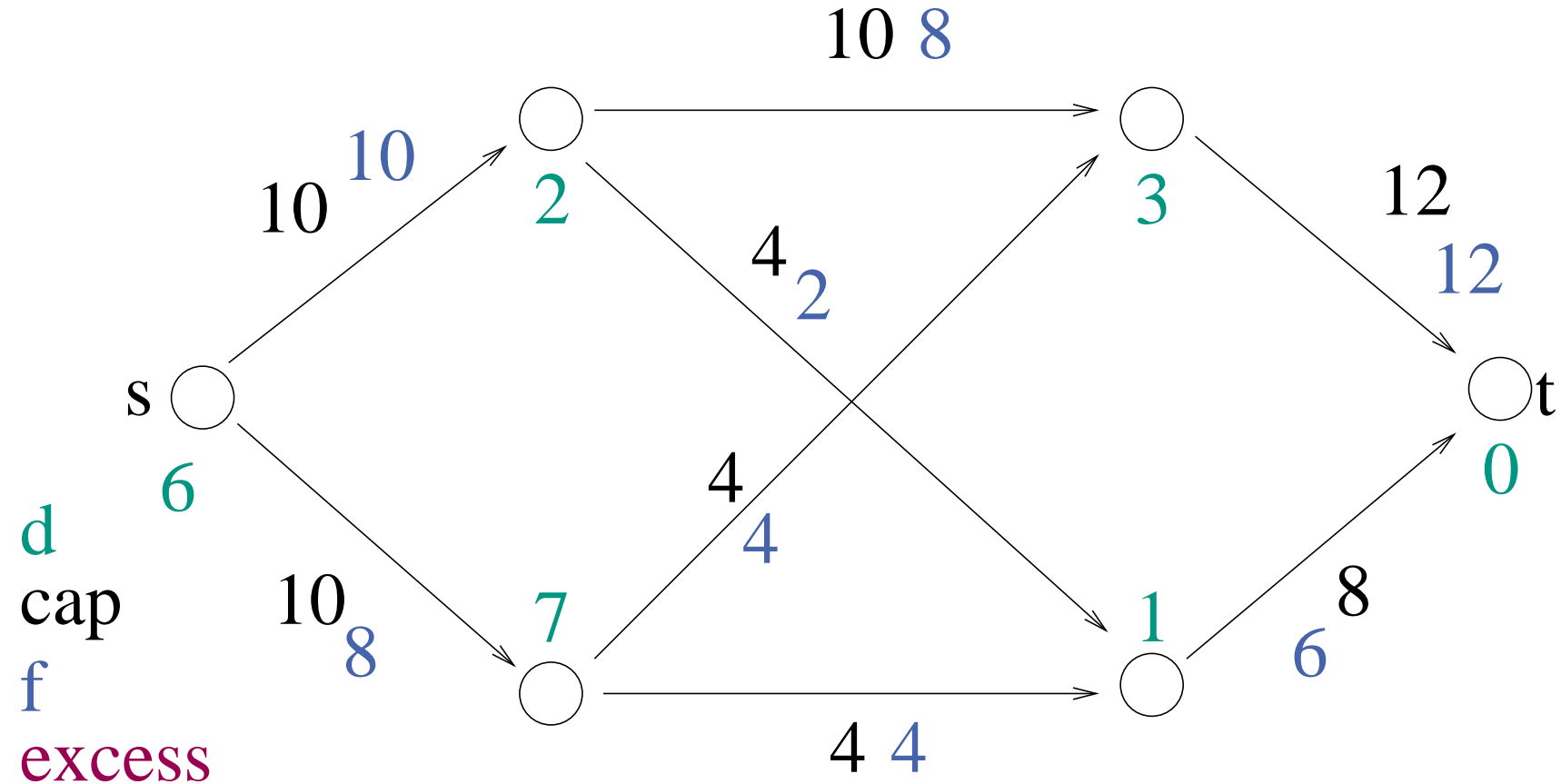
## Example



## Example



## Example



9 pushes in total, 3 less than before

## Proof of Lemma 12

$$K := \sqrt{m}$$

tuning parameter

$$d'(v) := \frac{|\{w : d(w) \leq d(v)\}|}{K}$$

scaled number of dominated nodes

$$\Phi := \sum_{\{v : v \text{ is active}\}} d'(v).$$

(Potential)

$$d^* := \max \{d(v) : v \text{ is active}\}$$

(highest level)

**phase**:= all pushes between two consecutive changes of  $d^*$

**expensive phase**: more than  $K$  pushes

**cheap phase**: otherwise

## Claims:

1.  $\leq 4n^2K$  nonsaturating pushes in all cheap phases together
2.  $\Phi \geq 0$  always,  $\Phi \leq n^2/K$  initially (obvious)
3. a relabel or saturating push increases  $\Phi$  by at most  $n/K$ .
4. a nonsaturating push does not increase  $\Phi$ .
5. an expensive phase with  $Q \geq K$  nonsaturating pushes decreases  $\Phi$  by at least  $Q$ .

**Lemma 7 + Lemma 8 + 2. + 3. + 4.  $\Rightarrow$**

$$\text{total possible decrease} \leq (2n^2 + nm) \frac{n}{K} + \frac{n^2}{K}$$

This + 5.  $\leq \frac{2n^3 + n^2 + mn^2}{K}$  nonsaturating pushes in **expensive** phases

This + 1.  $\leq \frac{2n^3 + n^2 + mn^2}{K} + 4n^2K = O(n^2\sqrt{m})$  nonsaturating pushes overall for  $K = \sqrt{m}$

| Operation | Amount |
|-----------|--------|
| Relabel   | $2n^2$ |
| Sat.push  | $nm$   |



## Claims:

1.  $\leq 4n^2K$  nonsaturating pushes in all cheap phases together

We first show that there are at most  $4n^2$  phases

(changes of  $d^* = \max \{d(v) : v \text{ is active}\}$ ).

$d^* = 0$  initially,  $d^* \geq 0$  always.

Only **relabel** operations increase  $d^*$ , i.e.,

$\leq 2n^2$  increases by **Lemma 7** and hence

$\leq 2n^2$  decreases

---

$\leq 4n^2$  changes overall

By definition of a cheap phase, it has at most  $K$  pushes.

## Claims:

1.  $\leq 4n^2K$  nonsaturating pushes in all cheap phases together
2.  $\Phi \geq 0$  always,  $\Phi \leq n^2/K$  initially (obvious)
3. a relabel or saturating push increases  $\Phi$  by at most  $n/K$ .

Let  $v$  denote the relabeled or activated node.

$$d'(v) := \frac{|\{w : d(w) \leq d(v)\}|}{K} \leq \frac{n}{K}$$

A relabel of  $v$  can increase only the  $d'$ -value of  $v$ .

A saturating push on  $(u, w)$  may activate only  $w$ .

## Claims:

1.  $\leq 4n^2K$  nonsaturating pushes in all cheap phases together
2.  $\Phi \geq 0$  always,  $\Phi \leq n^2/K$  initially (obvious)
3. a relabel or saturating push increases  $\Phi$  by at most  $n/K$ .
4. a nonsaturating push does not increase  $\Phi$ .

$v$  is deactivated ( $\text{excess}(v)$  is now 0)

$w$  may be activated

but  $d'(w) \leq d'(v)$  (we do not push flow away from the sink)

## Claims:

1.  $\leq 4n^2K$  nonsaturating pushes in all cheap phases together
2.  $\Phi \geq 0$  always,  $\Phi \leq n^2/K$  initially (obvious)
3. a relabel or saturating push increases  $\Phi$  by at most  $n/K$ .
4. a nonsaturating push does not increase  $\Phi$ .
5. an expensive phase with  $Q \geq K$  nonsaturating pushes decreases  $\Phi$  by at least  $Q$ .

During a phase  $d^*$  remains constant

Each nonsat. push decreases the number of nodes at level  $d^*$

Hence,  $|\{w : d(w) = d^*\}| \geq Q \geq K$  during an expensive phase

Each nonsat. push across  $(v, w)$  decreases  $\Phi$  by

$$\geq d'(v) - d'(w) \geq |\{w : d(w) = d^*\}| / K \geq K / K = 1$$

■

## Claims:

1.  $\leq 4n^2K$  nonsaturating pushes in all cheap phases together
2.  $\Phi \geq 0$  always,  $\Phi \leq n^2/K$  initially (obvious)
3. a relabel or saturating push increases  $\Phi$  by at most  $n/K$ .
4. a nonsaturating push does not increase  $\Phi$ .
5. an expensive phase with  $Q \geq K$  nonsaturating pushes decreases  $\Phi$  by at least  $Q$ .

**Lemma 7 + Lemma 8 + 2. + 3. + 4.  $\Rightarrow$**

$$\text{total possible decrease} \leq (2n^2 + nm) \frac{n}{K} + \frac{n^2}{K}$$

This + 5. :  $\leq \frac{2n^3 + n^2 + mn^2}{K}$  nonsaturating pushes in **expensive** phases

This + 1. :  $\leq \frac{2n^3 + n^2 + mn^2}{K} + 4n^2K = O(n^2\sqrt{m})$  nonsaturating pushes overall for  $K = \sqrt{m}$

| Operation | Amount |
|-----------|--------|
| Relabel   | $2n^2$ |
| Sat.push  | $nm$   |



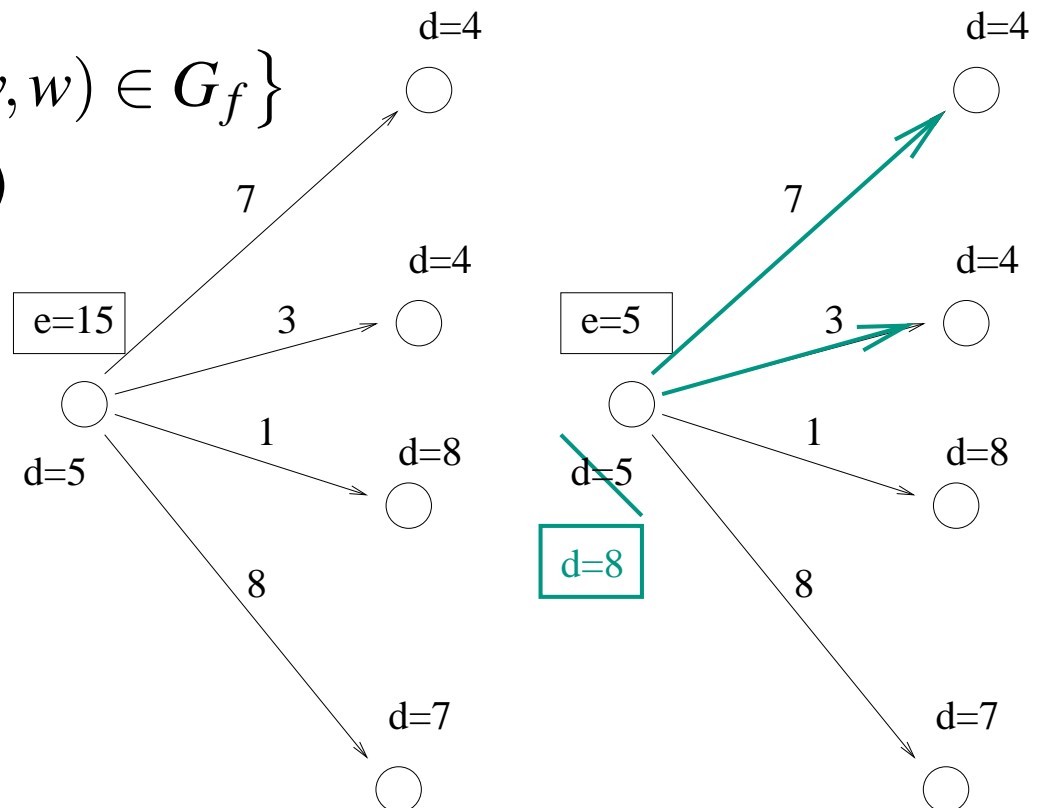
# Heuristic Improvements

Naive algorithm has **best case**  $\Omega(n^2)$ . Why? We can do better.

aggressive local relabeling:

$$d(v) := 1 + \min \{d(w) : (v, w) \in G_f\}$$

(like a sequence of relabels)



# Heuristic Improvements

Naive algorithm has **best case**  $\Omega(n^2)$ . Why?

We can do better.

**aggressive local relabeling:**  $d(v) := 1 + \min \{d(w) : (v, w) \in G_f\}$   
(like a sequence of relabels)

**global relabeling:** (initially and every  $O(m)$  edge inspections):  
 $d(v) := G_f.\text{reverseBFS}(t)$  for nodes that can reach  $t$  in  $G_f$ .

Special treatment of nodes with  $d(v) \geq n$ . (**Returning flow** is easy)

**Gap Heuristics.** No node can connect to  $t$  across an empty level:

**if**  $\{v : d(v) = i\} = \emptyset$  **then foreach**  $v$  with  $d(v) > i$  **do**  $d(v) := n$

# Experimental results

We use four classes of graphs:

- Random:  $n$  nodes,  $2n + m$  edges; all edges  $(s, v)$  and  $(v, t)$  exist
- Cherkassky and Goldberg (1997) (two graph classes)
- Ahuja, Magnanti, Orlin (1993)

## Timings: Random Graphs

| Rule | BASIC | Ln    | LRH   | GRH  | GAP  | LEDA |
|------|-------|-------|-------|------|------|------|
| FF   | 5.84  | 6.02  | 4.75  | 0.07 | 0.07 | —    |
|      | 33.32 | 33.88 | 26.63 | 0.16 | 0.17 | —    |
| HL   | 6.12  | 6.3   | 4.97  | 0.41 | 0.11 | 0.07 |
|      | 27.03 | 27.61 | 22.22 | 1.14 | 0.22 | 0.16 |
| MF   | 5.36  | 5.51  | 4.57  | 0.06 | 0.07 | —    |
|      | 26.35 | 27.16 | 23.65 | 0.19 | 0.16 | —    |

$n \in \{1000, 2000\}$ ,  $m = 3n$

FF=FIFO node selection, HL=highest level, MF=modified FIFO

Ln= $d(v) \geq n$  is special,

LRH=local relabeling heuristic, GRH=global relabeling heuristics

## Timings: CG1

| Rule | BASIC | Ln    | LRH   | GRH  | GAP  | LEDA |
|------|-------|-------|-------|------|------|------|
| FF   | 3.46  | 3.62  | 2.87  | 0.9  | 1.01 | —    |
|      | 15.44 | 16.08 | 12.63 | 3.64 | 4.07 | —    |
| HL   | 20.43 | 20.61 | 20.51 | 1.19 | 1.33 | 0.8  |
|      | 192.8 | 191.5 | 193.7 | 4.87 | 5.34 | 3.28 |
| MF   | 3.01  | 3.16  | 2.3   | 0.89 | 1.01 | —    |
|      | 12.22 | 12.91 | 9.52  | 3.65 | 4.12 | —    |

$n \in \{1000, 2000\}, m = 3n$

FF=FIFO node selection, HL=highest level, MF=modified FIFO

Ln= $d(v) \geq n$  is special,

LRH=local relabeling heuristic, GRH=global relabeling heuristics

## Timings: CG2

| Rule | BASIC | Ln    | LRH   | GRH  | GAP  | LEDA |
|------|-------|-------|-------|------|------|------|
| FF   | 50.06 | 47.12 | 37.58 | 1.76 | 1.96 | —    |
|      | 239   | 222.4 | 177.1 | 7.18 | 8    | —    |
| HL   | 42.95 | 41.5  | 30.1  | 0.17 | 0.14 | 0.08 |
|      | 173.9 | 167.9 | 120.5 | 0.36 | 0.28 | 0.18 |
| MF   | 45.34 | 42.73 | 37.6  | 0.94 | 1.07 | —    |
|      | 198.2 | 186.8 | 165.7 | 4.11 | 4.55 | —    |

$n \in \{1000, 2000\}$ ,  $m = 3n$

FF=FIFO node selection, HL=highest level, MF=modified FIFO

Ln= $d(v) \geq n$  is special,

LRH=local relabeling heuristic, GRH=global relabeling heuristics

## Timings: AMO

| Rule | BASIC | Ln    | LRH     | GRH    | GAP    | LEDA |
|------|-------|-------|---------|--------|--------|------|
| FF   | 12.61 | 13.25 | 1.17    | 0.06   | 0.06   | —    |
|      | 55.74 | 58.31 | 5.01    | 0.1399 | 0.1301 | —    |
| HL   | 15.14 | 15.8  | 1.49    | 0.13   | 0.13   | 0.07 |
|      | 62.15 | 65.3  | 6.99    | 0.26   | 0.26   | 0.14 |
| MF   | 10.97 | 11.65 | 0.04999 | 0.06   | 0.06   | —    |
|      | 46.74 | 49.48 | 0.1099  | 0.1301 | 0.1399 | —    |

$n \in \{1000, 2000\}, m = 3n$

FF=FIFO node selection, HL=highest level, MF=modified FIFO

Ln= $d(v) \geq n$  is special,

LRH=local relabeling heuristic, GRH=global relabeling heuristics

## Asymptotics, $n \in \{5000, 10000, 20000\}$

| Gen  | Rule | GRH  |       |       |      | GAP   |       |      | LEDA  |   |       |
|------|------|------|-------|-------|------|-------|-------|------|-------|---|-------|
| rand | FF   | 0.16 | 0.41  | 1.16  | 0.15 | 0.42  | 1.05  | —    | —     | — | —     |
|      | HL   | 1.47 | 4.67  | 18.81 | 0.23 | 0.57  | 1.38  | 0.16 | 0.45  | — | 1.09  |
|      | MF   | 0.17 | 0.36  | 1.06  | 0.14 | 0.37  | 0.92  | —    | —     | — | —     |
| CG1  | FF   | 3.6  | 16.06 | 69.3  | 3.62 | 16.97 | 71.29 | —    | —     | — | —     |
|      | HL   | 4.27 | 20.4  | 77.5  | 4.6  | 20.54 | 80.99 | 2.64 | 12.13 | — | 48.52 |
|      | MF   | 3.55 | 15.97 | 68.45 | 3.66 | 16.5  | 70.23 | —    | —     | — | —     |
| CG2  | FF   | 6.8  | 29.12 | 125.3 | 7.04 | 29.5  | 127.6 | —    | —     | — | —     |
|      | HL   | 0.33 | 0.65  | 1.36  | 0.26 | 0.52  | 1.05  | 0.15 | 0.3   | — | 0.63  |
|      | MF   | 3.86 | 15.96 | 68.42 | 3.9  | 16.14 | 70.07 | —    | —     | — | —     |
| AMO  | FF   | 0.12 | 0.22  | 0.48  | 0.11 | 0.24  | 0.49  | —    | —     | — | —     |
|      | HL   | 0.25 | 0.48  | 0.99  | 0.24 | 0.48  | 0.99  | 0.12 | 0.24  | — | 0.52  |
|      | MF   | 0.11 | 0.24  | 0.5   | 0.11 | 0.24  | 0.48  | —    | —     | — | —     |

## Zusammenfassung Flows und Matchings

- Natürliche Verallgemeinerung von kürzesten Wegen:  
ein Pfad  $\rightsquigarrow$  viele Pfade
- viele Anwendungen
- “schwierigste/allgemeinste” Graph-Probleme, die sich mit  
**kombinatorischen** Algorithmen in **Polynomialzeit** lösen lassen
- Beispiel für nichttriviale Algorithmenanalyse
- Potentialmethode** ( $\neq$  **Knotenpotentiale**)
- Algorithm Engineering: practical case  $\neq$  worst case.  
**Heuristiken/Details/Eingabeeigenschaften** wichtig
- Datenstrukturen: bucket queues, graph representation, (dynamic trees)

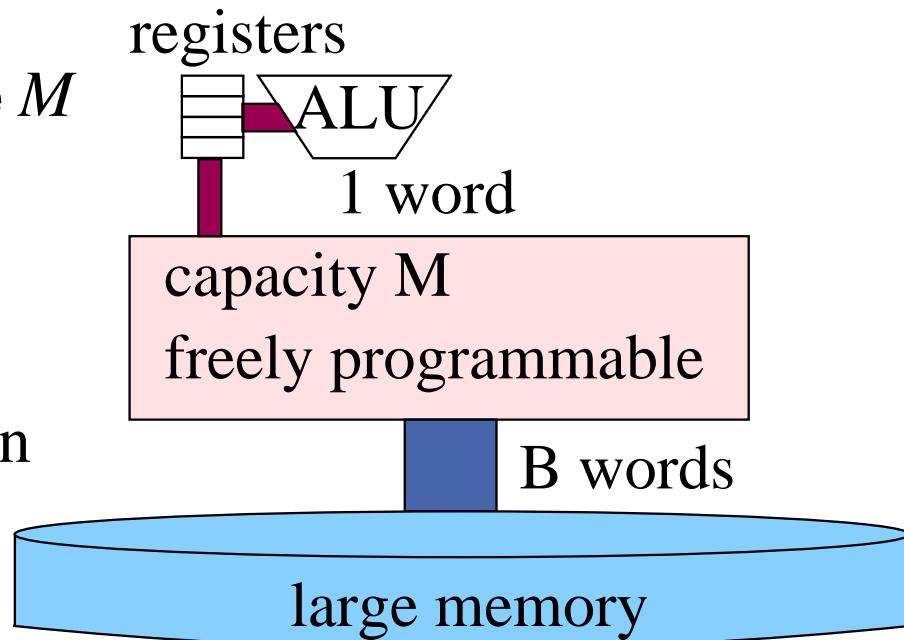
# 15 Externe Algorithmen

## 15.1 Das Sekundärspeichermodell

$M$ : Schneller Speicher der Größe  $M$

$B$ : Blockgröße

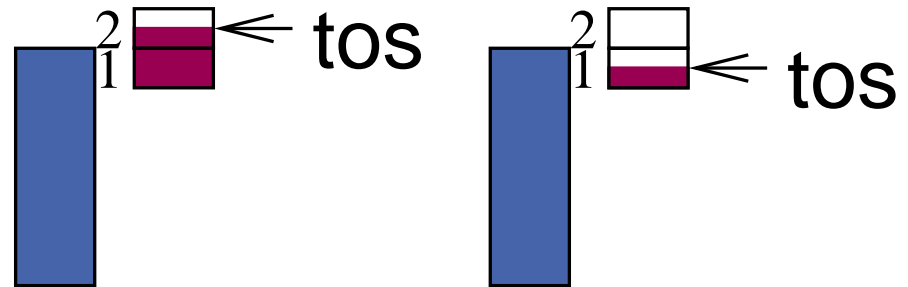
**Analyse:** Blockzugriffe zählen



## 15.2 Externe Stapel

Datei mit Blöcken

2 interne Puffer



**push:** Falls Platz, in Puffer.

Sonst schreibe Puffer **eins** in die Datei (push auf Blockebene)

Umbenennung: Puffer 1 und 2 tauschen die Plätze

**pop:** Falls vorhanden, pop aus Puffer.

Sonst lese Puffer **eins** aus der Datei (pop auf Blockebene)

Analyse: amortisiert  $O(1/B)$  I/Os pro Operation

Aufgabe 1: Beweis.

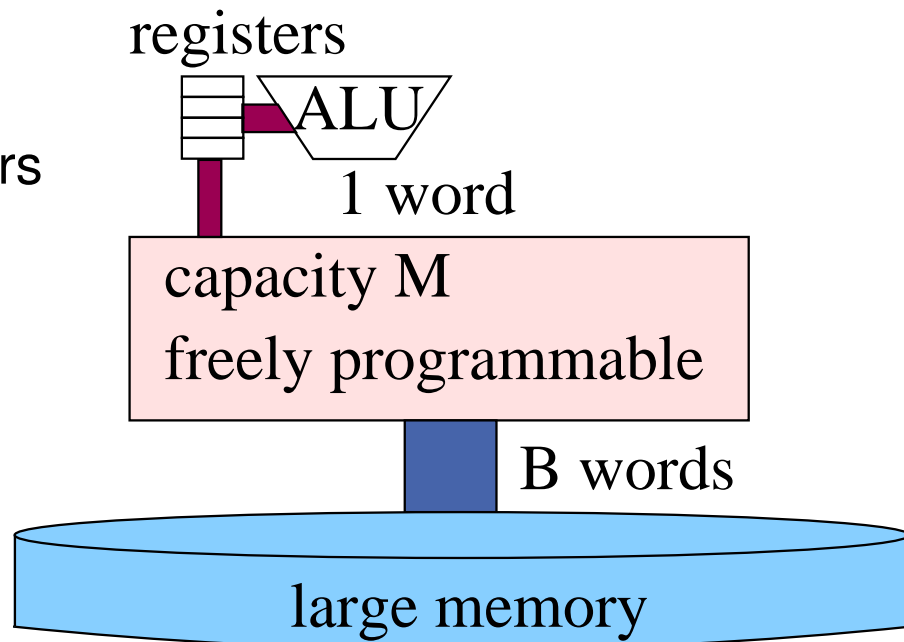
Aufgabe 2: effiziente Implementierung ohne überflüssiges Kopieren

## 15.3 Externes Sortieren

$n$ : Eingabegröße

$M$ : Größe des schnellen Speichers

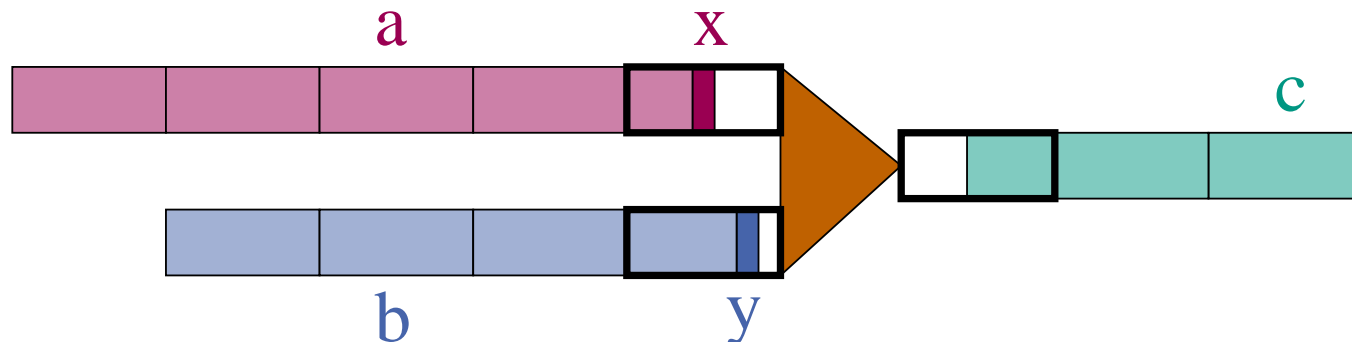
$B$ : Blockgröße



**Procedure** externalMerge( $a, b, c$  :File of Element)

```

 $x := a.\text{readElement}$            // Assume emptyFile.readElement =  $\infty$ 
 $y := b.\text{readElement}$ 
for  $j := 1$  to  $|a| + |b|$  do
    if  $x \leq y$  then    $c.\text{writeElement}(x)$ ;  $x := a.\text{readElement}$ 
    else                   $c.\text{writeElement}(y)$ ;  $y := b.\text{readElement}$ 
  
```



## Externes (binäres) Mischen – I/O-Analyse

Datei  $a$  lesen:  $\lceil |a|/B \rceil \leq |a|/B + 1$ .

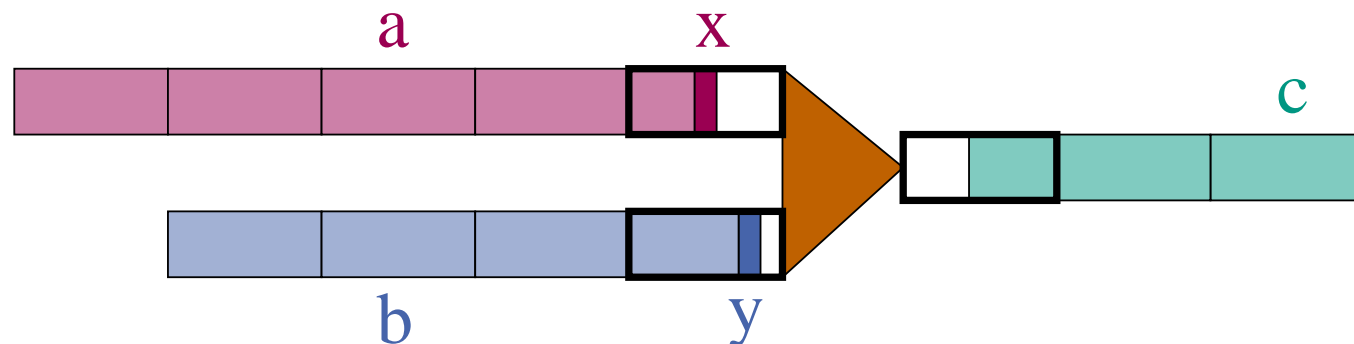
Datei  $b$  lesen:  $\lceil |b|/B \rceil \leq |b|/B + 1$ .

Datei  $c$  schreiben:  $\lceil (|a| + |b|)/B \rceil \leq (|a| + |b|)/B + 1$ .

Insgesamt:

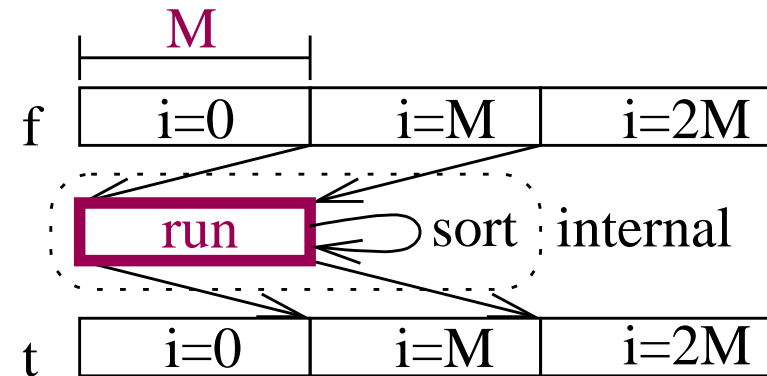
$$\leq 3 + 2 \frac{|a| + |b|}{B} \approx 2 \frac{|a| + |b|}{B}$$

Bedingung: Wir brauchen 3 Pufferblöcke, d.h.,  $M > 3B$ .



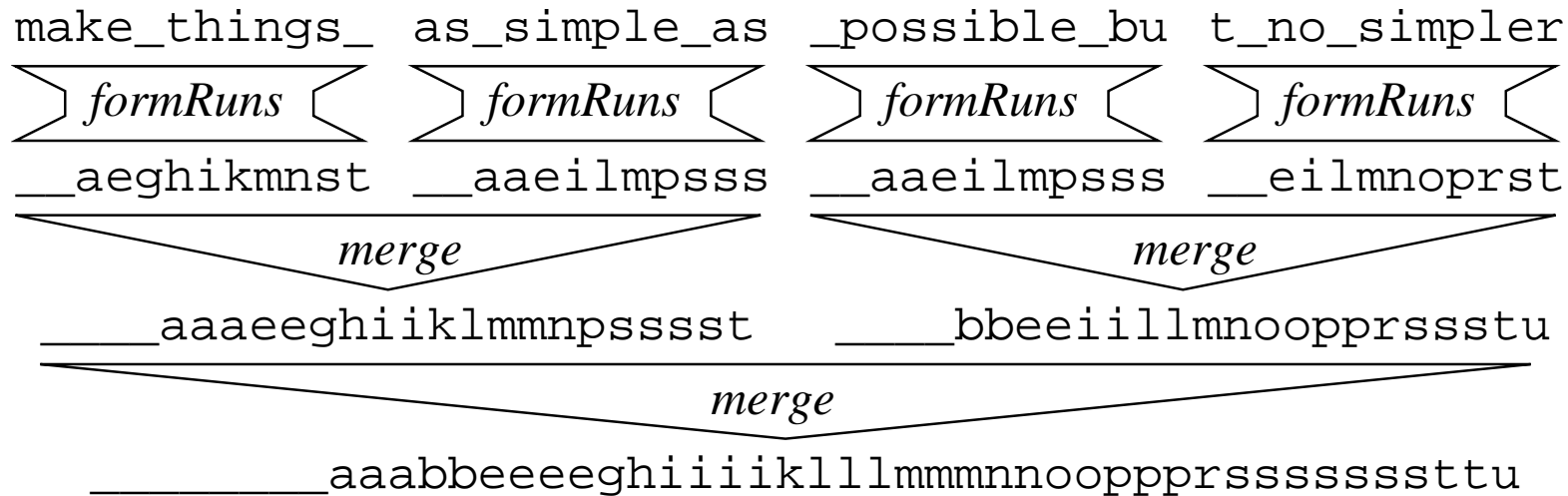
# Run Formation

Sortiere Eingabeportionen der Größe  $M$



$$\text{I/Os: } \approx 2 \frac{n}{B}$$

# Sortieren durch Externes Binäres Mischen



```

Procedure externalBinaryMergeSort // I/Os: ≈
  run formation // 2n/B
  while more than one run left do // ⌈ log n / M ⌉ ×
    merge pairs of runs // 2n/B
    output remaining run // Σ : 2n / B ⎛ 1 + ⌈ log n / M ⌉ ⎝
  
```

## Zahlenbeispiel: PC 2010

$$n = 2^{39} \text{ Byte}$$

$$M = 2^{33} \text{ Byte}$$

$$B = 2^{22} \text{ Byte}$$

I/O braucht  $2^{-4}$  s

$$\text{Zeit: } 2 \frac{n}{B} \left( 1 + \left\lceil \log \frac{n}{M} \right\rceil \right) = 2 \cdot 2^{17} \cdot (1+6) \cdot 2^{-4} \text{ s} = 2^{16} \text{ s} \approx 32 \text{ h}$$

Idee: 7 Durchläufe  $\rightsquigarrow$  2 Durchläufe

# Mehrwegemischen

**Procedure** multiwayMerge( $a_1, \dots, a_k, c$  :File of Element)

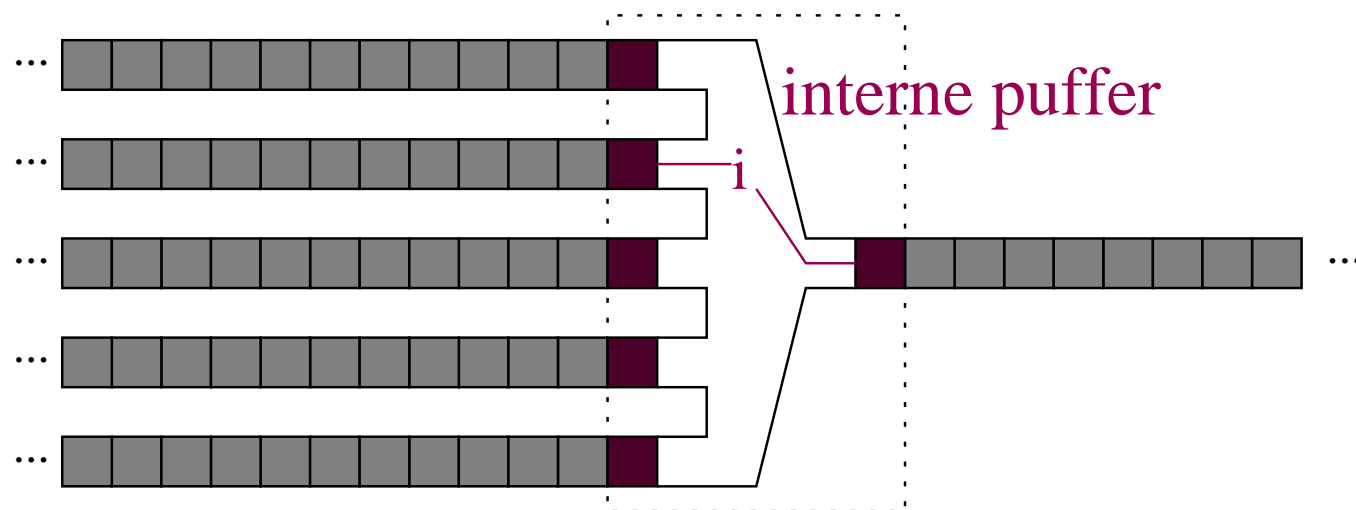
**for**  $i := 1$  **to**  $k$  **do**  $x_i := a_i.\text{readElement}$

**for**  $j := 1$  **to**  $\sum_{i=1}^k |a_i|$  **do**

    find  $i \in 1..k$  that minimizes  $x_i$    // no I/Os!,  $O(\log k)$  time

$c.\text{writeElement}(x_i)$

$x_i := a_i.\text{readElement}$



# Mehrwegemischen – Analyse

I/Os: Datei  $a_i$  lesen:  $\approx |a_i|/B$ .

Datei  $c$  schreiben:  $\approx \sum_{i=1}^k |a_i|/B$

Insgesamt:

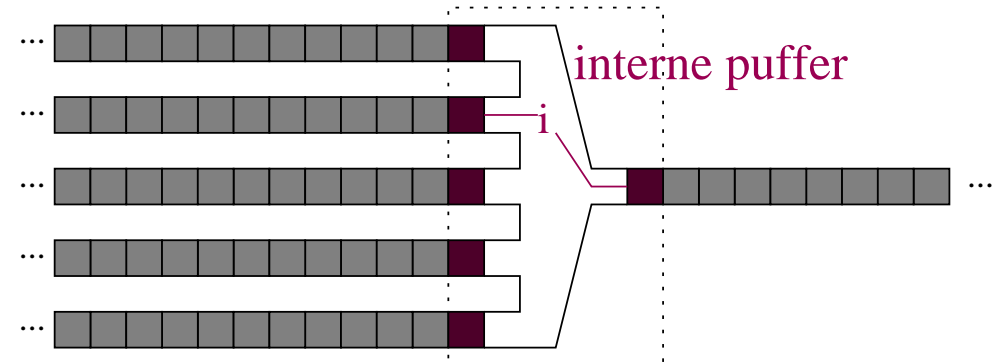
$$\leq \approx 2 \frac{\sum_{i=1}^k |a_i|}{B}$$

Bedingung: Wir brauchen  $k + 1$  Pufferblöcke, d.h.,  $k + 1 < M/B$

(im Folgenden vereinfacht zu  $k < M/B$ )

**Interne Arbeit:** (benutze Prioritätsliste !)

$$O\left(\log k \sum_{i=1}^k |a_i|\right)$$

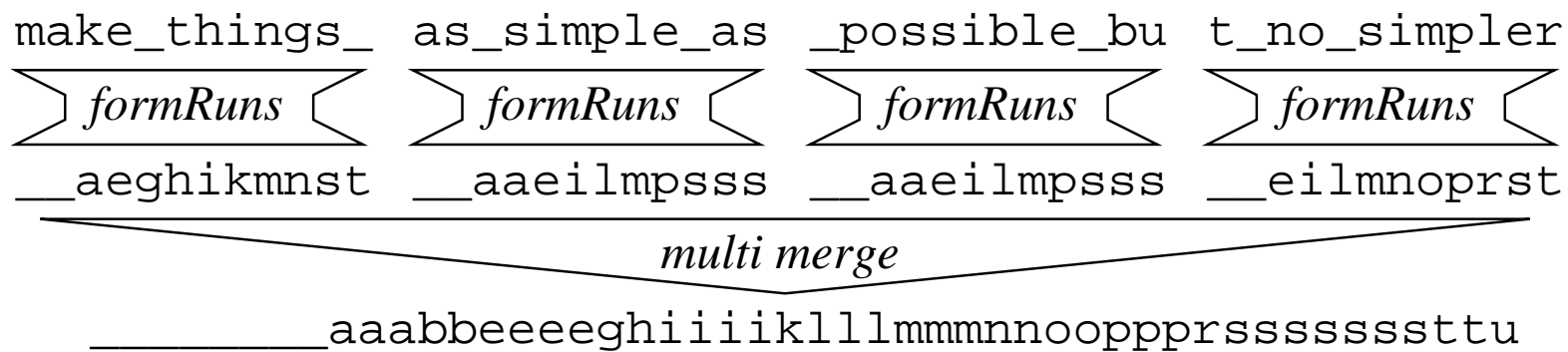


# Sortieren durch Mehrwege-Mischen

- Sortiere  $\lceil n/M \rceil$  runs mit je  $M$  Elementen  $2n/B$  I/Os
  - Mische jeweils  $M/B$  runs  $2n/B$  I/Os
  - bis nur noch ein run übrig ist  $\times \left\lceil \log_{M/B} \frac{n}{M} \right\rceil$  Mischphasen
- 

Insgesamt

$$\text{sort}(n) := \frac{2n}{B} \left( 1 + \left\lceil \log_{M/B} \frac{n}{M} \right\rceil \right) \text{ I/Os}$$



# Sortieren durch Mehrwege-Mischen

**Interne Arbeit:**

$$O\left(\overbrace{n \log M}^{\text{run formation}} + \underbrace{n \log \frac{M}{B}}_{\text{PQ access per phase}} \overbrace{\left\lceil \log_{M/B} \frac{n}{M} \right\rceil}^{\text{phases}}\right) = O(n \log n)$$

**Mehr als eine Mischphase?:**

Nicht für Hierarchie Hauptspeicher, Festplatte.

$$\text{Grund } \frac{M}{B} > \frac{\approx 400}{\frac{\text{RAM Euro/bit}}{\text{Platte Euro/bit}}} > 1000$$

## Mehr zu externem Sortieren

Untere Schranke  $\approx \frac{2^{(?)}n}{B} \left( 1 + \left\lceil \log_{M/B} \frac{n}{M} \right\rceil \right)$  I/Os  
[Aggarwal Vitter 1988]

Obere Schranke  $\approx \frac{2n}{DB} \left( 1 + \left\lceil \log_{M/B} \frac{n}{M} \right\rceil \right)$  I/Os (erwartet)  
für  $D$  parallele Platten

[Hutchinson Sanders Vitter 2005, Dementiev Sanders 2003]

Offene Frage: deterministisch?

## Externe Prioritätslisten

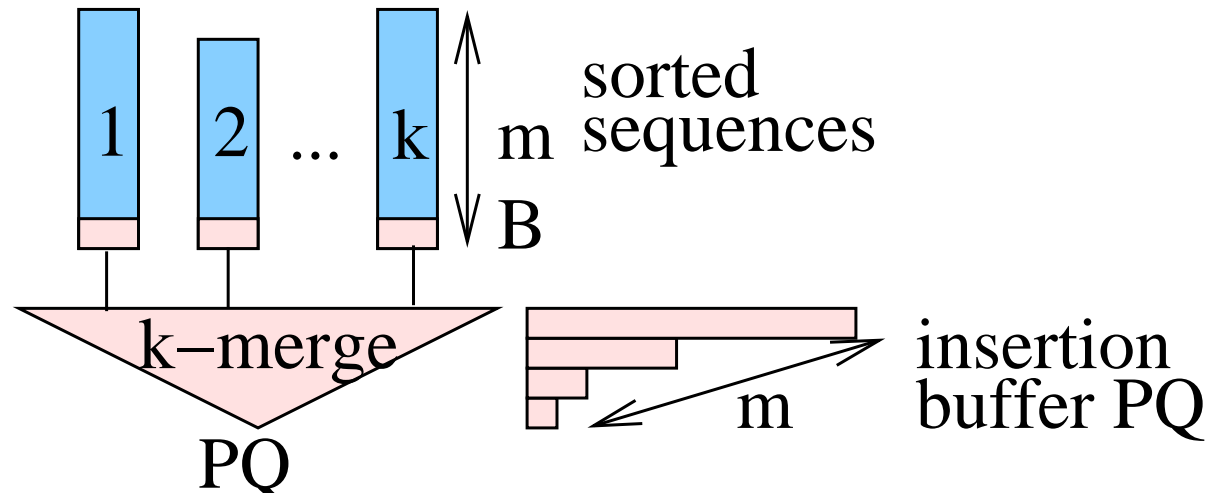
Problem: Binary heaps brauchen

$$\Theta\left(\log \frac{n}{M}\right) \text{ I/Os pro deleteMin}$$

Wir hätten gerne:

$$\Theta\left(\frac{1}{B} \log_{M/B} \frac{n}{M}\right) \text{ I/Os amortisiert}$$

# Mittelgroße PQs – $km \ll M^2/B$ Einfügungen



Insert: Anfangs in **insertion buffer**.

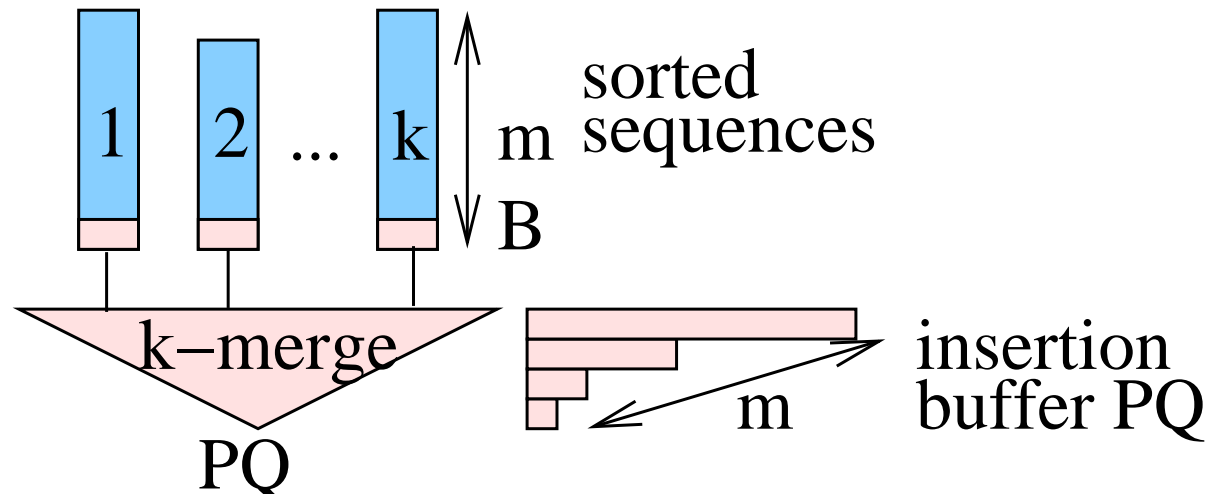
Überlauf →

sort; flush; kleinster Schlüssel in merge-PQ

Delete-Min: deleteMin aus der PQ mit kleinerem min

## Analyse – I/Os

deleteMin: jedes Element wird  $\leq 1 \times$  gelesen, zusammen mit  $B$  anderen – amortisiert  $1/B$  penalty für insert.



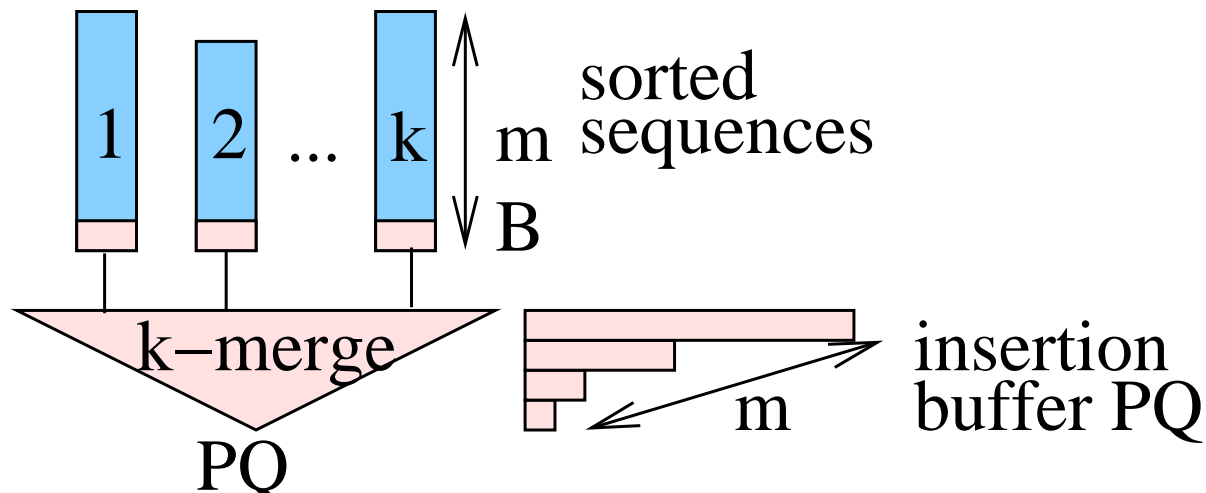
# Analyse – Vergleiche (Maß für interne Arbeit)

deleteMin:  $1 + O(\max(\log k, \log m)) = O(\log m)$

genauere Argumentation: amortisiert  $1 + \log k$  bei geeigneter PQ

insert:  $\approx m \log m$  alle  $m$  Ops. Amortisiert  $\log m$

Insgesamt nur  $\log km$  amortisiert !



# Große Queues

$$\approx \frac{2n}{B} \left( 1 + \left\lceil \log_{M/B} \frac{n}{M} \right\rceil \right)$$

I/Os für  $n$  Einfügeoperationen

$O(n \log n)$  Arbeit.

[Sanders 1999].

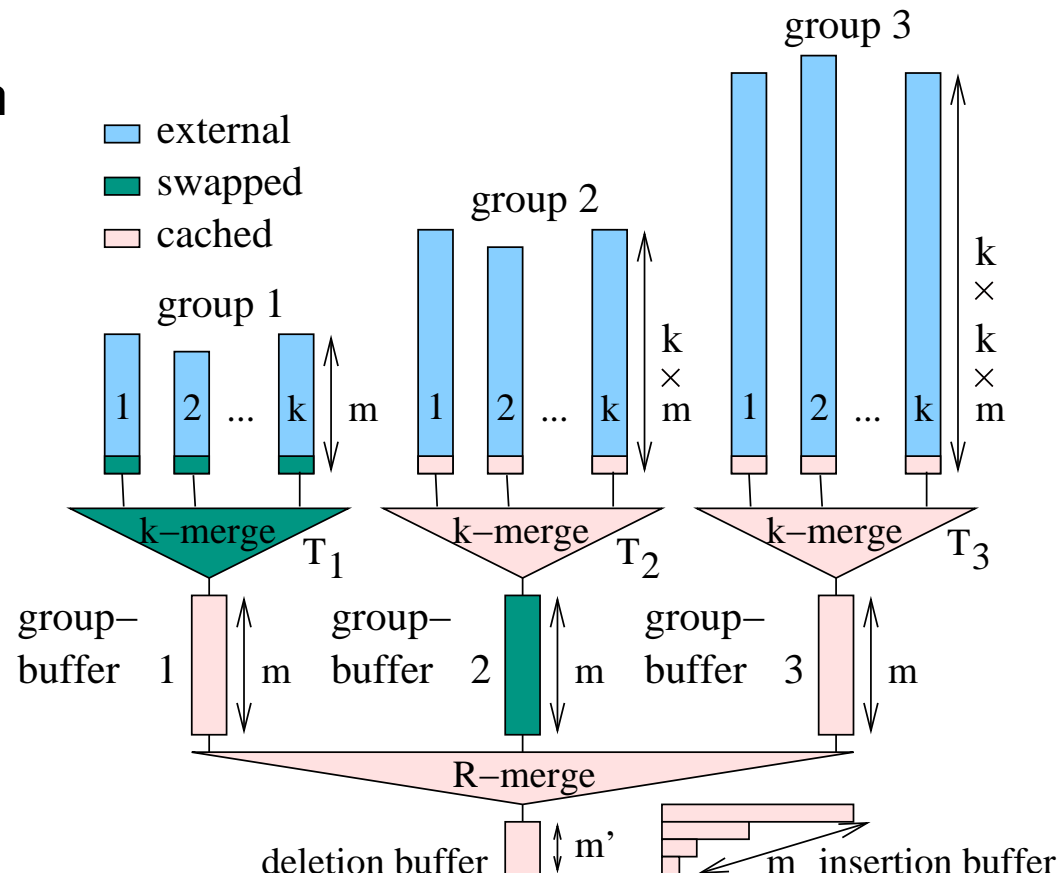
deleteMin:

“amortisiert umsonst”.

Details:

Vorlesung

Algorithm Engineering.



# Experiments

Keys: random 32 bit integers

Associated information: 32 dummy bits

Deletion buffer size: 32 Near optimal

Group buffer size: 256 : performance on

Merging degree  $k$ : 128 all machines tried!

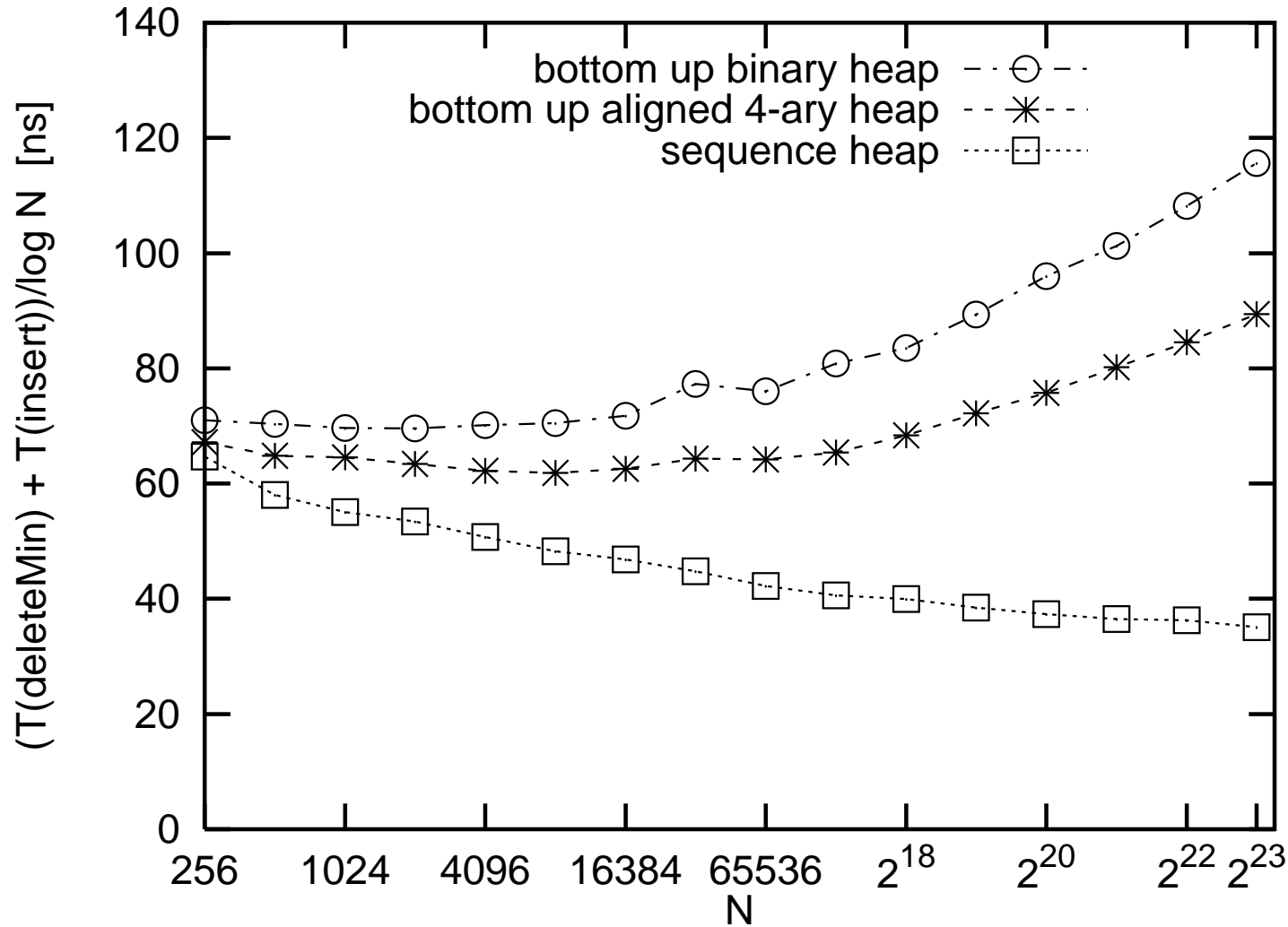
Compiler flags: Highly optimizing, nothing advanced

Operation Sequence:

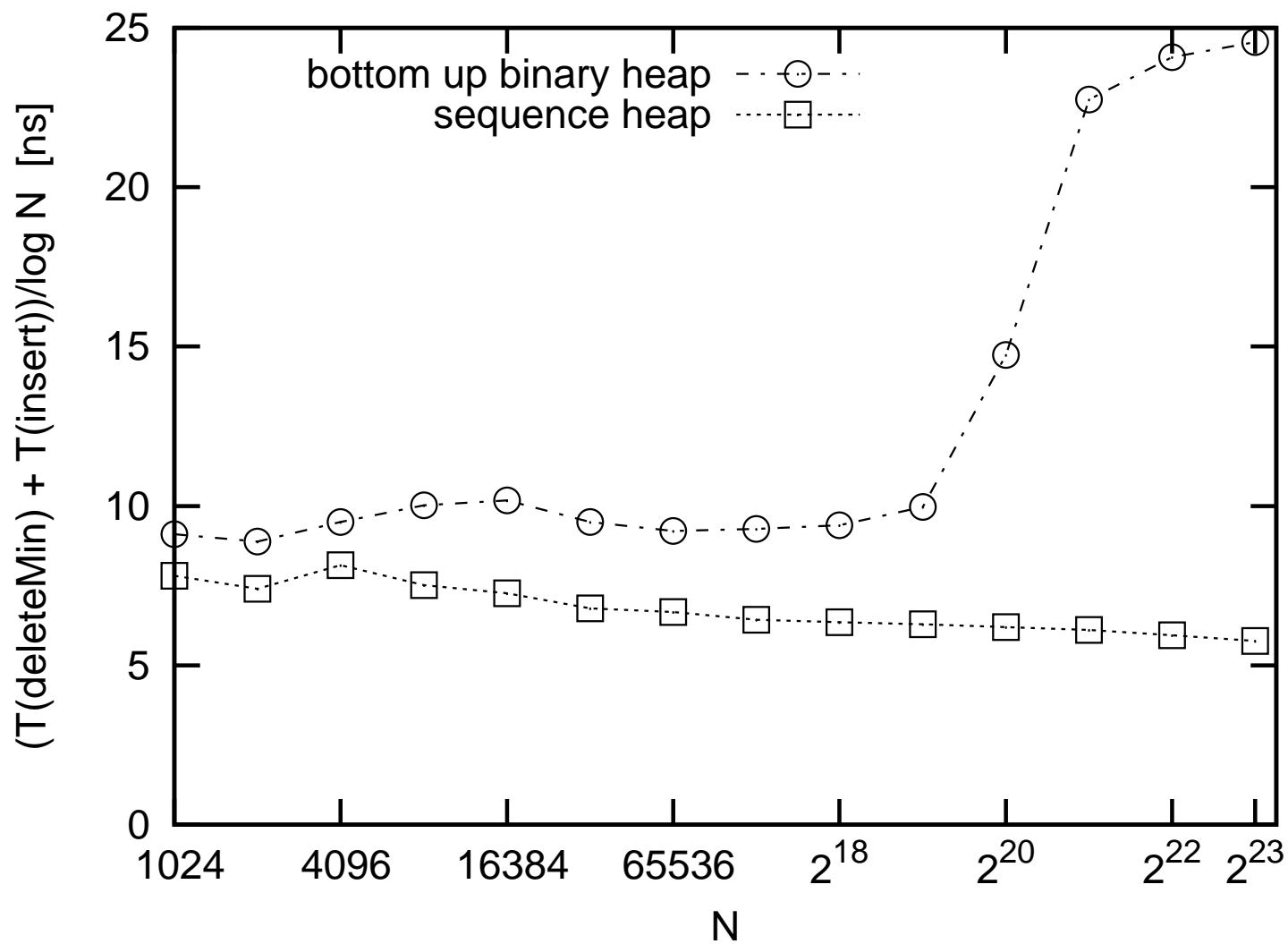
$$(\text{Insert-DeleteMin-Insert})^N (\text{DeleteMin-Insert-DeleteMin})^N$$

Near optimal performance on all machines tried!

# Alpha-21164, 533 MHz



# Core2 Duo Notebook, 1.??? GHz



# Minimale Spannbäume

## Semieexterne Kruskal

Annahme:  $M = \Omega(n)$  konstant viele Maschinenworte pro Knoten

**Procedure** seKruskal( $G = (1..n, E)$ )

sort  $E$  by decreasing weight // sort( $m$ ) I/Os

Tc : UnionFind( $n$ )

**foreach**  $(u, v) \in E$  in ascending order of weight **do**

**if** Tc.find( $u$ )  $\neq$  Tc.find( $v$ ) **then**

    output  $\{u, v\}$

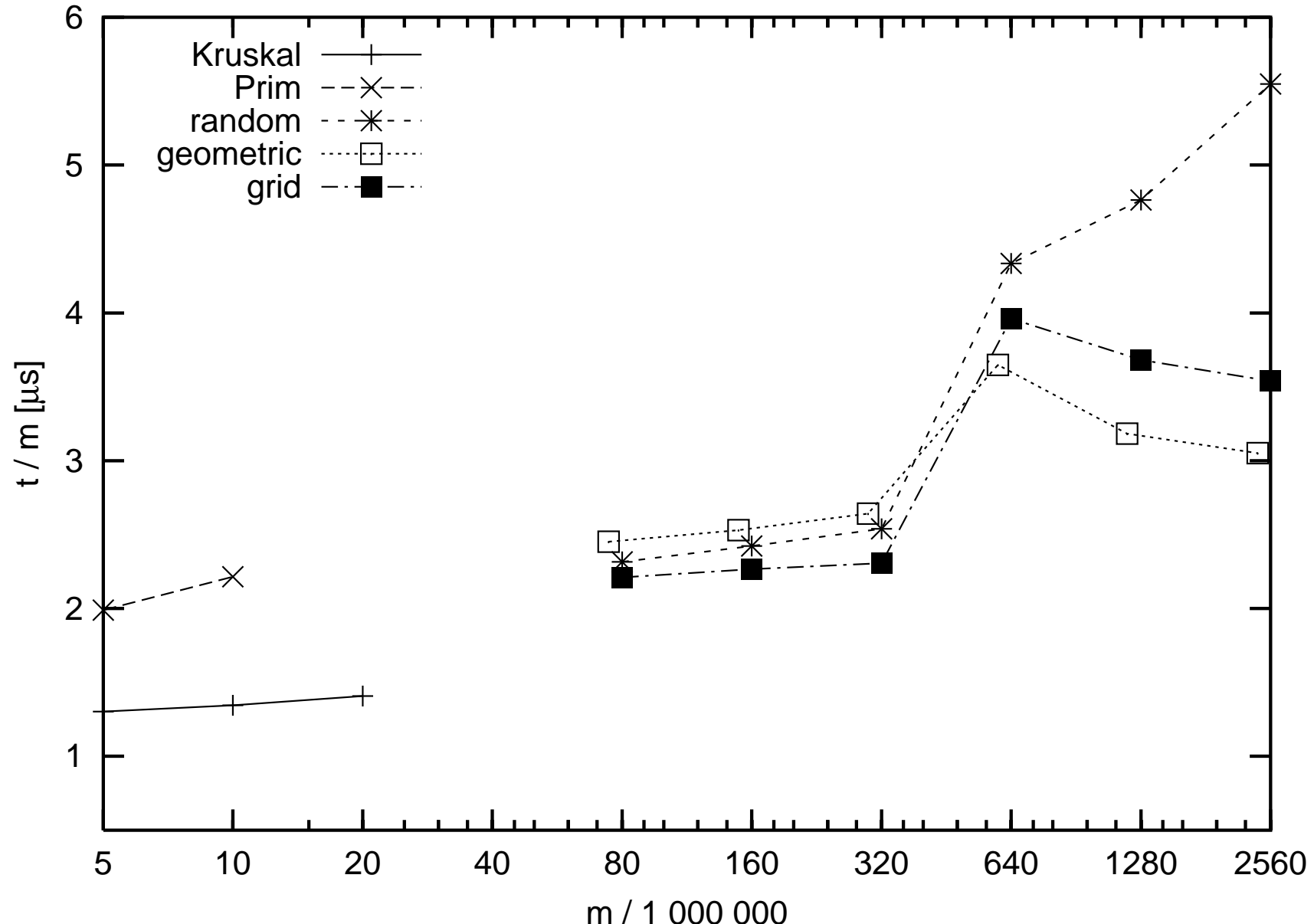
    Tc.union( $u, v$ )

// link reicht auch

## Externe MST-Berechnung

- Reduziere Knotenzahl mittels **Kontraktion** von MST-Kanten
  - Details: Vorlesung Algorithm Engineering, Sibeyn's Algorithmus.
  - Implementierung  $\approx$  Sortierer + ext. Prioritätsliste + 1
  - Bildschirmseite. (STXXL Bibliothek)
- benutze semiexternen Algorithmus sobald  $n < M$ .

## Beispiel, Sibeyn's algorithm, $m \approx 2n$



## Mehr zu externen Algorithmen – Basic Toolbox ?

Externe Hashtabellen: geht aber 1 I/O pro Zugriff

Suchbäume:  $(a, 2a)$ -Bäume mit  $a = \Theta(B) \rightsquigarrow \log_B n$  I/Os für Basisoperationen. Brot-und-Butter-Datenstruktur für Datenbanken. Inzwischen auch in Dateisystemen. Viel Tuning: Große Blätter, Caching, ....

BFS: OK bei kleinem Graphdurchmesser

DFS: noch schwieriger. Heuristiken für den **semieexternen Fall**

kürzeste Wege: ähnlich BFS.